# ANEJO Nº4.- CLIMATOLOGÍA, HIDROLOGÍA Y DRENAJE

# ANEJO Nº 4.- CLIMATOLOGÍA, HIDROLOGÍA Y DRENAJE

**1.- INTRODUCCIÓN ..... 3**

**2.- CLIMATOLOGÍA ..... 3**

2.1.- Caracterización climática general .....3

2.2.- Caracterización agroclimática .....4

2.3.- Características pluviométricas. .....5

2.4.- Características termométricas. .....6

2.4.1.- Temperatura mínima .....6

2.4.2.- Temperatura máxima.....6

2.4.3.- Temperatura media .....7

**3.- HIDROLOGÍA ..... 8**

**4.- CÁLCULO DE CAUDALES POR EL MÉTODO HIDROMETEOROLÓGICO..... 12**

4.1.- Introducción. .....12

4.2.- Períodos de retorno. .....12

4.3.- Metodología de cálculo de caudales en cuencas reducidas. ...12

4.3.1.- Caracterización de cuencas interceptadas .....13

4.3.2.- Coeficiente de simultaneidad.....13

4.3.3.- Aplicación de las precipitaciones a las cuencas identificadas .....13

4.3.4.- Cálculo de la intensidad media .....15

4.3.5.- Tiempo de concentración.....15

4.3.6.- Cálculo del coeficiente de escorrentía .....16

4.4.- Resultados del cálculo. .....19

**5.- DRENAJE TRANSVERSAL ..... 20**

5.1.- Introducción. .....20

5.2.- Criterios de diseño. Soluciones adoptadas. .....20

5.2.1.- Criterios y condiciones de diseño .....20

5.2.2.- Capacidad de las pequeñas obras de drenaje transversal .....21

5.2.3.- Asignación de caudales a las obras de drenaje.....24

5.3.- Resumen de resultados. .....25

**6.- DRENAJE DE CAUCES PRINCIPALES ..... 27**

6.1.- Introducción. .....27

6.2.- Cálculo de caudales.....28

6.3.- Obtención de las zonas de inundación .....28

6.4.- Simulación hidráulica del cauce.....28

6.4.1.- Datos geométricos.....31

6.4.2.- Pérdidas de carga.....33

6.4.3.- Condiciones de contorno.....34

6.5.- Aplicación del modelo.....34

6.5.1.- Río Serpis.....34

6.5.2.- Rambla de Gallinera.....36

6.5.3.- Río Girona.....38

6.6.- Análisis de los resultados obtenidos.....39

**7.- ANÁLISIS DE LA INUNDABILIDAD ..... 40**

7.1.- Introducción.....40

7.2.- Normativa en materia de riesgo de inundación.....40

7.3.- Estudio del riesgo de inundabilidad.....43

7.3.1.- Riesgo de inundabilidad según el SNCZI.....43

7.3.2.- Peligrosidad de inundación del PATRICOVA.....44

7.4.- Análisis de las áreas con riesgo potencial significativo de inundación (ARPSIs).....48

7.5.- Medidas a adoptar frente al riesgo de inundación.....50

**APÉNDICES**:

APÉNDICE Nº1.- DELIMITACIÓN DE CUENCAS

APÉNDICE Nº2.- PRECIPITACIONES MÁXIMAS DIARIAS

APÉNDICE Nº3.- CALCULO DEL UMBRAL DE ESCORRENTÍA

APÉNDICE Nº4.- CALCULO DE LOS CAUDALES

APÉNDICE Nº5.- SOLUCIONES ADOPTADAS PARA EL DRENAJE TRANSVERSAL Y ASIGNACIÓN DE CAUDALES

APÉNDICE Nº6.- CÁLCULO DE LAS OBRAS DE DRENAJE TRANSVERSAL

APÉNDICE Nº7.- MAPAS DEL ESTUDIO DEL RIESGO DE INUNDABILIDAD

APÉNDICE Nº8.- ESTUDIO HIDRÁULICO DE LOS CAUCES PRINCIPALES INTERCEPTADOS

## 1.- INTRODUCCIÓN

El presente anejo trata de la determinación de los datos climatológicos generales, precipitaciones e intensidades de lluvia así como los caudales de las cuencas vertientes que interceptan el trazado del presente Estudio Informativo, y las soluciones de drenaje planteadas.

Para la consecución de tal fin, se han consultado las publicaciones oficiales existentes sobre el particular y se han mantenido los oportunos contactos con los organismos correspondientes para obtener la información necesaria al respecto.

La determinación de los caudales de avenida se realiza a partir del análisis de la precipitaciones, cuyos datos proceden de los registros de las estaciones pluviométricas que se ubican en las cuencas vertientes del trazado y se obtienen a través del método hidrometeorológico descrito en la Instrucción 5.2-I.C. Drenaje Superficial, incluyendo las mejoras introducidas en el mismo por su autor, J.R. Témez, publicadas en el XXIV Congreso Internacional de la IAHR.

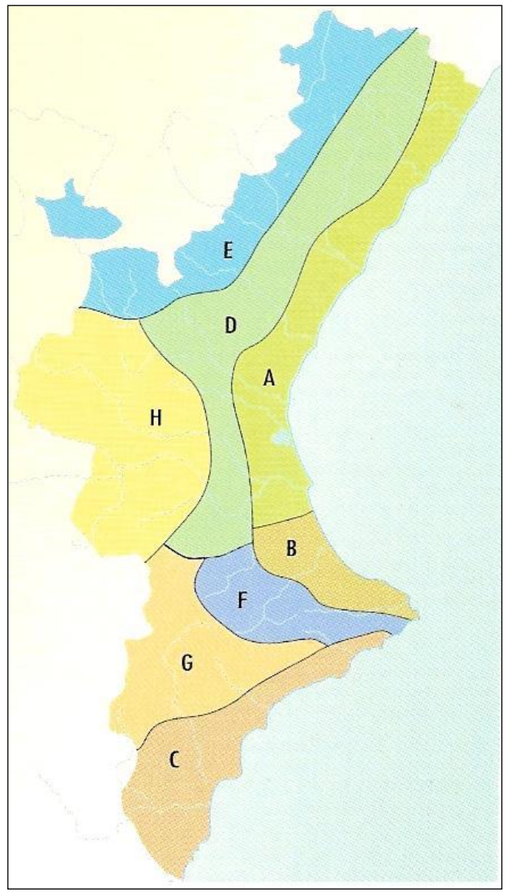
Es preciso indicar que dentro del presente documento se muestran una serie de gráficos con la totalidad del área de actuación del Tren de la Costa, remarcando a través de un círculo de color rojo la zona real objeto del presente Expediente.

## 2.- CLIMATOLOGÍA

### 2.1.- Caracterización climática general

Para la caracterización de la zona de estudio, se recoge la información contemplada en el "Atlas climático de la Comunidad Valenciana", publicación de referencia que establece 8 sectores climáticos diferenciados.

- **Zona A: Clima de la llanura litoral septentrional**
- **Zona B: Clima de la llanura litoral lluviosa**
- **Zona C: Clima del sector litoral meridional**
- **Zona D: Clima de la franja de transición**
- **Zona E: Clima de la montaña del NW:**
- **Zona F: Clima de la fachada lluviosa del macizo de Alcoi**
- **Zona G: Clima de la vertiente seca del macizo de Alcoi**
- **Zona H: Clima del sector central occidental**



El Estudio Informativo presenta un amplio ámbito de actuación, por lo que se ve influenciada por varias de los citados sectores climáticos. En concreto, por los siguientes:

- **Zona A: Clima de la llanura litoral septentrional.** Cuenta con unas precipitaciones anuales en torno a un promedio de 450 l/m2, cuyos máximos se producen en los meses de otoño. En la época estival se suele producir un periodo de sequía.

  La temperatura media anual se sitúa alrededor de los 16-18ºC, con unos inviernos suaves y veranos cálidos.

- **Zona B: Clima de la llanura litoral lluviosa:** La precipitación media anual es de unos 650 l/m2, concentrándose los meses más lluviosos en la estación otoñal, con un periodo de sequía estival muy marcado. Este aumento significativo en cuanto al volumen de precipitación corresponde al fenómeno conocido como "gota fría.

  La temperatura media es muy parecida, aunque ligeramente superior, a la de la zona A.

- **Zona C: Clima del sector litoral meridional:** En esta zona las precipitaciones disminuyen de forma notable respecto a las anteriores, contando con una precipitación media anual que en muchos puntos no supera los 300 l/m2.

  Cuenta además con unas temperaturas más elevadas, en torno a una media de 18ºC, resultando el sector más árido de la Comunidad Valenciana.

- **Zona F: Clima de la fachada lluviosa del macizo de Alcoy:** Las precipitaciones anuales son cuantiosas, similares a la zona A, estimadas en una media anual de unos 600 l/m2. Igualmente los meses de otoño son los más lluviosos, y la época estival es seca.

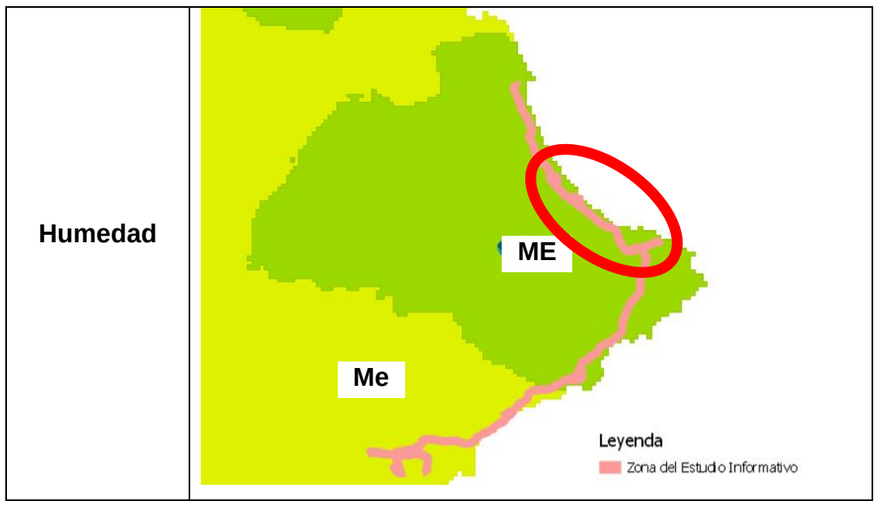
  La temperatura media es inferior, debido a la mayor altitud, y se sitúa entorno a los 14-15ºC de media anual.

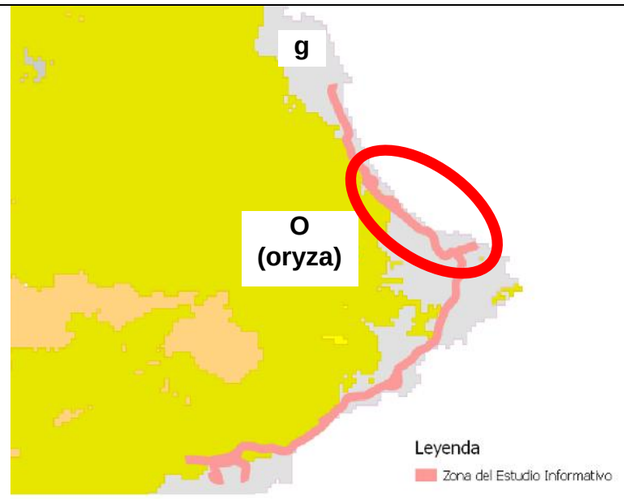
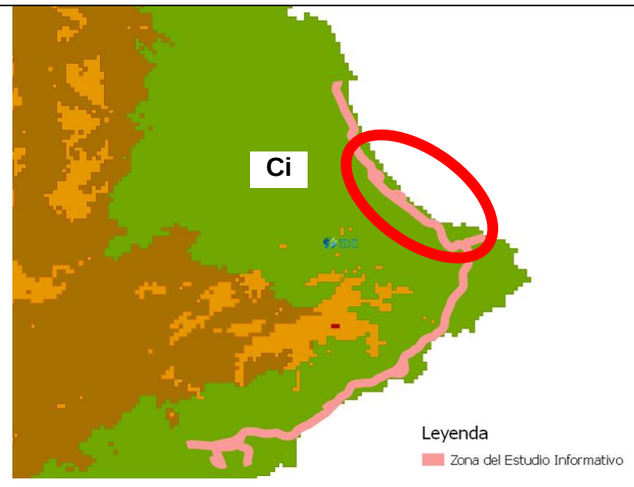
### 2.2.- Caracterización agroclimática

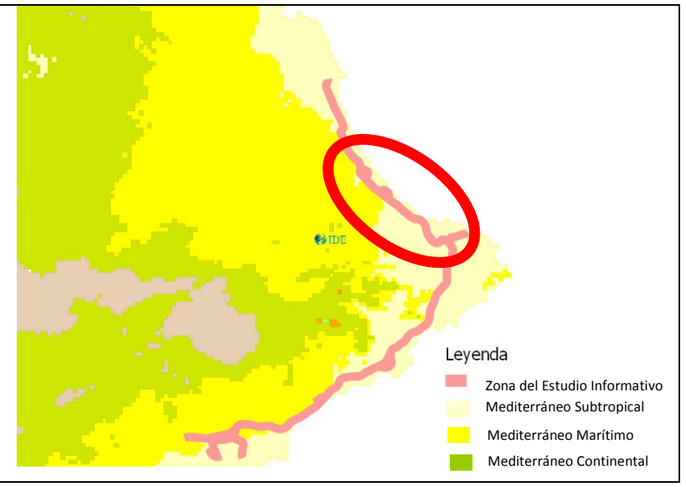
Para la caracterización agroclimática de la zona del Estudio Informativo se ha consultado la información disponible en la página web del Ministerio de Agricultura, Alimentación y Medio Ambiente, en lo que respecta a la clasificación climática de Papadakis:

De acuerdo con esta información, la zona de estudio se desarrolla prácticamente en su totalidad en un área con las siguientes características:

| HUMEDAD | | INVIERNO | VERANO |
|---|---|---|---|
| ME | Me | Ci | g |
| Mediterráneo Húmedo | Mediterráneo Seco | Citrus | Algodón menos cálido |



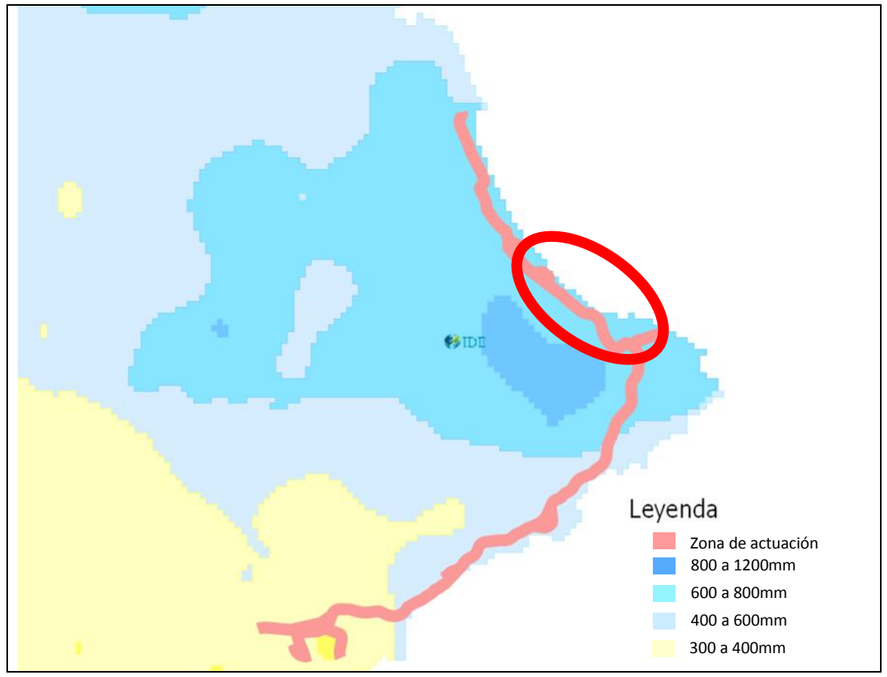
| | |
|---|---|
| **Verano** |  |
| **Invierno** |  |

| | |
|---|---|
| **Clasificación climática de Papadakis** |  |

Como resultado en la clasificación climática de Papadakis, se obtiene un clima Mediterráneo Subtropical, en la mayor parte del trazado de las diferentes Alternativas del Estudio Informativo.

### 2.3.- Características pluviométricas.

A continuación se adjunta un gráfico representativo de la Pluviometría media anual, correspondiente con un modelo en el que se caracteriza a cada región de España en función de la cantidad de agua caída expresada en milímetros de altura.



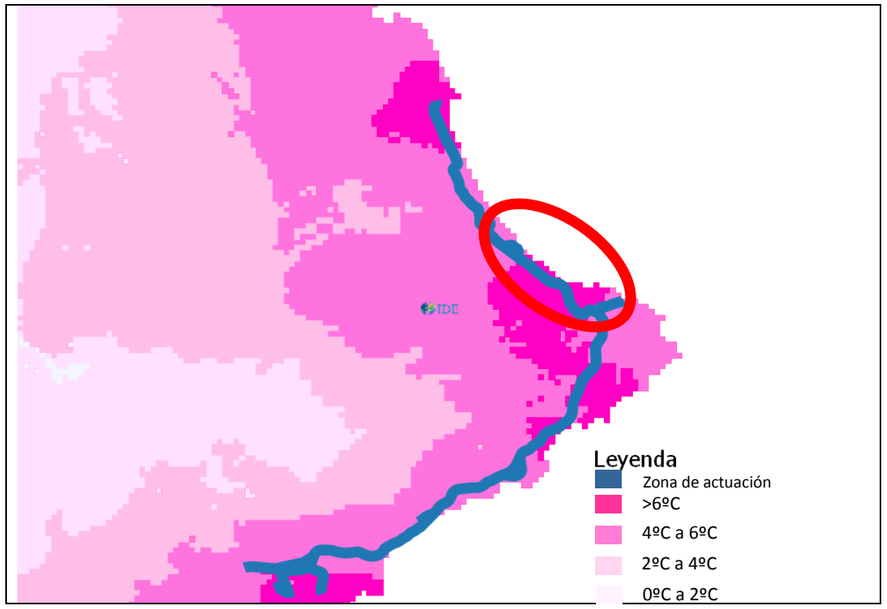

Esta información ha sido producida por el Ministerio de Agricultura, Alimentación y Medio Ambiente (MAGRAMA) por métodos de interpolación geoestadística (kriging) a partir de los datos de 4189 estaciones pertenecientes a la red de la Agencia Estatal de Meteorología (AEMET).

**2.4.- Características termométricas.**

A continuación se indican los datos termométricos correspondientes a la zona de actuación del Estudio Informativo, con la información producida por el Ministerio de Agricultura, Alimentación y Medio Ambiente (MAGRAMA) por métodos de interpolación geoestadística (kriging) a partir de los datos de 1803 estaciones pertenecientes a la red del antiguo Instituto Nacional de Meteorología (actual Agencia Estatal de Meteorología AEMET).

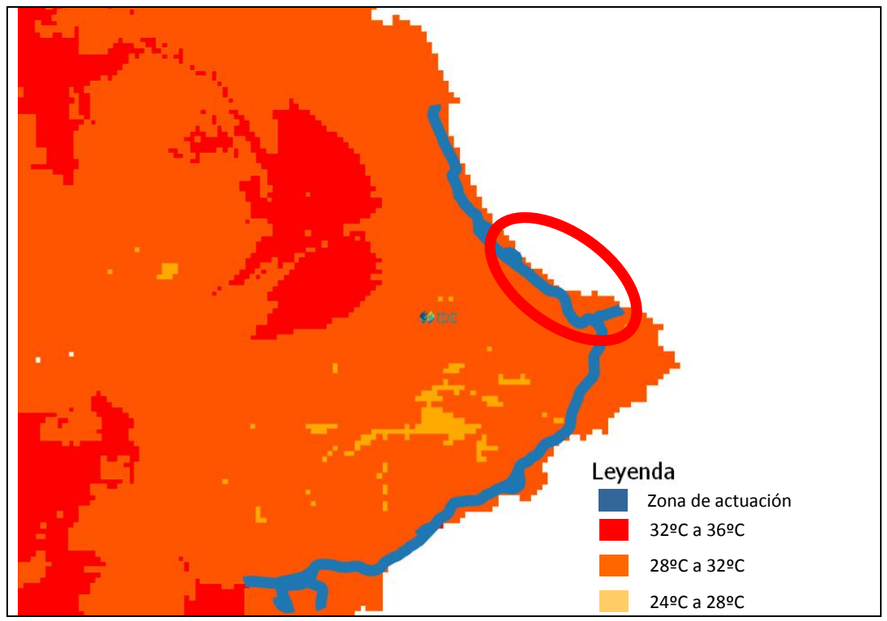
2.4.1.- Temperatura mínima

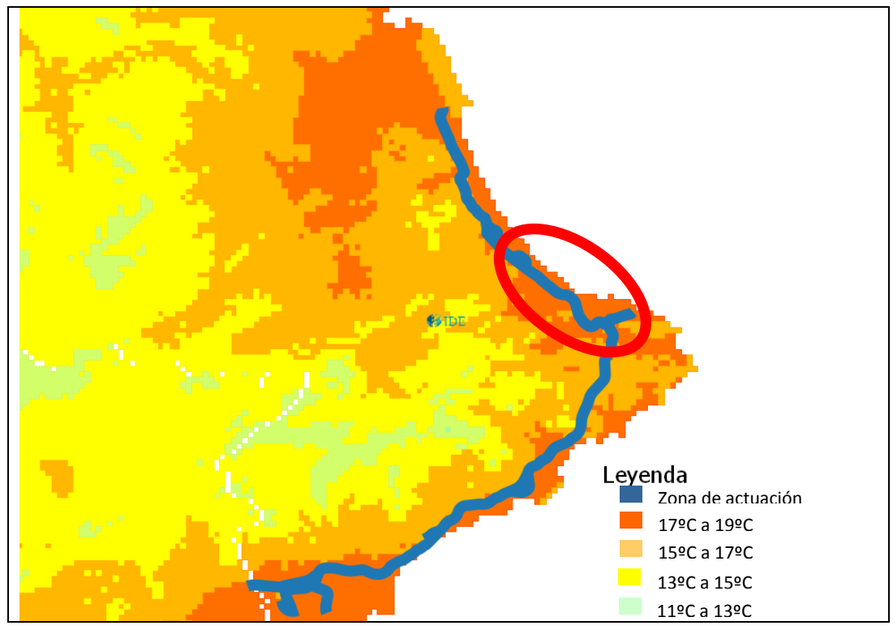
A continuación se incluye un mapa de temperatura mínima correspondiente con el modelo de las temperaturas mínimas del mes más frío, en el que se caracteriza a cada región de España en función de la temperatura mínima que alcanza, agrupada en intervalos de temperatura (-8ºC - -6ºC, -6ºC - -4ºC, -4ºC - -2ºC, -2ºC - 0ºC, 0ºC - 2ºC, 2ºC - 4ºC, 4ºC - 6ºC, más de 6ºC).




2.4.2.- Temperatura máxima

A continuación se incluye un mapa de temperatura máxima correspondiente con el modelo de las temperaturas máximas del mes más cálido, en el que se caracteriza a cada región de España en función de la temperatura máxima que alcanza, agrupada en intervalos de temperatura (menos de 20ºC, 20ºC - 24ºC, 24ºC - 28ºC, 28ºC - 32ºC, 32ºC - 36ºC, más de 36ºC).




2.4.3.- Temperatura media

Temperatura media anual (ºC) pertenece a un grupo de mapas temáticos en base a variables agroclimáticas denominado Caracterización o Información Agroclimática. El mapa de Temperatura media anual se corresponde con un modelo de las temperaturas medias anuales representadas a través de un mapa de tintas hipsométricas, en el que se caracteriza a cada región de España en función de la temperatura media anual que alcanza.

## 3.- HIDROLOGÍA

El objeto del presente apartado es el cálculo de la precipitación de diseño que servirá para el posterior análisis de los caudales interceptados.

Para los cauces de mayor relevancia interceptados por las diferentes alternativas estudiadas, se ha empleado la información existente en el Sistema Nacional de Cartografía de Zonas Inundables (SNCZI), que permite a todos los interesados visualizar la delimitación del Dominio Público Hidráulico (DPH) y la cartografía de zonas inundables, en concreto para los siguientes periodos de retorno:

- 10 años
- 50 años
- 100 años
- 500 años

En la citada cartografía, integrada en un sistema de información geográfica (SIG), además de visualizar las zonas inundables correspondientes a los citados períodos de retorno, se pueden obtener los caudales empleados para su obtención, asociados a los cauces estudiados.

Por tanto, en los cauces donde existe cartografía del SNCZI, se ha procedido a obtener por este medio los caudales correspondientes al tramo estudiado.

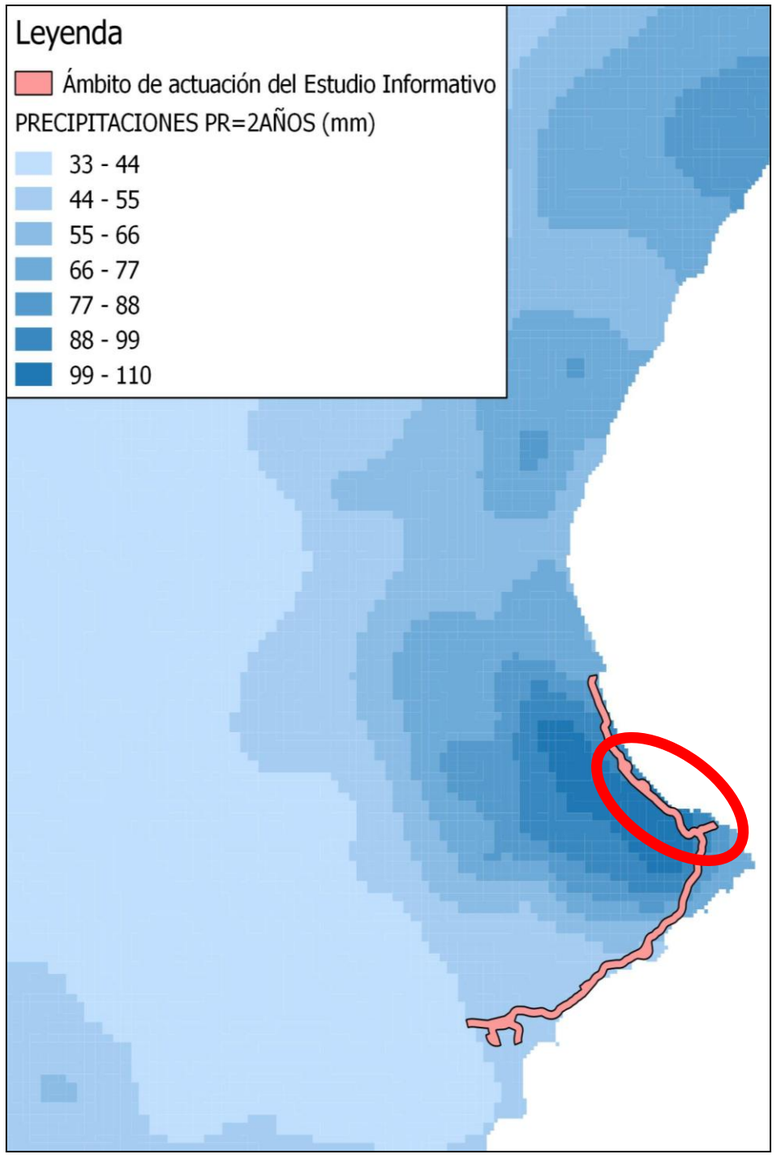
Para otras cuencas de entidad, donde no exista cartografía del SNCZI, se ha recurrido a la aplicación CAUMAX, desarrollada por el CEDEX a petición del Ministerio de Agricultura, Alimentación y Medio Ambiente. Esta aplicación se encuentra integrada en formato SIG, y es posible consultar los caudales máximos instantáneos en régimen natural asociados a distintos periodos de retorno. Aunque los caudales obtenidos por este método están sobredimensionados, ya que no contemplan el efecto de laminación de las presas, se considera apropiado su empleo para el nivel de detalle del presente Estudio Informativo, encontrándose, además, del lado de la seguridad.

En el resto de cuencas, de menor entidad, se ha empleado el método hidrometeorológico de la instrucción 5.2. IC, para el caso de cuencas de pequeño tamaño (con tiempo de concentración inferior a 6 horas), con las modificaciones expuestas por J.R. Témez en el XXIV Congreso Internacional de la IAHR.

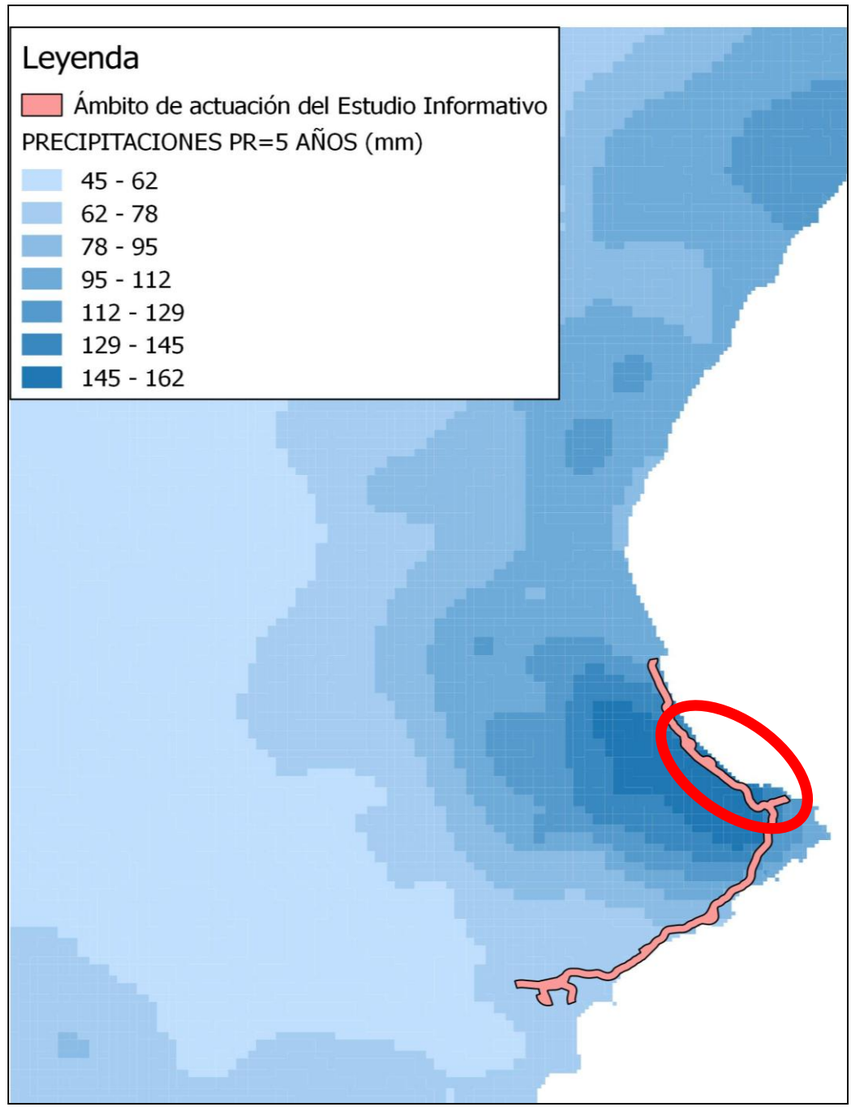
Por tanto, será necesario, para estas últimas cuencas, el cálculo de la precipitación de diseño que servirá para el posterior análisis de los caudales interceptados. Se calcula esta precipitación de proyecto a partir, del mapa de precipitaciones incluido en la aplicación CAUMAX, y que ha sido elaborado a partir del trabajo de Máximas Lluvias Diarias en la España Peninsular con resolución de 1000mx1000 m.

A continuación se incluyen unas figuras donde se refleja las precipitaciones caídas en la demarcación de la cuenca del Júcar, donde se desarrolla el presente Estudio Informativo.

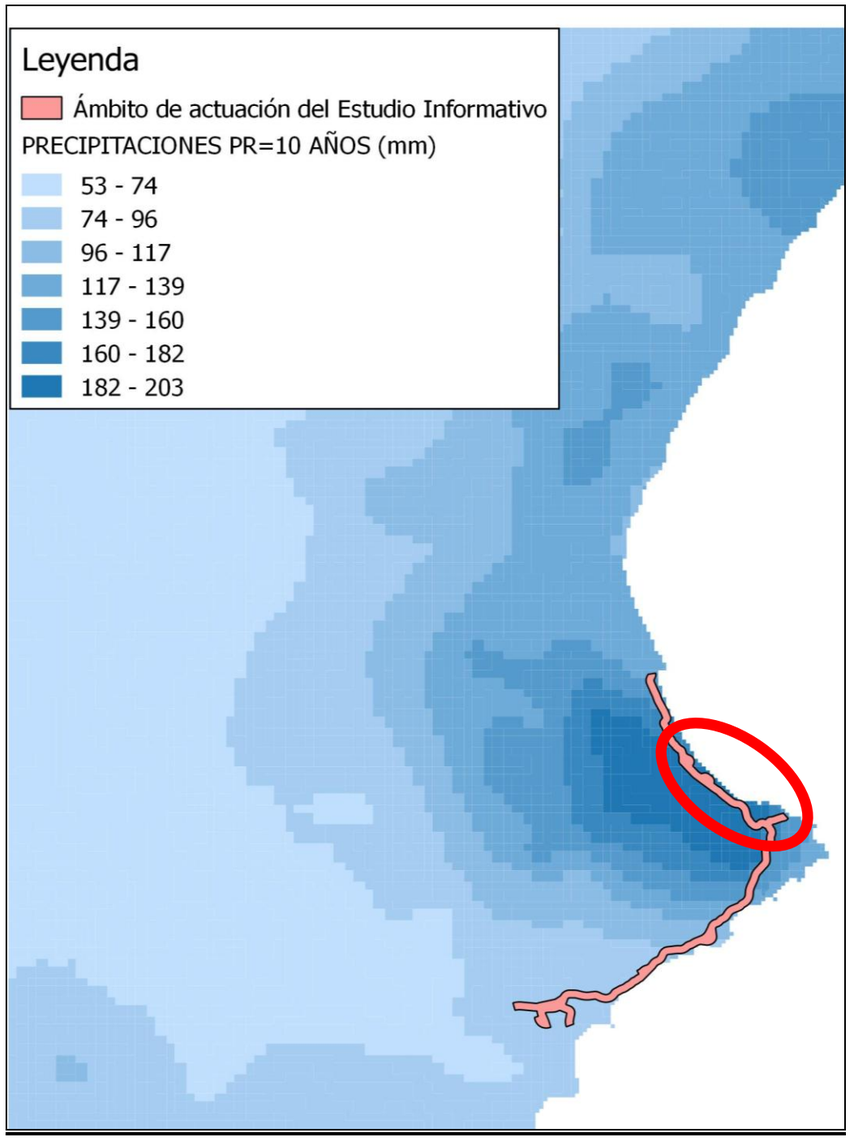
**PRECIPITACIONES MÁXIMAS EN 24h PARA UN PR= 2 AÑOS**



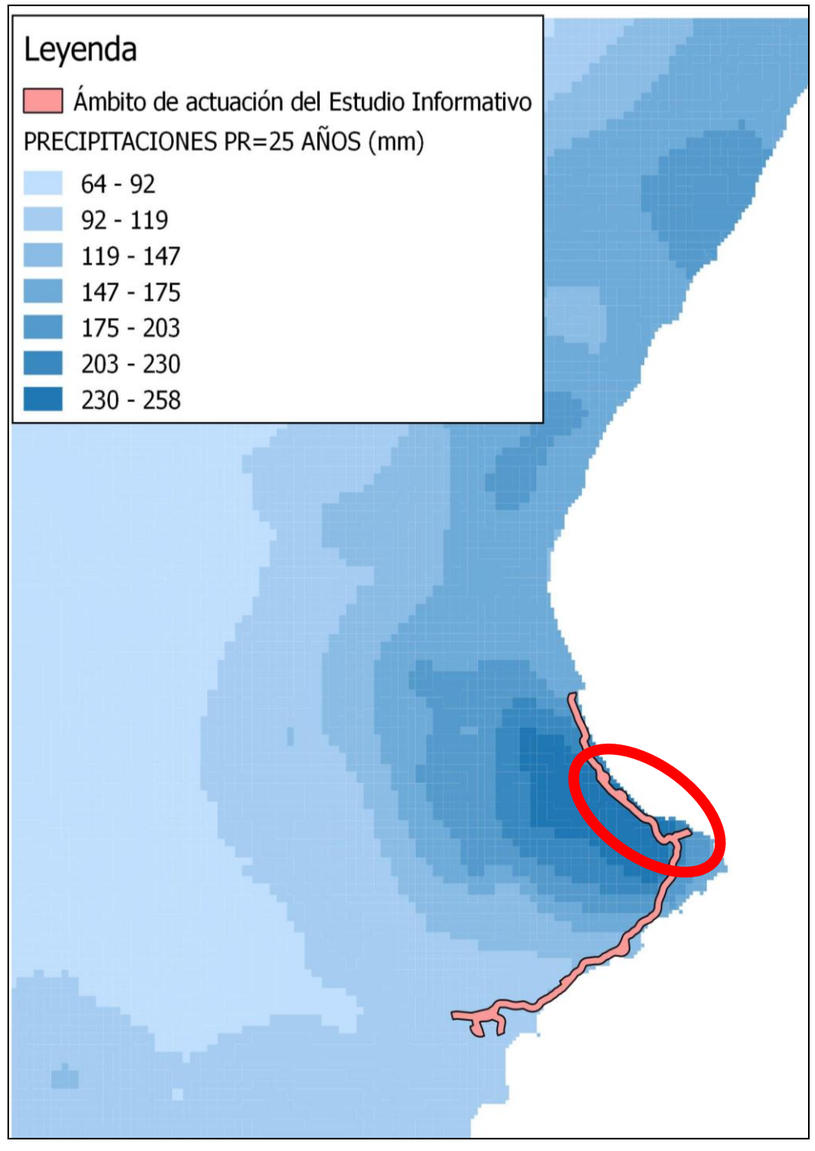

**PRECIPITACIONES MÁXIMAS EN 24h PARA UN PR= 5 AÑOS**



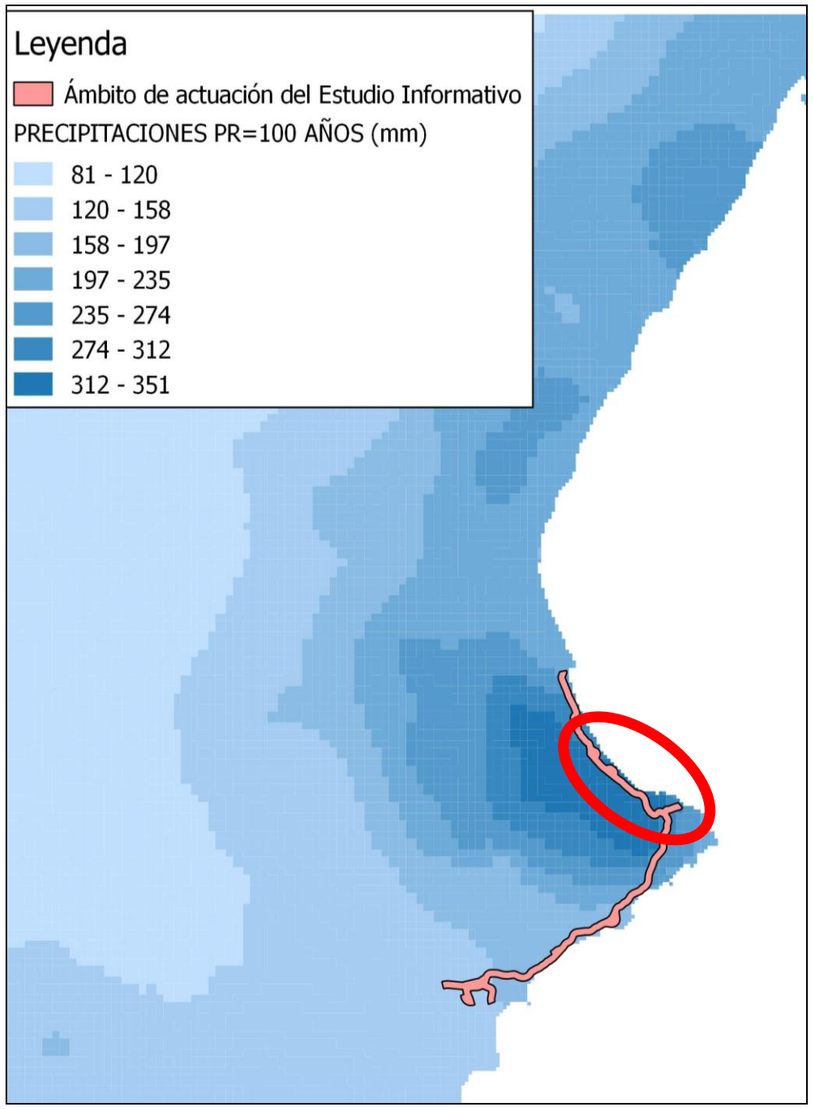
**PRECIPITACIONES MÁXIMAS EN 24h PARA UN PR= 10 AÑOS**



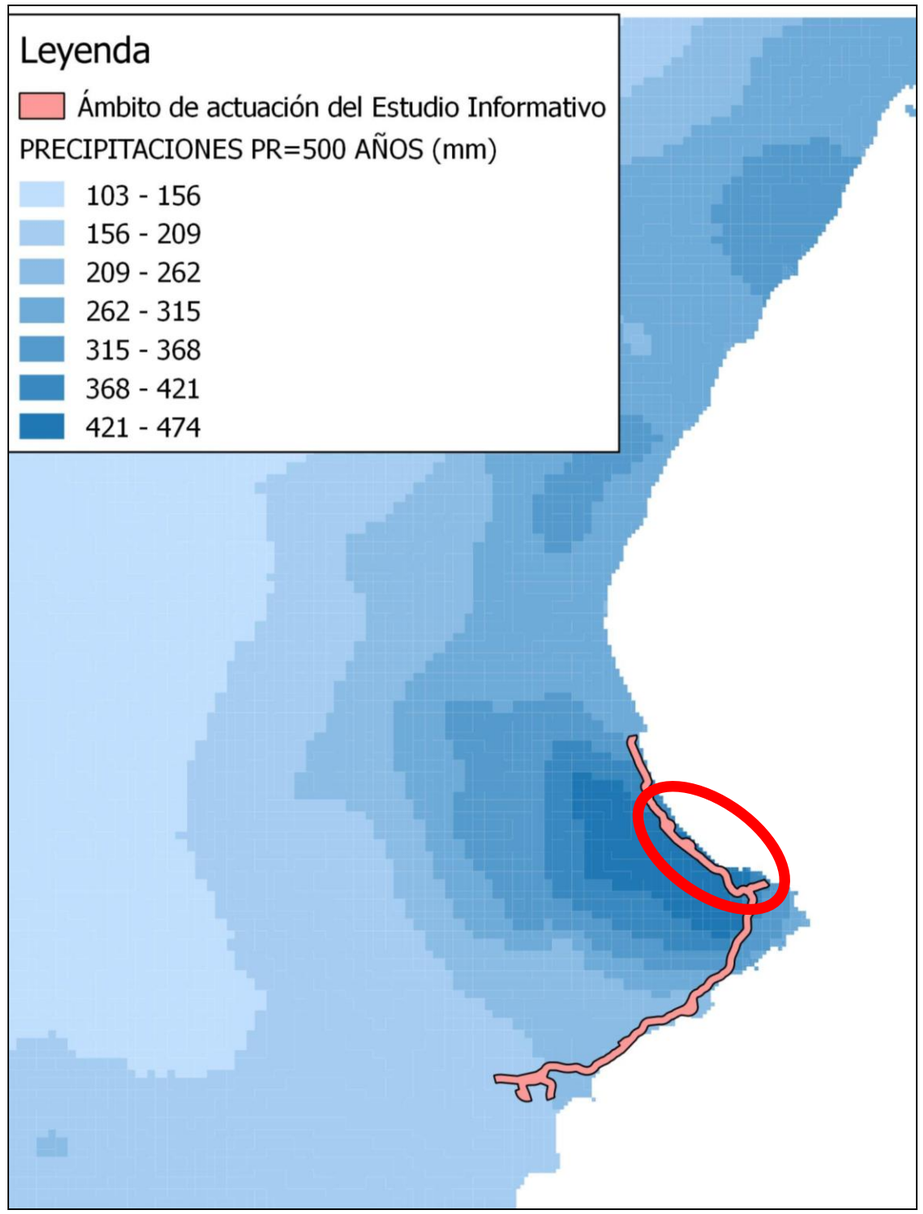

**PRECIPITACIONES MÁXIMAS EN 24h PARA UN PR= 25 AÑOS**



**PRECIPITACIONES MÁXIMAS EN 24h PARA UN PR= 100 AÑOS**




**PRECIPITACIONES MÁXIMAS EN 24h PARA UN PR= 500 AÑOS**



# 4.- CÁLCULO DE CAUDALES POR EL MÉTODO HIDROMETEOROLÓGICO

## 4.1.- Introducción.

Para el cálculo de los caudales de avenida que hay que desaguar, se empleará el método hidrometeorológico de la instrucción 5.2. IC, para el caso de cuencas de pequeño tamaño (con tiempo de concentración inferior a 6 horas), con las modificaciones expuestas por J.R. Témez en el XXIV Congreso Internacional de la IAHR.

## 4.2.- Períodos de retorno.

Para el cálculo de caudales es preciso considerar los valores de la precipitación máxima diaria en la zona y, como hemos visto, este valor depende del periodo de retorno considerado. Se hace necesario, en consecuencia, definir este valor antes de proceder a la evaluación de los caudales.

En el presente Estudio Informativo se atenderá a lo dispuesto en el DECRETO 201/2015, de 29 de octubre, del Consell, por el que se aprueba el Plan de acción territorial sobre prevención del riesgo de inundación en la Comunitat Valenciana. En concreto, en el artículo 21 del capítulo II del citado Decreto se establece lo siguiente:

*"Los periodos de retorno de diseño del drenaje transversal y de protección de las infraestructuras de todo tipo serán de:*

*a) 500 años en las infraestructuras estratégicas de alta vulnerabilidad, tales como carreteras de intensidad media diaria mayor de dos mil (2.000) vehículos/día, líneas de ferrocarril, grandes conducciones de abastecimiento, potabilizadoras, depuradoras, gaseoductos, líneas eléctricas que tengan una tensión nominal superior a 30 kV, subestaciones eléctricas, grandes depósitos de agua, de líquidos y gases inflamables o tóxicos y centrales de telecomunicaciones. Este nivel de protección podrá reducirse hasta un mínimo de 100 años"*

Por tanto, en el presente Estudio Informativo se procederá a realizar los cálculos correspondientes al drenaje transversal, predimensionando y realizando las comprobaciones pertinentes para 500 años.

Igualmente, en grandes cauces se adoptarán los valores procedentes de la aplicación CAUMAX y de la cartografía SNCZI, para el periodo de retorno mencionado de 500 años.

## 4.3.- Metodología de cálculo de caudales en cuencas reducidas.

Se sigue la Instrucción 5.2.-I.C. de Drenaje Superficial y la Generalización y mejora del método racional por J.R. Témez, expuesto en el XXIV Congreso Internacional de la IAHR, para todas aquellas cuencas con período de concentración inferior a las 6 horas.

Se adopta como caudal de diseño el que resulta de la fórmula:

$$Q = \frac{C \cdot A \cdot I}{3{,}6} \cdot K$$

Donde:

- C es el coeficiente de escorrentía
- I es la intensidad media de precipitación correspondiente a un período de retorno y a una lluvia de duración igual al período de concentración
- A es el área interceptada de la cuenca, en kilómetros cuadrados.
- K Coeficiente de uniformidad.

A continuación se definen y se calculan todos los parámetros, para el periodo de retorno considerado.

4.3.1.- Caracterización de cuencas interceptadas

En la delimitación de las cuencas, se ha partido de los metadatos y la información disponible en la página web de la Confederación Hidrográfica del Júcar, además de fotografías aéreas y la cartografía 1/50.000 para una primera aproximación a la delimitación de las cuencas.

Después, sobre cartografía 1:5.000, se ha comprobado que, en las proximidades de la traza de las diferentes alternativas, no se producen modificaciones importantes en la delimitación de las cuencas vertientes, delimitando las pequeñas vaguadas locales fijando los pp.kk. de corte del trazado con cada una de las vaguadas.

En el Apéndice 1 del presente Anejo se incluyen los planos correspondientes a la delimitación de las cuencas para las diferentes alternativas planteadas.

4.3.2.- Coeficiente de simultaneidad

Para tener en cuenta la no simultaneidad de los aguaceros máximos en toda la superficie de la cuenca, se aplicará a las precipitaciones un coeficiente según la expresión:

$$\begin{cases} P_d^* = P_d \cdot \left(1 - \dfrac{\log A}{15}\right) \Leftrightarrow A \geq 1 \ Km^2 \\ P_d^* = P_d \Leftrightarrow A < 1 \ Km^2 \end{cases}$$

Donde:

- $P^*_d$ Precipitación máxima diaria modificada correspondiente a un periodo de retorno T
- $P_d$ Precipitación máxima diaria.
- Log A Logaritmo decimal de la superficie de la cuenca ($km^2$)

4.3.3.- Aplicación de las precipitaciones a las cuencas identificadas

El cálculo de las precipitaciones máximas diarias aplicables a cada cuenca se obtiene a partir de los datos de precipitaciones incluidos en la aplicación CAUMAX, que han sido elaborados a partir del trabajo de Máximas Lluvias Diarias en la España Peninsular. Para el diseño del drenaje transversal, objeto del presente anejo, se procederá a la obtención de las precipitaciones a un periodo de retorno de 500 años.

Por medio de un herramienta informática que opera en un entorno de Sistema de Información Geográfica se intersectan los datos de precipitación mencionados anteriormente con las cuencas delimitadas, obteniendo las precipitaciones individualizadas en cada cuenca, con una resolución de 1000m x1000 m.

Posteriormente, se obtiene la precipitación máxima diaria con el promedio de los datos, de acuerdo a la siguiente expresión:

$$P = \frac{\sum_i P_i \cdot S_i}{\sum_i S_i}$$

Siendo $P_i$ la precipitación obtenida correspondiente a una superficie $S_i$.

En el Apéndice 2 se ha incluido la documentación gráfica de salida correspondiente a las precipitaciones de las cuencas en las diferentes alternativas, junto con las tablas que justifican las asignaciones de precipitaciones a cada cuenca.

A continuación se muestra un resumen con los resultados finales obtenidos para cada una de las alternativas:

| ALTERNATIVA 1A | |
|---|---|
| Ptotal 24 h.* | |
| Cuenca | T |
| | 500 |
| 5aA | 426,00 |
| 5aB | 428,00 |
| 5aC | 435,00 |
| 5aD | 425,00 |
| 5aE | 428,00 |
| 6aB | 428,00 |
| 7aA | 429,00 |
| 7aB | 429,00 |

| ALTERNATIVA 1B | |
|---|---|
| Ptotal 24 h.* | |
| Cuenca | T |
| | 500 |
| 5bA | 426,00 |
| 5bB | 435,00 |
| 5bC | 426,00 |
| 6bB | 427,00 |
| 7bA | 429,00 |

| ALTERNATIVA 2A | |
|---|---|
| Ptotal 24 h.* | |
| Cuenca | T |
| | 500 |
| 7aA | 433,00 |
| 7aB | 436,00 |
| 7aC | 436,00 |
| 7aD | 436,00 |
| 7aE | 436,00 |
| 7aF | 436,00 |
| 7aG | 436,00 |
| 7aH | 441,00 |
| 7aI | 433,00 |
| 7aJ | 448,00 |
| 7aK | 446,00 |
| 7aL | 454,00 |
| 7aM | 459,00 |
| 7aN | 462,00 |

| ALTERNATIVA 2B | |
|---|---|
| Ptotal 24 h.* | |
| Cuenca | T |
| | 500 |
| 7bA | 433,00 |
| 7bB | 437,00 |
| 7bC | 436,00 |
| 7bD | 436,00 |
| 7bE | 436,00 |
| 7bF | 436,00 |
| 7bG | 441,00 |
| 7bH | 433,00 |
| 7bI | 448,00 |
| 7bJ | 446,00 |
| 7bK | 454,00 |
| 7bL | 459,00 |
| 7bM | 462,00 |

| ALTERNATIVA 3C y ALTERNATIVA 3Cbis | |
|---|---|
| Ptotal 24 h.* | |
| Cuenca | T |
| | 500 |
| 8cA | 463,00 |
| 8cB | 463,00 |
| 8cC | 443,00 |
| 9cA | 456,00 |
| 9cB | 455,00 |
| 9cC | 448,00 |
| 9cD | 452,00 |
| 9cE | 427,00 |
| 9cF | 421,00 |
| 9cG | 397,00 |
| 9cH | 398,00 |
| 9cI | 397,00 |
| 9cJ | 397,00 |
| 9cM | 404,00 |
| 9cN | 391,00 |
| 9cO | 395,00 |
| 9cP | 392,00 |
| 9cQ | 391,00 |
| 9cR | 391,00 |

| ALTERNATIVA 3D | |
|---|---|
| Ptotal 24 h.* | |
| Cuenca | T |
| | 500 |
| 8dA | 463,00 |
| 8dB | 463,00 |
| 8dC | 443,00 |
| 9dA | 456,00 |
| 9dB | 455,00 |
| 9dC | 448,00 |
| 9dD | 452,00 |
| 9dE | 427,00 |
| 9dF | 421,00 |
| 9dG | 404,00 |
| 9dH | 399,00 |
| 9dI | 395,00 |
| 9dJ | 392,00 |
| 9dK | 391,00 |
| 9dL | 391,00 |
| 9dM | 391,00 |

4.3.4.- Cálculo de la intensidad media

Aplicando la fórmula de la instrucción del apartado 2.3. de la Instrucción, se obtiene el valor de "I" para el intervalo de duración igual al tiempo de concentración ($T_c$).

$$I = I_d * \left(\frac{I_1}{I_d}\right)^{\left[\left(28^{0.1} - t^{0.1}\right) / 0.4\right]}$$

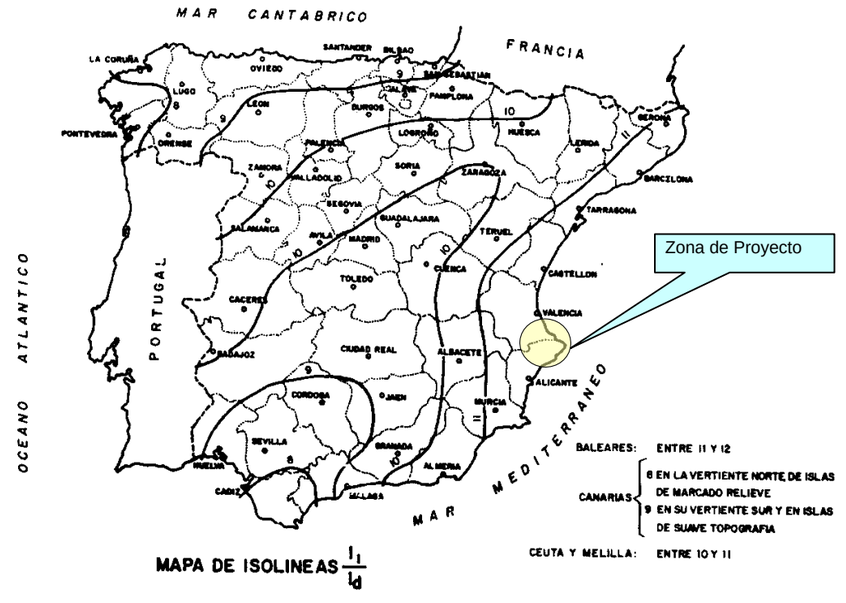
Donde:

Id es la intensidad media diaria ($P^*d/24$) en mm.

Tc es el tiempo de concentración en horas.

It es la intensidad de la lluvia de duración el tiempo de concentración.

$\frac{I_1}{I_d}$ se obtiene de la Instrucción 5.2.-I.C.,figura 2.2, resultando de valor de 11 para la zona de proyecto.




Para la obtención de la intensidad media de precipitación el método propuesto parte de unas hipótesis que simplifican el cálculo y que en cuencas de pequeño tamaño es habitual admitir:

- Simultaneidad de episodios lluviosos del mismo periodo de retorno en todos los puntos de la cuenca.
- Valor constante de la escorrentía a lo largo del intervalo de cálculo, $T_c$.

4.3.5.- Tiempo de concentración

El tiempo de concentración se obtiene, según recomienda la instrucción en su apartado 2,7., de aplicar la fórmula de Témez:

$$T = 0{,}3 * \left(\left(\frac{L}{J^{0{,}25}}\right)^{0{,}76}\right)$$

Donde:

- L es la longitud del cauce en km.
- J la pendiente media del mismo en m/m.

### 4.3.6.- Cálculo del coeficiente de escorrentía

La escorrentía superficial es el agua procedente de la lluvia que circula por la superficie y se concentra en los cauces. Representa, por tanto, el resto de lluvia que queda en la superficie después de ignorar los fenómenos de evaporación y evapotranspiración (puesto que se consideran despreciables durante el corto periodo que dura el aguacero) y de descontar el almacenamiento e infiltración a las capas inferiores.

La formulación propuesta en la Norma 5.2.-I.C. está basada en el método del índice de curva del U.S. Soil Conservation Service, que cuantifica las pérdidas de una cuenca en función de:

-Tipo de uso del suelo.

-Tipo de tratamiento agrícola.

-Condiciones hidráulicas del terreno.

-Antecedentes hidrológicos.

| USO DE LA TIERRA | PENDIENTE | CARACT. | GRUPO DEL SUELO | | | |
|---|---|---|---|---|---|---|
| | % | HIDRLÓGICA | A | B | C | D |
| | >=3 | R | 15 | 8 | 6 | 4 |
| Barbecho | | N | 17 | 11 | 8 | 6 |
| | <3 | R/N | 20 | 15 | 11 | 8 |
| | >=3 | R | 23 | 13 | 8 | 6 |
| Cultivos en hilera | | N | 25 | 16 | 11 | 8 |
| | <3 | R/N | 28 | 19 | 14 | 11 |
| | >=3 | R | 29 | 17 | 10 | 8 |
| Cereales de invierno | | N | 32 | 19 | 12 | 10 |
| | <3 | R/N | 34 | 21 | 14 | 12 |
| | >=3 | R | 26 | 15 | 9 | 6 |
| Rotación de cultivos pobres | | N | 28 | 17 | 11 | 8 |
| | <3 | R/N | 30 | 19 | 13 | 10 |
| | >=3 | R | 37 | 20 | 12 | 9 |
| Cereales de invierno | | N | 42 | 23 | 14 | 11 |
| | <3 | R/N | 47 | 25 | 16 | 13 |
| | | Pobre | 24 | 14 | 8 | 6 |
| | >=3 | Media | 53 | 23 | 14 | 9 |
| | | Buena | 70 | 33 | 18 | 13 |
| Praderas | | Muy buena | 80 | 41 | 22 | 15 |
| | | Pobre | 58 | 25 | 12 | 7 |
| | < 3 | Media | 80 | 35 | 17 | 10 |
| | | Buena | 120 | 55 | 22 | 14 |
| | | Muy buena | 250 | 100 | 25 | 16 |
| | | Pobre | 62 | 28 | 15 | 10 |
| | >=3 | Media | 80 | 34 | 19 | 14 |
| Plantaciones regulares de | | Buena | 100 | 42 | 22 | 15 |
| aprovechamiento forestal | | Pobre | 75 | 34 | 19 | 14 |
| | < 3 | Media | 95 | 42 | 22 | 15 |
| | | Buena | 150 | 80 | 25 | 16 |
| | | Muy clara | 40 | 17 | 8 | 5 |
| Masas forestales | | Clara | 60 | 24 | 14 | 10 |
| (bosques, monte bajo,etc..) | | Media | 75 | 34 | 22 | 16 |
| | | Espesa | 90 | 47 | 31 | 23 |
| | | Buena | 120 | 65 | 43 | 33 |
| Rocas permeables | >=3 | | | 3 | | |
| | < 3 | | | 5 | | |
| Rocas impermeables | >=3 | | | 2 | | |
| | < 3 | | | 4 | | |

Según la citada norma se calcula el coeficiente de escorrentía como

$$C = \frac{\left[P_d^{*} - P_o\right] \cdot \left[P_d^{*} + 23\right]}{\left[P_d^{*} + 11 \cdot P_o\right]^2}$$

Donde:

P*d Precipitación diaria de diseño, modificada según el coeficiente de simultaneidad.

Po es el umbral de escorrentía, que depende de cada cuenca y se obtiene de la tabla anterior. Este valor se debe corregir multiplicándose por el factor regional, que de acuerdo con el gráfico puede tener un valor de 3

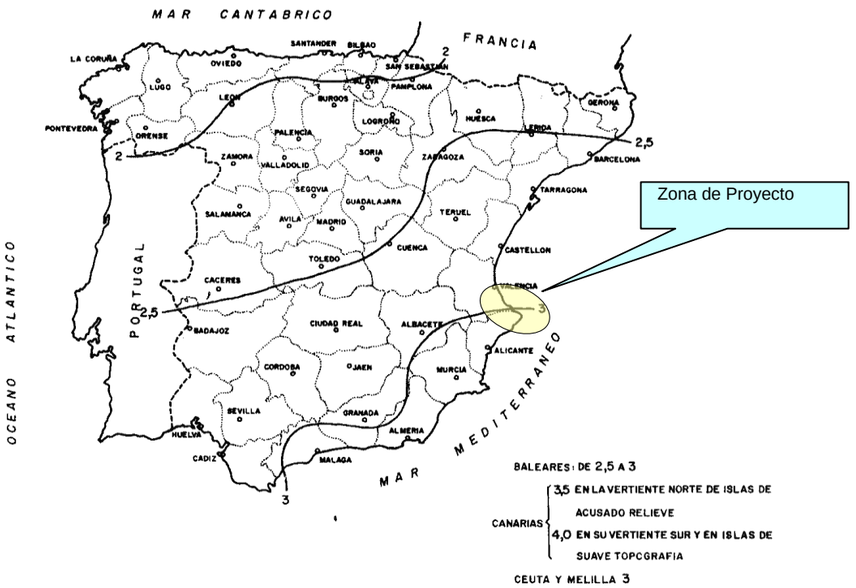



Gráfico de los factores de corrección regionales

El cálculo del umbral de escorrentía aplicable a cada cuenca se obtiene a partir de los datos incluidos en la aplicación CAUMAX, que han sido elaborados de los “Datos de perfiles de suelos y teledetección” (Ferrer, 2003), a partir del mapa de usos de suelo Corine Land Cover 2000 y datos de infiltración actualizados.

Por medio de un herramienta informática que opera en un entorno de Sistema de Información Geográfica se intersectan los datos del umbral de escorrentía mencionados anteriormente con las cuencas delimitadas. Posteriormente, se obtiene el umbral de escorrentía con el promedio de los datos, de acuerdo a la siguiente expresión:

$$P = \frac{\sum_i P_i \cdot S_i}{\sum_i S_i}$$

Siendo $P_i$ el umbral de escorrentía obtenido correspondiente a una superficie $S_i$.

En el Apéndice 3 se ha incluido la documentación gráfica de salida correspondiente al umbral de escorrentía de las cuencas en las diferentes alternativas, junto con las tablas que justifican las asignaciones del umbral a cada cuenca.

Se incluye en el Apéndice 4 el cálculo completo de los caudales para los tipos de terreno a considerar, empleando los parámetros obtenidos en apartados anteriores.

A continuación se incluyen unas tablas resumen con el coeficiente medio de escorrentía de cada cuenca, para cada una de las alternativas:

| ALTERNATIVA 1A | | | | |
|---|---|---|---|---|
| CUENCA | Cauce | P0 | P0* | COEFICIENTE DE ESCORRENTÍA PR 500 |
| 5aA | - | 17 | 51 | 0,62 |
| 5aB | - | 12 | 36 | 0,73 |
| 5aD | - | 3 | 9 | 0,96 |
| 5aE | - | 3 | 9 | 0,96 |
| 6aB | - | 19 | 57 | 0,58 |
| 7aA | - | 21 | 63 | 0,55 |
| 7aB | - | 12 | 36 | 0,73 |

| ALTERNATIVA 1B | | | | |
|---|---|---|---|---|
| CUENCA | Cauce | P0 | P0* | COEFICIENTE DE ESCORRENTÍA PR 500 |
| 5bA | - | 17 | 51 | 0,62 |
| 5bC | - | 19 | 57 | 0,58 |
| 6bB | - | 20 | 60 | 0,56 |
| 7bA | - | 18 | 54 | 0,60 |

| ALTERNATIVA 2A | | | | |
|---|---|---|---|---|
| CUENCA | Cauce | P0 | P0* | COEFICIENTE DE ESCORRENTÍA PR 500 |
| 7aA | - | 17 | 51 | 0,62 |
| 7aC | - | 20 | 60 | 0,57 |
| 7aD | - | 20 | 60 | 0,57 |
| 7aE | - | 26 | 78 | 0,48 |
| 7aF | - | 1 | 3 | 0,99 |
| 7aG | - | 1 | 3 | 0,99 |
| 7aH | Riuet Alfadid | 19 | 57 | 0,59 |
| 7aJ | Barranc Benirrama | 21 | 63 | 0,56 |
| 7aK | - | 18 | 54 | 0,61 |
| 7aL | - | 17 | 51 | 0,64 |
| 7aM | - | 12 | 36 | 0,75 |

| ALTERNATIVA 2B | | | | |
|---|---|---|---|---|
| CUENCA | Cauce | P0 | P0* | COEFICIENTE DE ESCORRENTÍA PR 500 |
| 7bA | - | 17 | 51 | 0,62 |
| 7bC | - | 21 | 63 | 0,55 |
| 7bD | - | 20 | 60 | 0,57 |
| 7bE | - | 25 | 75 | 0,49 |
| 7bF | - | 8 | 24 | 0,83 |
| 7bG | Riuet Alfadid | 19 | 57 | 0,59 |
| 7bI | Barranc Benirrama | 21 | 63 | 0,56 |
| 7bJ | - | 18 | 54 | 0,61 |
| 7bK | - | 17 | 51 | 0,64 |
| 7bL | - | 12 | 36 | 0,75 |

| ALTERNATIVA 3C | | | | |
|---|---|---|---|---|
| CUENCA | Cauce | P0 | P0* | COEFICIENTE DE ESCORRENTÍA PR 500 |
| 8cA | - | 6 | 18 | 0,89 |
| 8cB | - | 11 | 33 | 0,77 |
| 9cA | - | 22 | 66 | 0,55 |
| 9cC | - | 22 | 66 | 0,55 |
| 9cD | Barranc de la Llosa | 19 | 57 | 0,60 |
| 9cF | Barranc de las Albardaneres | 21 | 63 | 0,54 |
| 9cG | Barranc del Regacho | 17 | 51 | 0,59 |
| 9cH | - | 17 | 51 | 0,59 |
| 9cI | - | 26 | 78 | 0,44 |
| 9cJ | - | 14 | 42 | 0,66 |
| 9cM | - | 17 | 51 | 0,60 |
| 9cN | - | 17 | 51 | 0,59 |
| 9cO | - | 18 | 54 | 0,57 |
| 9cP | - | 20 | 60 | 0,53 |
| 9cQ | - | 19 | 57 | 0,55 |
| 9cR | - | 17 | 51 | 0,59 |

| ALTERNATIVA 3D | | | | |
|---|---|---|---|---|
| CUENCA | Cauce | P0 | P0* | COEFICIENTE DE ESCORRENTÍA PR 500 |
| 8dA | - | 6 | 18 | 0,89 |
| 8dB | - | 11 | 33 | 0,77 |
| 9dA | - | 22 | 66 | 0,55 |
| 9dC | - | 22 | 66 | 0,55 |
| 9dD | Barranc de la Llosa | 19 | 57 | 0,60 |
| 9dF | Barranc de las Albardaneres | 21 | 63 | 0,54 |
| 9dG | - | 17 | 51 | 0,60 |
| 9dH | Barranc del Regacho | 17 | 51 | 0,59 |
| 9dI | - | 18 | 54 | 0,57 |
| 9dJ | - | 20 | 60 | 0,53 |
| 9dK | - | 17 | 51 | 0,59 |
| 9dL | - | 19 | 57 | 0,55 |
| 9dM | - | 17 | 51 | 0,59 |

### 4.4.- Resultados del cálculo.

Los resultados de los cálculos de caudal, reflejados en el Apéndice 4 son los siguientes:

| ALTERNATIVA 1A | | |
|---|---|---|
| **N** | **Cauce** | **Q500 años** |
| 5aA | - | 165,13 |
| 5aB | - | 14,56 |
| 5aC | Rambla de Sant Nicolau | 692,00 |
| 5aD | - | 30,62 |
| 5aE | - | 52,10 |
| 6aA | Río Serpis | 3.878,00 |
| 6aB | - | 42,54 |
| 7aA | - | 38,36 |
| 7aB | - | 17,85 |

| ALTERNATIVA 1B | | |
|---|---|---|
| **N** | **Cauce** | **Q500 años** |
| 5bA | - | 165,16 |
| 5bB | Rambla de Sant Nicolau | 692,00 |
| 5bC | - | 36,82 |
| 6bA | Río Serpis | 3.878,00 |
| 6bB | - | 64,50 |
| 7bA | - | 32,22 |

| ALTERNATIVA 2A | | |
|---|---|---|
| **N** | **Cauce** | **Q500 años** |
| 7aA | - | 93,88 |
| 7aB | Barranquet de Palmera | 260,00 |
| 7aC | - | 40,30 |
| 7aD | - | 39,91 |
| 7aE | - | 84,04 |
| 7aF | - | 52,86 |
| 7aG | - | 22,10 |
| 7aH | Riuet Alfadid | 167,96 |
| 7aI | Rambla de Gallinera | 1.025,00 |
| 7aJ | Barranc Benirrama | 185,65 |
| 7aK | - | 455,62 |
| 7aL | - | 749,53 |
| 7aM | - | 219,33 |
| 7aN | Barranc de Les Portelles | 157,00 |

| ALTERNATIVA 2B | | |
|---|---|---|
| **N** | **Cauce** | **Q500 años** |
| 7bA | - | 93,88 |
| 7bB | Barranquet de Palmera | 260,00 |
| 7bC | - | 39,17 |
| 7bD | - | 38,13 |
| 7bE | - | 89,40 |
| 7bF | - | 90,22 |
| 7bG | Riuet Alfadid | 170,19 |
| 7bH | Rambla de Gallinera | 1.025,00 |
| 7bI | Barranc Benirrama | 185,65 |
| 7bJ | - | 455,62 |
| 7bK | - | 749,53 |
| 7bL | - | 219,33 |
| 7bM | Barranc de Les Portelles | 157,00 |

| ALTERNATIVA 3C | | |
|---|---|---|
| **N** | **Cauce** | **Q500 años** |
| 8cA | - | 63,67 |
| 8cB | - | 178,15 |
| 8cC | Río Girona | 1.464,00 |
| 9cA | - | 25,28 |
| 9cB | Barranc de l'Alberca | 494,00 |
| 9cC | - | 21,50 |
| 9cD | Barranc de la Llosa | 244,91 |
| 9cE | Barranc de la Fusta | 405,00 |
| 9cF | Barranc de las Albardaneres | 66,86 |
| 9cG | Barranc del Regacho | 84,60 |
| 9cH | - | 44,80 |
| 9cI | - | 36,58 |
| 9cJ | - | 55,64 |
| 9cM | - | 35,58 |
| 9cN | - | 11,38 |
| 9cO | - | 23,31 |
| 9cP | - | 16,64 |
| 9cQ | - | 16,21 |
| 9cR | - | 31,69 |

| ALTERNATIVA 3D | | |
|---|---|---|
| **N** | **Cauce** | **Q500 años** |
| 8dA | - | 63,67 |
| 8dB | - | 178,15 |
| 8dC | Río Girona | 1.464,00 |
| 9dA | - | 25,28 |
| 9dB | Barranc de l'Alberca | 494,00 |
| 9dC | - | 21,50 |
| 9dD | Barranc de la Llosa | 244,91 |
| 9dE | Barranc de la Fusta | 405,00 |
| 9dF | Barranc de las Albardaneres | 69,55 |
| 9dG | - | 35,58 |
| 9dH | Barranc del Regacho | 88,79 |
| 9dI | - | 23,31 |
| 9dJ | - | 16,64 |
| 9dK | - | 11,38 |
| 9dL | - | 16,21 |
| 9dM | - | 31,69 |

## 5.- DRENAJE TRANSVERSAL

### 5.1.- Introducción.

El objeto principal del drenaje transversal es el de restituir la continuidad de la red de drenaje natural del terreno, permitiendo su paso bajo el ferrocarril de tal forma que no se provoquen inundaciones, sobre-elevaciones de la lámina de agua, etc.

Estas obras también se aprovechan para desaguar el drenaje de la plataforma y sus márgenes. En algún caso, al estar estas obras muy separadas es necesario disponer de obras de drenaje transversal exclusivamente para ese desagüe.

Las obras de drenaje transversal deberán perturbar en lo menos posible la circulación del agua por el cauce natural, intentando adaptar su perfil al del cauce original, evitando cambios bruscos en su trazado en planta que pudieran provocar erosiones y sedimentaciones no deseadas, etc.

### 5.2.- Criterios de diseño. Soluciones adoptadas.

5.2.1.- Criterios y condiciones de diseño

Para el diseño de las obras de drenaje transversal se han seguido los criterios establecidos en la Instrucción 5.2 IC “Drenaje superficial” y en el DECRETO 201/2015, de 29 de octubre, del Consell, por el que se aprueba el Plan de acción territorial sobre prevención del riesgo de inundación en la Comunitat Valenciana.

A continuación se resumen los criterios de diseño que se han seguido y los condicionantes impuestos.

a) Tamaño mínimo. Las dimensiones mínimas de los conductos se fija con carácter general en un marco de 2,00x2,00 m, cumpliendo de esta manera lo dispuesto en el punto 4 del artículo 21 del DECRETO 201/2015 por el que se establece que *“los drenajes transversales de las infraestructuras lineales, con el fin de evitar su obstrucción, tendrán una dimensión mínima libre de obstáculos de un metro (1m). En los casos en que parte de la sección libre del drenaje se encontrara por debajo del nivel del terreno circundante, la superficie transversal de la sección libre del mismo será de un metro y medio cuadrados (1,5 m²)”.*

b) Fugas laterales. Deben tenerse en cuenta los posibles escapes de agua hacia las cuencas vecinas, favorecidos por el suave relieve de las divisorias topográficas o por la disposición de las trincheras y cunetas de la propia vía.

En general se deben evitar esas fugas con la avenida de 500 años limitando la máxima altura de agua tolerable y predimensionando consecuentemente los conductos de desagüe. En casos singulares se pueden adoptar medidas constructivas para evitar los escapes o bien tolerar los trasvases contemplando un reparto de caudales entre cuencas acorde con esa realidad y los posibles efectos negativos asociados a esa alteración del régimen natural.

c) Desagües moderados. Aún cuando tanto los daños a terceros como los daños a la vía y las cotas de desbordamiento permitan grandes alturas de lámina aguas arriba, éstas deben evitarse en la medida de lo posible a fin de reducir los riesgos de erosiones a la salida de los conductos y de obstrucciones en la entrada de los mismos, así como no alterar los regímenes naturales y evitar grandes contactos del terraplén de la vía con el agua.

Por ello se recomienda disponer un ancho de conducto no inferior al del cauce principal cuando éste sea inciso y bien definido y

procurar que la avenida de 500 años de período de retorno desagüe por los conductos en régimen libre sin presiones de forma que los caudales unitarios por metro de ancho no excedan los 3 $m^2/s$ en los cauces difusos de gran ancho ni los 6 $m^2/s$ en los cauces incisos bien definidos, salvo que ya el funcionamiento natural del curso de agua en la situación previa a la construcción de la vía determine lo contrario. Resumiendo:

- Cauces difusos: q<3 m3/s
- Cauces bien definidos: q<6 m3/s

5.2.2.- Capacidad de las pequeñas obras de drenaje transversal

Según la Instrucción 5.2. I.C. en el cálculo de la sobre-elevación del nivel del agua se pueden diferenciar dos casos:

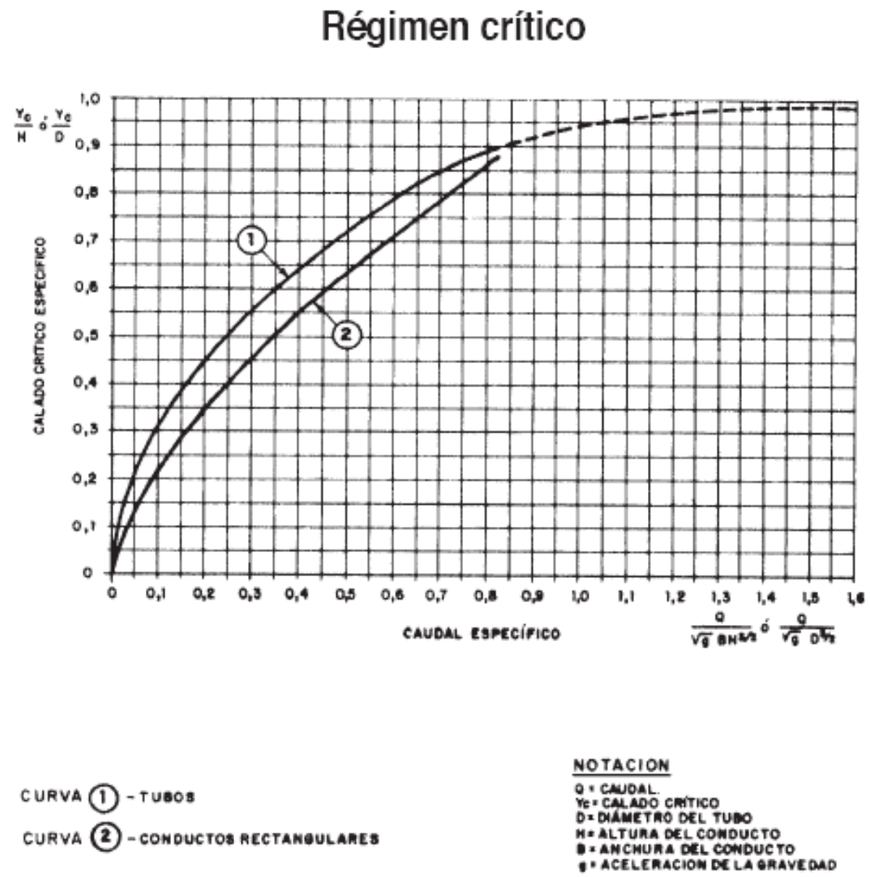
- Control de entrada
- Control de salida

Para el primer caso la sección determinante es la de aguas arriba y, por tanto, no influyen en el cálculo ningún valor de la obra de drenaje, excepto las dimensiones de la sección aguas arriba. Para determinar si una obra de drenaje tiene el control a la entrada la instrucción facilita diversas tablas en función de la pendiente de la obra de drenaje, material, embocadura, etc.

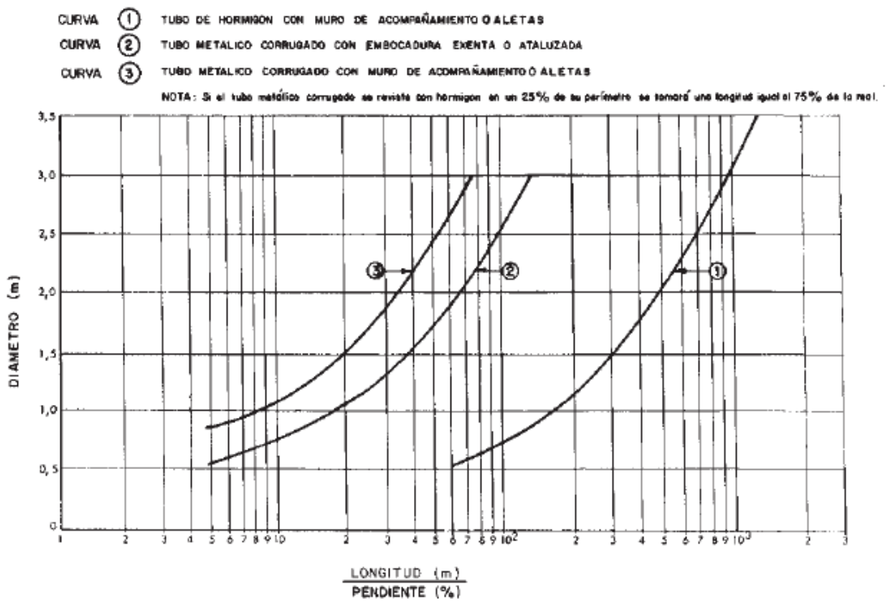
Las condiciones que debe cumplir la obra para tener control de entrada son las siguientes:

El conducto es recto, y su sección y pendiente son constantes.

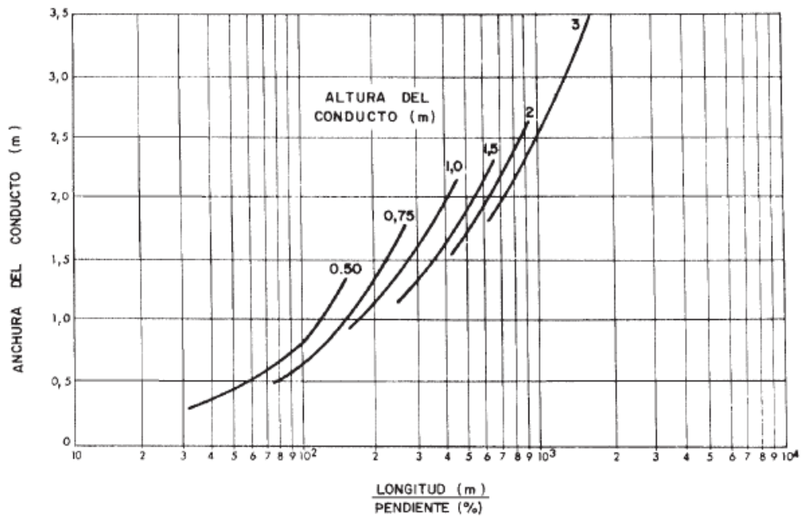
La diferencia del nivel del agua en el cauce a la salida del conducto con la cota de la solera en ésta es inferior, tanto a la altura como al calado crítico en él, calculado según la figura siguiente (Fig. 5.11 Instrucción 5.2 IC:



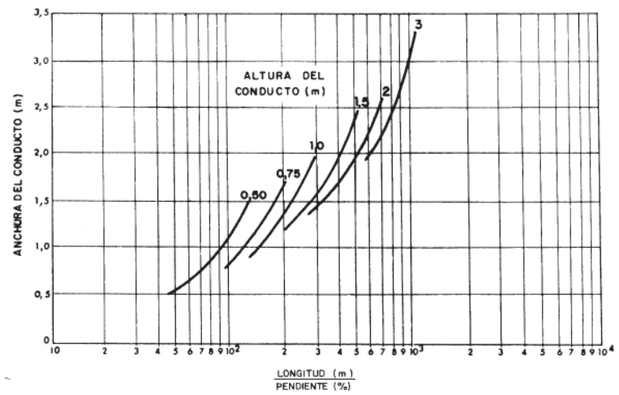

La relación ente la longitud L y la pendiente J del conducto es inferior a la indicada en las figuras a continuación (Fig. 5.12 a 5.14 de la instrucción 5.2 IC), en función de la tipología de obra de drenaje.




**Límite de la razón longitud/pendiente para control de entrada en conductos rectangulares con aletas a menos de 30º con el eje del conducto**

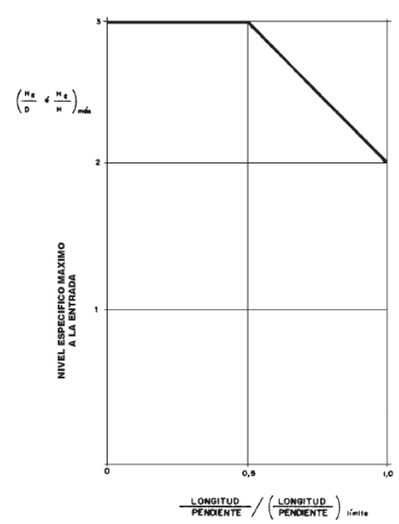



**Límite de la razón longitud/pendiente para control de entrada en conductos rectangulares con muro de acompañamiento o con aletas a más de 30º en el eje del conducto**

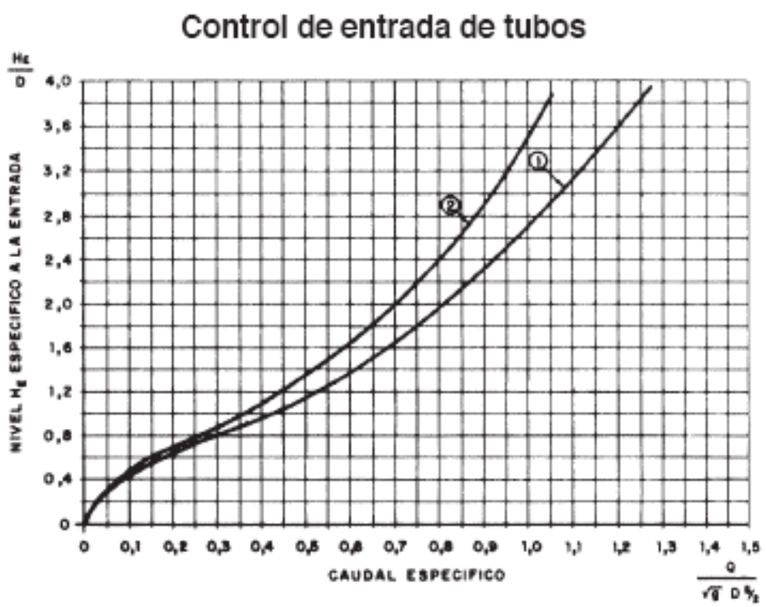


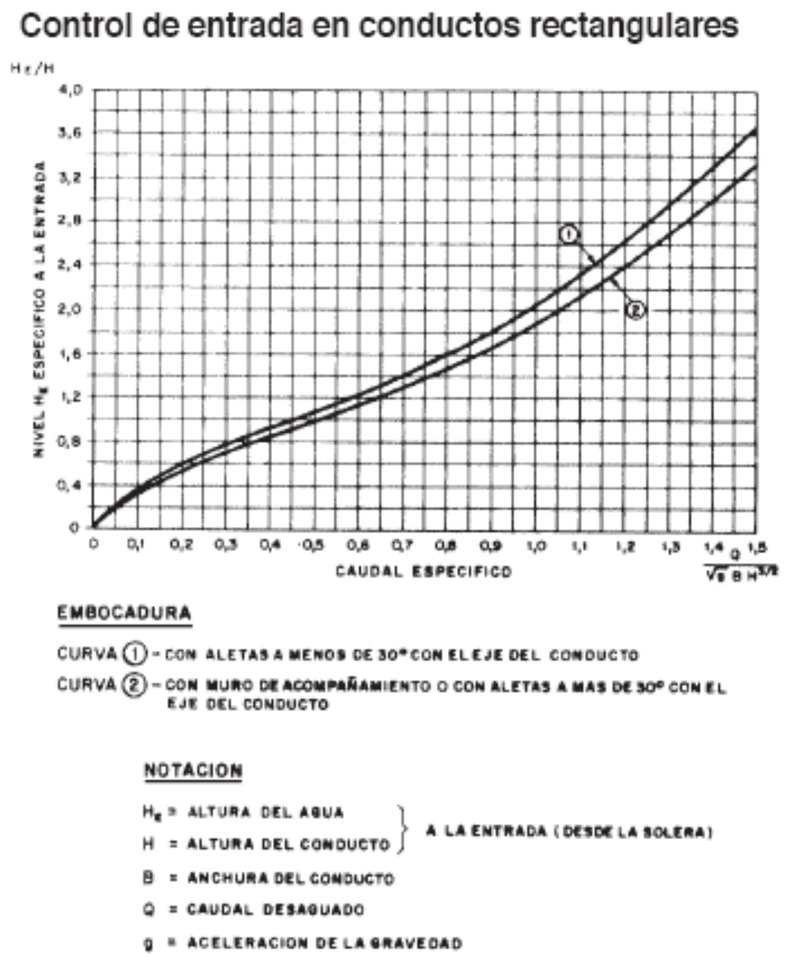

El nivel del agua a la entrada del conducto, resultante de los cálculos, no rebasa el señalado en la figura 5.15 de la Instrucción 5.2. I.C, que indicamos a continuación:

**Nivel máximo $H_E$ a la entrada para control de entrada**



Una vez comprobados todos estos condicionantes se obtiene el nivel específico a la entrada según las siguientes figuras, en función de la tipología de la obra de drenaje transversal.




Si no se cumpliera algunas de las condiciones, será preciso calcular la altura a la entrada mediante la fórmula siguiente dada por la Instrucción 5.2 I.C.:

$$H_S = \left[1 + K_E + \frac{2 * g * L * n^2}{R^{4/3}}\right] \times \frac{V^2}{2 * g} - L * J + \mu$$

Siendo:

- L: la longitud del conducto
- J: la pendiente del conducto
- V: la velocidad media (a sección llena)
- R: el radio hidráulico (sección /perímetro) a sección llena
- g: la aceleración de la gravedad (9,8 m/s$^2$)
- n: el coeficiente de rugosidad de manning (n= 0,018 para hormigón y n=0,025 para acero corrugado)
- KE: el coeficiente de pérdida de carga en la embocadura, dado por la tabla 5.2 de la citada Instrucción de drenaje.
- μ: el mayor de los siguientes valores:
  - La diferencia del nivel del agua en el cauce a la salida del conducto, con la cota de la solera en ésta.
  - La semisuma del calado crítico yc del conducto y su altura H. Si yc resulta mayor que H se tomará igual a H.

Con las dimensiones obtenidas, se procederá a comprobar el predimensionamiento de las obras de drenaje transversal para un periodo de retorno de 500 años.

Todos los cálculos necesarios se incluyen en el Apéndice 6 del presente anejo.

### 5.2.3.- Asignación de caudales a las obras de drenaje

La configuración del drenaje implica la aportación de caudales a través de las bajantes, cunetas de plataforma y de guarda a las obras de drenaje.

En el Apéndice 5 se indica la solución adoptada para el drenaje transversal de las cuencas, en cada una de las diferentes alternativas, así como las aportaciones de caudales a cada obra de drenaje identificada en la traza, incluyendo los trasvases entre cuencas.

### 5.3.- Resumen de resultados.

A continuación se incluyen unas tablas resumen con las soluciones adoptadas para el drenaje transversal de las diferentes alternativas:

| ALTERNATIVA 1A | | | |
|---|---|---|---|
| **CUENCA** | **SUBCUENCA** | **PK CORTE** | **SOLUCION PROYECTADA** |
| 5a | A | 0+240 | Duplicación del viaducto existente en la vía actual |
| 5a | B | 1+250 | ODT 1+250 (MARCO 3X2) |
| 5a | C | 1+500 | Duplicación del viaducto existente en la vía actual |
| 5a | E | 2+670 | TRAMO SUBTERRÁNEO |
| 6a | A | 3+240 | VIADUCTO |
| 6a | B | 4+240 | TRAMO SUBTERRÁNEO |
| | | 4+360 | Encauzamiento por MD hasta cruzar la traza en el PK 4+290 |
| 7a | A | 4+640 | ODT 4+640 (2 MARCOS 4X2) |
| 7a | B | 5+600 | ODT 5+600 (MARCO 4X2) |

| ALTERNATIVA 1B | | | |
|---|---|---|---|
| **CUENCA** | **SUBCUENCA** | **PK CORTE** | **SOLUCION PROYECTADA** |
| 5b | A | 0+240 | Duplicación del viaducto existente en la vía actual |
| 5b | B | 1+460 | VIADUCTO |
| 5b | C | 1+800 | ODT 1+800 (3 MARCOS 4X2) |
| 6b | A | 2+685 | VIADUCTO |
| 6b | B | 3+800 | ODT 3+800 (2 MARCOS 3X2) |
| | | 5+020 | ODT 5+020 (1 MARCO 4X2) |
| | | 5+120 | ODT 5+120 (1 MARCO 4X2) |
| 7b | C | 6+200 | ODT 6+200 (2 MARCOS 3X2) |

| ALTERNATIVA 2A | | | |
|---|---|---|---|
| **CUENCA** | **SUBCUENCA** | **PK CORTE** | **SOLUCION PROYECTADA** |
| 7a | A | 0+380 | VIADUCTO |
| 7a | B | 1+320 | VIADUCTO |
| 7a | C | 1+900 | ODT 1+900 (2 MARCOS 4X2) |
| 7a | D | 3+000 | ODT 3+000 (2 MARCOS 4X2) |
| 7a | E | 3+750 | TRAMO SUBTERRÁNEO |
| 7a | F | 4+600 | TRAMO SUBTERRÁNEO |
| 7a | G | 5+140 | TRAMO SUBTERRÁNEO |
| 7a | H | 5+830 | Nuevo encauzamiento hasta el PK 5+485 |
| 7a | I | 7+640 | VIADUCTO |
| 7a | J | 9+000 | VIADUCTO |
| 7a | K | 9+250 | VIADUCTO |
| | | 10+120 | ODT 10+120 (MARCO 4X2) |
| | | 10+530 | ODT 10+530 (MARCO 4X2) |
| | | 11+040 | ODT 11+040 (MARCO 4X2) |

| ALTERNATIVA 2A | | | |
|---|---|---|---|
| **CUENCA** | **SUBCUENCA** | **PK CORTE** | **SOLUCION PROYECTADA** |
| | | 11+350 | ODT 11+350 (MARCO 4X2) |
| | | 11+975 | ODT 11+975 (MARCO 4X2) |
| 7a | L | 12+040 | ODT 12+040 (2 MARCOS 4X2) |
| | | 12+520 | ODT 12+520 (2 MARCOS 4X2) |
| | | 13+120 | VIADUCTO |
| | | 13+190 | VIADUCTO |
| | | 13+860 | ODT 13+860 (2 MARCOS 4X2) |
| | | 14+150 | ODT 14+150 (2 MARCOS 4X2) |
| | | 14+280 | VIADUCTO |
| 7a | M | 14+470 | ODT 14+470 (2 MARCOS 4X2) |
| | | 14+520 | VIADUCTO |
| | | 15+110 | ODT 15+110 (2 MARCOS 4X2) |
| | | 15+870 | ODT 15+870 (2 MARCOS 4X2) |
| 7a | N | 17+640 | VIADUCTO |
| 8 (tramo3) | A | 18+530 | ODT 18+530 (3 MARCOS 4X2) |

| ALTERNATIVA 2B | | | |
|---|---|---|---|
| **CUENCA** | **SUBCUENCA** | **PK CORTE** | **SOLUCION PROYECTADA** |
| 7b | A | 0+380 | VIADUCTO |
| 7b | B | 1+320 | VIADUCTO |
| 7b | C | 1+900 | ODT 1+900 (2 MARCOS 4X2) |
| 7b | D | 3+100 | ODT 3+100 (2 MARCOS 4X2) |
| 7b | E | 4+170 | ODT 4+170 (2 MARCOS 4X2) |
| | | 4+470 | ODT 4+470 (2 MARCOS 4X2) |
| 7b | F | 4+900 | ODT 4+900 (2 MARCOS 4X2) |
| | | 5+455 | ODT 5+455 (2 MARCOS 4X2) |
| 7b | G | 6+820 | VIADUCTO |
| 7b | H | 8+558 | VIADUCTO |
| 7b | I | 9+918 | VIADUCTO |
| 7b | J | 10+168 | VIADUCTO |
| | | 11+038 | ODT 11+038 (MARCO 4X2) |
| | | 11+448 | ODT 11+448 (MARCO 4X2) |
| | | 11+958 | ODT 11+958 (MARCO 4X2) |
| | | 12+268 | ODT 12+268 (MARCO 4X2) |
| | | 12+893 | ODT 12+893 (MARCO 4X2) |
| 7b | K | 12+958 | ODT 12+958 (2 MARCOS 4X2) |
| | | 13+438 | ODT 13+438 (2 MARCOS 4X2) |
| | | 14+038 | VIADUCTO |
| | | 14+108 | VIADUCTO |
| | | 14+778 | ODT 14+778 (2 MARCOS 4X2) |
| | | 15+068 | ODT 15+068 (2 MARCOS 4X2) |
| | | 15+198 | VIADUCTO |
| 7b | L | 15+388 | ODT 15+388 (2 MARCOS 4X2) |
| | | 15+438 | VIADUCTO |
| | | 16+028 | ODT 16+028 (2 MARCOS 4X2) |
| | | 16+788 | ODT 16+788 (2 MARCOS 4X2) |
| 7b | M | 18+558 | VIADUCTO |
| 8 (tramo3) | A | 19+448 | ODT 19+448 (3 MARCOS 4X2) |

| ALTERNATIVA 3C y 3Cbis | | | |
|---|---|---|---|
| **CUENCA** | **SUBCUENCA** | **PK CORTE** | **SOLUCION PROYECTADA** |
| 8c | A | TRAMO ANTERIOR | Cruza en el final del tramo anterior |
| 8c | B | 0+720 Valencia-Denia | VIADUCTO |
| 8c | C | 1+750 Valencia-Denia | VIADUCTO |
| 9c | A | 2+650 Valencia-Denia | ODT VAL-DENIA 2+650 (2 MARCOS 3X2) |
| 9c | B | 2+865 Valencia-Denia | VIADUCTO |
| 9c | C | 3+250 Valencia-Denia | ODT VAL-DENIA 3+250 (1 MARCO 4X2) |
| 9c | D | 3+880 Valencia-Denia | VIADUCTO |
| 9c | E | 5+620 Valencia-Denia | VIADUCTO |
| | | 6+200 Valencia-Denia | ODT VAL-DENIA 6+200 (1 MARCO 2X2) |
| 9c | F | 6+500 Valencia-Denia | ODT VAL-DENIA 6+500 (3 MARCOS 4X2,5) + encauzamiento en MI hasta PK 6+240 |
| 9c | G | 7+700 Valencia-Denia | Encauzamiento en MI Ramal Denia-Alicante desde PK 0+630 hasta PK 0+215 y VIADUCTO en ramal Valencia-Denia (7+700) y en el ramal Denia-Alicante (0+215) |
| | | 7+950 Valencia-Denia | ODT VAL-DENIA 7+950 (1 MARCO 3X2) |
| 9c | H | 9+240 Valencia-Denia | ODT VAL-DENIA 9+240 (2 MARCOS 4X2) |
| 9c | I | 9+815 Valencia-Denia | ODT VAL-DENIA 9+815 (2 MARCOS 4X2) |
| 9c | J | 10+900 Valencia-Denia | ODT VAL-DENIA 10+900 (3 MARCOS 4X2) |
| 9c | M | 1+780 Denia-Alicante | ODT DENIA-ALI 1+780 (2 MARCOS 4X2) |
| 9c | N | 2+575 Denia-Alicante | ODT DENIA-ALI 2+575 (2 MARCOS 3X2) |
| 9c | Q | 2+730 Denia-Alicante | ODT DENIA-ALI 2+730 (1 MARCO 3X2) |
| 9c | R | 3+800 Denia-Alicante | VIADUCTO |

| ALTERNATIVA 3D | | | |
|---|---|---|---|
| **CUENCA** | **SUBCUENCA** | **PK CORTE** | **SOLUCION PROYECTADA** |
| 8d | A | TRAMO ANTERIOR | Cruza en el final del tramo anterior |
| 8d | B | 0+720 | VIADUCTO |
| 8d | C | 1+750 | VIADUCTO |
| 9d | A | 2+650 | ODT 2+650 (2 MARCOS 3X2) |
| 9d | B | 2+865 | VIADUCTO |
| 9d | C | 3+250 | ODT 3+250 (1 MARCO 4X2) |
| 9d | D | 3+880 | VIADUCTO |
| 9d | E | 5+580 | VIADUCTO |
| | | 6+170 | ODT 6+170 (1 MARCO 2X2) |
| 9d | F | 6+370 | ODT 6+370 (3 MARCOS 4X2,5)+encauzamiento en MI hasta PK 6+200 |
| 9d | G | 8+670 | ODT 8+670 (2 MARCOS 4X2) |
| 9d | H | 2+000 ramal | VIADUCTO |
| 9d | K | 9+525 | ODT 9+525 (2 MARCOS 3X2) |
| 9d | L | 9+675 | ODT 9+675 (1 MARCO 3X2) |
| 9d | M | 10+745 | VIADUCTO |

## 6.- DRENAJE DE CAUCES PRINCIPALES

### 6.1.- Introducción.

Cuando el curso de agua que intercepta la traza tiene una importancia considerable, tanto por el caudal que lleva como por la topografía, el trazado discurre en obras singulares con luces mayores (puentes, viaductos, etc.) sobre el mismo.

Es por ello que se justifica la necesidad de elaborar un estudio de inundación sobre las mismas, dado que este hecho va a condicionar el diseño de la rasante así como las dimensiones necesarias para la estructura.

En las estructuras sobre cauces importantes, se dimensionará siempre para 500 años manteniendo un resguardo mínimo de 1,00 m bajo el intradós, y se estudiará, mediante simulación hidráulica, la sobreelevación, antes y después de construida la obra, a fin de comprobar que satisface las condiciones exigidas por la Confederación Hidrográfica del Júcar y de la Norma 5.2-IC.

A tal fin, será necesario realizar un estudio mediante la modelización del cauce, de forma que emule lo más exactamente posible el comportamiento natural del mismo. Para ello se empleará el programa de simulación HEC-RAS.

Los resultados de estos cálculos permiten determinar la influencia de las obras proyectadas en la capacidad hidráulica de los cauces, así como el posible incremento de las afecciones en avenidas. De igual forma permite diseñar las medidas de protección de aquellas partes de la obra que puedan verse afectadas por las referidas avenidas.

Este apartado tendrá los siguientes objetivos:

1. Plantear los cálculos hidráulicos encaminados a establecer la validez de las estructuras proyectadas en el ámbito de los cauces de entidad identificados en la traza del proyecto.
2. Estudiar las áreas inundables y el efecto presa para un periodo de retorno de 500 años.

En el presente proyecto la traza intercepta una serie de cauces que requieren la construcción de grandes obras de fábrica, como ampliación de las ya existentes, y que no generarán nuevas afecciones significativas sobre los mismos, como sucede por ejemplo en las alternativas 0A y 0B, en el cruce con el río Júcar.

Como se ha indicado, en el caso de que se trate de ampliaciones de las obras de fábrica existentes y que su sección sea una proyección y prolongación de la sección existente aguas arriba y/o aguas abajo, se considera que las afecciones hidráulicas no serán significativas, y las nuevas ocupaciones serán del mismo orden que las estructuras existentes. Por tanto, en todos estos casos, dado el alcance del presente Estudio Informativo, se considera que no es necesario su estudio detallado.

Por tanto, se ha procedido al estudio de la inundación de los cauces más relevantes en cada una de las alternativas estudiadas. Todos estos cauces cuentan con información relativa a la Cartografía del Sistema Nacional de Zonas Inundables (SNCZI), que ha servido de base para llevar a cabo el estudio de las áreas inundables.

En concreto, los cauces estudiados son los siguientes:

- Río Serpis (Alternativas 1A y 1B)

- Rambla de Gallinera (Alternativas 2A y 2B)
- Río Girona (Alternativas 3C, 3Cbis y 3D)

### 6.2.- Cálculo de caudales.

En este apartado se indican los caudales necesarios para realizar los siguientes cálculos hidráulicos:

- Sobreelevación de la lámina de agua: Caudal para 500 años ($Q_{500}$)

Al respecto, se ha consultado el Sistema de Información Geográfica del SNCZI, obteniéndose datos de caudales de los cauces estudiados para el periodo de retorno mencionado, así como también para 10 años, 50 años y 100 años.

En la siguiente tabla se resumen los caudales obtenidos y el origen de los mismos:

| | VALOR ($m^3/s$)* | | | |
|---|---|---|---|---|
| **CAUCE** | **$Q_{10}$** | **$Q_{50}$** | **$Q_{100}$** | **$Q_{500}$** |
| Río Serpis | 263 | 1.043 | 1.780 | 3.878 |
| Rambla de Gallinera | 199 | 358 | 462 | 1.025 |
| Río Girona | 217 | 670 | 933 | 1.464 |

* *datos obtenidos del sistema de información geográfica del SNCZI*

### 6.3.- Obtención de las zonas de inundación

Para la realización del estudio de las zonas de inundación se ha partido de la cartografía existente del sistema nacional de zonas inundables (SNCZI) en formato shape.

Así mismo, se ha procedido al cálculo de la situación existente empleando un modelo hidráulico de simulación, en concreto a través del programa HECRAS 5.0.3.

Los resultados obtenidos mediante el software HECRAS 5.0.3 se han contrastado con los resultados procedentes del SNCZI. Una vez obtenido un modelo válido que se asemeje al referido, se procede a la simulación de la situación futura, introduciendo la nueva infraestructura y analizando la sobreelevación generada.

### 6.4.- Simulación hidráulica del cauce

Se ha desarrollado una simulación hidráulica con el programa HEC-RAS 5.03 de los casos objeto de análisis, donde se realiza un estudio del comportamiento del cauce en el tramo afectado por el proyecto.

El cálculo hidráulico de puentes y viaductos consistirá en determinar la capacidad de desagüe de la obra de drenaje y determinar la sobreelevación del nivel del agua provocada por dicha estructura.

Para ello se define el tramo del cauce mediante perfiles transversales. La situación de perfiles transversales críticos para la simulación, asociados a los viaductos, así como los generales del cauce, ha sido realizada mediante las propias recomendaciones del programa HEC-RAS. Es necesario un mínimo de cuatro, dos aguas arriba de la estructura de drenaje y dos aguas abajo, a una distancia mínima igual a la luz libre total de la estructura a estudiar.

Para el cálculo de los niveles se ha utilizado la versión 5.0.3. del programa HEC-RAS. Se trata de la evolución del conocido programa HEC-2 y, como éste, se emplea en la realización de modelos unidimensionales, gradualmente variados y en régimen permanente, desarrollado por el *Hydrologic Engineering Center* (Centro de Ingeniería Hidrológica) del *U.S.*

*Army Corps of Engineers* (Cuerpo de Ingenieros del Ejército de EE.UU.), que se ha convertido en un estándar dentro de la Ingeniería Hidráulica.

La exactitud de los resultados que se obtienen de un modelo matemático dependen en gran medida de la precisión con la que se determinen los parámetros que gobiernan el fenómeno físico, así como de las ecuaciones matemáticas que se adopten para caracterizar dicho fenómeno y el método numérico empleado para la resolución de las mismas.

El modelo matemático original HEC-2 resuelve la ecuación de Bernoulli partiendo de las siguientes hipótesis básicas:

- El flujo es estacionario: Los valores de las variables no dependen del tiempo, que no interviene en los cálculos.
- El flujo es gradualmente variado: no hay cambios bruscos ni fuertes curvaturas de manera que puede suponerse una distribución hidrostática de la presión en la sección transversal.
- La pendiente del cauce ha de ser pequeña (menor de un 10 %), debido a que la altura de presión se supone equivalente a la cota medida verticalmente.
- La pendiente de la línea de energía es constante entre dos secciones transversales.
- El lecho del cauce es fijo.
- En el programa original HEC-2 el régimen es único en cada tramo estudiado, admitiendo lento o rápido pero sin cambio de régimen. Las nuevas versiones HEC-RAS permiten un cambio de régimen en el tramo en estudio, pero siempre que se cumpla que aguas abajo el régimen es lento y aguas arriba es rápido.
- El flujo se considera unidimensional, considerándose en la distribución horizontal de la velocidad las zonas de cauce y llanura de inundación por ambas márgenes. La altura de la energía es igual para todos los puntos de cada sección.

Sin embargo, HEC-RAS presenta, frente a HEC-2, importantes ventajas desde el punto de vista hidráulico:

- Capacidad de simular cambios de régimen.
- Mayor grado de precisión en la modelización de puentes, azudes, obras de drenaje y de confluencias.
- Posibilidad de simular una compleja red de drenaje abierta o cerrada.
- Capacidad de definir áreas de flujo ineficaz, obstrucciones y muros.

También mejora la interfaz de usuario respecto a HEC-2, ya que se facilita tanto la introducción de datos y su verificación, como la obtención de resultados gráficos y alfanuméricos.

Para el cálculo de perfil de la lámina de agua, el programa realiza un balance energético entre dos secciones consecutivas, mediante la aplicación de la expresión siguiente, basada en el teorema de Bernouilli generalizado:

$$y_1 + z_2 + \alpha_1 \frac{v_1^2}{2g} = y_2 + z_2 + \alpha_2 \frac{v_2^2}{2g} + h_e$$

siendo:

| | |
|---|---|
| $y_1$, $y_2$ | = calado de la sección |
| $z_1$, $z_2$ | = cota de la solera |
| $v_1$, $v_2$ | = velocidad media en la sección |

$\alpha_1$, $\alpha_2$ = coeficiente ponderado de la velocidad

$g$ = aceleración gravitacional

$h_e$ = pérdida de carga entre las dos secciones

La pérdida de carga total se descompone a su vez en términos de rozamiento, contracción y expansión de flujo.

El procedimiento de resolución de las ecuaciones de energía, se realiza mediante un método de ensayo y error o de aproximaciones sucesivas, de tal forma que para determinar la altura de elevación de la lámina de agua en la sección transversal siguiente el valor adecuado es aquel que convenga dentro de un cierto grado de aproximación o error permisible y dentro de un número de iteraciones definido, el procedimiento empleado es el que a continuación se describe:

- Se considera conocida la altura de la superficie del agua y el caudal en una determinada sección transversal.
- La energía del flujo se calcula a partir del conocimiento de la geometría de la sección transversal.
- La geometría de la sección transversal es también conocida en la siguiente sección, al igual que la longitud del tramo entre ambas.
- Se supone un régimen de flujo inicialmente, según se considere el funcionamiento del canal.
- La pérdida de altura debida a la fricción, se calcula conociendo el caudal, la longitud del tramo y la geometría de la sección, con los cuales se aplica la fórmula de pérdida de carga de Manning para un cierto valor del coeficiente de rugosidad de Manning "*n*".
- La energía cinética ponderada se calcula en la sección siguiente y se halla la diferencia entre ambas.
- Se calculan las pérdidas por expansión o contracción a partir de la diferencia anterior (diferencia entre los valores de energía cinética) y utilizando los coeficientes aplicados, según el tipo de transición.
- La diferencia de alturas de la superficie del agua entre las dos secciones se calcula como la suma de la diferencia en energía cinética, las pérdidas por fricción y las pérdidas por contracción o expansión.
- La elevación de la lámina de agua en la segunda sección se calcula como la suma de la altura inicial de la superficie de agua asumida y la diferencia obtenida en el paso anterior.
- Se calcula el error en la segunda sección entre la altura asumida y la calculada.
- Si el error es aceptable, menor de 1 cm, el procedimiento se repite para la siguiente sección, considerando los nuevos valores como conocidos. Si el error no es aceptable se repite el procedimiento de cálculo.

Se desarrolla un único modelo por cauce a estudiar para simular el perfil hidráulico del tramo de estudio, para las distintas hipótesis de funcionamiento.

En cualquier caso, los resultados analizados en el presente estudio se restringen al área modelizada de las obras proyectadas, limitándose a un entorno suficientemente alejado de los puntos singulares.

Se analizan, dos hipótesis de funcionamiento:

- En situación actual, partiendo de los datos proporcionados, la cartografía y la inspección realizada sobre la zona de referencia.
- En situación futura, introduciendo posteriormente en la modelización del estado actual las actuaciones derivadas de la construcción de las alternativas estudiadas.

Ambas situaciones se calculan para la avenida de los periodos de retorno de 10, 50, 100 y 500 años.

Para la correcta ejecución de modelo es necesario suministrar al programa una información lo más precisa posible, tanto en planta como en alzado, de la zona estudiada. Por lo tanto se deben definir los siguientes parámetros:

- Datos geométricos, tales como secciones transversales, pendiente del cauce y eje del mismo.
- Pérdidas de carga, mediante la aplicación de coeficientes de contracción y expansión en las estructuras y el coeficiente de Manning.
- Datos de tipo flujo uniforme, tales como caudales utilizados y condiciones de contorno del cauce.

6.4.1.- Datos geométricos

Para definir la geometría del tramo estudiado se han utilizado modelos digitales del terreno con paso de malla de 5 metros, una fuente de datos que se considera apropiada al nivel de detalle del presente Estudio Informativo.

Se ha geometrizado mediante QGIS, un software específico de información geográfica, la línea de cauce, así como las coordenadas de las secciones transversales incluidas en el estudio, con el fin de dar mayor precisión a la simulación. Con QRAS, un módulo específico del citado software, se han realizado cortes del modelo digital del terreno considerando una banda de ancho y una frecuencia de corte adecuada en función del tramo del cauce. Los archivos generados han sido importados al programa HEC-RAS simulando así, la situación actual del cauce.

Una vez importadas las secciones transversales se procede a definir el cauce principal y los cauces de aguas arriba a izquierda y derecha en cada una de ellas.

Se han modelizado tramos de los cauces donde quedan incluidas las ubicaciones de las estructuras actuales (situación inicial) y con las nuevas estructuras (situación final).

Las secciones transversales del cauce se han dispuesto procurando que sean sensiblemente perpendiculares a la dirección del flujo, adecuándose además al cruce con otras infraestructuras existentes, y que mejoren las condiciones de transporte y pérdidas entre las mismas para lograr un funcionamiento óptimo del programa, además de obtener unos resultados, lo más fiable posible, al comportamiento natural del cauce.

Una obra de paso introduce una modificación en el cauce al producir una contracción en el flujo aguas arriba, seguida de una expansión del mismo tras atravesarla. De esta manera quedan definidas dos zonas de transición, una aguas arriba de la obra de paso (zona de contracción) y otra aguas abajo de la misma (zona de expansión) desde que el río comienza a experimentar los efectos de esta estructura hasta que desaparece el efecto de la singularidad.

El programa HEC-RAS ofrece varios procedimientos para el cálculo de flujo a través de puentes. La diferencia entre ellos radica en la manera de computar las pérdidas de carga que se producen en el paso por la

estructura. La elección de uno u otro depende del tipo de estructura, existencia de pilas intermedias, funcionamiento hidráulico previsible en avenidas (desagüe en lámina libre, en presión, como vertedero, etc.).

En cualquier caso la geometría del puente u estructura en cuestión debe ser introducida en el modelo: cotas de tablero, ancho y ubicación de pilas, coeficientes de funcionamiento hidráulico del puente, etc.

En este caso, no se han introducido las pilas de las nuevas estructuras, al no existir información al respecto en el Estudio Informativo, debido a la alcance de detalle del mismo.

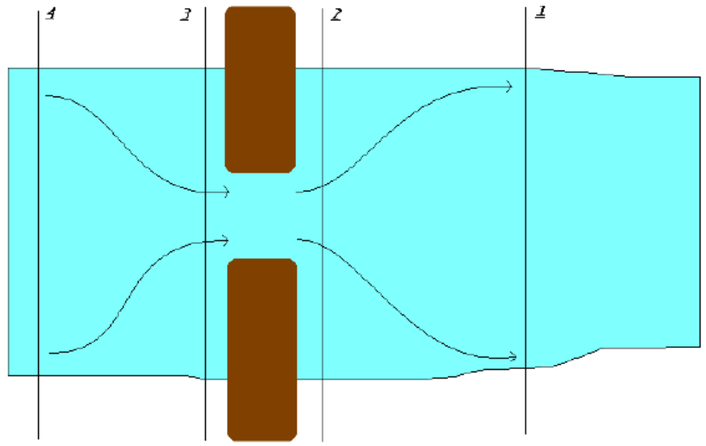
El programa HEC-RAS calcula las pérdidas de energía causadas por estructuras, tales como puentes u obras de fábrica, en tres etapas.

En la primera etapa se calculan las pérdidas que se producen en el tramo inmediatamente aguas abajo de la estructura, donde tiene lugar una expansión del flujo. En la segunda se calculan las pérdidas debidas a la propia estructura, que pueden ser modelizadas con diferentes métodos. Y en la tercera etapa se calculan las pérdidas que tienen lugar en el tramo inmediatamente aguas arriba de la estructura, donde el flujo se contrae para poder pasar a través del obstáculo.

Las rutinas del programa para puentes y estructuras permiten realizar un análisis con distintos métodos sin tener que cambiar la geometría de los obstáculos, teniendo en cuenta los tres factores principales que el efecto de la constricción provoca sobre el flujo: la geometría del contorno del cauce, la descarga y el estado del flujo.

Estas rutinas tienen la capacidad de simular tanto caudales bajos como altos, flujos en lámina libre o en carga, resolviendo el problema mediante la aplicación de la ecuación de la energía, y con la posibilidad de realizar ajustes en condiciones sumergidas y de introducir elementos de regulación de caudal (compuertas).

Para realizar los cálculos de las pérdidas de energía debidas a puentes y/o estructuras, se utilizan cuatro perfiles definidos en el entorno de las mismas. En la figura que aparece a continuación se muestra un croquis de la disposición de los perfiles necesarios, que son descritos más adelante.




La primera de ellas se debe colocar a una distancia suficiente aguas abajo de la estructura considerada, de tal manera que en ese punto el flujo de agua no se vea afectado por ella.

Inmediatamente aguas arriba y debajo de la estructura de drenaje proyectada, a unos pocos metros de distancia se toman dos secciones, cuya misión será la de representar el área efectiva del flujo justo antes y después de que éste atraviese la obra de drenaje.

Por último se elige una sección aguas arriba, donde las líneas de flujo sean sensiblemente paralelas y aún no se produzcan efectos en el mismo debidos a la contracción.

Durante los cálculos hidráulicos, el programa automáticamente interpola dos perfiles adicionales dentro de la estructura. La geometría interior de la estructura es una combinación de los perfiles 2 y 3 y de la geometría propia de la misma.

Un problema básico en las rutinas de una estructura es la definición de las áreas que no contribuyen al flujo. Por tanto, para los perfiles 2 y 3, las áreas no contributivas al flujo en ambas caras del puente, serán excluidas como parte del área de flujo activa.

Como norma general los efectos debidos a la contracción que experimenta el flujo se manifiestan en una longitud menor que los producidos en la zona de expansión.

6.4.2.- Pérdidas de carga

Para calcular las pérdidas de carga hay que introducir los coeficientes de rugosidad, de expansión y de contracción; como coeficiente de rugosidad se ha utilizado el número de Manning. El programa exige introducir al menos tres coeficientes de fricción por cada sección, definidos en el cauce principal y en los dos cauces de aguas altas, izquierdo y derecho, con el fin de obtener el coeficiente de la sección de acuerdo con parámetros tales como el material del lecho, su forma y grado de irregularidad, presencia de obstrucciones u obstáculos, tipo de vegetación y la cantidad de meandros presentes.

Para contabilizar las pérdidas de energía producidas por cambios en las secciones de un cauce, como son los debidos a la colocación de estructuras tales como puentes se deben considerar unos coeficientes de contracción y expansión.

Para los coeficientes de contracción y expansión se han utilizado los valores de 0,1 y 0,3 respectivamente, para transiciones graduales, excepto en las transiciones bruscas que se toman valores 0,3 y 0,5 respectivamente.

Los números de Manning se pueden estimar previamente analizando fotografías aéreas y reconocimientos de campo junto con las tablas estimativas existentes, tales como las propuesta por el *Hydrologic Engineering Center*, basada a su vez en el libro *Open-Channel Hydraulics*, del autor Ven Te Chow, que incluyen fotografías a las que asigna diferentes números de Manning. Un extracto de dichos valores se recoge en la tabla siguiente:

| DESCRIPCIÓN | Mínimo | Normal | Máximo |
|---|---|---|---|
| CAUCE PRINCIPAL | | | |
| Recto, con piedras y maleza | 0,030 | 0,035 | 0,040 |
| Sinuoso, con charcas y bancos de arena | 0,033 | 0,040 | 0,045 |
| Idem, con piedras y maleza | 0,035 | 0,045 | 0,050 |
| CAUCES DE AGUAS ALTAS | | | |
| Pastizal no arbustivo, hierba corta | 0,025 | 0,030 | 0,035 |
| Idem, hierba larga | 0,030 | 0,035 | 0,040 |
| Áreas cultivadas, sin surcos | 0,020 | 0,030 | 0,040 |
| Idem, con surcos en dirección de la corriente | 0,025 | 0,035 | 0,045 |
| Idem, con surcos transversales a la corriente | 0,030 | 0,040 | 0,050 |
| Arbustos esparcidos, con maleza | 0,035 | 0,050 | 0,070 |
| Arbustos medios, con árboles aislados | 0,040 | 0,060 | 0,080 |
| Alta densidad de arbustos | 0,070 | 0,100 | 0,160 |
| Claros de bosque, con tocones, sin retoños | 0,030 | 0,040 | 0,050 |
| Idem, con algunos árboles talados | 0,050 | 0,060 | 0,080 |
| Bosque denso, con algunos árboles talados, sotobosque, flujo bajo las ramas | 0,080 | 0,100 | 0,120 |
| Idem, con flujo sobre las ramas | 0,100 | 0,120 | 0,160 |
| REVESTIMIENTOS DE HORMIGÓN | | | |
| Hormigón, acabado medio | 0,013 | 0,015 | 0,02 |

Además para evaluar la perdida de energía el programa utiliza los coeficientes de puentes y diques, para evaluar las pérdidas debidas al

eventual vertido por coronación, a las pilas, condiciones de entrada y salida, etc.

Seguidamente dichos números se ajustan por medio del proceso de calibración y posterior verificación de los mismos.

6.4.3.- Condiciones de contorno

Modelizada la geometría del terreno, para el correcto funcionamiento del programa a la hora de ejecutarlo, es necesario establecer una condición de partida del proceso de cálculo, a la que se denomina *condición de contorno,* que inicie el proceso iterativo en el cálculo.

Las condiciones de contorno permiten suministrar al modelo información de las condiciones de borde específicas del cauce y, por consiguiente, una mejor definición de las características del mismo en cuanto a su régimen de flujo en sitios conocidos o críticos, entre otros, como las superficies iniciales en los extremos de los tramos. Existen tres posibilidades:

- Régimen lento: Se establecen las condiciones de contorno en las secciones de aguas abajo de los tramos.
- Régimen rápido: Se establecen en las secciones de aguas arriba.
- Mixto: Es necesario definirlas en todos los extremos.

El programa HEC-RAS permite cuatro formas diferentes de introducir estas condiciones de contorno:

- Cota de lámina de agua conocida
- Calado crítico
- Calado normal
- Curva de gasto

Como condición de contorno al cálculo se ha partido de la hipótesis de suponer en la sección inicial que la pendiente de la línea de energía es igual a la pendiente media del fondo del cauce en ese punto.

Debido a la longitud de los tramos estudiados, en la mayoría de los casos, y debido a los cambios de pendiente y sección, se ha optado por un régimen mixto, verificando la fidelidad del modelo con los datos disponibles del SNCZI.

**6.5.- Aplicación del modelo**

6.5.1.- Río Serpis

En la zona de estudio el río Serpis discurre aproximadamente en dirección suroeste-noreste, siendo su pendiente media 0,00268 m/m.

Se ha modelizado un tramo de unos 2.500 m, que abarca desde 400 m aguas arriba del cruce con la alternativa 1A hasta unos 675 m aguas abajo de la alternativa 1B, tomándose un total de 33 secciones, definidas sobre el modelo digital del terreno disponible.



*Fotografía del río Serpis a su paso por Gandía*

Para la situación actual, se han modelizado tres viaductos existentes en el tramo estudiado, de forma que refleje de la forma más fidedigna la realidad.

Los caudales de cálculo para la inundación son los correspondientes a los diferentes periodos de retorno, y se han obtenido de la información asociada a la cartografía del SNCZI.

| | VALOR ($m^3/s$)* | | | |
|---|---|---|---|---|
| **CAUCE** | **$Q_{10}$** | **$Q_{50}$** | **$Q_{100}$** | **$Q_{500}$** |
| Río Serpis | 263 | 1.043 | 1.780 | 3.878 |

El valor del coeficiente de rugosidad empleado es 0,035 para el cauce y 0,045 para las márgenes de inundación.

Tras elaborar el modelo actual, se comparan los resultados de la simulación con el procedente de la cartografía existente del SNCZI, con el objeto de validar la simulación.

| HEC-RAS- LAMINA 500 AÑOS | SNCZI LÁMINA 500 AÑOS |
|---|---|
|  |  |

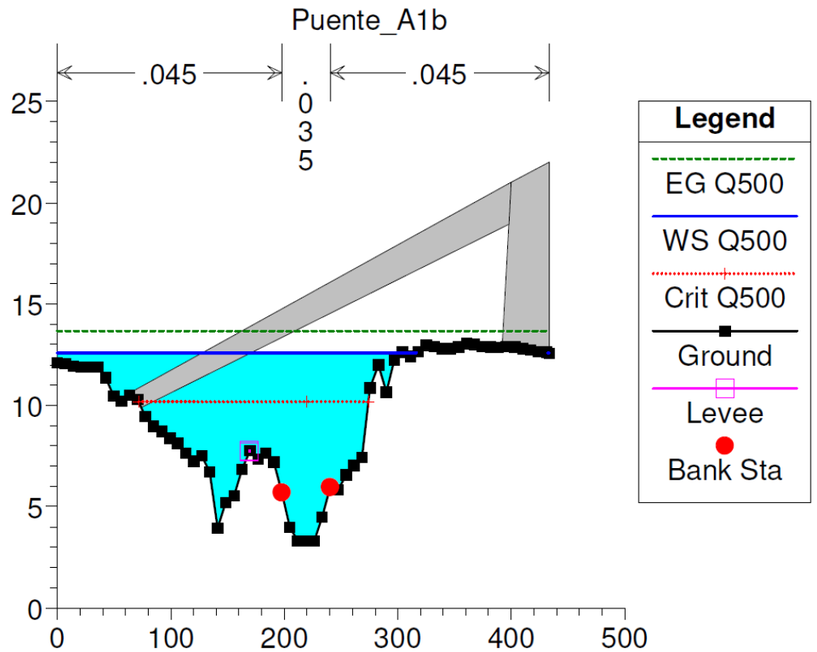
Una vez verificada y validada la simulación actual, se procede a introducir en el modelo la situación futura. En concreto, se estudian por separado la intersección del cauce con las alternativas 1A y 1B. El citado cruce se produce respectivamente en el PK 3+220 y en el PK 2+760 (puntos kilométricos correspondientes a las alternativas).

Como ya se ha comentado anteriormente, a este nivel de detalle el presente Estudio Informativo no define la disposición de las pilas, por lo que no se introducirán en el modelo.

En el apéndice nº 8 se adjuntan los listados, secciones y gráficos resultantes del cálculo hidráulico realizado. Asimismo, en dicho apéndice, se reflejan las superficies de inundación para la situación actual (inicial) y para la situación futura.

Reseñar que al modelizar la situación futura con las alternativas estudiadas, se ha verificado que la Alternativa 1B debe ser descartada, ya que el viaducto proyectado en el cruce con el río Serpis no guarda el

resguardo necesario a un periodo de retorno de 500 años, como se puede observar en la siguiente imagen.

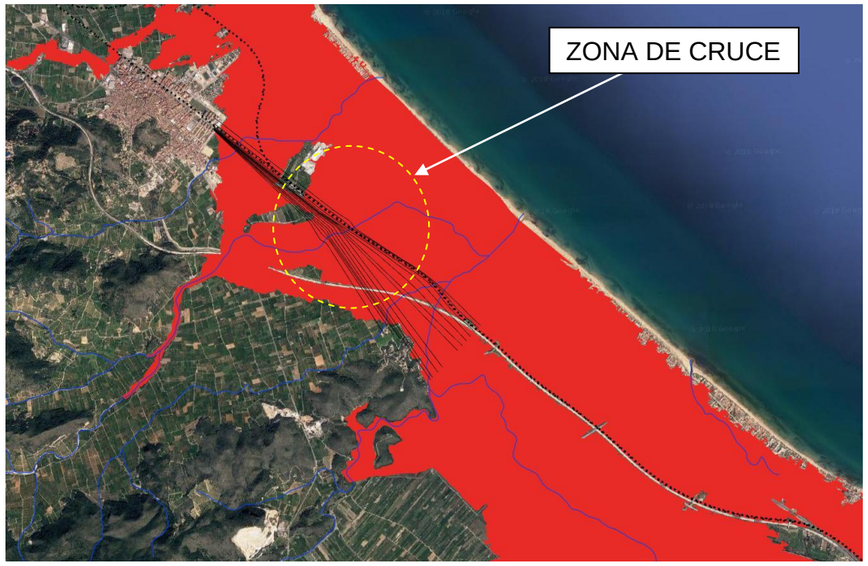



6.5.2.- Rambla de Gallinera

En la zona de estudio la rambla Gallinera discurre aproximadamente en dirección suroeste-noreste, siendo su pendiente media 0,00190 m/m.

Se ha modelizado un tramo de unos 515 m, que abarca desde 405 m aguas arriba del cruce con las alternativas 2A y 2B, hasta unos 110 m aguas abajo, tomándose un total de 15 secciones, definidas sobre el modelo digital del terreno disponible.

La cartografía del SNCZI muestra que el cruce de las alternativas 2A y 2B con la rambla Gallinera se produce en una zona completamente inundada a 500 años, tal y como se muestra en la siguiente imagen.




*Ortofoto de la desembocadura de la Rambla Gallinera con la lámina de inundación a 500 años, según SNCZI, y las secciones de control analizadas*

Teniendo en cuenta la complejidad de la situación existente y al objeto de crear un modelo que valide la estructura de cruce de las alternativas respecto del cauce de la rambla, se ha optado por acotar la zona de estudio al tramo de rambla ya mencionado, y realizar una modelización unidireccional, aunque en fases posteriores a este Estudio Informativo será necesario realizar una modelización bidimensional que abarque toda la longitud de la línea y estudie en detalle la posible afección a terceros.

Para la situación actual, se ha modelizado un viaducto existente en el tramo estudiado, de forma que refleje de la forma más fidedigna la realidad.



*Fotografía de estructura sobre la rambla Gallinera*

Los caudales de cálculo para la inundación son los correspondientes a los diferentes periodos de retorno, y se han obtenido de la información asociada a la cartografía del SNCZI.

| | VALOR ($m^3/s$)* | | | |
|---|---|---|---|---|
| **CAUCE** | **$Q_{10}$** | **$Q_{50}$** | **$Q_{100}$** | **$Q_{500}$** |
| Rambla Gallinera | 199 | 358 | 462 | 1.025 |

El valor del coeficiente de rugosidad empleado es 0,035 para el cauce y 0,045 para las márgenes de inundación.

Tras elaborar el modelo actual, acotado a una zona de 515 metros de cauce tal y como se ha comentado anteriormente, se comparan los resultados de la simulación con el procedente de la cartografía existente del SNCZI, con el objeto de validar la simulación.

| HEC-RAS- LAMINA 500 AÑOS | SNCZI LÁMINA 500 AÑOS |
|---|---|
|  |  |

Una vez verificada y validada la simulación actual, se procede a introducir en el modelo la situación futura. En concreto, se estudian simultáneamente la intersección del cauce con las alternativas 2A y 2B, ya que en esta zona comparten trazado. El citado cruce se produce respectivamente en el PK 7+640 y en el PK 8+558 (puntos kilométricos correspondientes a las alternativas).

Como ya se ha comentado anteriormente, a este nivel de detalle el presente Estudio Informativo no define la disposición de las pilas, por lo que no se introducirán en el modelo.

En el apéndice nº 8 se adjuntan los listados, secciones y gráficos resultantes del cálculo hidráulico realizado. Asimismo, en dicho apéndice, se reflejan las superficies de inundación para la situación actual (inicial) y para la situación futura.

6.5.3.- Río Girona

En la zona de estudio el río Girona discurre aproximadamente en dirección suroeste-noreste, siendo su pendiente media 0,0062 m/m.

Se ha modelizado un tramo de unos 1.615 m, que abarca desde 890 m aguas arriba del cruce con las alternativas 3C/3D hasta unos 725 m aguas abajo, tomándose un total de 62 secciones, definidas sobre el modelo digital del terreno disponible. Así mismo, se han modelizado dos viaductos existentes en el tramo estudiado, de forma que refleje de la forma más fidedigna la realidad.



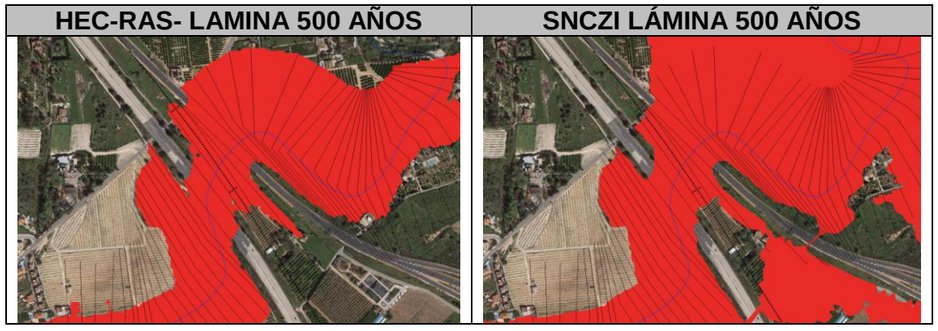
*Representación en 3D de los viaductos del río Girona en la zona de estudio*

Los caudales de cálculo para la inundación son los correspondientes a los diferentes periodos de retorno, y se han obtenido de la información asociada a la cartografía del SNCZI.

| | VALOR ($m^3/s$)* | | | |
|---|---|---|---|---|
| **CAUCE** | **$Q_{10}$** | **$Q_{50}$** | **$Q_{100}$** | **$Q_{500}$** |
| Río Girona | 217 | 670 | 933 | 1.464 |

El valor del coeficiente de rugosidad empleado es 0,035 para el cauce y 0,045 para las márgenes de inundación.

Tras elaborar el modelo actual, se comparan los resultados de la simulación con el procedente de la cartografía existente del SNCZI, con el objeto de validar la simulación.




Una vez verificada y validada la simulación actual, se procede a introducir en el modelo la situación futura. En concreto, se estudian simultáneamente la intersección del cauce con las alternativas 3C/Cbis y la 3D, ya que en esta zona comparten trazado. El citado cruce se produce en el PK 1+750 en ambos casos (punto kilométrico correspondiente a las alternativas).

Como ya se ha comentado anteriormente, a este nivel de detalle el presente Estudio Informativo no define la disposición de las pilas, por lo que no se introducirán en el modelo.

En el apéndice nº 8 se adjuntan los listados, secciones y gráficos resultantes del cálculo hidráulico realizado. Asimismo, en dicho apéndice, se reflejan las superficies de inundación para la situación actual (inicial) y para la situación futura.

### 6.6.- Análisis de los resultados obtenidos

Los resultados obtenidos llevan a la conclusión de que como consecuencia de la construcción de las nuevas estructuras que permiten la continuidad de los cauces en los cruces con las alternativas estudiadas se producen mínimas variaciones de la lámina de agua con respecto a la situación actual.

Igualmente, el resguardo a la cota mínima inferior del tablero es superior al metro (1 m) para la avenida de los 500 años en todas las alternativas excepto en la 1B, motivo por el que ésta debe descartarse.

## 7.- ANÁLISIS DE LA INUNDABILIDAD

### 7.1.- Introducción

El Plan de Acción Territorial sobre prevención del Riesgo de Inundación en la Comunitat Valenciana (PATRICOVA), es un Plan de Acción Territorial de los regulados en la Ley 5/2014, de 25 de julio, de la Generalitat, de Ordenación del Territorio, Urbanismo y Paisaje, de la Comunitat Valenciana. Dicho Plan se encuentra en vigor en todo el ámbito de la Comunitat Valenciana.

Al desarrollarse el ámbito de actuación del presente Estudio Informativo en la Comunitat Valenciana, será de aplicación lo dispuesto en el Decreto 201/2015, de 29 de octubre, del Consell, por el que se aprueba el Plan de acción territorial sobre prevención del riesgo de inundación en la Comunitat Valenciana.

El riesgo de inundación es uno de los condicionantes más importantes de los procedimientos de evaluación ambiental y territorial de planes, programas y proyectos, y sus directrices deben ser incorporadas en todas las fases de tramitación de los mismos, así como en el seguimiento posterior a su aprobación

A continuación se procederá a analizar el riesgo de inundación para las diferentes alternativas planteadas en el presente Estudio Informativo de la línea ferroviaria Valencia – Alicante, teniendo en cuenta que en fases posteriores de desarrollo de esta infraestructura deberá profundizarse en este análisis.

### 7.2.- Normativa en materia de riesgo de inundación

Como se ha mencionado en el apartado anterior, resulta de aplicación lo dispuesto en el Decreto 201/2015, que regula el Plan de acción territorial sobre prevención del riesgo de inundación en la Comunitat Valenciana.

Los objetivos del PATRICOVA son los siguientes:

1. Obtener un adecuado conocimiento y evaluación de los riesgos de inundación en el territorio de la Comunitat Valenciana.

2. Establecer procedimientos administrativos ágiles y rigurosos para incorporar la variable inundabilidad a los planes, programas y proyectos que tengan una proyección sobre el territorio.

3. Lograr una actuación coordinada de todas la Administraciones Públicas y los agentes sociales para reducir las consecuencias negativas de las inundaciones sobre la salud de las personas y los bienes, el medio ambiente, el patrimonio cultural, el paisaje, la actividad económica y los equipamientos e infraestructuras.

4. Orientar los desarrollos urbanísticos y territoriales hacia las áreas no inundables o, en su caso, hacia las de menor peligrosidad de inundación, siempre que permitan el asentamiento, otorgando preferencia a los modelos urbanos y territoriales más eficientes.

5. Gestionar las zonas inundables dentro del sistema territorial de la Infraestructura Verde, favoreciendo la producción de los servicios ambientales, así como la conservación y mejora de los paisajes naturales y culturales en torno al agua.

El PATRICOVA originalmente determinó a través de los usos de suelo existentes en el momento de su elaboración, y de la peligrosidad de

inundación, el nivel de impacto o riesgo al que estaban sometidos los municipios y las zonas de inundación definidas en el Plan.

El Real Decreto 903/2010, de 9 de julio, de evaluación y gestión de riesgos de inundación, en su artículo 3 define la peligrosidad por inundación como la probabilidad de ocurrencia de una inundación, dentro de un período de tiempo determinado y en un área dada.

El Decreto 201/2015 que regula el PATRICOVA define los siguientes niveles de peligrosidad en su artículo 8:

*ARTÍCULO 8. NIVELES DE PELIGROSIDAD DE INUNDACIÓN*

*1. A los efectos de esta normativa, se establecen seis niveles de peligrosidad de inundación de origen hidrológico-hidráulico y un nivel geomorfológico, que, de mayor a menor, son:*

a) *Peligrosidad de nivel 1. Cuando la probabilidad de que en un año cualquiera se sufra, al menos, una inundación es superior a 0'04 (equivalente a un periodo de retorno inferior a 25 años), con un calado máximo generalizado alcanzado por el agua superior a ochenta centímetros (80 cm).*

b) *Peligrosidad de nivel 2. Cuando la probabilidad de que en un año cualquiera se sufra, al menos, una inundación se encuentra entre 0'04 y 0'01 (equivalente a un periodo de retorno entre 25 y 100 años), con un calado máximo generalizado alcanzado por el agua superior a ochenta centímetros (80 cm).*

c) *Peligrosidad de nivel 3. Cuando la probabilidad de que en un año cualquiera se sufra, al menos, una inundación es superior a 0'04 (equivalente a un periodo de retorno inferior a 25 años), con un calado máximo generalizado alcanzado por el agua inferior a ochenta centímetros (80 cm) y superior a quince centímetros (15 cm).*

d) *Peligrosidad de nivel 4. Cuando la probabilidad de que en un año cualquiera se sufra, al menos, una inundación se encuentra entre 0'04 y 0'01 (equivalente a un periodo de retorno entre 25 y 100 años), con un calado máximo generalizado alcanzado por el agua inferior a ochenta centímetros (80 cm) y superior a quince centímetros (15 cm).*

e) *Peligrosidad de nivel 5. Cuando la probabilidad de que en un año cualquiera se sufra, al menos, una inundación se encuentra entre 0'01 y 0'002 (equivalente a un periodo de retorno entre 100 y 500 años), con un calado máximo generalizado alcanzado por el agua superior a ochenta centímetros (80 cm).*

f) *Peligrosidad de nivel 6. Cuando la probabilidad de que en un año cualquiera se sufra, al menos, una inundación se encuentra entre 0'01 y 0'002 (equivalente a un periodo de retorno entre 100 y 500 años), con un calado máximo generalizado alcanzado por el agua inferior a ochenta centímetros (80 cm) y superior a quince centímetros (15 cm).*

g) *Peligrosidad geomorfológica. En este nivel de peligrosidad de inundación se han identificado diferentes procesos geomorfológicos, que, por sus características, actúan como un indicador de la presencia de inundaciones históricas, no necesariamente catalogadas, debiéndose identificar la probabilidad de reactivación de los fenómenos geomorfológicos y, en su caso, los efectos susceptibles de generarse.*

*2. La delimitación concreta de las zonas inundables y niveles de peligrosidad de inundación a ellas asociados es la que se contiene en los Planos de Ordenación del PATRICOVA; no obstante, esta delimitación puede modificarse en los términos establecidos en la presente normativa.*

De igual forma, el artículo 9 del citado Decreto 201/2015 define las zonas de peligrosidad en su artículo 9

*ARTÍCULO 9. ZONA DE PELIGROSIDAD DE INUNDACIÓN E INCREMENTO SIGNIFICATIVO DE LA PELIGROSIDAD.*

*1. Zona de peligrosidad de inundación es aquella parte del territorio que tiene el mismo nivel de peligrosidad de inundación y se encuentra en la misma zona inundable.*

*2. Se considera que existe un incremento significativo de la peligrosidad de inundación en la zona de peligrosidad de inundación cuando se produce un aumento del calado máximo o de la velocidad de más de un diez por ciento (10%) y de más de diez*

*centímetros (10 cm) para cualquier periodo de retorno entre 25 y 500 años, provocado por cualquier nuevo elemento artificial situado en la zona inundable.*

*3. Aquellas actuaciones que justificadamente planteen un crecimiento de suelo sellado por encima de lo previsto en la Estrategia Territorial de la Comunitat Valenciana habrán de efectuar un estudio que garantice que se cumple el criterio de internalización del incremento de peligrosidad de inundación en la cuenca.*

El Título III del Decreto 201/2015 establece las limitaciones de usos en zonas inundables en función de su relación con la planificación territorial y urbanística, contemplando situaciones diferentes atendiendo a la distinta zonificación y clasificación del suelo afectado por peligrosidad de inundación. Entre otras cabe destacar lo dispuesto en los artículos 17 y 21:

*ARTÍCULO 17. TRATAMIENTO DEL RIESGO DE INUNDACIÓN EN EL PLANEAMIENTO URBANÍSTICO.*

*1. El planeamiento territorial y urbanístico clasificará como suelo no urbanizable de especial protección el Dominio Público Hidráulico, de conformidad con su legislación reguladora, así como las zonas de peligrosidad de inundación de nivel 1 delimitadas en el PATRICOVA, salvo aquéllas que estén clasificadas como suelo urbano, que se calificarán, respectivamente, como Dominio Público Hidráulico o como protección hidráulica.*

*2. En estas zonas se prohíbe cualquier tipo de edificación, salvo las previstas expresamente en el planeamiento territorial y urbanístico aprobado a la entrada en vigor del PATRICOVA, que deberán, en todo caso, realizarse con arreglo a los condicionantes específicos de edificación señalados para el suelo urbano sometido a riesgo de inundación, en el anexo I de esta normativa. Asimismo se prohíbe la realización de obras de infraestructuras que sean vulnerables o puedan modificar negativamente el proceso de inundación, incrementando los daños susceptibles de producirse como consecuencia de la misma.*

*ARTÍCULO 21. CONDICIONES GENERALES DE ADECUACIÓN DE LAS INFRAESTRUCTURAS.*

*1. Las infraestructuras que se sitúen en la superficie del terreno, los apoyos de infraestructuras aéreas, los elementos superficiales de las infraestructuras subterráneas o cualquier elemento que discurra, se sitúe o cruce una zona inundable a una cota superior en treinta centímetros (30 cm) a la del terreno circundante, no deberán provocar un incremento del riesgo de inundación en los usos urbanos actuales o planificados.*

*2. Se cuidará especialmente el drenaje transversal de los paseos marítimos mediante la ejecución de pontones o badenes en los cruces con las calles perpendiculares a los mismos, así como evitando la colocación de elementos verticales y muros continuos que obstaculicen el flujo de las aguas.*

*3. Los periodos de retorno de diseño del drenaje transversal y de protección de las infraestructuras de todo tipo serán de:*

a) *500 años en las infraestructuras estratégicas de alta vulnerabilidad, tales como carreteras de intensidad media diaria mayor de dos mil (2.000) vehículos/día, líneas de ferrocarril, grandes conducciones de abastecimiento, potabilizadoras, depuradoras, gaseoductos, líneas eléctricas que tengan una tensión nominal superior a 30 kV, subestaciones eléctricas, grandes depósitos de agua, de líquidos y gases inflamables o tóxicos y centrales de telecomunicaciones. Este nivel de protección podrá reducirse hasta un mínimo de 100 años si se justifica la inviabilidad técnica o económica de cualquier otra solución de protección superior, determinándose el riesgo de inundación remanente para un periodo de retorno de 500 años.*

b) *100 años en las infraestructuras de vulnerabilidad media, como el resto de carreteras de las redes nacional y autonómica, resto de carreteras con intensidad media diaria mayor de quinientos (500) vehículos/día, líneas eléctricas que tengan una tensión nominal entre 30 kV y 1 kV, centros de transformación, paseos marítimos y redes de acequias o azarbes de cualquier tipo. Este nivel de protección podrá reducirse hasta un mínimo de 25 años si se justifica la inviabilidad técnica o económica de cualquier otra solución de protección superior, determinándose el riesgo de inundación remanente para los periodos de retorno de 100 y 500 años.*

*4. Los drenajes transversales de las infraestructuras lineales, con el fin de evitar su obstrucción, tendrán una dimensión mínima libre de obstáculos de un metro (1 m). En los casos en que parte de la sección libre del drenaje se encontrara por debajo del nivel del terreno circundante, la superficie transversal de la sección libre del mismo será de un metro y medio cuadrados (1,5 m²). Estas prescripciones se establecen sin perjuicio de la sección que resulte de la comprobación de las condiciones de desagüe y de los resguardos exigidos por el riesgo de obstrucción.*

*5. Los proyectos de urbanización contemplarán los colectores de aguas residuales siempre por debajo de las conducciones del resto de las redes de distribución de los otros servicios básicos. El trazado en planta de los colectores principales de pluviales deberá discurrir por las calles más bajas, mientras que el resto de conducciones y servicios lo harán por las calles más altas. A su vez, en las calles abiertas al tráfico rodado, el punto más alto de la calzada se situará al menos diez centímetros (10 cm) por debajo de las aceras, siendo la profundidad del caz respecto de éstas al menos de veinticinco centímetros (25 cm).*

*6. Con el fin de no disminuir la capacidad de desagüe de las zonas agrícolas afectadas por peligrosidad de inundación, se evitará la sobreelevación o cubrimiento de las redes de acequias y azarbes.*

### 7.3.- Estudio del riesgo de inundabilidad

A continuación se procede a estimar el riesgo de inundabilidad de las diferentes alternativas contempladas en el presente Estudio Informativo.

Para ello se cuenta con la cartografía del Plan de Acción Territorial sobre prevención del Riesgo de Inundación en la Comunitat Valenciana, a escala 1:25.000 y en formato shape. Así mismo, se dispone de la cartografía del sistema nacional de zonas inundables (SNCZI) en formato shape.

Se procederá a superponer los trazados previstos respecto a las áreas con riesgo de inundación para valorar la incidencia en cada una de las alternativas planteadas.

Reseñar, que la cartografía del SNCZI es de detalle, mientras que la del PATRICOVA es regional, prevaleciendo por tanto, en caso de solape, los resultados de la primera frente a la segunda.

#### 7.3.1.- Riesgo de inundabilidad según el SNCZI

En la cartografía del SNCZI se establecen las zonas inundables de diferentes cauces estudiados, para los siguientes períodos de retorno:

- T= 10 años
- T= 50 años
- T= 100 años
- T= 500 años

A continuación se incluyen unas tablas con la longitud de tramo afectado en cada una de las zonas, por cada alternativa planteada. Las salidas gráficas se incluyen en mapas en el Apéndice 7 del presente Anejo.

**RESULTADOS DEL ÍNDICE DE PELIGROSIDAD DEL SNCZI**

| ALTERNATIVA 1A | |
|---|---|
| **ZONA INUNDABLE SEGÚN PERIODO DE RETORNO** | **LONGITUD DE TRAMO (M)** |
| T= 10 AÑOS | 134 |
| T= 50 AÑOS | 2.152 |
| T= 100 AÑOS | 2.218 |
| T= 500 AÑOS | 2.588 |

| ALTERNATIVA 1B | |
|---|---|
| **ZONA INUNDABLE SEGÚN PERIODO DE RETORNO** | **LONGITUD DE TRAMO (M)** |
| T= 10 AÑOS | 178 |
| T= 50 AÑOS | 1.057 |
| T= 100 AÑOS | 1.196 |
| T= 500 AÑOS | 2.685 |

| ALTERNATIVA 2A | |
|---|---|
| ZONA INUNDABLE SEGÚN PERIODO DE RETORNO | LONGITUD DE TRAMO (M) |
| T= 10 AÑOS | 7.272 |
| T= 50 AÑOS | 9.148 |
| T= 100 AÑOS | 10.193 |
| T= 500 AÑOS | 11.063 |

| ALTERNATIVA 2B | |
|---|---|
| ZONA INUNDABLE SEGÚN PERIODO DE RETORNO | LONGITUD DE TRAMO (M) |
| T= 10 AÑOS | 7.466 |
| T= 50 AÑOS | 10.340 |
| T= 100 AÑOS | 11.877 |
| T= 500 AÑOS | 13.679 |

| ALTERNATIVA 3C y 3C bis | |
|---|---|
| ZONA INUNDABLE SEGÚN PERIODO DE RETORNO | LONGITUD DE TRAMO (M) |
| T= 10 AÑOS | 1.060 |
| T= 50 AÑOS | 1.923 |
| T= 100 AÑOS | 2.531 |
| T= 500 AÑOS | 2.730 |

| ALTERNATIVA 3D | |
|---|---|
| ZONA INUNDABLE SEGÚN PERIODO DE RETORNO | LONGITUD DE TRAMO (M) |
| T= 10 AÑOS | 875 |
| T= 50 AÑOS | 1.887 |
| T= 100 AÑOS | 2.486 |
| T= 500 AÑOS | 2.775 |

A continuación se incluye una tabla resumen de los resultados con la comparativa del índice de peligrosidad del SNCZI entre las diferentes alternativas:

| | LONGITUD DE TRAMO AFECTADO (m) | | | |
|---|---|---|---|---|
| | T= 10 AÑOS | T= 50 AÑOS | T= 100 AÑOS | T= 500 AÑOS |
| ALTERNATIVA 1A | 134 | 2.152 | 2.218 | 2.588 |
| ALTERNATIVA 1B | 178 | 1.057 | 1.196 | 2.685 |
| ALTERNATIVA 2A | 7.272 | 9.148 | 10.193 | 11.063 |
| ALTERNATIVA 2B | 7.466 | 10.340 | 11.877 | 13.679 |
| ALTERNATIVA 3C – 3CBIS | 1.060 | 1.923 | 2.531 | 2.730 |
| ALTERNATIVA 3D | 875 | 1.887 | 2.486 | 2.775 |

### 7.3.2.- Peligrosidad de inundación del PATRICOVA

De acuerdo al PATRICOVA, se establecen, siete niveles de peligrosidad:

- Peligrosidad 1. Frecuencia alta (25 años) y calado Alto (>0.8 m)
- Peligrosidad 2. Frecuencia media (100 años) y calado alto (>0.8 m)
- Peligrosidad 3. Frecuencia alta (25 años) y calado bajo (<0.8 m)
- Peligrosidad 4. Frecuencia media (100 años) y calado bajo (<0.8 m)
- Peligrosidad 5. Frecuencia baja (500 años) y calado alto (>0.8 m)
- Peligrosidad 6. Frecuencia baja (500 años) y calado bajo (<0.8 m)
- Peligrosidad Geomorfológica

A continuación se incluyen unas tablas con la longitud de tramo afectado en cada una de las zonas, por cada alternativa planteada. Las salidas gráficas se incluyen en mapas en el Apéndice 7 del presente Anejo.

| ALTERNATIVA 1B | | |
|---|---|---|
| **ZONA** | **PELIGROSIDAD** | **LONGITUD DE TRAMO (M)** |
| Riu Serpis | Índice de peligrosidad 1 | 140 |
| Barranco de Beniopa (o rambla de San Nicolás) | Índice de peligrosidad 1 | 20 |
| - | Peligrosidad Geomorfológica: Abanico aluvial | 1010 |
| | Peligrosidad Geomorfológica: Abanicos torrenciales | 648 |
| | Peligrosidad Geomorfológica: Cauces | 209 |
| | Peligrosidad Geomorfológica: Vaguadas y barrancos de fondo plano | 175 |

| ALTERNATIVA 2A | | |
|---|---|---|
| **ZONA** | **PELIGROSIDAD** | **LONGITUD DE TRAMO (M)** |
| Barranco Montanella (o de Palmera) | Índice de peligrosidad 1 | 44 |
| Barranco de Oliva (o río Alfadalí) | Índice de peligrosidad 3 | 234 |
| Rambla Gallinera | Índice de peligrosidad 3 | 1895 |
| Marjal de Pego | Índice de peligrosidad 3 | 704 |
| Barranco de Oliva (o río Alfadalí) | Índice de peligrosidad 6 | 557 |
| Marjal de Pego | Índice de peligrosidad 6 | 2604 |
| Riu Girona | Índice de peligrosidad 6 | 550 |
| - | Peligrosidad Geomorfológica: Abanico aluvial | 1102 |
| | Peligrosidad Geomorfológica: Humedales | 1163 |
| | Peligrosidad Geomorfológica: Llanura aluvial | 1429 |
| | Peligrosidad Geomorfológica: Restinga | 2102 |
| | Peligrosidad Geomorfológica: Vaguadas y barrancos de fondo plano | 884 |

| ALTERNATIVA 2B | | |
|---|---|---|
| **ZONA** | **PELIGROSIDAD** | **LONGITUD DE TRAMO (M)** |
| Barranco Montanella (o de Palmera) | Índice de peligrosidad 1 | 44 |
| Barranco de Oliva (o río Alfadalí) | Índice de peligrosidad 3 | 169 |
| Rambla Gallinera | Índice de peligrosidad 3 | 1895 |
| Marjal de Pego | Índice de peligrosidad 3 | 704 |
| Barranco de Oliva (o río Alfadalí) | Índice de peligrosidad 6 | 887 |
| Marjal de Pego | Índice de peligrosidad 6 | 2605 |
| Riu Girona | Índice de peligrosidad 6 | 550 |
| - | Peligrosidad Geomorfológica: Abanico aluvial | 793 |
| | Peligrosidad Geomorfológica: Humedales | 1163 |
| | Peligrosidad Geomorfológica: Llanura aluvial | 3250 |
| | Peligrosidad Geomorfológica: Restinga | 2102 |
| | Peligrosidad Geomorfológica: Vaguadas y barrancos de fondo plano | 884 |

| ALTERNATIVA 3C | | |
|---|---|---|
| **ZONA** | **PELIGROSIDAD** | **LONGITUD DE TRAMO (M)** |
| Riu Girona | Índice de peligrosidad 1 | 99 |
| Barranco de Ondara (o Fusta o de la Alberca) | Índice de peligrosidad 1 | 95 |
| Barranco de Ondara (o Fusta o de la Alberca) | Índice de peligrosidad 6 | 634 |
| Riu Girona | Índice de peligrosidad 6 | 41 |
| - | Peligrosidad Geomorfológica: Abanico aluvial | 610 |
| | Peligrosidad Geomorfológica: Abanicos torrenciales | 1956 |
| | Peligrosidad Geomorfológica: Cauces | 1093 |
| | Peligrosidad Geomorfológica: Vaguadas y barrancos de fondo plano | 8665 |

| ALTERNATIVA 3Cbis | | |
|---|---|---|
| **ZONA** | **PELIGROSIDAD** | **LONGITUD DE TRAMO (M)** |
| Riu Girona | Índice de peligrosidad 1 | 99 |
| Barranco de Ondara (o Fusta o de la Alberca) | Índice de peligrosidad 1 | 95 |
| Barranco del Montgó | Índice de peligrosidad 3 | 215 |
| Barranco de Ondara (o Fusta o de la Alberca) | Índice de peligrosidad 6 | 634 |
| Riu Girona | Índice de peligrosidad 6 | 41 |
| - | Peligrosidad Geomorfológica: Abanico aluvial | 610 |
| | Peligrosidad Geomorfológica: Abanicos torrenciales | 2426 |
| | Peligrosidad Geomorfológica: Cauces | 1093 |
| | Peligrosidad Geomorfológica: Vaguadas y barrancos de fondo plano | 8665 |

| ALTERNATIVA 3D | | |
|---|---|---|
| **ZONA** | **PELIGROSIDAD** | **LONGITUD DE TRAMO (M)** |
| Riu Girona | Índice de peligrosidad 1 | 99 |
| Barranco de Ondara (o Fusta o de la Alberca) | Índice de peligrosidad 1 | 95 |
| Riu de Xaló o de Gorgos | Índice de peligrosidad 2 | 726 |
| Barranco de Ondara (o Fusta o de la Alberca) | Índice de peligrosidad 6 | 634 |
| Riu Girona | Índice de peligrosidad 6 | 41 |
| - | Peligrosidad Geomorfológica: Abanico aluvial | 610 |
| | Peligrosidad Geomorfológica: Cauces | 1093 |
| | Peligrosidad Geomorfológica: Vaguadas y barrancos de fondo plano | 5104 |

A continuación se incluye una tabla resumen de los resultados con la comparativa del índice de peligrosidad del Patricova entre las diferentes alternativas:

| | LONGITUD DE TRAMO AFECTADO (m) | | | | | | | | | | | | | | | | |
|---|---|---|---|---|---|---|---|---|---|---|---|---|---|---|---|---|---|
| | INDICE DE PELIGROSIDAD DE INUNDACIÓN | | | | | | | PELIGROSIDAD GEOMORFOLÓGICA | | | | | | | | | |
| | 1 | 2 | 3 | 4 | 5 | 6 | TOTAL | Abanicos aluviales | Abanicos torrenciales | Cauces | Derrames | Humedales | Llanura aluvial o lanuras de inundación | Restinga | Vaguadas y barrancos de fondo plano | Glacis | Dolinas y poljes | TOTAL |
| **ALTERNATIVA 1A** | 192 | | | 197 | | | **389** | 1.731 | 763 | 722 | | | | | 174 | | | **3.390** |
| **ALTERNATIVA 1B** | 160 | | | | | | **160** | 1.010 | 648 | 209 | | | | | 175 | | | **2.042** |
| **ALTERNATIVA 2A** | 44 | | 2.833 | | | 3.711 | **6.588** | 1.102 | | | | 1.163 | 1.429 | 2.102 | 884 | | | **6.680** |
| **ALTERNATIVA 2B** | 44 | | 2.768 | | | 4.042 | **6.854** | 793 | | | | 1.193 | 3.250 | 2.102 | 884 | | | **8.222** |
| **ALTERNATIVA 3C** | 194 | 726 | | | | 675 | **1.595** | 610 | 1.956 | 1.093 | | | | | 8.665 | | | **12.324** |
| **ALTERNATIVA 3CBIS** | 194 | 726 | 215 | | | 675 | **1.810** | 610 | 2.426 | 1.093 | | | | | 8.665 | | | **12.794** |
| **ALTERNATIVA 3D** | 194 | 726 | | | | 675 | **1.595** | 610 | | 1.093 | | | | | 5.104 | | | **6.807** |

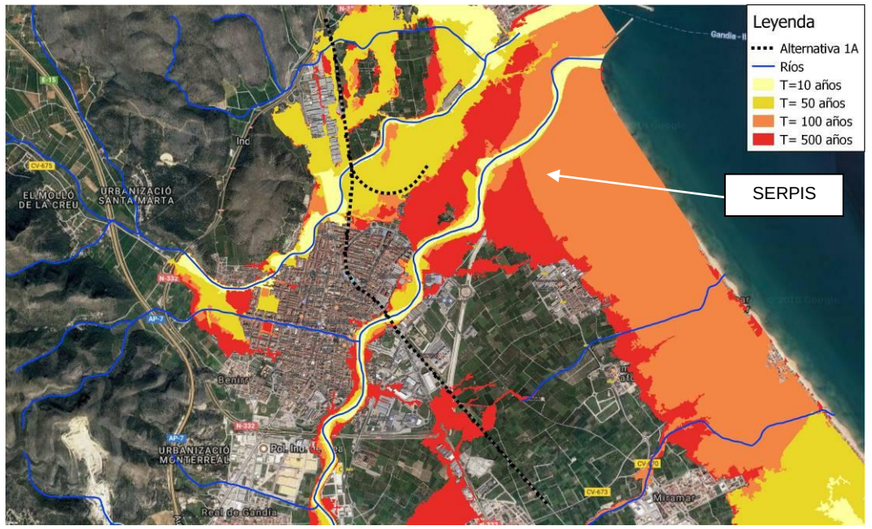
### 7.4.- Análisis de las áreas con riesgo potencial significativo de inundación (ARPSIs)

Las ARPSIs son aquellas zonas en las que existe un riesgo potencial de inundación significativo o bien en las cuales la materialización de tal riesgo pueda considerarse probable.

A continuación se analizan las áreas con riesgo potencial significativo de inundación afectadas por el trazado de las alternativas estudiadas, a partir de las “fichas resumen de mapas de peligrosidad y riesgo de las áreas de riesgo potencial significativo” publicadas por la Confederación Hidrográfica del Júcar, con fecha de Agosto de 2013.

**ALTERNATIVAS 1A Y 1B**

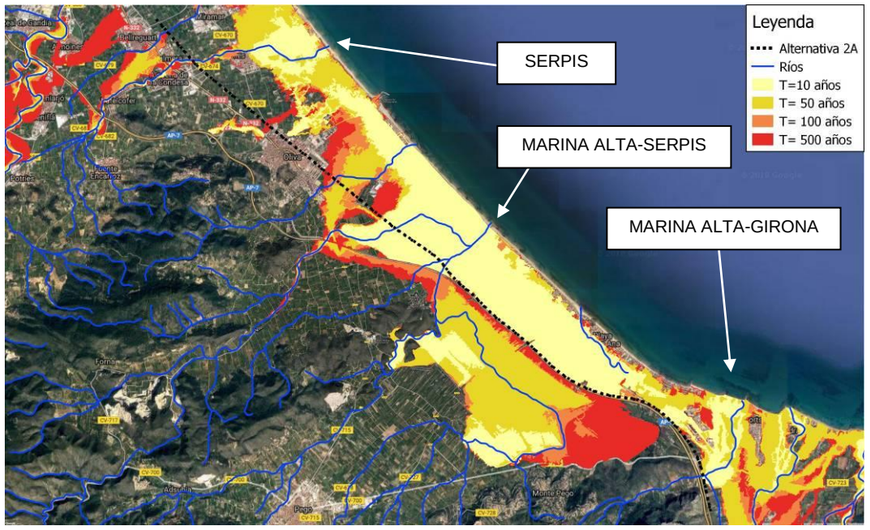
Las alternativas 1A y 1B discurren por la cuenca del Serpis (subcuenca del río Serpis), donde interceptan los cauces del río Serpis y la Rambla de Sant Nicolau.




| RESUMEN DE RIESGOS CUENCA DEL SERPIS | | |
|---|---|---|
| Nº estimado habitantes que pueden estar afectados en la zona inundable (T=500 años) | | 20.171 |
| Daños económicos estimados en la zona inundable (T=500 años) | | 1.615.065.000 € |
| Afección a elementos destacables del patrimonio cultural | ☑ SÍ | ☐ NO |
| Afección a elementos que pueden tener repercusión en el medio ambiente | ☑ EDAR | ☐ IPPC |
| | ☑ OTROS | |
| Afección a vías de comunicación principales | ☑ SÍ | ☐ NO |

**ALTERNATIVAS 2A Y 2B**

Las alternativas 2A y 2B interceptan los cauces del Barranquet de Palmera, Rambla de Gallinera y el Barranc de Les Portelles correspondientes, respectivamente a las cuencas del río Serpis, Marina Alta-Serpis (subcuenca del Marjal de Pego) y Marina Alta (subcuenca Girona).



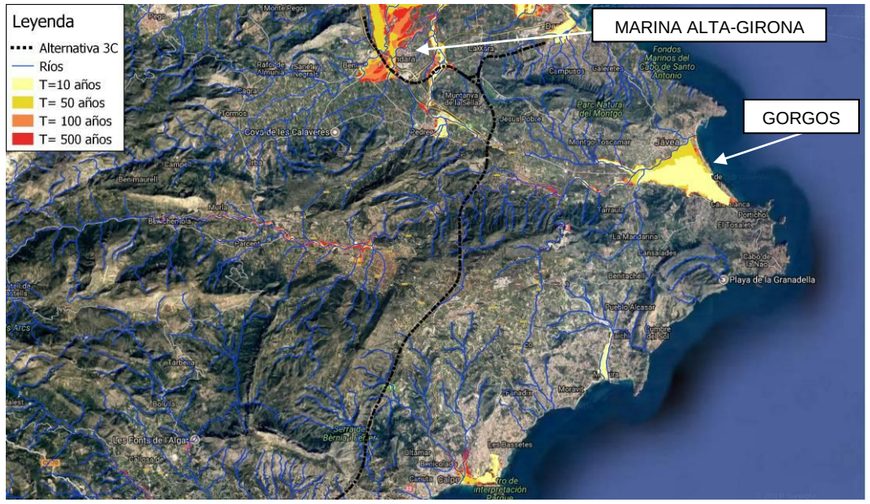

| RESUMEN DE RIESGOS CUENCA DEL SERPIS | | |
|---|---|---|
| Nº estimado habitantes que pueden estar afectados en la zona inundable (T=500 años) | | 20.171 |
| Daños económicos estimados en la zona inundable (T=500 años) | | 1.615.065.000 € |
| Afección a elementos destacables del patrimonio cultural | ☑ SÍ | ☐ NO |
| Afección a elementos que pueden tener repercusión en el medio ambiente | ☑ EDAR | ☐ IPPC |
| | ☑ OTROS | |
| Afección a vías de comunicación principales | ☑ SÍ | ☐ NO |

| RESUMEN DE RIESGOS CUENCA DEL MARINA ALTA- SERPIS | | |
|---|---|---|
| Nº estimado habitantes que pueden estar afectados en la zona inundable (T=500 años) | | 9.231 |
| Daños económicos estimados en la zona inundable (T=500 años) | | 953.500.400 € |
| Afección a elementos destacables del patrimonio cultural | ☐ SÍ | ☑ NO |
| Afección a elementos que pueden tener repercusión en el medio ambiente | ☑ EDAR | ☑ IPPC |
| | ☐ OTROS | |
| Afección a vías de comunicación principales | ☑ SÍ | ☐ NO |

| RESUMEN DE RIESGOS CUENCA DEL MARINA ALTA- GIRONA | | |
|---|---|---|
| Nº estimado habitantes que pueden estar afectados en la zona inundable (T=500 años) | | 8.654 |
| Daños económicos estimados en la zona inundable (T=500 años) | | 855.518.500 € |
| Afección a elementos destacables del patrimonio cultural | ☑ SÍ | ☐ NO |
| Afección a elementos que pueden tener repercusión en el medio ambiente | ☑ EDAR | ☐ IPPC |
| | ☐ OTROS | |
| Afección a vías de comunicación principales | ☑ SÍ | ☐ NO |

**ALTERNATIVAS 3C, 3Cbis Y 3D**

Las alternativas 3C, 3Cbis y 3D interceptan los cauces del Río Girona, Barranc de l'Alberca y Barranc de la Fusta, correspondientes a la cuenca Marina Alta (subcuenca Girona). Así mismo, afectan al río Gorgos correspondiente a la cuenca Marina Alta (subcuenca Gorgos).




| RESUMEN DE RIESGOS CUENCA DEL MARINA ALTA- GIRONA | | |
|---|---|---|
| Nº estimado habitantes que pueden estar afectados en la zona inundable (T=500 años) | | 8.654 |
| Daños económicos estimados en la zona inundable (T=500 años) | | 855.518.500 € |
| Afección a elementos destacables del patrimonio cultural | ☑ SÍ | ☐ NO |
| Afección a elementos que pueden tener repercusión en el medio ambiente | ☑ EDAR | ☐ IPPC |
| | ☐ OTROS | |
| Afección a vías de comunicación principales | ☑ SÍ | ☐ NO |

| RESUMEN DE RIESGOS CUENCA DEL MARINA ALTA- GORGOS | | |
|---|---|---|
| Nº estimado habitantes que pueden estar afectados en la zona inundable (T=500 años) | | 1.177 |
| Daños económicos estimados en la zona inundable (T=500 años) | | 385.721.500 € |
| Afección a elementos destacables del patrimonio cultural | ☑ SÍ | ☐ NO |
| Afección a elementos que pueden tener repercusión en el medio ambiente | ☑ EDAR | ☐ IPPC |
| | ☐ OTROS | |
| Afección a vías de comunicación principales | ☑ SÍ | ☐ NO |
| Otras afecciones<br><br>Puede afectar a instalaciones relacionadas con el transporte marítimo | | |

## 7.5.- Medidas a adoptar frente al riesgo de inundación

En primer lugar, y dado que las alternativas planteadas se encuentra afectado por el riesgo de inundación, será necesario la realización de un Estudio de Inundabilidad con el siguiente contenido mínimo:

a) Delimitación precisa de la cuenca o tramo

b) Estudio geomorfológico de la zona inundable

c) Estudio de las inundaciones históricas

d) Estudio hidrológico de la cuenca vertiente a la zona inundable

e) Estudio hidráulico de la zona inundable

f) Cartografías de peligrosidad de inundación y de riesgo de inundación

g) Previsión de medidas correctoras y justificación

El contenido del estudio de inundabilidad, se adaptará al caso concreto que se esté analizando, y en fases posteriores deberá profundizar con el detalle suficiente en la problemática identificada.

De acuerdo a lo dispuesto a la normativa vigente, no se proyectará tipo de edificación en la zona del Dominio Público Hidráulico, así como tampoco obras de infraestructuras que sean vulnerables o puedan modificar negativamente el proceso de inundación, incrementando los daños susceptibles de producirse como consecuencia de la misma.

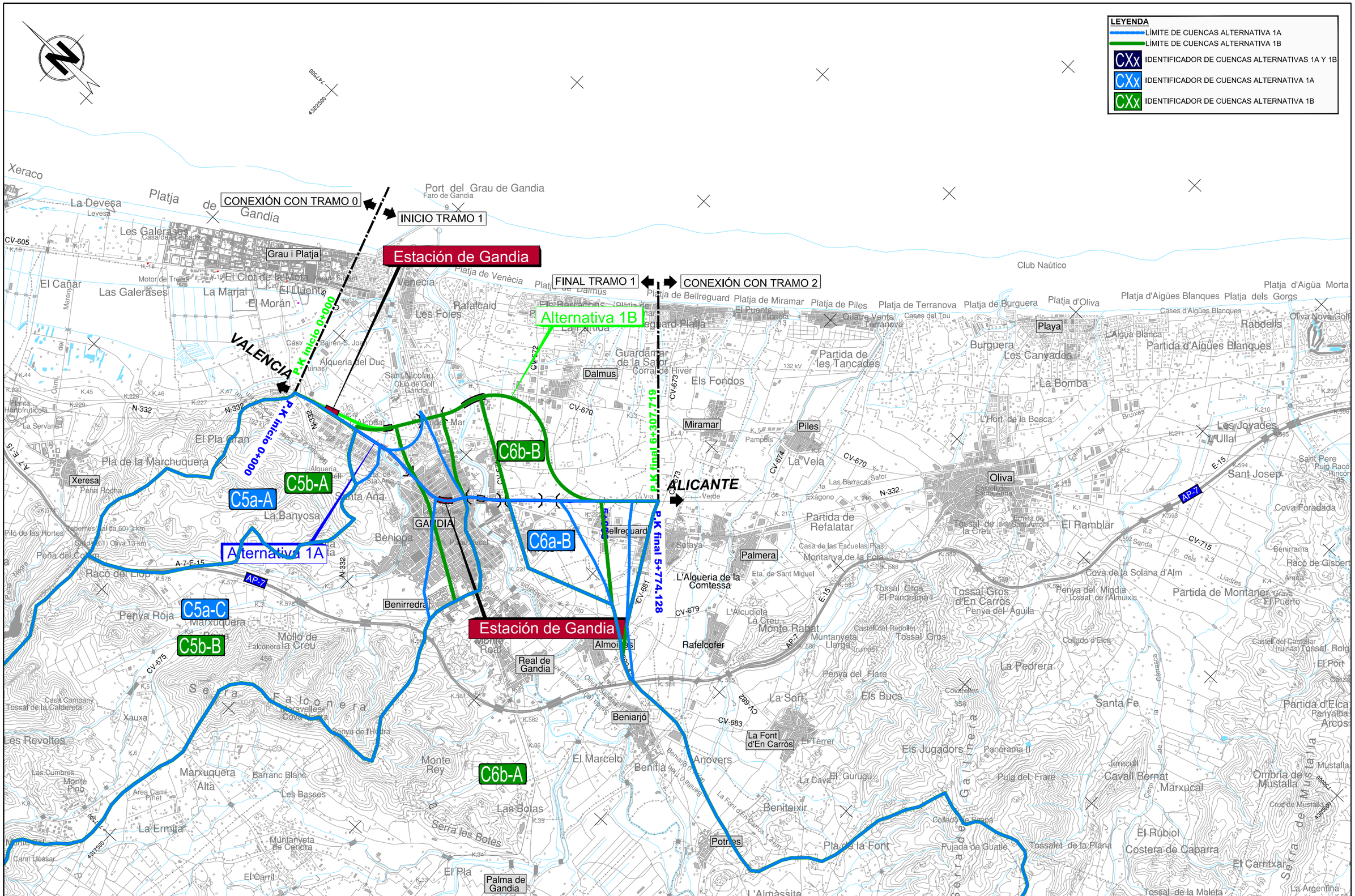
Las infraestructuras que se sitúen en la superficie del terreno, los apoyos de infraestructuras aéreas, los elementos superficiales de las infraestructuras subterráneas no deberán provocar un incremento del riesgo de inundación en los usos urbanos actuales o planificados.

Los periodos de retorno de diseño del drenaje transversal y de protección de las infraestructuras de todo tipo, para la presente línea ferroviaria Valencia-Alicante serán de 500 años, tanto en este Estudio Informativo como para fases posteriores, en virtud de lo dispuesto en el Decreto 201/2015.

Los drenajes transversales de las infraestructuras lineales, con el fin de evitar su obstrucción, tendrán una dimensión mínima libre de obstáculos de un metro (1 m), salvo que parte de la sección libre se encontrara por debajo del nivel del terreno, en cuyo caso la sección libre mínima será de un metro y medio cuadrados (1,5 $m^2$).

Igualmente, con el fin de no disminuir la capacidad de desagüe de las zonas agrícolas afectadas por peligrosidad de inundación, se evitará la sobreelevación o cubrimiento de las redes de acequias y azarbes.

# APÉNDICE Nº1. DELIMITACIÓN DE CUENCAS


LEYENDA
LÍMITE DE CUENCAS ALTERNATIVA 1A
LÍMITE DE CUENCAS ALTERNATIVA 1B
CXx IDENTIFICADOR DE CUENCAS ALTERNATIVAS 1A Y 1B
CXx IDENTIFICADOR DE CUENCAS ALTERNATIVA 1A
CXx IDENTIFICADOR DE CUENCAS ALTERNATIVA 1B
CONEXIÓN CON TRAMO 0
INICIO TRAMO 1
FINAL TRAMO 1
CONEXIÓN CON TRAMO 2
Estación de Gandia
Alternativa 1B
Alternativa 1A
VALENCIA
ALICANTE
P.K. inicio 0+000
P.K final 6+307,719
P.K final 5+774,128
C5a-A
C5a-B
C5a-C
C5b-A
C5b-B
C6a-B
C6b-A
C6b-B
Xeraco
Platja de Gandia
Port del Grau de Gandia
Faro de Gandia
La Devesa
Les Galerases
Grau i Platja
El Cañar
Las Galerases
La Marjal
El Morán
El Clot de la Mota
El Fluent
Venecia
Platja de Venècia
Rafalcaid
Les Foies
Alqueria del Duc
Sant Nicolau
Club de Golf Gandia
Guardamar de la Safor
Corral de Hivern
Dalmus
Els Fondos
Partida de les Tancades
Platja de Bellreguard
Platja de Miramar
Platja de Piles
Platja de Terranova
Platja de Burguera
Platja d'Oliva
Platja d'Aigües Blanques
Platja dels Gorgs
Platja d'Aigüa Morta
Club Naútico
Playa
Burguera
Les Canyades
La Bomba
Partida d'Aigües Blanques
Rabdells
Oliva Nova Golf
Miramar
Piles
Pampols
La Vela
L'Hort de la Bosca
Oliva
Les Joyades
Ullal
Sant Pere
Sant Josep
Cova Foradada
Puig Racó Rincón
Pla de la Marchuquera
Xeresa
Pena Rocha
El Pla Gran
Alqueria Bell
Santa Ana
La Banyosa
Benicopa
GANDIA
Bellreguard
Partida de Refalatar
Solaya
Palmera
Casa de las Escuelas Pías
Montanya de la Foia
L'Alqueria de la Comtessa
Eta. de Sant Miguel
Tossal Gros El Panorama I
Tossal Gros d'En Carros
Penya del Aguila
Penya del Midia
Tossal de l'Almuixic
Cova de la Solana d'Alm
Partida de Montanier
Benirrama
Racó de Gisbert
Tossal de la Creu
Ermita de Sant Antoni
El Ramblar
Senda dels Cavalls
Raco del Llop
Penya Roja
Marxuquera
Benirredra
Molló de la Creu
Falconera
Serra Falconera
Monte Real
Almoines
Real de Gandia
Rafelcofer
L'Alcudiola
La Creu
Monte Rabat
Muntanyeta Llarga
Tossal Gros
Castell del Rebollet
Collado d'Elca
Penya del Flare
La Sort
Els Bucs
La Pedrera
Santa Fe
Partida d'Elca
Penyalba
Arcos
Castell del Castellar
Tossal Roig
El Port
Beniarjó
La Font d'En Carros
El Terrer
Els Jugadors
Panorama II
Les Revoltes
Casa Company
Tossal de la Calderota
Xauxa
Monte Pino
Marxuquera Alta
Barranc Blanc
Les Basses
Area Camí Pinet
La Ermita
Muntanyeta de Cendra
Camí Tossar
Monte Rey
El Marcelo
Benilla
Anovers
La Cava
El Gurugú
Puig del Frare
Jerecull
Cavall Bernat
Marxucar
Ombria de Mustalla
Mustalla
Cruz de Mustalla
Las Botas
Serra les Botes
Benitaixir
Pla de la Font
Collado de Bataboá
Pujada de Gualié
Tossalet de la Plana
El Rubiol
Costera de Caparra
El Carritxar
Serra de Mustalla
Potries
El Pla
El Carril
Palma de Gandia
L'Almàssita
La Argentina
Tossal de la Moleta
Les Revoltes
Partida de Refalatar
Cova de la Solana d'Alm
Penya del Midia
Tossal de l'Almuixic
Partida de Montanier
Benirrama
Racó de Gisbert
Cova Foradada
Sant Pere
Puig Racó
Rincón
Sant Josep
Oliva
Playa
Platja d'Aigües Blanques
Platja dels Gorgs
Platja d'Aigüa Morta
Rabdells
Oliva Nova Golf
Partida d'Aigües Blanques
Les Joyades
Ullal
Cova Foradada
Partida de Montanier
Partida d'Elca
Penyalba
Arcos
Santa Fe
Els Bucs
La Pedrera
Els Jugadors
Panorama II
Jerecull
Cavall Bernat
Marxucar
Ombria de Mustalla
Mustalla
Cruz de Mustalla
El Rubiol
Costera de Caparra
El Carritxar
Pla de la Font
Collado de Bataboá
Pujada de Gualié
Tossalet de la Plana
Potries
L'Almàssita
La Argentina
Tossal de la Moleta
El Ramblar
Tossal de la Creu
Ermita de Sant Antoni
Benirredra
Almoines
Real de Gandia
Rafelcofer
L'Alcudiola
Monte Rabat

GRAU I PLATJA

RIO SERPIS

GAUARDAMAR DE LA SAFOR

PILES

MIRAMAR

DAIMÚS

Final Tramo 1

Conexión con Tramo 2

ALTERNATIVA 1B

C5b-C Superficie: 1.386.221m²

ALTERNATIVAS 1A Y 1B

C5a-B Superficie: 230.798m²

ESTACIÓN DE GANDÍA

VALENCIA

ALICANTE

C6b-B Superficie: 2.649.733m²

C7a-B Superficie: 324.804m²

L'ALQUERÍA DE LA COMTESSA

C5a-D Superficie: 509.006m²

ESTACIÓN DE GANDÍA MERCANCÍAS (Existente)

C7a-A Superficie: 1.008.915m²

BELLREGUARD

Conexión con Tramo 0

Inicio Tramo 1

ALTERNATIVA 1A

ESTACIÓN DE GANDÍA

C5a-A Superficie: 5.778.782m²

N-332

C6a-B Superficie: 1.123.103m²

C7b-A Superficie: 894.610m²

C5b-A Superficie: 5.779.847m²

GANDÍA

C5a-E Superficie: 934.003m²

RAFELCOFER

RIO SERPIS

C5a-C Superficie: 39.126.782m²

ALMOINES

C5b-B Superficie: 39.793.610m²

C6a-A Superficie: 746.809.614m²

C6b-A Superficie: 747.654.086m²

AP-7

**LEYENDA**

- LÍMITE DE CUENCAS ALTERNATIVA 1A
- LÍMITE DE CUENCAS ALTERNATIVA 1B
- CXx IDENTIFICADOR DE CUENCAS ALTERNATIVAS 1A Y 1B
- CXx IDENTIFICADOR DE CUENCAS ALTERNATIVA 1A
- CXx IDENTIFICADOR DE CUENCAS ALTERNATIVA 1B

\\PlanosIA_04_01_01_Cuencas_Tramo1_Pta.dwg

MINISTERIO DE FOMENTO

SECRETARÍA DE ESTADO DE INFRAESTRUCTURAS, TRANSPORTE Y VIVIENDA

SECRETARÍA GENERAL DE INFRAESTRUCTURAS

TÍTULO

ESTUDIO INFORMATIVO DE LA LÍNEA FERROVIARIA VALENCIA - ALICANTE (TREN DE LA COSTA)

AUTOR

JAVIER CASADO BARAHONA

TRN Ingeniería

ESCALA ORIGINAL A3

1:25.000

0 250 500 m

NUMÉRICA GRÁFICA

FECHA

FEBRERO 2018

Nº DE PLANO

1.1

HOJA 1 DE 1

TÍTULO DEL PLANO

DELIMITACIÓN DE CUENCAS
Tramo 1
Planta General

**LEYENDA**

- LÍMITE DE CUENCAS ALTERNATIVA 2A
- LÍMITE DE CUENCAS ALTERNATIVA 2B
- CXx — IDENTIFICADOR DE CUENCAS ALTERNATIVAS 2A Y 2B
- CXx — IDENTIFICADOR DE CUENCAS ALTERNATIVA 2A
- CXx — IDENTIFICADOR DE CUENCAS ALTERNATIVA 2B

CONEXIÓN CON TRAMO 1

INICIO TRAMO 2

Estación de Oliva

Alternativa 2B

Alternativa 2A

P.K inicio 0+000

5+000

10+000

15+000

P.K final 19+462.711

VALENCIA

ALICANTE

C7a-Ay7b-A

C7a-By7b-B

C7a-E

C7a-Hy7b-H

C7a-Iy7b-I

C7a-Jy7b-J

C7a-Ky7b-K

C7a-Ly7b-L

C7a-My7b-L

C7b-E

C7b-F

C7b-G

PARC NATURAL DE LA MARJAL DE PEGO-OLIVA

LA MARINA ALTA

FINAL TRAMO 2

CONEXIÓN CON TRAMO 3

Punta de l'Almadrava

Punta del Cadastre

Platja de Les Ca

Almadrava Park

P. de l'Almadrava

Sorts de la Mar

Platja Oest

Costa la Calma

Urb. Bonamar

Mirarrosa

Poble dels Tard

Deveses

Club Almadrava

CV-730

Platja de Bellreguard

Platja de Miramar

Platja de Piles

Platja de Terranova

Platja de Burguera

Platja d'Oliva

Platja d'Aigües Blanques

Platja dels Gorgs

Cases d'Aigües Blanques

Platja d'Aigüa Morta

Platja la Devesa

Platja Santa Anna

Platja de Les Rosas

Els Figuerals

Guardamar de la Safor

Corral de Hiver

Els Fondos

Partida de les Tancades

Quatre Vents

Terranova

Cases del Tou

Burguera

Les Canyades

Playa

Água Blanca

Rabdells

Partida d'Aigües Blanques

La Bomba

Oliva Nova Golf

San Fernando

Saqueario

Santa Anna

La Devesa

Miramar

Piles

Pampols

La Vela

CV-674

CV-673

CV-670

Bruixes

Manegues

El Molinell

Bofer

Els Torrents

Safari Parc

Les Cortelles

Penya

Marjal d'Oriol

Les Jovades

L'Ullal

Oliva

N-332

Palmera

Selaya

Partida de Refalatar

Exágono

Casa de las Escuelas Pias

Monteraya de la Foia

Ermita de Sant Antoni

El Ramblar

Sant Josep

Sant Pere

Puig Racó

Rincón

Cova Foradada

L'Alqueria de la Comtessa

Eta. de Sant Miguel

Rafelcofer

Muntanyeta Llarga

Castell de Rebolleta (ruinas)

Tossal Gros

Penya del Águila

Tossal d'En Carros

Penya del Migdia

Tossal de l'Almuixic

Benitorama

Racó de Gisbert

Els Racons

Els Canyarets

Racons

Casa de Mulet

Monte Pego

Monte Pego II

Tossal de la Creu

Racó del Marqués

Racons del Calpi

Ombria del Moro

Serra Negra

Massils

Coll del Barranc de Ramo

Penyes Rojes

Penyes de la Rabosa

El Planter

Mont Negre

Sanet y Negrals

Benimeli

Caem

Tormos

El Ràfol d'Almúnia

Tossal de Nasio

Costera de Xofre

Llomes del Barranc

Pla de Tarcó de Prall

Tossal del Moro

Monte Pego

Tossal del Águila

Rafol d'Almúnia 1.4 Km

Tossal Ras

Tossal de Banyo

Seniata

Pozo y Motor San Sebastian

Olivarets

Pla de la Cas

Monte Cavall

Creu de Cavall

Sagra

Costera de la Bolata

Toll de Morell

Els Bucs

La Font d'En Carros

Anovers

La Cava

El Gurugu

Beniteixir

Potries

Pla de la Font

L'Almassita

Els Jugadors

Santa Fe

Panorama II

Jerecull

Cavall Berna

Puig del Frare

Collado de Pujada

Pujada de Guatle

Tossalet de la Plana

El Rubiol

Costera de Caparra

Les Penyes

Forna

Castell de Villalonga (ruinas)

Casa el Valenciano

Tossal de la Moleta

Penya Negra

La Argentina

Partida d'Elca

Penyalba

Arcos

Els Rombins

Beniganim

Penya Roja

Mustalla

Ombria de Mustalla

Cruz de Mustalla

Ermita de Sant Antoni

Venta de Marcall

Cañyo

El Carrixo

Pego

Ermita de Sant Sebastia

Casa de Ambra

Sagra 5.5 km

Els Racons

Tossalet de Bullento

Tossal de les Mondes

El Sorrell

Tossal del Moro

Tossal del Águila

Costera de Xofre

Els Racons

Castell del Castellar (ruinas)

El Port

El Puerto

Caliza

Cova Tallada

Cova Foradada

Partida d'Elca

Penyalba

Arcos

Els Rombins

Beniganim

Penya Roja

Pla de Tarcó de Prall

Llomes del Barranc

Tossal Ras

Tossal de Banyo

Seniata

Pozo y Motor San Sebastian

Olivarets

Pla de la Cas

Monte Cavall

Creu de Cavall

Sagra

Costera de la Bolata

Toll de Morell

Ermita de Sant Sebastia

Casa de Ambra

Sagra 5.5 km

Pont de Quintanilla

Pont de l'Horta

Tossalet de Bullento

Tossal de les Mondes

El Sorrell

Tossal del Moro

Tossal del Águila

Costera de Xofre

Rafol d'Almúnia 1.4 Km

Tossal de Nasio

Penyes de la Rabosa

Penyes Rojes

Coll del Barranc de Ramo

Massils

Racons

Casa de Mulet

Monte Pego

Monte Pego II

Tossal de la Creu

Racó del Marqués

Racons del Calpi

Ombria del Moro

Serra Negra

Els Racons

Els Canyarets

Tossal de les Mondes

El Sorrell

Tossal del Moro

Tossal del Águila

Costera de Xofre

Rafol d'Almúnia 1.4 Km

Tossal de Nasio

Penyes de la Rabosa

El Planter

Mont Negre

Sanet y Negrals

Benimeli

Caem

Tormos

El Ràfol d'Almúnia

Llomes del Barranc

Pla de Tarcó de Prall

GAUARDAMAR DE LA SAFOR

MIRAMAR

Conexión con Tramo 1

Inicio Tramo 2

ALTERNATIVAS 2A Y 2B

PILES

ALTERNATIVA 2B

ESTACIÓN DE OLIVA

C7b-F Superficie: 2.075.179m²

C7a-G Superficie: 226.015m²

C7b-D Superficie: 1.086.047m²

C7b-E Superficie: 5.206.865m²

ESTACIÓN DE OLIVA

C7b-G Superficie: 7.614.345m²

VALENCIA

C7a-F Superficie: 688.814m²

OLIVA

N-332

PALMERA

BELLREGUARD

C7a-D Superficie: 1.000.367m²

N-332

AP-7

CV-715

ALTERNATIVA 2A

L'ALQUERIA DE LA COMTESSA

C7a-E Superficie: 4.338.654m²

C7a-Iy7b-H Superficie: 68.467.523m²

C7a-Ay7b-A Superficie: 2.923.851m²

C7a-Cy7b-C Superficie: 1.386.762m²

C7a-Jy7b-I Superficie: 9.451.525m²

C7a-H Superficie: 7.050.241m²

AP-7

C7a-By7b-B Superficie: 10.552.156m²

RAFELCOFER

C7a-Ky7b-J Superficie: 30.913.939m²

Solape hoja 2 de 2

**LEYENDA**

- LÍMITE DE CUENCAS ALTERNATIVA 2A
- LÍMITE DE CUENCAS ALTERNATIVA 2B
- CXx IDENTIFICADOR DE CUENCAS ALTERNATIVAS 2A Y 2B
- CXx IDENTIFICADOR DE CUENCAS ALTERNATIVA 2A
- CXx IDENTIFICADOR DE CUENCAS ALTERNATIVA 2B

\\Planos\A_04_02_01_Cuencas_Tramo2_Pta.dwg

MINISTERIO DE FOMENTO

SECRETARÍA DE ESTADO DE INFRAESTRUCTURAS,TRANSPORTE Y VIVIENDA

SECRETARÍA GENERAL DE INFRAESTRUCTURAS

TÍTULO

ESTUDIO INFORMATIVO DE LA LÍNEA FERROVIARIA VALENCIA - ALICANTE (TREN DE LA COSTA)

AUTOR

JAVIER CASADO BARAHONA

TRN Ingeniería

ESCALA ORIGINAL A3

1:25.000

0 250 500 m

NUMÉRICA GRÁFICA

FECHA

FEBRERO 2018

Nº DE PLANO

2.1

HOJA 1 DE 2

TÍTULO DEL PLANO

DELIMITACIÓN DE CUENCAS
Tramo 2
Planta General

1 2

SORTS DE LA MAR

ALTERNATIVAS 2A Y 2B

C7a-Jy7b-I Superficie: 9.451.525m²

C7a-Ky7b-J Superficie: 30.913.939m²

C7a-Ly7b-K Superficie: 36.970.625m²

C7a-My7b-L Superficie: 5.815.513m²

C7a-Ny7b-M Superficie: 3.944.112m²

N-332

AP-7

CV-618

CV-700

ALICANTE

Final Tramo 2

Conexión con Tramo 3

Solape hoja 1 de 2

**LEYENDA**

- LÍMITE DE CUENCAS ALTERNATIVA 2A
- LÍMITE DE CUENCAS ALTERNATIVA 2B
- CXx IDENTIFICADOR DE CUENCAS ALTERNATIVAS 2A Y 2B
- CXx IDENTIFICADOR DE CUENCAS ALTERNATIVA 2A
- CXx IDENTIFICADOR DE CUENCAS ALTERNATIVA 2B

\\PlanosA_04_02_01_Cuencas_Tramo2_Pta.dwg

MINISTERIO DE FOMENTO

SECRETARÍA DE ESTADO DE INFRAESTRUCTURAS,TRANSPORTE Y VIVIENDA

SECRETARÍA GENERAL DE INFRAESTRUCTURAS

TÍTULO

ESTUDIO INFORMATIVO DE LA LÍNEA FERROVIARIA VALENCIA - ALICANTE (TREN DE LA COSTA)

AUTOR

JAVIER CASADO BARAHONA

TRN ingeniería

ESCALA ORIGINAL A3

1:25.000

0 250 500 m

NUMÉRICA GRÁFICA

FECHA

FEBRERO 2018

Nº DE PLANO

2.1

HOJA 2 DE 2

TÍTULO DEL PLANO

DELIMITACIÓN DE CUENCAS
Tramo 2
Planta General

**LEYENDA**

- LÍMITE DE CUENCAS ALTERNATIVA 3C Y 3Cbis
- LÍMITE DE CUENCAS ALTERNATIVA 3D
- CXx IDENTIFICADOR DE CUENCAS ALTERNATIVAS 3C, 3Cbis y 3D
- CXx IDENTIFICADOR DE CUENCAS ALTERNATIVAS 3C Y 3Cbis
- CXx IDENTIFICADOR DE CUENCAS ALTERNATIVA 3D

ALTERNATIVA 3C
ALTERNATIVA 3C bis
ALTERNATIVA 3D

Aduanas
PARC NATURAL DEL MONTGÓ
Jávea / Xàbia
Punta de Moraira o Cap d'Or
Rotes
Benitachell / El Poble Nou de Benitatxell
Cap Blanc o Punta Estrella
PARQUE NATURAL DEL MONTGÓ
Teulada
TRAM Alicante
Dénia
0+000
Jesús Pobre
Fanadix
PARQUE NATURAL DEL PENYAL D'IFAC
Platja de la Fossa
Marines
C9c-G
C9d-H
Gata de Gorgos
Calpe / Calp
Estación de Denia (Alternativa 3D)
C9c-Ey9d-E
Senija
Benissa
Morro de Toix
Pedreguer
Ondara
C9c-Dy9d-D
Lliber
C11c-Dy11d-D
Mirarrosa
C9c-By9d-B
C10c-Fy10d-F
El Verger
Beniarbeig
Xaló/Jalón
VALENCIA
Llosa de Camacho
C11c-Oy11d-O
C11c-Ty11d-T
C8c-By8d-B
L'Olla
ALICANTE
Benidoleig
Sanet y Negrals
Alcalalí
C8c-Cy8d-C
Benimeli
FINAL TRAMO 3
Parcent
El Ràfol d'Almúnia
INICIO TRAMO 3
CONEXIÓN CON TRAMO 2
CONEXIÓN CON TRAMO 4+5
Tormos
Altea
Tàrbena
Bolulla

\\PlanosIA_04_03_00_Cuencas_Tramo3_Situacion.dwg

| | | | | | | |
|---|---|---|---|---|---|---|
| MINISTERIO DE FOMENTO<br>SECRETARÍA DE ESTADO DE INFRAESTRUCTURAS, TRANSPORTE Y VIVIENDA<br>SECRETARÍA GENERAL DE INFRAESTRUCTURAS | TÍTULO<br>ESTUDIO INFORMATIVO DE LA LÍNEA FERROVIARIA VALENCIA - ALICANTE (TREN DE LA COSTA) | AUTOR<br>JAVIER CASADO BARAHONA<br>TRN ingeniería | ESCALA ORIGINAL A3<br>1:100.000<br>0 1.000 2.000 m<br>NUMÉRICA GRÁFICA | FECHA<br>FEBRERO 2018 | Nº DE PLANO<br>3.0<br>HOJA 1 DE 1 | TÍTULO DEL PLANO<br>DELIMITACIÓN DE CUENCAS<br>Tramo 3<br>Plano de Situación |

Conexión con Tramo 2

Inicio Tramo 3

VERGEL

VALENCIA

C8c-Ay8d-A Superficie: 565.656m²

C8c-By8d-B Superficie: 3.239.959m²

AP-7

ALTERNATIVAS 3C, 3Cbis Y 3D

ONDARA

C8c-Cy8d-C Superficie: 106.816.378m²

BENIARBEIG

C9c-Ay9d-A Superficie: 704.656m²

C9c-Cy9d-C Superficie: 592.554m²

CV-725

N-332

C9c-By9d-B Superficie: 12.015.680m²

C9c-Ey9d-E Superficie: 12.260.301m²

C9c-Dy9d-D Superficie: 8.943.823m²

PEDREGUER

Sigue hoja 2 de 3

ALTERNATIVAS 3C Y 3Cbis

VARIANTE TRAM (alternativa 3D)

CV-724

LA XARXA

ESTACIÓN DE DENIA

ALTERNATIVA 3D

C9d-F Superficie: 2.180.851m²

C9c-F Superficie: 2.096.349m²

MUNTANYA DE LA SELLA

C9c-My9d-G Superficie: 457.782m²

C9c-Ny9d-K Superficie: 207.654m²

AP-7

ALICANTE

1

2

3

DENIA

ESTACIÓN DE DENIA

ALTERNATIVAS 3C Y 3Cbis

ESTACIÓN DE DENIA

ALTERNATIVA 3Cbis

C9c-J Superficie: 1.567.980m²

C9c-H Superficie: 884.536m²

C9c-I Superficie: 1.059.419m²

VARIANTE TRAM (alternativas 3C y 3Cbis)

C9c-G Superficie: 3.439.194m²

CV-735

C9d-H Superficie: 3.712.133m²

ALTERNATIVAS 3C, 3Cbis Y 3D

C9c-Oy9d-I Superficie: 451.012m²

C9c-Py9d-J Superficie: 379.190m²

C9c-Qy9d-L Superficie: 333.451m²

C9c-Ry9d-M Superficie: 490.852m²

N-332

**LEYENDA**

- LÍMITE DE CUENCAS ALTERNATIVA 3C Y 3Cbis
- LÍMITE DE CUENCAS ALTERNATIVA 3D
- CXx IDENTIFICADOR DE CUENCAS ALTERNATIVAS 3C, 3Cbis y 3D
- CXx IDENTIFICADOR DE CUENCAS ALTERNATIVAS 3C Y 3Cbis
- CXx IDENTIFICADOR DE CUENCAS ALTERNATIVA 3D

\\Planos\A_04_03_01_Cuencas_Tramo3_Pta.dwg

MINISTERIO DE FOMENTO

SECRETARÍA DE ESTADO DE INFRAESTRUCTURAS, TRANSPORTE Y VIVIENDA

SECRETARÍA GENERAL DE INFRAESTRUCTURAS

TÍTULO

ESTUDIO INFORMATIVO DE LA LÍNEA FERROVIARIA VALENCIA - ALICANTE (TREN DE LA COSTA)

AUTOR

JAVIER CASADO BARAHONA

TRN Ingeniería

ESCALA ORIGINAL A3

1:25.000

0 250 500 m

NUMÉRICA | GRÁFICA

FECHA

FEBRERO 2018

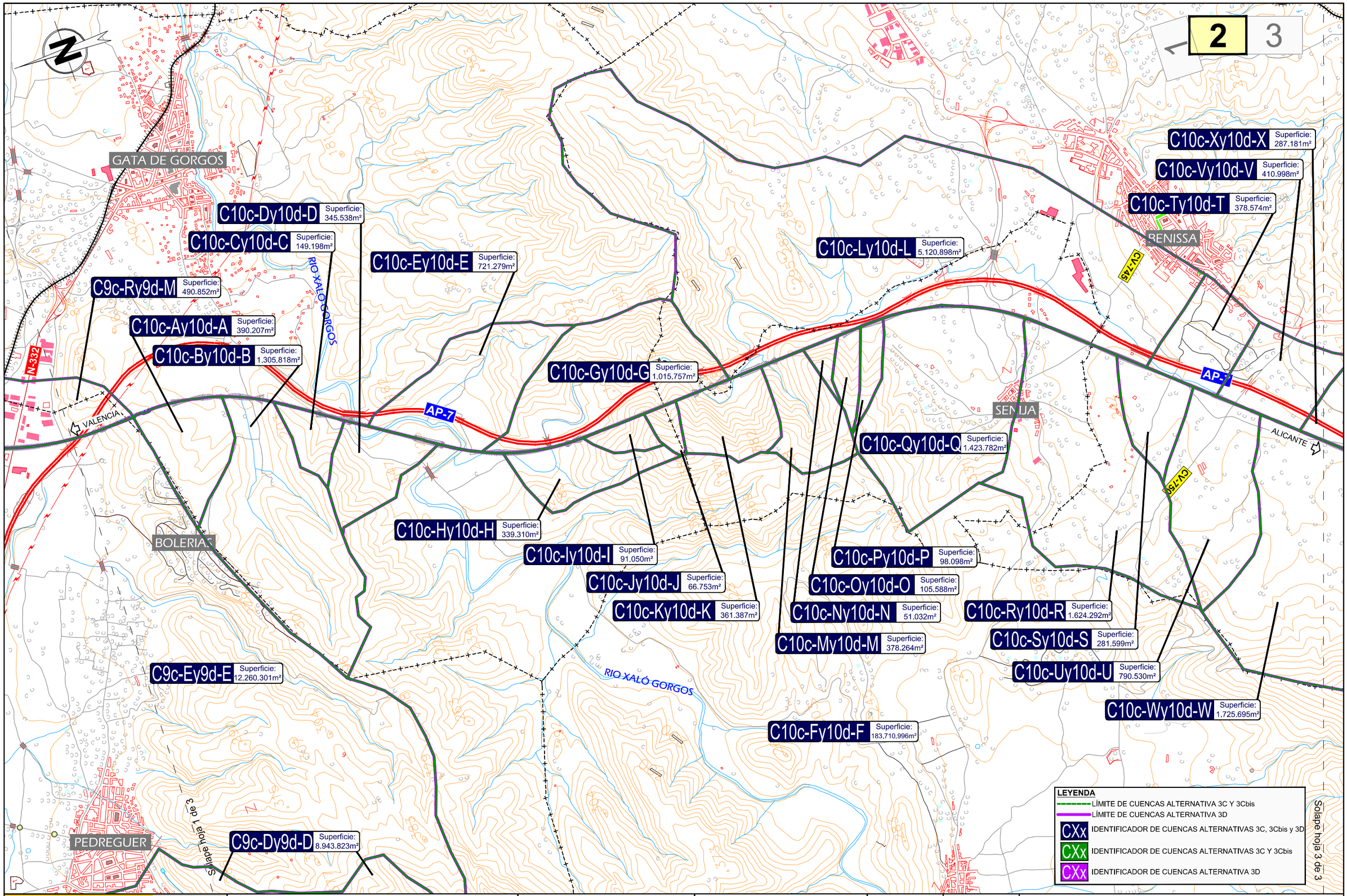
Nº DE PLANO

3.1

HOJA 1 DE 3

TÍTULO DEL PLANO

DELIMITACIÓN DE CUENCAS
Tramo 3
Planta General




\\Planos\A_04_03_01_Cuencas_Tramo3_Pta.dwg

MINISTERIO DE FOMENTO

SECRETARÍA DE ESTADO DE INFRAESTRUCTURAS, TRANSPORTE Y VIVIENDA

SECRETARÍA GENERAL DE INFRAESTRUCTURAS

TÍTULO

ESTUDIO INFORMATIVO DE LA LÍNEA FERROVIARIA VALENCIA - ALICANTE (TREN DE LA COSTA)

AUTOR

JAVIER CASADO BARAHONA

TRN Ingeniería

ESCALA ORIGINAL A3

1:25.000

0 250 500 m

NUMÉRICA GRÁFICA

FECHA

FEBRERO 2018

Nº DE PLANO

3.1

HOJA 2 DE 3

TÍTULO DEL PLANO

DELIMITACIÓN DE CUENCAS
Tramo 3
Planta General

N

N-332

C11c-Ly11d-L Superficie: 259.941m²
C11c-Ky11d-K Superficie: 90.657m²
C11c-Jy11d-J Superficie: 281.888m²
C11c-Iy11d-I Superficie: 219.339m²
C11c-Hy11d-H Superficie: 189.315m²
C11c-Gy11d-G Superficie: 243.885m²
C11c-Cy11d-C Superficie: 242.338m²
C11c-Fy11d-F Superficie: 83.616m²
C11c-Ey11d-E Superficie: 94.051m²

C10c-Vy10d-V Superficie: 410.998m²
C10c-Xy10d-X Superficie: 287.181m²
C11c-Ay11d-A Superficie: 763.314m²
C11c-By11d-B Superficie: 1.114.917m²

C11c-Ny11d-N Superficie: 470.523m²
C11c-Sy11d-S Superficie: 336.680m²
C11c-Ry11d-R Superficie: 248.995m²
C11c-Qy11d-Q Superficie: 18.845m²
C11c-Py11d-P Superficie: 65.340m²
C11c-My11d-M Superficie: 214.694m²
C11c-Vy11d-V Superficie: 161.062m²
C11c-Uy11d-U Superficie: 64.486m²

AP-7
N-332

VALENCIA

ALICANTE

C11c-Dy11d-D Superficie: 3.763.944m²
C11c-Oy11d-O Superficie: 15.254.557m²
C11c-Ty11d-T Superficie: 1.437.605m²

C10c-Yy10d-Y Superficie: 311.393m²
C10c-Wy10d-W Superficie: 1.725.695m²
C10c-Fy10d-F Superficie: 183.710.996m²

Final Tramo 3

Conexión con Tramo 4

ALTEA HILLS

Solape hoja 2 de 3

**LEYENDA**

- LÍMITE DE CUENCAS ALTERNATIVA 3C Y 3Cbis
- LÍMITE DE CUENCAS ALTERNATIVA 3D
- CXx IDENTIFICADOR DE CUENCAS ALTERNATIVAS 3C, 3Cbis y 3D
- CXx IDENTIFICADOR DE CUENCAS ALTERNATIVAS 3C Y 3Cbis
- CXx IDENTIFICADOR DE CUENCAS ALTERNATIVA 3D

\\PlanosIA_04_03_01_Cuencas_Tramo3_Pta.dwg

MINISTERIO DE FOMENTO

SECRETARÍA DE ESTADO DE INFRAESTRUCTURAS, TRANSPORTE Y VIVIENDA

SECRETARÍA GENERAL DE INFRAESTRUCTURAS

TÍTULO

ESTUDIO INFORMATIVO DE LA LÍNEA FERROVIARIA VALENCIA - ALICANTE (TREN DE LA COSTA)

AUTOR

JAVIER CASADO BARAHONA

TRN ingeniería

ESCALA ORIGINAL A3

1:25.000

0 250 500 m

NUMÉRICA GRÁFICA

FECHA

FEBRERO 2018

Nº DE PLANO

3.1

HOJA 3 DE 3

TÍTULO DEL PLANO

DELIMITACIÓN DE CUENCAS
Tramo 3
Planta General

# APÉNDICE Nº2. PRECIPITACIONES MÁXIMAS DIARIAS

## ÍNDICE

**1. PRECIPITACIONES MÁXIMAS DIARIAS ALTERNATIVA 1A .....1**

**2. PRECIPITACIONES MÁXIMAS DIARIAS ALTERNATIVA 1B .....4**

**3. PRECIPITACIONES MÁXIMAS DIARIAS ALTERNATIVA 2A .....7**

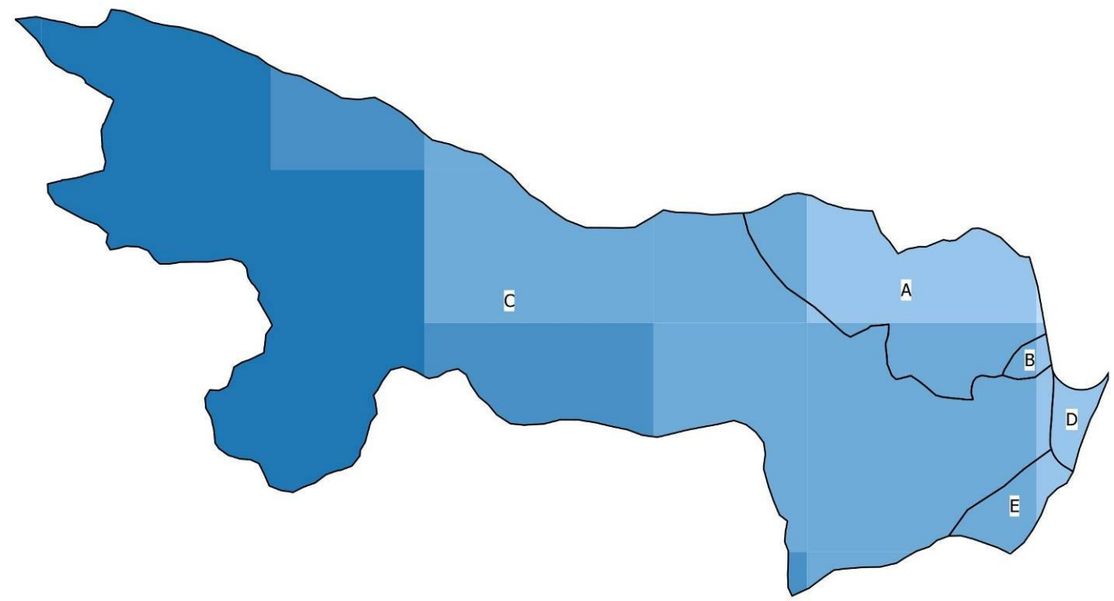
**4. PRECIPITACIONES MÁXIMAS DIARIAS ALTERNATIVA 2B .....8**

**5. PRECIPITACIONES MÁXIMAS DIARIAS ALTERNATIVA 3C Y 3CBIS .....9**

**6. PRECIPITACIONES MÁXIMAS DIARIAS ALTERNATIVA 3D .....11**

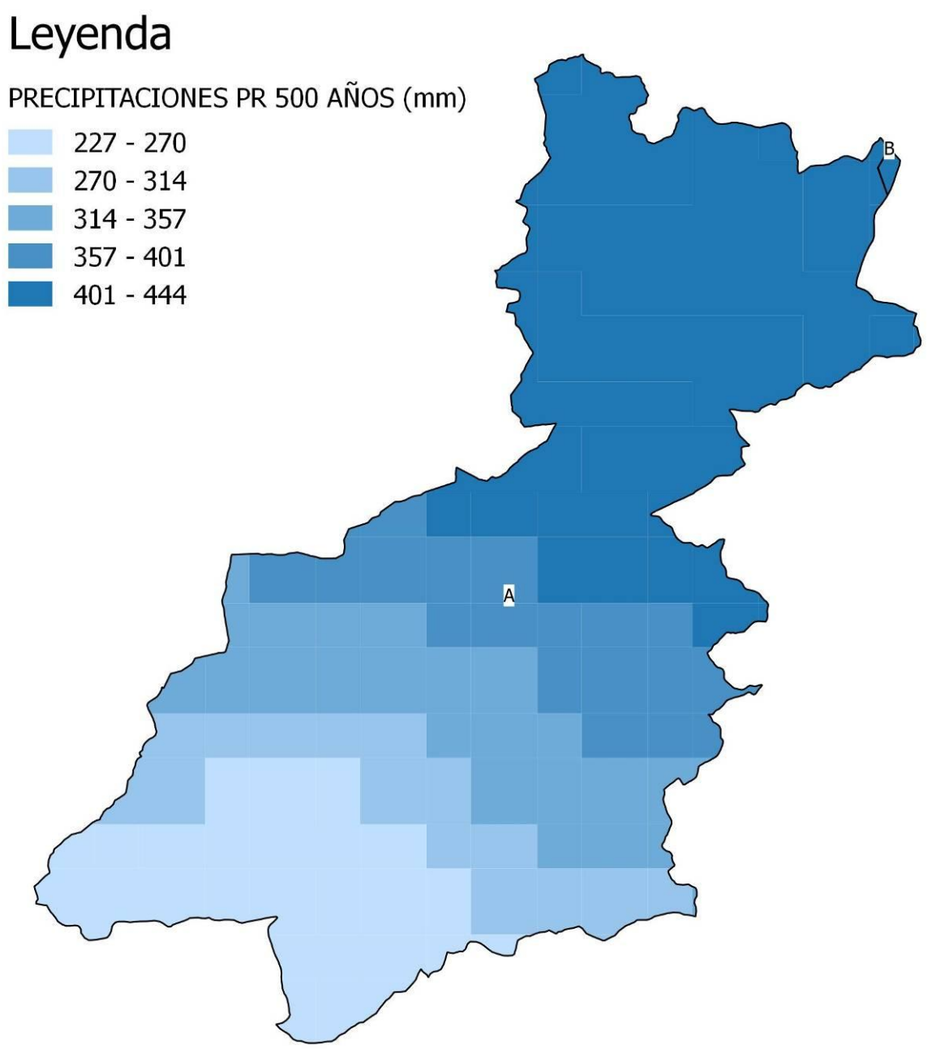
## 1. PRECIPITACIONES MÁXIMAS DIARIAS ALTERNATIVA 1A

**CUENCA 5A**




| CUENCA | SUBCUENCA | p500 | AREA | p500*AREA | **p500 promedio** |
|---|---|---|---|---|---|
| 5a | A | 417 | 28.689 | 11.963.313 | **426** |
| 5a | A | 429 | 2.201.355 | 944.381.295 | |
| 5a | A | 425 | 3.548.738 | 1.508.213.650 | |
| 5a | B | 429 | 154.028 | 66.078.012 | **428** |
| 5a | B | 425 | 76.771 | 32.627.675 | |
| 5a | C | 429 | 8.990.398 | 3.856.880.742 | **435** |
| 5a | C | 425 | 271.694 | 115.469.950 | |
| 5a | C | 440 | 15.524.263 | 6.830.675.720 | |
| 5a | C | 444 | 62.388 | 27.700.272 | |
| 5a | C | 436 | 5.593.324 | 2.438.689.264 | |
| 5a | C | 433 | 8.684.712 | 3.760.480.296 | |
| 5a | D | 425 | 509.003 | 216.326.275 | **425** |
| 5a | E | 429 | 716.468 | 307.364.772 | **428** |
| 5a | E | 425 | 216.421 | 91.978.925 | |

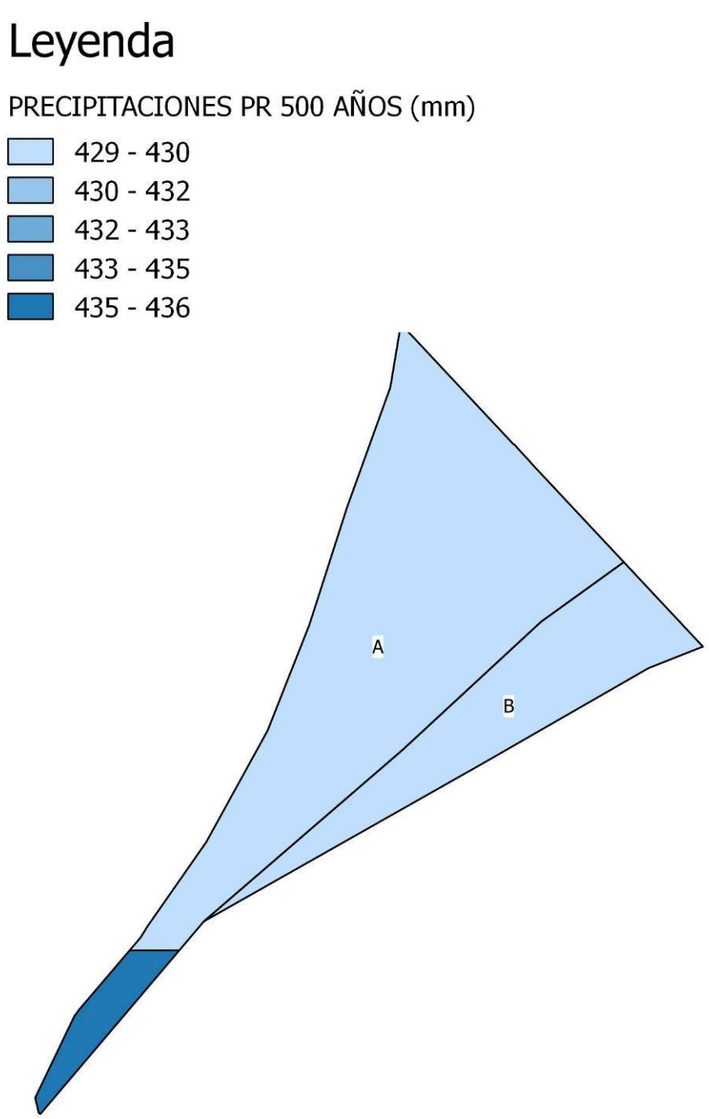
# CUENCA 6A




| CUENCA | SUBCUENCA | p500 | AREA | p500*AREA | **p500 promedio** |
|---|---|---|---|---|---|
| 6a | B | 429 | 886.836 | 380.452.644 | **428** |
| 6a | B | 425 | 236.268 | 100.413.900 | |

*NOTA: La subcuenca A corresponde a la cuenca del Río Serpis, cuyo caudal se ha obtenido directamente a través del SNCZI, por lo que no se ha calculado la precipitación promedio*

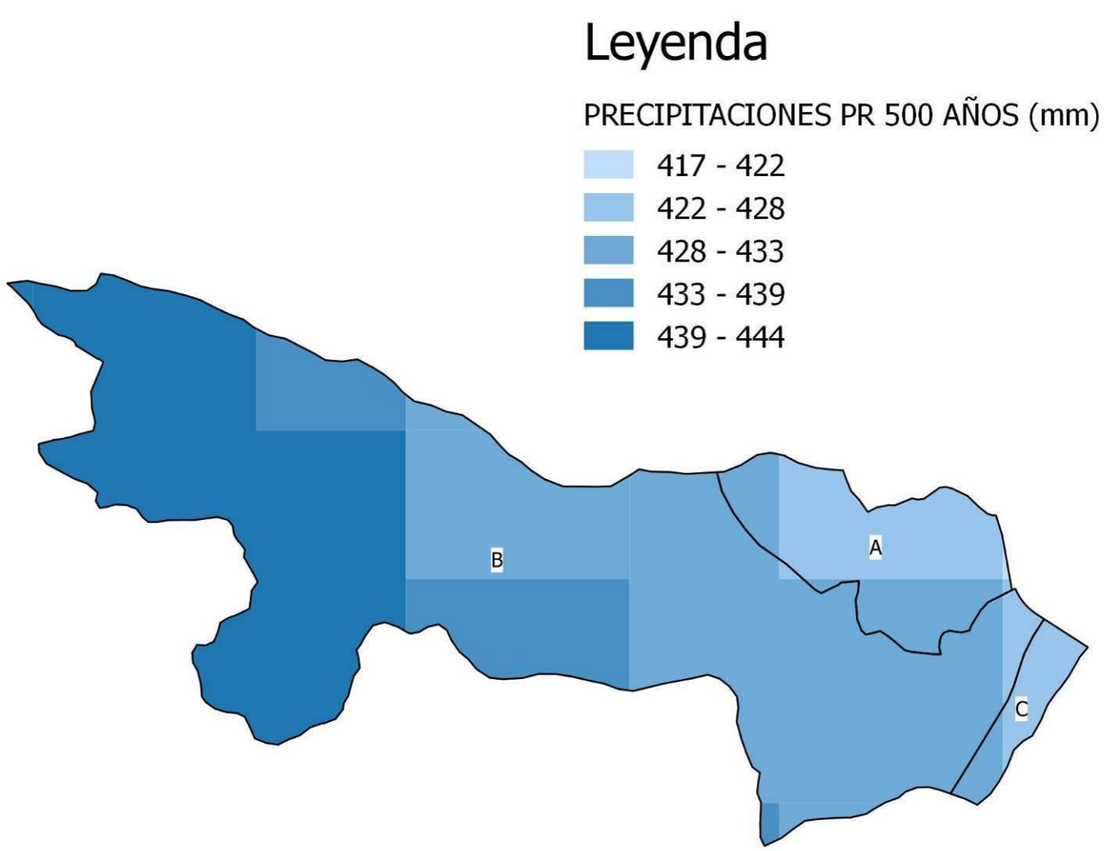
# CUENCA 7A




| CUENCA | SUBCUENCA | p500 | AREA | p500*AREA | **p500 promedio** |
|---|---|---|---|---|---|
| 7a | A | 429 | 944.846 | 405.338.934 | **429** |
| 7a | A | 436 | 63.986 | 27.897.896 | |
| 7a | B | 429 | 324.804 | 139.340.916 | **429** |

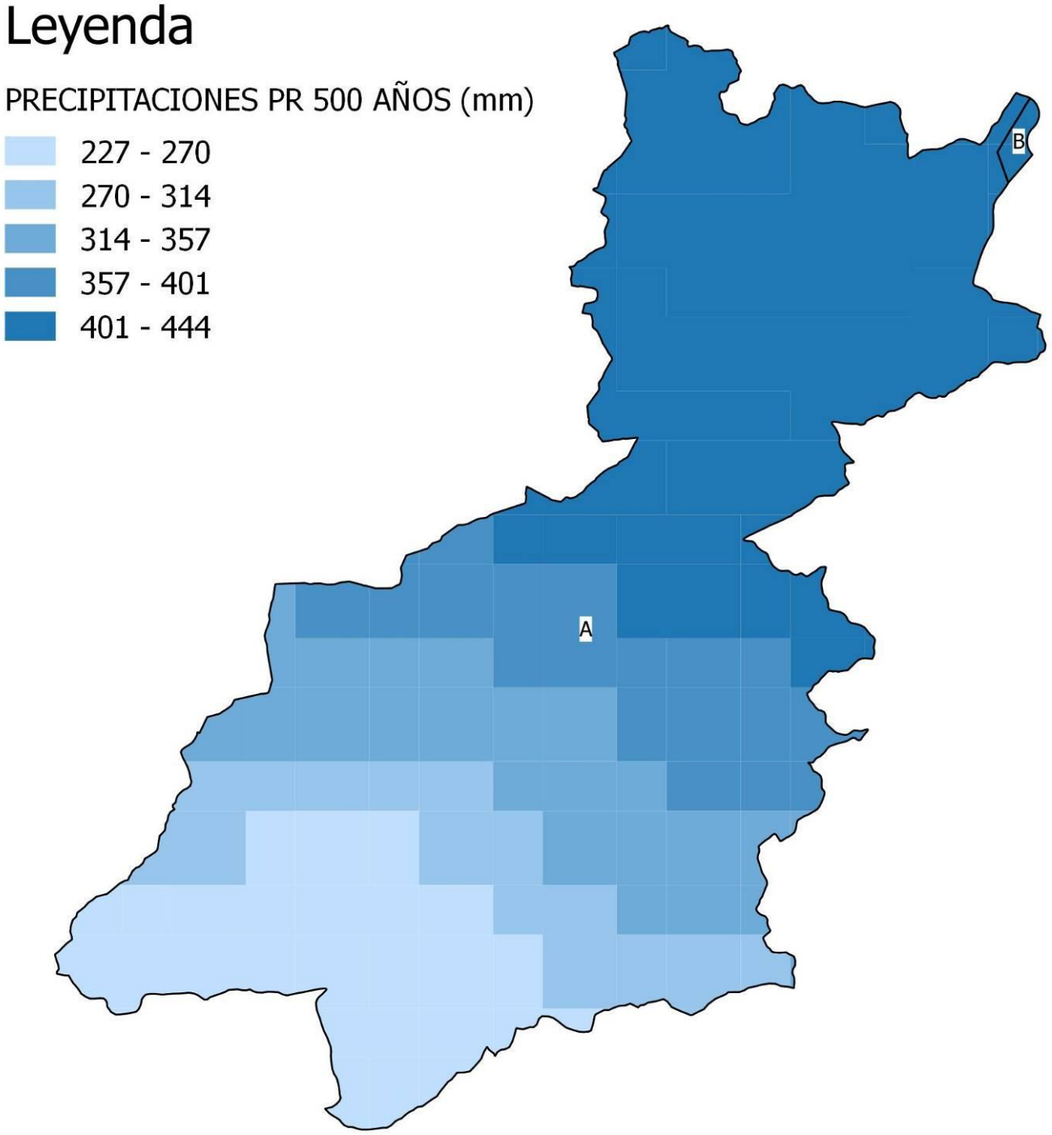
## 2. PRECIPITACIONES MÁXIMAS DIARIAS ALTERNATIVA 1B

**CUENCA 5B**




| CUENCA | SUBCUENCA | p500 | AREA | p500*AREA | **p500 promedio** |
|---|---|---|---|---|---|
| 5b | A | 417 | 27.701 | 11.551.317 | **426** |
| 5b | A | 429 | 2.201.361 | 944.383.869 | |
| 5b | A | 425 | 3.550.785 | 1.509.083.625 | |
| 5b | B | 429 | 9.446.906 | 4.052.722.674 | **435** |
| 5b | B | 425 | 483.138 | 205.333.650 | |
| 5b | B | 440 | 15.523.142 | 6.830.182.480 | |
| 5b | B | 444 | 62.388 | 27.700.272 | |
| 5b | B | 436 | 5.593.324 | 2.438.689.264 | |
| 5b | B | 433 | 8.684.712 | 3.760.480.296 | |
| 5b | C | 429 | 413.982 | 177.598.278 | **426** |
| 5b | C | 425 | 971.109 | 412.721.325 | |

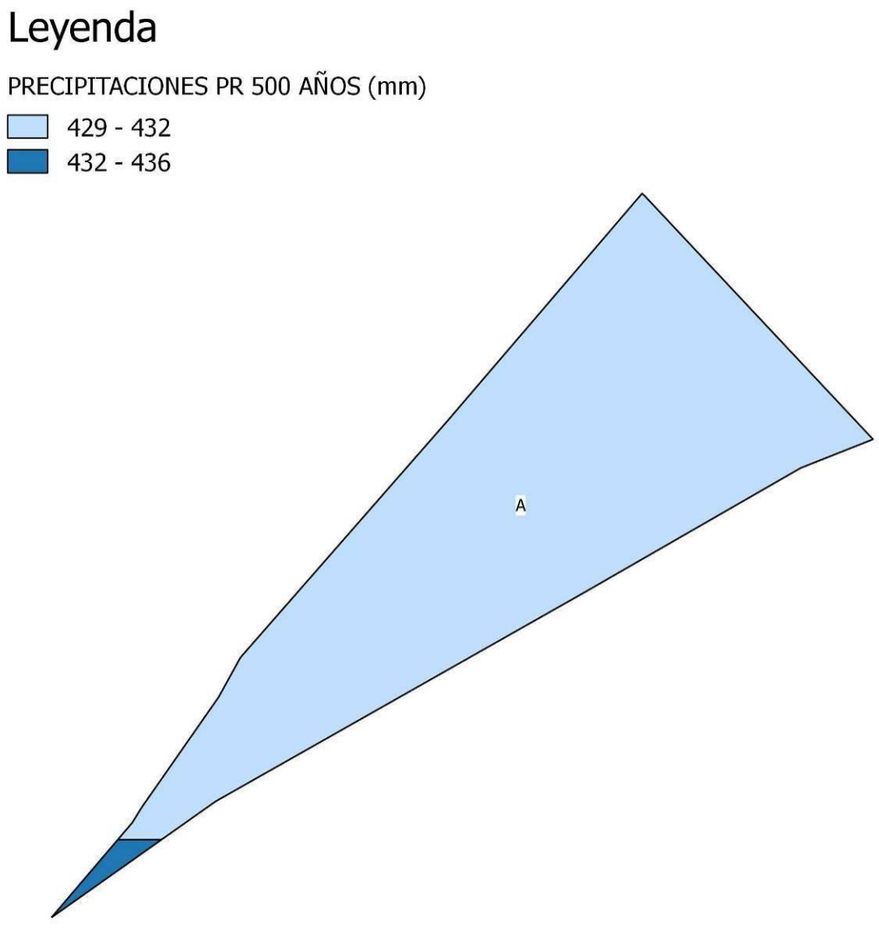
# CUENCA 6B




| CUENCA | SUBCUENCA | p500 | AREA | p500*AREA | **p500 promedio** |
|---|---|---|---|---|---|
| 6b | B | 429 | 1.296.996 | 556.411.284 | |
| 6b | B | 421 | 21.090 | 8.878.890 | **427** |
| 6b | B | 425 | 1.331.647 | 565.949.975 | |

*NOTA: La subcuenca A corresponde a la cuenca del Río Serpis, cuyo caudal se ha obtenido directamente a través del SNCZI, por lo que no se ha calculado la precipitación promedio*

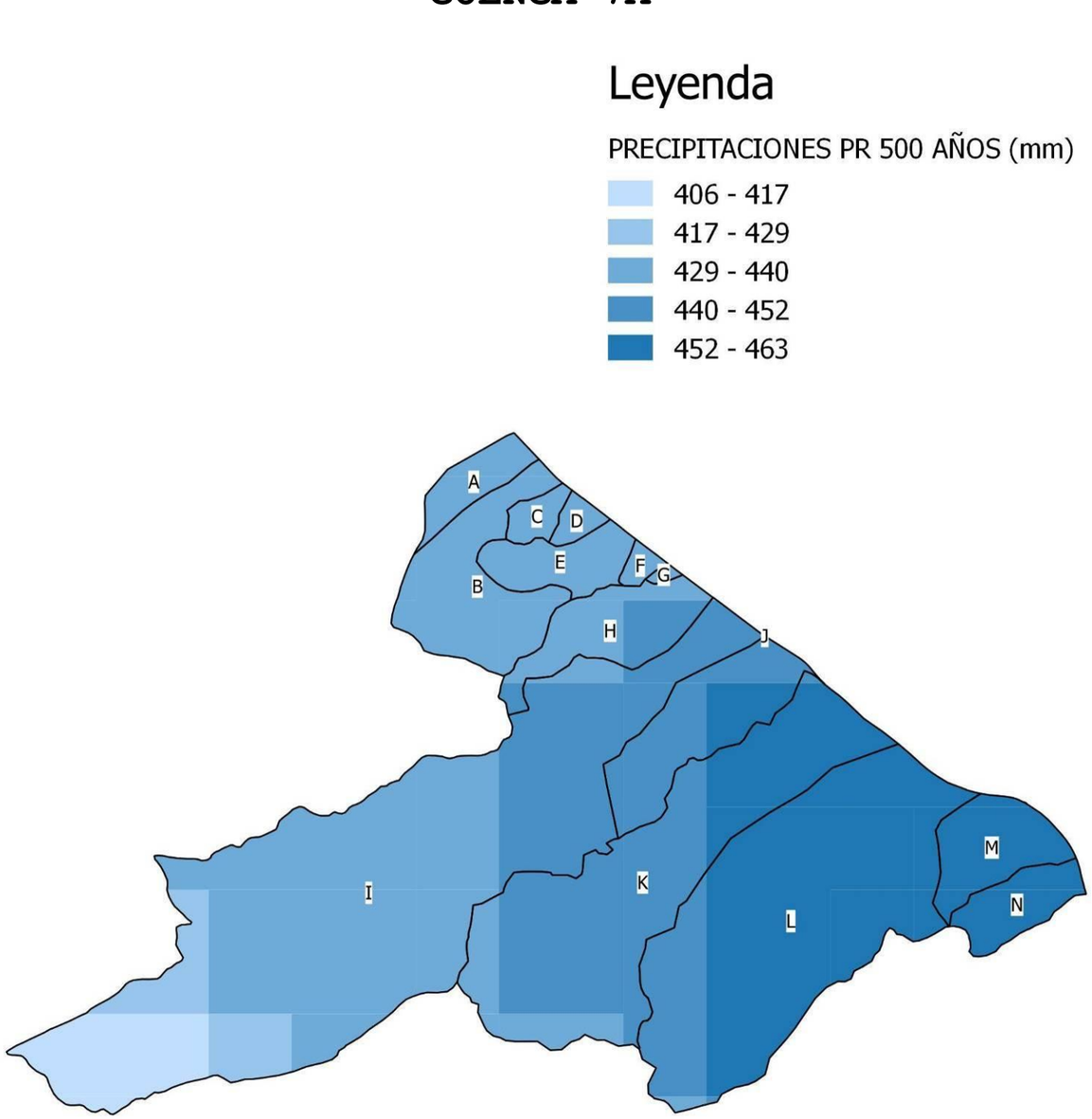
# CUENCA 7B




| CUENCA | SUBCUENCA | p500 | AREA | p500*AREA | **p500 promedio** |
|---|---|---|---|---|---|
| 7b | C | 429 | 884.505 | 379.452.645 | **429** |
| 7b | C | 436 | 10.106 | 4.406.216 | |

## 3. PRECIPITACIONES MÁXIMAS DIARIAS ALTERNATIVA 2A

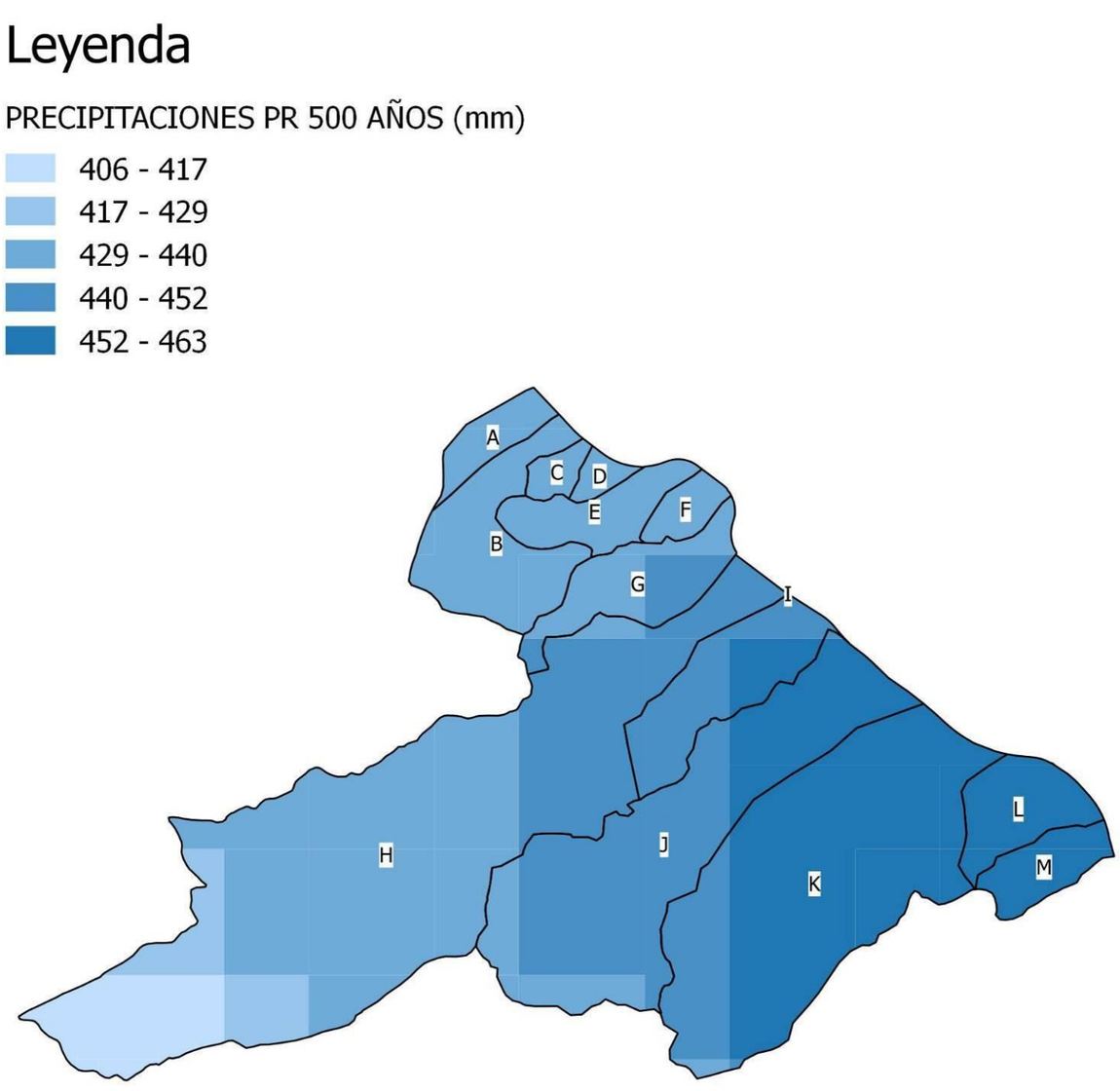
**CUENCA 7A**




| CUENCA | SUBCUENCA | p500 | AREA | p500*AREA | p500 promedio |
|---|---|---|---|---|---|
| 7a | A | 429 | 1.324.248 | 568.102.392 | **433** |
| 7a | A | 436 | 1.598.178 | 696.805.608 | |
| 7a | B | 429 | 197.213 | 84.604.377 | **436** |
| 7a | B | 440 | 1.777.099 | 781.923.560 | |
| 7a | B | 436 | 8.267.987 | 3.604.842.332 | |
| 7a | B | 433 | 309.851 | 134.165.483 | |
| 7a | C | 436 | 1.386.759 | 604.626.924 | **436** |
| 7a | D | 436 | 1.000.374 | 436.163.064 | **436** |
| 7a | E | 436 | 4.338.617 | 1.891.637.012 | **436** |
| 7a | F | 436 | 688.813 | 300.322.468 | **436** |
| 7a | G | 436 | 226.015 | 98.542.540 | **436** |
| 7a | H | 440 | 3.247.936 | 1.429.091.840 | **441** |
| 7a | H | 444 | 2.657.420 | 1.179.894.480 | |
| 7a | H | 436 | 1.144.885 | 499.169.860 | |
| 7a | I | 417 | 7.714.527 | 3.216.957.759 | **433** |
| 7a | I | 410 | 389.735 | 159.791.350 | |
| 7a | I | 429 | 7.957.042 | 3.413.571.018 | |
| 7a | I | 421 | 3.080.825 | 1.297.027.325 | |
| 7a | I | 425 | 3.705.530 | 1.574.850.250 | |
| 7a | I | 406 | 114.577 | 46.518.262 | |
| 7a | I | 440 | 7.439.841 | 3.273.530.040 | |
| 7a | I | 444 | 14.929.236 | 6.628.580.784 | |
| 7a | I | 436 | 9.808.273 | 4.276.407.028 | |
| 7a | I | 433 | 12.181.663 | 5.274.660.079 | |
| 7a | I | 448 | 1.146.319 | 513.550.912 | |
| 7a | J | 452 | 2.468.211 | 1.115.631.372 | **448** |
| 7a | J | 444 | 2.606.490 | 1.157.281.560 | |
| 7a | J | 448 | 4.376.824 | 1.960.817.152 | |
| 7a | K | 452 | 7.541.262 | 3.408.650.424 | **446** |
| 7a | K | 455 | 1.114.243 | 506.980.565 | |
| 7a | K | 440 | 2.066.800 | 909.392.000 | |
| 7a | K | 444 | 10.785.777 | 4.788.884.988 | |
| 7a | K | 436 | 2.039.348 | 889.155.728 | |
| 7a | K | 433 | 189.565 | 82.081.645 | |
| 7a | K | 448 | 7.176.944 | 3.215.270.912 | |
| 7a | L | 452 | 4.020.963 | 1.817.475.276 | **454** |
| 7a | L | 455 | 20.791.570 | 9.460.164.350 | |
| 7a | L | 440 | 297.056 | 130.704.640 | |
| 7a | L | 459 | 4.537.935 | 2.082.912.165 | |
| 7a | L | 448 | 6.620.425 | 2.965.950.400 | |
| 7a | L | 463 | 702.676 | 325.338.988 | |
| 7a | M | 452 | 357.667 | 161.665.484 | **459** |
| 7a | M | 459 | 4.983.995 | 2.287.653.705 | |
| 7a | M | 463 | 473.848 | 219.391.624 | |
| 7a | N | 459 | 1.110.635 | 509.781.465 | **462** |
| 7a | N | 463 | 2.833.464 | 1.311.893.832 | |

## 4. PRECIPITACIONES MÁXIMAS DIARIAS ALTERNATIVA 2B

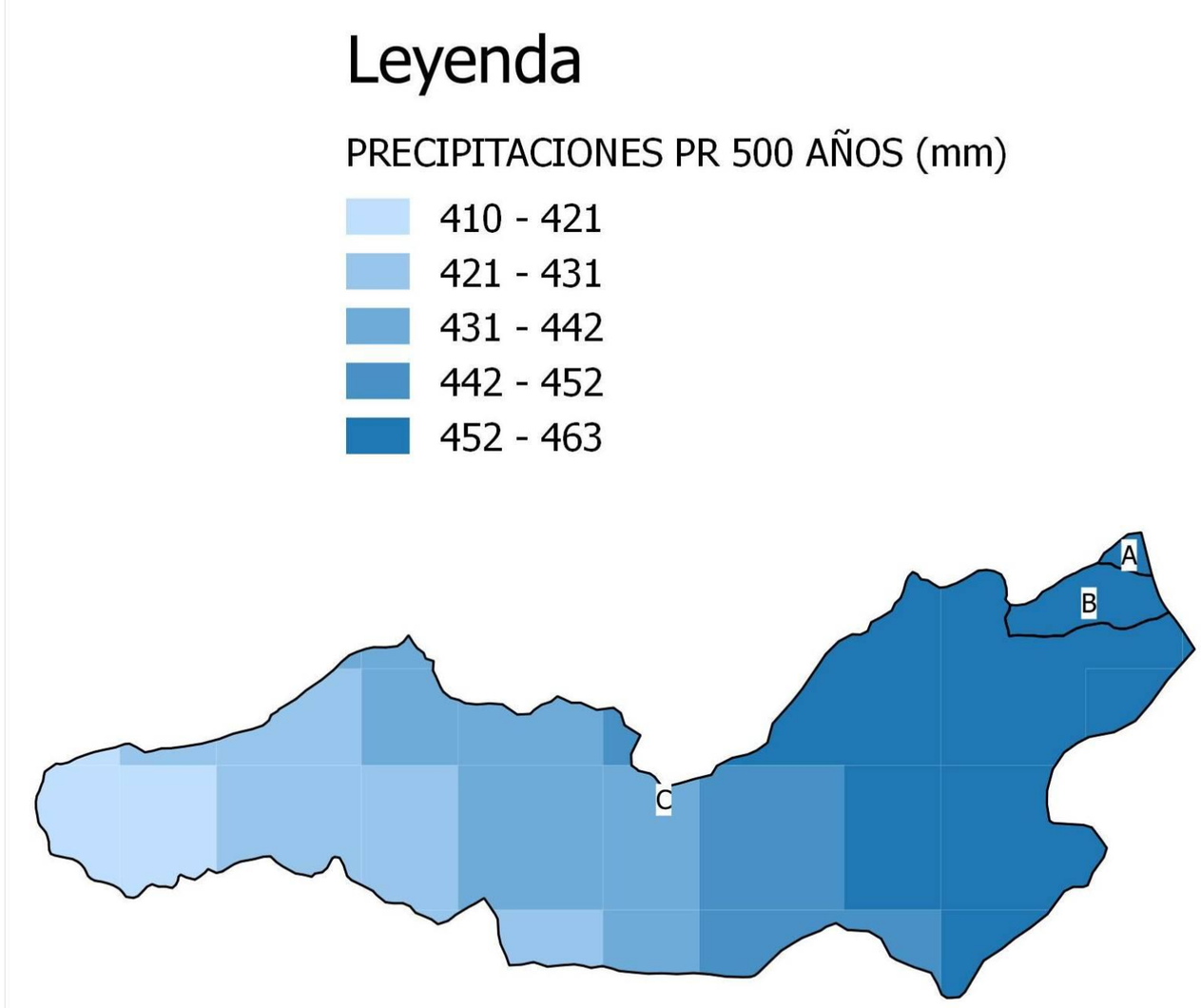
**CUENCA 7B**




| CUENCA | SUBCUENCA | p500 | AREA | p500*AREA | p500 promedio |
|---|---|---|---|---|---|
| 7b | A | 429 | 1.192.466 | 511.567.914 | |
| 7b | A | 436 | 1.729.283 | 753.967.388 | |
| 7b | A | 433 | 2.090 | 904.970 | **433** |
| 7b | B | 429 | 135.329 | 58.056.141 | |
| 7b | B | 440 | 1.882.444 | 828.275.360 | |
| 7b | B | 436 | 8.245.542 | 3.595.056.312 | |
| 7b | B | 433 | 288.838 | 125.066.854 | **437** |
| 7b | C | 436 | 1.386.759 | 604.626.924 | **436** |
| 7b | D | 436 | 1.086.048 | 473.516.928 | **436** |
| 7b | E | 440 | 7.075 | 3.113.000 | |
| 7b | E | 436 | 5.199.790 | 2.267.108.440 | **436** |
| 7b | F | 436 | 2.075.181 | 904.778.916 | **436** |
| 7b | G | 440 | 3.312.691 | 1.457.584.040 | |
| 7b | G | 444 | 2.833.241 | 1.257.959.004 | |
| 7b | G | 436 | 1.468.402 | 640.223.272 | **441** |
| 7b | H | 417 | 7.777.543 | 3.243.235.431 | |
| 7b | H | 410 | 501.943 | 205.796.630 | |
| 7b | H | 429 | 8.117.006 | 3.482.195.574 | |
| 7b | H | 421 | 3.224.404 | 1.357.474.084 | |
| 7b | H | 425 | 3.597.788 | 1.529.059.900 | |
| 7b | H | 406 | 169.060 | 68.638.360 | |
| 7b | H | 440 | 7.131.109 | 3.137.687.960 | |
| 7b | H | 444 | 14.984.999 | 6.653.339.556 | |
| 7b | H | 436 | 9.716.611 | 4.236.442.396 | |
| 7b | H | 433 | 12.022.412 | 5.205.704.396 | |
| 7b | H | 448 | 1.224.736 | 548.681.728 | **433** |
| 7b | I | 452 | 2.611.262 | 1.180.290.424 | |
| 7b | I | 444 | 2.417.244 | 1.073.256.336 | |
| 7b | I | 448 | 4.423.019 | 1.981.512.512 | **448** |
| 7b | J | 452 | 7.436.025 | 3.361.083.300 | |
| 7b | J | 455 | 1.227.471 | 558.499.305 | |
| 7b | J | 440 | 2.286.309 | 1.005.975.960 | |
| 7b | J | 444 | 10.546.149 | 4.682.490.156 | |
| 7b | J | 436 | 2.034.202 | 886.912.072 | |
| 7b | J | 433 | 232.949 | 100.866.917 | |
| 7b | J | 448 | 7.150.834 | 3.203.573.632 | **446** |
| 7b | K | 452 | 3.705.322 | 1.674.805.544 | |
| 7b | K | 455 | 20.841.152 | 9.482.724.160 | |
| 7b | K | 440 | 397.554 | 174.923.760 | |
| 7b | K | 459 | 4.691.110 | 2.153.219.490 | |
| 7b | K | 448 | 6.606.690 | 2.959.797.120 | |
| 7b | K | 463 | 728.797 | 337.433.011 | **454** |
| 7b | L | 452 | 239.572 | 108.286.544 | |
| 7b | L | 459 | 5.016.075 | 2.302.378.425 | |
| 7b | L | 463 | 559.931 | 259.248.053 | **459** |
| 7b | M | 459 | 939.064 | 431.030.376 | |
| 7b | M | 463 | 3.005.050 | 1.391.338.150 | **462** |

## 5. PRECIPITACIONES MÁXIMAS DIARIAS ALTERNATIVA 3C Y 3CBIS

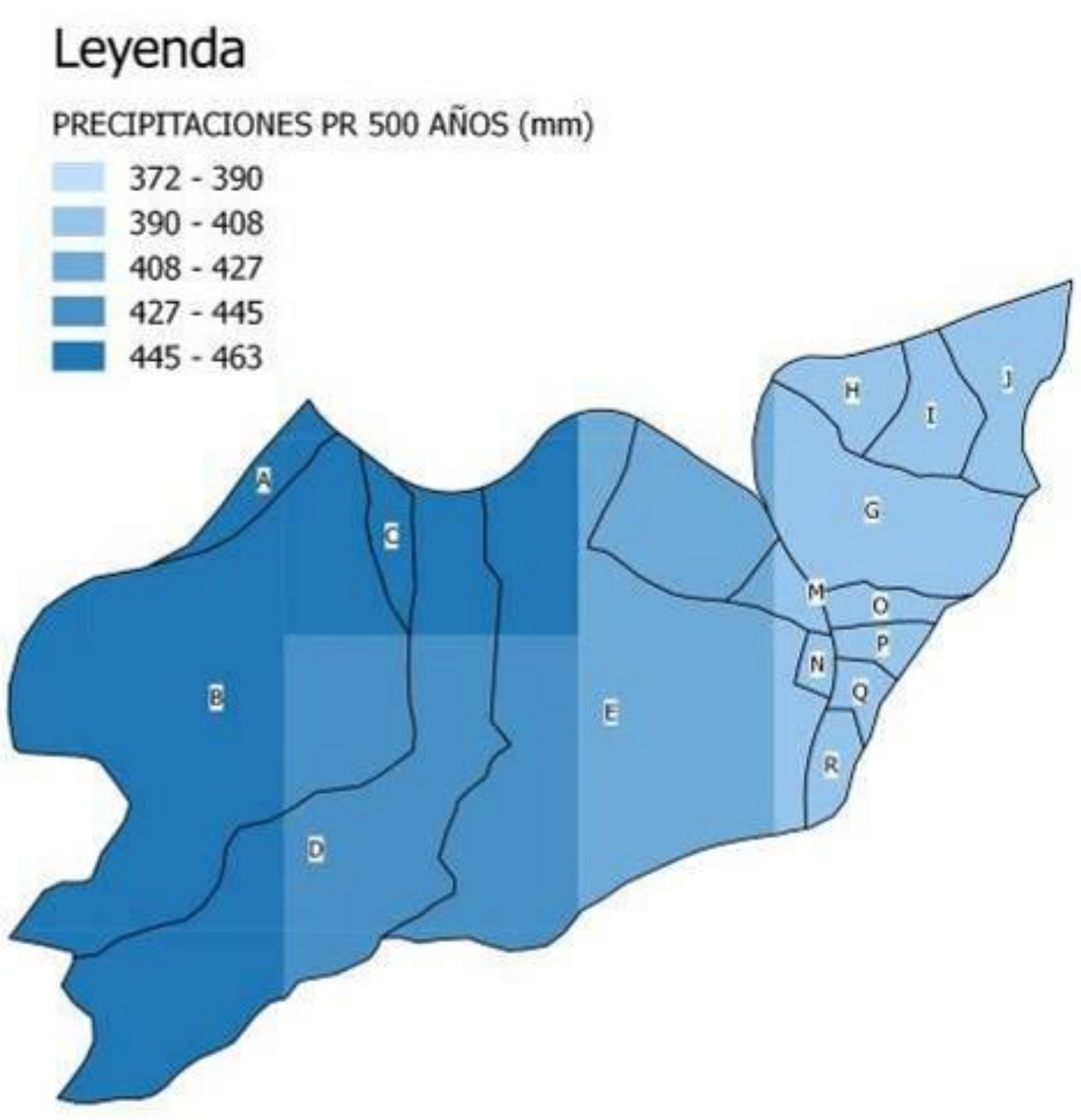
### CUENCA 8C




| CUENCA | SUBCUENCA | p500 | AREA | p500*AREA | p500 promedio |
|---|---|---|---|---|---|
| 8c | A | 463 | 565.656 | 261.898.728 | 463 |
| 8c | B | 463 | 3.240.016 | 1.500.127.408 | 463 |

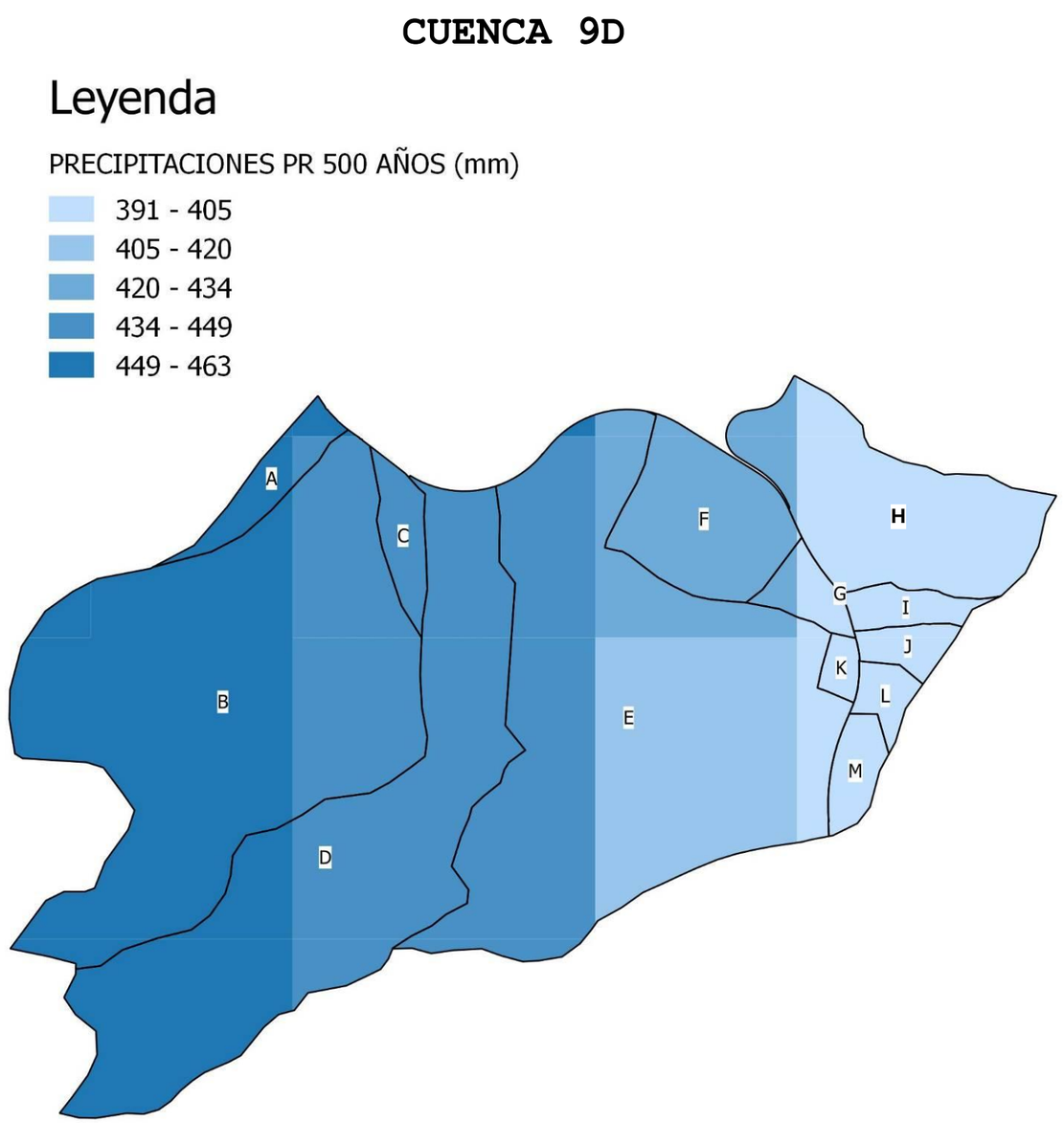
*NOTA: La subcuenca C corresponde a la cuenca del Río Girona, cuyo caudal se ha obtenido directamente a través del SNCZI, por lo que no se ha calculado la precipitación promedio*

# CUENCA 9C




| CUENCA | SUBCUENCA | p500 | AREA | p500*AREA | p500 promedio |
|---|---|---|---|---|---|
| 9c | A | 455 | 126.679 | 57.638.945 | |
| 9c | A | 459 | 454.916 | 208.806.444 | 456 |
| 9c | A | 448 | 116.629 | 52.249.792 | |
| 9c | A | 463 | 6.357 | 2.943.291 | |
| 9c | B | 455 | 6.092 | 2.771.860 | |
| 9c | B | 444 | 1.979.637 | 878.958.828 | |
| 9c | B | 459 | 7.853.163 | 3.604.601.817 | 455 |
| 9c | B | 448 | 1.738.229 | 778.726.592 | |
| 9c | B | 463 | 438.704 | 203.119.952 | |
| 9c | C | 448 | 592.463 | 265.423.424 | 448 |
| 9c | D | 440 | 444.862 | 195.739.280 | |
| 9c | D | 444 | 3.710.546 | 1.647.482.424 | |
| 9c | D | 459 | 772.907 | 354.764.313 | 452 |
| 9c | D | 448 | 1.187.991 | 532.219.968 | |
| 9c | D | 463 | 2.827.535 | 1.309.148.705 | |
| 9c | E | 455 | 61.977 | 28.199.535 | |
| 9c | E | 414 | 4.685.870 | 1.939.950.180 | |
| 9c | E | 421 | 1.400.012 | 589.405.052 | |
| 9c | E | 425 | 161.622 | 68.689.350 | |
| 9c | E | 440 | 253.353 | 111.475.320 | 427 |
| 9c | E | 444 | 3.301.414 | 1.465.827.816 | |
| 9c | E | 391 | 701.997 | 274.480.827 | |
| 9c | E | 448 | 1.647.107 | 737.903.936 | |
| 9c | E | 395 | 46.886 | 18.519.970 | |
| 9c | F | 421 | 2.051.516 | 863.688.236 | |
| 9c | F | 425 | 40.717 | 17.304.725 | 421 |
| 9c | F | 395 | 4.174 | 1.648.730 | |
| 9c | G | 398 | 254.299 | 101.211.002 | |
| 9c | G | 421 | 135.464 | 57.030.344 | 397 |
| 9c | G | 425 | 87.929 | 37.369.825 | |
| 9c | G | 395 | 2.961.533 | 1.169.805.535 | |
| 9c | H | 398 | 843.403 | 335.674.394 | |
| 9c | H | 425 | 1.186 | 504.050 | 398 |
| 9c | H | 395 | 39.945 | 15.778.275 | |
| 9c | I | 398 | 720.480 | 286.751.040 | 397 |
| 9c | I | 395 | 338.967 | 133.891.965 | |
| 9c | J | 398 | 1.225.425 | 487.719.150 | |
| 9c | J | 372 | 3.666 | 1.363.752 | 397 |
| 9c | J | 395 | 339.097 | 133.943.315 | |
| 9c | M | 421 | 159.577 | 67.181.917 | 404 |
| 9c | M | 395 | 298.158 | 117.772.410 | |
| 9c | N | 391 | 202.541 | 79.193.531 | 391 |
| 9c | N | 395 | 5.163 | 2.039.385 | |
| 9c | O | 395 | 450.955 | 178.127.225 | 395 |
| 9c | P | 391 | 264.016 | 103.230.256 | 392 |
| 9c | P | 395 | 115.173 | 45.493.335 | |
| 9c | Q | 391 | 333.518 | 130.405.538 | 391 |
| 9c | R | 391 | 490.783 | 191.896.153 | 391 |

## 6. PRECIPITACIONES MÁXIMAS DIARIAS ALTERNATIVA 3D




| CUENCA | SUBCUENCA | p500 | AREA | p500*AREA | p500 promedio |
|---|---|---|---|---|---|
| 9d | A | 455 | 126.679 | 57.638.945 | |
| 9d | A | 459 | 454.916 | 208.806.444 | **456** |
| 9d | A | 448 | 116.629 | 52.249.792 | |
| 9d | A | 463 | 6.357 | 2.943.291 | |
| 9d | B | 455 | 6.092 | 2.771.860 | |
| 9d | B | 444 | 1.979.637 | 878.958.828 | |
| 9d | B | 459 | 7.853.163 | 3.604.601.817 | **455** |
| 9d | B | 448 | 1.738.229 | 778.726.592 | |
| 9d | B | 463 | 438.704 | 203.119.952 | |
| 9d | C | 448 | 592.463 | 265.423.424 | **448** |
| 9d | D | 440 | 444.862 | 195.739.280 | |
| 9d | D | 444 | 3.710.546 | 1.647.482.424 | |
| 9d | D | 459 | 772.907 | 354.764.313 | **452** |
| 9d | D | 448 | 1.187.995 | 532.221.760 | |
| 9d | D | 463 | 2.827.535 | 1.309.148.705 | |
| 9d | E | 455 | 45.529 | 20.715.695 | |
| 9d | E | 414 | 4.685.870 | 1.939.950.180 | |
| 9d | E | 421 | 1.400.012 | 589.405.052 | |
| 9d | E | 425 | 146.933 | 62.446.525 | |
| 9d | E | 440 | 253.353 | 111.475.320 | **427** |
| 9d | E | 444 | 3.301.414 | 1.465.827.816 | |
| 9d | E | 391 | 702.000 | 274.482.000 | |
| 9d | E | 448 | 1.645.301 | 737.094.848 | |
| 9d | E | 395 | 46.886 | 18.519.970 | |
| 9d | F | 421 | 2.116.143 | 890.896.203 | |
| 9d | F | 425 | 60.583 | 25.747.775 | **421** |
| 9d | F | 395 | 4.175 | 1.649.125 | |
| 9d | G | 421 | 159.577 | 67.181.917 | **404** |
| 9d | G | 395 | 298.158 | 117.772.410 | |
| 9d | H | 398 | 254.299 | 101.211.002 | |
| 9d | H | 421 | 278.602 | 117.291.442 | **399** |
| 9d | H | 425 | 217.760 | 92.548.000 | |
| 9d | H | 395 | 2.961.532 | 1.169.805.140 | |
| 9d | I | 395 | 450.955 | 178.127.225 | **395** |
| 9d | J | 391 | 264.042 | 103.240.422 | **392** |
| 9d | J | 395 | 115.148 | 45.483.460 | |
| 9d | K | 391 | 202.518 | 79.184.538 | **391** |
| 9d | K | 395 | 5.163 | 2.039.385 | |
| 9d | L | 391 | 333.540 | 130.414.140 | **391** |
| 9d | M | 391 | 490.771 | 191.891.461 | **391** |

# APÉNDICE Nº3. CÁLCULO DEL UMBRAL DE ESCORRENTÍA

## ÍNDICE

**1. UMBRAL DE ESCORRENTÍA ALTERNATIVA 0B .....1**

**2. UMBRAL DE ESCORRENTÍA ALTERNATIVA 1A .....3**

**3. UMBRAL DE ESCORRENTÍA ALTERNATIVA 1B .....6**

**4. UMBRAL DE ESCORRENTÍA ALTERNATIVA 2A .....8**

**5. UMBRAL DE ESCORRENTÍA ALTERNATIVA 2B .....10**

**6. UMBRAL DE ESCORRENTÍA ALTERNATIVA 3C Y 3CBIS.....12**

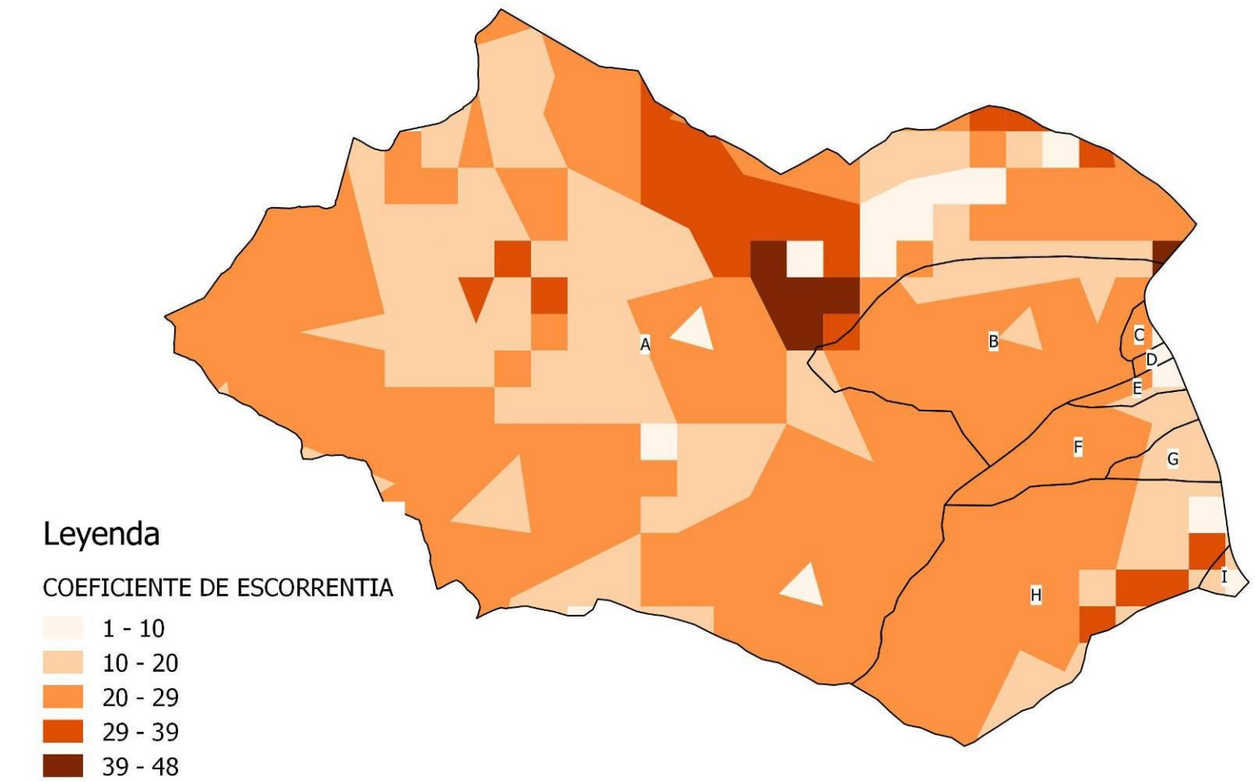
**7. UMBRAL DE ESCORRENTÍA ALTERNATIVA 3D.....15**

## 1. UMBRAL DE ESCORRENTÍA ALTERNATIVA 0B

**CUENCA 1B=CUENCA 1A de la alternativa 0A**

**CUENCA 2B=CUENCA 2A de la alternativa 0A**

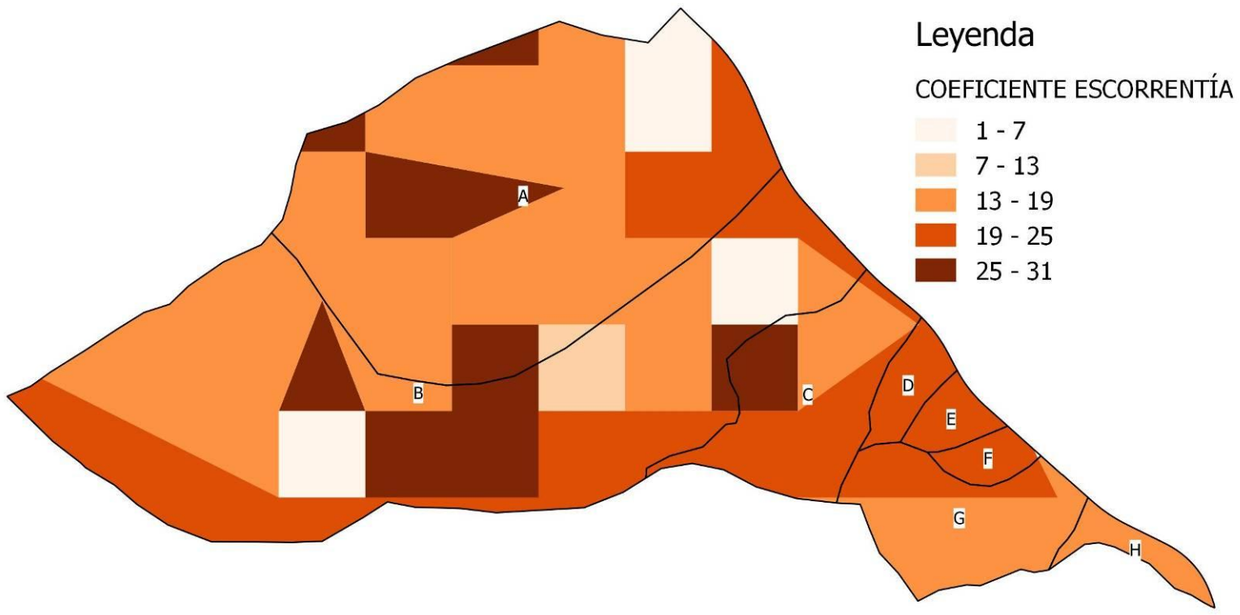
# CUENCA 3B




| CUENCA | SUBCUENCA | p0 | AREA | p0*AREA | p0 promedio |
|---|---|---|---|---|---|
| 3b | B | 22 | 42.091 | 926.002 | |
| 3b | B | 48 | 16.625 | 798.000 | |
| 3b | B | 19 | 1.226.107 | 23.296.033 | |
| 3b | B | 14 | 160.095 | 2.241.330 | |
| 3b | B | 42 | 5.547 | 232.974 | **21** |
| 3b | B | 34 | 99.402 | 3.379.668 | |
| 3b | B | 14 | 171.173 | 2.396.422 | |
| 3b | B | 19 | 116.881 | 2.220.739 | |
| 3b | B | 22 | 6.280.903 | 138.179.866 | |
| 3b | C | 1 | 26.002 | 26.002 | **20** |
| 3b | C | 22 | 244.350 | 5.375.700 | |
| 3b | D | 1 | 62.340 | 62.340 | **12** |
| 3b | D | 22 | 66.109 | 1.454.398 | |
| 3b | E | 1 | 129.396 | 129.396 | |
| 3b | E | 14 | 69.261 | 969.654 | **15** |
| 3b | E | 19 | 31.850 | 605.150 | |
| 3b | E | 22 | 220.060 | 4.841.320 | |
| 3b | F | 14 | 90.834 | 1.271.676 | |
| 3b | F | 19 | 315.578 | 5.995.982 | **21** |
| 3b | F | 22 | 1.915.891 | 42.149.602 | |
| 3b | G | 19 | 647.158 | 12.296.002 | **19** |
| 3b | G | 22 | 118.560 | 2.608.320 | |
| 3b | H | 1 | 251.403 | 251.403 | |
| 3b | H | 19 | 1.130.287 | 21.475.453 | |
| 3b | H | 31 | 219.328 | 6.799.168 | |
| 3b | H | 19 | 9.943 | 188.917 | |
| 3b | H | 19 | 250.000 | 4.750.000 | **21** |
| 3b | H | 31 | 442.852 | 13.728.412 | |
| 3b | H | 31 | 195.089 | 6.047.759 | |
| 3b | H | 19 | 110.415 | 2.097.885 | |
| 3b | H | 14 | 668.158 | 9.354.212 | |
| 3b | H | 22 | 7.555.451 | 166.219.922 | |
| 3b | I | 31 | 30.672 | 950.832 | |
| 3b | I | 19 | 36.756 | 698.364 | **14** |
| 3b | I | 1 | 86.835 | 86.835 | |
| 3b | I | 19 | 95.897 | 1.822.043 | |

*NOTA: La subcuenca A corresponde a la cuenca del Río Jaraco, cuyo caudal se ha obtenido directamente a través del sistema de información geográfica de la cartografía de zonas inundables (SNCZI), por lo que no se ha calculado el umbral de escorrentía promedio*

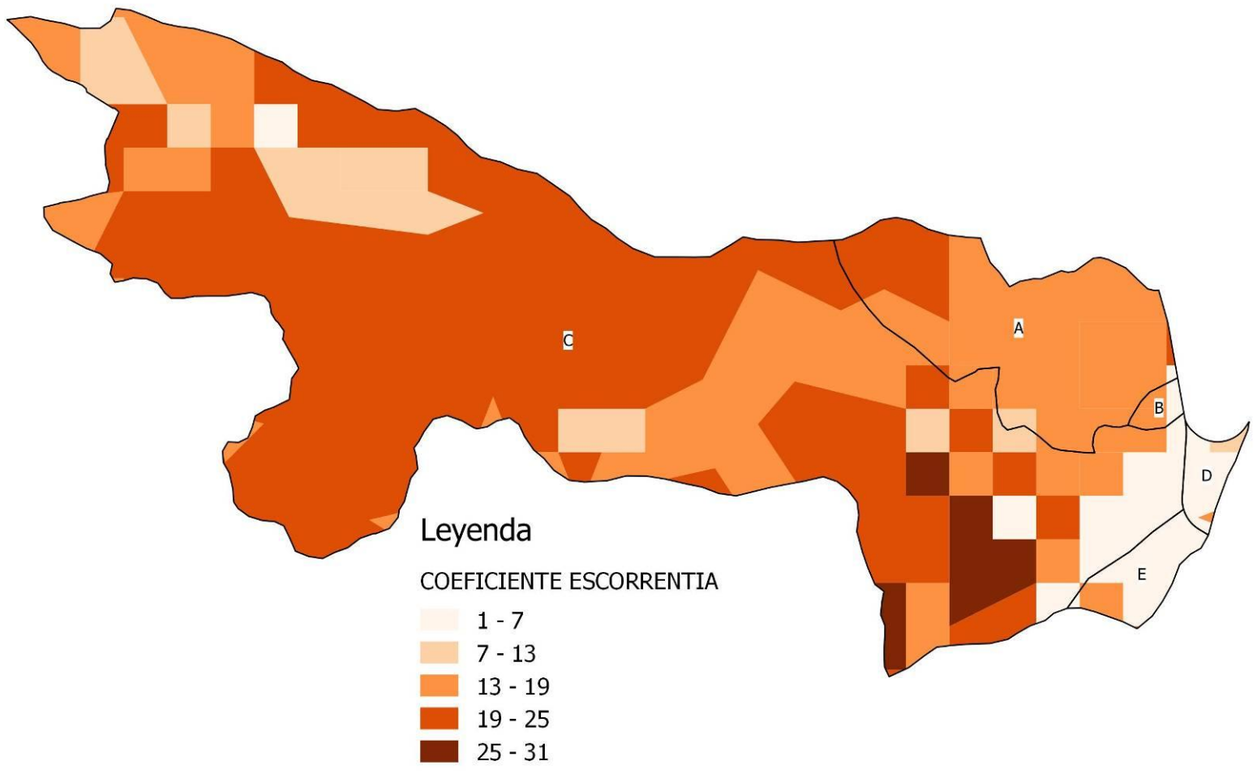
# CUENCA 4B




| CUENCA | SUBCUENCA | p0 | AREA | p0*AREA | p0 promedio |
|---|---|---|---|---|---|
| 4b | A | 31 | 57.148 | 1.771.588 | |
| 4b | A | 31 | 54.911 | 1.702.241 | |
| 4b | A | 1 | 355.580 | 355.580 | |
| 4b | A | 31 | 359.940 | 11.158.140 | |
| 4b | A | 1 | 6 | 6 | **19** |
| 4b | A | 12 | 40.972 | 491.664 | |
| 4b | A | 19 | 1.776.740 | 33.758.060 | |
| 4b | A | 14 | 798.018 | 11.172.252 | |
| 4b | A | 31 | 155.822 | 4.830.482 | |
| 4b | A | 22 | 512.497 | 11.274.934 | |
| 4b | B | 1 | 243.783 | 243.783 | |
| 4b | B | 31 | 160.095 | 4.962.945 | |
| 4b | B | 12 | 209.028 | 2.508.336 | |
| 4b | B | 19 | 407.008 | 7.733.152 | |
| 4b | B | 31 | 77.908 | 2.415.148 | **19** |
| 4b | B | 19 | 88.615 | 1.683.685 | |
| 4b | B | 14 | 1.326.890 | 18.576.460 | |
| 4b | B | 6 | 250.000 | 1.500.000 | |
| 4b | B | 31 | 594.178 | 18.419.518 | |
| 4b | B | 22 | 1.358.797 | 29.893.534 | |
| 4b | C | 1 | 6.210 | 6.210 | |
| 4b | C | 31 | 172.092 | 5.334.852 | |
| 4b | C | 19 | 260.076 | 4.941.444 | **23** |
| 4b | C | 14 | 4.310 | 60.340 | |
| 4b | C | 22 | 509.877 | 11.217.294 | |
| 4b | D | 19 | 125 | 2.375 | **22** |
| 4b | D | 22 | 194.669 | 4.282.718 | |
| 4b | E | 22 | 148.501 | 3.267.022 | **22** |
| 4b | F | 18 | 633 | 11.394 | **22** |
| 4b | F | 22 | 126.767 | 2.788.874 | |
| 4b | G | 18 | 23.921 | 430.578 | |
| 4b | G | 14 | 543.920 | 7.614.880 | **16** |
| 4b | G | 22 | 230.769 | 5.076.918 | |
| 4b | H | 14 | 157.675 | 2.207.450 | **14** |

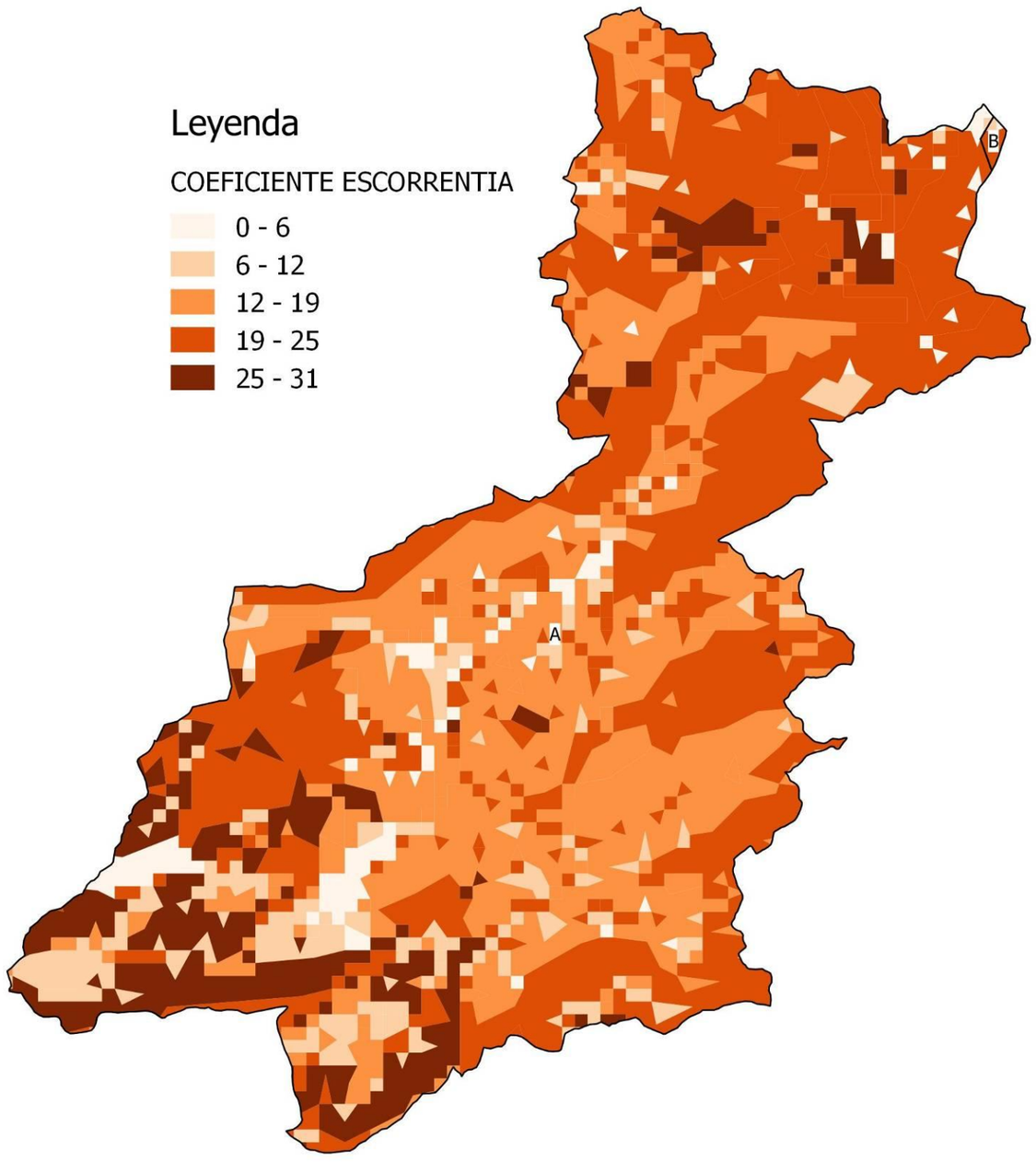
## 2. UMBRAL DE ESCORRENTÍA ALTERNATIVA 1A

# CUENCA 5A




| CUENCA | SUBCUENCA | p0 | AREA | p0*AREA | p0 promedio |
|---|---|---|---|---|---|
| 5a | A | 22 | 13.058 | 287.276 | |
| 5a | A | 19 | 49.941 | 948.879 | |
| 5a | A | 19 | 937.049 | 17.803.931 | |
| 5a | A | 8 | 95.553 | 764.424 | |
| 5a | A | 5 | 20.611 | 103.055 | |
| 5a | A | 14 | 3.152.692 | 44.137.688 | **17** |
| 5a | A | 19 | 768 | 14.592 | |
| 5a | A | 19 | 433.113 | 8.229.147 | |
| 5a | A | 22 | 1.047.291 | 23.040.402 | |
| 5a | A | 22 | 28.689 | 631.158 | |
| 5a | B | 19 | 62.951 | 1.196.069 | |
| 5a | B | 5 | 76.771 | 383.855 | **12** |
| 5a | B | 14 | 91.077 | 1.275.078 | |
| 5a | C | 14 | 374.849 | 5.247.886 | |
| 5a | C | 9 | 679.230 | 6.113.070 | |
| 5a | C | 9 | 250.000 | 2.250.000 | |
| 5a | C | 19 | 1.292.410 | 24.555.790 | |
| 5a | C | 1 | 250.000 | 250.000 | |
| 5a | C | 14 | 500.000 | 7.000.000 | |
| 5a | C | 8 | 500.000 | 4.000.000 | |
| 5a | C | 22 | 418.977 | 9.217.494 | |
| 5a | C | 9 | 1.096.741 | 9.870.669 | |
| 5a | C | 8 | 160.095 | 1.280.760 | |
| 5a | C | 14 | 353.183 | 4.944.562 | |
| 5a | C | 22 | 236.942 | 5.212.724 | |
| 5a | C | 19 | 200.059 | 3.801.121 | |
| 5a | C | 14 | 4.353 | 60.942 | |
| 5a | C | 14 | 42.837 | 599.718 | |
| 5a | C | 14 | 38.052 | 532.728 | |
| 5a | C | 8 | 500.000 | 4.000.000 | |
| 5a | C | 8 | 250.000 | 2.000.000 | |
| 5a | C | 22 | 250.000 | 5.500.000 | |
| 5a | C | 8 | 154.447 | 1.235.576 | |
| 5a | C | 5 | 83.491 | 417.455 | |
| 5a | C | 22 | 123.412 | 2.715.064 | **19** |
| 5a | C | 31 | 250.000 | 7.750.000 | |
| 5a | C | 19 | 250.000 | 4.750.000 | |
| 5a | C | 22 | 250.000 | 5.500.000 | |
| 5a | C | 14 | 542.349 | 7.592.886 | |
| 5a | C | 19 | 249.232 | 4.735.408 | |
| 5a | C | 1 | 250.000 | 250.000 | |
| 5a | C | 22 | 250.000 | 5.500.000 | |
| 5a | C | 14 | 32.121 | 449.694 | |
| 5a | C | 22 | 2.623.756 | 57.722.632 | |
| 5a | C | 19 | 250.000 | 4.750.000 | |
| 5a | C | 31 | 1.000.000 | 31.000.000 | |
| 5a | C | 1 | 162.034 | 162.034 | |
| 5a | C | 14 | 2.947 | 41.258 | |
| 5a | C | 1 | 1.065.858 | 1.065.858 | |
| 5a | C | 31 | 262.178 | 8.127.518 | |
| 5a | C | 14 | 413.114 | 5.783.596 | |
| 5a | C | 22 | 405.922 | 8.930.284 | |
| 5a | C | 19 | 4.058.584 | 77.113.096 | |
| 5a | C | 22 | 102.331 | 2.251.282 | |
| 5a | C | 22 | 18.946.671 | 416.826.762 | |
| 5a | C | 22 | 676 | 14.872 | |
| 5a | D | 5 | 57.462 | 287.310 | |
| 5a | D | 8 | 60.867 | 486.936 | **3** |
| 5a | D | 14 | 12.205 | 170.870 | |
| 5a | D | 1 | 378.461 | 378.461 | |
| 5a | E | 1 | 14.269 | 14.269 | |
| 5a | E | 14 | 177.779 | 2.488.906 | **3** |
| 5a | E | 1 | 740.727 | 740.727 | |
| 5a | E | 22 | 1.113 | 24.486 | |

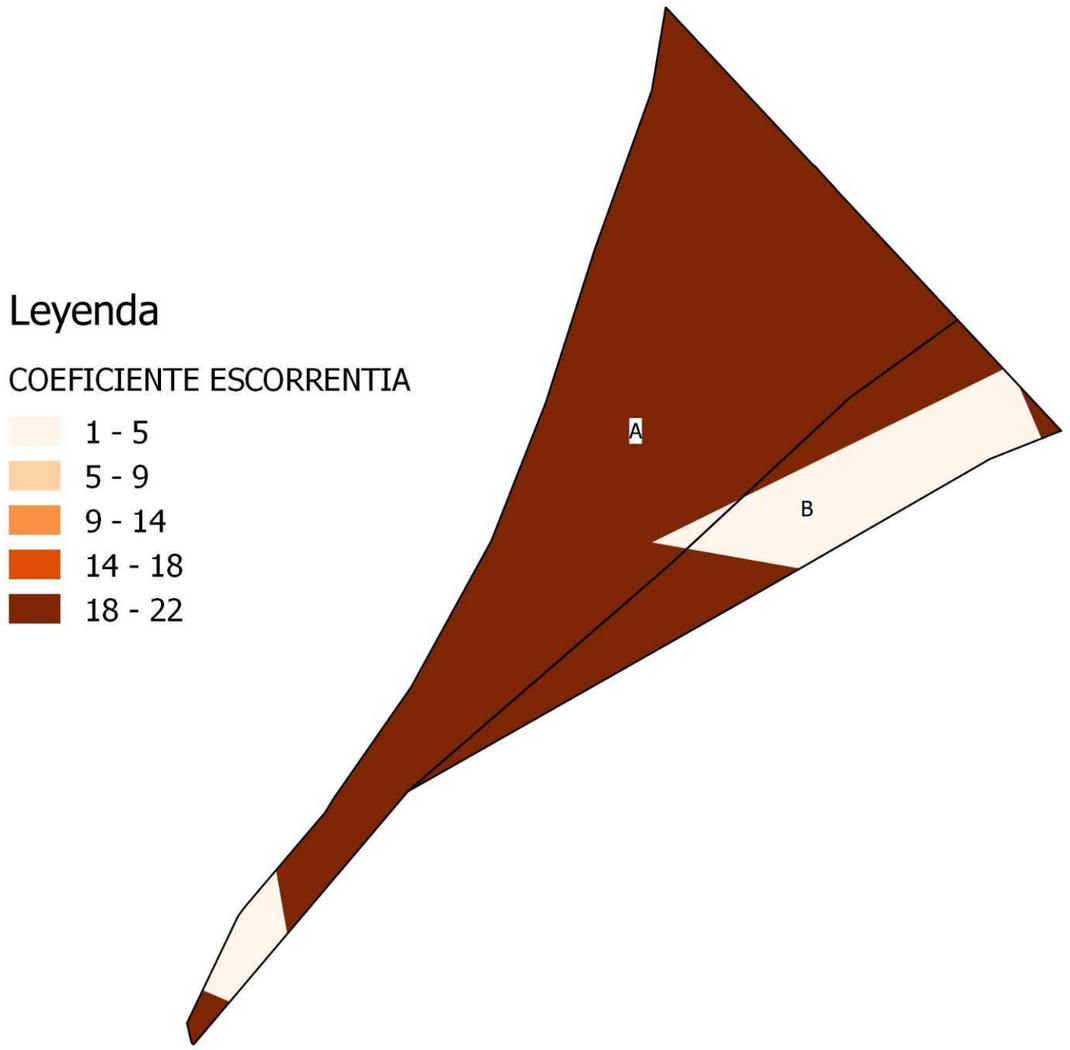
# CUENCA 6A




| CUENCA | SUBCUENCA | p0 | AREA | p0*AREA | p0 promedio |
|---|---|---|---|---|---|
| 6a | B | 1 | 2.680 | 2.680 | |
| 6a | B | 8 | 145.626 | 1.165.008 | |
| 6a | B | 5 | 65.298 | 326.490 | **19** |
| 6a | B | 0 | 19 | 0 | |
| 6a | B | 22 | 909.488 | 20.008.736 | |

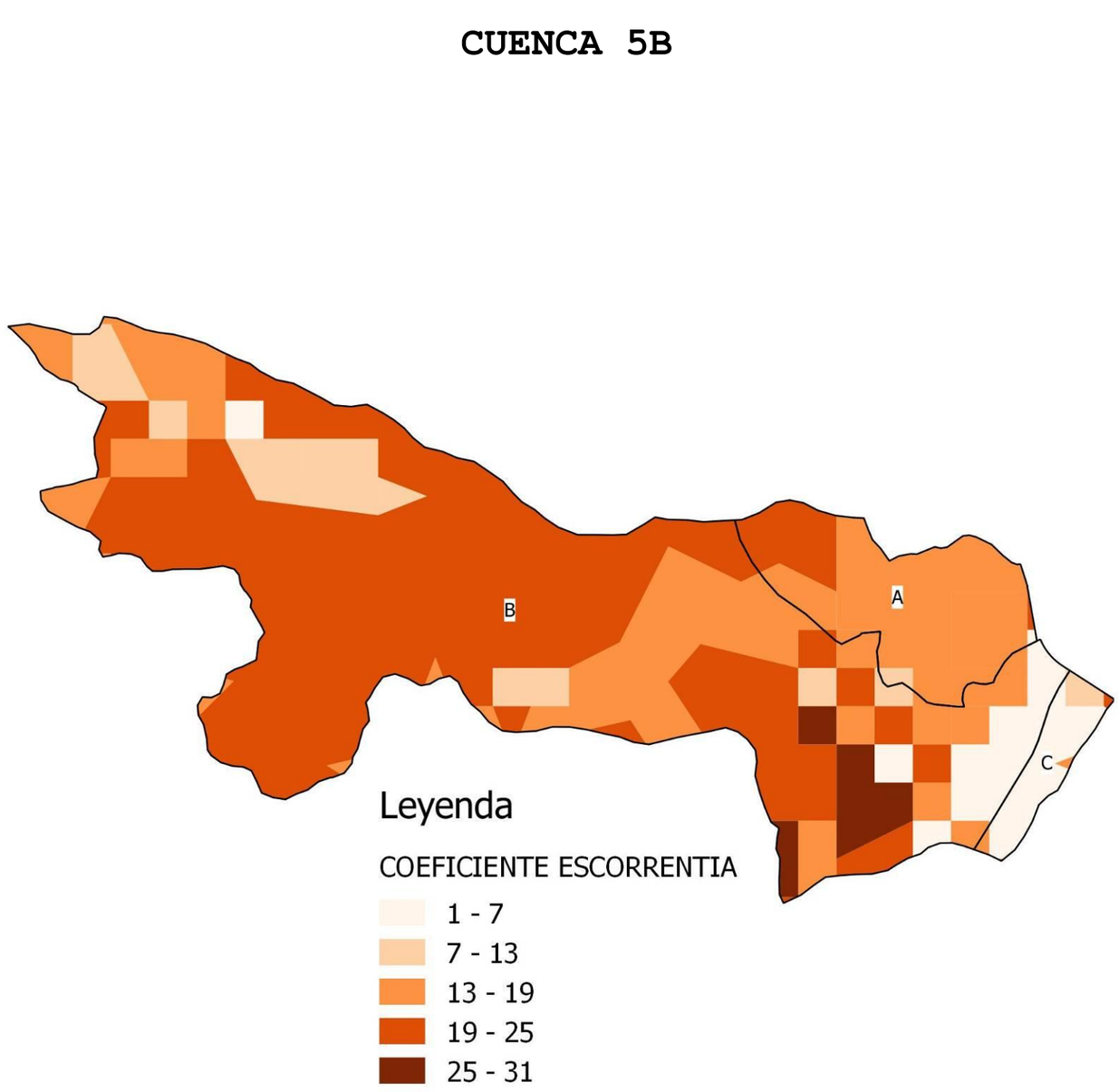
*NOTA: La subcuenca A corresponde a la cuenca del Río Serpis, cuyo caudal se ha obtenido directamente a través del sistema de información geográfica de la cartografía de zonas inundables (SNCZI), por lo que no se ha calculado el umbral de escorrentía promedio*

# CUENCA 7A



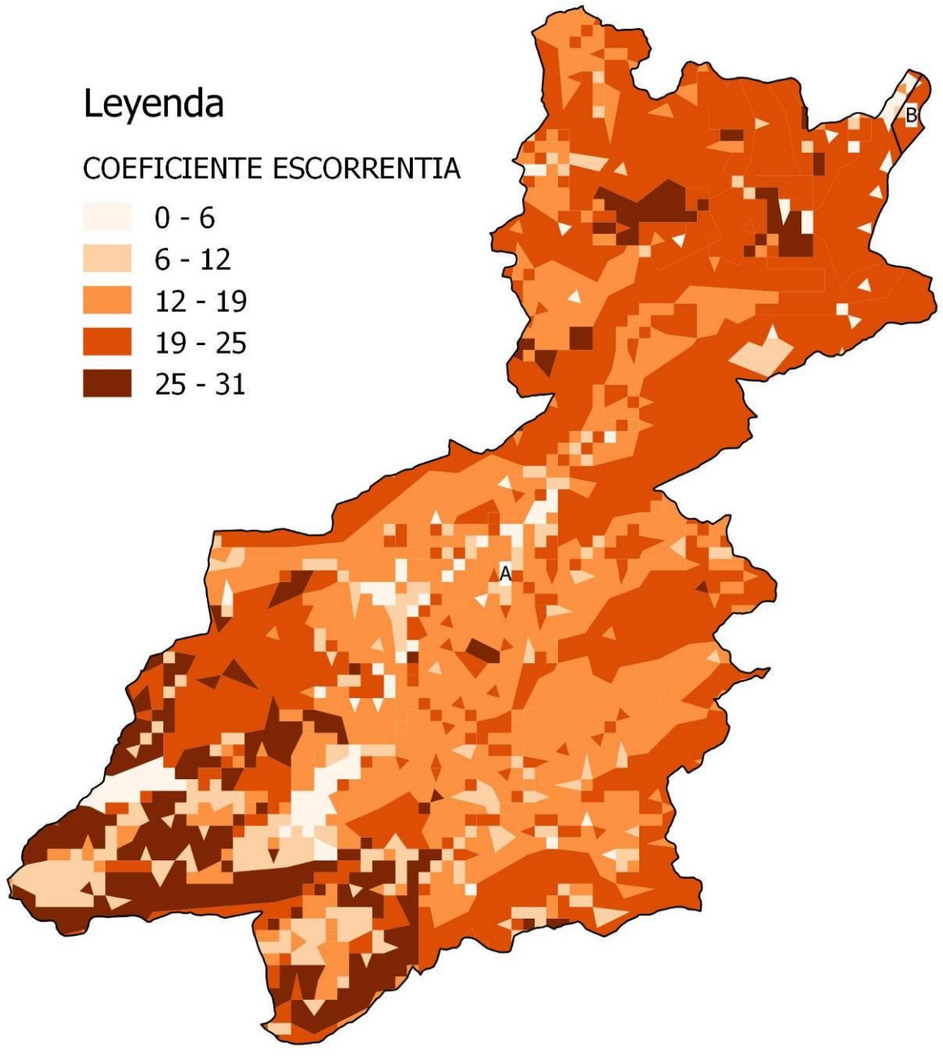

| CUENCA | SUBCUENCA | p0 | AREA | p0*AREA | p0 promedio |
|---|---|---|---|---|---|
| 7a | A | 1 | 6.284 | 6.284 | **21** |
| 7a | A | 1 | 29.220 | 29.220 | |
| 7a | A | 22 | 973.399 | 21.414.778 | |
| 7a | B | 1 | 159.131 | 159.131 | **12** |
| 7a | B | 22 | 165.724 | 3.645.928 | |

## 3. UMBRAL DE ESCORRENTÍA ALTERNATIVA 1B




| CUENCA | SUBCUENCA | p0 | AREA | p0*AREA | p0 promedio |
|---|---|---|---|---|---|
| 5b | A | 22 | 13.058 | 287.276 | |
| 5b | A | 19 | 49.941 | 948.879 | |
| 5b | A | 19 | 937.055 | 17.804.045 | |
| 5b | A | 8 | 95.553 | 764.424 | |
| 5b | A | 5 | 20.304 | 101.520 | |
| 5b | A | 14 | 3.155.048 | 44.170.672 | **17** |
| 5b | A | 19 | 768 | 14.592 | |
| 5b | A | 19 | 433.113 | 8.229.147 | |
| 5b | A | 22 | 1.047.291 | 23.040.402 | |
| 5b | A | 22 | 27.679 | 608.938 | |
| 5b | B | 14 | 374.156 | 5.238.184 | |
| 5b | B | 9 | 679.230 | 6.113.070 | |
| 5b | B | 9 | 250.000 | 2.250.000 | |
| 5b | B | 19 | 1.292.410 | 24.555.790 | |
| 5b | B | 1 | 250.000 | 250.000 | |
| 5b | B | 14 | 500.000 | 7.000.000 | |
| 5b | B | 8 | 500.000 | 4.000.000 | |
| 5b | B | 22 | 418.573 | 9.208.606 | |
| 5b | B | 9 | 1.096.741 | 9.870.669 | |
| 5b | B | 8 | 160.095 | 1.280.760 | |
| 5b | B | 14 | 353.183 | 4.944.562 | |
| 5b | B | 22 | 236.942 | 5.212.724 | |
| 5b | B | 19 | 200.059 | 3.801.121 | |
| 5b | B | 19 | 62.945 | 1.195.955 | |
| 5b | B | 14 | 4.353 | 60.942 | |
| 5b | B | 14 | 42.837 | 599.718 | |
| 5b | B | 14 | 38.052 | 532.728 | |
| 5b | B | 8 | 500.000 | 4.000.000 | |
| 5b | B | 8 | 250.000 | 2.000.000 | |
| 5b | B | 22 | 250.000 | 5.500.000 | |
| 5b | B | 8 | 154.447 | 1.235.576 | |
| 5b | B | 5 | 313.076 | 1.565.380 | |
| 5b | B | 8 | 3.435 | 27.480 | **19** |
| 5b | B | 22 | 123.412 | 2.715.064 | |
| 5b | B | 31 | 250.000 | 7.750.000 | |
| 5b | B | 19 | 250.000 | 4.750.000 | |
| 5b | B | 22 | 250.000 | 5.500.000 | |
| 5b | B | 14 | 633.425 | 8.867.950 | |
| 5b | B | 19 | 249.232 | 4.735.408 | |
| 5b | B | 1 | 250.000 | 250.000 | |
| 5b | B | 22 | 250.000 | 5.500.000 | |
| 5b | B | 14 | 32.121 | 449.694 | |
| 5b | B | 22 | 2.623.756 | 57.722.632 | |
| 5b | B | 19 | 250.000 | 4.750.000 | |
| 5b | B | 31 | 1.000.000 | 31.000.000 | |
| 5b | B | 1 | 176.361 | 176.361 | |
| 5b | B | 14 | 141.901 | 1.986.614 | |
| 5b | B | 1 | 1.193.412 | 1.193.412 | |
| 5b | B | 31 | 262.178 | 8.127.518 | |
| 5b | B | 14 | 413.114 | 5.783.596 | |
| 5b | B | 22 | 405.922 | 8.930.284 | |
| 5b | B | 19 | 4.058.584 | 77.113.096 | |
| 5b | B | 22 | 102.331 | 2.251.282 | |
| 5b | B | 22 | 18.946.671 | 416.826.762 | |
| 5b | B | 22 | 676 | 14.872 | |
| 5b | C | 5 | 42.203 | 211.015 | |
| 5b | C | 8 | 167.076 | 1.336.608 | |
| 5b | C | 14 | 18.720 | 262.080 | |
| 5b | C | 5 | 2.177 | 10.885 | |
| 5b | C | 14 | 38.825 | 543.550 | **19** |
| 5b | C | 22 | 1.099.077 | 24.179.694 | |
| 5b | C | 22 | 18.128 | 398.816 | |
| 5b | C | 22 | 14 | 308 | |

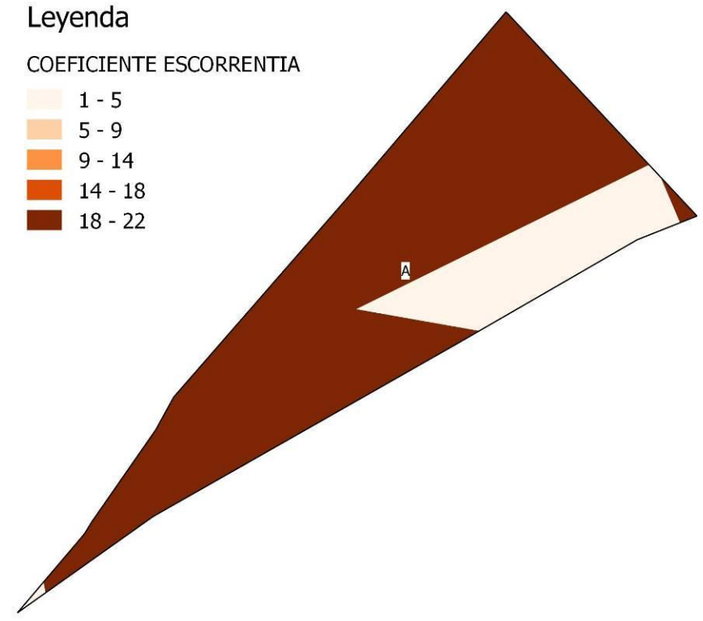
## CUENCA 6B




| CUENCA | SUBCUENCA | p0 | AREA | p0*AREA | p0 promedio |
|---|---|---|---|---|---|
| 6b | B | 5 | 48.166 | 240.830 | |
| 6b | B | 1 | 18.255 | 18.255 | |
| 6b | B | 8 | 147.477 | 1.179.816 | |
| 6b | B | 5 | 158.719 | 793.595 | **20** |
| 6b | B | 0 | 19 | 0 | |
| 6b | B | 22 | 2.276.832 | 50.090.304 | |

*NOTA: La subcuenca A corresponde a la cuenca del Río Serpis, cuyo caudal se ha obtenido directamente a través del sistema de información geográfica de la cartografía de zonas inundables (SNCZI), por lo que no se ha calculado el umbral de escorrentía promedio*

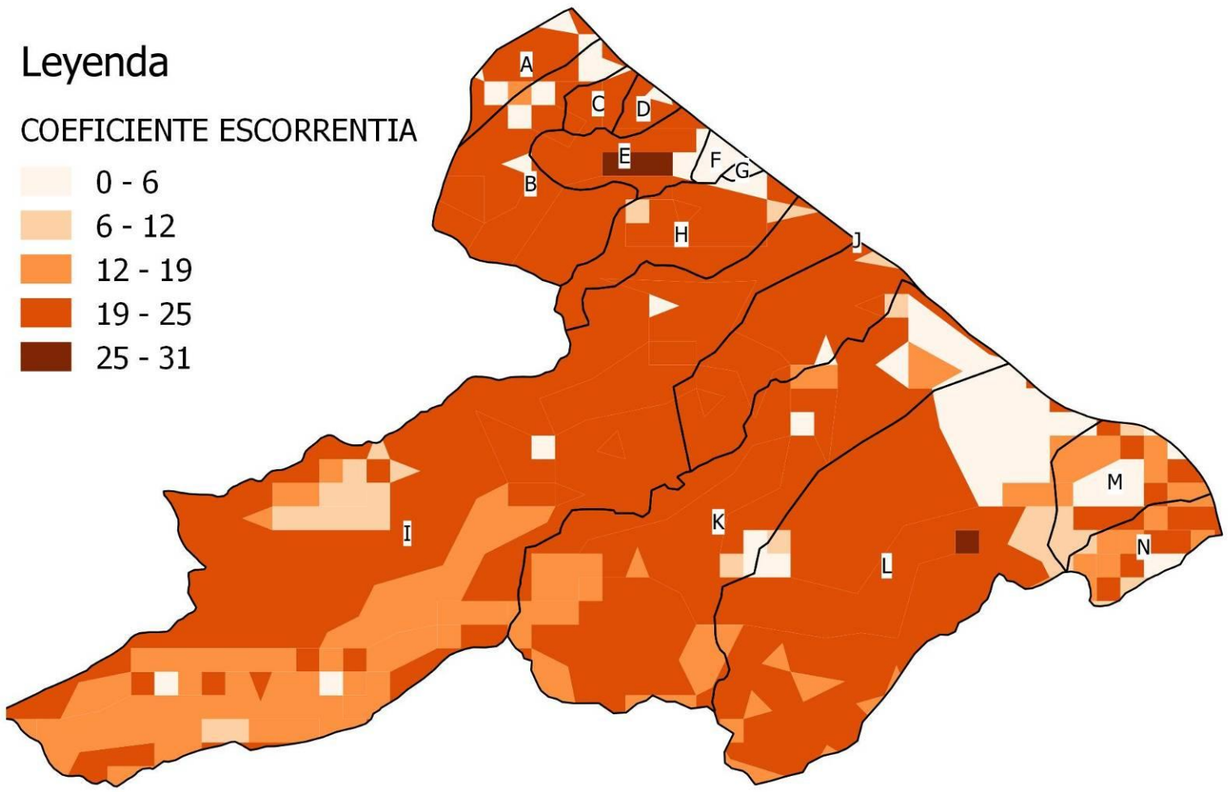
## CUENCA 7B




| CUENCA | SUBCUENCA | p0 | AREA | p0*AREA | p0 promedio |
|---|---|---|---|---|---|
| 7b | A | 1 | 165.488 | 165.488 | |
| 7b | A | 1 | 1.483 | 1.483 | **18** |
| 7b | A | 22 | 727.906 | 16.013.932 | |

## 4. UMBRAL DE ESCORRENTÍA ALTERNATIVA 2A

**CUENCA 7A**

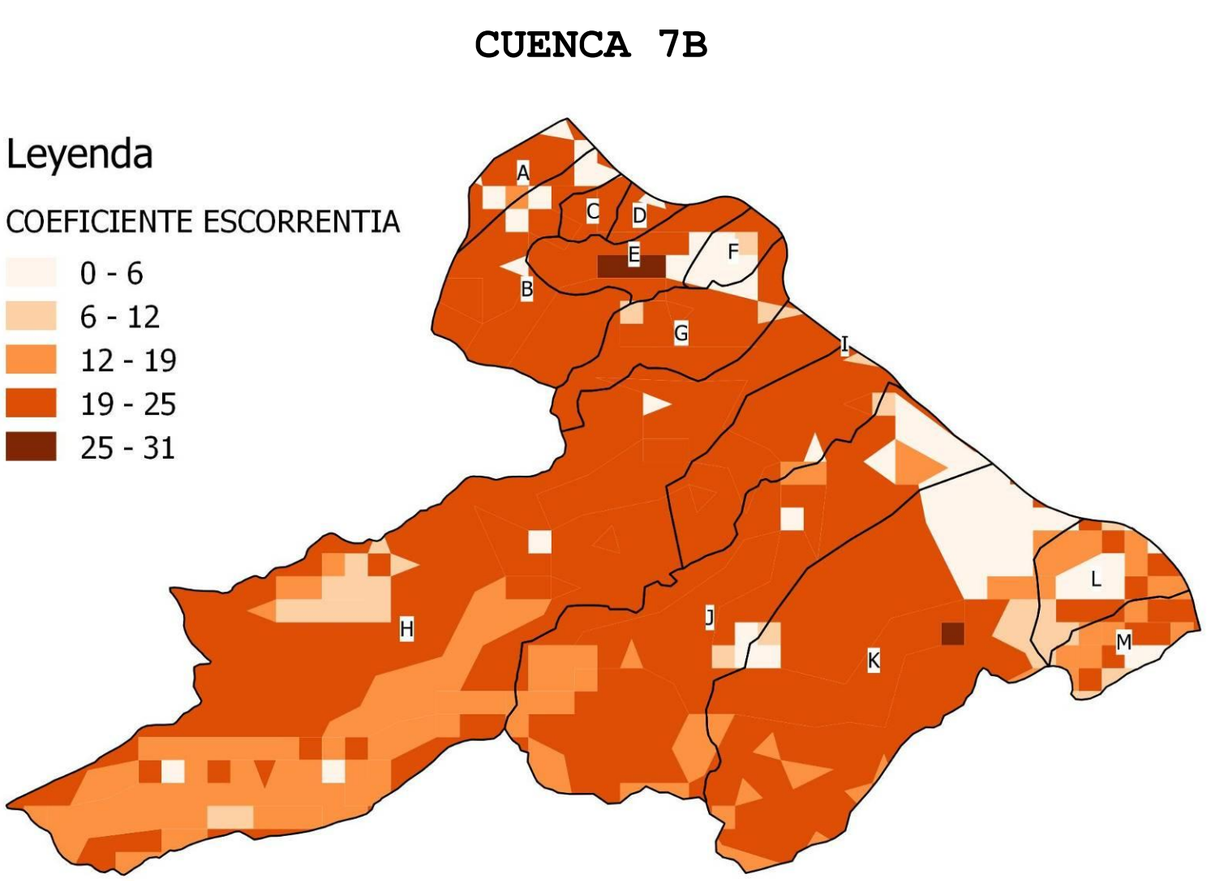



| CUENCA | SUBCUENCA | p0 | AREA | p0*AREA | p0 promedio |
|---|---|---|---|---|---|
| 7a | A | 1 | 213.165 | 213.165 | |
| 7a | A | 1 | 30.070 | 30.070 | |
| 7a | A | 1 | 113.224 | 113.224 | |
| 7a | A | 1 | 248.441 | 248.441 | **17** |
| 7a | A | 14 | 121.591 | 1.702.274 | |
| 7a | A | 1 | 2.958 | 2.958 | |
| 7a | A | 22 | 2.194.399 | 48.276.778 | |
| 7a | B | 1 | 378.443 | 378.443 | |
| 7a | B | 5 | 120.728 | 603.640 | |
| 7a | B | 1 | 1.541 | 1.541 | |
| 7a | B | 14 | 128.391 | 1.797.474 | |
| 7a | B | 1 | 247.024 | 247.024 | |
| 7a | B | 1 | 249.982 | 249.982 | |
| 7a | B | 22 | 371.544 | 8.173.968 | **19** |
| 7a | B | 1 | 156.957 | 156.957 | |
| 7a | B | 19 | 693.749 | 13.181.231 | |
| 7a | B | 8 | 13.937 | 111.496 | |
| 7a | B | 19 | 1.998.078 | 37.963.482 | |
| 7a | B | 22 | 6.191.776 | 136.219.072 | |
| 7a | B | 22 | 3 | 66 | |
| 7a | C | 1 | 941 | 941 | |
| 7a | C | 5 | 39.355 | 196.775 | |
| 7a | C | 22 | 156.046 | 3.433.012 | **20** |
| 7a | C | 19 | 628.475 | 11.941.025 | |
| 7a | C | 22 | 561.942 | 12.362.724 | |
| 7a | C | 22 | 3 | 66 | |
| 7a | D | 5 | 106.824 | 534.120 | |
| 7a | D | 19 | 96.410 | 1.831.790 | **20** |
| 7a | D | 22 | 797.140 | 17.537.080 | |
| 7a | E | 22 | 142.416 | 3.133.152 | |
| 7a | E | 1 | 3.127 | 3.127 | |
| 7a | E | 31 | 749.946 | 23.248.326 | |
| 7a | E | 1 | 376.852 | 376.852 | **26** |
| 7a | E | 19 | 44.413 | 843.847 | |
| 7a | E | 31 | 2.182.140 | 67.646.340 | |
| 7a | E | 22 | 839.724 | 18.473.928 | |
| 7a | F | 1 | 687.339 | 687.339 | **1** |
| 7a | F | 19 | 1.473 | 27.987 | |
| 7a | G | 1 | 226.015 | 226.015 | **1** |
| 7a | H | 1 | 385.335 | 385.335 | |
| 7a | H | 8 | 236.045 | 1.888.360 | |
| 7a | H | 22 | 171.160 | 3.765.520 | |
| 7a | H | 8 | 168.154 | 1.345.232 | **19** |
| 7a | H | 19 | 3.010.921 | 57.207.499 | |
| 7a | H | 19 | 29.183 | 554.477 | |
| 7a | H | 22 | 3.049.442 | 67.087.724 | |
| 7a | I | 8 | 121.163 | 969.304 | |
| 7a | I | 19 | 21.796 | 414.124 | |
| 7a | I | 6 | 160.084 | 960.504 | |
| 7a | I | 22 | 499.964 | 10.999.208 | |
| 7a | I | 19 | 2.578.647 | 48.994.293 | |
| 7a | I | 19 | 2.778.809 | 52.797.371 | |
| 7a | I | 8 | 130.337 | 1.042.696 | |
| 7a | I | 6 | 249.982 | 1.499.892 | |
| 7a | I | 19 | 171.160 | 3.252.040 | |
| 7a | I | 8 | 2.119 | 16.952 | |
| 7a | I | 14 | 249.982 | 3.499.748 | **19** |
| 7a | I | 22 | 249.982 | 5.499.604 | |
| 7a | I | 8 | 160.084 | 1.280.672 | |
| 7a | I | 19 | 1.225.711 | 23.288.509 | |
| 7a | I | 14 | 499.964 | 6.999.496 | |
| 7a | I | 8 | 749.946 | 5.999.568 | |
| 7a | I | 22 | 499.964 | 10.999.208 | |
| 7a | I | 19 | 160.084 | 3.041.596 | |
| 7a | I | 14 | 160.084 | 2.241.176 | |
| 7a | I | 9 | 1.499.891 | 13.499.019 | |
| 7a | I | 22 | 6.466.354 | 142.259.788 | |
| 7a | I | 15 | 749.946 | 11.249.190 | |

| CUENCA | SUBCUENCA | p0 | AREA | p0*AREA | p0 promedio |
|---|---|---|---|---|---|
| 7a | I | 14 | 4.620.086 | 64.681.204 | |
| 7a | I | 18 | 249.982 | 4.499.676 | |
| 7a | I | 14 | 103.397 | 1.447.558 | |
| 7a | I | 19 | 249.982 | 4.749.658 | |
| 7a | I | 15 | 249.982 | 3.749.730 | |
| 7a | I | 19 | 249.982 | 4.749.658 | |
| 7a | I | 15 | 956.962 | 14.354.430 | |
| 7a | I | 22 | 249.982 | 5.499.604 | |
| 7a | I | 1 | 249.982 | 249.982 | |
| 7a | I | 14 | 1.999.855 | 27.997.970 | |
| 7a | I | 19 | 249.982 | 4.749.658 | |
| 7a | I | 19 | 160.084 | 3.041.596 | |
| 7a | I | 1 | 249.982 | 249.982 | |
| 7a | I | 15 | 249.982 | 3.749.730 | |
| 7a | I | 14 | 842.926 | 11.800.964 | |
| 7a | I | 18 | 664.440 | 11.959.920 | |
| 7a | I | 14 | 137.639 | 1.926.946 | |
| 7a | I | 9 | 497.904 | 4.481.136 | |
| 7a | I | 18 | 731.779 | 13.172.022 | |
| 7a | I | 14 | 325.244 | 4.553.416 | |
| 7a | I | 14 | 224.753 | 3.146.542 | |
| 7a | I | 22 | 886.439 | 19.501.658 | |
| 7a | I | 15 | 743 | 11.145 | |
| 7a | I | 22 | 27.512.148 | 605.267.256 | |
| 7a | I | 15 | 5.927.435 | 88.911.525 | |
| 7a | I | 22 | 1.239.885 | 27.277.470 | |
| 7a | J | 8 | 143.429 | 1.147.432 | **21** |
| 7a | J | 19 | 159.599 | 3.032.381 | |
| 7a | J | 8 | 61.878 | 495.024 | |
| 7a | J | 6 | 139.138 | 834.828 | |
| 7a | J | 14 | 81.417 | 1.139.838 | |
| 7a | J | 19 | 171.160 | 3.252.040 | |
| 7a | J | 19 | 1.255.428 | 23.853.132 | |
| 7a | J | 19 | 139.222 | 2.645.218 | |
| 7a | J | 22 | 2.336.950 | 51.412.900 | |
| 7a | J | 22 | 4.963.304 | 109.192.688 | |
| 7a | K | 19 | 484 | 9.196 | **18** |
| 7a | K | 8 | 188.104 | 1.504.832 | |
| 7a | K | 6 | 20.945 | 125.670 | |
| 7a | K | 14 | 418.547 | 5.859.658 | |
| 7a | K | 2 | 348.791 | 697.582 | |
| 7a | K | 16 | 671.780 | 10.748.480 | |
| 7a | K | 19 | 88.569 | 1.682.811 | |
| 7a | K | 6 | 249.982 | 1.499.892 | |
| 7a | K | 19 | 814.882 | 15.482.758 | |
| 7a | K | 2 | 1.552.372 | 3.104.744 | |
| 7a | K | 8 | 29.388 | 235.104 | |
| 7a | K | 15 | 160.084 | 2.401.260 | |
| 7a | K | 8 | 249.982 | 1.999.856 | |
| 7a | K | 1 | 348.174 | 348.174 | |
| 7a | K | 22 | 3.603.842 | 79.284.524 | |
| 7a | K | 15 | 1.249.909 | 18.748.635 | |
| 7a | K | 18 | 249.982 | 4.499.676 | |
| 7a | K | 14 | 876.795 | 12.275.130 | |
| 7a | K | 19 | 5.550.775 | 105.464.725 | |
| 7a | K | 14 | 941.535 | 13.181.490 | |
| 7a | K | 14 | 655.884 | 9.182.376 | |
| 7a | K | 22 | 6.488.518 | 142.747.396 | |
| 7a | K | 14 | 245.617 | 3.438.638 | |
| 7a | K | 22 | 5.659.310 | 124.504.820 | |
| 7a | K | 22 | 198.514 | 4.367.308 | |
| 7a | K | 22 | 51.289 | 1.128.358 | |
| 7a | L | 22 | 24.332 | 535.304 | **17** |
| 7a | L | 19 | 351 | 6.669 | |
| 7a | L | 16 | 178.768 | 2.860.288 | |
| 7a | L | 2 | 5.608.886 | 11.217.772 | |
| 7a | L | 18 | 563.561 | 10.144.098 | |
| 7a | L | 8 | 220.594 | 1.764.752 | |

| CUENCA | SUBCUENCA | p0 | AREA | p0*AREA | p0 promedio |
|---|---|---|---|---|---|
| 7a | L | 31 | 249.982 | 7.749.442 | |
| 7a | L | 1 | 401.771 | 401.771 | |
| 7a | L | 8 | 952.573 | 7.620.584 | |
| 7a | L | 15 | 3.715 | 55.725 | |
| 7a | L | 19 | 5.956.586 | 113.175.134 | |
| 7a | L | 14 | 25.762 | 360.668 | |
| 7a | L | 14 | 171.160 | 2.396.240 | |
| 7a | L | 14 | 253.020 | 3.542.280 | |
| 7a | L | 14 | 337.426 | 4.723.964 | |
| 7a | L | 14 | 58.036 | 812.504 | |
| 7a | L | 14 | 171.160 | 2.396.240 | |
| 7a | L | 14 | 105.782 | 1.480.948 | |
| 7a | L | 14 | 176.125 | 2.465.750 | |
| 7a | L | 22 | 8.904.617 | 195.901.574 | |
| 7a | L | 22 | 12.305.828 | 270.728.216 | |
| 7a | L | 14 | 300.538 | 4.207.532 | |
| 7a | M | 8 | 123.251 | 986.008 | **12** |
| 7a | M | 1 | 36.652 | 36.652 | |
| 7a | M | 22 | 249.982 | 5.499.604 | |
| 7a | M | 1 | 92.019 | 92.019 | |
| 7a | M | 16 | 1.071.141 | 17.138.256 | |
| 7a | M | 14 | 492.061 | 6.888.854 | |
| 7a | M | 19 | 317.221 | 6.027.199 | |
| 7a | M | 2 | 49.388 | 98.776 | |
| 7a | M | 18 | 186.384 | 3.354.912 | |
| 7a | M | 0 | 1.249.909 | 0 | |
| 7a | M | 22 | 224.339 | 4.935.458 | |
| 7a | M | 14 | 310.433 | 4.346.062 | |
| 7a | M | 22 | 598.347 | 13.163.634 | |
| 7a | M | 14 | 1.680 | 23.520 | |
| 7a | M | 14 | 6.054 | 84.756 | |
| 7a | M | 8 | 658.271 | 5.266.168 | |
| 7a | M | 22 | 148.342 | 3.263.524 | |
| 7a | N | 22 | 25.643 | 564.146 | **16** |
| 7a | N | 14 | 150.674 | 2.109.436 | |
| 7a | N | 22 | 151.599 | 3.335.178 | |
| 7a | N | 14 | 248.301 | 3.476.214 | |
| 7a | N | 14 | 243.927 | 3.414.978 | |
| 7a | N | 15 | 249.982 | 3.749.730 | |
| 7a | N | 22 | 498.395 | 10.964.690 | |
| 7a | N | 14 | 128.480 | 1.798.720 | |
| 7a | N | 8 | 137.727 | 1.101.816 | |
| 7a | N | 14 | 228.862 | 3.204.068 | |
| 7a | N | 15 | 249.982 | 3.749.730 | |
| 7a | N | 22 | 249.982 | 5.499.604 | |
| 7a | N | 2 | 316.462 | 632.924 | |
| 7a | N | 15 | 76.740 | 1.151.100 | |
| 7a | N | 22 | 249.474 | 5.488.428 | |
| 7a | N | 19 | 551.441 | 10.477.379 | |
| 7a | N | 8 | 186.464 | 1.491.712 | |

## 5. UMBRAL DE ESCORRENTÍA ALTERNATIVA 2B



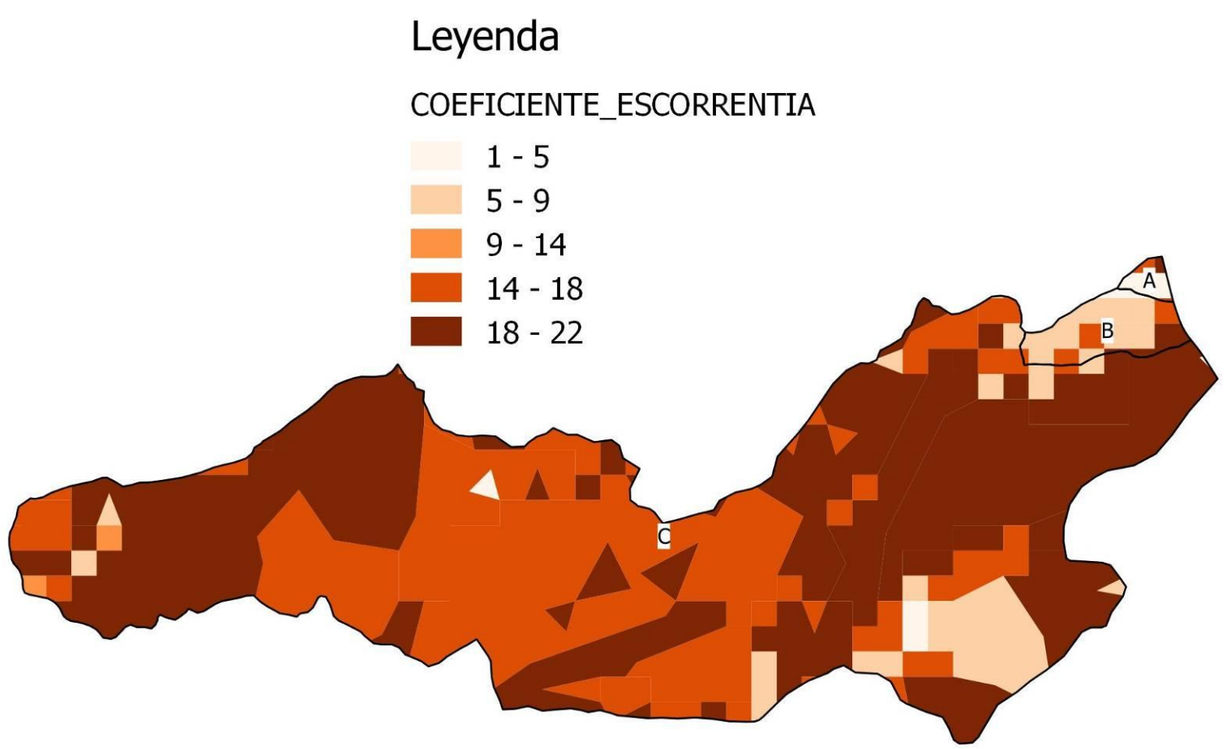

| CUENCA | SUBCUENCA | p0 | AREA | p0*AREA | p0 promedio |
|---|---|---|---|---|---|
| 7b | A | 1 | 171.552 | 171.552 | |
| 7b | A | 1 | 20.807 | 20.807 | |
| 7b | A | 1 | 132.969 | 132.969 | |
| 7b | A | 1 | 250.000 | 250.000 | **17** |
| 7b | A | 14 | 153.686 | 2.151.604 | |
| 7b | A | 1 | 12.542 | 12.542 | |
| 7b | A | 1 | 55 | 55 | |
| 7b | A | 22 | 2.182.240 | 48.009.280 | |
| 7b | B | 1 | 346.329 | 346.329 | |
| 7b | B | 5 | 146.607 | 733.035 | |
| 7b | B | 14 | 96.314 | 1.348.396 | |
| 7b | B | 1 | 237.458 | 237.458 | |
| 7b | B | 1 | 249.945 | 249.945 | |
| 7b | B | 22 | 400.715 | 8.815.730 | **19** |
| 7b | B | 1 | 153.271 | 153.271 | |
| 7b | B | 19 | 687.507 | 13.062.633 | |
| 7b | B | 8 | 28.697 | 229.576 | |
| 7b | B | 19 | 2.077.541 | 39.473.279 | |
| 7b | B | 22 | 6.127.766 | 134.810.852 | |
| 7b | B | 5 | 4 | 20 | |
| 7b | C | 5 | 8.573 | 42.865 | |
| 7b | C | 22 | 178.593 | 3.929.046 | |
| 7b | C | 19 | 636.710 | 12.097.490 | **21** |
| 7b | C | 22 | 562.883 | 12.383.426 | |
| 7b | C | 5 | 4 | 20 | |
| 7b | D | 5 | 93.637 | 468.185 | |
| 7b | D | 19 | 152.068 | 2.889.292 | **20** |
| 7b | D | 22 | 840.342 | 18.487.524 | |
| 7b | E | 22 | 90.747 | 1.996.434 | |
| 7b | E | 1 | 6.824 | 6.824 | |
| 7b | E | 31 | 750.000 | 23.250.000 | |
| 7b | E | 1 | 467.525 | 467.525 | **25** |
| 7b | E | 8 | 7.065 | 56.520 | |
| 7b | E | 19 | 72.248 | 1.372.712 | |
| 7b | E | 31 | 2.109.822 | 65.404.482 | |
| 7b | E | 22 | 1.702.675 | 37.458.850 | |
| 7b | F | 8 | 250.000 | 2.000.000 | |
| 7b | F | 1 | 1.202.700 | 1.202.700 | **8** |
| 7b | F | 19 | 28.611 | 543.609 | |
| 7b | F | 22 | 593.826 | 13.064.172 | |
| 7b | G | 1 | 329.622 | 329.622 | |
| 7b | G | 8 | 214.230 | 1.713.840 | |
| 7b | G | 22 | 171.173 | 3.765.806 | |
| 7b | G | 8 | 182.554 | 1.460.432 | **19** |
| 7b | G | 19 | 2.966.259 | 56.358.921 | |
| 7b | G | 19 | 40.227 | 764.313 | |
| 7b | G | 22 | 3.710.301 | 81.626.622 | |
| 7b | H | 8 | 100.462 | 803.696 | |
| 7b | H | 19 | 11.846 | 225.074 | |
| 7b | H | 6 | 160.095 | 960.570 | |
| 7b | H | 22 | 500.000 | 11.000.000 | |
| 7b | H | 19 | 2.614.850 | 49.682.150 | |
| 7b | H | 19 | 2.804.811 | 53.291.409 | |
| 7b | H | 8 | 115.194 | 921.552 | |
| 7b | H | 6 | 250.000 | 1.500.000 | |
| 7b | H | 19 | 171.173 | 3.252.287 | |
| 7b | H | 14 | 250.000 | 3.500.000 | **19** |
| 7b | H | 22 | 250.000 | 5.500.000 | |
| 7b | H | 8 | 160.095 | 1.280.760 | |
| 7b | H | 19 | 1.225.800 | 23.290.200 | |
| 7b | H | 14 | 500.000 | 7.000.000 | |
| 7b | H | 8 | 750.000 | 6.000.000 | |
| 7b | H | 22 | 500.000 | 11.000.000 | |
| 7b | H | 19 | 160.095 | 3.041.805 | |
| 7b | H | 14 | 160.095 | 2.241.330 | |
| 7b | H | 9 | 1.500.000 | 13.500.000 | |

| CUENCA | SUBCUENCA | p0 | AREA | p0*AREA | p0 promedio |
|---|---|---|---|---|---|
| 7b | H | 22 | 6.663.040 | 146.586.880 | |
| 7b | H | 15 | 750.000 | 11.250.000 | |
| 7b | H | 14 | 4.620.421 | 64.685.894 | |
| 7b | H | 18 | 250.000 | 4.500.000 | |
| 7b | H | 14 | 111.430 | 1.560.020 | |
| 7b | H | 19 | 250.000 | 4.750.000 | |
| 7b | H | 15 | 250.000 | 3.750.000 | |
| 7b | H | 19 | 250.000 | 4.750.000 | |
| 7b | H | 15 | 957.031 | 14.355.465 | |
| 7b | H | 22 | 250.000 | 5.500.000 | |
| 7b | H | 1 | 250.000 | 250.000 | |
| 7b | H | 14 | 2.000.000 | 28.000.000 | |
| 7b | H | 19 | 250.000 | 4.750.000 | |
| 7b | H | 19 | 160.095 | 3.041.805 | |
| 7b | H | 1 | 250.000 | 250.000 | |
| 7b | H | 15 | 250.000 | 3.750.000 | |
| 7b | H | 14 | 842.987 | 11.801.818 | |
| 7b | H | 18 | 689.436 | 12.409.848 | |
| 7b | H | 14 | 176.896 | 2.476.544 | |
| 7b | H | 9 | 500.000 | 4.500.000 | |
| 7b | H | 18 | 748.525 | 13.473.450 | |
| 7b | H | 14 | 387.599 | 5.426.386 | |
| 7b | H | 14 | 293.927 | 4.114.978 | |
| 7b | H | 22 | 950.595 | 20.913.090 | |
| 7b | H | 18 | 10 | 180 | |
| 7b | H | 15 | 6.706 | 100.590 | |
| 7b | H | 22 | 26.551.511 | 584.133.242 | |
| 7b | H | 15 | 6.051.844 | 90.777.660 | |
| 7b | H | 22 | 1.571.042 | 34.562.924 | |
| 7b | I | 8 | 99.638 | 797.104 | |
| 7b | I | 19 | 160.095 | 3.041.805 | |
| 7b | I | 8 | 73.599 | 588.792 | |
| 7b | I | 6 | 149.511 | 897.066 | |
| 7b | I | 14 | 133.463 | 1.868.482 | **21** |
| 7b | I | 19 | 171.173 | 3.252.287 | |
| 7b | I | 19 | 1.226.503 | 23.303.557 | |
| 7b | I | 19 | 113.431 | 2.155.189 | |
| 7b | I | 22 | 2.490.176 | 54.783.872 | |
| 7b | I | 22 | 4.833.931 | 106.346.482 | |
| 7b | J | 8 | 176.401 | 1.411.208 | |
| 7b | J | 6 | 10.584 | 63.504 | |
| 7b | J | 14 | 366.537 | 5.131.518 | |
| 7b | J | 2 | 348.816 | 697.632 | |
| 7b | J | 16 | 671.829 | 10.749.264 | |
| 7b | J | 19 | 70.533 | 1.340.127 | |
| 7b | J | 6 | 250.000 | 1.500.000 | |
| 7b | J | 19 | 815.292 | 15.490.548 | |
| 7b | J | 2 | 1.644.457 | 3.288.914 | |
| 7b | J | 8 | 41.515 | 332.120 | |
| 7b | J | 15 | 160.095 | 2.401.425 | |
| 7b | J | 8 | 250.000 | 2.000.000 | |
| 7b | J | 1 | 368.845 | 368.845 | **18** |
| 7b | J | 22 | 3.254.830 | 71.606.260 | |
| 7b | J | 15 | 1.250.000 | 18.750.000 | |
| 7b | J | 18 | 250.000 | 4.500.000 | |
| 7b | J | 14 | 880.735 | 12.330.290 | |
| 7b | J | 19 | 5.592.107 | 106.250.033 | |
| 7b | J | 14 | 916.160 | 12.826.240 | |
| 7b | J | 14 | 731.970 | 10.247.580 | |
| 7b | J | 22 | 6.567.979 | 144.495.538 | |
| 7b | J | 14 | 352.870 | 4.940.180 | |
| 7b | J | 22 | 5.626.428 | 123.781.416 | |
| 7b | J | 22 | 231.955 | 5.103.010 | |
| 7b | J | 22 | 83.999 | 1.847.978 | |
| 7b | K | 22 | 8.911 | 196.042 | |
| 7b | K | 16 | 207.934 | 3.326.944 | **17** |
| 7b | K | 2 | 5.424.435 | 10.848.870 | |
| 7b | K | 18 | 554.726 | 9.985.068 | |

| CUENCA | SUBCUENCA | p0 | AREA | p0*AREA | p0 promedio |
|---|---|---|---|---|---|
| 7b | K | 8 | 208.485 | 1.667.880 | |
| 7b | K | 31 | 250.000 | 7.750.000 | |
| 7b | K | 1 | 381.155 | 381.155 | |
| 7b | K | 8 | 933.499 | 7.467.992 | |
| 7b | K | 15 | 14.565 | 218.475 | |
| 7b | K | 19 | 5.916.090 | 112.405.710 | |
| 7b | K | 9 | 2.652 | 23.868 | |
| 7b | K | 14 | 63.061 | 882.854 | |
| 7b | K | 14 | 171.173 | 2.396.422 | |
| 7b | K | 14 | 278.482 | 3.898.748 | |
| 7b | K | 14 | 337.450 | 4.724.300 | |
| 7b | K | 14 | 74.707 | 1.045.898 | |
| 7b | K | 14 | 171.173 | 2.396.422 | |
| 7b | K | 14 | 124.512 | 1.743.168 | |
| 7b | K | 14 | 194.935 | 2.729.090 | |
| 7b | K | 22 | 8.660.923 | 190.540.306 | |
| 7b | K | 22 | 12.555.973 | 276.231.406 | |
| 7b | K | 14 | 435.788 | 6.101.032 | |
| 7b | L | 8 | 85.960 | 687.680 | |
| 7b | L | 1 | 14.180 | 14.180 | |
| 7b | L | 22 | 250.000 | 5.500.000 | |
| 7b | L | 1 | 59.714 | 59.714 | |
| 7b | L | 16 | 1.042.066 | 16.673.056 | |
| 7b | L | 14 | 474.916 | 6.648.824 | |
| 7b | L | 19 | 282.731 | 5.371.889 | |
| 7b | L | 2 | 27.079 | 54.158 | |
| 7b | L | 18 | 195.274 | 3.514.932 | |
| 7b | L | 0 | 1.250.000 | 0 | **12** |
| 7b | L | 22 | 248.317 | 5.462.974 | |
| 7b | L | 14 | 362.096 | 5.069.344 | |
| 7b | L | 22 | 647.858 | 14.252.876 | |
| 7b | L | 14 | 12.336 | 172.704 | |
| 7b | L | 14 | 23.073 | 323.022 | |
| 7b | L | 8 | 724.147 | 5.793.176 | |
| 7b | L | 14 | 3.458 | 48.412 | |
| 7b | L | 22 | 112.335 | 2.471.370 | |
| 7b | M | 22 | 1.683 | 37.026 | |
| 7b | M | 14 | 78.070 | 1.092.980 | |
| 7b | M | 22 | 102.142 | 2.247.124 | |
| 7b | M | 14 | 237.664 | 3.327.296 | |
| 7b | M | 14 | 226.927 | 3.176.978 | |
| 7b | M | 15 | 250.000 | 3.750.000 | |
| 7b | M | 22 | 500.000 | 11.000.000 | |
| 7b | M | 14 | 160.757 | 2.250.598 | |
| 7b | M | 8 | 114.417 | 915.336 | **15** |
| 7b | M | 14 | 242.612 | 3.396.568 | |
| 7b | M | 15 | 250.000 | 3.750.000 | |
| 7b | M | 22 | 250.000 | 5.500.000 | |
| 7b | M | 2 | 364.184 | 728.368 | |
| 7b | M | 15 | 91.439 | 1.371.585 | |
| 7b | M | 22 | 250.000 | 5.500.000 | |
| 7b | M | 19 | 543.167 | 10.320.173 | |
| 7b | M | 8 | 281.052 | 2.248.416 | |

## 6. UMBRAL DE ESCORRENTÍA ALTERNATIVA 3C Y 3CBIS

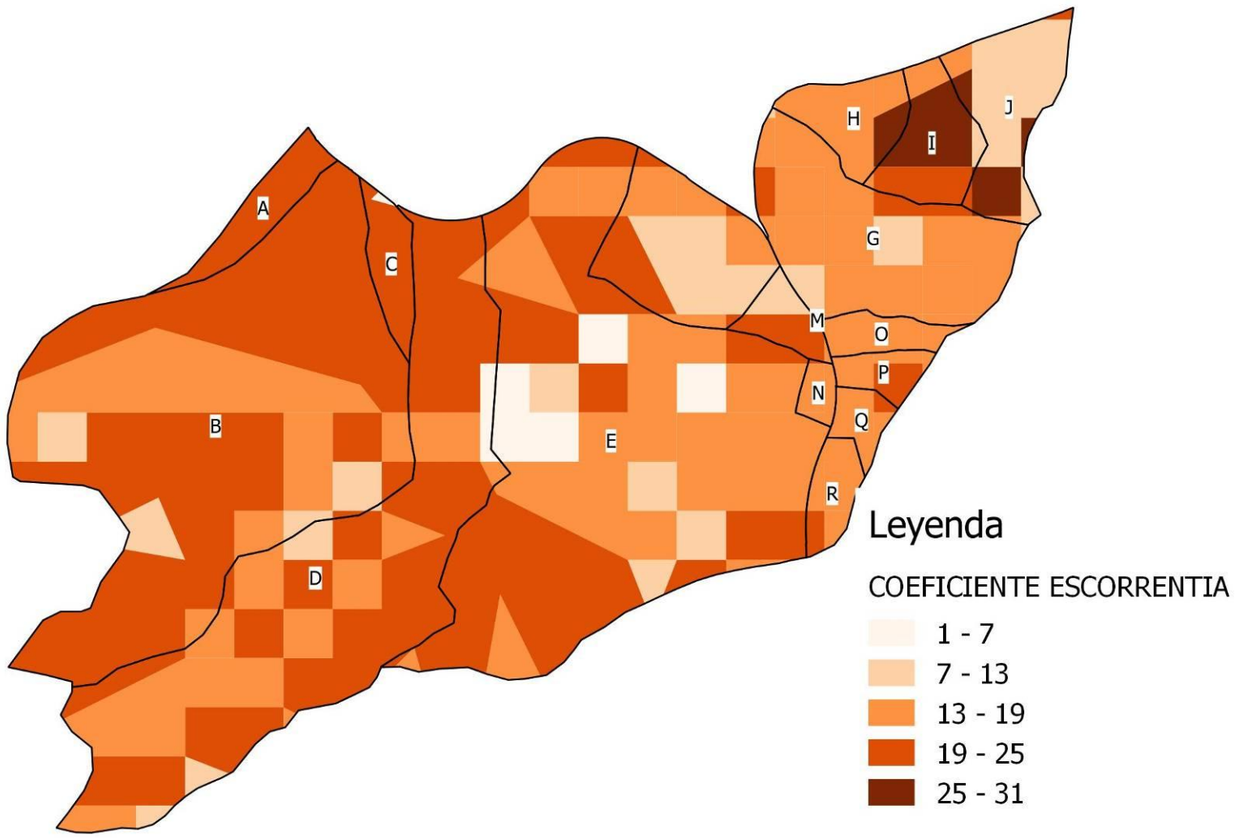
# CUENCA 8C




| CUENCA | SUBCUENCA | p0 | AREA | p0*AREA | p0 promedio |
|---|---|---|---|---|---|
| 8c | A | 14 | 89.243 | 1.249.402 | 6 |
| 8c | A | 2 | 400.029 | 800.058 | |
| 8c | A | 15 | 17.207 | 258.105 | |
| 8c | A | 19 | 59.154 | 1.123.926 | |
| 8c | B | 2 | 131.146 | 262.292 | 11 |
| 8c | B | 6 | 249.777 | 1.498.662 | |
| 8c | B | 15 | 198.230 | 2.973.450 | |
| 8c | B | 19 | 524 | 9.956 | |
| 8c | B | 14 | 250.000 | 3.500.000 | |
| 8c | B | 9 | 500.000 | 4.500.000 | |
| 8c | B | 14 | 38.977 | 545.678 | |
| 8c | B | 14 | 162.335 | 2.272.690 | |
| 8c | B | 9 | 102.549 | 922.941 | |
| 8c | B | 8 | 1.185.541 | 9.484.328 | |
| 8c | B | 19 | 35.930 | 682.670 | |
| 8c | B | 22 | 385.032 | 8.470.704 | |

*NOTA: La subcuenca C corresponde a la cuenca del Río Girona, cuyo caudal se ha obtenido directamente a través del sistema de información geográfica de la cartografía de zonas inundables (SNCZI), por lo que no se ha calculado el umbral de escorrentía promedio*

# CUENCA 9C

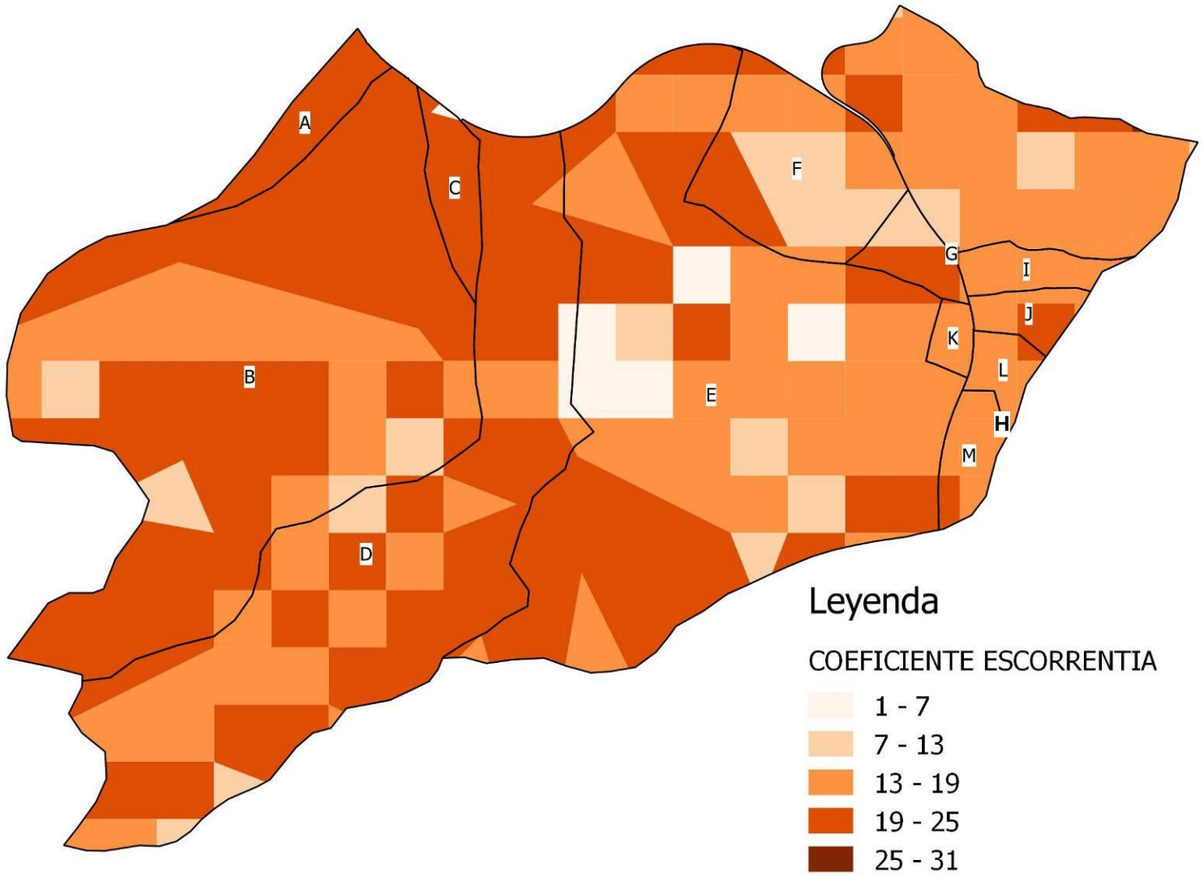



| CUENCA | SUBCUENCA | p0 | AREA | p0*AREA | p0 promedio |
|---|---|---|---|---|---|
| 9c | A | 22 | 704.527 | 15.499.594 | **22** |
| 9c | B | 19 | 2.214.662 | 42.078.578 | |
| 9c | B | 8 | 250.000 | 2.000.000 | |
| 9c | B | 22 | 250.000 | 5.500.000 | |
| 9c | B | 19 | 148.886 | 2.828.834 | |
| 9c | B | 14 | 500.000 | 7.000.000 | |
| 9c | B | 8 | 243.994 | 1.951.952 | |
| 9c | B | 22 | 3.633.471 | 79.936.362 | |
| 9c | B | 8 | 239.891 | 1.919.128 | **20** |
| 9c | B | 8 | 86.216 | 689.728 | |
| 9c | B | 22 | 19.156 | 421.432 | |
| 9c | B | 14 | 206.928 | 2.896.992 | |
| 9c | B | 14 | 83.743 | 1.172.402 | |
| 9c | B | 22 | 4.043.299 | 88.952.578 | |
| 9c | B | 22 | 95.545 | 2.101.990 | |
| 9c | C | 1 | 13.624 | 13.624 | |
| 9c | C | 22 | 578.930 | 12.736.460 | **22** |
| 9c | D | 1 | 567 | 567 | |
| 9c | D | 19 | 46.115 | 876.185 | |
| 9c | D | 19 | 351.114 | 6.671.166 | |
| 9c | D | 1 | 142.582 | 142.582 | |
| 9c | D | 8 | 6.006 | 48.048 | |
| 9c | D | 22 | 1.505.327 | 33.117.194 | |
| 9c | D | 8 | 163.784 | 1.310.272 | |
| 9c | D | 22 | 230.844 | 5.078.568 | |
| 9c | D | 15 | 160.095 | 2.401.425 | |
| 9c | D | 14 | 44.230 | 619.220 | |
| 9c | D | 14 | 293.072 | 4.103.008 | |
| 9c | D | 22 | 250.000 | 5.500.000 | |
| 9c | D | 15 | 250.000 | 3.750.000 | **19** |
| 9c | D | 14 | 166.257 | 2.327.598 | |
| 9c | D | 22 | 250.000 | 5.500.000 | |
| 9c | D | 15 | 250.000 | 3.750.000 | |
| 9c | D | 22 | 285.760 | 6.286.720 | |
| 9c | D | 15 | 1.291.610 | 19.374.150 | |
| 9c | D | 22 | 495.599 | 10.903.178 | |
| 9c | D | 8 | 88.648 | 709.184 | |
| 9c | D | 14 | 184.847 | 2.587.858 | |
| 9c | D | 8 | 61.103 | 488.824 | |
| 9c | D | 22 | 483.508 | 10.637.176 | |
| 9c | D | 14 | 14.419 | 201.866 | |
| 9c | D | 22 | 1.928.334 | 42.423.348 | |
| 9c | E | 19 | 241.862 | 4.595.378 | |
| 9c | E | 15 | 244.059 | 3.660.885 | |
| 9c | E | 19 | 476.575 | 9.054.925 | |
| 9c | E | 22 | 583.797 | 12.843.534 | |
| 9c | E | 5 | 250.000 | 1.250.000 | |
| 9c | E | 22 | 192.673 | 4.238.806 | |
| 9c | E | 8 | 250.000 | 2.000.000 | |
| 9c | E | 22 | 250.000 | 5.500.000 | |
| 9c | E | 1 | 250.000 | 250.000 | |
| 9c | E | 15 | 382.323 | 5.734.845 | |
| 9c | E | 1 | 607.418 | 607.418 | |
| 9c | E | 19 | 1.176.368 | 22.350.992 | |
| 9c | E | 15 | 250.000 | 3.750.000 | **17** |
| 9c | E | 8 | 250.000 | 2.000.000 | |
| 9c | E | 19 | 1.160.663 | 22.052.597 | |
| 9c | E | 22 | 902.268 | 19.849.896 | |
| 9c | E | 14 | 1.120.809 | 15.691.326 | |
| 9c | E | 8 | 250.000 | 2.000.000 | |
| 9c | E | 22 | 405.248 | 8.915.456 | |
| 9c | E | 8 | 138.342 | 1.106.736 | |
| 9c | E | 14 | 30.673 | 429.422 | |
| 9c | E | 14 | 241.465 | 3.380.510 | |
| 9c | E | 15 | 43.446 | 651.690 | |
| 9c | E | 22 | 2.562.285 | 56.370.270 | |

| CUENCA | SUBCUENCA | p0 | AREA | p0*AREA | p0 promedio |
|---|---|---|---|---|---|
| 9c | F | 15 | 254.882 | 3.823.230 | |
| 9c | F | 19 | 145.131 | 2.757.489 | |
| 9c | F | 22 | 12.666 | 278.652 | |
| 9c | F | 19 | 204.370 | 3.883.030 | |
| 9c | F | 18 | 2.372 | 42.696 | |
| 9c | F | 22 | 416.203 | 9.156.466 | **21** |
| 9c | F | 22 | 932.554 | 20.516.188 | |
| 9c | F | 22 | 13.955 | 307.010 | |
| 9c | F | 19 | 73.620 | 1.398.780 | |
| 9c | F | 22 | 40.717 | 895.774 | |
| 9c | G | 8 | 5.582 | 44.656 | |
| 9c | G | 19 | 82.348 | 1.564.612 | |
| 9c | G | 22 | 101.786 | 2.239.292 | |
| 9c | G | 19 | 250.000 | 4.750.000 | |
| 9c | G | 14 | 454.714 | 6.365.996 | |
| 9c | G | 22 | 155.167 | 3.413.674 | |
| 9c | G | 31 | 2.795 | 86.645 | |
| 9c | G | 19 | 33.678 | 639.882 | |
| 9c | G | 18 | 247.659 | 4.457.862 | |
| 9c | G | 19 | 250.000 | 4.750.000 | |
| 9c | G | 9 | 250.000 | 2.250.000 | **17** |
| 9c | G | 9 | 5.257 | 47.313 | |
| 9c | G | 8 | 149.515 | 1.196.120 | |
| 9c | G | 18 | 492.141 | 8.858.538 | |
| 9c | G | 15 | 250.000 | 3.750.000 | |
| 9c | G | 19 | 623.321 | 11.843.099 | |
| 9c | G | 22 | 5.331 | 117.282 | |
| 9c | G | 15 | 16.291 | 244.365 | |
| 9c | G | 15 | 5.224 | 78.360 | |
| 9c | G | 19 | 4.823 | 91.637 | |
| 9c | G | 19 | 53.600 | 1.018.400 | |
| 9c | H | 8 | 1.186 | 9.488 | |
| 9c | H | 19 | 124.002 | 2.356.038 | |
| 9c | H | 31 | 144.077 | 4.466.387 | **17** |
| 9c | H | 14 | 614.531 | 8.603.434 | |
| 9c | H | 22 | 738 | 16.236 | |
| 9c | I | 19 | 123.281 | 2.342.339 | |
| 9c | I | 31 | 547.817 | 16.982.327 | |
| 9c | I | 8 | 49.436 | 395.488 | **26** |
| 9c | I | 14 | 10.378 | 145.292 | |
| 9c | I | 22 | 326.499 | 7.182.978 | |
| 9c | I | 31 | 2.091 | 64.821 | |
| 9c | J | 19 | 75.820 | 1.440.580 | |
| 9c | J | 31 | 57.990 | 1.797.690 | |
| 9c | J | 31 | 34.772 | 1.077.932 | |
| 9c | J | 8 | 1.041.029 | 8.328.232 | |
| 9c | J | 22 | 17.596 | 387.112 | **14** |
| 9c | J | 31 | 245.115 | 7.598.565 | |
| 9c | J | 9 | 60.192 | 541.728 | |
| 9c | J | 19 | 16.195 | 307.705 | |
| 9c | J | 22 | 19.427 | 427.394 | |
| 9c | M | 8 | 167.869 | 1.342.952 | |
| 9c | M | 22 | 277.782 | 6.111.204 | **17** |
| 9c | M | 19 | 12 | 228 | |
| 9c | M | 19 | 12.088 | 229.672 | |
| 9c | N | 22 | 4.808 | 105.776 | |
| 9c | N | 15 | 117.759 | 1.766.385 | **17** |
| 9c | N | 19 | 85.123 | 1.617.337 | |
| 9c | O | 18 | 7.846 | 141.228 | |
| 9c | O | 22 | 5.482 | 120.604 | |
| 9c | O | 15 | 169.497 | 2.542.455 | **18** |
| 9c | O | 19 | 196.014 | 3.724.266 | |
| 9c | O | 19 | 72.089 | 1.369.691 | |
| 9c | P | 15 | 64.267 | 964.005 | |
| 9c | P | 22 | 161.472 | 3.552.384 | **20** |
| 9c | P | 19 | 135.003 | 2.565.057 | |
| 9c | P | 19 | 18.446 | 350.474 | |
| 9c | Q | 22 | 34.743 | 764.346 | **19** |
| 9c | Q | 15 | 41.183 | 617.745 | |
| 9c | Q | 19 | 247.479 | 4.702.101 | |
| 9c | Q | 15 | 10.114 | 151.710 | |
| 9c | R | 19 | 158.508 | 3.011.652 | |
| 9c | R | 15 | 174.998 | 2.624.970 | **17** |
| 9c | R | 22 | 82.204 | 1.808.488 | |
| 9c | R | 14 | 75.073 | 1.051.022 | |

## 7. UMBRAL DE ESCORRENTÍA ALTERNATIVA 3D

**CUENCA 8D=CUENCA 9C de la alternativa 3D**




| CUENCA | SUBCUENCA | p0 | AREA | p0*AREA | p0 promedio |
|---|---|---|---|---|---|
| 9d | A | 22 | 704.527 | 15.499.594 | **22** |
| 9d | B | 19 | 2.214.662 | 42.078.578 | |
| 9d | B | 8 | 250.000 | 2.000.000 | |
| 9d | B | 22 | 250.000 | 5.500.000 | |
| 9d | B | 19 | 148.886 | 2.828.834 | |
| 9d | B | 14 | 500.000 | 7.000.000 | |
| 9d | B | 8 | 243.994 | 1.951.952 | |
| 9d | B | 22 | 3.633.471 | 79.936.362 | |
| 9d | B | 8 | 239.891 | 1.919.128 | **20** |
| 9d | B | 8 | 86.216 | 689.728 | |
| 9d | B | 22 | 19.156 | 421.432 | |
| 9d | B | 14 | 206.928 | 2.896.992 | |
| 9d | B | 14 | 83.743 | 1.172.402 | |
| 9d | B | 22 | 4.043.299 | 88.952.578 | |
| 9d | B | 22 | 95.545 | 2.101.990 | |
| 9d | C | 1 | 13.624 | 13.624 | **22** |
| 9d | C | 22 | 578.930 | 12.736.460 | |
| 9d | D | 1 | 567 | 567 | |
| 9d | D | 19 | 46.115 | 876.185 | |
| 9d | D | 19 | 351.114 | 6.671.166 | |
| 9d | D | 1 | 142.582 | 142.582 | |
| 9d | D | 8 | 6.006 | 48.048 | |
| 9d | D | 22 | 1.505.330 | 33.117.260 | |
| 9d | D | 8 | 163.784 | 1.310.272 | |
| 9d | D | 22 | 230.844 | 5.078.568 | |
| 9d | D | 15 | 160.095 | 2.401.425 | |
| 9d | D | 14 | 44.230 | 619.220 | |
| 9d | D | 14 | 293.072 | 4.103.008 | |
| 9d | D | 22 | 250.000 | 5.500.000 | |
| 9d | D | 15 | 250.000 | 3.750.000 | **19** |
| 9d | D | 14 | 166.257 | 2.327.598 | |
| 9d | D | 22 | 250.000 | 5.500.000 | |
| 9d | D | 15 | 250.000 | 3.750.000 | |
| 9d | D | 22 | 285.760 | 6.286.720 | |
| 9d | D | 15 | 1.291.610 | 19.374.150 | |
| 9d | D | 22 | 495.599 | 10.903.178 | |
| 9d | D | 8 | 88.648 | 709.184 | |
| 9d | D | 14 | 184.847 | 2.587.858 | |
| 9d | D | 8 | 61.103 | 488.824 | |
| 9d | D | 22 | 483.508 | 10.637.176 | |
| 9d | D | 14 | 14.419 | 201.866 | |
| 9d | D | 22 | 1.928.334 | 42.423.348 | |
| 9d | E | 19 | 240.037 | 4.560.703 | |
| 9d | E | 15 | 244.059 | 3.660.885 | |
| 9d | E | 19 | 476.575 | 9.054.925 | |
| 9d | E | 22 | 583.797 | 12.843.534 | |
| 9d | E | 5 | 250.000 | 1.250.000 | |
| 9d | E | 22 | 192.673 | 4.238.806 | |
| 9d | E | 8 | 250.000 | 2.000.000 | |
| 9d | E | 22 | 250.000 | 5.500.000 | |
| 9d | E | 1 | 250.000 | 250.000 | |
| 9d | E | 15 | 382.323 | 5.734.845 | |
| 9d | E | 1 | 607.418 | 607.418 | |
| 9d | E | 19 | 1.176.368 | 22.350.992 | |
| 9d | E | 15 | 250.000 | 3.750.000 | **17** |
| 9d | E | 8 | 250.000 | 2.000.000 | |
| 9d | E | 19 | 1.160.666 | 22.052.654 | |
| 9d | E | 22 | 871.152 | 19.165.344 | |
| 9d | E | 14 | 1.120.809 | 15.691.326 | |
| 9d | E | 8 | 250.000 | 2.000.000 | |
| 9d | E | 22 | 405.248 | 8.915.456 | |
| 9d | E | 8 | 138.342 | 1.106.736 | |
| 9d | E | 14 | 30.608 | 428.512 | |
| 9d | E | 14 | 241.465 | 3.380.510 | |
| 9d | E | 15 | 43.446 | 651.690 | |
| 9d | E | 22 | 2.562.349 | 56.371.678 | |
| 9d | F | 15 | 255.941 | 3.839.115 | **21** |
| 9d | F | 19 | 182.421 | 3.465.999 | |

| CUENCA | SUBCUENCA | p0 | AREA | p0*AREA | p0 promedio |
|---|---|---|---|---|---|
| 9d | F | 22 | 32.043 | 704.946 | |
| 9d | F | 19 | 211.264 | 4.014.016 | |
| 9d | F | 18 | 2.373 | 42.714 | |
| 9d | F | 22 | 416.203 | 9.156.466 | |
| 9d | F | 22 | 932.554 | 20.516.188 | |
| 9d | F | 22 | 13.955 | 307.010 | |
| 9d | F | 19 | 73.620 | 1.398.780 | |
| 9d | F | 22 | 60.583 | 1.332.826 | |
| 9d | G | 8 | 167.873 | 1.342.984 | |
| 9d | G | 22 | 277.779 | 6.111.138 | **17** |
| 9d | G | 19 | 12 | 228 | |
| 9d | G | 19 | 12.117 | 230.223 | |
| 9d | H | 8 | 5.582 | 44.656 | |
| 9d | H | 19 | 173.666 | 3.299.654 | |
| 9d | H | 19 | 36.317 | 690.023 | |
| 9d | H | 22 | 208.174 | 4.579.828 | |
| 9d | H | 19 | 250.000 | 4.750.000 | |
| 9d | H | 14 | 454.714 | 6.365.996 | |
| 9d | H | 22 | 155.167 | 3.413.674 | |
| 9d | H | 31 | 2.795 | 86.645 | |
| 9d | H | 19 | 34.097 | 647.843 | |
| 9d | H | 18 | 247.658 | 4.457.844 | |
| 9d | H | 19 | 250.000 | 4.750.000 | |
| 9d | H | 9 | 250.000 | 2.250.000 | **17** |
| 9d | H | 9 | 5.257 | 47.313 | |
| 9d | H | 8 | 149.515 | 1.196.120 | |
| 9d | H | 18 | 492.141 | 8.858.538 | |
| 9d | H | 15 | 250.000 | 3.750.000 | |
| 9d | H | 19 | 623.321 | 11.843.099 | |
| 9d | H | 22 | 5.330 | 117.260 | |
| 9d | H | 15 | 16.291 | 244.365 | |
| 9d | H | 15 | 5.224 | 78.360 | |
| 9d | H | 19 | 4.823 | 91.637 | |
| 9d | H | 22 | 38.512 | 847.264 | |
| 9d | H | 19 | 53.600 | 1.018.400 | |
| 9d | I | 18 | 7.846 | 141.228 | |
| 9d | I | 22 | 5.482 | 120.604 | |
| 9d | I | 15 | 169.497 | 2.542.455 | **18** |
| 9d | I | 19 | 196.014 | 3.724.266 | |
| 9d | I | 19 | 72.089 | 1.369.691 | |
| 9d | J | 15 | 64.267 | 964.005 | |
| 9d | J | 22 | 161.472 | 3.552.384 | **20** |
| 9d | J | 19 | 135.003 | 2.565.057 | |
| 9d | J | 19 | 18.446 | 350.474 | |
| 9d | K | 22 | 4.808 | 105.776 | |
| 9d | K | 15 | 117.759 | 1.766.385 | **17** |
| 9d | K | 19 | 85.081 | 1.616.539 | |
| 9d | L | 22 | 34.743 | 764.346 | |
| 9d | L | 15 | 41.183 | 617.745 | **19** |
| 9d | L | 19 | 247.501 | 4.702.519 | |
| 9d | L | 15 | 10.114 | 151.710 | |
| 9d | M | 19 | 158.496 | 3.011.424 | |
| 9d | M | 15 | 174.998 | 2.624.970 | **17** |
| 9d | M | 22 | 82.204 | 1.808.488 | |
| 9d | M | 14 | 75.073 | 1.051.022 | |

# APÉNDICE Nº4. CÁLCULO DE CAUDALES

## CAUDALES DE LAS CUENCAS DE LA ALTERNATIVA 1A (T=500 AÑOS)

| N | Cauce | Superficie (m2) | Pd | Id | Longitud (m) | Pendiente media (m/m) | Cota superior | Cota inferior | Desnivel (m) | Tiempo de concentración (h) | Coeficiente de reducción | Coeficiente de uniformidad | CxA (Ver Tabla Escorrentías) | Intensidad media (lt) | Caudal (m3/s) |
|---|---|---|---|---|---|---|---|---|---|---|---|---|---|---|---|
| 5aA | - | 5.778.782 | 426,00 | 17,75 | 3605,00 | 0,054 | 200,00 | 5,00 | 195,00 | 1,384 | 0,95 | 1,10 | 3.559.729,71 | 151,82 | **165,13** |
| 5aB | - | 230.798 | 428,00 | 17,83 | 505,00 | 0,006 | 15,00 | 12,00 | 3,00 | 0,472 | 1,00 | 1,03 | 167.328,55 | 304,10 | **14,56** |
| 5aC | Rambla de Sant Nicolau | **CAUDAL (500 AÑOS) = 692 m3/s *** | | | | | | | | | | | | | |
| 5aD | - | 509.006 | 425,00 | 17,71 | 1090,00 | 0,006 | 21,00 | 14,00 | 7,00 | 0,847 | 1,00 | 1,05 | 487.627,75 | 215,27 | **30,62** |
| 5aE | - | 934.003 | 428,00 | 17,83 | 1300,00 | 0,005 | 28,00 | 21,00 | 7,00 | 1,002 | 1,00 | 1,07 | 894.774,87 | 195,89 | **52,10** |
| 6aA | Río Serpis | **CAUDAL (500 AÑOS) = 3.878 m3/s *** | | | | | | | | | | | | | |
| 6aB | - | 1.123.103 | 428,00 | 17,83 | 1015,00 | 0,006 | 25,00 | 19,00 | 6,00 | 0,802 | 1,00 | 1,05 | 651.399,74 | 223,88 | **42,54** |
| 7aA | - | 1.008.915 | 429,00 | 17,88 | 900,00 | 0,007 | 25,00 | 19,00 | 6,00 | 0,711 | 1,00 | 1,04 | 550.867,59 | 241,03 | **38,36** |
| 7aB | - | 324.804 | 429,00 | 17,88 | 770,00 | 0,008 | 25,00 | 19,00 | 6,00 | 0,616 | 1,00 | 1,04 | 235.807,70 | 262,00 | **17,85** |

** caudal obtenido por medio del sistema de información geográfica correspondiente a la cartografía de zonas inundables (SNCZI)*

## CAUDALES DE LAS CUENCAS DE LA ALTERNATIVA 1B (T=500 AÑOS)

| N | Cauce | Superficie (m2) | Pd | Id | Longitud (m) | Pendiente media (m/m) | Cota superior | Cota inferior | Desnivel (m) | Tiempo de concentración (h) | Coeficiente de reducción | Coeficiente de uniformidad | CxA (Ver Tabla Escorrentías) | Intensidad media (lt) | Caudal (m3/s) |
|---|---|---|---|---|---|---|---|---|---|---|---|---|---|---|---|
| 5bA | - | 5.779.847 | 426,00 | 17,75 | 3605,00 | 0,054 | 200,00 | 5,00 | 195,00 | 1,384 | 0,95 | 1,10 | 3.560.385,75 | 151,82 | **165,16** |
| 5bB | Rambla de Sant Nicolau | **CAUDAL (500 AÑOS) = 692 m3/s *** | | | | | | | | | | | | | |
| 5bC | - | 1.386.221 | 426,00 | 17,75 | 2450,00 | 0,007 | 28,00 | 12,00 | 16,00 | 1,522 | 0,99 | 1,11 | 801.235,74 | 149,03 | **36,82** |
| 6bA | Río Serpis | **CAUDAL (500 AÑOS) = 3.878 m3/s *** | | | | | | | | | | | | | |
| 6bB | - | 2.649.733 | 427,00 | 17,79 | 2490,00 | 0,005 | 25,00 | 12,00 | 13,00 | 1,642 | 0,97 | 1,12 | 1.486.500,21 | 139,46 | **64,50** |
| 7bA | - | 894.610 | 429,00 | 17,88 | 1300,00 | 0,007 | 28,00 | 19,00 | 9,00 | 0,940 | 1,00 | 1,06 | 535.871,39 | 204,18 | **32,22** |
| 6aB | - | 1.123.103 | 428,00 | 17,83 | 1015,00 | 0,006 | 25,00 | 19,00 | 6,00 | 0,802 | 1,00 | 1,05 | 648.030,43 | 223,88 | **42,32** |
| 7aA | - | 1.008.915 | 429,00 | 17,88 | 900,00 | 0,007 | 25,00 | 19,00 | 6,00 | 0,711 | 1,00 | 1,04 | 547.840,85 | 241,03 | **38,15** |
| 7aB | - | 324.804 | 429,00 | 17,88 | 770,00 | 0,008 | 25,00 | 19,00 | 6,00 | 0,616 | 1,00 | 1,04 | 234.833,29 | 262,00 | **17,77** |

** caudal obtenido por medio del sistema de información geográfica correspondiente a la cartografía de zonas inundables (SNCZI)*

## CAUDALES DE LAS CUENCAS DE LA ALTERNATIVA 2A (T=500 AÑOS)

| N | Cauce | Superficie (m2) | Pd | Id | Longitud (m) | Pendiente media (m/m) | Cota superior | Cota inferior | Desnivel (m) | Tiempo de concentración (h) | Coeficiente de reducción | Coeficiente de uniformidad | CxA (Ver Tabla Escorrentías) | Intensidad media (It) | Caudal (m3/s) |
|---|---|---|---|---|---|---|---|---|---|---|---|---|---|---|---|
| 7aA | - | 2.923.851 | 433,00 | 18,04 | 1850,00 | 0,008 | 30,00 | 15,00 | 15,00 | 1,198 | 0,97 | 1,08 | 1.815.711,47 | 172,34 | **93,88** |
| 7aB | Barranquet de Palmera | **CAUDAL (500 AÑOS) = 260 m3/s *** | | | | | | | | | | | | | |
| 7aC | - | 1.386.762 | 436,00 | 18,17 | 1600,00 | 0,003 | 20,00 | 16,00 | 4,00 | 1,293 | 0,99 | 1,09 | 787.680,82 | 168,98 | **40,30** |
| 7aD | - | 1.000.367 | 436,00 | 18,17 | 900,00 | 0,006 | 15,00 | 10,00 | 5,00 | 0,732 | 1,00 | 1,05 | 568.208,46 | 240,79 | **39,91** |
| 7aE | - | 4.338.654 | 436,00 | 18,17 | 3400,00 | 0,008 | 35,00 | 7,00 | 28,00 | 1,903 | 0,96 | 1,14 | 2.069.537,96 | 128,24 | **84,04** |
| 7aF | - | 688.814 | 436,00 | 18,17 | 1080,00 | 0,032 | 40,00 | 5,00 | 35,00 | 0,612 | 1,00 | 1,04 | 684.681,12 | 267,26 | **52,86** |
| 7aG | - | 226.015 | 436,00 | 18,17 | 600,00 | 0,035 | 25,00 | 4,00 | 21,00 | 0,385 | 1,00 | 1,02 | 224.658,91 | 347,12 | **22,10** |
| 7aH | Riuet Alfadid | 7.050.241 | 441,00 | 18,38 | 4490,00 | 0,027 | 125,00 | 5,00 | 120,00 | 1,866 | 0,94 | 1,13 | 4.159.642,19 | 128,64 | **167,96** |
| 7aI | Rambla de Gallinera | **CAUDAL (500 AÑOS) = 1.025 m3/s *** | | | | | | | | | | | | | |
| 7aJ | Barranc Benirrama | 9.451.525 | 448,00 | 18,67 | 5090,00 | 0,009 | 50,00 | 2,00 | 48,00 | 2,529 | 0,93 | 1,19 | 5.302.305,53 | 105,92 | **185,65** |
| 7aK | - | 30.913.939 | 446,00 | 18,58 | 13770,00 | 0,014 | 200,00 | 2,00 | 198,00 | 4,954 | 0,90 | 1,35 | 18.919.330,67 | 64,22 | **455,62** |
| 7aL | - | 36.970.625 | 454,00 | 18,92 | 6400,00 | 0,011 | 70,00 | 2,00 | 68,00 | 2,897 | 0,90 | 1,21 | 23.513.317,50 | 94,84 | **749,53** |
| 7aM | - | 5.815.513 | 459,00 | 19,13 | 1900,00 | 0,005 | 12,00 | 2,00 | 10,00 | 1,337 | 0,95 | 1,09 | 4.332.557,19 | 167,20 | **219,33** |
| 7aN | Barranc de Les Portelles | **CAUDAL (500 AÑOS) = 157 m3/s *** | | | | | | | | | | | | | |

** caudal obtenido por medio del sistema de información geográfica correspondiente a la cartografía de zonas inundables (SNCZI)*

## CAUDALES DE LAS CUENCAS DE LA ALTERNATIVA 2B (T=500 AÑOS)

| N | Cauce | Superficie (m2) | Pd | Id | Longitud (m) | Pendiente media (m/m) | Cota superior | Cota inferior | Desnivel (m) | Tiempo de concentración (h) | Coeficiente de reducción | Coeficiente de uniformidad | CxA (Ver Tabla Escorrentías) | Intensidad media (It) | Caudal (m3/s) |
|---|---|---|---|---|---|---|---|---|---|---|---|---|---|---|---|
| 7bA | - | 2.923.851 | 433,00 | 18,04 | 1850,00 | 0,008 | 30,00 | 15,00 | 15,00 | 1,198 | 0,97 | 1,08 | 1.815.711,47 | 172,34 | **93,88** |
| 7bB | Barranquet de Palmera | **CAUDAL (500 AÑOS) = 260 m3/s *** | | | | | | | | | | | | | |
| 7bC | - | 1.386.762 | 436,00 | 18,17 | 1600,00 | 0,003 | 20,00 | 16,00 | 4,00 | 1,293 | 0,99 | 1,09 | 765.492,62 | 168,98 | **39,17** |
| 7bD | - | 1.086.047 | 436,00 | 18,17 | 1220,00 | 0,006 | 15,00 | 8,00 | 7,00 | 0,922 | 1,00 | 1,06 | 616.874,70 | 209,92 | **38,13** |
| 7bE | - | 5.206.865 | 436,00 | 18,17 | 4660,00 | 0,007 | 35,00 | 2,00 | 33,00 | 2,480 | 0,95 | 1,18 | 2.556.570,72 | 106,68 | **89,40** |
| 7bF | - | 2.075.179 | 436,00 | 18,17 | 2260,00 | 0,017 | 40,00 | 2,00 | 38,00 | 1,209 | 0,98 | 1,08 | 1.724.473,75 | 174,39 | **90,22** |
| 7bG | Riuet Alfadid | 7.614.345 | 441,00 | 18,38 | 5230,00 | 0,024 | 125,00 | 2,00 | 123,00 | 2,143 | 0,94 | 1,16 | 4.492.463,55 | 117,57 | **170,19** |
| 7bH | Rambla de Gallinera | **CAUDAL (500 AÑOS) = 1.025 m3/s *** | | | | | | | | | | | | | |
| 7bI | Barranc Benirrama | 9.451.525 | 448,00 | 18,67 | 5090,00 | 0,009 | 50,00 | 2,00 | 48,00 | 2,529 | 0,93 | 1,19 | 5.302.305,53 | 105,92 | **185,65** |
| 7bJ | - | 30.913.939 | 446,00 | 18,58 | 13770,00 | 0,014 | 200,00 | 2,00 | 198,00 | 4,954 | 0,90 | 1,35 | 18.919.330,67 | 64,22 | **455,62** |
| 7bK | - | 36.970.625 | 454,00 | 18,92 | 6400,00 | 0,011 | 70,00 | 2,00 | 68,00 | 2,897 | 0,90 | 1,21 | 23.513.317,50 | 94,84 | **749,53** |
| 7bL | - | 5.815.513 | 459,00 | 19,13 | 1900,00 | 0,005 | 12,00 | 2,00 | 10,00 | 1,337 | 0,95 | 1,09 | 4.332.557,19 | 167,20 | **219,33** |
| 7bM | Barranc de Les Portelles | **CAUDAL (500 AÑOS) = 157 m3/s *** | | | | | | | | | | | | | |
| 7aN | Barranc de Les Portelles | | | | | | | | | | | | | | |

** caudal obtenido por medio del sistema de información geográfica correspondiente a la cartografía de zonas inundables (SNCZI)*

## CAUDALES DE LAS CUENCAS DE LA ALTERNATIVA 3C Y 3C BIS (T=500 AÑOS)

| N | Cauce | Superficie (m2) | Pd | Id | Longitud (m) | Pendiente media (m/m) | Cota superior | Cota inferior | Desnivel (m) | Tiempo de concentración (h) | Coeficiente de reducción | Coeficiente de uniformidad | CxA (Ver Tabla Escorrentías) | Intensidad media (It) | Caudal (m3/s) |
|---|---|---|---|---|---|---|---|---|---|---|---|---|---|---|---|
| 8cA | - | 565.656 | 463,00 | 19,29 | 650,00 | 0,331 | 250,00 | 35,00 | 215,00 | 0,267 | 1,00 | 1,01 | 505.130,81 | 449,25 | **63,67** |
| 8cB | - | 3.239.959 | 463,00 | 19,29 | 1440,00 | 0,035 | 85,00 | 35,00 | 50,00 | 0,748 | 0,97 | 1,05 | 2.494.768,43 | 244,83 | **178,15** |
| 8cC | Río Girona | **CAUDAL (500 AÑOS) = 1.464 m3/s *** | | | | | | | | | | | | | |
| 9cA | - | 704.656 | 456,00 | 19,00 | 1290,00 | 0,008 | 45,00 | 35,00 | 10,00 | 0,911 | 1,00 | 1,06 | 388.265,46 | 221,09 | **25,28** |
| 9cB | Barranc de l'Alberca | **CAUDAL (500 AÑOS) = 494 m3/s *** | | | | | | | | | | | | | |
| 9cC | - | 592.554 | 448,00 | 18,67 | 1280,00 | 0,012 | 50,00 | 35,00 | 15,00 | 0,839 | 1,00 | 1,05 | 322.941,93 | 228,22 | **21,50** |
| 9cD | Barranc de la Llosa | 8.943.823 | 452,00 | 18,83 | 3080,00 | 0,016 | 90,00 | 40,00 | 50,00 | 1,548 | 0,94 | 1,11 | 5.348.406,15 | 148,51 | **244,91** |
| 9cE | Barranc de la Fusta | **CAUDAL (500 AÑOS) = 405 m3/s *** | | | | | | | | | | | | | |
| 9cF | Barranc de las Albardaneres | 2.096.349 | 421,00 | 17,54 | 1680,00 | 0,024 | 70,00 | 30,00 | 40,00 | 0,904 | 0,98 | 1,06 | 1.129.932,11 | 200,95 | **66,86** |
| 9cG | Barranc del Regacho | 3.439.194 | 397,00 | 16,54 | 3180,00 | 0,020 | 100,00 | 35,00 | 65,00 | 1,520 | 0,96 | 1,11 | 2.036.002,85 | 134,77 | **84,60** |
| 9cH | - | 884.536 | 398,00 | 16,58 | 910,00 | 0,115 | 125,00 | 20,00 | 105,00 | 0,421 | 1,00 | 1,02 | 524.529,85 | 301,45 | **44,80** |
| 9cI | - | 1.059.419 | 397,00 | 16,54 | 980,00 | 0,060 | 75,00 | 16,00 | 59,00 | 0,504 | 1,00 | 1,03 | 470.382,04 | 271,84 | **36,58** |
| 9cJ | - | 1.567.980 | 397,00 | 16,54 | 2460,00 | 0,077 | 200,00 | 11,00 | 189,00 | 0,968 | 0,99 | 1,06 | 1.028.594,88 | 183,70 | **55,64** |
| 9cK | Barranc de la Penya del Aguila | 941.402 | 385,00 | 16,04 | 2370,00 | 0,124 | 300,00 | 5,00 | 295,00 | 0,859 | 1,00 | 1,06 | 546.954,56 | 193,34 | **31,14** |
| 9cL | - | 3.300.500 | 371,00 | 15,46 | 2060,00 | 0,047 | 100,00 | 3,00 | 97,00 | 0,929 | 0,97 | 1,06 | 2.016.605,50 | 172,46 | **102,40** |
| 9cM | - | 457.782 | 404,00 | 16,83 | 370,00 | 0,184 | 125,00 | 57,00 | 68,00 | 0,194 | 1,00 | 1,01 | 273.753,64 | 463,21 | **35,58** |
| 9cN | - | 207.654 | 391,00 | 16,29 | 490,00 | 0,027 | 80,00 | 67,00 | 13,00 | 0,347 | 1,00 | 1,02 | 121.892,90 | 329,46 | **11,38** |
| 9cO | - | 451.012 | 395,00 | 16,46 | 400,00 | 0,008 | 63,00 | 60,00 | 3,00 | 0,374 | 1,00 | 1,02 | 257.527,85 | 319,51 | **23,31** |
| 9cP | - | 379.190 | 392,00 | 16,33 | 820,00 | 0,063 | 115,00 | 63,00 | 52,00 | 0,436 | 1,00 | 1,02 | 201.729,08 | 291,17 | **16,64** |
| 9cQ | - | 333.451 | 391,00 | 16,29 | 640,00 | 0,047 | 100,00 | 70,00 | 30,00 | 0,382 | 1,00 | 1,02 | 183.064,60 | 312,55 | **16,21** |
| 9cR | - | 490.852 | 391,00 | 16,29 | 470,00 | 0,126 | 125,00 | 66,00 | 59,00 | 0,251 | 1,00 | 1,01 | 288.130,12 | 392,00 | **31,69** |

** caudal obtenido por medio del sistema de información geográfica correspondiente a la cartografía de zonas inundables (SNCZI)*

## CAUDALES DE LAS CUENCAS DE LA ALTERNATIVA 3D (T=500 AÑOS)

| N | Cauce | Superficie (m2) | Pd | Id | Longitud (m) | Pendiente media (m/m) | Cota superior | Cota inferior | Desnivel (m) | Tiempo de concentración (h) | Coeficiente de reducción | Coeficiente de uniformidad | CxA (Ver Tabla Escorrentías) | Intensidad media (It) | Caudal (m3/s) |
|---|---|---|---|---|---|---|---|---|---|---|---|---|---|---|---|
| 8dA | - | 565.656 | 463,00 | 19,29 | 650,00 | 0,331 | 250,00 | 35,00 | 215,00 | 0,267 | 1,00 | 1,01 | 505.130,81 | 449,25 | **63,67** |
| 8dB | - | 3.239.959 | 463,00 | 19,29 | 1440,00 | 0,035 | 85,00 | 35,00 | 50,00 | 0,748 | 0,97 | 1,05 | 2.494.768,43 | 244,83 | **178,15** |
| 8dC | Río Girona | **CAUDAL (500 AÑOS) = 1.464 m3/s *** | | | | | | | | | | | | | |
| 9dA | - | 704.656 | 456,00 | 19,00 | 1290,00 | 0,008 | 45,00 | 35,00 | 10,00 | 0,911 | 1,00 | 1,06 | 388.265,46 | 221,09 | **25,28** |
| 9dB | Barranc de l'Alberca | **CAUDAL (500 AÑOS) = 494 m3/s *** | | | | | | | | | | | | | |
| 9dC | - | 592.554 | 448,00 | 18,67 | 1280,00 | 0,012 | 50,00 | 35,00 | 15,00 | 0,839 | 1,00 | 1,05 | 322.941,93 | 228,22 | **21,50** |
| 9dD | Barranc de la Llosa | 8.943.823 | 452,00 | 18,83 | 3080,00 | 0,016 | 90,00 | 40,00 | 50,00 | 1,548 | 0,94 | 1,11 | 5.348.406,15 | 148,51 | **244,91** |
| 9dE | Barranc de la Fusta | **CAUDAL (500 AÑOS) = 405 m3/s *** | | | | | | | | | | | | | |
| 9dF | Barranc de las Albardaneres | 2.180.851 | 421,00 | 17,54 | 1680,00 | 0,024 | 70,00 | 30,00 | 40,00 | 0,904 | 0,98 | 1,06 | 1.175.478,69 | 200,95 | **69,55** |
| 9dG | - | 457.782 | 404,00 | 16,83 | 370,00 | 0,184 | 125,00 | 57,00 | 68,00 | 0,194 | 1,00 | 1,01 | 273.753,64 | 463,21 | **35,58** |
| 9dH | Barranc del Regacho | 3.712.133 | 399,00 | 16,63 | 3455,00 | 0,019 | 100,00 | 33,00 | 67,00 | 1,634 | 0,96 | 1,12 | 2.205.007,00 | 129,43 | **88,79** |
| 9dI | - | 451.012 | 395,00 | 16,46 | 400,00 | 0,008 | 63,00 | 60,00 | 3,00 | 0,374 | 1,00 | 1,02 | 257.527,85 | 319,51 | **23,31** |
| 9dJ | - | 379.190 | 392,00 | 16,33 | 820,00 | 0,063 | 115,00 | 63,00 | 52,00 | 0,436 | 1,00 | 1,02 | 201.729,08 | 291,17 | **16,64** |
| 9dK | - | 207.628 | 391,00 | 16,29 | 490,00 | 0,027 | 80,00 | 67,00 | 13,00 | 0,347 | 1,00 | 1,02 | 121.877,64 | 329,46 | **11,38** |
| 9dL | - | 333.451 | 391,00 | 16,29 | 640,00 | 0,047 | 100,00 | 70,00 | 30,00 | 0,382 | 1,00 | 1,02 | 183.064,60 | 312,55 | **16,21** |
| 9dM | - | 490.852 | 391,00 | 16,29 | 470,00 | 0,126 | 125,00 | 66,00 | 59,00 | 0,251 | 1,00 | 1,01 | 288.130,12 | 392,00 | **31,69** |

** caudal obtenido por medio del sistema de información geográfica correspondiente a la cartografía de zonas inundables (SNCZI)*

# APÉNDICE Nº5. SOLUCIONES ADOPTADAS PARA EL DRENAJE TRANSVERSAL Y ASIGNACIÓN DE CAUDALES

## ALTERNATIVA 1A (T=500 AÑOS)

| CUENCA | SUBCUENCA | AREA (M2) | CURSO | PK CORTE | CUENCAS APORTANTES | % APORTE | Q500 TOTAL (M3/S) | SOLUCION PROYECTADA |
|---|---|---|---|---|---|---|---|---|
| 5a | A | 5.778.782 | - | 0+240 | 5aA | 100% | 165,13 | Duplicación del viaducto existente en la vía actual |
| 5a | B | 230.798 | - | 1+250 | 5aB | 100% | 14,56 | ODT 1+250 (MARCO 3X2) |
| 5a | C | 39.126.782 | Rambla de Sant Nicolau | 1+500 | 5aC | 100% | 692,10 * | Duplicación del viaducto existente en la vía actual |
| 5a | E | 934.003 | - | 2+670 | 5aE | 100% | 52,10 | TRAMO SUBTERRÁNEO |
| 6a | A | 746.809.614 | Río Serpis | 3+240 | 6aA | 100% | 3878,21 * | VIADUCTO |
| 6a | B | 1.123.103 | - | 4+240 | 6aB | 70% | 29,78 | TRAMO SUBTERRÁNEO |
| | | | - | 4+360 | | 30% | 12,90 | Encauzamiento por MD hasta cruzar la traza en el PK 4+290 |
| 7a | A | 1.008.915 | - | 4+640 | 7aA | 100% | 38,36 | ODT 4+640 (2 MARCOS 4X2) |
| 7a | B | 324.804 | - | 5+600 | 7aB | 100% | 17,85 | ODT 5+600 (MARCO 4X2) |

** caudal obtenido a partir del SNCZI*

## ALTERNATIVA 1B (T=500 AÑOS)

| CUENCA | SUBCUENCA | AREA (M2) | CURSO | PK CORTE | CUENCAS APORTANTES | % APORTE | Q500 TOTAL (M3/S) | SOLUCION PROYECTADA |
|---|---|---|---|---|---|---|---|---|
| 5b | A | 5.779.847 | - | 0+240 | 5bA | 100% | 165,16 | Duplicación del viaducto existente en la vía actual |
| 5b | B | 39.793.610 | Rambla de Sant Nicolau | 1+460 | 5bB | 100% | 692,10 * | VIADUCTO |
| 5b | C | 1.386.221 | - | 1+800 | 5bC | 100% | 52,10 | ODT 1+800 (3 MARCOS 4X2) |
| 6b | A | 747.654.086 | Río Serpis | 2+685 | 6bA | 100% | 3878,21 * | VIADUCTO |
| 6b | B | 2.649.733 | - | 3+800 | 6bB | 40% | 25,80 | ODT 3+800 (2 MARCOS 3X2) |
| | | | - | 5+020 | | 30% | 19,35 | ODT 5+020 (1 MARCO 4X2) |
| | | | - | 5+120 | | 30% | 19,35 | ODT 5+120 (1 MARCO 4X2) |
| 7b | C | 894.610 | - | 6+200 | 6bC | 100% | 32,22 | ODT 6+200 (2 MARCOS 3X2) |

** caudal obtenido a partir del SNCZI*

## ALTERNATIVA 2A (T=500 AÑOS)

| CUENCA | SUBCUENCA | AREA (M2) | CURSO | PK CORTE TRAZA | CUENCAS APORTANTES | % APORTE | Q500 TOTAL (M3/S) | SOLUCION PROYECTADA |
|---|---|---|---|---|---|---|---|---|
| 7a | A | 2.923.851 | - | 0+380 | 7aA | 100% | 93,88 | VIADUCTO |
| 7a | B | 10.552.156 | Barranquet de Palmera | 1+320 | 7aB | 100% | 259,87 * | VIADUCTO |
| 7a | C | 1.386.762 | - | 1+900 | 7aC | 100% | 40,30 | ODT 1+900 (2 MARCOS 4X2) |
| 7a | D | 1.000.367 | - | 3+000 | 7aD | 100% | 39,91 | ODT 3+000 (2 MARCOS 4X2) |
| 7a | E | 4.338.654 | - | 3+750 | 7aE | 100% | 84,04 | TRAMO SUBTERRÁNEO |
| 7a | F | 688.814 | - | 4+600 | 7aF | 100% | 52,86 | TRAMO SUBTERRÁNEO |
| 7a | G | 226.015 | - | 5+140 | 7aG | 100% | 22,10 | TRAMO SUBTERRÁNEO |
| 7a | H | 7.050.241 | Riuet Alfadid | 5+830 | 7aH | 100% | 167,96 | Nuevo encauzamiento hasta el PK 5+485 |
| 7a | I | 68.467.523 | Rambla de Gallinera | 7+640 | 7aI | 100% | 1024,9 * | VIADUCTO |
| 7a | J | 9.451.525 | Barranc Benirrama | 9+000 | 7aJ | 100% | 185,65 | VIADUCTO |
| 7a | K | 30.913.939 | - | 9+250 | 7aK | 75% | 341,72 | VIADUCTO |
| | | | - | 10+120 | | 5% | 22,78 | ODT 10+120 (MARCO 4X2) |
| | | | - | 10+530 | | 5% | 22,78 | ODT 10+530 (MARCO 4X2) |
| | | | - | 11+040 | | 5% | 22,78 | ODT 11+040 (MARCO 4X2) |
| | | | - | 11+350 | | 5% | 22,78 | ODT 11+350 (MARCO 4X2) |
| | | | - | 11+975 | | 5% | 22,78 | ODT 11+975 (MARCO 4X2) |
| 7a | L | 36.970.625 | - | 12+040 | 7aL | 5% | 37,48 | ODT 12+040 (2 MARCOS 4X2) |
| | | | - | 12+520 | | 5% | 37,48 | ODT 12+520 (2 MARCOS 4X2) |
| | | | - | 13+120 | | 20% | 149,91 | VIADUCTO |
| | | | - | 13+190 | | 25% | 187,38 | VIADUCTO |
| | | | - | 13+860 | | 5% | 37,48 | ODT 13+860 (2 MARCOS 4X2) |
| | | | - | 14+150 | | 5% | 37,48 | ODT 14+150 (2 MARCOS 4X2) |
| | | | - | 14+280 | | 35% | 262,34 | VIADUCTO |
| 7a | M | 5.815.513 | - | 14+470 | 7aM | 20% | 43,87 | ODT 14+470 (2 MARCOS 4X2) |
| | | | - | 14+520 | | 40% | 87,73 | VIADUCTO |
| | | | - | 15+110 | | 20% | 43,87 | ODT 15+110 (2 MARCOS 4X2) |
| | | | - | 15+870 | | 20% | 43,87 | ODT 15+870 (2 MARCOS 4X2) |
| 7a | N | 3.944.112 | Barranc de Les Portelles | 17+640 | 7aN | 100% | 156,77 * | VIADUCTO |
| 8c | A | 565.656 | - | 18+530 | 8cA | 100% | 63,67 | ODT 18+530 (3 MARCOS 4X2) |

** caudal obtenido a partir del SNCZI*

## ALTERNATIVA 2B (T=500 AÑOS)

| CUENCA | SUBCUENCA | AREA (M2) | CURSO | PK CORTE TRAZA | CUENCAS APORTANTES | % APORTE | Q500 TOTAL (M3/S) | SOLUCION PROYECTADA |
|---|---|---|---|---|---|---|---|---|
| 7b | A | 2.923.851 | - | 0+380 | 7bA | 100% | 93,88 | VIADUCTO |
| 7b | B | 10.552.156 | Barranquet de Palmera | 1+320 | 7bB | 100% | 259,87 * | VIADUCTO |
| 7b | C | 1.386.762 | - | 1+900 | 7bC | 100% | 39,17 | ODT 1+900 (2 MARCOS 4X2) |
| 7b | D | 1.086.047 | - | 3+100 | 7bD | 100% | 38,13 | ODT 3+100 (2 MARCOS 4X2) |
| 7b | E | 5.206.865 | - | 4+170 | 7bE | 50% | 44,70 | ODT 4+170 (2 MARCOS 4X2) |
| | | | - | 4+470 | | 50% | 44,70 | ODT 4+470 (2 MARCOS 4X2) |
| 7b | F | 2.075.179 | - | 4+900 | 7bF | 50% | 45,11 | ODT 4+900 (2 MARCOS 4X2) |
| | | | - | 5+455 | | 50% | 45,11 | ODT 5+455 (2 MARCOS 4X2) |
| 7b | G | 7.614.345 | Riuet Alfadid | 6+820 | 7bG | 100% | 170,19 | VIADUCTO |
| 7b | H | 68.467.523 | Rambla de Gallinera | 8+558 | 7bH | 100% | 1024,9 * | VIADUCTO |
| 7b | I | 9.451.525 | Barranc Benirrama | 9+918 | 7bI | 100% | 185,65 | VIADUCTO |
| 7b | J | 30.913.939 | - | 10+168 | 7bJ | 75% | 341,72 | VIADUCTO |
| | | | - | 11+038 | | 5% | 22,78 | ODT 11+038 (MARCO 4X2) |
| | | | - | 11+448 | | 5% | 22,78 | ODT 11+448 (MARCO 4X2) |
| | | | - | 11+958 | | 5% | 22,78 | ODT 11+958 (MARCO 4X2) |
| | | | - | 12+268 | | 5% | 22,78 | ODT 12+268 (MARCO 4X2) |
| | | | - | 12+893 | | 5% | 22,78 | ODT 12+893 (MARCO 4X2) |
| 7b | K | 36.970.625 | - | 12+958 | 7bK | 5% | 37,48 | ODT 12+958 (2 MARCOS 4X2) |
| | | | - | 13+438 | | 5% | 37,48 | ODT 13+438 (2 MARCOS 4X2) |
| | | | - | 14+038 | | 20% | 149,91 | VIADUCTO |
| | | | - | 14+108 | | 25% | 187,38 | VIADUCTO |
| | | | - | 14+778 | | 5% | 37,48 | ODT 14+778 (2 MARCOS 4X2) |
| | | | - | 15+068 | | 5% | 37,48 | ODT 15+068 (2 MARCOS 4X2) |
| | | | - | 15+198 | | 35% | 262,34 | VIADUCTO |
| 7b | L | 5.815.513 | - | 15+388 | 7bL | 20% | 43,87 | ODT 15+388 (2 MARCOS 4X2) |
| | | | - | 15+438 | | 40% | 87,73 | VIADUCTO |
| | | | - | 16+028 | | 20% | 43,87 | ODT 16+028 (2 MARCOS 4X2) |
| | | | - | 16+788 | | 20% | 43,87 | ODT 16+788 (2 MARCOS 4X2) |
| 7b | M | 3.944.112 | Barranc de Les Portelles | 18+558 | 7bM | 100% | 156,77 * | VIADUCTO |
| 8c | A | 565.656 | - | 19+448 | 8cA | 100% | 63,67 | ODT 19+448 (3 MARCOS 4X2) |

** caudal obtenido a partir del SNCZI*

## ALTERNATIVAS 3C Y 3C BIS (T=500 AÑOS)

| CUENCA | SUBCUENCA | AREA (M2) | CURSO | PK CORTE | CUENCAS APORTANTES | % APORTE | Q500 TOTAL (M3/S) | SOLUCION PROYECTADA |
|---|---|---|---|---|---|---|---|---|
| 8c | A | 565.656 | - | TRAMO ANTERIOR | 8cA | 100% | 63,67 | Cruza en el final del tramo anterior |
| 8c | B | 3.239.959 | - | 0+720 Valencia-Denia | 8cB | 100% | 178,15 | VIADUCTO |
| 8c | C | 106.816.378 | Río Girona | 1+750 Valencia-Denia | 8cC | 100% | 1463,96* | VIADUCTO |
| 9c | A | 704.656 | - | 2+650 Valencia-Denia | 9cA | 100% | 25,28 | ODT VAL-DENIA 2+650 (2 MARCOS 3X2) |
| 9c | B | 12.015.680 | Barranc de l'Alberca | 2+865 Valencia-Denia | 9cB | 100% | 494,39* | VIADUCTO |
| 9c | C | 592.554 | - | 3+250 Valencia-Denia | 9cC | 100% | 21,50 | ODT VAL-DENIA 3+250 (1 MARCO 4X2) |
| 9c | D | 8.943.823 | Barranc de la Llosa | 3+880 Valencia-Denia | 9cD | 100% | 244,91 | VIADUCTO |
| 9c | E | 12.260.301 | Barranc de la Fusta | 5+620 Valencia-Denia | 97%cE+100%9cR | 97% | 424,54* | VIADUCTO |
| | | | - | 6+200 Valencia-Denia | 3%9cE | 2% | 8,10 | ODT VAL-DENIA 6+200 (1 MARCO 2X2) |
| 9c | F | 2.096.349 | Barranc de las Albardaneres | 6+500 Valencia-Denia | 9cF | 100% | 66,86 | ODT VAL-DENIA 6+500 (3 MARCOS 4X2,5) + encauzamiento en MI hasta PK 6+240 |
| 9c | G | 3.439.194 | Barranc del Regacho | 7+700 Valencia-Denia | 85%9cG+9cM+9cO+9cP+9cN+9cQ | 85% | 175,03 | Encauzamiento en MI Ramal Denia-Alicante desde PK 0+630 hasta PK 0+215 y VIADUCTO en ramal Valencia-Denia (7+700) y en el ramal Denia-Alicante (0+215) |
| | | | - | 7+950 Valencia-Denia | 15%9cG | 15% | 12,69 | ODT VAL-DENIA 7+950 (1 MARCO 3X2) |
| 9c | H | 884.536 | - | 9+240 Valencia-Denia | 9cH | 100% | 44,80 | ODT VAL-DENIA 9+240 (2 MARCOS 4X2) |
| 9c | I | 1.059.419 | - | 9+815 Valencia-Denia | 9cI | 100% | 36,58 | ODT VAL-DENIA 9+815 (2 MARCOS 4X2) |
| 9c | J | 1.567.980 | - | 10+900 Valencia-Denia | 9cJ | 100% | 55,64 | ODT VAL-DENIA 10+900 (3 MARCOS 4X2) |
| 9c | M | 457.782 | - | 1+780 Denia-Alicante | 9cM | 100% | 35,58 | ODT DENIA-ALI 1+780 (2 MARCOS 4X2) |
| 9c | N | 207.654 | - | 2+575 Denia-Alicante | 9cN+9cQ | 100% | 27,59 | ODT DENIA-ALI 2+575 (2 MARCOS 3X2) |
| 9c | O | 451.012 | - | a la cuenca 9cG | 9cO+9cP+9cN+9cQ | 100% | 67,54 | |
| 9c | P | 379.190 | - | a la cuenca 9cO | 9cP+9cN+9cQ | 100% | 44,23 | |
| 9c | Q | 333.451 | - | 2+730 Denia-Alicante | 9cQ | 100% | 16,21 | ODT DENIA-ALI 2+730 (1 MARCO 3X2) |
| 9c | R | 490.852 | - | 3+800 Denia-Alicante | 9cR | 100% | 31,69 | VIADUCTO |

** caudal obtenido a partir del SNCZI*

## ALTERNATIVA 3D (T=500 AÑOS)

| CUENCA | SUBCUENCA | AREA (M2) | CURSO | PK CORTE | CUENCAS APORTANTES | % APORTE | Q500 TOTAL (M3/S) | SOLUCION PROYECTADA |
|---|---|---|---|---|---|---|---|---|
| 8d | A | 565.656 | - | TRAMO ANTERIOR | 8dA | 100% | 63,67 | Cruza en el final del tramo anterior |
| 8d | B | 3.239.959 | - | 0+720 | 8dB | 100% | 178,15 | VIADUCTO |
| 8d | C | 106.816.378 | Río Girona | 1+750 | 8dC | 100% | 1463,96* | VIADUCTO |
| 9d | A | 704.656 | - | 2+650 | 9dA | 100% | 25,28 | ODT 2+650 (2 MARCOS 3X2) |
| 9d | B | 12.015.680 | Barranc de l'Alberca | 2+865 | 9dB | 100% | 494,39* | VIADUCTO |
| 9d | C | 592.554 | - | 3+250 | 9dC | 100% | 21,50 | ODT 3+250 (1 MARCO 4X2) |
| 9d | D | 8.943.823 | Barranc de la Llosa | 3+880 | 9dD | 100% | 244,91 | VIADUCTO |
| 9d | E | 12.227.361 | Barranc de la Fusta | 5+580 | 97%dE+100%9dM | 97% | 424,54* | VIADUCTO |
| | | | - | 6+170 | 3%9dE | 2% | 8,10 | ODT 6+170 (1 MARCO 2X2) |
| 9d | F | 2.180.851 | Barranc de las Albardaneres | 6+370 | 9dF | 100% | 69,55 | ODT 6+370 (3 MARCOS 4X2,5)+encauzamiento en MI hasta PK 6+200 |
| 9d | G | 457.782 | - | 8+670 | 9dG | 100% | 35,58 | ODT 8+670 (2 MARCOS 4X2) |
| 9d | H | 3.712.133 | Barranc del Regacho | 2+000 ramal | 9dH+9dG+9dI+9dJ+9dK+9dL | 100% | 191,91 | VIADUCTO |
| 9d | I | 451.012 | - | A la cuenca 9dH | 9dI+9dJ+9dK+9dL | 100% | 67,54 | |
| 9d | J | 379.190 | - | A la cuenca 9dI | 9dJ+9dK+9dL | 100% | 44,23 | |
| 9d | K | 207.628 | - | 9+525 | 9dK+9dL | 100% | 27,59 | ODT 9+525 (2 MARCOS 3X2) |
| 9d | L | 333.451 | - | 9+675 | 9dL | 100% | 16,21 | ODT 9+675 (1 MARCO 3X2) |
| 9d | M | 490.852 | - | 10+745 | 9dM | 100% | 31,69 | VIADUCTO |

** caudal obtenido a partir del SNCZI*

# APÉNDICE Nº6. CÁLCULO DE LAS OBRAS DE DRENAJE TRANSVERSAL

## ALTERNATIVA 1A (T=500 AÑOS)

| P.K. | Tipologia | | | | Longitud (m) | J (%) | (L/J) | He max (m) | He (m) | Qtotal ($m^3$/s) | Calado (m) | Calado crítico (m) | Velocidad (m/s) | TIPO | He<1,2xH | Qu (m2/s) | COMP. Qu<6M2/S |
|---|---|---|---|---|---|---|---|---|---|---|---|---|---|---|---|---|---|
| | Tipo | Ancho | Alto | Nº de marcos | | | | | | | | | | | | | |
| ODT 1+250 | Marco | 3,000 | 2,000 | 1 | 20,00 | 1,00 | 20,00 | 2,40 | 2,10 | 14,56 | 1,16 | 1,34 | 4,18 | ENTRADA | CUMPLE | 4,85 | CUMPLE |
| ODT 4+640 | Marco | 4,000 | 2,000 | 2 | 20,00 | 1,00 | 20,00 | 2,40 | 2,08 | 19,18 | 1,09 | 1,33 | 4,40 | ENTRADA | CUMPLE | 4,80 | CUMPLE |
| ODT 5+600 | Marco | 4,000 | 2,000 | 1 | 20,00 | 1,00 | 20,00 | 2,40 | 1,97 | 17,85 | 1,04 | 1,27 | 4,30 | ENTRADA | CUMPLE | 4,46 | CUMPLE |

*NOTA (1): Cálculos efectuados para una tipología de marco recto, con aletas a más de 30º con el eje y un coeficiente de Manning de 0,018*
*NOTA (2): Se ha estimado para los cáluculos una pendiente media de un 1% y una longitud de 20m para las obras de drenaje transversal*

## ALTERNATIVA 1B (T=500 AÑOS)

| P.K. | Tipologia | | | | Longitud (m) | J (%) | (L/J) | He max (m) | He (m) | Qtotal ($m^3$/s) | Calado (m) | Calado crítico (m) | Velocidad (m/s) | TIPO | He<1,2xH | Qu (m2/s) | COMP. Qu<6M2/S |
|---|---|---|---|---|---|---|---|---|---|---|---|---|---|---|---|---|---|
| | Tipo | Ancho | Alto | Nº de marcos | | | | | | | | | | | | | |
| ODT 1+800 | Marco | 4,000 | 2,000 | 3 | 20,00 | 1,00 | 20,00 | 2,40 | 2,18 | 20,34 | 1,14 | 1,38 | 4,48 | ENTRADA | CUMPLE | 5,09 | CUMPLE |
| ODT 3+800 | Marco | 3,000 | 2,000 | 2 | 20,00 | 1,00 | 20,00 | 2,40 | 1,92 | 12,90 | 1,06 | 1,23 | 4,04 | ENTRADA | CUMPLE | 4,30 | CUMPLE |
| ODT 5+020 | Marco | 4,000 | 2,000 | 1 | 20,00 | 1,00 | 20,00 | 2,40 | 2,10 | 19,35 | 1,10 | 1,34 | 4,41 | ENTRADA | CUMPLE | 4,84 | CUMPLE |
| ODT 5+120 | Marco | 4,000 | 2,000 | 1 | 20,00 | 1,00 | 20,00 | 2,40 | 2,10 | 19,35 | 1,10 | 1,34 | 4,41 | ENTRADA | CUMPLE | 4,84 | CUMPLE |
| ODT 6+200 | Marco | 3,000 | 2,000 | 2 | 20,00 | 1,00 | 20,00 | 2,40 | 2,28 | 16,11 | 1,25 | 1,43 | 4,30 | ENTRADA | CUMPLE | 5,37 | CUMPLE |

*NOTA (1): Cálculos efectuados para una tipología de marco recto, con aletas a más de 30º con el eje y un coeficiente de Manning de 0,018*
*NOTA (2): Se ha estimado para los cáluculos una pendiente media de un 1% y una longitud de 20m para las obras de drenaje transversal*

## ALTERNATIVA 2A (T=500 AÑOS)

| P.K. | Tipologia | | | | Longitud (m) | J (%) | (L/J) | He max (m) | He (m) | Qtotal ($m^3$/s) | Calado (m) | Calado crítico (m) | Velocidad (m/s) | TIPO | He<1,2xH | Qu (m2/s) | COMP. Qu<6M2/S |
|---|---|---|---|---|---|---|---|---|---|---|---|---|---|---|---|---|---|
| | Tipo | Ancho | Alto | Nº de marcos | | | | | | | | | | | | | |
| ODT 1+900 | Marco | 4,000 | 2,000 | 2 | 20,00 | 1,00 | 20,00 | 2,40 | 2,16 | 20,15 | 1,13 | 1,37 | 4,47 | ENTRADA | CUMPLE | 5,04 | CUMPLE |
| ODT 3+000 | Marco | 4,000 | 2,000 | 2 | 20,00 | 1,00 | 20,00 | 2,40 | 2,15 | 19,96 | 1,12 | 1,36 | 4,45 | ENTRADA | CUMPLE | 4,99 | CUMPLE |
| ODT 10+120 | Marco | 4,000 | 2,000 | 1 | 20,00 | 1,00 | 20,00 | 2,40 | 2,39 | 22,78 | 1,23 | 1,49 | 4,63 | ENTRADA | CUMPLE | 5,70 | CUMPLE |
| ODT 10+530 | Marco | 4,000 | 2,000 | 1 | 20,00 | 1,00 | 20,00 | 2,40 | 2,39 | 22,78 | 1,23 | 1,49 | 4,63 | ENTRADA | CUMPLE | 5,70 | CUMPLE |
| ODT 11+040 | Marco | 4,000 | 2,000 | 1 | 20,00 | 1,00 | 20,00 | 2,40 | 2,39 | 22,78 | 1,23 | 1,49 | 4,63 | ENTRADA | CUMPLE | 5,70 | CUMPLE |
| ODT 11+350 | Marco | 4,000 | 2,000 | 1 | 20,00 | 1,00 | 20,00 | 2,40 | 2,39 | 22,78 | 1,23 | 1,49 | 4,63 | ENTRADA | CUMPLE | 5,70 | CUMPLE |
| ODT 11+975 | Marco | 4,000 | 2,000 | 1 | 20,00 | 1,00 | 20,00 | 2,40 | 2,39 | 22,78 | 1,23 | 1,49 | 4,63 | ENTRADA | CUMPLE | 5,70 | CUMPLE |
| ODT 12+040 | Marco | 4,000 | 2,000 | 2 | 20,00 | 1,00 | 20,00 | 2,40 | 2,05 | 18,74 | 1,07 | 1,31 | 4,37 | ENTRADA | CUMPLE | 4,68 | CUMPLE |
| ODT 12+520 | Marco | 4,000 | 2,000 | 2 | 20,00 | 1,00 | 20,00 | 2,40 | 2,05 | 18,74 | 1,07 | 1,31 | 4,37 | ENTRADA | CUMPLE | 4,68 | CUMPLE |
| ODT 13+860 | Marco | 4,000 | 2,000 | 2 | 20,00 | 1,00 | 20,00 | 2,40 | 2,05 | 18,74 | 1,07 | 1,31 | 4,37 | ENTRADA | CUMPLE | 4,68 | CUMPLE |
| ODT 14+150 | Marco | 4,000 | 2,000 | 2 | 20,00 | 1,00 | 20,00 | 2,40 | 2,05 | 18,74 | 1,07 | 1,31 | 4,37 | ENTRADA | CUMPLE | 4,68 | CUMPLE |
| ODT 14+470 | Marco | 4,000 | 2,000 | 2 | 20,00 | 1,00 | 20,00 | 2,40 | 2,32 | 21,93 | 1,20 | 1,45 | 4,58 | ENTRADA | CUMPLE | 5,48 | CUMPLE |
| ODT 15+110 | Marco | 4,000 | 2,000 | 2 | 20,00 | 1,00 | 20,00 | 2,40 | 2,32 | 21,93 | 1,20 | 1,45 | 4,58 | ENTRADA | CUMPLE | 5,48 | CUMPLE |
| ODT 15+870 | Marco | 4,000 | 2,000 | 2 | 20,00 | 1,00 | 20,00 | 2,40 | 2,32 | 21,93 | 1,20 | 1,45 | 4,58 | ENTRADA | CUMPLE | 5,48 | CUMPLE |
| ODT 18+530 | Marco | 4,000 | 2,000 | 3 | 20,00 | 1,00 | 20,00 | 2,40 | 2,26 | 21,22 | 1,17 | 1,42 | 4,53 | ENTRADA | CUMPLE | 5,31 | CUMPLE |

*NOTA (1): Cálculos efectuados para una tipología de marco recto, con aletas a más de 30º con el eje y un coeficiente de Manning de 0,018*
*NOTA (2): Se ha estimado para los cáluculos una pendiente media de un 1% y una longitud de 20m para las obras de drenaje transversal*

## ALTERNATIVA 2B (T=500 AÑOS)

| P.K. | Tipologia | | | | Longitud (m) | J (%) | (L/J) | He max (m) | He (m) | Qtotal ($m^3$/s) | Calado (m) | Calado crítico (m) | Velocidad (m/s) | TIPO | He<1,2xH | Qu (m2/s) | COMP. Qu<6M2/S |
|---|---|---|---|---|---|---|---|---|---|---|---|---|---|---|---|---|---|
| | Tipo | Ancho | Alto | Nº de marcos | | | | | | | | | | | | | |
| ODT 1+900 | Marco | 4,000 | 2,000 | 2 | 20,00 | 1,00 | 20,00 | 2,40 | 2,12 | 19,59 | 1,11 | 1,35 | 4,43 | ENTRADA | CUMPLE | 4,90 | CUMPLE |
| ODT 3+100 | Marco | 4,000 | 2,000 | 2 | 20,00 | 1,00 | 20,00 | 2,40 | 2,07 | 19,07 | 1,08 | 1,32 | 4,39 | ENTRADA | CUMPLE | 4,77 | CUMPLE |
| ODT 4+170 | Marco | 4,000 | 2,000 | 2 | 20,00 | 1,00 | 20,00 | 2,40 | 2,36 | 22,35 | 1,21 | 1,47 | 4,61 | ENTRADA | CUMPLE | 5,59 | CUMPLE |
| ODT 4+470 | Marco | 4,000 | 2,000 | 2 | 20,00 | 1,00 | 20,00 | 2,40 | 2,36 | 22,35 | 1,21 | 1,47 | 4,61 | ENTRADA | CUMPLE | 5,59 | CUMPLE |
| ODT 4+900 | Marco | 4,000 | 2,000 | 2 | 20,00 | 1,00 | 20,00 | 2,40 | 2,37 | 22,56 | 1,22 | 1,48 | 4,62 | ENTRADA | CUMPLE | 5,64 | CUMPLE |
| ODT 5+455 | Marco | 4,000 | 2,000 | 2 | 20,00 | 1,00 | 20,00 | 2,40 | 2,37 | 22,56 | 1,22 | 1,48 | 4,62 | ENTRADA | CUMPLE | 5,64 | CUMPLE |
| ODT 11+038 | Marco | 4,000 | 2,000 | 1 | 20,00 | 1,00 | 20,00 | 2,40 | 2,39 | 22,78 | 1,23 | 1,49 | 4,63 | ENTRADA | CUMPLE | 5,70 | CUMPLE |
| ODT 11+448 | Marco | 4,000 | 2,000 | 1 | 20,00 | 1,00 | 20,00 | 2,40 | 2,39 | 22,78 | 1,23 | 1,49 | 4,63 | ENTRADA | CUMPLE | 5,70 | CUMPLE |
| ODT 11+958 | Marco | 4,000 | 2,000 | 1 | 20,00 | 1,00 | 20,00 | 2,40 | 2,39 | 22,78 | 1,23 | 1,49 | 4,63 | ENTRADA | CUMPLE | 5,70 | CUMPLE |
| ODT 12+268 | Marco | 4,000 | 2,000 | 1 | 20,00 | 1,00 | 20,00 | 2,40 | 2,39 | 22,78 | 1,23 | 1,49 | 4,63 | ENTRADA | CUMPLE | 5,70 | CUMPLE |
| ODT 12+893 | Marco | 4,000 | 2,000 | 1 | 20,00 | 1,00 | 20,00 | 2,40 | 2,39 | 22,78 | 1,23 | 1,49 | 4,63 | ENTRADA | CUMPLE | 5,70 | CUMPLE |
| ODT 12+958 | Marco | 4,000 | 2,000 | 2 | 20,00 | 1,00 | 20,00 | 2,40 | 2,05 | 18,74 | 1,07 | 1,31 | 4,37 | ENTRADA | CUMPLE | 4,68 | CUMPLE |
| ODT 13+438 | Marco | 4,000 | 2,000 | 2 | 20,00 | 1,00 | 20,00 | 2,40 | 2,05 | 18,74 | 1,07 | 1,31 | 4,37 | ENTRADA | CUMPLE | 4,68 | CUMPLE |
| ODT 14+778 | Marco | 4,000 | 2,000 | 2 | 20,00 | 1,00 | 20,00 | 2,40 | 2,05 | 18,74 | 1,07 | 1,31 | 4,37 | ENTRADA | CUMPLE | 4,68 | CUMPLE |
| ODT 15+068 | Marco | 4,000 | 2,000 | 2 | 20,00 | 1,00 | 20,00 | 2,40 | 2,05 | 18,74 | 1,07 | 1,31 | 4,37 | ENTRADA | CUMPLE | 4,68 | CUMPLE |
| ODT 15+388 | Marco | 4,000 | 2,000 | 2 | 20,00 | 1,00 | 20,00 | 2,40 | 2,32 | 21,93 | 1,20 | 1,45 | 4,58 | ENTRADA | CUMPLE | 5,48 | CUMPLE |
| ODT 16+028 | Marco | 4,000 | 2,000 | 2 | 20,00 | 1,00 | 20,00 | 2,40 | 2,32 | 21,93 | 1,20 | 1,45 | 4,58 | ENTRADA | CUMPLE | 5,48 | CUMPLE |
| ODT 16+788 | Marco | 4,000 | 2,000 | 2 | 20,00 | 1,00 | 20,00 | 2,40 | 2,32 | 21,93 | 1,20 | 1,45 | 4,58 | ENTRADA | CUMPLE | 5,48 | CUMPLE |
| ODT 19+448 | Marco | 4,000 | 2,000 | 3 | 20,00 | 1,00 | 20,00 | 2,40 | 2,26 | 21,22 | 1,17 | 1,42 | 4,53 | ENTRADA | CUMPLE | 5,31 | CUMPLE |

*NOTA (1): Cálculos efectuados para una tipología de marco recto, con aletas a más de 30º con el eje y un coeficiente de Manning de 0,018*
*NOTA (2): Se ha estimado para los cáluculos una pendiente media de un 1% y una longitud de 20m para las obras de drenaje transversal*

## ALTERNATIVAS 3C Y 3C BIS (T=500 AÑOS)

| P.K. | Tipologia | | | | Longitud (m) | J (%) | (L/J) | He max (m) | He (m) | Qtotal ($m^3$/s) | Calado (m) | Calado crítico (m) | Velocidad (m/s) | TIPO | He<1,2xH | Qu (m2/s) | COMP. Qu<6M2/S |
|---|---|---|---|---|---|---|---|---|---|---|---|---|---|---|---|---|---|
| | Tipo | Ancho | Alto | Nº de marcos | | | | | | | | | | | | | |
| ODT VAL-DENIA 2+650 | Marco | 3,000 | 2,000 | 2 | 20,00 | 1,00 | 20,00 | 2,40 | 1,89 | 12,64 | 1,05 | 1,22 | 4,02 | ENTRADA | CUMPLE | 4,21 | CUMPLE |
| ODT VAL-DENIA 3+250 | Marco | 4,000 | 2,000 | 1 | 20,00 | 1,00 | 20,00 | 2,40 | 2,28 | 21,50 | 1,18 | 1,43 | 4,55 | ENTRADA | CUMPLE | 5,38 | CUMPLE |
| ODT VAL-DENIA 6+200 | Marco | 2,000 | 2,000 | 1 | 20,00 | 1,00 | 20,00 | 2,40 | 1,84 | 8,10 | 1,12 | 1,19 | 3,63 | ENTRADA | CUMPLE | 4,05 | CUMPLE |
| ODT VAL-DENIA 6+500 | Marco | 4,000 | 2,500 | 3 | 20,00 | 1,00 | 20,00 | 3,00 | 2,28 | 22,29 | 1,21 | 1,47 | 4,60 | ENTRADA | CUMPLE | 5,57 | CUMPLE |
| ODT VAL-DENIA 7+950 | Marco | 3,000 | 2,000 | 1 | 20,00 | 1,00 | 20,00 | 2,40 | 1,90 | 12,69 | 1,05 | 1,22 | 4,03 | ENTRADA | CUMPLE | 4,23 | CUMPLE |
| ODT VAL-DENIA 9+240 | Marco | 4,000 | 2,000 | 2 | 20,00 | 1,00 | 20,00 | 2,40 | 2,36 | 22,40 | 1,22 | 1,47 | 4,61 | ENTRADA | CUMPLE | 5,60 | CUMPLE |
| ODT VAL-DENIA 9+815 | Marco | 4,000 | 2,000 | 2 | 20,00 | 1,00 | 20,00 | 2,40 | 2,01 | 18,29 | 1,05 | 1,29 | 4,33 | ENTRADA | CUMPLE | 4,57 | CUMPLE |
| ODT VAL-DENIA 10+900 | Marco | 4,000 | 2,000 | 3 | 20,00 | 1,00 | 20,00 | 2,40 | 2,03 | 18,55 | 1,06 | 1,30 | 4,36 | ENTRADA | CUMPLE | 4,64 | CUMPLE |

*NOTA (1): Cálculos efectuados para una tipología de marco recto, con aletas a más de 30º con el eje y un coeficiente de Manning de 0,018*
*NOTA (2): Se ha estimado para los cáluculos una pendiente media de un 1% y una longitud de 20m para las obras de drenaje transversal*

## ALTERNATIVA 3D (T=500 AÑOS)

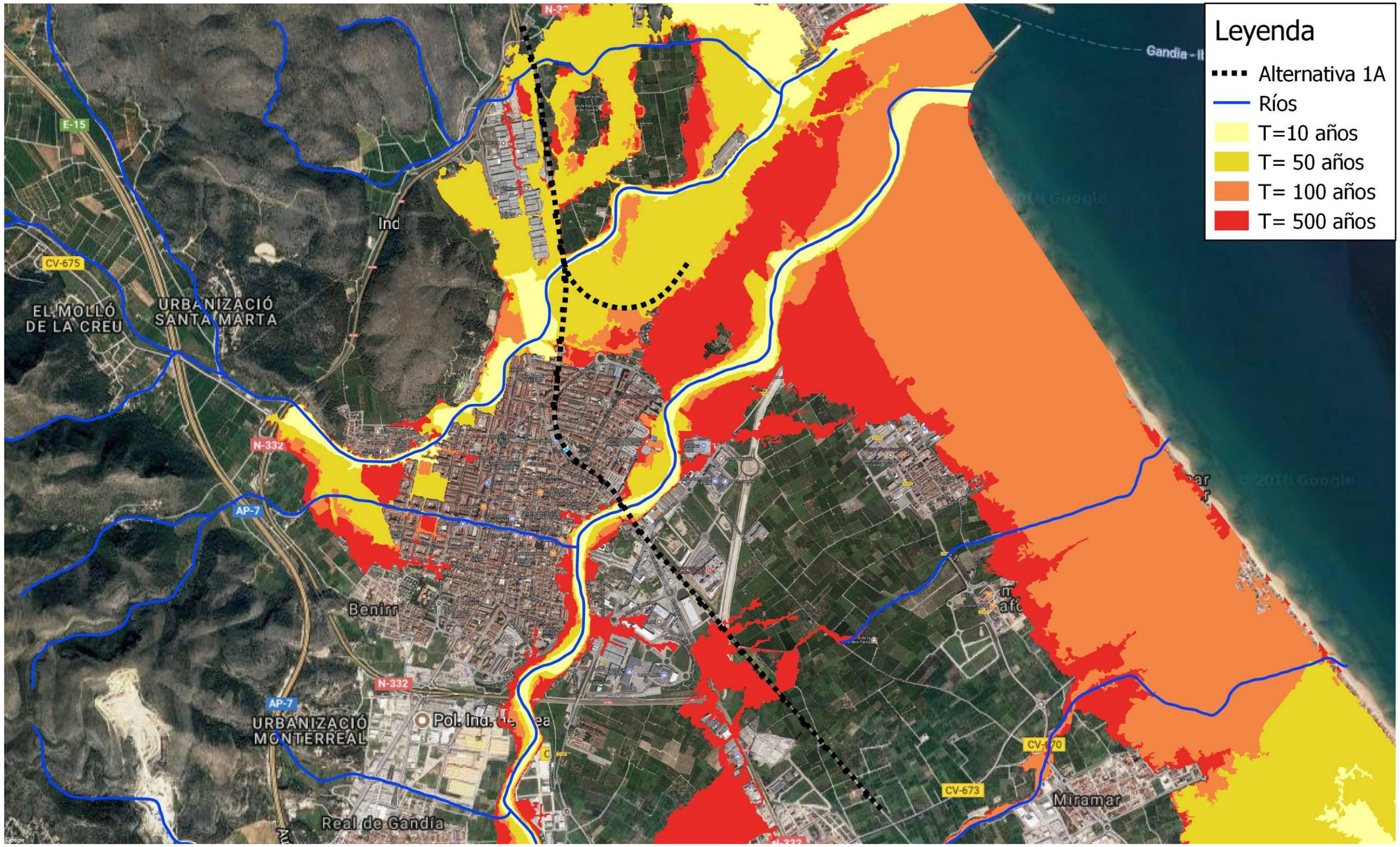
| P.K. | Tipologia | | | | Longitud (m) | J (%) | (L/J) | He max (m) | He (m) | Qtotal ($m^3$/s) | Calado (m) | Calado crítico (m) | Velocidad (m/s) | TIPO | He<1,2xH | Qu (m2/s) | COMP. Qu<6M2/S |
|---|---|---|---|---|---|---|---|---|---|---|---|---|---|---|---|---|---|
| | Tipo | Ancho | Alto | Nº de marcos | | | | | | | | | | | | | |
| ODT 2+650 | Marco | 3,000 | 2,000 | 2 | 20,00 | 1,00 | 20,00 | 2,40 | 1,89 | 12,64 | 1,05 | 1,22 | 4,02 | ENTRADA | CUMPLE | 4,21 | CUMPLE |
| ODT 3+250 | Marco | 4,000 | 2,000 | 1 | 20,00 | 1,00 | 20,00 | 2,40 | 2,28 | 21,50 | 1,18 | 1,43 | 4,55 | ENTRADA | CUMPLE | 5,38 | CUMPLE |
| ODT 6+170 | Marco | 2,000 | 2,000 | 1 | 20,00 | 1,00 | 20,00 | 2,40 | 1,84 | 8,10 | 1,12 | 1,19 | 3,63 | ENTRADA | CUMPLE | 4,05 | CUMPLE |
| ODT 6+370 | Marco | 4,000 | 2,500 | 3 | 20,00 | 1,00 | 20,00 | 3,00 | 2,34 | 23,18 | 1,24 | 1,51 | 4,66 | ENTRADA | CUMPLE | 5,80 | CUMPLE |

*NOTA (1): Cálculos efectuados para una tipología de marco recto, con aletas a más de 30° con el eje y un coeficiente de Manning de 0,018*
*NOTA (2): Se ha estimado para los cáluculos una pendiente media de un 1% y una longitud de 20m para las obras de drenaje transversal*

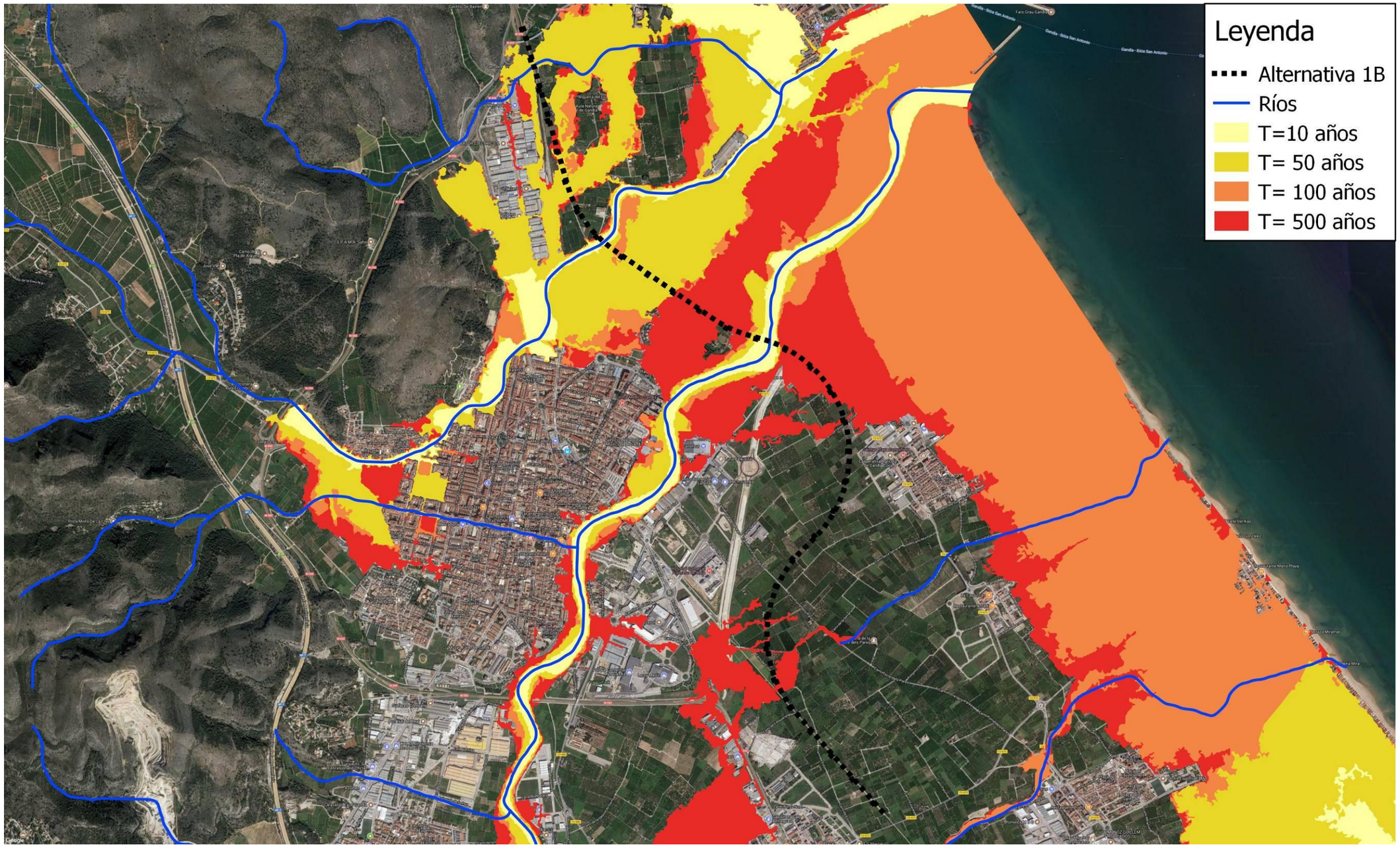
# APÉNDICE Nº7. MAPAS DEL ESTUDIO DEL RIESGO DE INUNDABILIDAD

# MAPAS DE PELIGROSIDAD. SISTEMA NACIONAL DE CARTOGRAFÍA DE ZONAS INUNDABLES

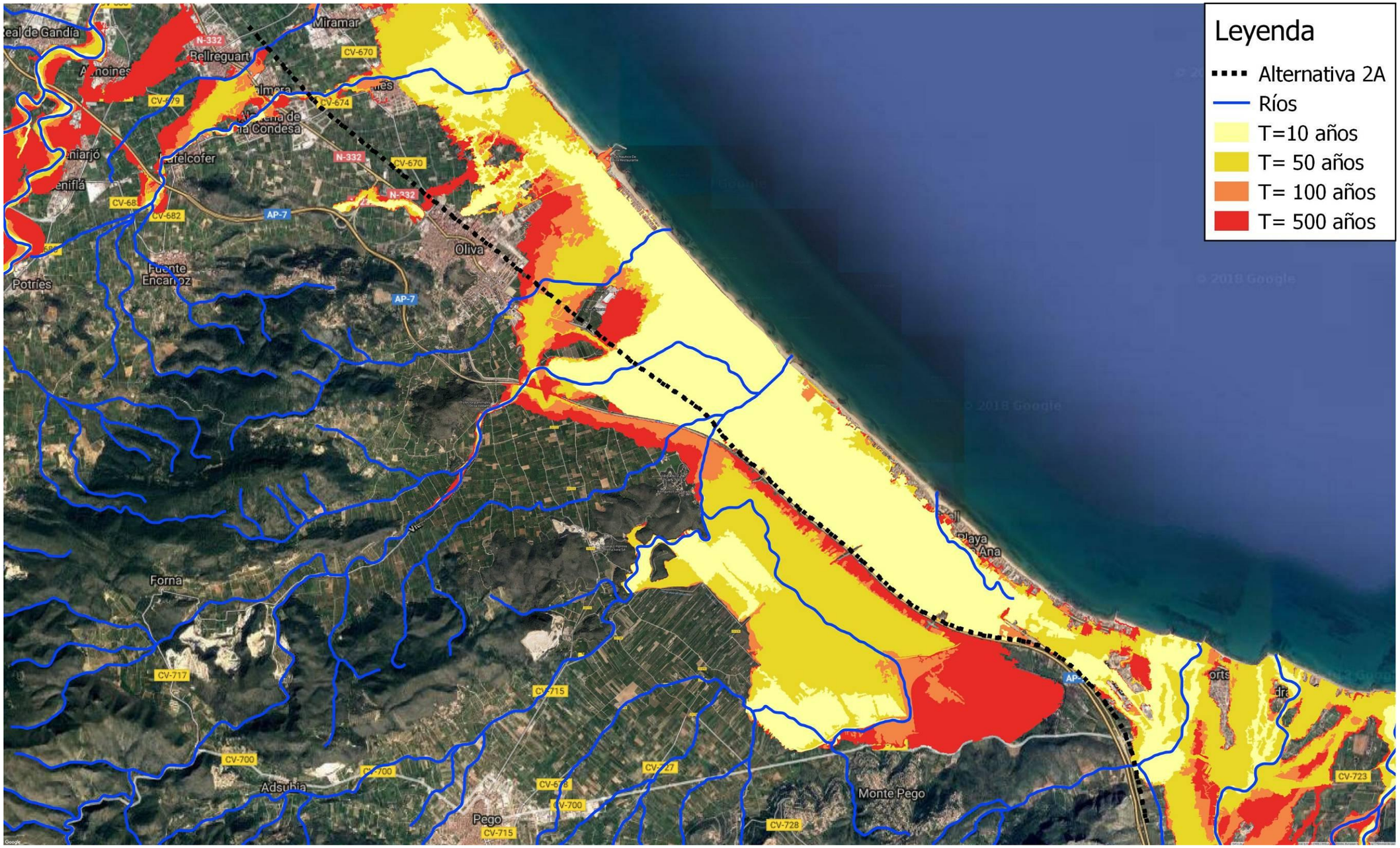
**ALTERNATIVA 1A**



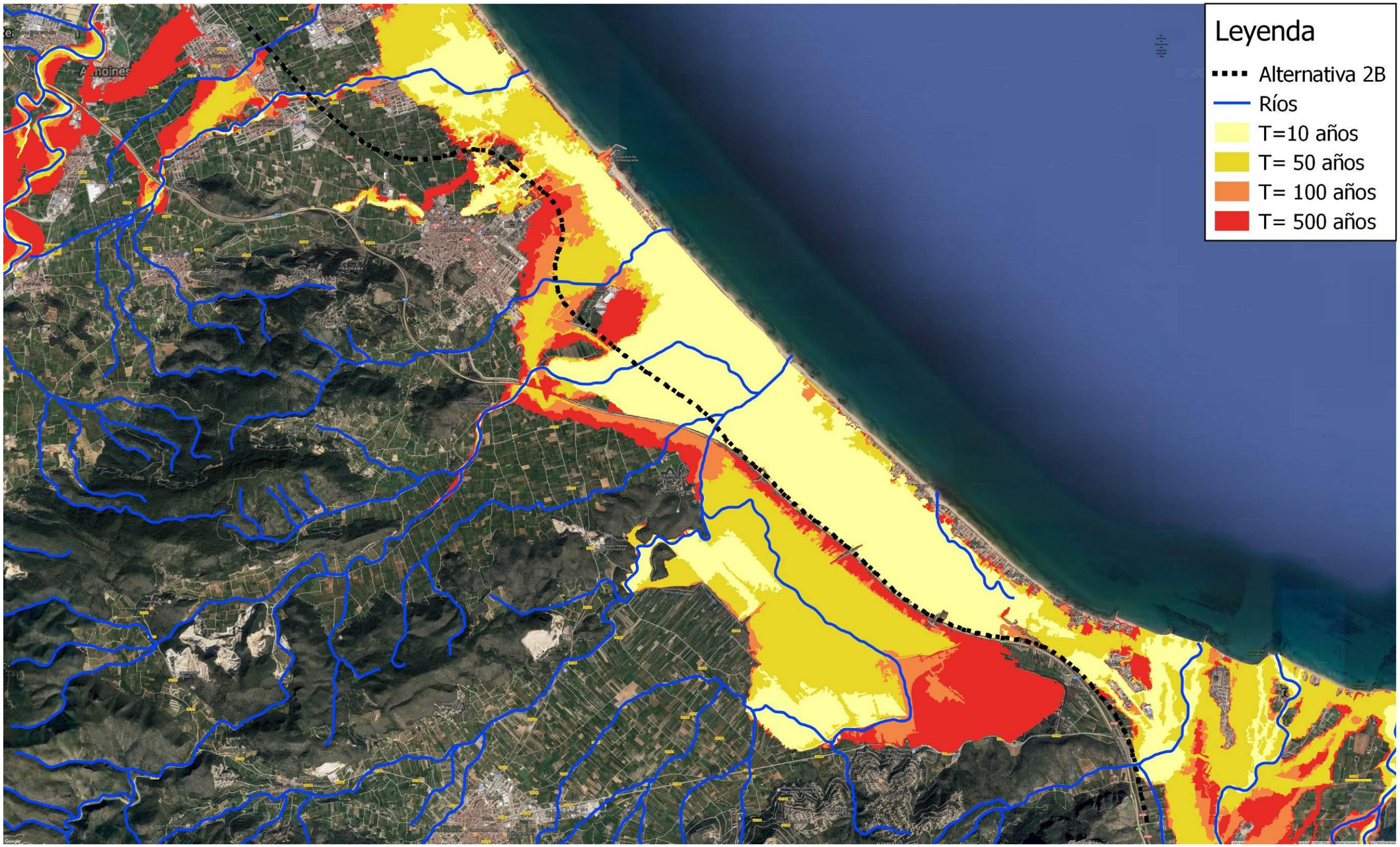
**ALTERNATIVA 1B**



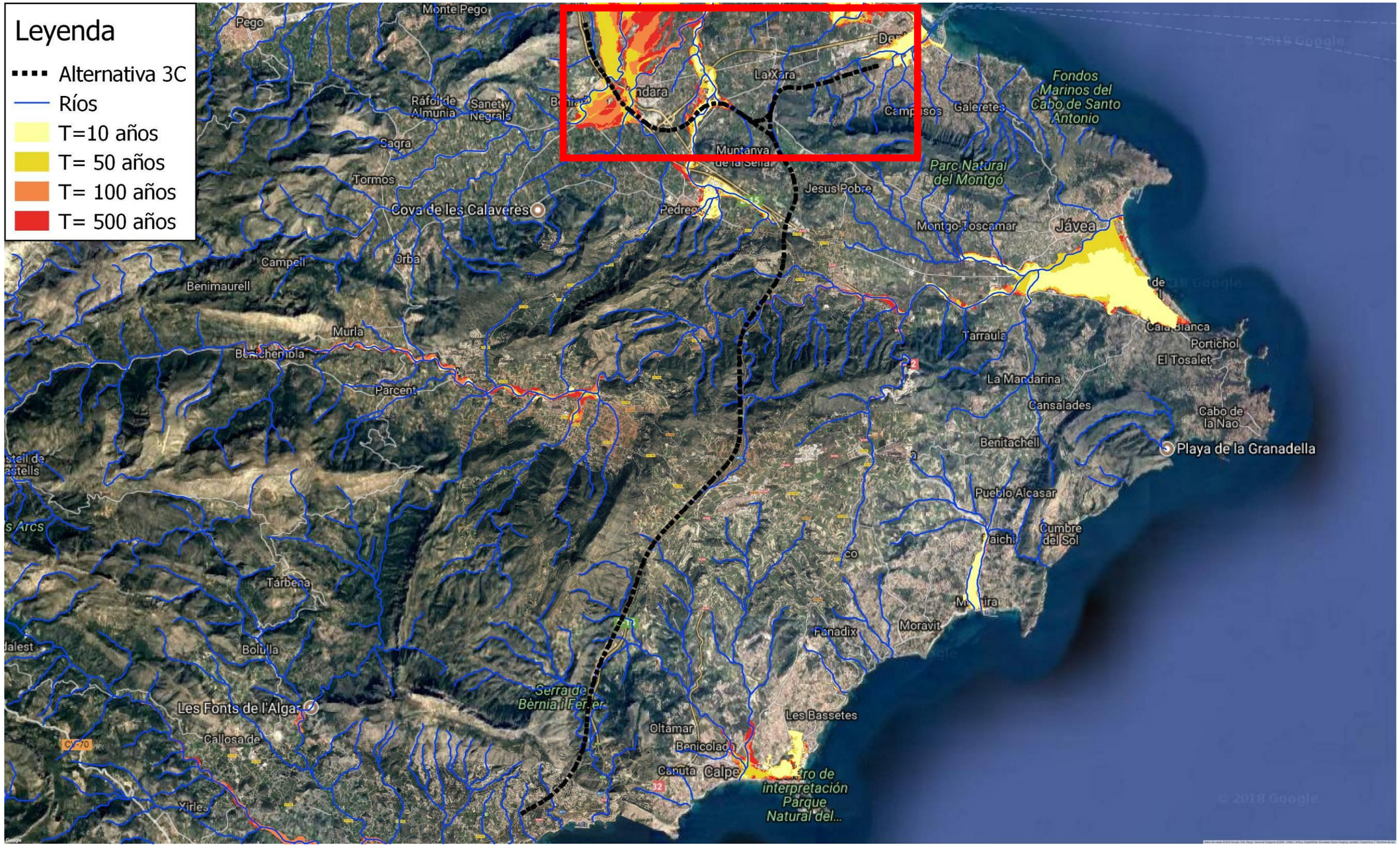
**ALTERNATIVA 2A**



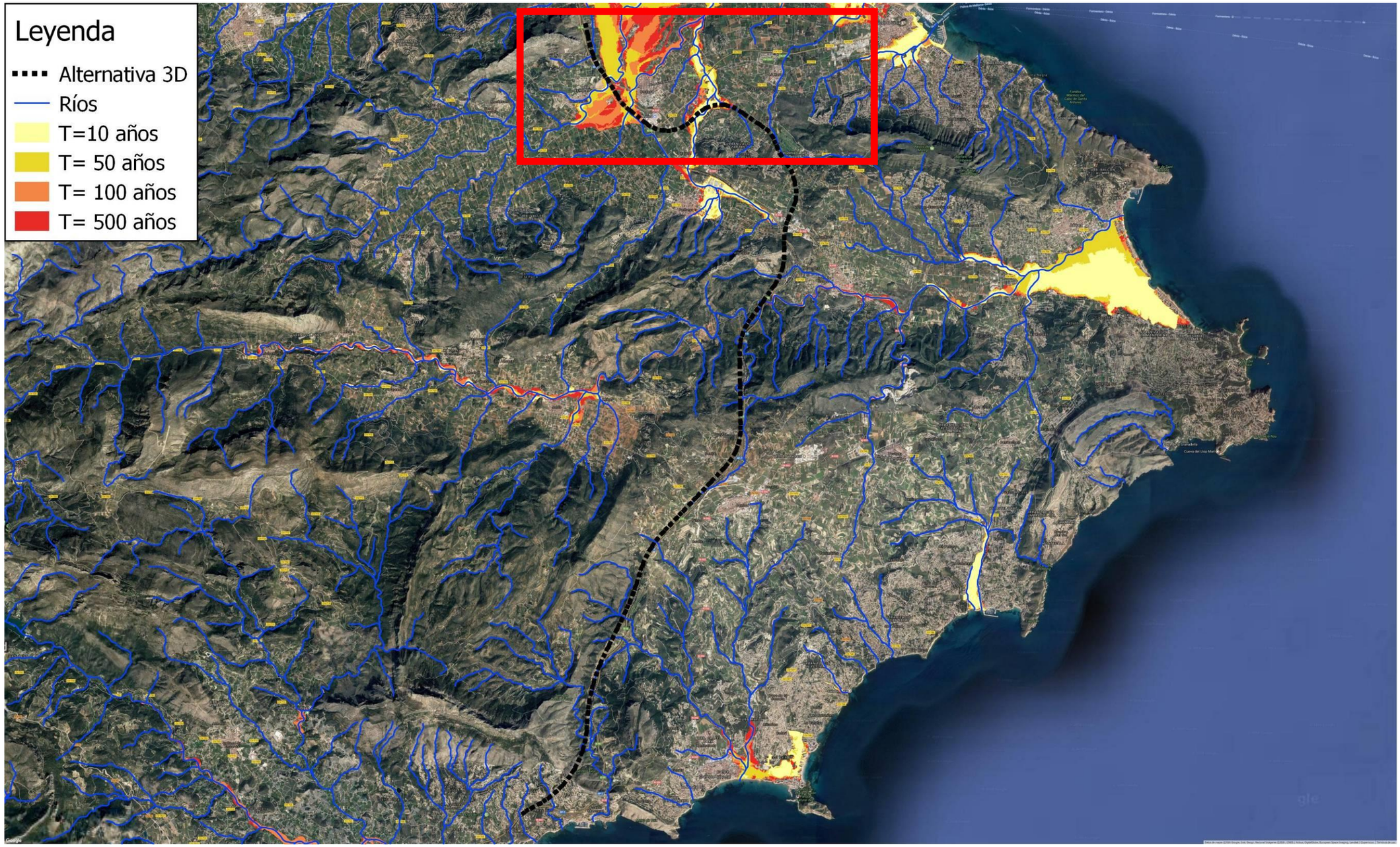
**ALTERNATIVA 2B**



**ALTERNATIVA 3C**

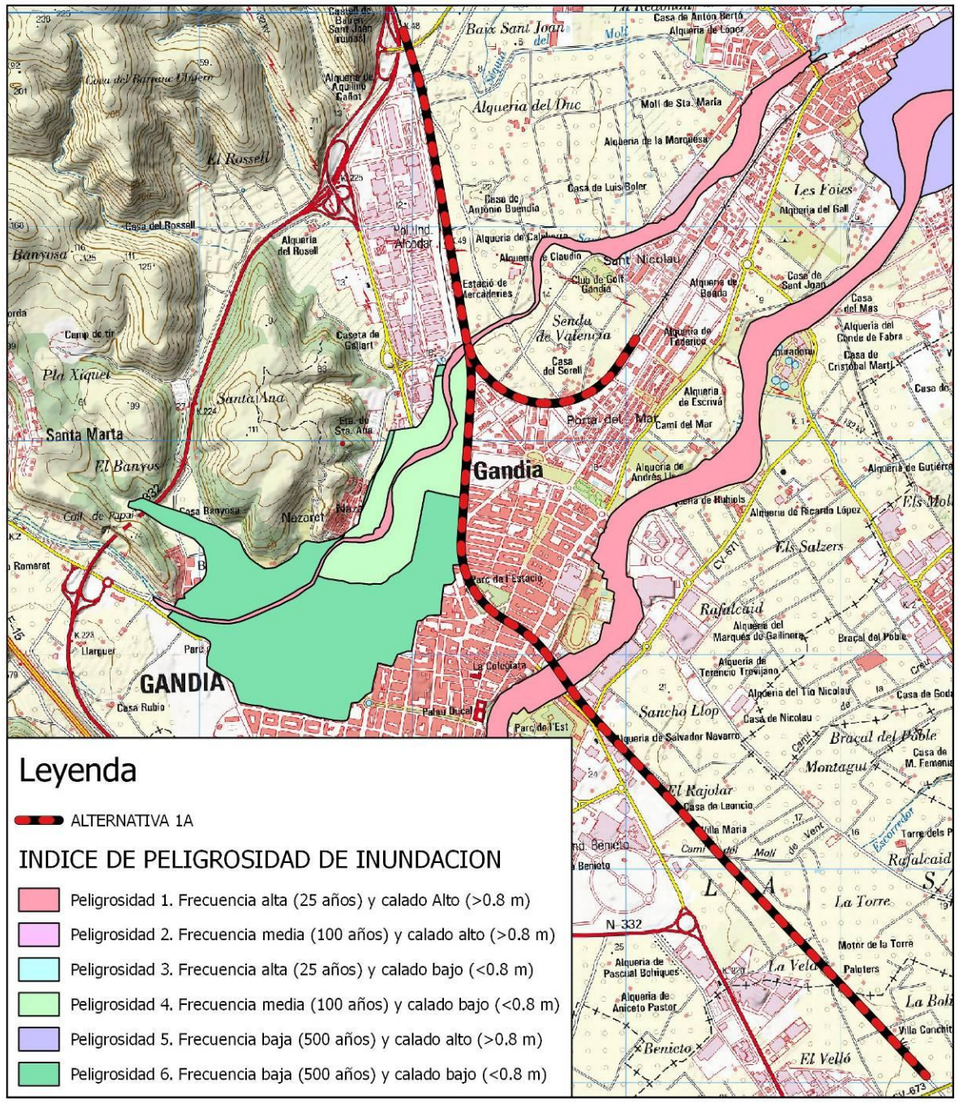


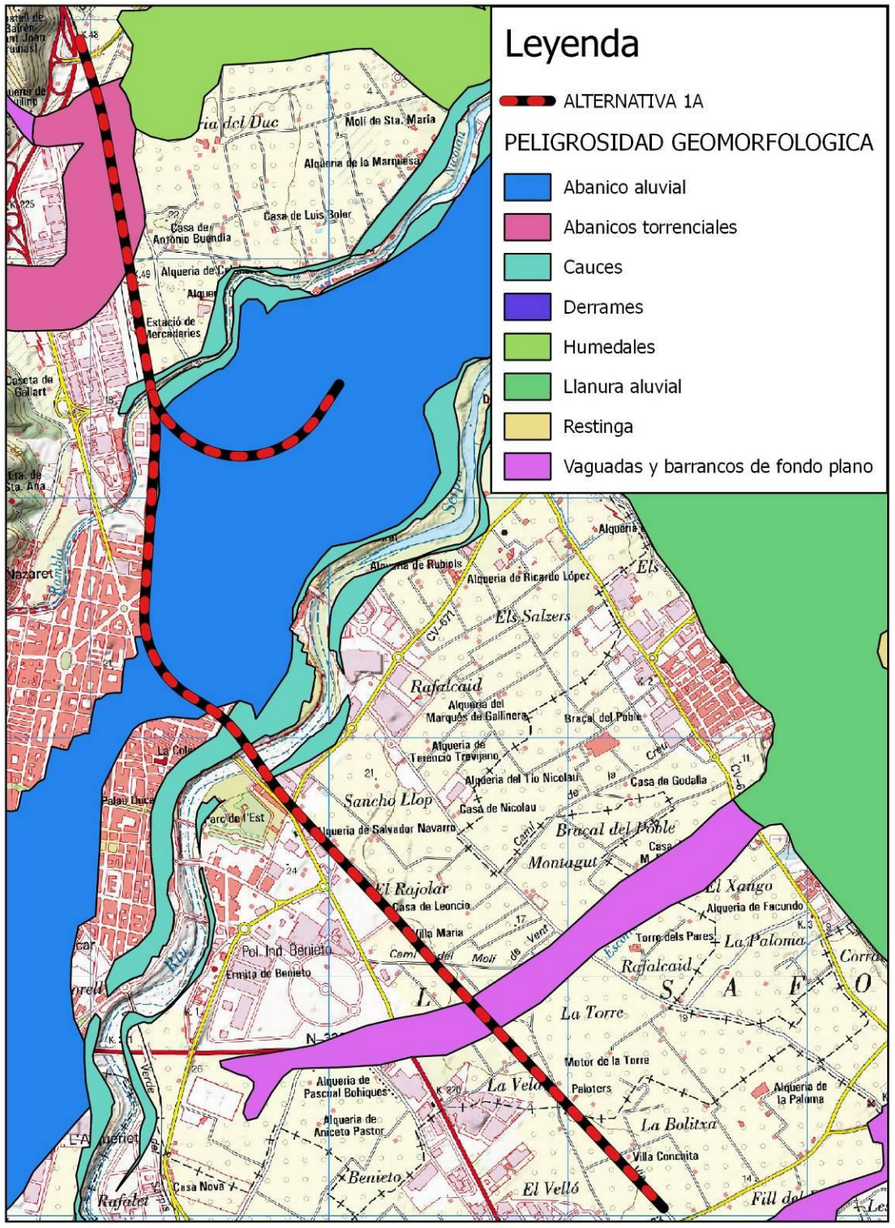
**ALTERNATIVA 3D**



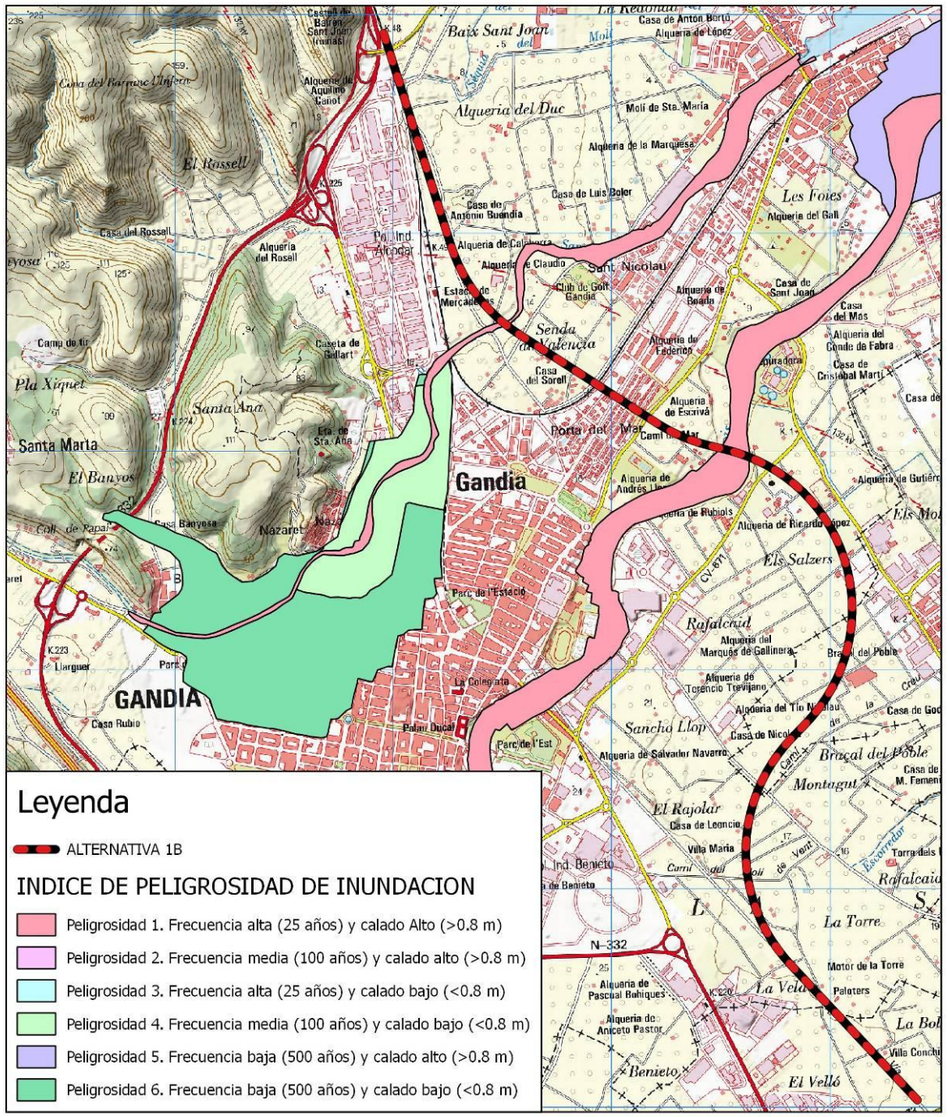
# ÍNDICES DE PELIGROSIDAD DE INUNDACIÓN. PATRICOVA

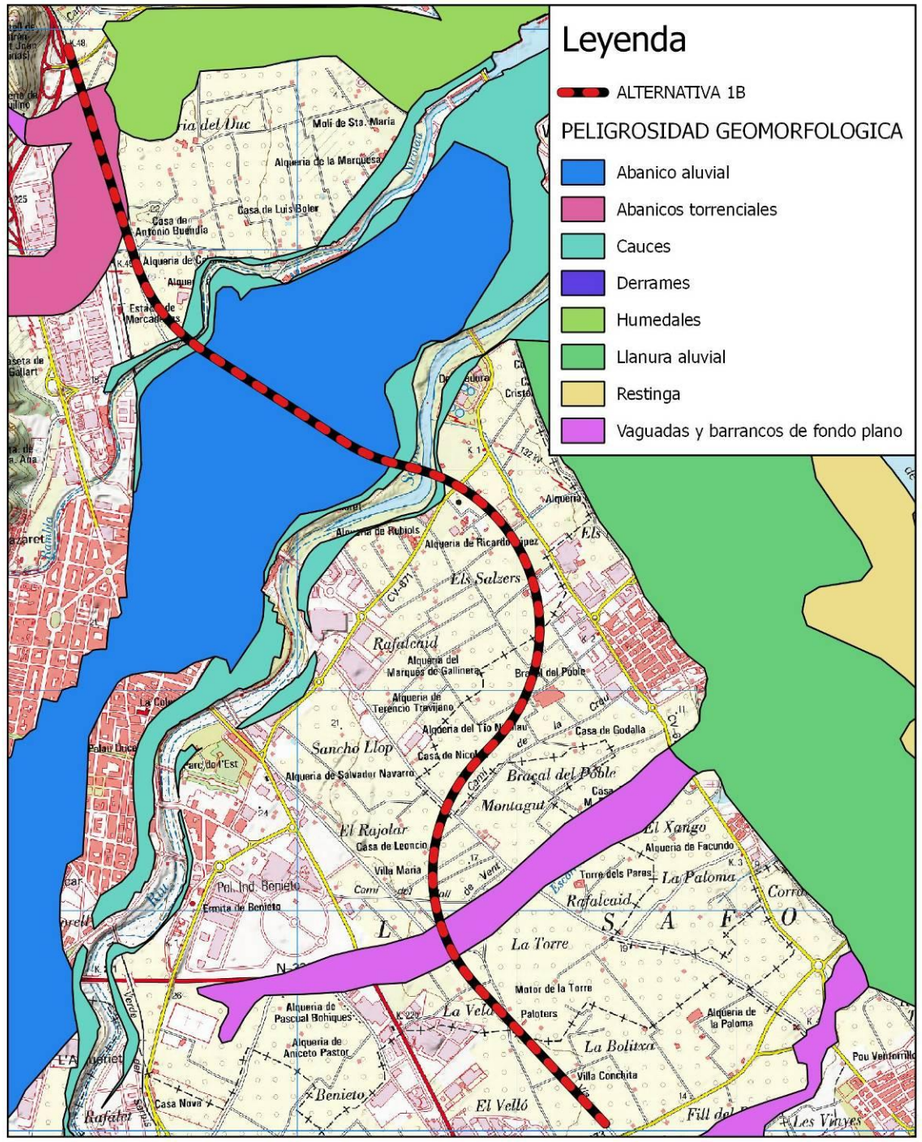
## ALTERNATIVA 1A



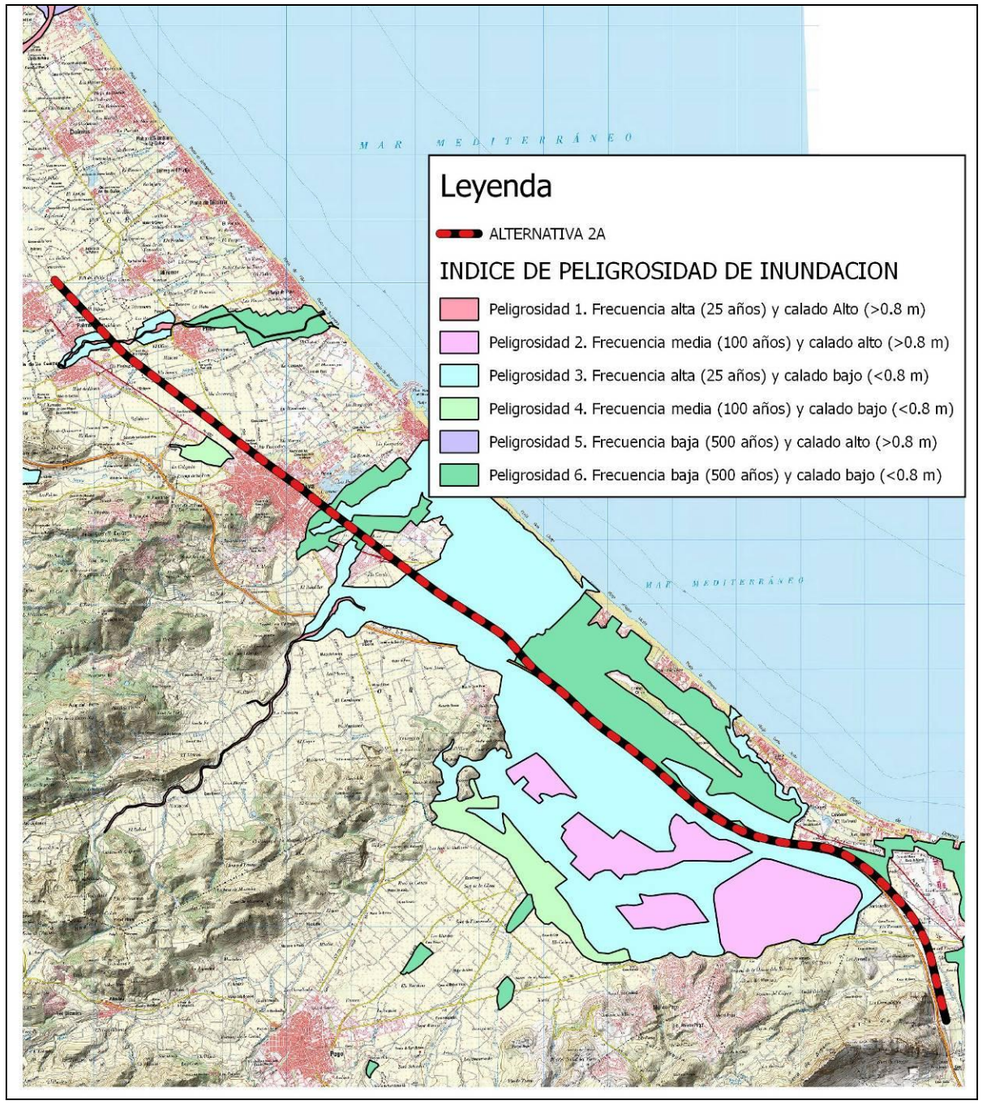



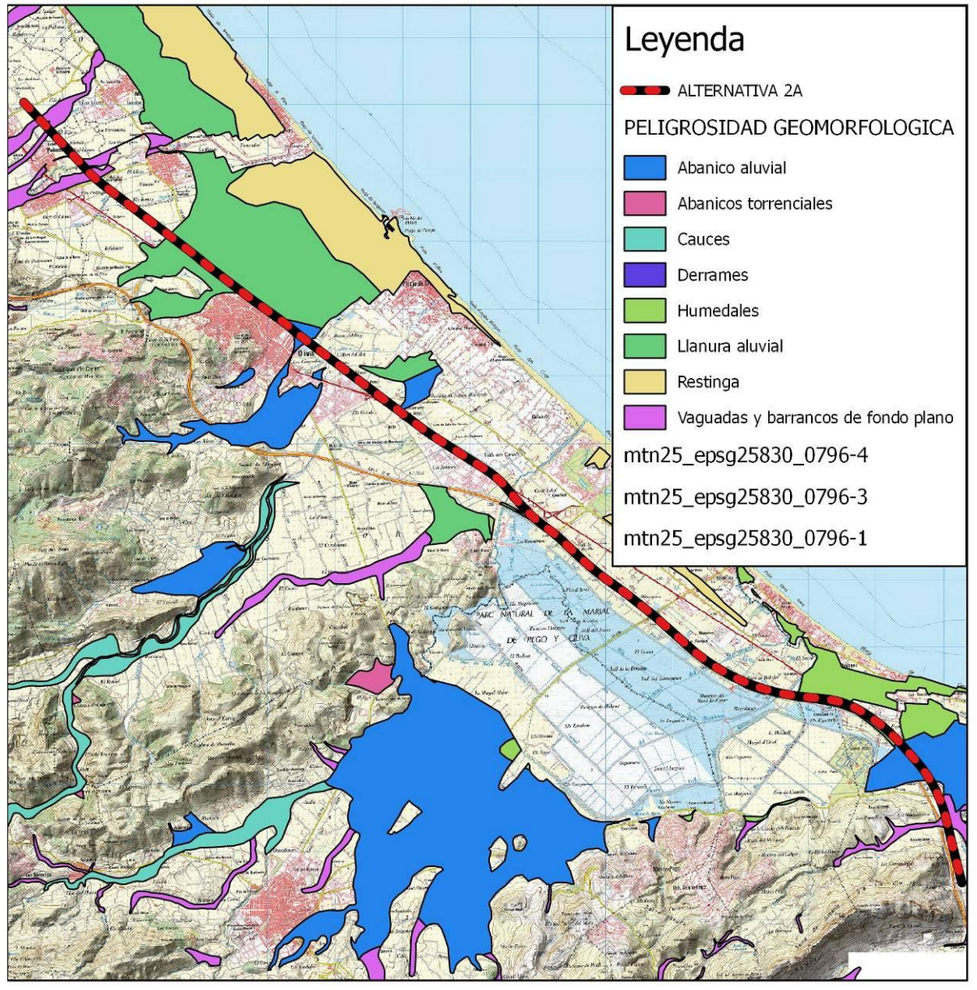
## ALTERNATIVA 1B



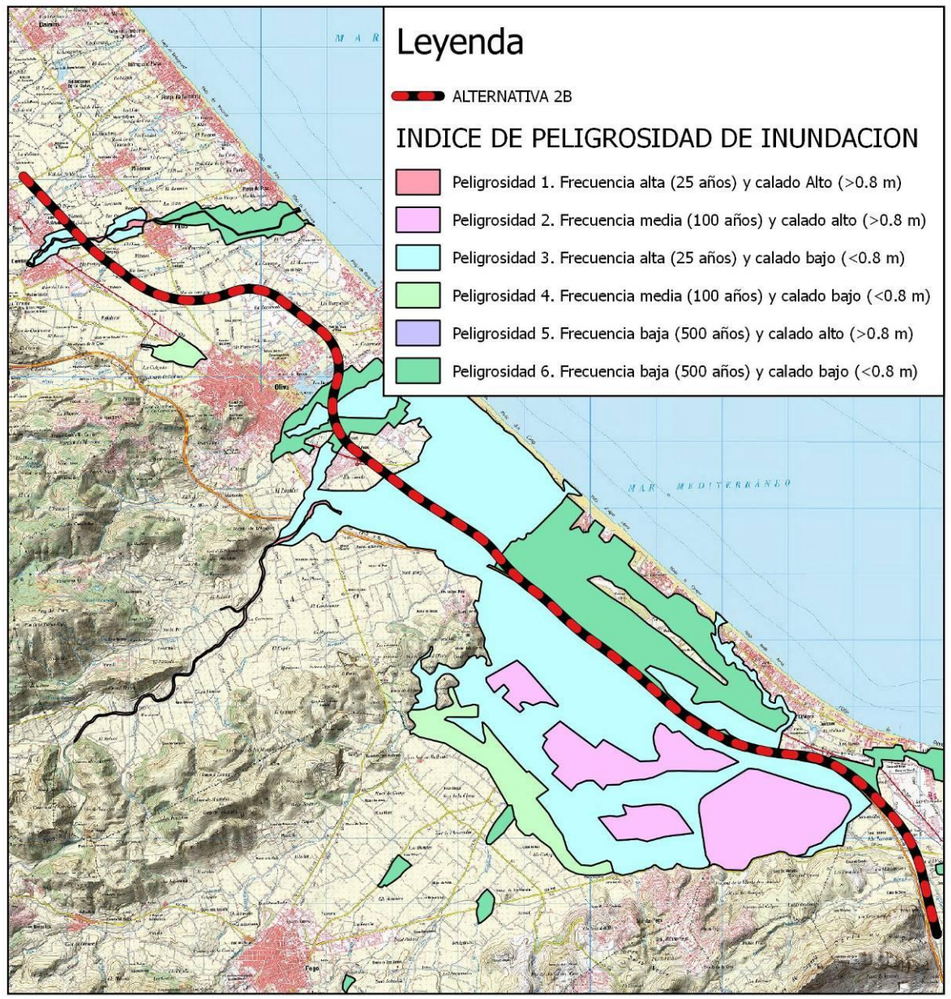



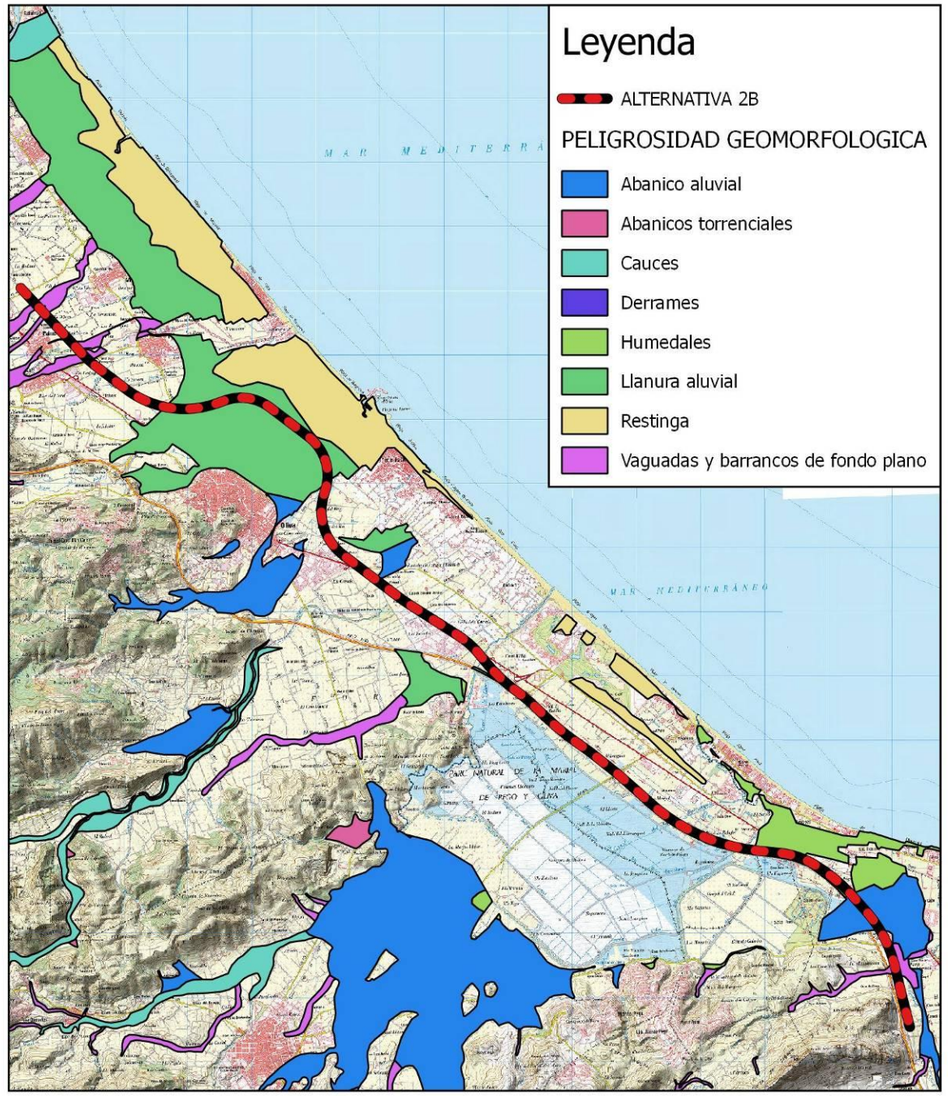
**ALTERNATIVA 2A**



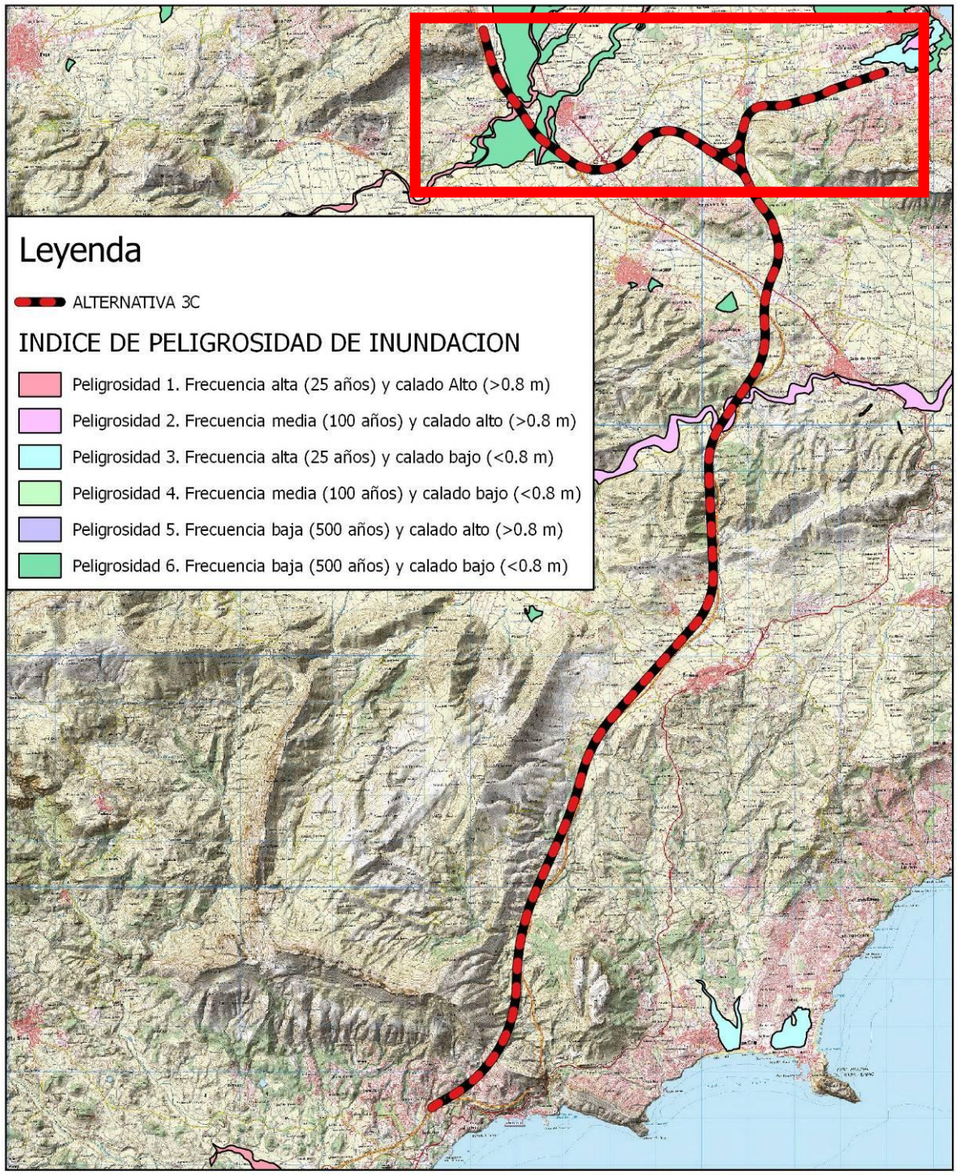



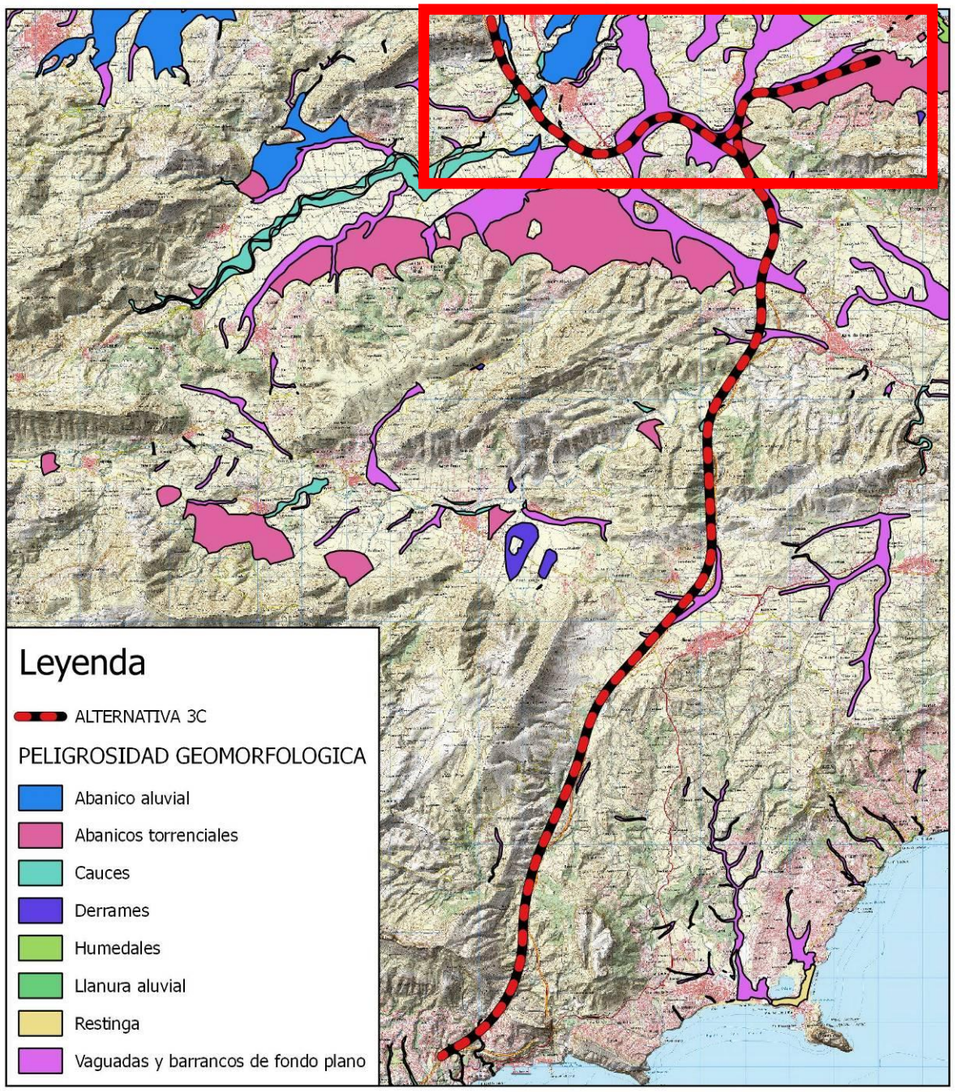
**ALTERNATIVA 2B**



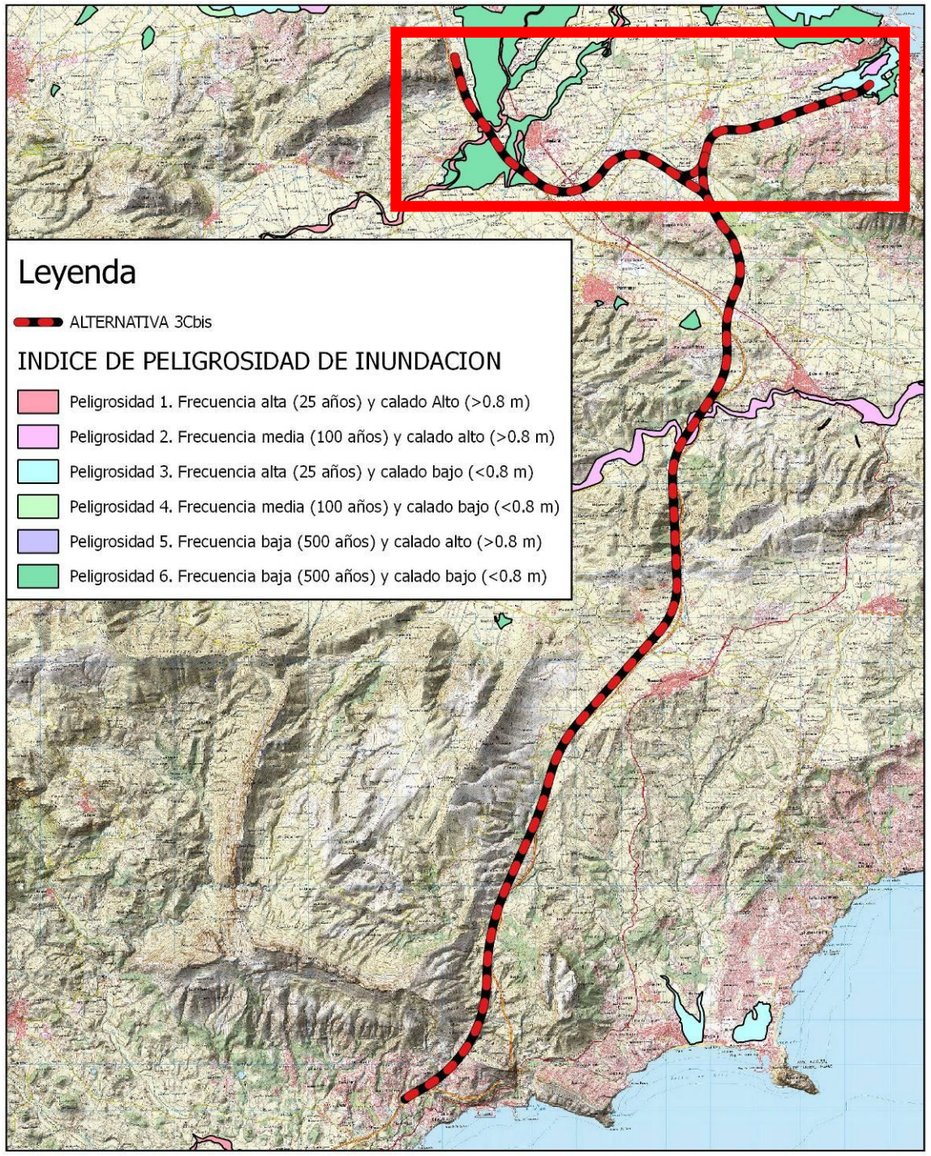



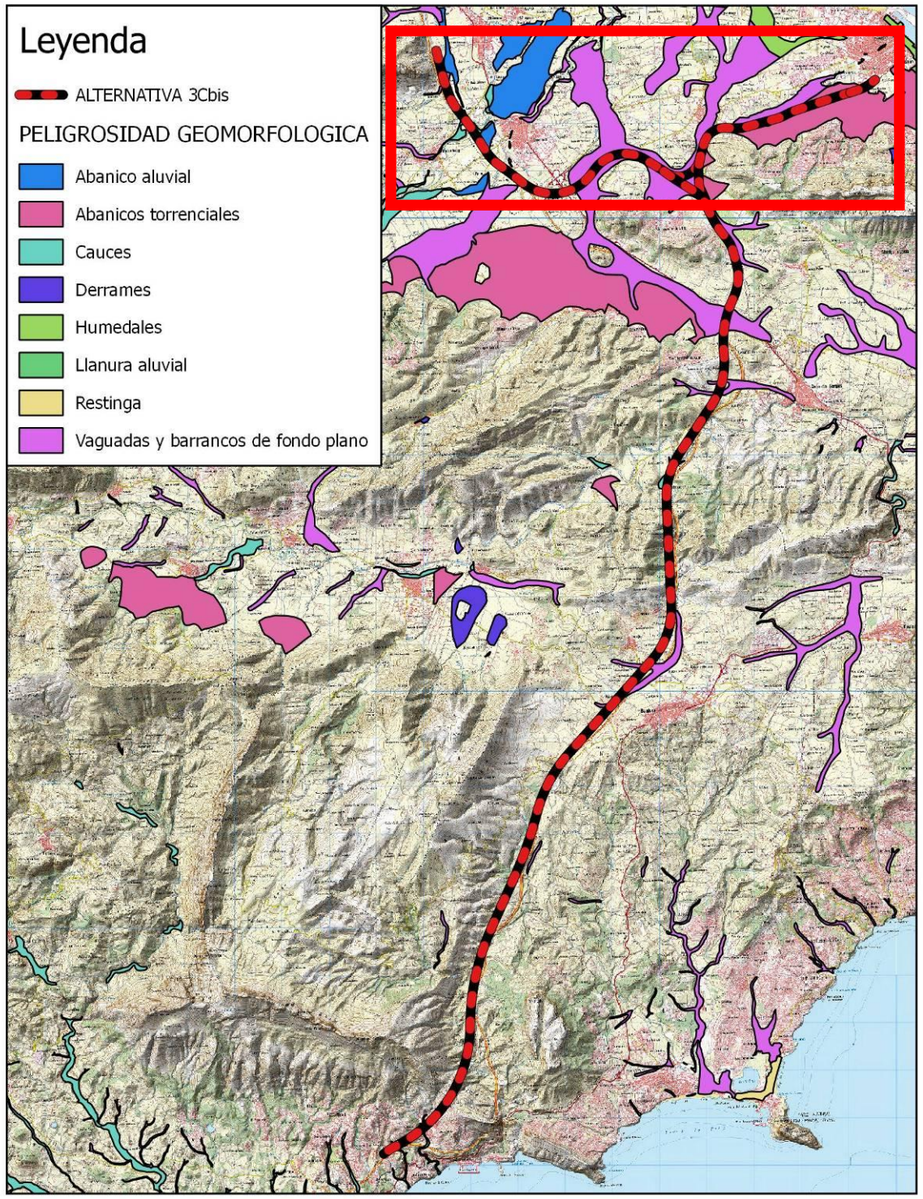
**ALTERNATIVAS 3C**



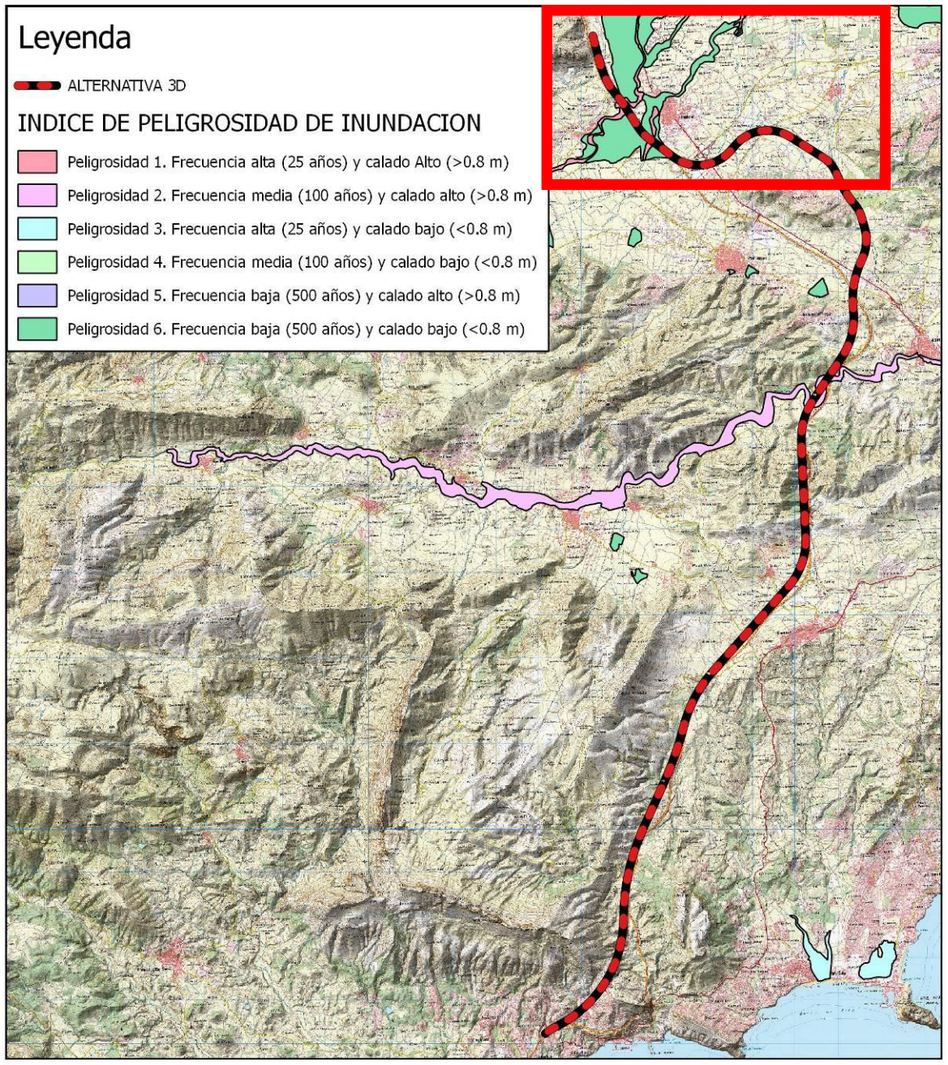



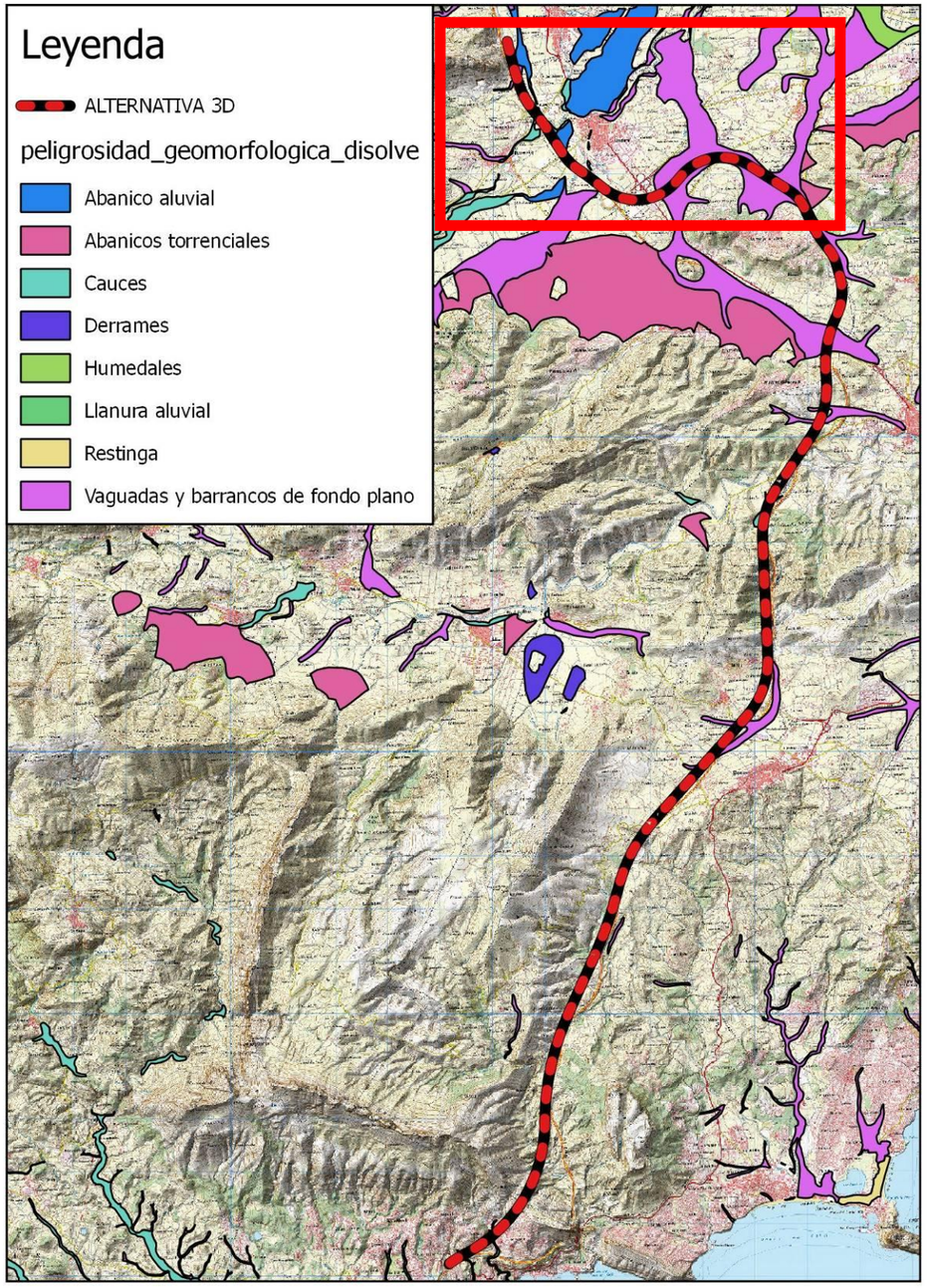
## ALTERNATIVAS 3C BIS



**ALTERNATIVA 3D**



# APÉNDICE Nº8. ESTUDIO HIDRÁULICO DE LOS CAUCES PRINCIPALES INTERCEPTADOS

# ÍNDICE

**APÉNDICE 8.1. ESTUDIO HIDRÁULICO DEL RÍO SERPIS ..... 3**

APÉNDICE 8.1.1. RÍO SERPIS. SITUACIÓN ACTUAL ..... 5

APÉNDICE 8.1.2. RÍO SERPIS. ALTERNATIVA 1A. SITUACIÓN FUTURA ..... 29

APÉNDICE 8.1.3. RÍO SERPIS. ALTERNATIVA 1B. SITUACIÓN FUTURA ..... 53

**APÉNDICE 8.2. ESTUDIO HIDRÁULICO DE LA RAMBLA GALLINERA ..... 77**

APÉNDICE 8.2.1. RAMBLA GALLINERA. SITUACIÓN ACTUAL ..... 79

APÉNDICE 8.2.1. RAMBLA GALLINERA. SITUACIÓN FUTURA ..... 97

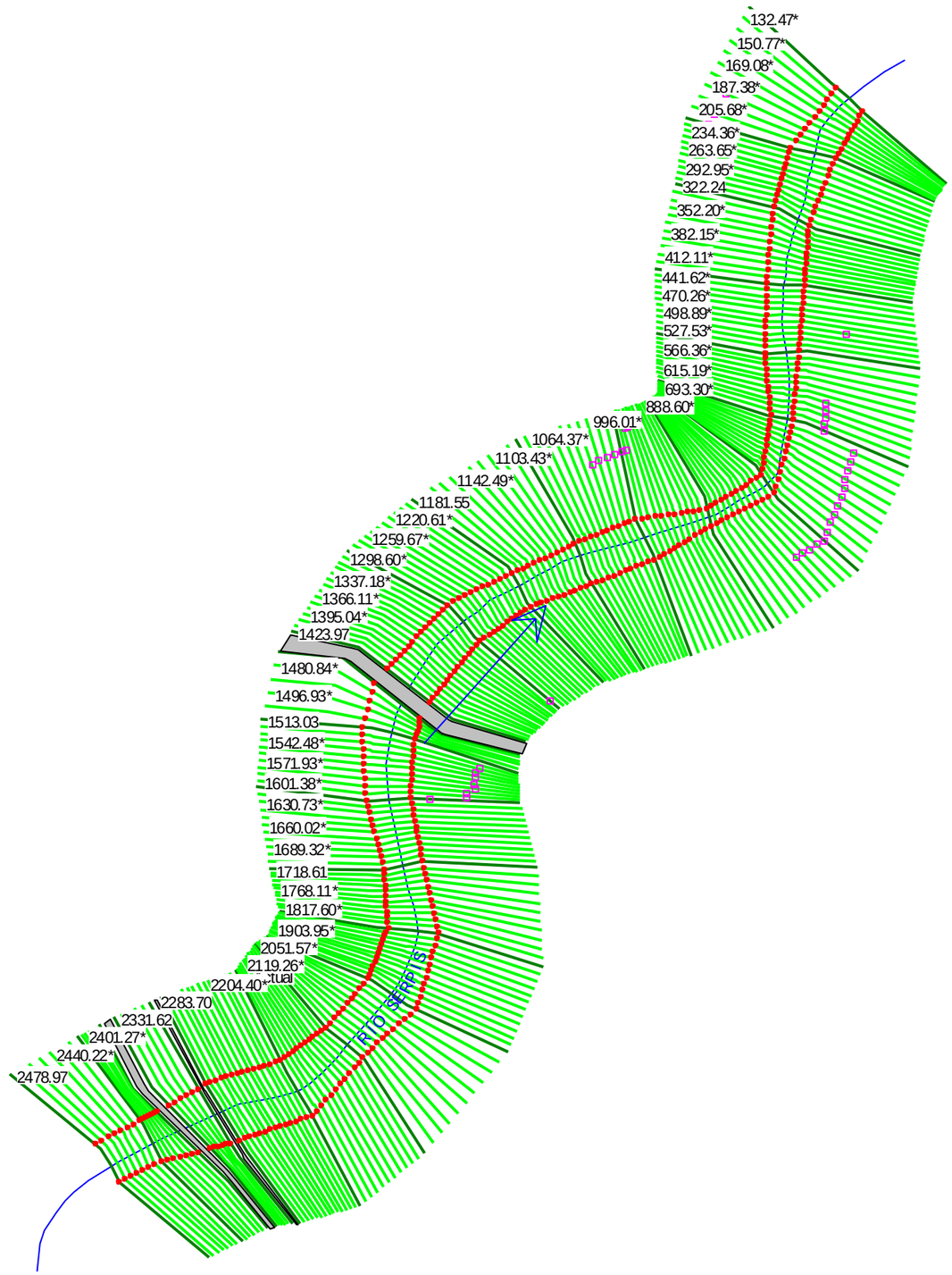
**APÉNDICE 8.3. ESTUDIO HIDRÁULICO DEL RÍO GIRONA ..... 117**

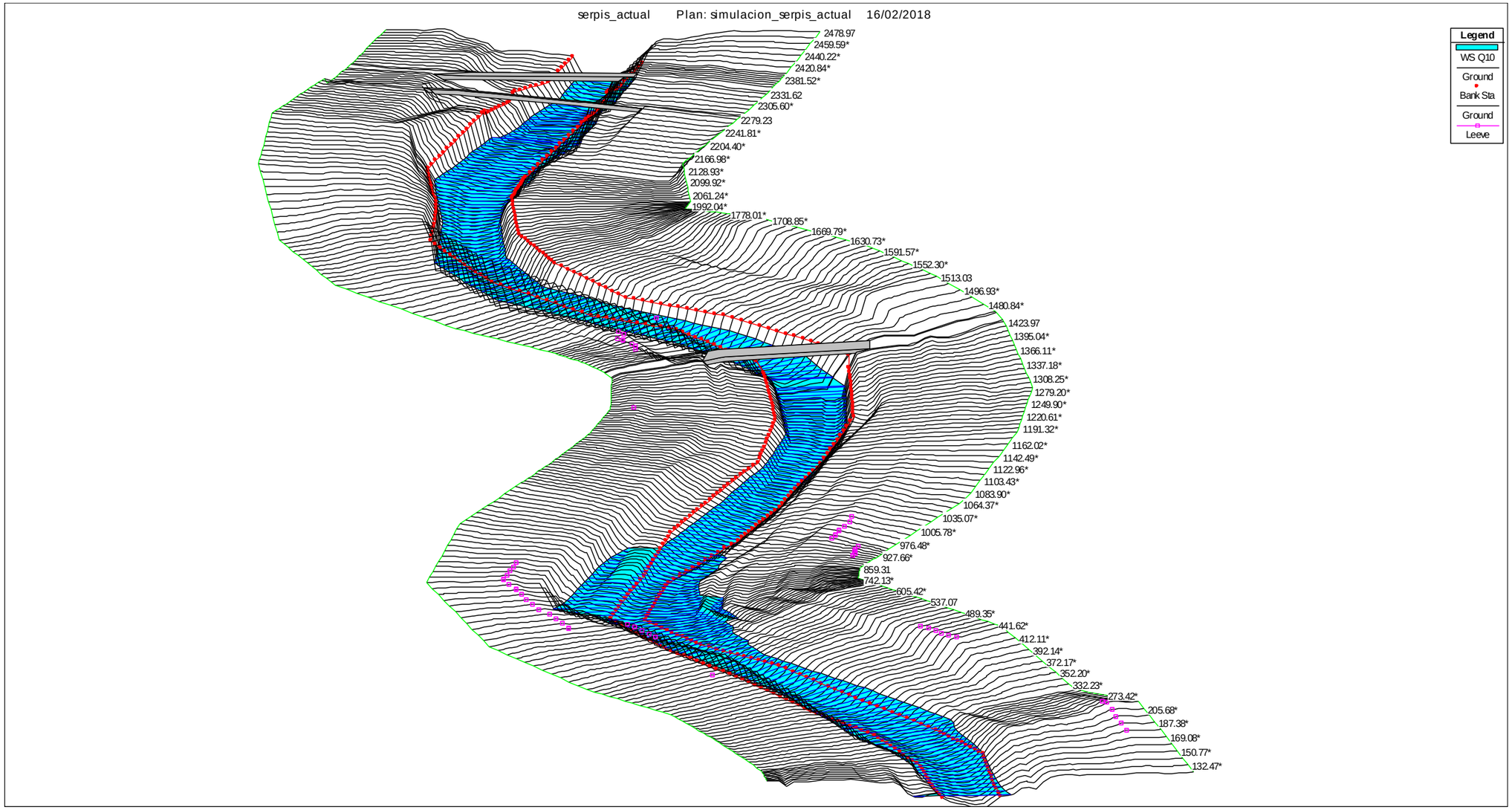
APÉNDICE 8.3.1. RIO GIRONA. SITUACIÓN ACTUAL ..... 119

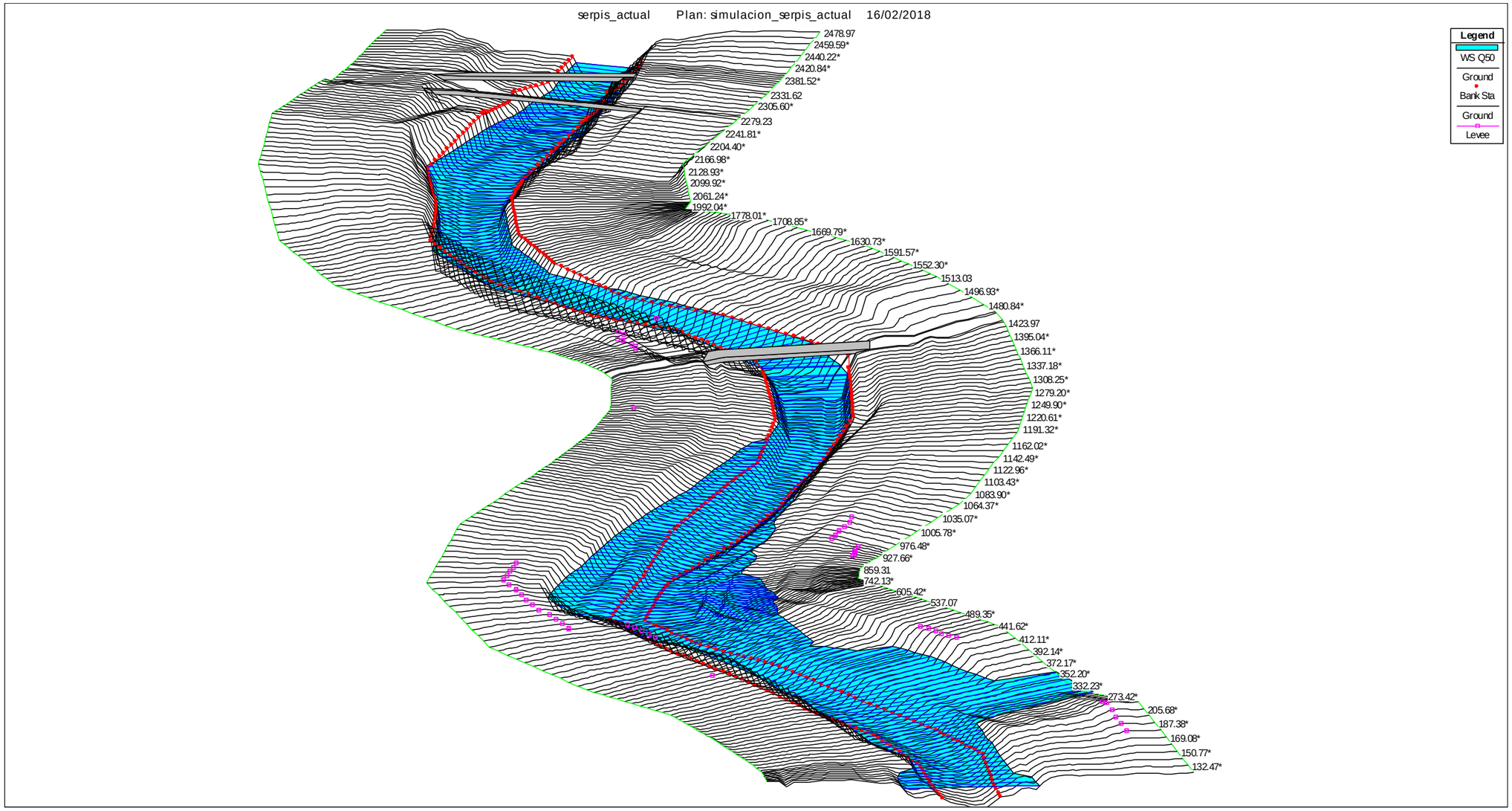
APÉNDICE 8.3.2. RIO GIRONA. SITUACIÓN FUTURA ..... 155

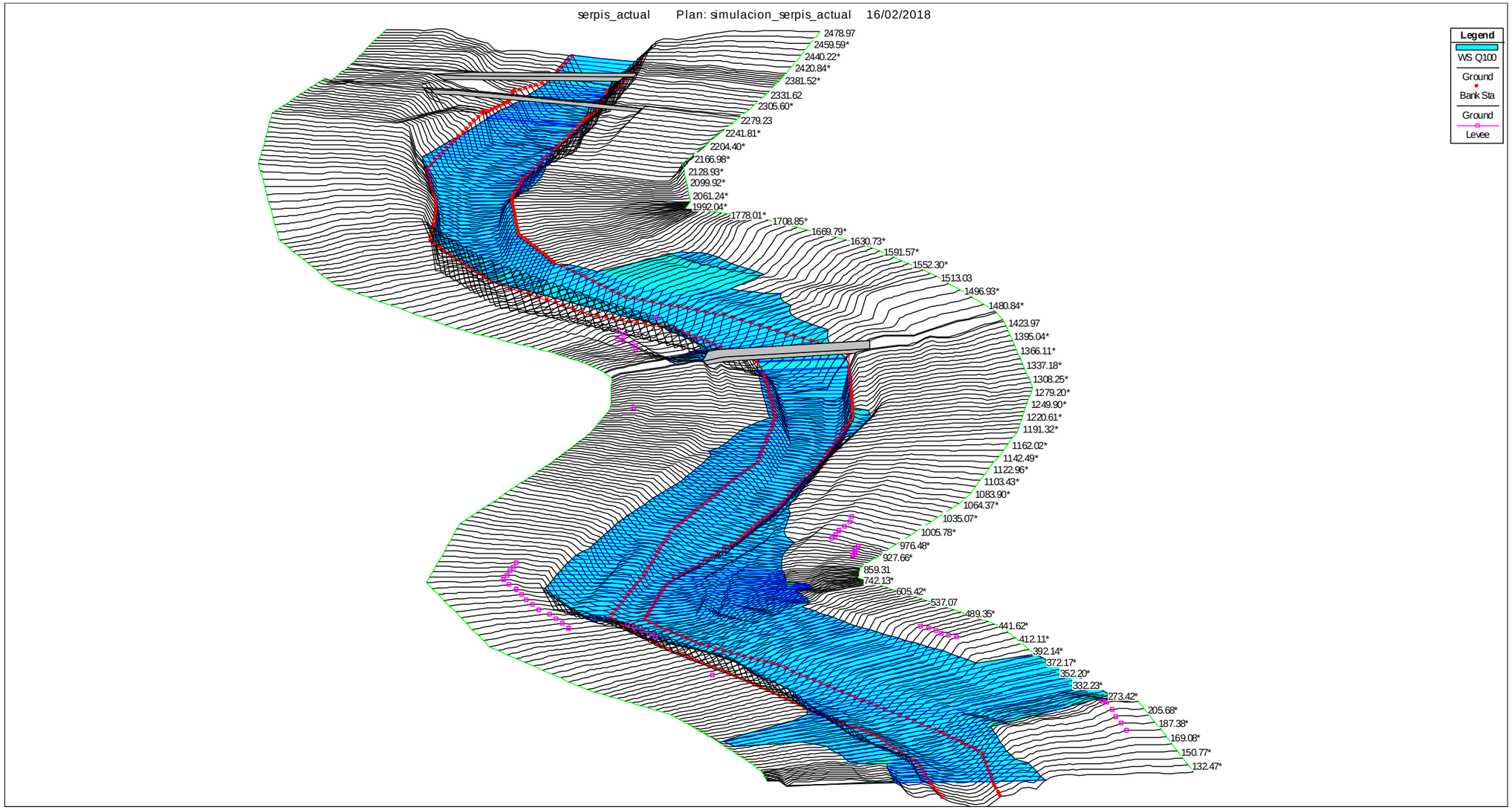
# APÉNDICE 8.1. ESTUDIO HIDRÁULICO DEL RÍO SERPIS

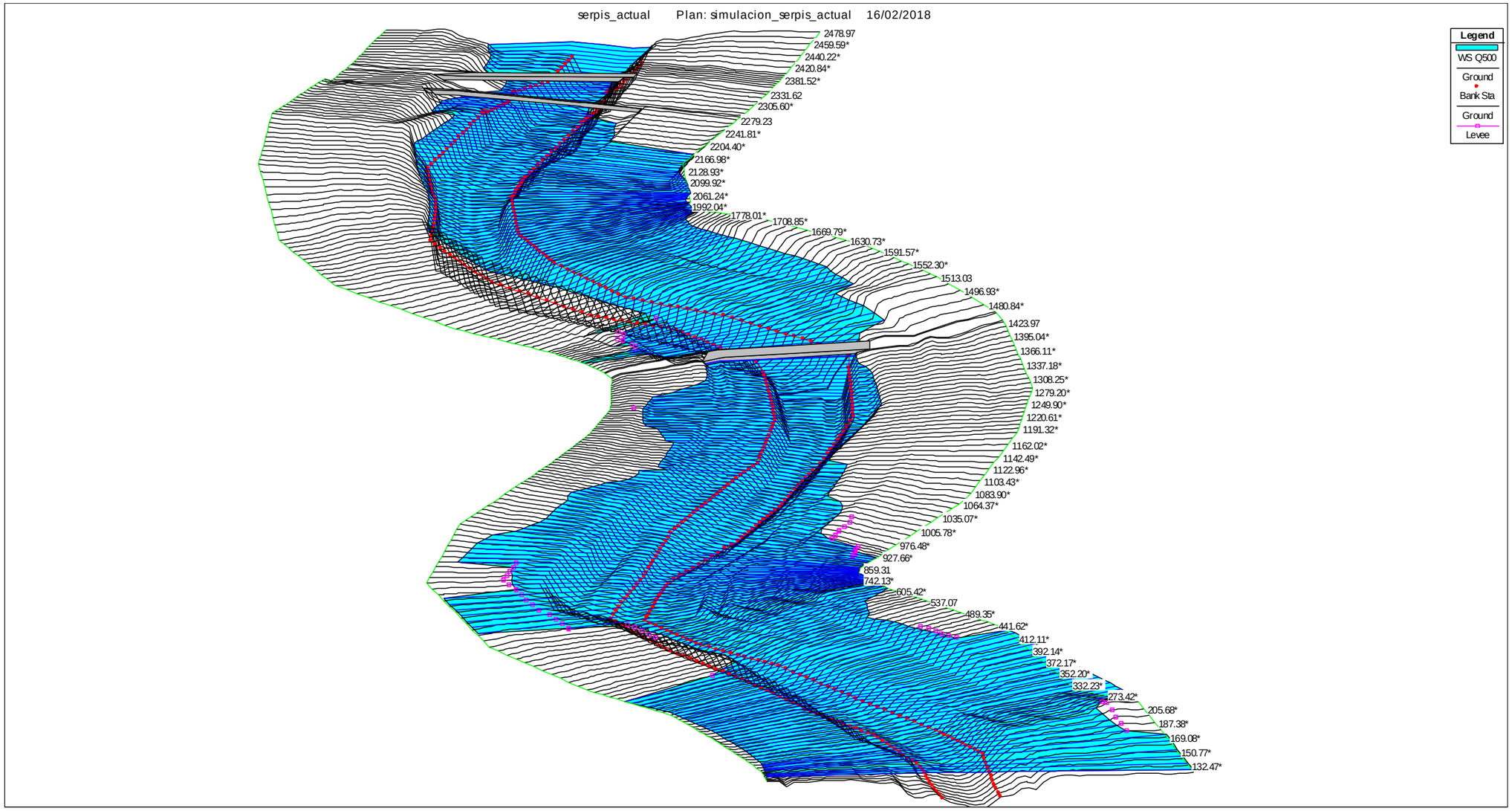
# APÉNDICE 8.1.1. RÍO SERPIS. SITUACIÓN ACTUAL

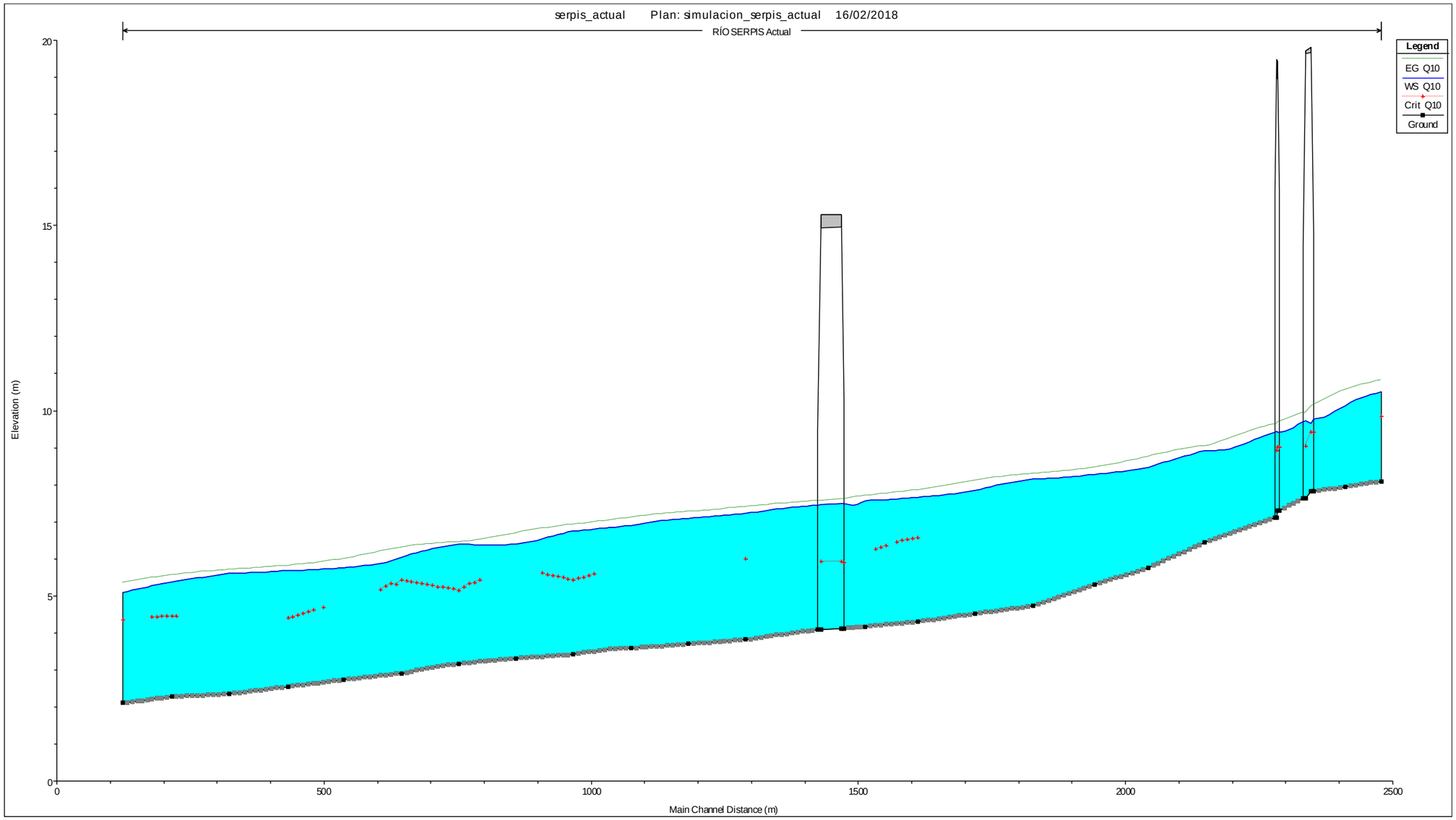

132.47*
150.77*
169.08*
187.38*
205.68*
234.36*
263.65*
292.95*
322.24
352.20*
382.15*
412.11*
441.62*
470.26*
498.89*
527.53*
566.36*
615.19*
693.30*
888.60*
996.01*
1064.37*
1103.43*
1142.49*
1181.55
1220.61*
1259.67*
1298.60*
1337.18*
1366.11*
1395.04*
1423.97
1480.84*
1496.93*
1513.03
1542.48*
1571.93*
1601.38*
1630.73*
1660.02*
1689.32*
1718.61
1768.11*
1817.60*
1903.95*
2051.57*
2119.26*
2204.40*
2283.70
2331.62
2401.27*
2440.22*
2478.97
tual
FTO. EF FR-15

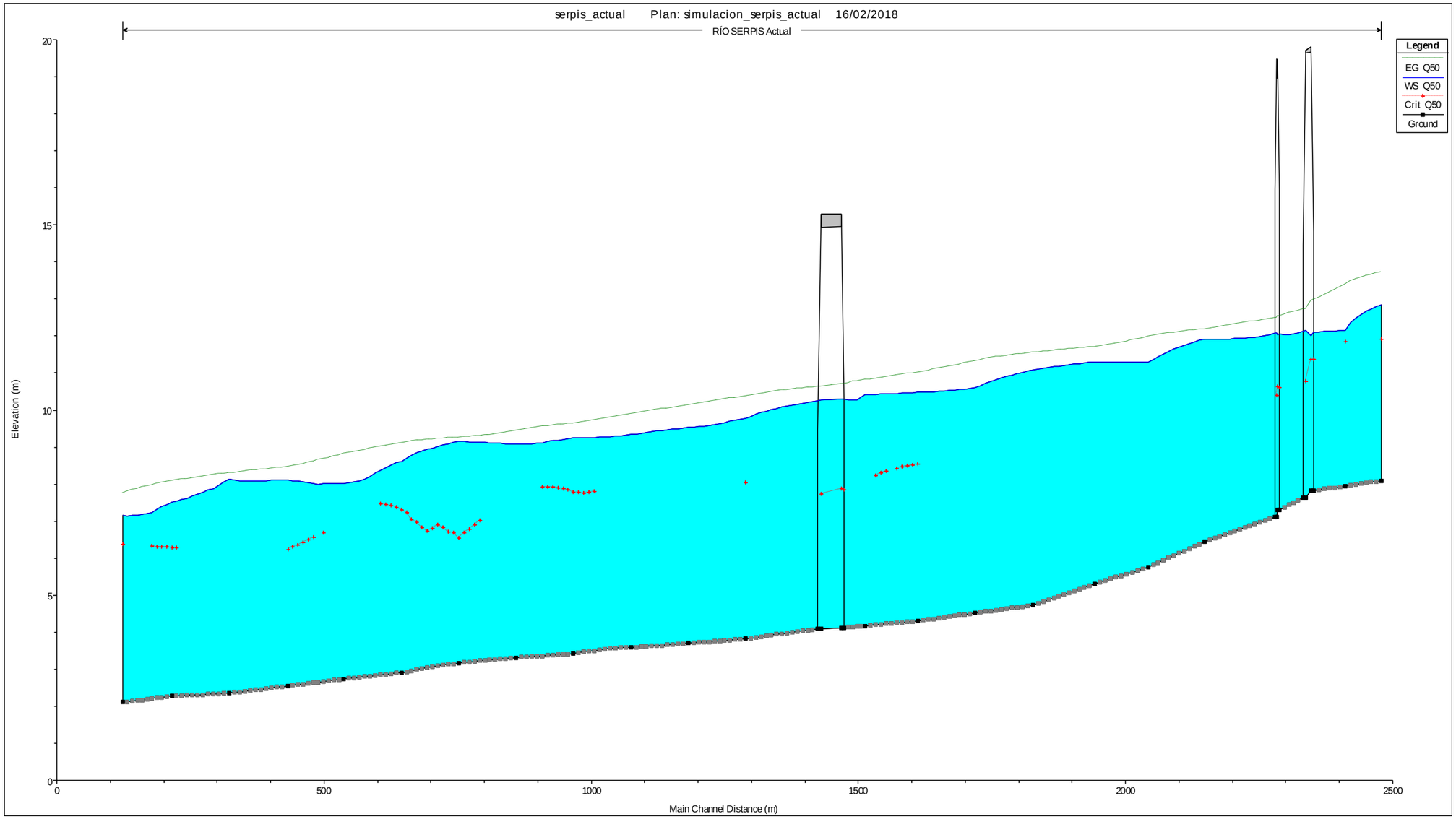

serpis_actual Plan: simulacion_serpis_actual 16/02/2018
Legend
WS Q10
Ground
Bank Sta
Ground
Leeve
2478.97
2459.59*
2440.22*
2420.84*
2381.52*
2331.62
2305.60*
2279.23
2241.81*
2204.40*
2166.98*
2128.93*
2099.92*
2061.24*
1992.04*
1778.01*
1708.85*
1669.79*
1630.73*
1591.57*
1552.30*
1513.03
1496.93*
1480.84*
1423.97
1395.04*
1366.11*
1337.18*
1308.25*
1279.20*
1249.90*
1220.61*
1191.32*
1162.02*
1142.49*
1122.96*
1103.43*
1083.90*
1064.37*
1035.07*
1005.78*
976.48*
927.66*
859.31
742.13*
605.42*
537.07
489.35*
441.62*
412.11*
392.14*
372.17*
352.20*
332.23*
273.42*
205.68*
187.38*
169.08*
150.77*
132.47*

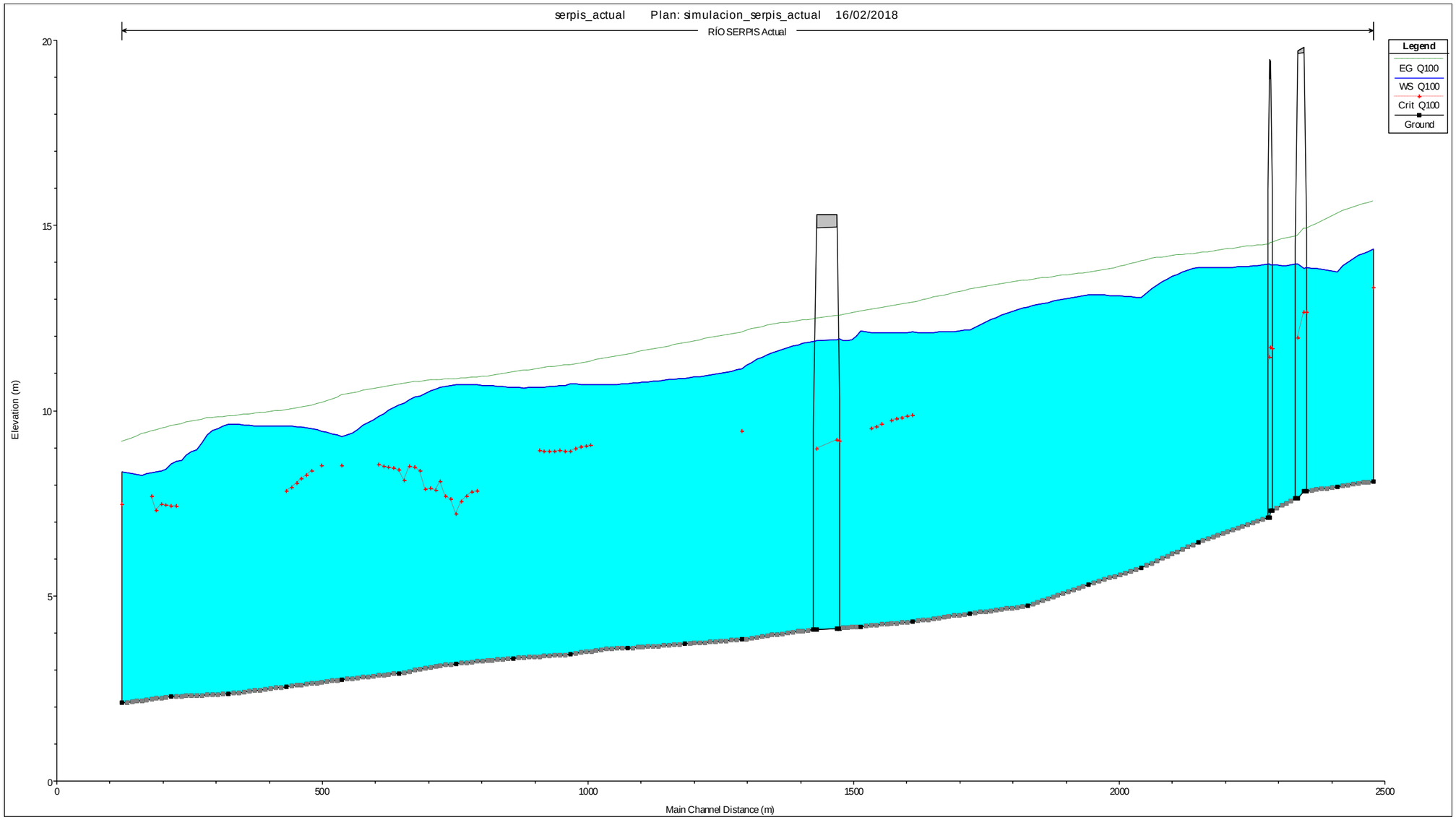

serpis_actual Plan: simulacion_serpis_actual 16/02/2018
Legend
WS Q50
Ground
Bank Sta
Ground
Levee
2478.97
2459.59*
2440.22*
2420.84*
2381.52*
2331.62
2305.60*
2279.23
2241.81*
2204.40*
2166.98*
2128.93*
2099.92*
2061.24*
1992.04*
1778.01*
1708.85*
1669.79*
1630.73*
1591.57*
1552.30*
1513.03
1496.93*
1480.84*
1423.97
1395.04*
1366.11*
1337.18*
1308.25*
1279.20*
1249.90*
1220.61*
1191.32*
1162.02*
1142.49*
1122.96*
1103.43*
1083.90*
1064.37*
1035.07*
1005.78*
976.48*
927.66*
859.31
742.13*
605.42*
537.07
489.35*
441.62*
412.11*
392.14*
372.17*
352.20*
332.23*
273.42*
205.68*
187.38*
169.08*
150.77*
132.47*

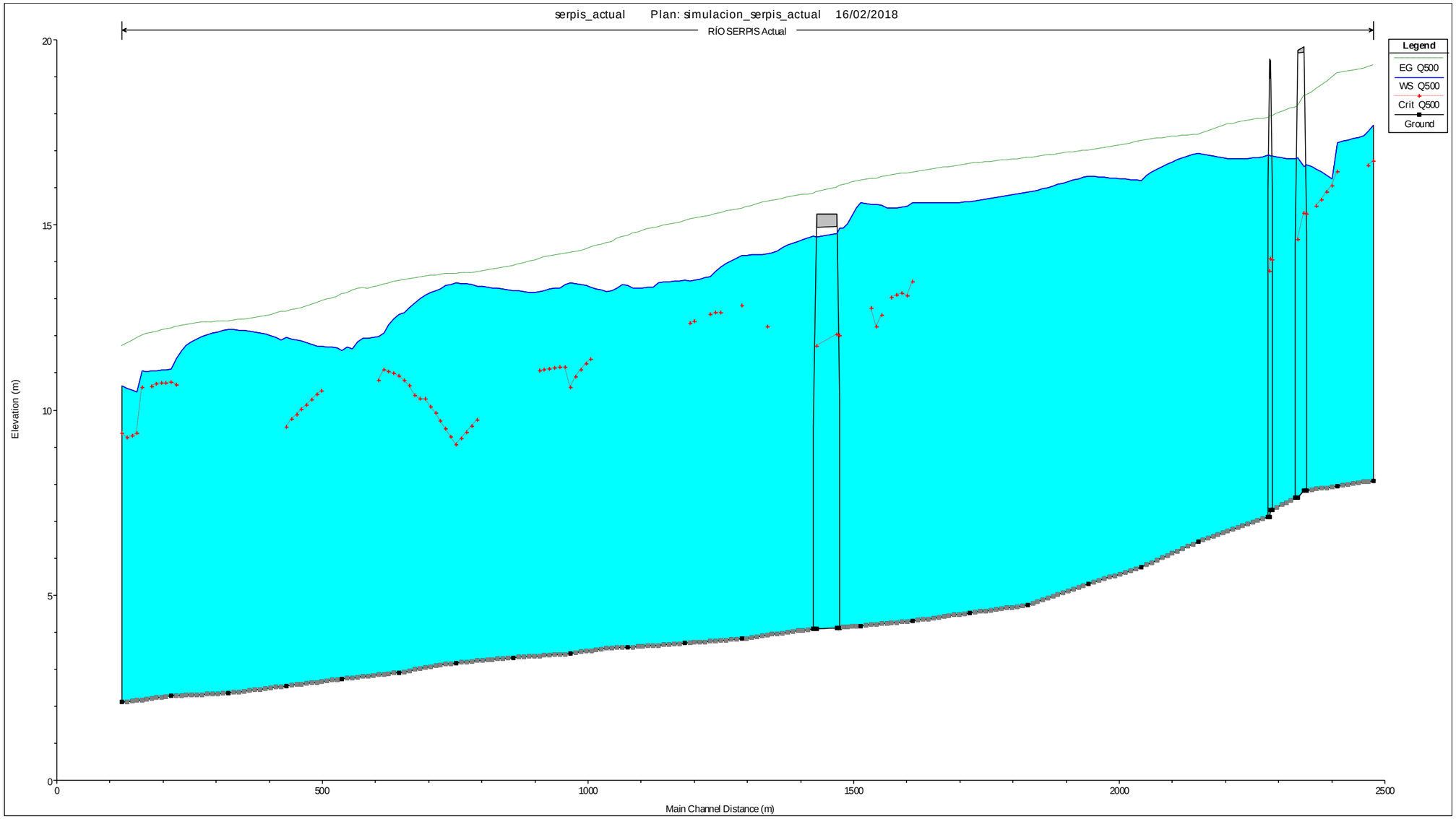

serpis_actual Plan: simulacion_serpis_actual 16/02/2018
Legend
WS Q100
Ground
Bank Sta
Ground
Levee
2478.97
2459.59*
2440.22*
2420.84*
2381.52*
2331.62
2305.60*
2279.23
2241.81*
2204.40*
2166.98*
2128.93*
2099.92*
2061.24*
1992.04*
1778.01*
1708.85*
1669.79*
1630.73*
1591.57*
1552.30*
1513.03
1496.93*
1480.84*
1423.97
1395.04*
1366.11*
1337.18*
1308.25*
1279.20*
1249.90*
1220.61*
1191.32*
1162.02*
1142.49*
1122.96*
1103.43*
1083.90*
1064.37*
1035.07*
1005.78*
976.48*
927.66*
859.31
742.13*
605.42*
537.07
489.35*
441.62*
412.11*
392.14*
372.17*
352.20*
332.23*
273.42*
205.68*
187.38*
169.08*
150.77*
132.47*


serpis_actual Plan: simulacion_serpis_actual 16/02/2018
Legend
WS Q500
Ground
Bank Sta
Ground
Levee
2478.97
2459.59*
2440.22*
2420.84*
2381.52*
2331.62
2305.60*
2279.23
2241.81*
2204.40*
2166.98*
2128.93*
2099.92*
2061.24*
1992.04*
1778.01*
1708.85*
1669.79*
1630.73*
1591.57*
1552.30*
1513.03
1496.93*
1480.84*
1423.97
1395.04*
1366.11*
1337.18*
1308.25*
1279.20*
1249.90*
1220.61*
1191.32*
1162.02*
1142.49*
1122.96*
1103.43*
1083.90*
1064.37*
1035.07*
1005.78*
976.48*
927.66*
859.31
742.13*
605.42*
537.07
489.35*
441.62*
412.11*
392.14*
372.17*
352.20*
332.23*
273.42*
205.68*
187.38*
169.08*
150.77*
132.47*


serpis_actual Plan: simulacion_serpis_actual 16/02/2018
RÍO SERPIS Actual
Legend
EG Q10
WS Q10
Crit Q10
Ground
Elevation (m)
20
15
10
5
0
0
500
1000
1500
2000
2500
Main Channel Distance (m)


serpis_actual Plan: simulacion_serpis_actual 16/02/2018
RÍO SERPIS Actual
Legend
EG Q50
WS Q50
Crit Q50
Ground
Elevation (m)
20
15
10
5
0
0
500
1000
1500
2000
2500
Main Channel Distance (m)


serpis_actual Plan: simulacion_serpis_actual 16/02/2018
RÍO SERPIS Actual
Legend
EG Q100
WS Q100
Crit Q100
Ground
Elevation (m)
20
15
10
5
0
0
500
1000
1500
2000
2500
Main Channel Distance (m)

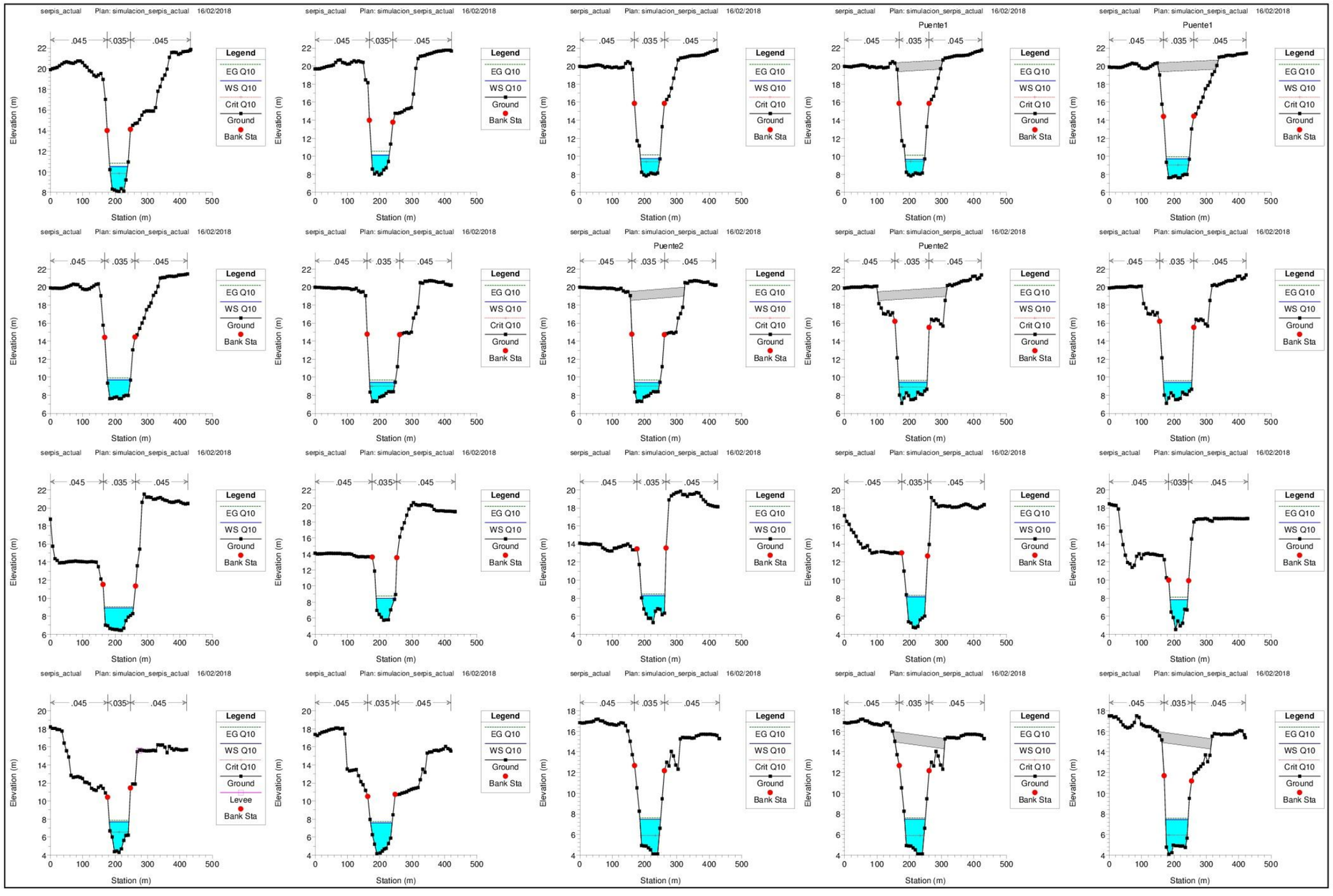

serpis_actual Plan: simulacion_serpis_actual 16/02/2018
RÍO SERPIS Actual
Legend
EG Q500
WS Q500
Crit Q500
Ground
Elevation (m)
Main Channel Distance (m)
0
5
10
15
20
0
500
1000
1500
2000
2500

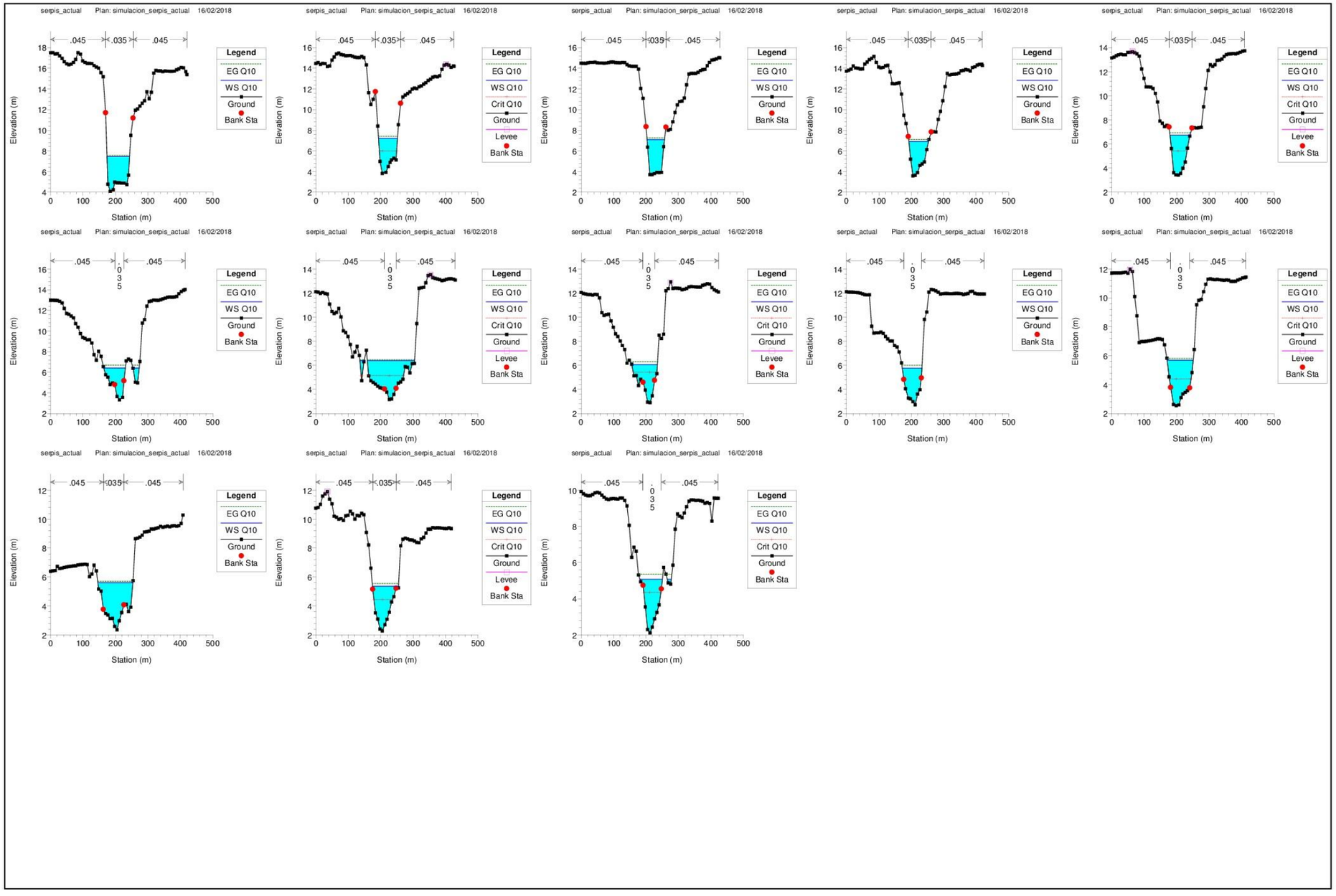
| T= 10 AÑOS | | | | | | | | | | | | |
|---|---|---|---|---|---|---|---|---|---|---|---|---|
| Reach | River Sta | Profile | Q Total (m3/s) | Min Ch El (m) | W.S. Elev (m) | Crit W.S. (m) | E.G. Elev (m) | E.G. Slope (m/m) | Vel Chnl (m/s) | Flow Area (m2) | Top Width (m) | Froude # Chl |
| Actual | 2478.97 | Q10 | 262.73 | 8.09 | 10.51 | 9.83 | 10.82 | 0.003133 | 2.46 | 106.75 | 55.34 | 0.57 |
| Actual | 2411.15 | Q10 | 262.73 | 7.94 | 10.13 | | 10.56 | 0.00537 | 2.91 | 90.33 | 54.55 | 0.72 |
| Actual | 2351.89 | Q10 | 262.73 | 7.83 | 9.77 | 9.41 | 10.16 | 0.00518 | 2.77 | 94.98 | 60.38 | 0.7 |
| Actual | 2341.7 | | Bridge | | | | | | | | | |
| Actual | 2331.62 | Q10 | 262.73 | 7.63 | 9.71 | | 9.94 | 0.002626 | 2.11 | 124.51 | 71.45 | 0.51 |
| Actual | 2288.25 | Q10 | 262.73 | 7.3 | 9.43 | 9 | 9.7 | 0.004066 | 2.31 | 113.8 | 79.23 | 0.62 |
| Actual | 2283.7 | | Bridge | | | | | | | | | |
| Actual | 2279.23 | Q10 | 262.73 | 7.1 | 9.42 | | 9.63 | 0.003073 | 2.03 | 129.26 | 88.05 | 0.54 |
| Actual | 2148.27 | Q10 | 262.73 | 6.44 | 8.92 | | 9.04 | 0.001336 | 1.57 | 167.05 | 89.63 | 0.37 |
| Actual | 2041.9 | Q10 | 262.73 | 5.76 | 8.46 | | 8.76 | 0.003068 | 2.41 | 108.94 | 57.2 | 0.56 |
| Actual | 1942.18 | Q10 | 262.73 | 5.3 | 8.28 | | 8.47 | 0.001892 | 1.89 | 138.87 | 72.56 | 0.44 |
| Actual | 1827.5 | Q10 | 262.73 | 4.73 | 8.15 | | 8.29 | 0.000977 | 1.68 | 156.16 | 59.12 | 0.33 |
| Actual | 1718.61 | Q10 | 262.73 | 4.52 | 7.84 | | 8.11 | 0.002567 | 2.33 | 112.71 | 54.11 | 0.52 |
| Actual | 1611.2 | Q10 | 262.73 | 4.3 | 7.67 | 6.56 | 7.85 | 0.001498 | 1.9 | 138.3 | 60.4 | 0.4 |
| Actual | 1513.03 | Q10 | 262.73 | 4.17 | 7.57 | | 7.7 | 0.000995 | 1.62 | 162.14 | 66.6 | 0.33 |
| Actual | 1472.79 | Q10 | 262.73 | 4.12 | 7.49 | 5.9 | 7.61 | 0.000835 | 1.56 | 168.95 | 64.15 | 0.31 |
| Actual | 1448 | | Bridge | | | | | | | | | |
| Actual | 1423.97 | Q10 | 262.73 | 4.09 | 7.45 | | 7.56 | 0.000765 | 1.46 | 179.7 | 69.68 | 0.29 |
| Actual | 1288.96 | Q10 | 262.73 | 3.82 | 7.22 | 6 | 7.4 | 0.001357 | 1.87 | 140.77 | 58.48 | 0.38 |
| Actual | 1181.55 | Q10 | 262.73 | 3.7 | 7.1 | | 7.27 | 0.001101 | 1.81 | 145.07 | 53.81 | 0.35 |
| Actual | 1074.13 | Q10 | 262.73 | 3.59 | 6.9 | | 7.12 | 0.001884 | 2.04 | 128.93 | 60.57 | 0.45 |
| Actual | 966.72 | Q10 | 262.73 | 3.42 | 6.75 | 5.42 | 6.92 | 0.001422 | 1.86 | 141.46 | 61.88 | 0.39 |
| Actual | 859.31 | Q10 | 262.73 | 3.32 | 6.4 | | 6.69 | 0.002446 | 2.66 | 132.79 | 86.06 | 0.52 |
| Actual | 751.89 | Q10 | 262.73 | 3.17 | 6.39 | 5.14 | 6.46 | 0.000594 | 1.39 | 273.59 | 159.32 | 0.26 |
| Actual | 644.48 | Q10 | 262.73 | 2.91 | 6.05 | 5.42 | 6.31 | 0.00221 | 2.44 | 133.5 | 79.06 | 0.5 |
| Actual | 537.07 | Q10 | 262.73 | 2.73 | 5.77 | | 6 | 0.001942 | 2.14 | 124.61 | 60.82 | 0.46 |
| Actual | 432.08 | Q10 | 262.73 | 2.55 | 5.68 | 4.39 | 5.81 | 0.000939 | 1.64 | 173.23 | 80.74 | 0.33 |
| Actual | 322.24 | Q10 | 262.73 | 2.35 | 5.61 | | 5.7 | 0.000769 | 1.43 | 209.57 | 107.86 | 0.29 |
| Actual | 214.83 | Q10 | 262.73 | 2.28 | 5.37 | 4.44 | 5.56 | 0.001986 | 1.93 | 136.74 | 80.35 | 0.45 |
| Actual | 123.32 | Q10 | 262.73 | 2.1 | 5.08 | 4.35 | 5.36 | 0.002684 | 2.33 | 117.11 | 81.58 | 0.53 |

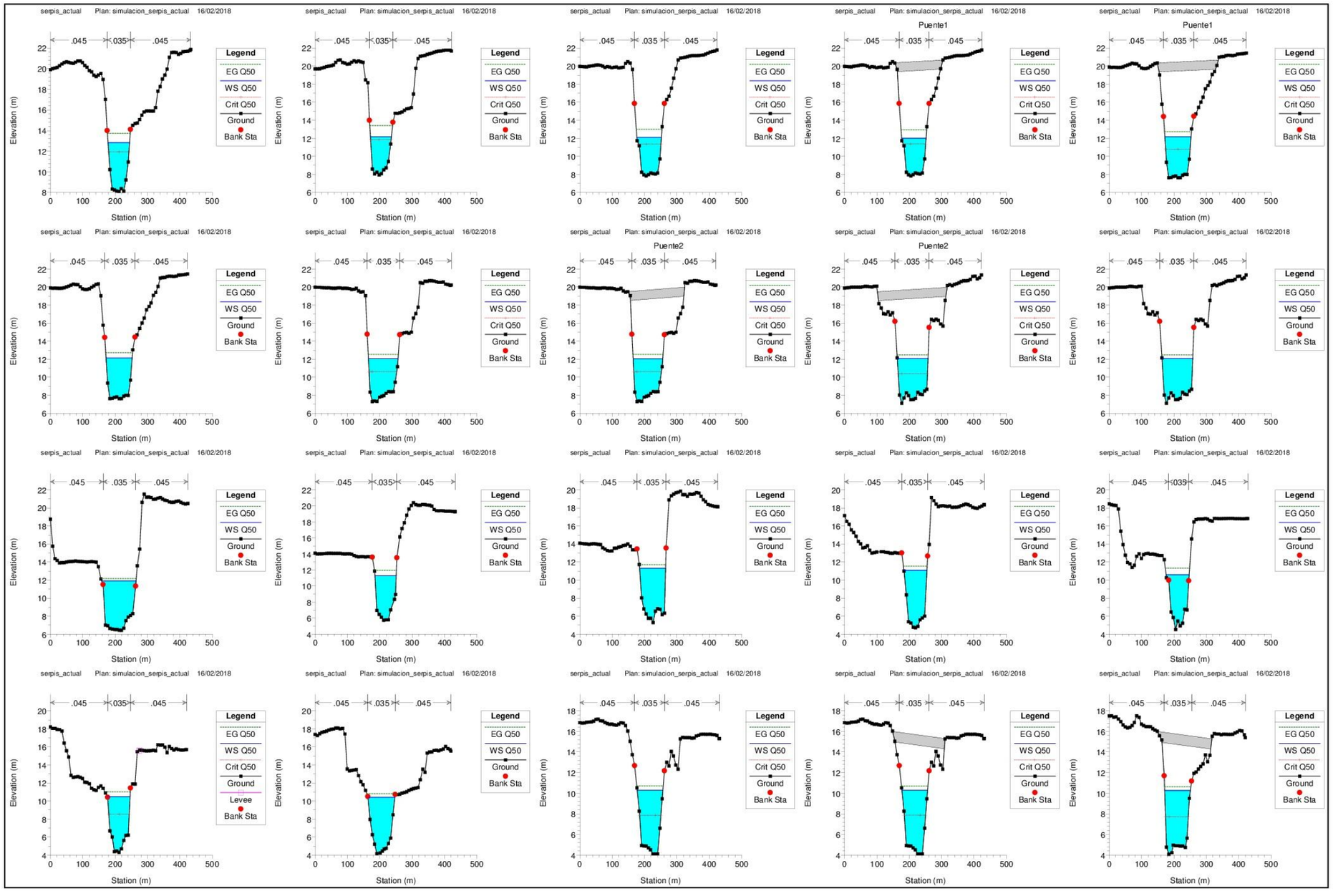
| T= 50 AÑOS | | | | | | | | | | | | |
|---|---|---|---|---|---|---|---|---|---|---|---|---|
| Reach | River Sta | Profile | Q Total (m3/s) | Min Ch El (m) | W.S. Elev (m) | Crit W.S. (m) | E.G. Elev (m) | E.G. Slope (m/m) | Vel Chnl (m/s) | Flow Area (m2) | Top Width (m) | Froude # Chl |
| Actual | 2478.97 | Q50 | 1043.2 | 8.09 | 12.84 | 11.92 | 13.73 | 0.0038 | 4.19 | 249.15 | 66.44 | 0.69 |
| Actual | 2411.15 | Q50 | 1043.2 | 7.94 | 12.16 | 11.84 | 13.4 | 0.006311 | 4.93 | 211.65 | 64.65 | 0.87 |
| Actual | 2351.89 | Q50 | 1043.2 | 7.83 | 12.1 | 11.36 | 12.98 | 0.004399 | 4.15 | 251.42 | 76.15 | 0.73 |
| Actual | 2341.7 | | Bridge | | | | | | | | | |
| Actual | 2331.62 | Q50 | 1043.2 | 7.63 | 12.14 | | 12.72 | 0.002386 | 3.37 | 309.68 | 80.89 | 0.55 |
| Actual | 2288.25 | Q50 | 1043.2 | 7.3 | 12.05 | 10.62 | 12.53 | 0.002069 | 3.07 | 339.7 | 91.69 | 0.51 |
| Actual | 2283.7 | | Bridge | | | | | | | | | |
| Actual | 2279.23 | Q50 | 1043.2 | 7.1 | 12.07 | | 12.47 | 0.001619 | 2.8 | 372.53 | 95.33 | 0.45 |
| Actual | 2148.27 | Q50 | 1043.2 | 6.44 | 11.92 | | 12.18 | 0.000881 | 2.29 | 456.55 | 106.69 | 0.34 |
| Actual | 2041.9 | Q50 | 1043.2 | 5.76 | 11.3 | | 11.98 | 0.002429 | 3.65 | 286 | 65.89 | 0.56 |
| Actual | 1942.18 | Q50 | 1043.2 | 5.3 | 11.31 | | 11.71 | 0.001348 | 2.82 | 370.4 | 80.55 | 0.42 |
| Actual | 1827.5 | Q50 | 1043.2 | 4.73 | 11.09 | | 11.55 | 0.001402 | 3 | 347.56 | 71.23 | 0.43 |
| Actual | 1718.61 | Q50 | 1043.2 | 4.52 | 10.6 | | 11.33 | 0.002501 | 3.78 | 279.22 | 71.3 | 0.57 |
| Actual | 1611.2 | Q50 | 1043.2 | 4.3 | 10.48 | 8.53 | 11.02 | 0.001765 | 3.25 | 320.94 | 70.37 | 0.48 |
| Actual | 1513.03 | Q50 | 1043.2 | 4.17 | 10.42 | | 10.81 | 0.001297 | 2.77 | 376.62 | 83.69 | 0.42 |
| Actual | 1472.79 | Q50 | 1043.2 | 4.12 | 10.3 | 7.86 | 10.71 | 0.001294 | 2.82 | 370.11 | 79.27 | 0.42 |
| Actual | 1448 | | Bridge | | | | | | | | | |
| Actual | 1423.97 | Q50 | 1043.2 | 4.09 | 10.26 | | 10.63 | 0.00114 | 2.69 | 387.2 | 79.49 | 0.39 |
| Actual | 1288.96 | Q50 | 1043.2 | 3.82 | 9.77 | 8.04 | 10.37 | 0.002139 | 3.43 | 304.5 | 70.74 | 0.53 |
| Actual | 1181.55 | Q50 | 1043.2 | 3.7 | 9.53 | | 10.13 | 0.001947 | 3.49 | 321.81 | 92.08 | 0.51 |
| Actual | 1074.13 | Q50 | 1043.2 | 3.59 | 9.34 | | 9.9 | 0.002099 | 3.38 | 335.5 | 107.65 | 0.53 |
| Actual | 966.72 | Q50 | 1043.2 | 3.42 | 9.25 | 7.78 | 9.64 | 0.001419 | 2.9 | 427.82 | 141.11 | 0.44 |
| Actual | 859.31 | Q50 | 1043.2 | 3.32 | 9.08 | | 9.45 | 0.00158 | 3.42 | 476.5 | 157.89 | 0.47 |
| Actual | 751.89 | Q50 | 1043.2 | 3.17 | 9.15 | 6.54 | 9.26 | 0.000477 | 1.96 | 817.45 | 227.21 | 0.27 |
| Actual | 644.48 | Q50 | 1043.2 | 2.91 | 8.61 | 7.3 | 9.11 | 0.002012 | 3.74 | 410.01 | 148.53 | 0.53 |
| Actual | 537.07 | Q50 | 1043.2 | 2.73 | 8.02 | | 8.81 | 0.002714 | 4.04 | 290.02 | 95.49 | 0.61 |
| Actual | 432.08 | Q50 | 1043.2 | 2.55 | 8.11 | 6.22 | 8.47 | 0.001185 | 2.87 | 479.91 | 178.15 | 0.41 |
| Actual | 322.24 | Q50 | 1043.2 | 2.35 | 8.13 | | 8.29 | 0.000655 | 2.12 | 708.45 | 260.26 | 0.3 |
| Actual | 214.83 | Q50 | 1043.2 | 2.28 | 7.5 | 6.28 | 8.08 | 0.002285 | 3.44 | 322.75 | 94.18 | 0.55 |
| Actual | 123.32 | Q50 | 1043.2 | 2.1 | 7.15 | 6.38 | 7.76 | 0.002684 | 3.75 | 348.78 | 135.32 | 0.59 |

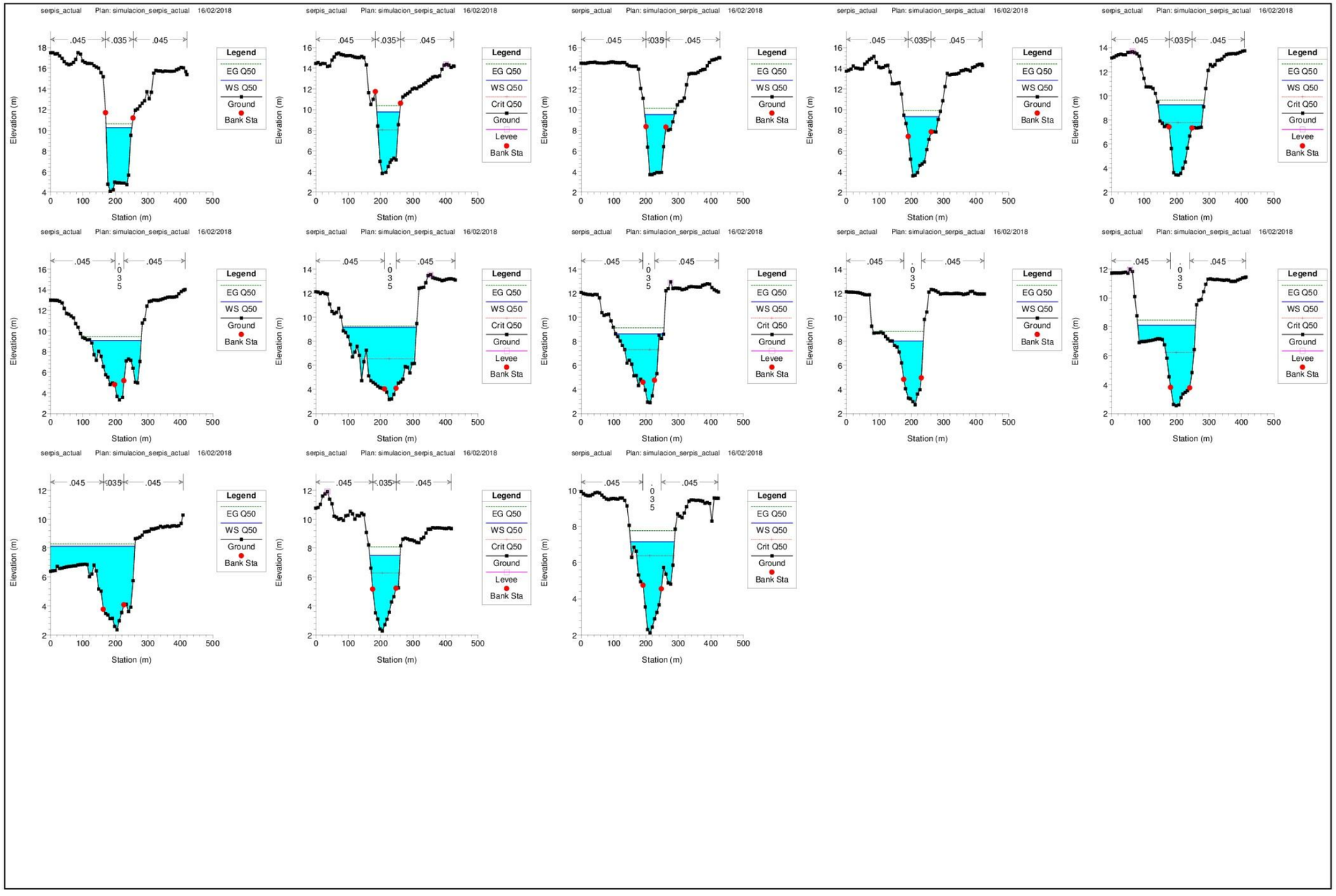
| T= 100 AÑOS | | | | | | | | | | | | |
|---|---|---|---|---|---|---|---|---|---|---|---|---|
| Reach | River Sta | Profile | Q Total (m3/s) | Min Ch El (m) | W.S. Elev (m) | Crit W.S. (m) | E.G. Elev (m) | E.G. Slope (m/m) | Vel Chnl (m/s) | Flow Area (m2) | Top Width (m) | Froude # Chl |
| Actual | 2478.97 | Q100 | 1779.9 | 8.09 | 14.35 | 13.31 | 15.64 | 0.003811 | 5.02 | 355.22 | 76.8 | 0.72 |
| Actual | 2411.15 | Q100 | 1779.9 | 7.94 | 13.75 | | 15.33 | 0.005387 | 5.56 | 319.97 | 71.86 | 0.84 |
| Actual | 2351.89 | Q100 | 1779.9 | 7.83 | 13.86 | 12.64 | 14.92 | 0.003327 | 4.54 | 391.88 | 83.37 | 0.67 |
| Actual | 2341.7 | | Bridge | | | | | | | | | |
| Actual | 2331.62 | Q100 | 1779.9 | 7.63 | 13.95 | | 14.7 | 0.002118 | 3.84 | 463.85 | 90.57 | 0.54 |
| Actual | 2288.25 | Q100 | 1779.9 | 7.3 | 13.94 | 11.69 | 14.54 | 0.001627 | 3.43 | 518.64 | 98.05 | 0.48 |
| Actual | 2283.7 | | Bridge | | | | | | | | | |
| Actual | 2279.23 | Q100 | 1779.9 | 7.1 | 13.96 | | 14.48 | 0.001338 | 3.19 | 557.65 | 100.57 | 0.43 |
| Actual | 2148.27 | Q100 | 1779.9 | 6.44 | 13.87 | | 14.24 | 0.000757 | 2.7 | 682.92 | 126.76 | 0.34 |
| Actual | 2041.9 | Q100 | 1779.9 | 5.76 | 13.05 | | 14.03 | 0.002537 | 4.37 | 407.01 | 72.99 | 0.59 |
| Actual | 1942.18 | Q100 | 1779.9 | 5.3 | 13.13 | | 13.72 | 0.001414 | 3.4 | 524.14 | 88.43 | 0.45 |
| Actual | 1827.5 | Q100 | 1779.9 | 4.73 | 12.8 | | 13.51 | 0.001656 | 3.73 | 476.99 | 79.97 | 0.49 |
| Actual | 1718.61 | Q100 | 1779.9 | 4.52 | 12.19 | | 13.26 | 0.002519 | 4.65 | 411.41 | 106.91 | 0.6 |
| Actual | 1611.2 | Q100 | 1779.9 | 4.3 | 12.12 | 9.87 | 12.92 | 0.001828 | 4 | 488.16 | 156.57 | 0.51 |
| Actual | 1513.03 | Q100 | 1779.9 | 4.17 | 12.15 | | 12.67 | 0.00119 | 3.27 | 615.84 | 182.01 | 0.42 |
| Actual | 1472.79 | Q100 | 1779.9 | 4.12 | 11.93 | 9.19 | 12.56 | 0.001545 | 3.51 | 506.6 | 88.8 | 0.47 |
| Actual | 1448 | | Bridge | | | | | | | | | |
| Actual | 1423.97 | Q100 | 1779.9 | 4.09 | 11.87 | | 12.47 | 0.001352 | 3.41 | 523.51 | 91.78 | 0.44 |
| Actual | 1288.96 | Q100 | 1779.9 | 3.82 | 11.14 | 9.44 | 12.11 | 0.002653 | 4.38 | 411.58 | 94.97 | 0.61 |
| Actual | 1181.55 | Q100 | 1779.9 | 3.7 | 10.86 | | 11.82 | 0.0023 | 4.48 | 457.18 | 120.32 | 0.58 |
| Actual | 1074.13 | Q100 | 1779.9 | 3.59 | 10.73 | | 11.52 | 0.002111 | 4.1 | 497.03 | 123.68 | 0.55 |
| Actual | 966.72 | Q100 | 1779.9 | 3.42 | 10.72 | 8.89 | 11.23 | 0.001369 | 3.44 | 649.74 | 169.53 | 0.45 |
| Actual | 859.31 | Q100 | 1779.9 | 3.32 | 10.62 | | 11.03 | 0.00138 | 3.79 | 765.99 | 203.03 | 0.46 |
| Actual | 751.89 | Q100 | 1779.9 | 3.17 | 10.71 | 7.2 | 10.85 | 0.000463 | 2.28 | 1188.97 | 266.65 | 0.27 |
| Actual | 644.48 | Q100 | 1779.9 | 2.91 | 10.16 | 8.4 | 10.71 | 0.001681 | 4.09 | 659.1 | 173.7 | 0.51 |
| Actual | 537.07 | Q100 | 1779.9 | 2.73 | 9.3 | 8.51 | 10.41 | 0.002936 | 4.96 | 462.5 | 161.77 | 0.66 |
| Actual | 432.08 | Q100 | 1779.9 | 2.55 | 9.59 | 7.82 | 10 | 0.001079 | 3.26 | 751.16 | 189.86 | 0.41 |
| Actual | 322.24 | Q100 | 1779.9 | 2.35 | 9.64 | | 9.84 | 0.000625 | 2.48 | 1151.46 | 399.89 | 0.31 |
| Actual | 214.83 | Q100 | 1779.9 | 2.28 | 8.57 | 7.43 | 9.58 | 0.002938 | 4.56 | 431.42 | 140.04 | 0.65 |
| Actual | 123.32 | Q100 | 1779.9 | 2.1 | 8.35 | 7.47 | 9.16 | 0.002683 | 4.45 | 517.46 | 148.26 | 0.62 |

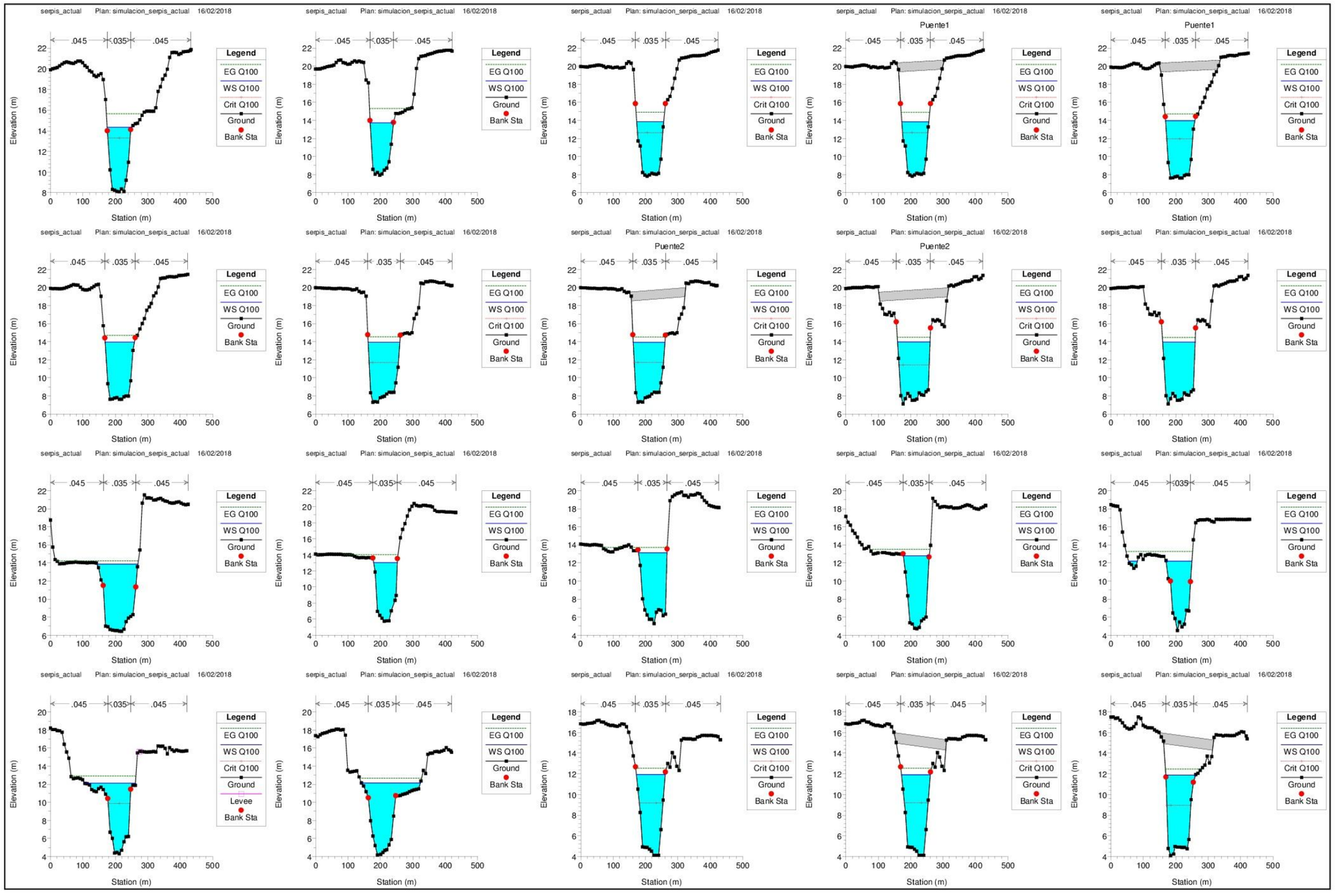
| T= 500 AÑOS | | | | | | | | | | | | |
|---|---|---|---|---|---|---|---|---|---|---|---|---|
| Reach | River Sta | Profile | Q Total (m3/s) | Min Ch El (m) | W.S. Elev (m) | Crit W.S. (m) | E.G. Elev (m) | E.G. Slope (m/m) | Vel Chnl (m/s) | Flow Area (m2) | Top Width (m) | Froude # Chl |
| Actual | 2478.97 | Q500 | 3878 | 8.09 | 17.68 | 16.71 | 19.3 | 0.002648 | 5.9 | 791.9 | 164.29 | 0.66 |
| Actual | 2411.15 | Q500 | 3878 | 7.94 | 17.21 | 16.43 | 19.09 | 0.00322 | 6.29 | 712.68 | 140.89 | 0.72 |
| Actual | 2351.89 | Q500 | 3878 | 7.83 | 16.62 | 15.3 | 18.5 | 0.0036 | 6.07 | 643.32 | 107.27 | 0.74 |
| Actual | 2341.7 | | Bridge | | | | | | | | | |
| Actual | 2331.62 | Q500 | 3878 | 7.63 | 16.8 | | 18.17 | 0.00225 | 5.22 | 779.53 | 131.33 | 0.6 |
| Actual | 2288.25 | Q500 | 3878 | 7.3 | 16.86 | 14.06 | 17.94 | 0.001713 | 4.65 | 892.28 | 150.07 | 0.52 |
| Actual | 2283.7 | | Bridge | | | | | | | | | |
| Actual | 2279.23 | Q500 | 3878 | 7.1 | 16.87 | | 17.89 | 0.001606 | 4.48 | 894.58 | 156.53 | 0.5 |
| Actual | 2148.27 | Q500 | 3878 | 6.44 | 16.94 | | 17.44 | 0.00071 | 3.38 | 1475.54 | 273.56 | 0.35 |
| Actual | 2041.9 | Q500 | 3878 | 5.76 | 16.2 | | 17.26 | 0.001865 | 4.97 | 1059.43 | 261.91 | 0.54 |
| Actual | 1942.18 | Q500 | 3878 | 5.3 | 16.31 | | 17.01 | 0.001126 | 4 | 1272.74 | 271.4 | 0.43 |
| Actual | 1827.5 | Q500 | 3878 | 4.73 | 15.88 | | 16.8 | 0.001445 | 4.57 | 1109.34 | 246.52 | 0.49 |
| Actual | 1718.61 | Q500 | 3878 | 4.52 | 15.63 | | 16.65 | 0.00161 | 5.02 | 1084.28 | 223.7 | 0.52 |
| Actual | 1611.2 | Q500 | 3878 | 4.3 | 15.6 | 13.46 | 16.41 | 0.001228 | 4.42 | 1186.14 | 224.99 | 0.45 |
| Actual | 1513.03 | Q500 | 3878 | 4.17 | 15.6 | | 16.19 | 0.000862 | 3.75 | 1403.99 | 280.81 | 0.39 |
| Actual | 1472.79 | Q500 | 3878 | 4.12 | 14.92 | 12.01 | 16.06 | 0.001697 | 4.8 | 883.4 | 153.85 | 0.53 |
| Actual | 1448 | | Bridge | | | | | | | | | |
| Actual | 1423.97 | Q500 | 3878 | 4.09 | 14.69 | | 15.84 | 0.001665 | 4.87 | 887.36 | 151.26 | 0.52 |
| Actual | 1288.96 | Q500 | 3878 | 3.82 | 14.18 | 12.82 | 15.43 | 0.002137 | 5.27 | 949.42 | 237.83 | 0.59 |
| Actual | 1181.55 | Q500 | 3878 | 3.7 | 13.5 | | 15.1 | 0.002589 | 6.04 | 826.35 | 173.35 | 0.65 |
| Actual | 1074.13 | Q500 | 3878 | 3.59 | 13.35 | | 14.71 | 0.002314 | 5.55 | 875.37 | 174.06 | 0.62 |
| Actual | 966.72 | Q500 | 3878 | 3.42 | 13.43 | 10.61 | 14.24 | 0.001445 | 4.54 | 1230.61 | 276.23 | 0.49 |
| Actual | 859.31 | Q500 | 3878 | 3.32 | 13.23 | | 13.9 | 0.001744 | 5.28 | 1422.27 | 358.8 | 0.55 |
| Actual | 751.89 | Q500 | 3878 | 3.17 | 13.43 | 9.06 | 13.68 | 0.000596 | 3.21 | 2019.93 | 346.06 | 0.33 |
| Actual | 644.48 | Q500 | 3878 | 2.91 | 12.58 | 10.93 | 13.49 | 0.002095 | 5.63 | 1185.84 | 271.42 | 0.6 |
| Actual | 537.07 | Q500 | 3878 | 2.73 | 11.61 | | 13.13 | 0.002974 | 6.25 | 859.03 | 181.11 | 0.7 |
| Actual | 432.08 | Q500 | 3878 | 2.55 | 11.95 | 9.53 | 12.66 | 0.001358 | 4.49 | 1347.35 | 356.22 | 0.48 |
| Actual | 322.24 | Q500 | 3878 | 2.35 | 12.17 | | 12.4 | 0.000511 | 2.79 | 2185.86 | 408.55 | 0.3 |
| Actual | 214.83 | Q500 | 3878 | 2.28 | 11.1 | 10.74 | 12.2 | 0.002283 | 5.27 | 1124.72 | 368.9 | 0.61 |
| Actual | 123.32 | Q500 | 3878 | 2.1 | 10.64 | 9.36 | 11.74 | 0.002682 | 5.67 | 1195.94 | 422.37 | 0.66 |

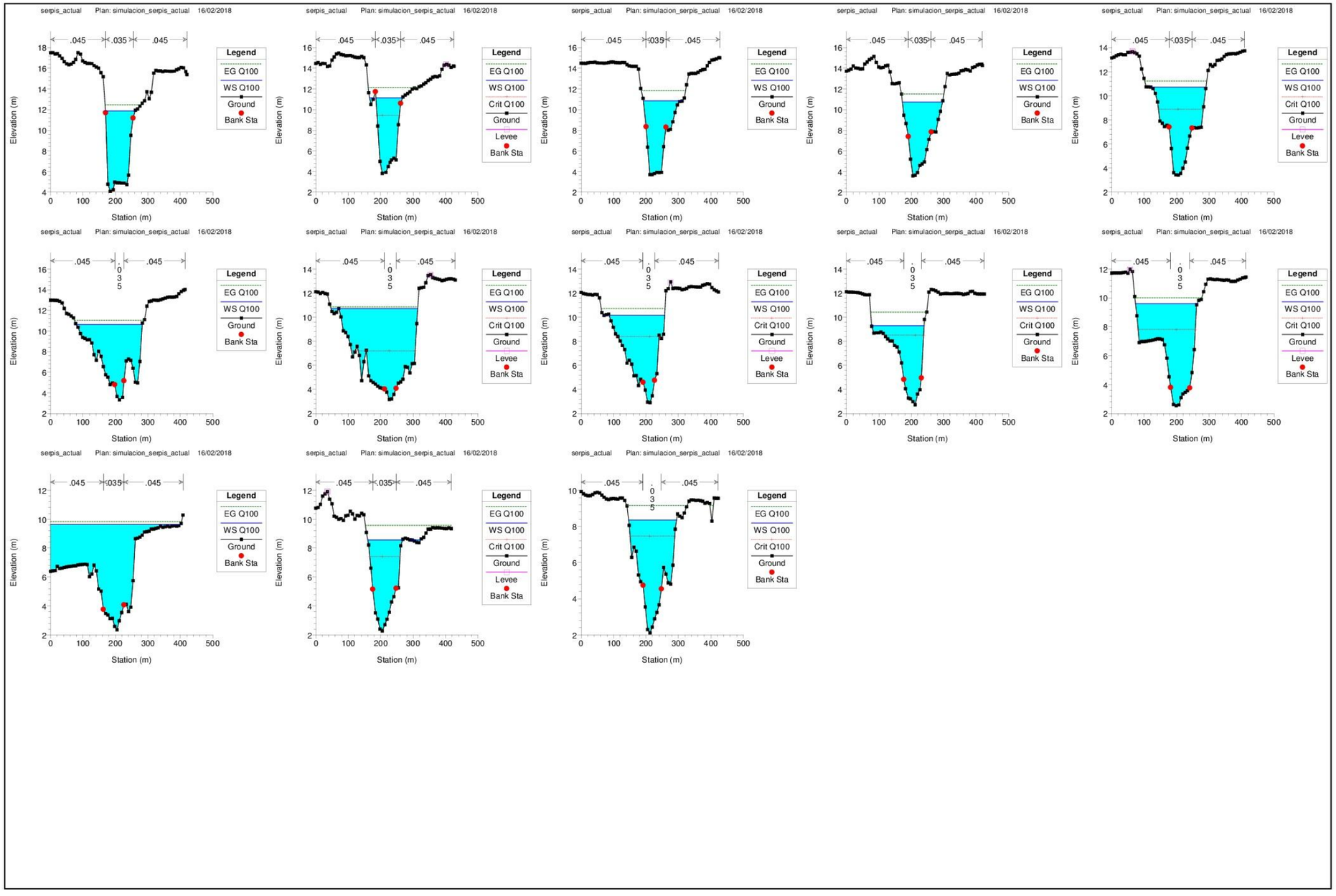

serpis_actual Plan: simulacion_serpis_actual 16/02/2018
Puente1
Puente2
.045 .035 .045
Legend
EG Q10
WS Q10
Crit Q10
Ground
Levee
Bank Sta
Elevation (m)
Station (m)

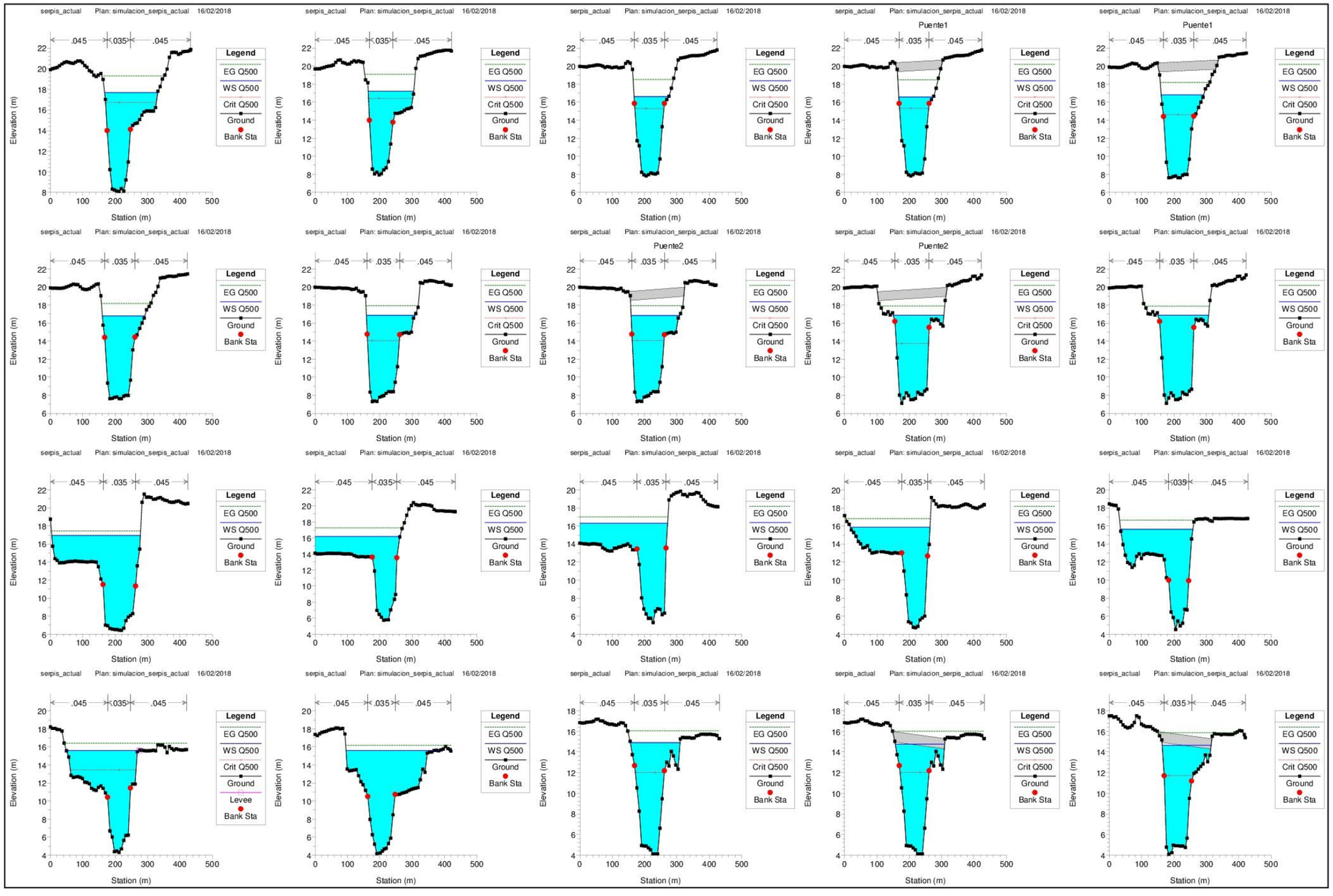

serpis_actual Plan: simulacion_serpis_actual 16/02/2018
.045
.035
.045
.035
Legend
EG Q10
WS Q10
Crit Q10
Ground
Levee
Bank Sta
Elevation (m)
Station (m)

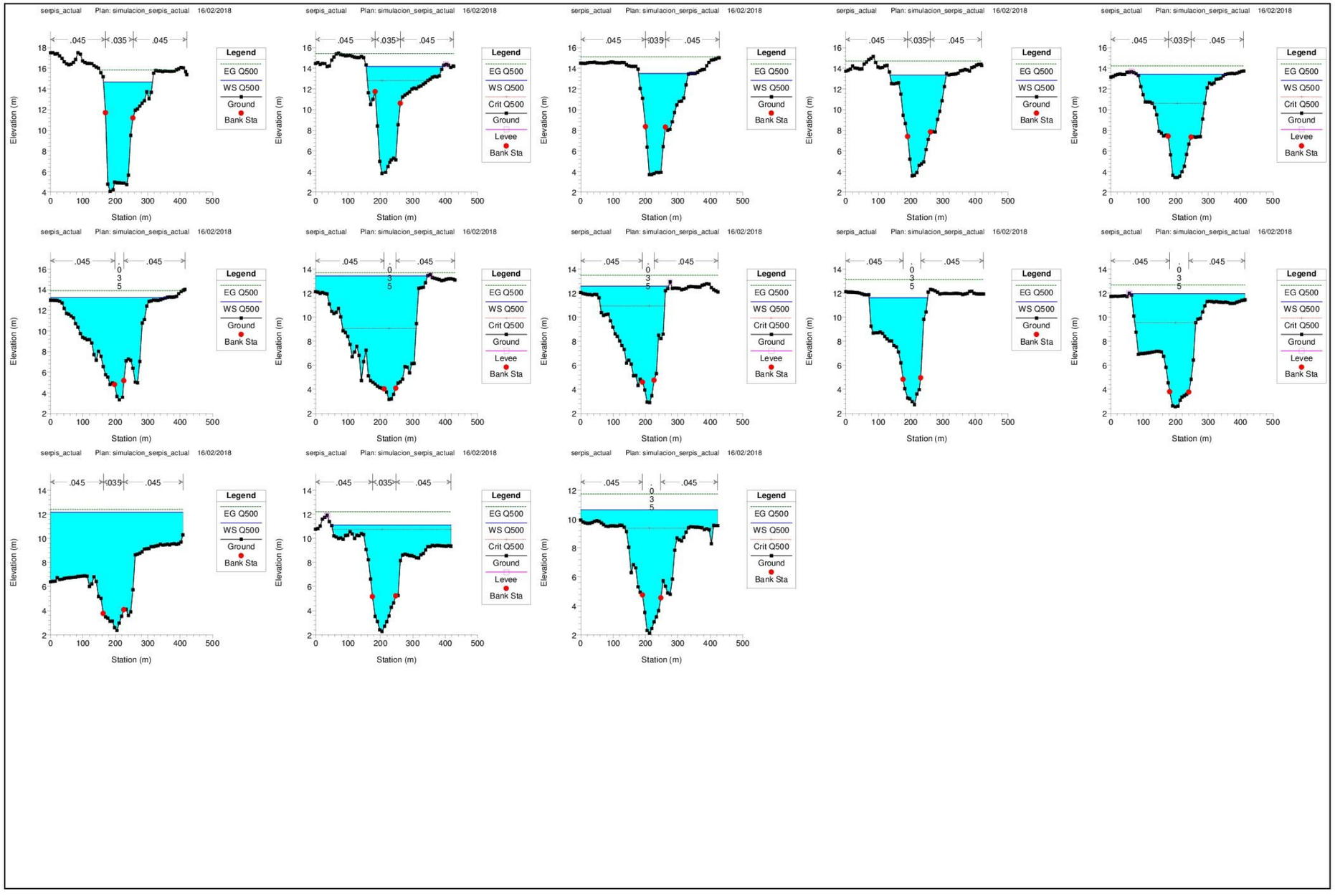

serpis_actual Plan: simulacion_serpis_actual 16/02/2018
Puente1
Puente2
.045 .035 .045
Legend
EG Q50
WS Q50
Crit Q50
Ground
Levee
Bank Sta
Elevation (m)
Station (m)

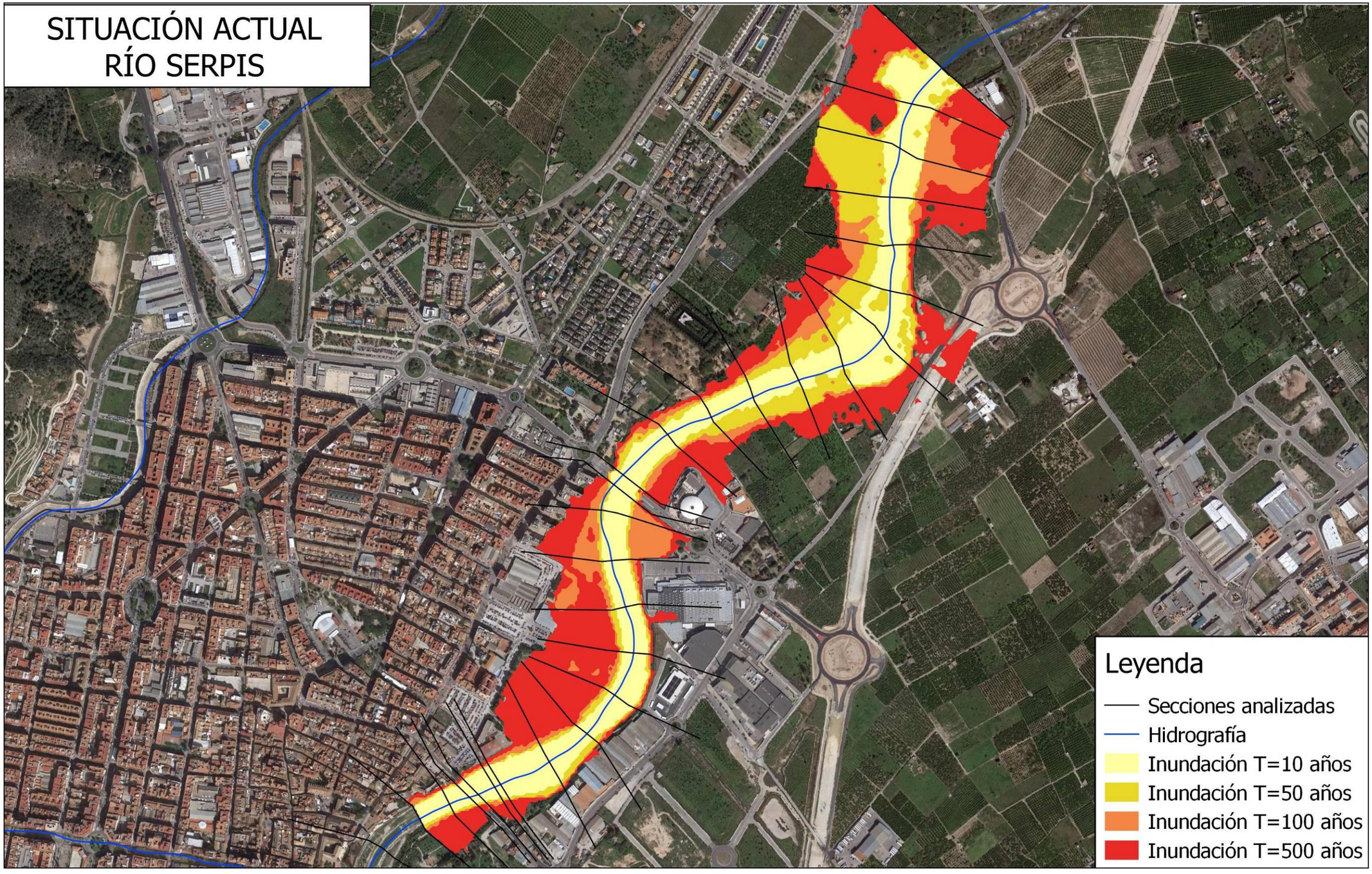

serpis_actual Plan: simulacion_serpis_actual 16/02/2018
.045
.035
.045
.035
Legend
EG Q50
WS Q50
Crit Q50
Ground
Levee
Bank Sta
Elevation (m)
Station (m)


serpis_actual Plan: simulacion_serpis_actual 16/02/2018
Puente1
Puente2
.045 .035 .045
Legend
EG Q100
WS Q100
Crit Q100
Ground
Levee
Bank Sta
Elevation (m)
Station (m)

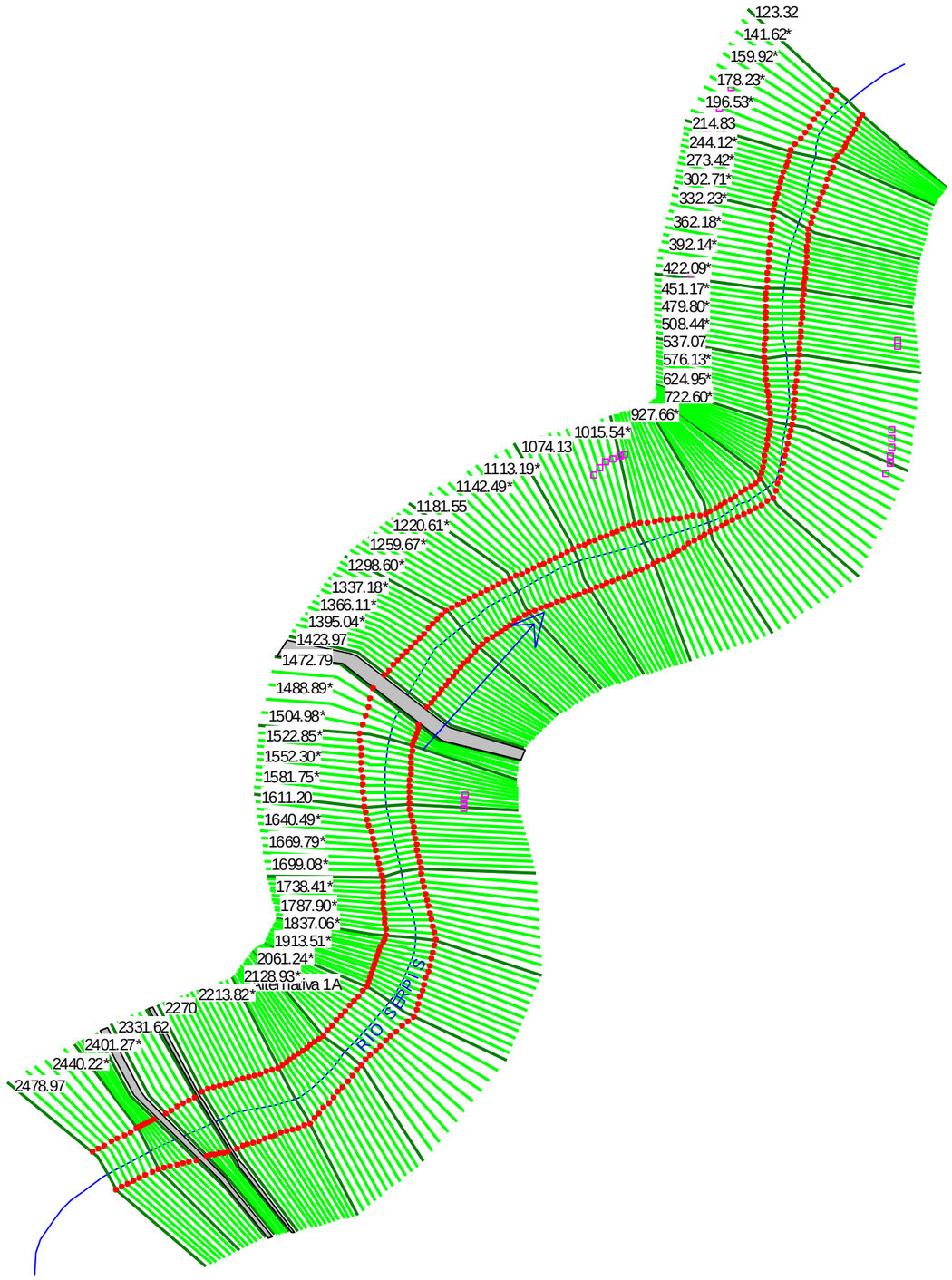

serpis_actual Plan: simulacion_serpis_actual 16/02/2018
.045
.035
.045
.035
Legend
EG Q100
WS Q100
Crit Q100
Ground
Levee
Bank Sta
Elevation (m)
Station (m)

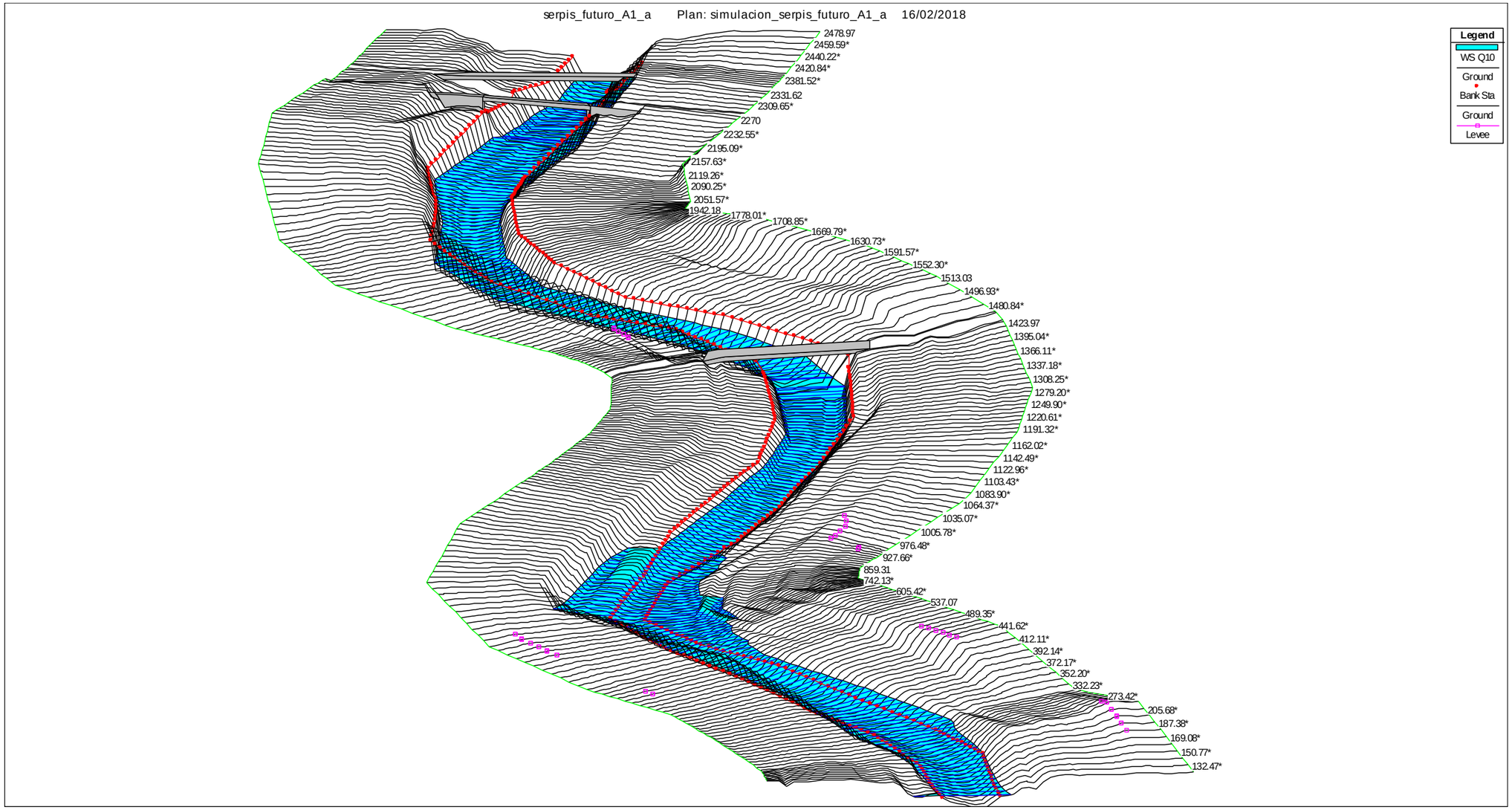

serpis_actual Plan: simulacion_serpis_actual 16/02/2018
Puente1
Puente2
.045 .035 .045
Legend
EG Q500
WS Q500
Crit Q500
Ground
Levee
Bank Sta
Elevation (m)
Station (m)

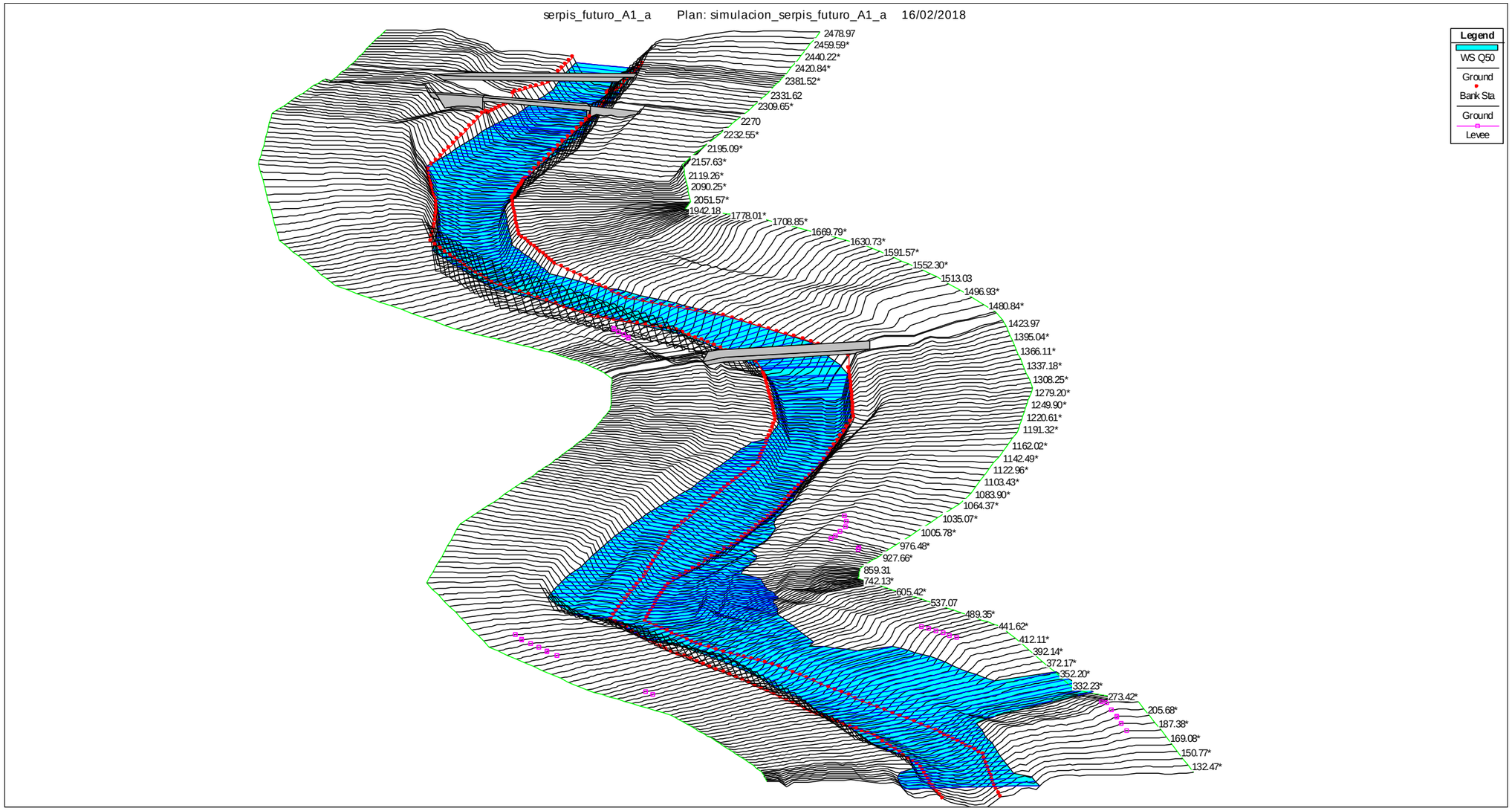

serpis_actual Plan: simulacion_serpis_actual 16/02/2018
.045
.035
.045
Legend
EG Q500
WS Q500
Crit Q500
Ground
Levee
Bank Sta
Elevation (m)
Station (m)

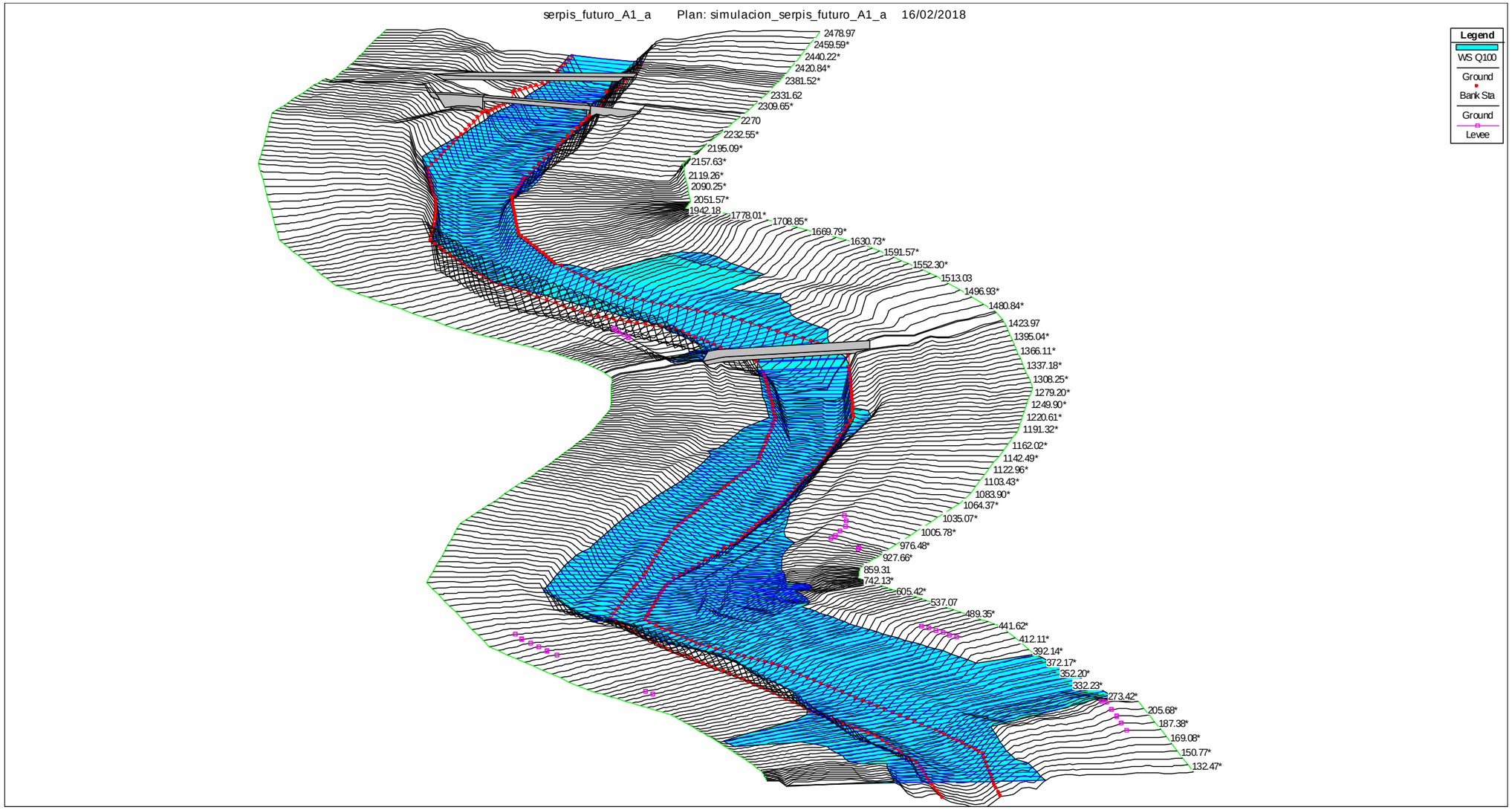

SITUACIÓN ACTUAL
RÍO SERPIS
Leyenda
Secciones analizadas
Hidrografía
Inundación T=10 años
Inundación T=50 años
Inundación T=100 años
Inundación T=500 años

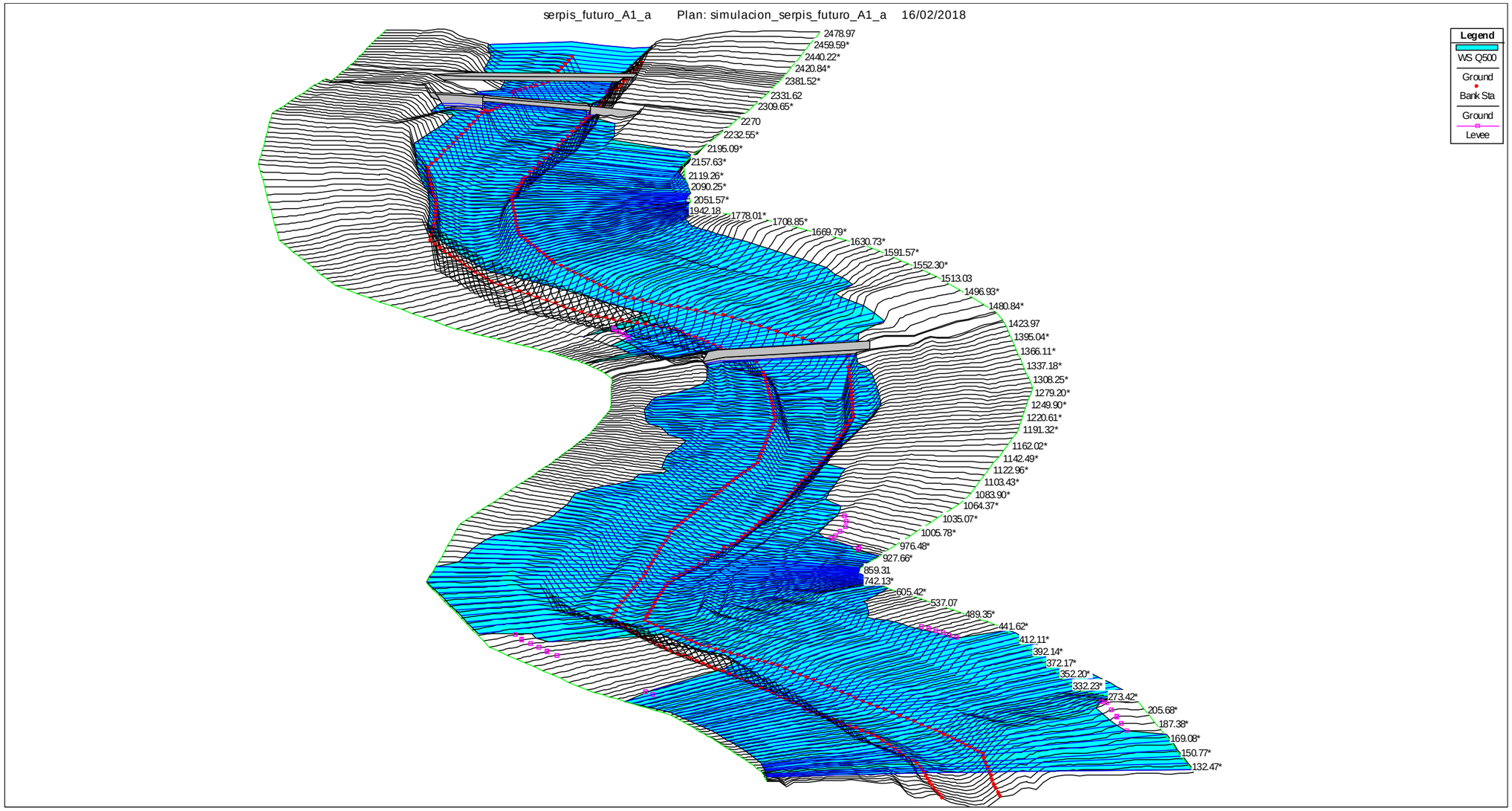
## APÉNDICE 8.1.2. RÍO SERPIS. ALTERNATIVA 1A. SITUACIÓN FUTURA

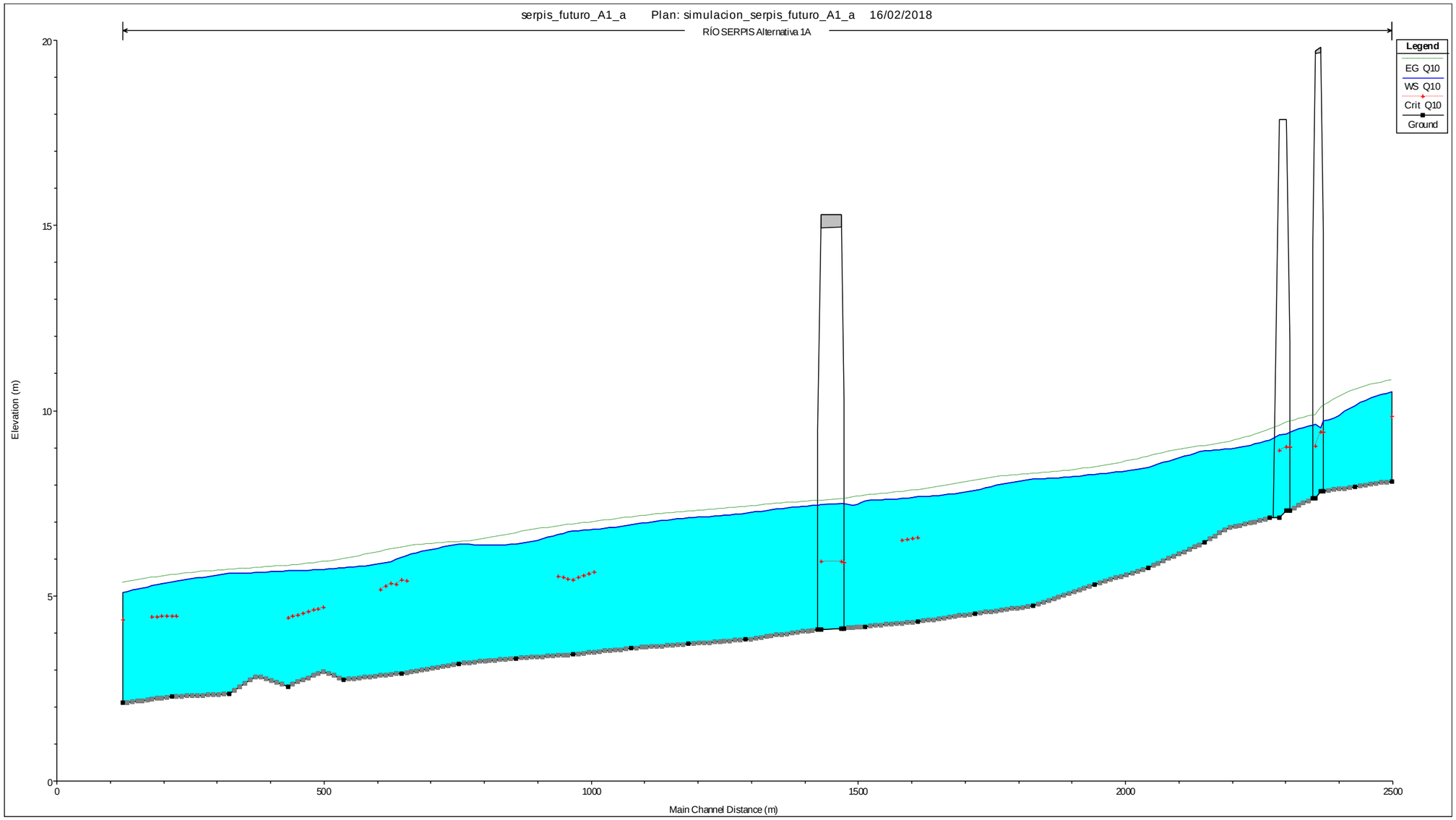

123.32
141.62*
159.92*
178.23*
196.53*
214.83
244.12*
273.42*
302.71*
332.23*
362.18*
392.14*
422.09*
451.17*
479.80*
508.44*
537.07
576.13*
624.95*
722.60*
927.66*
1015.54*
1074.13
1113.19*
1142.49*
1181.55
1220.61*
1259.67*
1298.60*
1337.18*
1366.11*
1395.04*
1423.97
1472.79
1488.89*
1504.98*
1522.85*
1552.30*
1581.75*
1611.20
1640.49*
1669.79*
1699.08*
1738.41*
1787.90*
1837.06*
1913.51*
2061.24*
2128.93*
Alternativa 1A
2213.82*
2270
2331.62
2401.27*
2440.22*
2478.97
RIO SERPIS

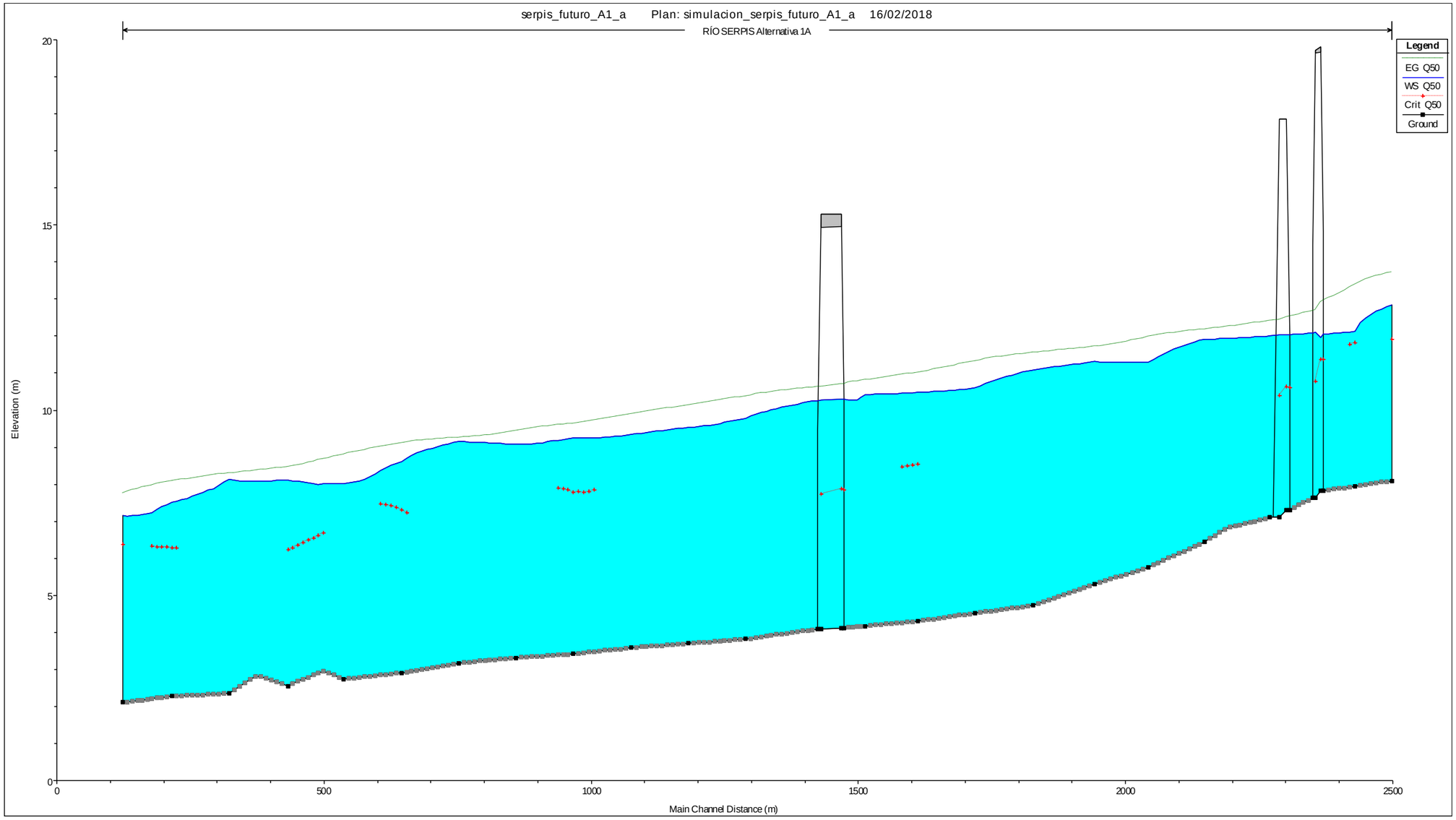

serpis_futuro_A1_a Plan: simulacion_serpis_futuro_A1_a 16/02/2018
Legend
WS Q10
Ground
Bank Sta
Ground
Levee
2478.97
2459.59*
2440.22*
2420.84*
2381.52*
2331.62
2309.65*
2270
2232.55*
2195.09*
2157.63*
2119.26*
2090.25*
2051.57*
1942.18
1778.01*
1708.85*
1669.79*
1630.73*
1591.57*
1552.30*
1513.03
1496.93*
1480.84*
1423.97
1395.04*
1366.11*
1337.18*
1308.25*
1279.20*
1249.90*
1220.61*
1191.32*
1162.02*
1142.49*
1122.96*
1103.43*
1083.90*
1064.37*
1035.07*
1005.78*
976.48*
927.66*
859.31
742.13*
605.42*
537.07
489.35*
441.62*
412.11*
392.14*
372.17*
352.20*
332.23*
273.42*
205.68*
187.38*
169.08*
150.77*
132.47*

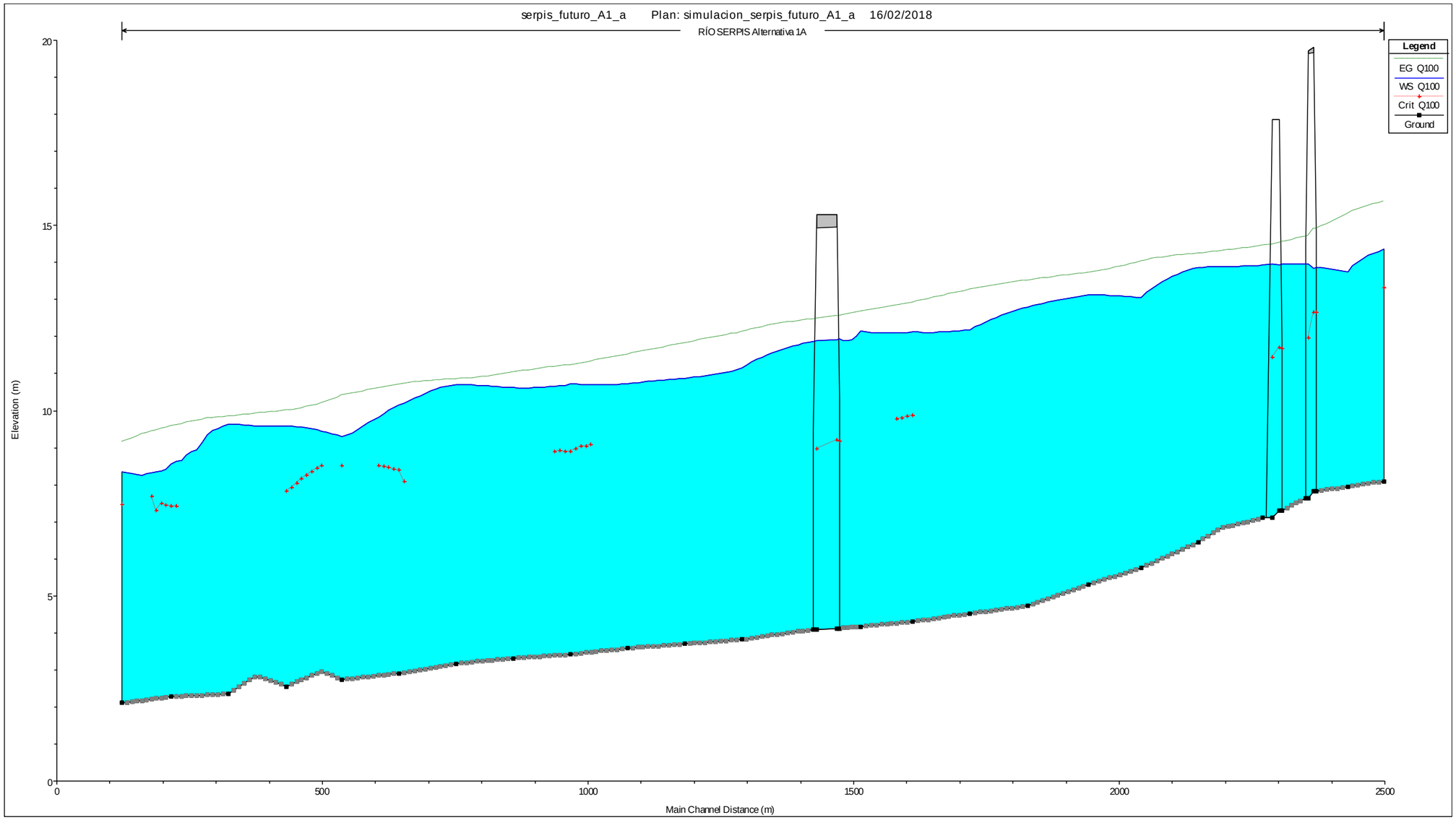

serpis_futuro_A1_a Plan: simulacion_serpis_futuro_A1_a 16/02/2018
Legend
WS Q50
Ground
Bank Sta
Ground
Levee
2478.97
2459.59*
2440.22*
2420.84*
2381.52*
2331.62
2309.65*
2270
2232.55*
2195.09*
2157.63*
2119.26*
2090.25*
2051.57*
1942.18
1778.01*
1708.85*
1669.79*
1630.73*
1591.57*
1552.30*
1513.03
1496.93*
1480.84*
1423.97
1395.04*
1366.11*
1337.18*
1308.25*
1279.20*
1249.90*
1220.61*
1191.32*
1162.02*
1142.49*
1122.96*
1103.43*
1083.90*
1064.37*
1035.07*
1005.78*
976.48*
927.66*
859.31
742.13*
605.42*
537.07
489.35*
441.62*
412.11*
392.14*
372.17*
352.20*
332.23*
273.42*
205.68*
187.38*
169.08*
150.77*
132.47*

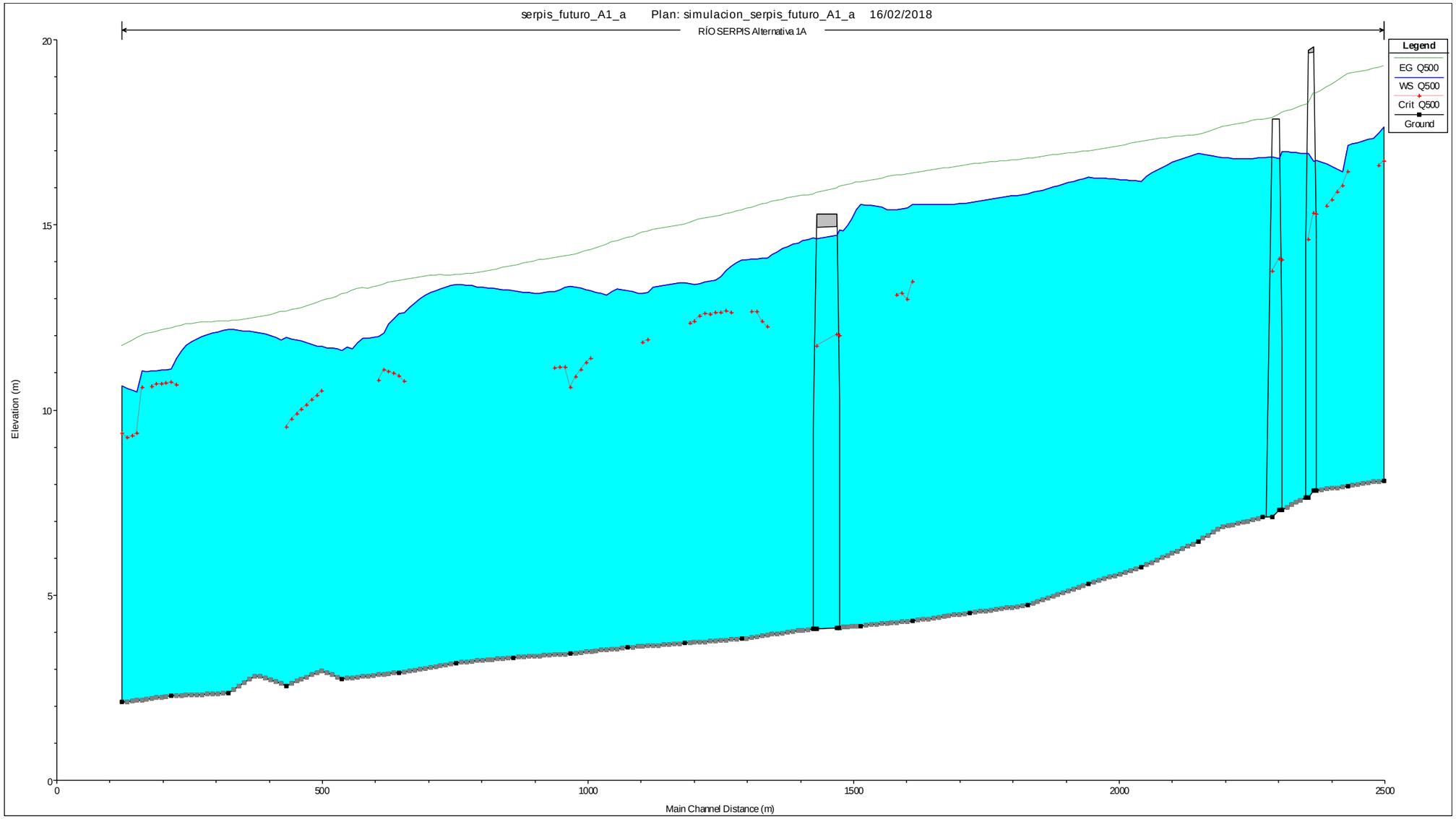

serpis_futuro_A1_a Plan: simulacion_serpis_futuro_A1_a 16/02/2018
Legend
WS Q100
Ground
Bank Sta
Ground
Levee
2478.97
2459.59*
2440.22*
2420.84*
2381.52*
2331.62
2309.65*
2270
2232.55*
2195.09*
2157.63*
2119.26*
2090.25*
2051.57*
1942.18
1778.01*
1708.85*
1669.79*
1630.73*
1591.57*
1552.30*
1513.03
1496.93*
1480.84*
1423.97
1395.04*
1366.11*
1337.18*
1308.25*
1279.20*
1249.90*
1220.61*
1191.32*
1162.02*
1142.49*
1122.96*
1103.43*
1083.90*
1064.37*
1035.07*
1005.78*
976.48*
927.66*
859.31
742.13*
605.42*
537.07
489.35*
441.62*
412.11*
392.14*
372.17*
352.20*
332.23*
273.42*
205.68*
187.38*
169.08*
150.77*
132.47*


serpis_futuro_A1_a Plan: simulacion_serpis_futuro_A1_a 16/02/2018
Legend
WS Q500
Ground
Bank Sta
Ground
Levee
2478.97
2459.59*
2440.22*
2420.84*
2381.52*
2331.62
2309.65*
2270
2232.55*
2195.09*
2157.63*
2119.26*
2090.25*
2051.57*
1942.18
1778.01*
1708.85*
1669.79*
1630.73*
1591.57*
1552.30*
1513.03
1496.93*
1480.84*
1423.97
1395.04*
1366.11*
1337.18*
1308.25*
1279.20*
1249.90*
1220.61*
1191.32*
1162.02*
1142.49*
1122.96*
1103.43*
1083.90*
1064.37*
1035.07*
1005.78*
976.48*
927.66*
859.31
742.13*
605.42*
537.07
489.35*
441.62*
412.11*
392.14*
372.17*
352.20*
332.23*
273.42*
205.68*
187.38*
169.08*
150.77*
132.47*


serpis_futuro_A1_a Plan: simulacion_serpis_futuro_A1_a 16/02/2018
RÍO SERPIS Alternativa 1A
Legend
EG Q10
WS Q10
Crit Q10
Ground
Elevation (m)
20
15
10
5
0
0
500
1000
1500
2000
2500
Main Channel Distance (m)


serpis_futuro_A1_a Plan: simulacion_serpis_futuro_A1_a 16/02/2018
RÍO SERPIS Alternativa 1A
Legend
EG Q50
WS Q50
Crit Q50
Ground
Elevation (m)
20
15
10
5
0
0
500
1000
1500
2000
2500
Main Channel Distance (m)


serpis_futuro_A1_a Plan: simulacion_serpis_futuro_A1_a 16/02/2018
RÍO SERPIS Alternativa 1A
Legend
EG Q100
WS Q100
Crit Q100
Ground
Elevation (m)
20
15
10
5
0
0
500
1000
1500
2000
2500
Main Channel Distance (m)

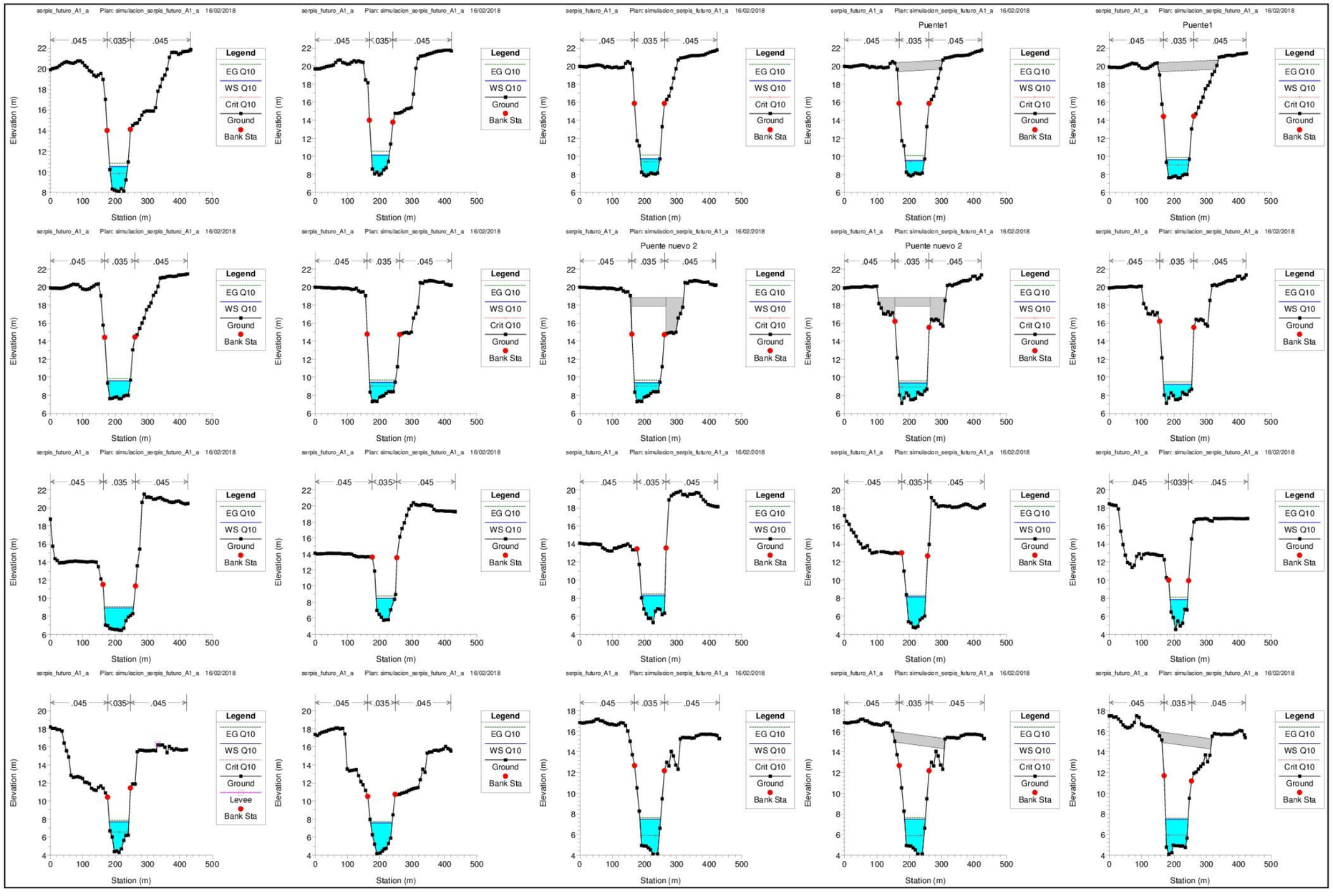

serpis_futuro_A1_a Plan: simulacion_serpis_futuro_A1_a 16/02/2018
RÍO SERPIS Alternativa 1A
Legend
EG Q500
WS Q500
Crit Q500
Ground
Elevation (m)
Main Channel Distance (m)
0
5
10
15
20
0
500
1000
1500
2000
2500

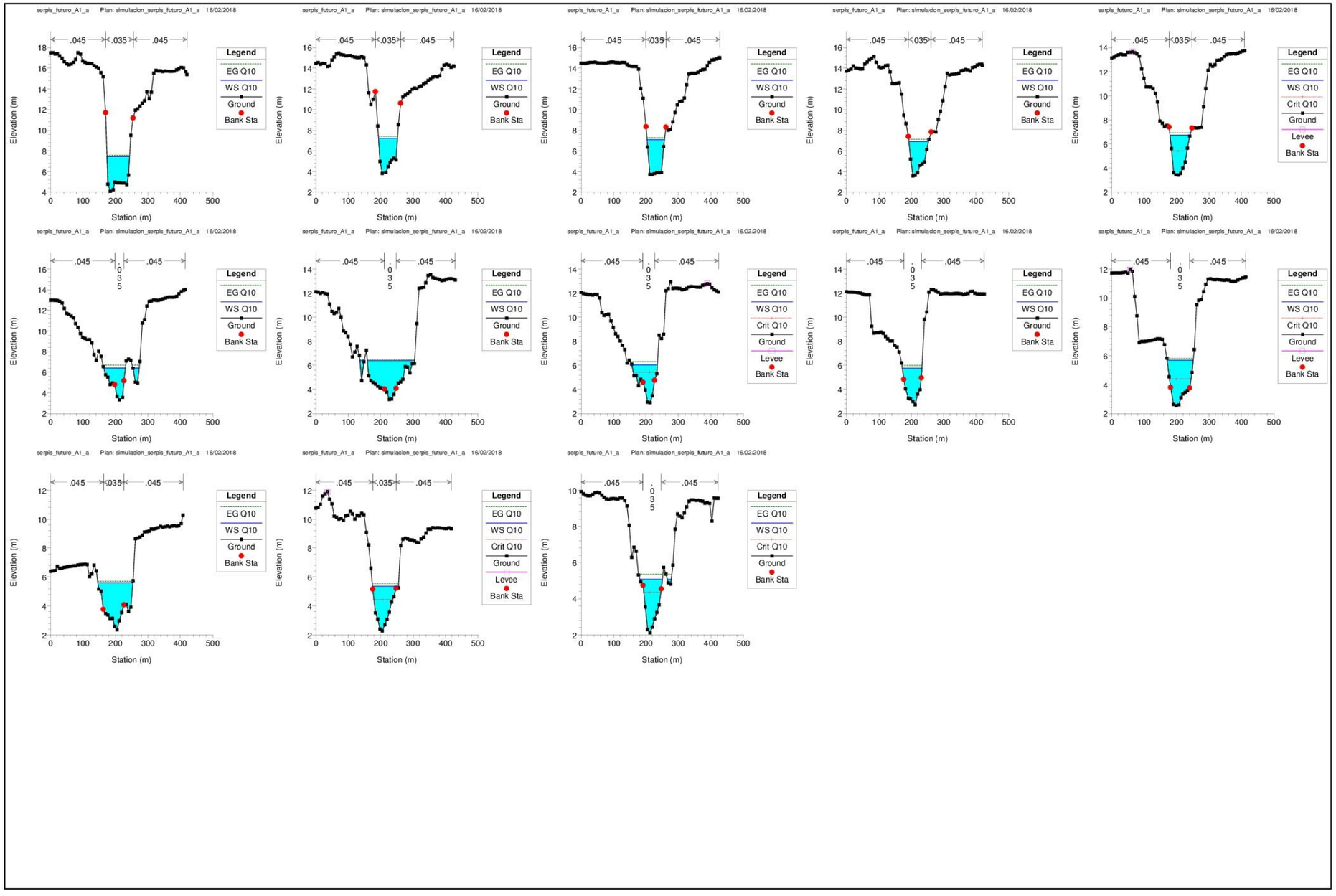
| T= 10 AÑOS | | | | | | | | | | | | |
|---|---|---|---|---|---|---|---|---|---|---|---|---|
| Reach | River Sta | Profile | Q Total (m3/s) | Min Ch El (m) | W.S. Elev (m) | Crit W.S. (m) | E.G. Elev (m) | E.G. Slope (m/m) | Vel Chnl (m/s) | Flow Area (m2) | Top Width (m) | Froude # Chl |
| FuturoA1a | 2478.97 | Q10 | 262.73 | 8.09 | 10.51 | 9.83 | 10.82 | 0.003142 | 2.46 | 106.64 | 55.33 | 0.57 |
| FuturoA1a | 2411.15 | Q10 | 262.73 | 7.94 | 10.13 | | 10.56 | 0.005425 | 2.92 | 90.03 | 54.52 | 0.73 |
| FuturoA1a | 2351.89 | Q10 | 262.73 | 7.83 | 9.73 | 9.41 | 10.14 | 0.005589 | 2.83 | 92.73 | 60.22 | 0.73 |
| FuturoA1a | 2341.7 | | Bridge | | | | | | | | | |
| FuturoA1a | 2331.62 | Q10 | 262.73 | 7.63 | 9.61 | | 9.86 | 0.003179 | 2.24 | 117.2 | 70.92 | 0.56 |
| FuturoA1a | 2288.25 | Q10 | 262.73 | 7.3 | 9.43 | 9 | 9.7 | 0.004092 | 2.31 | 113.57 | 79.21 | 0.62 |
| FuturoA1a | 2283.7 | | Bridge | | | | | | | | | |
| FuturoA1a | 2279.23 | Q10 | 262.73 | 7.1 | 9.21 | | 9.5 | 0.005065 | 2.37 | 110.91 | 87.47 | 0.67 |
| FuturoA1a | 2148.27 | Q10 | 262.73 | 6.44 | 8.92 | | 9.04 | 0.001335 | 1.57 | 167.07 | 89.63 | 0.37 |
| FuturoA1a | 2041.9 | Q10 | 262.73 | 5.76 | 8.46 | | 8.76 | 0.003065 | 2.41 | 108.97 | 57.21 | 0.56 |
| FuturoA1a | 1942.18 | Q10 | 262.73 | 5.3 | 8.28 | | 8.47 | 0.00189 | 1.89 | 138.92 | 72.57 | 0.44 |
| FuturoA1a | 1827.5 | Q10 | 262.73 | 4.73 | 8.15 | | 8.29 | 0.000976 | 1.68 | 156.22 | 59.13 | 0.33 |
| FuturoA1a | 1718.61 | Q10 | 262.73 | 4.52 | 7.84 | | 8.11 | 0.002561 | 2.33 | 112.79 | 54.11 | 0.52 |
| FuturoA1a | 1611.2 | Q10 | 262.73 | 4.3 | 7.67 | 6.55 | 7.85 | 0.001494 | 1.9 | 138.42 | 60.4 | 0.4 |
| FuturoA1a | 1513.03 | Q10 | 262.73 | 4.17 | 7.57 | | 7.71 | 0.000992 | 1.62 | 162.29 | 66.62 | 0.33 |
| FuturoA1a | 1472.79 | Q10 | 262.73 | 4.12 | 7.49 | 5.9 | 7.61 | 0.000832 | 1.55 | 169.12 | 64.16 | 0.31 |
| FuturoA1a | 1448 | | Bridge | | | | | | | | | |
| FuturoA1a | 1423.97 | Q10 | 262.73 | 4.09 | 7.46 | | 7.56 | 0.000762 | 1.46 | 179.89 | 69.69 | 0.29 |
| FuturoA1a | 1288.96 | Q10 | 262.73 | 3.82 | 7.23 | | 7.4 | 0.001351 | 1.86 | 140.99 | 58.5 | 0.38 |
| FuturoA1a | 1181.55 | Q10 | 262.73 | 3.7 | 7.1 | | 7.27 | 0.001096 | 1.81 | 145.3 | 53.83 | 0.35 |
| FuturoA1a | 1074.13 | Q10 | 262.73 | 3.59 | 6.91 | | 7.12 | 0.00187 | 2.03 | 129.27 | 60.63 | 0.44 |
| FuturoA1a | 966.72 | Q10 | 262.73 | 3.42 | 6.75 | 5.42 | 6.92 | 0.001422 | 1.86 | 141.45 | 61.88 | 0.39 |
| FuturoA1a | 859.31 | Q10 | 262.73 | 3.32 | 6.4 | | 6.69 | 0.002447 | 2.66 | 132.77 | 86.06 | 0.52 |
| FuturoA1a | 751.89 | Q10 | 262.73 | 3.17 | 6.39 | | 6.46 | 0.000595 | 1.39 | 273.54 | 159.31 | 0.26 |
| FuturoA1a | 644.48 | Q10 | 262.73 | 2.91 | 6.05 | 5.42 | 6.3 | 0.002226 | 2.44 | 133.17 | 79.02 | 0.5 |
| FuturoA1a | 537.07 | Q10 | 262.73 | 2.73 | 5.76 | | 5.99 | 0.001965 | 2.15 | 124.14 | 60.76 | 0.46 |
| FuturoA1a | 432.08 | Q10 | 262.73 | 2.55 | 5.68 | 4.39 | 5.81 | 0.000942 | 1.64 | 173.04 | 80.72 | 0.33 |
| FuturoA1a | 322.24 | Q10 | 262.73 | 2.35 | 5.61 | | 5.7 | 0.000769 | 1.43 | 209.57 | 107.86 | 0.29 |
| FuturoA1a | 214.83 | Q10 | 262.73 | 2.28 | 5.37 | 4.44 | 5.56 | 0.001986 | 1.93 | 136.74 | 80.35 | 0.45 |
| FuturoA1a | 123.32 | Q10 | 262.73 | 2.1 | 5.08 | 4.35 | 5.36 | 0.002684 | 2.33 | 117.11 | 81.58 | 0.53 |

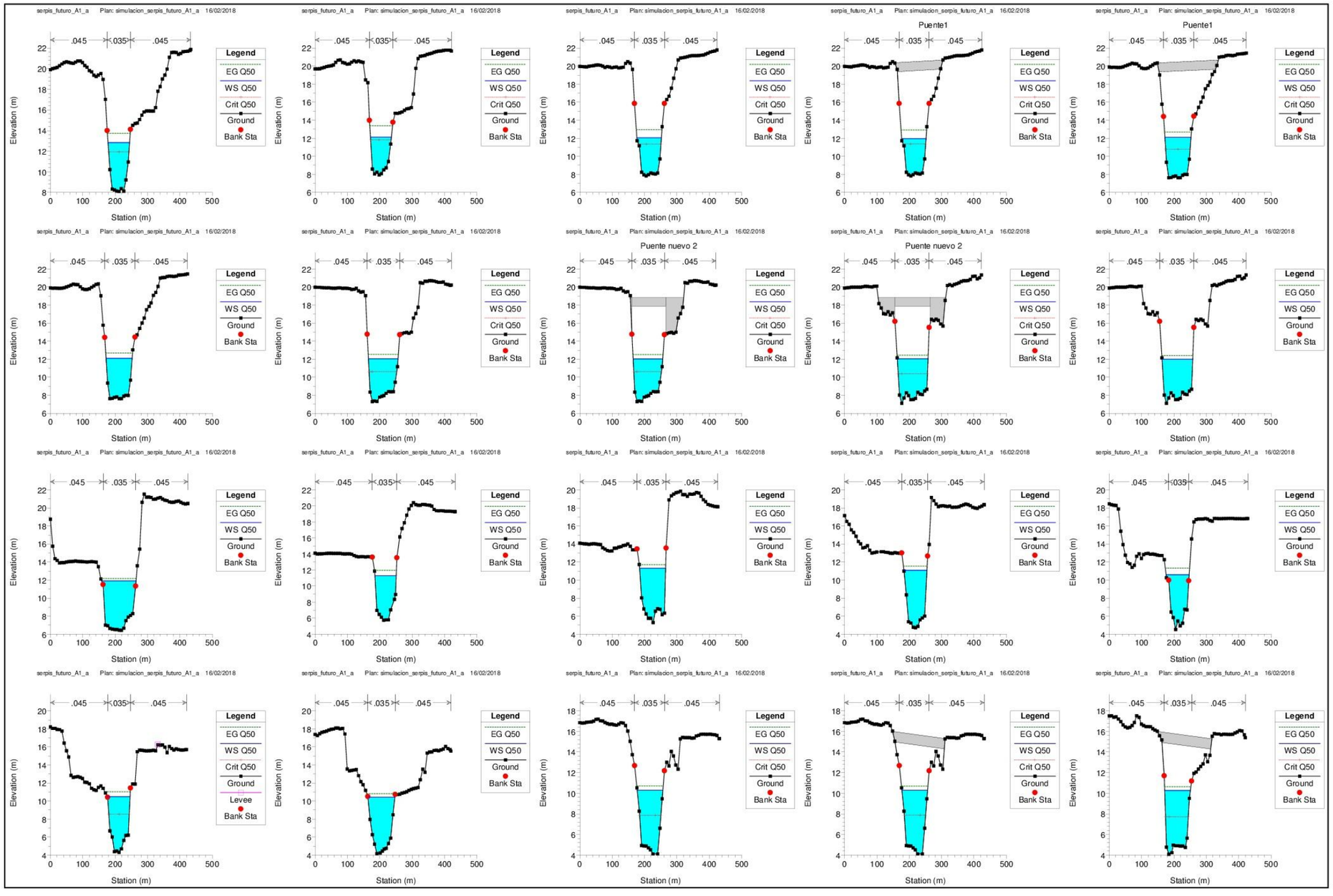
| T= 50 AÑOS | | | | | | | | | | | | |
|---|---|---|---|---|---|---|---|---|---|---|---|---|
| Reach | River Sta | Profile | Q Total (m3/s) | Min Ch El (m) | W.S. Elev (m) | Crit W.S. (m) | E.G. Elev (m) | E.G. Slope (m/m) | Vel Chnl (m/s) | Flow Area (m2) | Top Width (m) | Froude # Chl |
| FuturoA1a | 2478.97 | Q50 | 1043.17 | 8.09 | 12.84 | 11.92 | 13.73 | 0.003809 | 4.19 | 248.95 | 66.42 | 0.69 |
| FuturoA1a | 2411.15 | Q50 | 1043.17 | 7.94 | 12.13 | 11.83 | 13.39 | 0.006497 | 4.98 | 209.62 | 64.51 | 0.88 |
| FuturoA1a | 2351.89 | Q50 | 1043.17 | 7.83 | 12.06 | 11.36 | 12.96 | 0.004572 | 4.2 | 248.31 | 75.99 | 0.74 |
| FuturoA1a | 2341.7 | | Bridge | | | | | | | | | |
| FuturoA1a | 2331.62 | Q50 | 1043.17 | 7.63 | 12.09 | | 12.68 | 0.002487 | 3.41 | 305.52 | 80.69 | 0.56 |
| FuturoA1a | 2288.25 | Q50 | 1043.17 | 7.3 | 12.04 | 10.62 | 12.53 | 0.002084 | 3.08 | 338.9 | 91.67 | 0.51 |
| FuturoA1a | 2283.7 | | Bridge | | | | | | | | | |
| FuturoA1a | 2279.23 | Q50 | 1043.17 | 7.1 | 12.01 | | 12.42 | 0.001712 | 2.85 | 365.97 | 95.14 | 0.46 |
| FuturoA1a | 2148.27 | Q50 | 1043.17 | 6.44 | 11.92 | | 12.19 | 0.00088 | 2.29 | 456.61 | 106.69 | 0.34 |
| FuturoA1a | 2041.9 | Q50 | 1043.17 | 5.76 | 11.3 | | 11.98 | 0.002427 | 3.65 | 286.06 | 65.89 | 0.56 |
| FuturoA1a | 1942.18 | Q50 | 1043.17 | 5.3 | 11.31 | | 11.71 | 0.001347 | 2.82 | 370.47 | 80.55 | 0.42 |
| FuturoA1a | 1827.5 | Q50 | 1043.17 | 4.73 | 11.09 | | 11.55 | 0.001401 | 3 | 347.64 | 71.23 | 0.43 |
| FuturoA1a | 1718.61 | Q50 | 1043.17 | 4.52 | 10.6 | | 11.33 | 0.002498 | 3.78 | 279.33 | 71.31 | 0.57 |
| FuturoA1a | 1611.2 | Q50 | 1043.17 | 4.3 | 10.48 | 8.53 | 11.02 | 0.001763 | 3.25 | 321.06 | 70.4 | 0.48 |
| FuturoA1a | 1513.03 | Q50 | 1043.17 | 4.17 | 10.42 | | 10.81 | 0.001295 | 2.77 | 376.79 | 83.7 | 0.42 |
| FuturoA1a | 1472.79 | Q50 | 1043.17 | 4.12 | 10.31 | 7.86 | 10.71 | 0.001292 | 2.82 | 370.28 | 79.28 | 0.42 |
| FuturoA1a | 1448 | | Bridge | | | | | | | | | |
| FuturoA1a | 1423.97 | Q50 | 1043.17 | 4.09 | 10.26 | | 10.63 | 0.001139 | 2.69 | 387.37 | 79.5 | 0.39 |
| FuturoA1a | 1288.96 | Q50 | 1043.17 | 3.82 | 9.78 | | 10.37 | 0.002134 | 3.42 | 304.72 | 70.76 | 0.53 |
| FuturoA1a | 1181.55 | Q50 | 1043.17 | 3.7 | 9.53 | | 10.13 | 0.001941 | 3.48 | 322.18 | 92.13 | 0.51 |
| FuturoA1a | 1074.13 | Q50 | 1043.17 | 3.59 | 9.34 | | 9.9 | 0.00209 | 3.37 | 336.03 | 107.74 | 0.53 |
| FuturoA1a | 966.72 | Q50 | 1043.17 | 3.42 | 9.25 | 7.78 | 9.64 | 0.001419 | 2.9 | 427.81 | 141.11 | 0.44 |
| FuturoA1a | 859.31 | Q50 | 1043.17 | 3.32 | 9.08 | | 9.45 | 0.001581 | 3.42 | 476.49 | 157.89 | 0.47 |
| FuturoA1a | 751.89 | Q50 | 1043.17 | 3.17 | 9.15 | | 9.26 | 0.000477 | 1.96 | 817.44 | 227.21 | 0.27 |
| FuturoA1a | 644.48 | Q50 | 1043.17 | 2.91 | 8.6 | 7.3 | 9.11 | 0.002018 | 3.74 | 409.45 | 148.42 | 0.53 |
| FuturoA1a | 537.07 | Q50 | 1043.17 | 2.73 | 8.02 | | 8.81 | 0.002721 | 4.04 | 289.74 | 95.43 | 0.61 |
| FuturoA1a | 432.08 | Q50 | 1043.17 | 2.55 | 8.11 | 6.22 | 8.47 | 0.001186 | 2.87 | 479.83 | 178.15 | 0.41 |
| FuturoA1a | 322.24 | Q50 | 1043.17 | 2.35 | 8.13 | | 8.29 | 0.000655 | 2.12 | 708.45 | 260.26 | 0.3 |
| FuturoA1a | 214.83 | Q50 | 1043.17 | 2.28 | 7.5 | 6.28 | 8.08 | 0.002285 | 3.44 | 322.75 | 94.18 | 0.55 |
| FuturoA1a | 123.32 | Q50 | 1043.17 | 2.1 | 7.15 | 6.38 | 7.76 | 0.002684 | 3.75 | 348.78 | 135.32 | 0.59 |

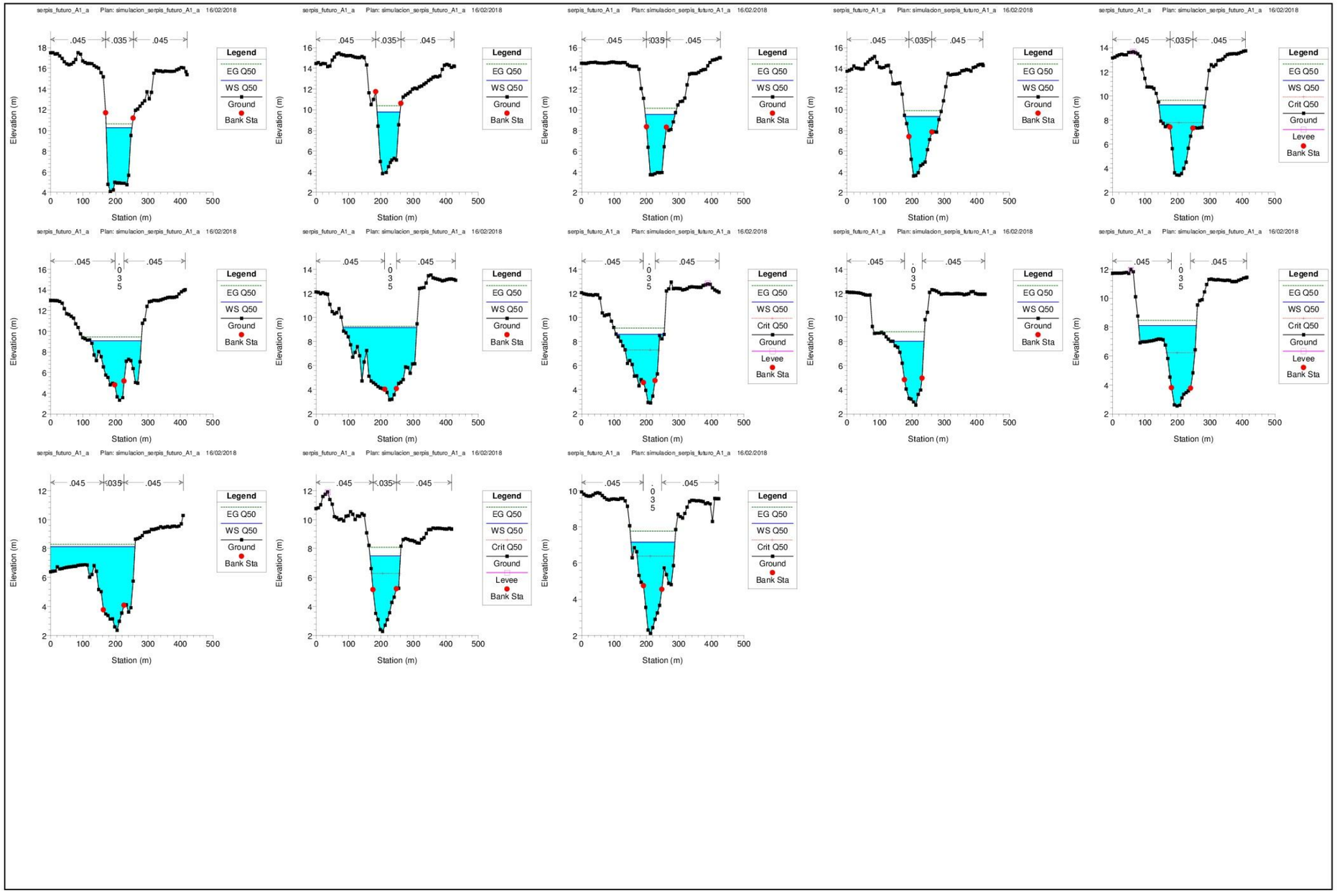
| T= 100 AÑOS | | | | | | | | | | | | |
|---|---|---|---|---|---|---|---|---|---|---|---|---|
| Reach | River Sta | Profile | Q Total (m3/s) | Min Ch El (m) | W.S. Elev (m) | Crit W.S. (m) | E.G. Elev (m) | E.G. Slope (m/m) | Vel Chnl (m/s) | Flow Area (m2) | Top Width (m) | Froude # Chl |
| FuturoA1a | 2478.97 | Q100 | 1779.85 | 8.09 | 14.35 | 13.31 | 15.64 | 0.003808 | 5.02 | 355.31 | 76.82 | 0.72 |
| FuturoA1a | 2411.15 | Q100 | 1779.85 | 7.94 | 13.75 | | 15.33 | 0.005373 | 5.56 | 320.27 | 71.88 | 0.84 |
| FuturoA1a | 2351.89 | Q100 | 1779.85 | 7.83 | 13.87 | 12.64 | 14.92 | 0.003318 | 4.54 | 392.22 | 83.39 | 0.67 |
| FuturoA1a | 2341.7 | | Bridge | | | | | | | | | |
| FuturoA1a | 2331.62 | Q100 | 1779.85 | 7.63 | 13.96 | | 14.71 | 0.002113 | 3.83 | 464.21 | 90.6 | 0.54 |
| FuturoA1a | 2288.25 | Q100 | 1779.85 | 7.3 | 13.95 | 11.69 | 14.55 | 0.001616 | 3.42 | 519.83 | 98.09 | 0.47 |
| FuturoA1a | 2283.7 | | Bridge | | | | | | | | | |
| FuturoA1a | 2279.23 | Q100 | 1779.85 | 7.1 | 13.93 | | 14.46 | 0.001365 | 3.21 | 554.15 | 100.48 | 0.44 |
| FuturoA1a | 2148.27 | Q100 | 1779.85 | 6.44 | 13.87 | | 14.24 | 0.000756 | 2.7 | 682.98 | 126.77 | 0.34 |
| FuturoA1a | 2041.9 | Q100 | 1779.85 | 5.76 | 13.05 | | 14.03 | 0.002536 | 4.37 | 407.07 | 72.99 | 0.59 |
| FuturoA1a | 1942.18 | Q100 | 1779.85 | 5.3 | 13.14 | | 13.72 | 0.001414 | 3.4 | 524.21 | 88.44 | 0.45 |
| FuturoA1a | 1827.5 | Q100 | 1779.85 | 4.73 | 12.8 | | 13.51 | 0.001655 | 3.73 | 477.07 | 79.98 | 0.49 |
| FuturoA1a | 1718.61 | Q100 | 1779.85 | 4.52 | 12.19 | | 13.26 | 0.002517 | 4.65 | 411.58 | 106.95 | 0.6 |
| FuturoA1a | 1611.2 | Q100 | 1779.85 | 4.3 | 12.12 | 9.88 | 12.92 | 0.001826 | 4 | 488.44 | 156.61 | 0.51 |
| FuturoA1a | 1513.03 | Q100 | 1779.85 | 4.17 | 12.15 | | 12.67 | 0.001189 | 3.27 | 616.17 | 182.06 | 0.42 |
| FuturoA1a | 1472.79 | Q100 | 1779.85 | 4.12 | 11.93 | 9.19 | 12.56 | 0.001544 | 3.51 | 506.77 | 88.81 | 0.47 |
| FuturoA1a | 1448 | | Bridge | | | | | | | | | |
| FuturoA1a | 1423.97 | Q100 | 1779.85 | 4.09 | 11.87 | | 12.47 | 0.001351 | 3.41 | 523.69 | 91.8 | 0.44 |
| FuturoA1a | 1288.96 | Q100 | 1779.85 | 3.82 | 11.14 | | 12.12 | 0.002648 | 4.38 | 411.92 | 95.07 | 0.61 |
| FuturoA1a | 1181.55 | Q100 | 1779.85 | 3.7 | 10.87 | | 11.83 | 0.002293 | 4.47 | 457.76 | 120.45 | 0.58 |
| FuturoA1a | 1074.13 | Q100 | 1779.85 | 3.59 | 10.73 | | 11.52 | 0.002103 | 4.1 | 497.73 | 123.73 | 0.55 |
| FuturoA1a | 966.72 | Q100 | 1779.85 | 3.42 | 10.72 | 8.89 | 11.23 | 0.001371 | 3.44 | 649.37 | 169.39 | 0.45 |
| FuturoA1a | 859.31 | Q100 | 1779.85 | 3.32 | 10.62 | | 11.03 | 0.001383 | 3.79 | 765.43 | 202.97 | 0.46 |
| FuturoA1a | 751.89 | Q100 | 1779.85 | 3.17 | 10.71 | | 10.85 | 0.000464 | 2.28 | 1188.28 | 266.53 | 0.27 |
| FuturoA1a | 644.48 | Q100 | 1779.85 | 2.91 | 10.16 | 8.4 | 10.71 | 0.001683 | 4.09 | 658.82 | 173.44 | 0.51 |
| FuturoA1a | 537.07 | Q100 | 1779.85 | 2.73 | 9.29 | 8.51 | 10.41 | 0.002951 | 4.97 | 461.46 | 161.74 | 0.66 |
| FuturoA1a | 432.08 | Q100 | 1779.85 | 2.55 | 9.59 | 7.82 | 10 | 0.00108 | 3.26 | 750.68 | 189.78 | 0.41 |
| FuturoA1a | 322.24 | Q100 | 1779.85 | 2.35 | 9.64 | | 9.84 | 0.000625 | 2.48 | 1151.46 | 399.89 | 0.31 |
| FuturoA1a | 214.83 | Q100 | 1779.85 | 2.28 | 8.57 | 7.43 | 9.58 | 0.002938 | 4.56 | 431.42 | 140.04 | 0.65 |
| FuturoA1a | 123.32 | Q100 | 1779.85 | 2.1 | 8.35 | 7.47 | 9.16 | 0.002683 | 4.45 | 517.46 | 148.26 | 0.62 |

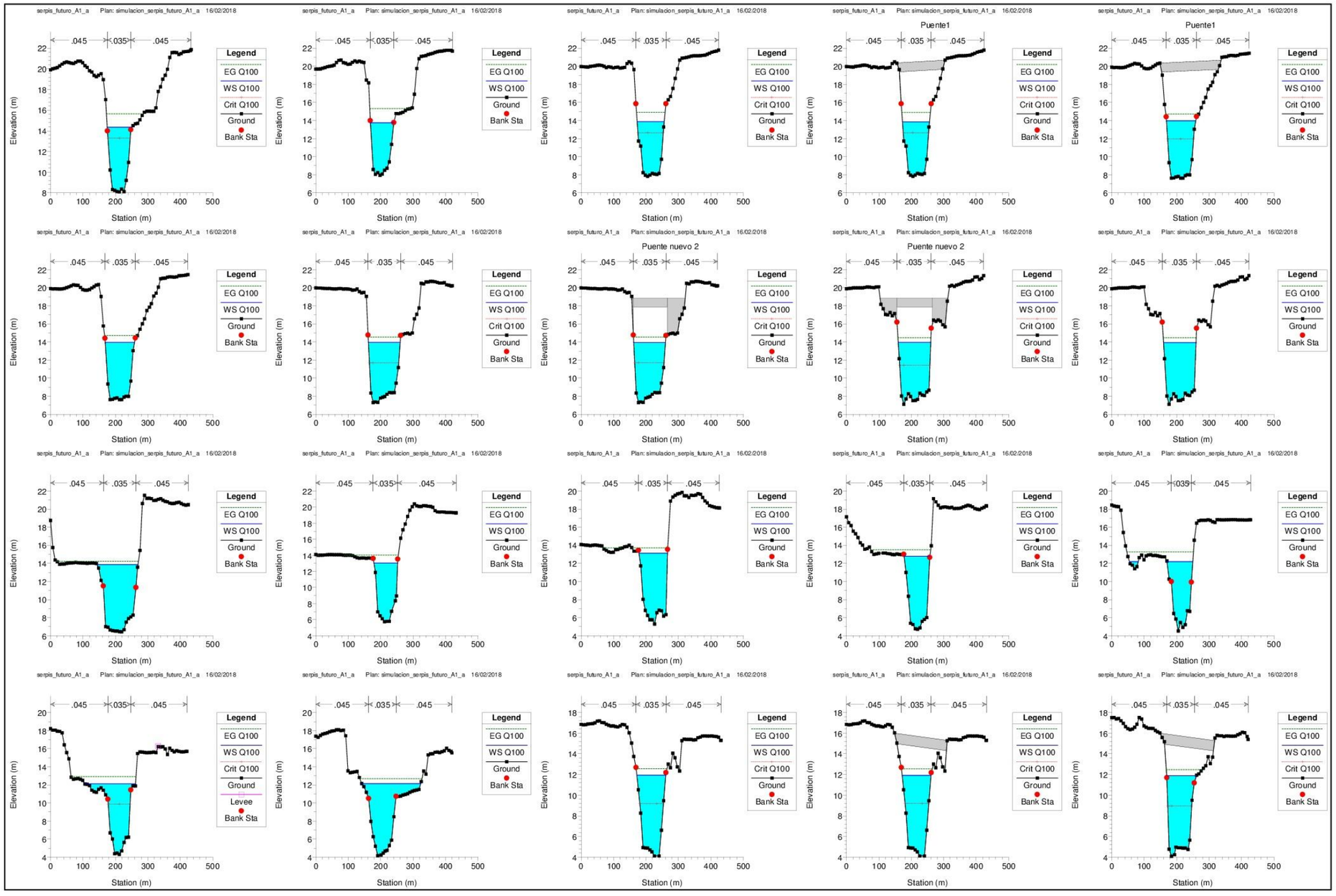
| T= 500 AÑOS | | | | | | | | | | | | |
|---|---|---|---|---|---|---|---|---|---|---|---|---|
| Reach | River Sta | Profile | Q Total (m3/s) | Min Ch El (m) | W.S. Elev (m) | Crit W.S. (m) | E.G. Elev (m) | E.G. Slope (m/m) | Vel Chnl (m/s) | Flow Area (m2) | Top Width (m) | Froude # Chl |
| FuturoA1a | 2478.97 | Q500 | 3878.21 | 8.09 | 17.64 | 16.71 | 19.29 | 0.002708 | 5.94 | 784.65 | 163.94 | 0.66 |
| FuturoA1a | 2411.15 | Q500 | 3878.21 | 7.94 | 17.14 | 16.43 | 19.07 | 0.003337 | 6.37 | 702.82 | 140.62 | 0.73 |
| FuturoA1a | 2351.89 | Q500 | 3878.21 | 7.83 | 16.75 | 15.3 | 18.56 | 0.00338 | 5.96 | 657.37 | 108.94 | 0.72 |
| FuturoA1a | 2341.7 | | Bridge | | | | | | | | | |
| FuturoA1a | 2331.62 | Q500 | 3878.21 | 7.63 | 16.92 | | 18.25 | 0.002127 | 5.13 | 795.89 | 132.55 | 0.58 |
| FuturoA1a | 2288.25 | Q500 | 3878.21 | 7.3 | 16.99 | 14.06 | 18.02 | 0.00162 | 4.57 | 911.36 | 152 | 0.51 |
| FuturoA1a | 2283.7 | | Bridge | | | | | | | | | |
| FuturoA1a | 2279.23 | Q500 | 3878.21 | 7.1 | 16.81 | | 17.85 | 0.001649 | 4.52 | 885.25 | 155.94 | 0.51 |
| FuturoA1a | 2148.27 | Q500 | 3878.21 | 6.44 | 16.93 | | 17.43 | 0.000715 | 3.39 | 1471.59 | 273.5 | 0.35 |
| FuturoA1a | 2041.9 | Q500 | 3878.21 | 5.76 | 16.17 | | 17.25 | 0.001895 | 5 | 1052.27 | 261.72 | 0.55 |
| FuturoA1a | 1942.18 | Q500 | 3878.21 | 5.3 | 16.29 | | 16.99 | 0.001141 | 4.02 | 1266.09 | 271.36 | 0.43 |
| FuturoA1a | 1827.5 | Q500 | 3878.21 | 4.73 | 15.84 | | 16.78 | 0.00147 | 4.6 | 1101.09 | 246.09 | 0.49 |
| FuturoA1a | 1718.61 | Q500 | 3878.21 | 4.52 | 15.59 | | 16.63 | 0.001643 | 5.06 | 1075.7 | 223.44 | 0.53 |
| FuturoA1a | 1611.2 | Q500 | 3878.21 | 4.3 | 15.56 | 13.46 | 16.38 | 0.001248 | 4.44 | 1177.91 | 233.51 | 0.46 |
| FuturoA1a | 1513.03 | Q500 | 3878.21 | 4.17 | 15.56 | | 16.16 | 0.000877 | 3.77 | 1393 | 270.92 | 0.39 |
| FuturoA1a | 1472.79 | Q500 | 3878.21 | 4.12 | 14.86 | 12.01 | 16.02 | 0.001741 | 4.84 | 874.6 | 153.41 | 0.53 |
| FuturoA1a | 1448 | | Bridge | | | | | | | | | |
| FuturoA1a | 1423.97 | Q500 | 3878.21 | 4.09 | 14.65 | | 15.82 | 0.001691 | 4.89 | 881.99 | 151.05 | 0.52 |
| FuturoA1a | 1288.96 | Q500 | 3878.21 | 3.82 | 14.06 | | 15.38 | 0.002282 | 5.4 | 921.32 | 235.46 | 0.6 |
| FuturoA1a | 1181.55 | Q500 | 3878.21 | 3.7 | 13.45 | | 15.02 | 0.002583 | 6.01 | 817.4 | 154.29 | 0.65 |
| FuturoA1a | 1074.13 | Q500 | 3878.21 | 3.59 | 13.22 | | 14.64 | 0.00248 | 5.68 | 851.66 | 172.45 | 0.64 |
| FuturoA1a | 966.72 | Q500 | 3878.21 | 3.42 | 13.35 | 10.61 | 14.17 | 0.001493 | 4.59 | 1208.35 | 267.78 | 0.5 |
| FuturoA1a | 859.31 | Q500 | 3878.21 | 3.32 | 13.22 | | 13.89 | 0.00176 | 5.3 | 1416.14 | 357.23 | 0.55 |
| FuturoA1a | 751.89 | Q500 | 3878.21 | 3.17 | 13.39 | | 13.64 | 0.000608 | 3.23 | 2022.34 | 417.96 | 0.33 |
| FuturoA1a | 644.48 | Q500 | 3878.21 | 2.91 | 12.6 | 10.92 | 13.49 | 0.00207 | 5.6 | 1204.77 | 364.49 | 0.6 |
| FuturoA1a | 537.07 | Q500 | 3878.21 | 2.73 | 11.6 | | 13.13 | 0.002988 | 6.26 | 857.54 | 181.05 | 0.7 |
| FuturoA1a | 432.08 | Q500 | 3878.21 | 2.55 | 11.95 | 9.53 | 12.66 | 0.001359 | 4.5 | 1347.04 | 356.18 | 0.48 |
| FuturoA1a | 322.24 | Q500 | 3878.21 | 2.35 | 12.17 | | 12.4 | 0.000511 | 2.79 | 2185.96 | 408.55 | 0.3 |
| FuturoA1a | 214.83 | Q500 | 3878.21 | 2.28 | 11.1 | 10.75 | 12.2 | 0.002284 | 5.27 | 1124.67 | 368.9 | 0.61 |
| FuturoA1a | 123.32 | Q500 | 3878.21 | 2.1 | 10.64 | 9.36 | 11.74 | 0.002682 | 5.67 | 1195.99 | 422.37 | 0.66 |

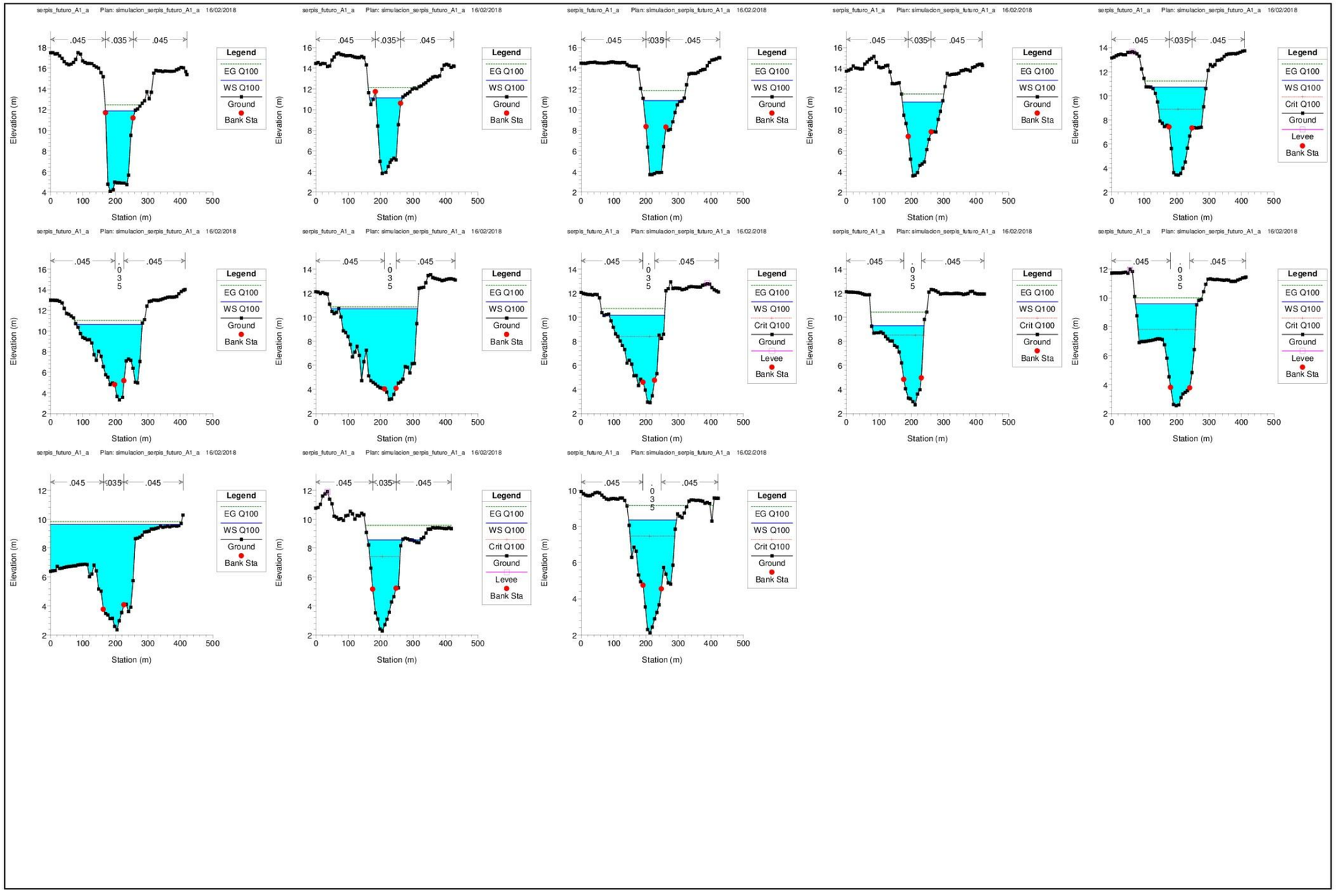

serpis_futuro_A1_a Plan: simulacion_serpis_futuro_A1_a 16/02/2018
Puente1
Puente nuevo 2
.045 .035 .045
Legend
EG Q10
WS Q10
Crit Q10
Ground
Levee
Bank Sta
Elevation (m)
Station (m)

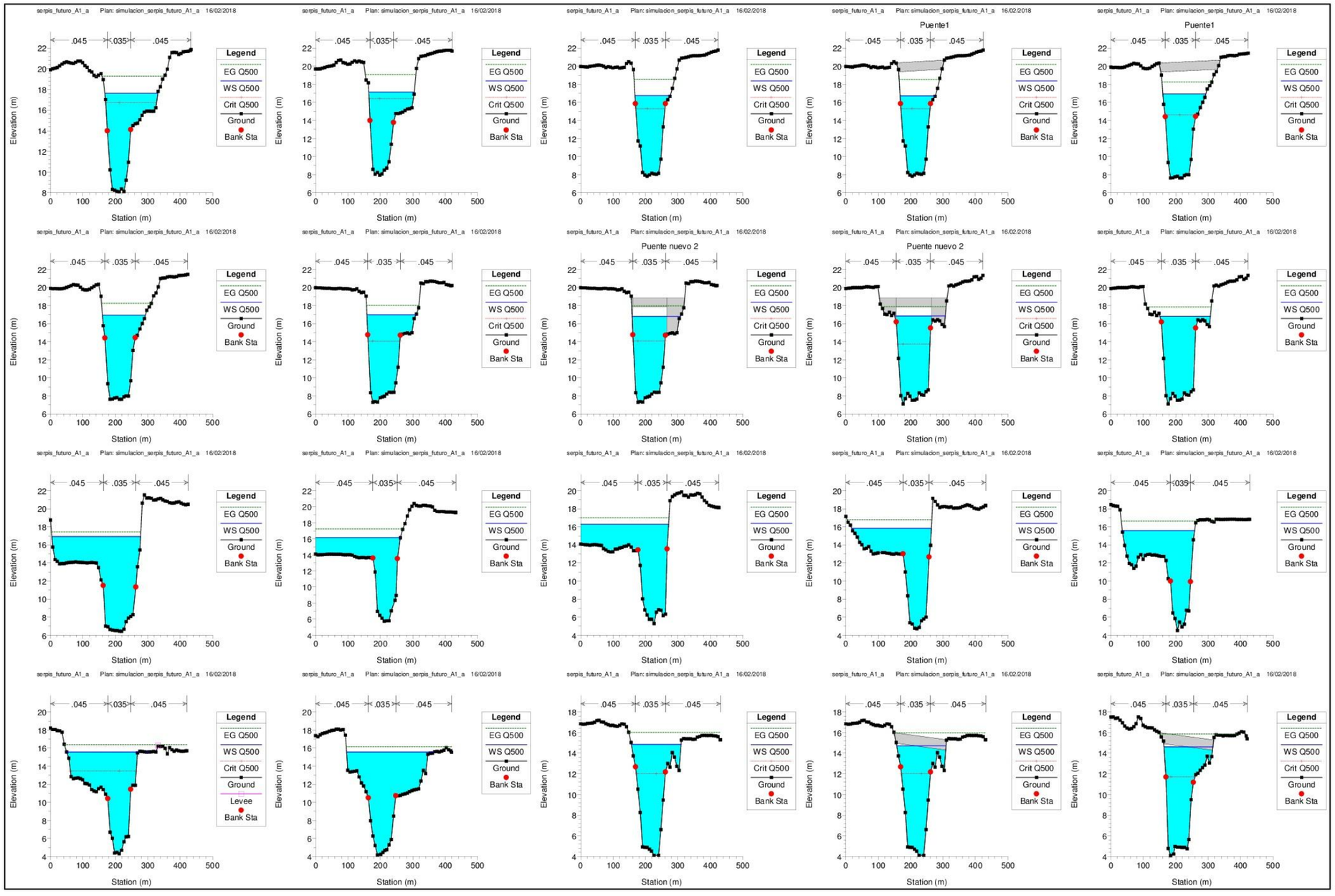

serpis_futuro_A1_a Plan: simulacion_serpis_futuro_A1_a 16/02/2018
.045
.035
.045
Legend
EG Q10
WS Q10
Crit Q10
Ground
Levee
Bank Sta
Elevation (m)
Station (m)

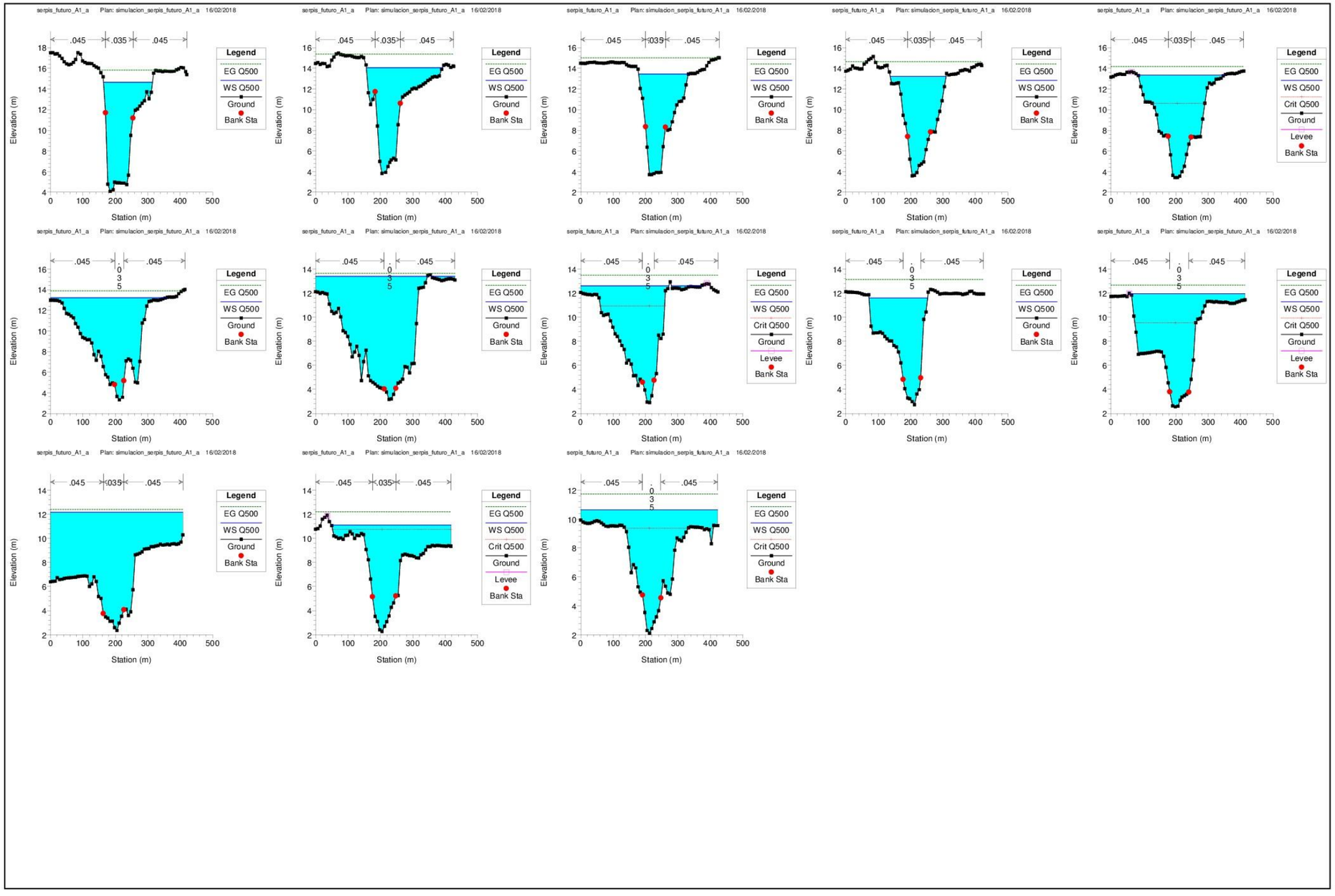

serpis_futuro_A1_a Plan: simulacion_serpis_futuro_A1_a 16/02/2018
Puente1
Puente nuevo 2
.045 .035 .045
Legend
EG Q50
WS Q50
Crit Q50
Ground
Levee
Bank Sta
Elevation (m)
Station (m)

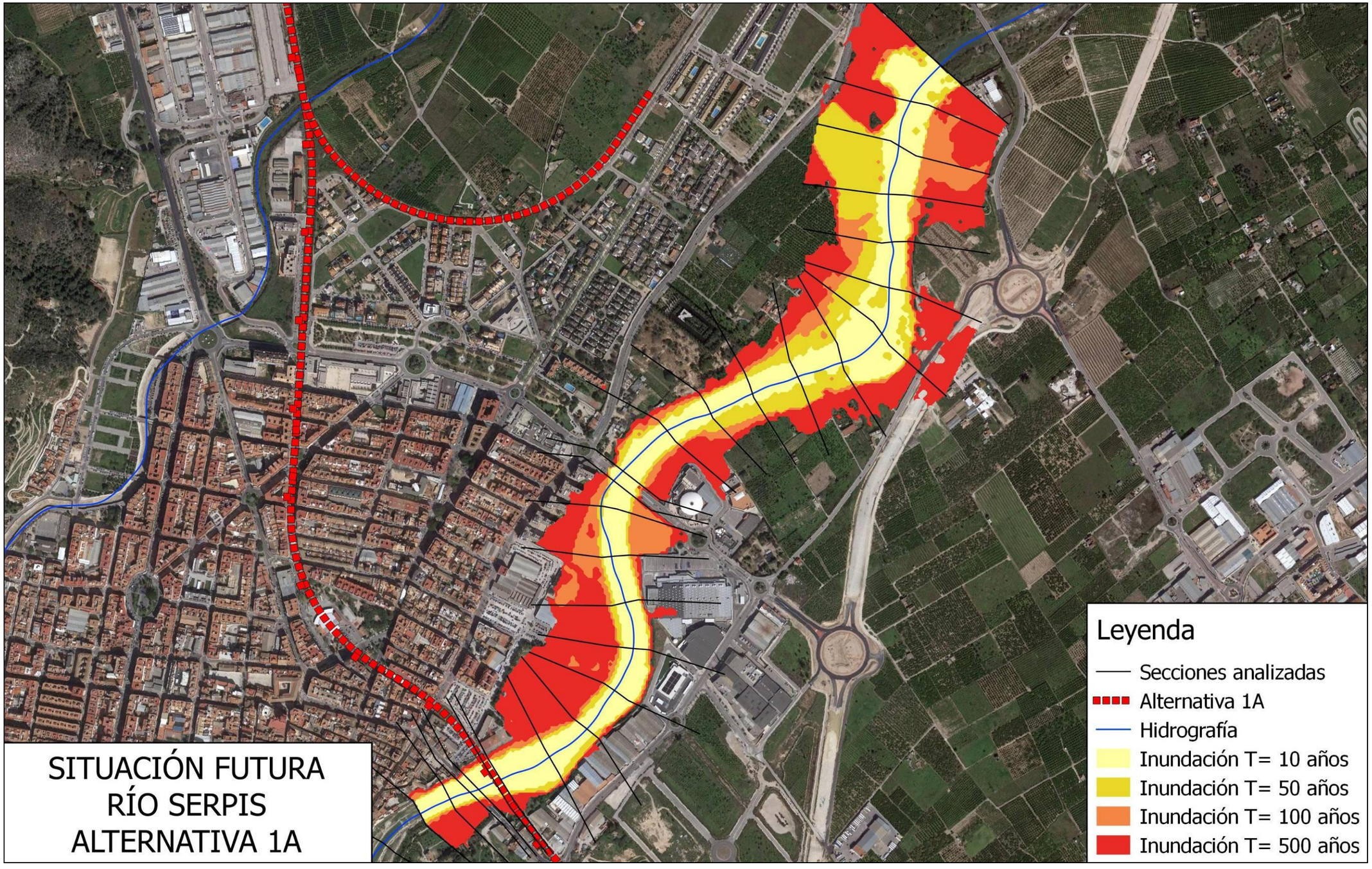

serpis_futuro_A1_a Plan: simulacion_serpis_futuro_A1_a 16/02/2018
.045
.035
.045
Legend
EG Q50
WS Q50
Crit Q50
Ground
Levee
Bank Sta
Elevation (m)
Station (m)


serpis_futuro_A1_a Plan: simulacion_serpis_futuro_A1_a 16/02/2018
Puente1
Puente nuevo 2
.045 .035 .045
Legend
EG Q100
WS Q100
Crit Q100
Ground
Levee
Bank Sta
Elevation (m)
Station (m)

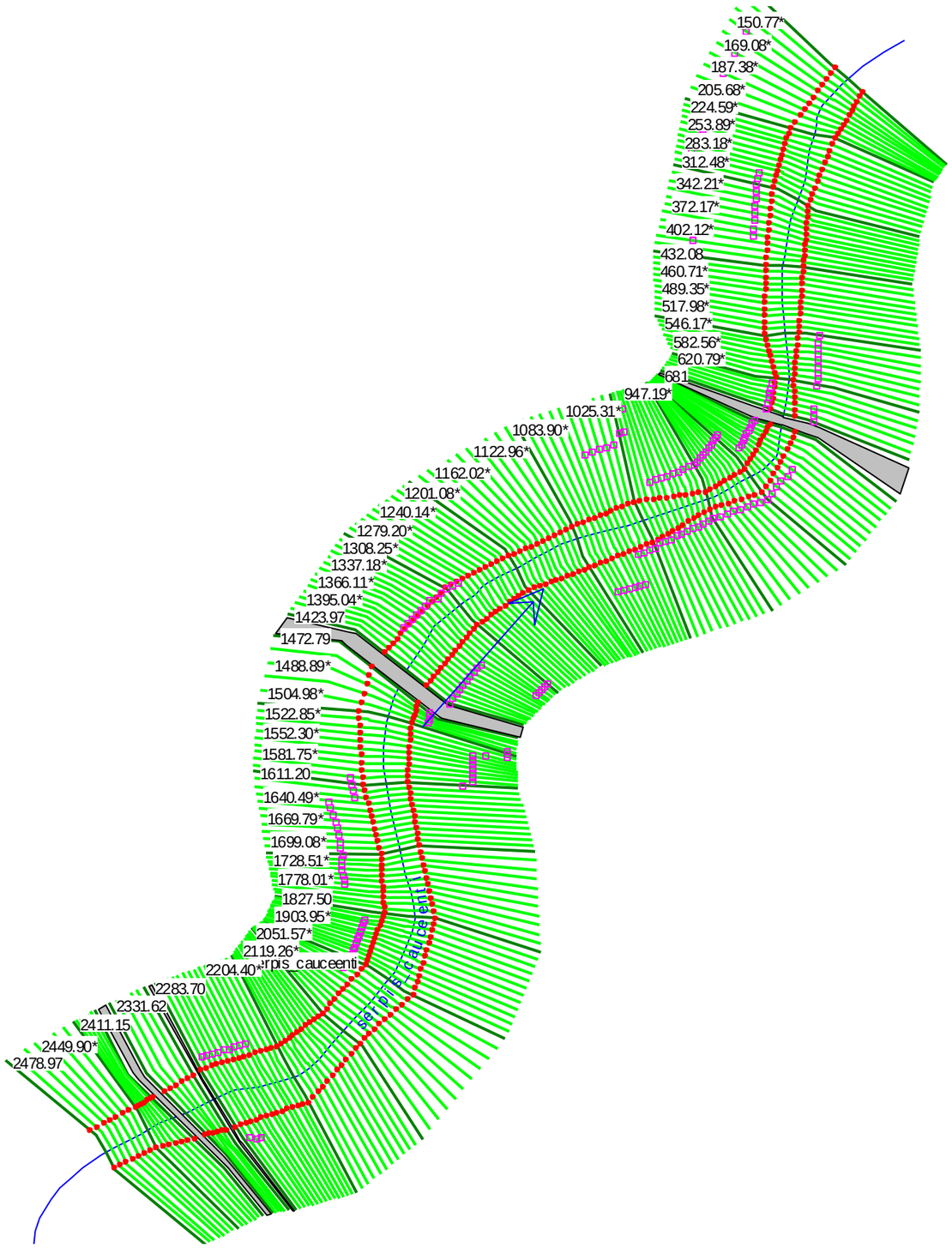

serpis_futuro_A1_a Plan: simulacion_serpis_futuro_A1_a 16/02/2018
.045
.035
.045
Legend
EG Q100
WS Q100
Crit Q100
Ground
Levee
Bank Sta
Elevation (m)
Station (m)

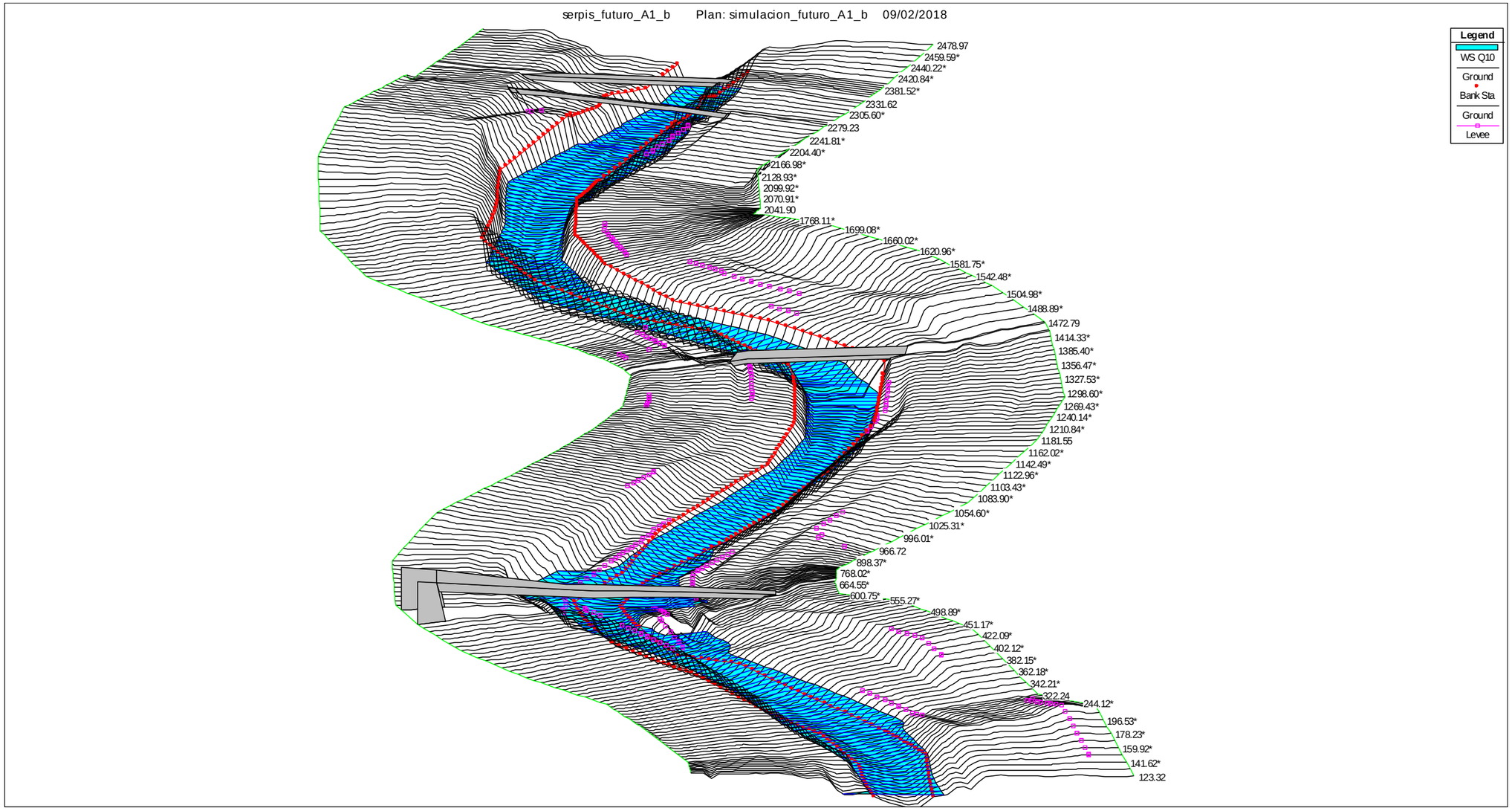

serpis_futuro_A1_a Plan: simulacion_serpis_futuro_A1_a 16/02/2018
Puente1
Puente nuevo 2
.045 .035 .045
Legend
EG Q500
WS Q500
Crit Q500
Ground
Levee
Bank Sta
Elevation (m)
Station (m)

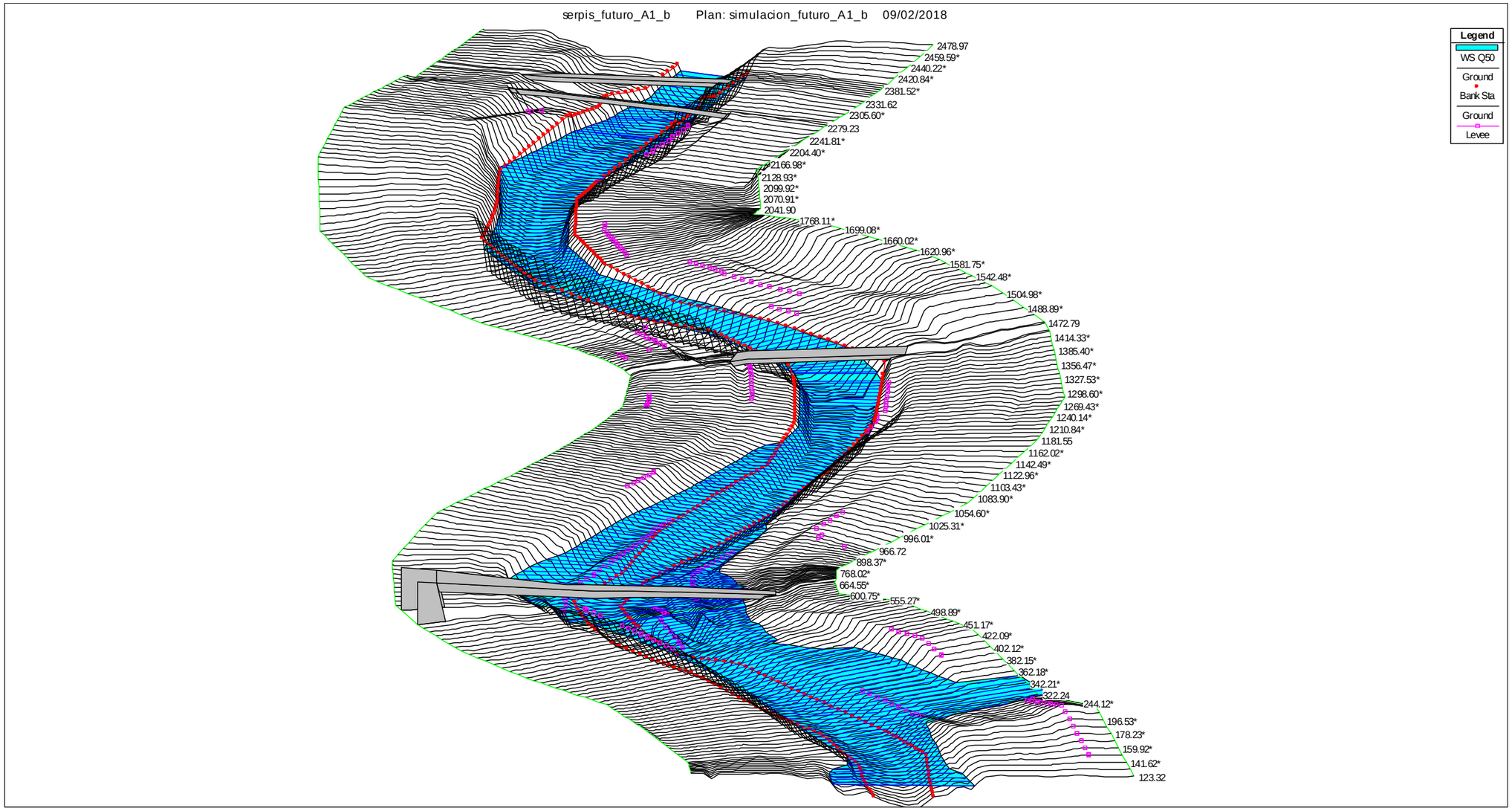

serpis_futuro_A1_a Plan: simulacion_serpis_futuro_A1_a 16/02/2018
.045
.035
.045
Legend
EG Q500
WS Q500
Crit Q500
Ground
Levee
Bank Sta
Elevation (m)
Station (m)

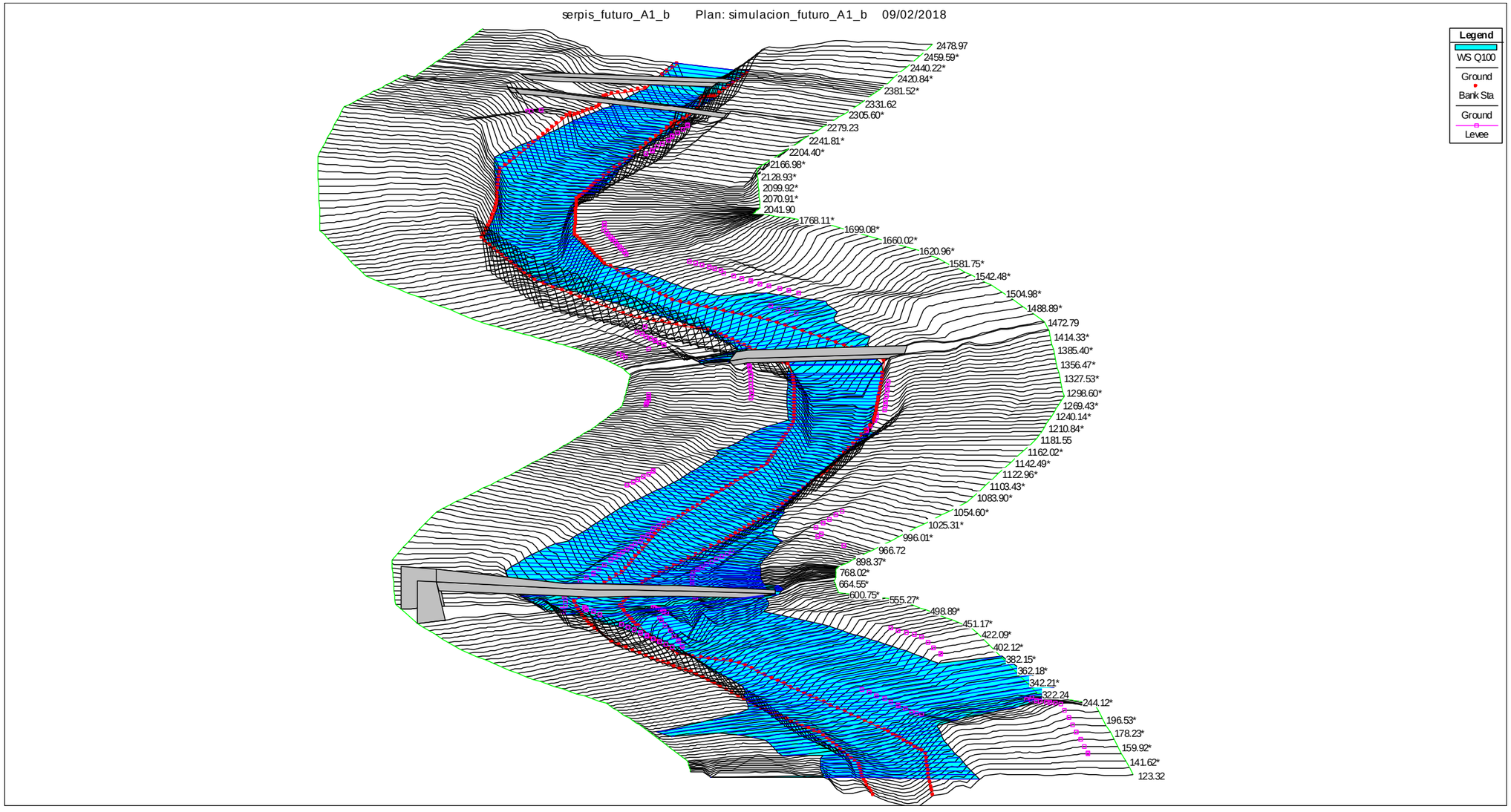

SITUACIÓN FUTURA
RÍO SERPIS
ALTERNATIVA 1A
Leyenda
Secciones analizadas
Alternativa 1A
Hidrografía
Inundación T= 10 años
Inundación T= 50 años
Inundación T= 100 años
Inundación T= 500 años

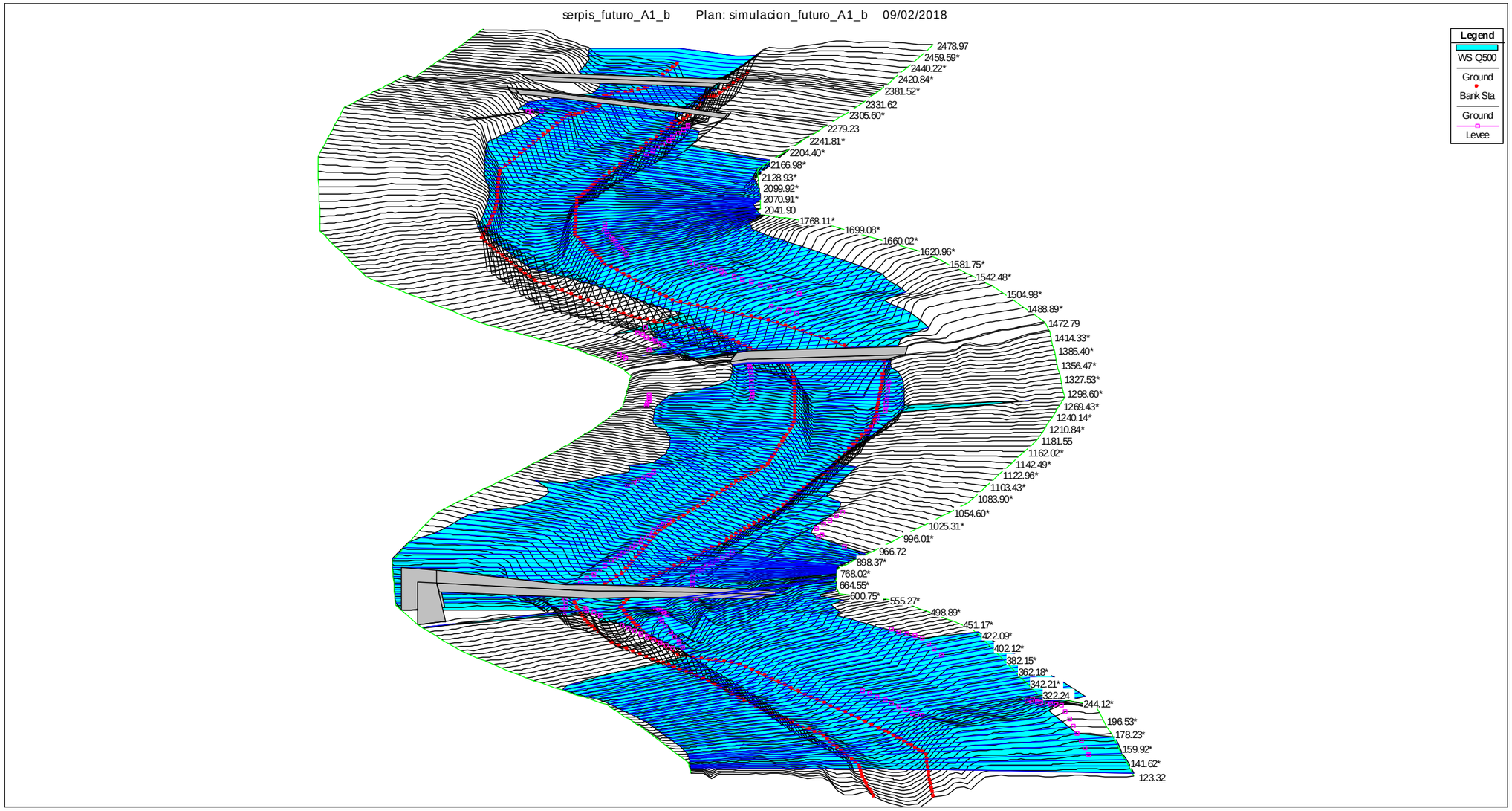
## APÉNDICE 8.1.3. RÍO SERPIS. ALTERNATIVA 1B. SITUACIÓN FUTURA

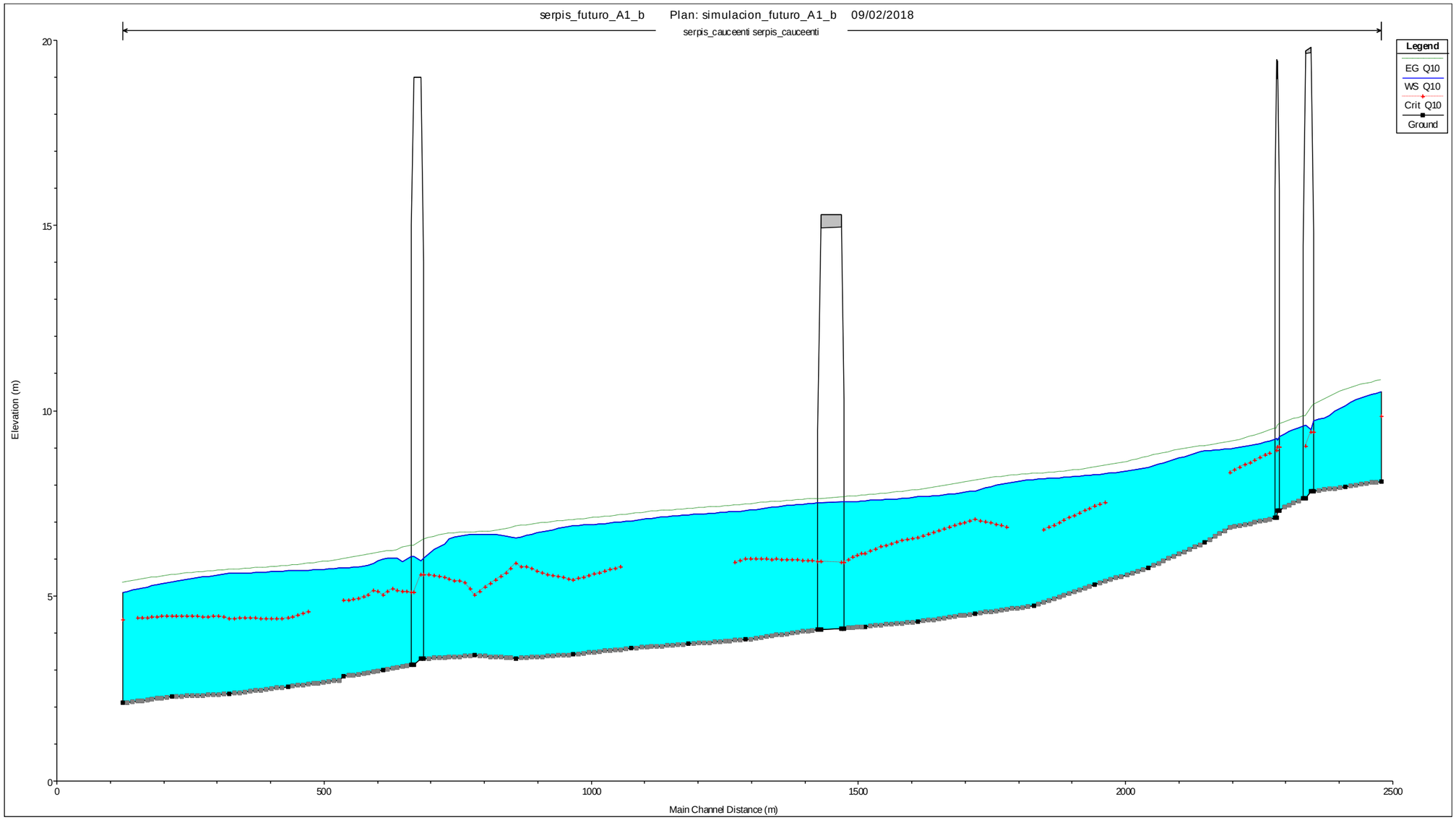

150.77*
169.08*
187.38*
205.68*
224.59*
253.89*
283.18*
312.48*
342.21*
372.17*
402.12*
432.08
460.71*
489.35*
517.98*
546.17*
582.56*
620.79*
681
947.19*
1025.31*
1083.90*
1122.96*
1162.02*
1201.08*
1240.14*
1279.20*
1308.25*
1337.18*
1366.11*
1395.04*
1423.97
1472.79
1488.89*
1504.98*
1522.85*
1552.30*
1581.75*
1611.20
1640.49*
1669.79*
1699.08*
1728.51*
1778.01*
1827.50
1903.95*
2051.57*
2119.26*
2204.40*
2283.70
2331.62
2411.15
2449.90*
2478.97

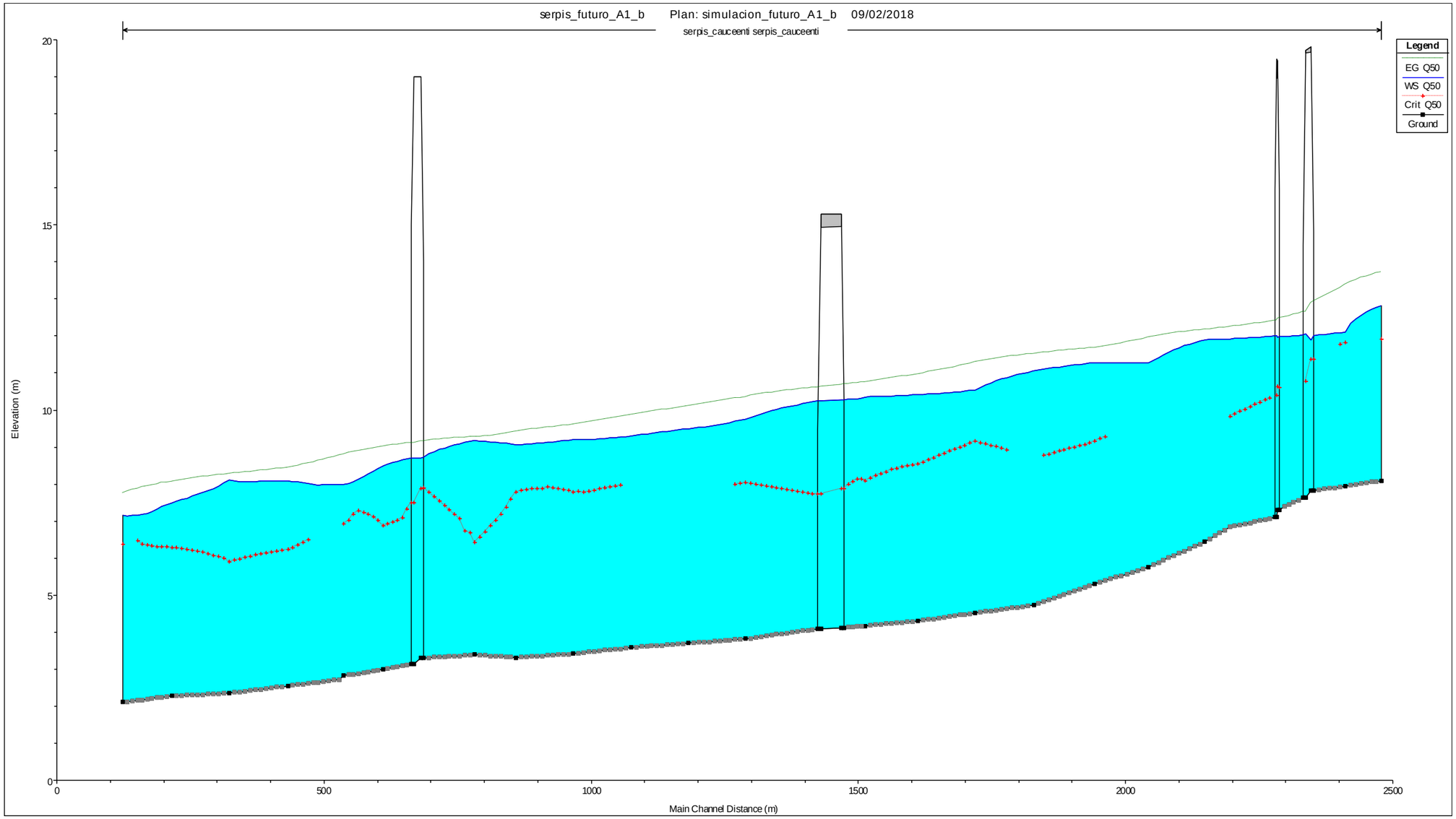

serpis_futuro_A1_b Plan: simulacion_futuro_A1_b 09/02/2018
Legend
WS Q10
Ground
Bank Sta
Ground
Levee
2478.97
2459.59*
2440.22*
2420.84*
2381.52*
2331.62
2305.60*
2279.23
2241.81*
2204.40*
2166.98*
2128.93*
2099.92*
2070.91*
2041.90
1768.11*
1699.08*
1660.02*
1620.96*
1581.75*
1542.48*
1504.98*
1488.89*
1472.79
1414.33*
1385.40*
1356.47*
1327.53*
1298.60*
1269.43*
1240.14*
1210.84*
1181.55
1162.02*
1142.49*
1122.96*
1103.43*
1083.90*
1054.60*
1025.31*
996.01*
966.72
898.37*
768.02*
664.55*
600.75*
555.27*
498.89*
451.17*
422.09*
402.12*
382.15*
362.18*
342.21*
322.24
244.12*
196.53*
178.23*
159.92*
141.62*
123.32

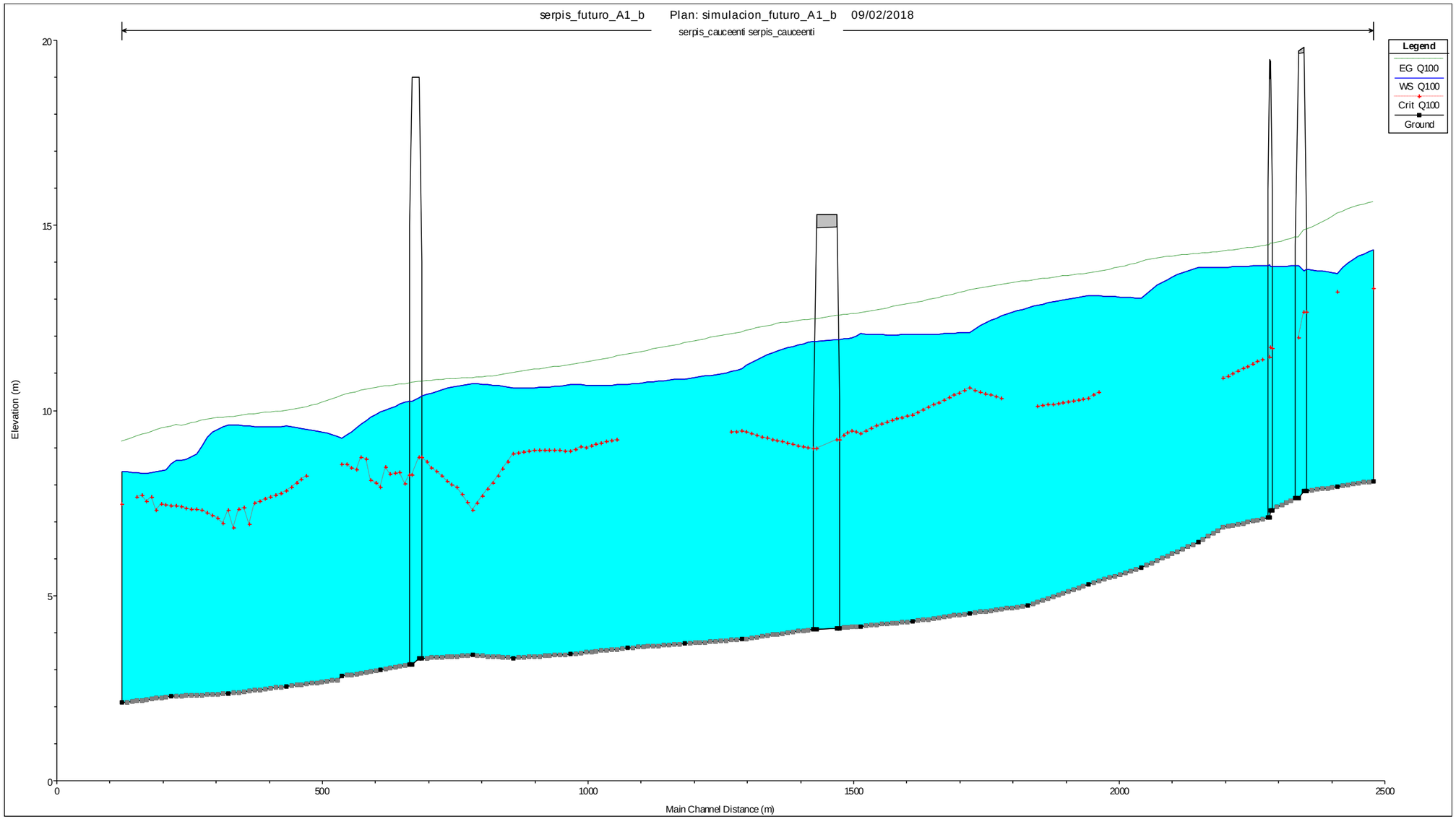

serpis_futuro_A1_b Plan: simulacion_futuro_A1_b 09/02/2018
Legend
WS Q50
Ground
Bank Sta
Ground
Levee
2478.97
2459.59*
2440.22*
2420.84*
2381.52*
2331.62
2305.60*
2279.23
2241.81*
2204.40*
2166.98*
2128.93*
2099.92*
2070.91*
2041.90
1768.11*
1699.08*
1660.02*
1620.96*
1581.75*
1542.48*
1504.98*
1488.89*
1472.79
1414.33*
1385.40*
1356.47*
1327.53*
1298.60*
1269.43*
1240.14*
1210.84*
1181.55
1162.02*
1142.49*
1122.96*
1103.43*
1083.90*
1054.60*
1025.31*
996.01*
966.72
898.37*
768.02*
664.55*
600.75*
555.27*
498.89*
451.17*
422.09*
402.12*
382.15*
362.18*
342.21*
322.24
244.12*
196.53*
178.23*
159.92*
141.62*
123.32

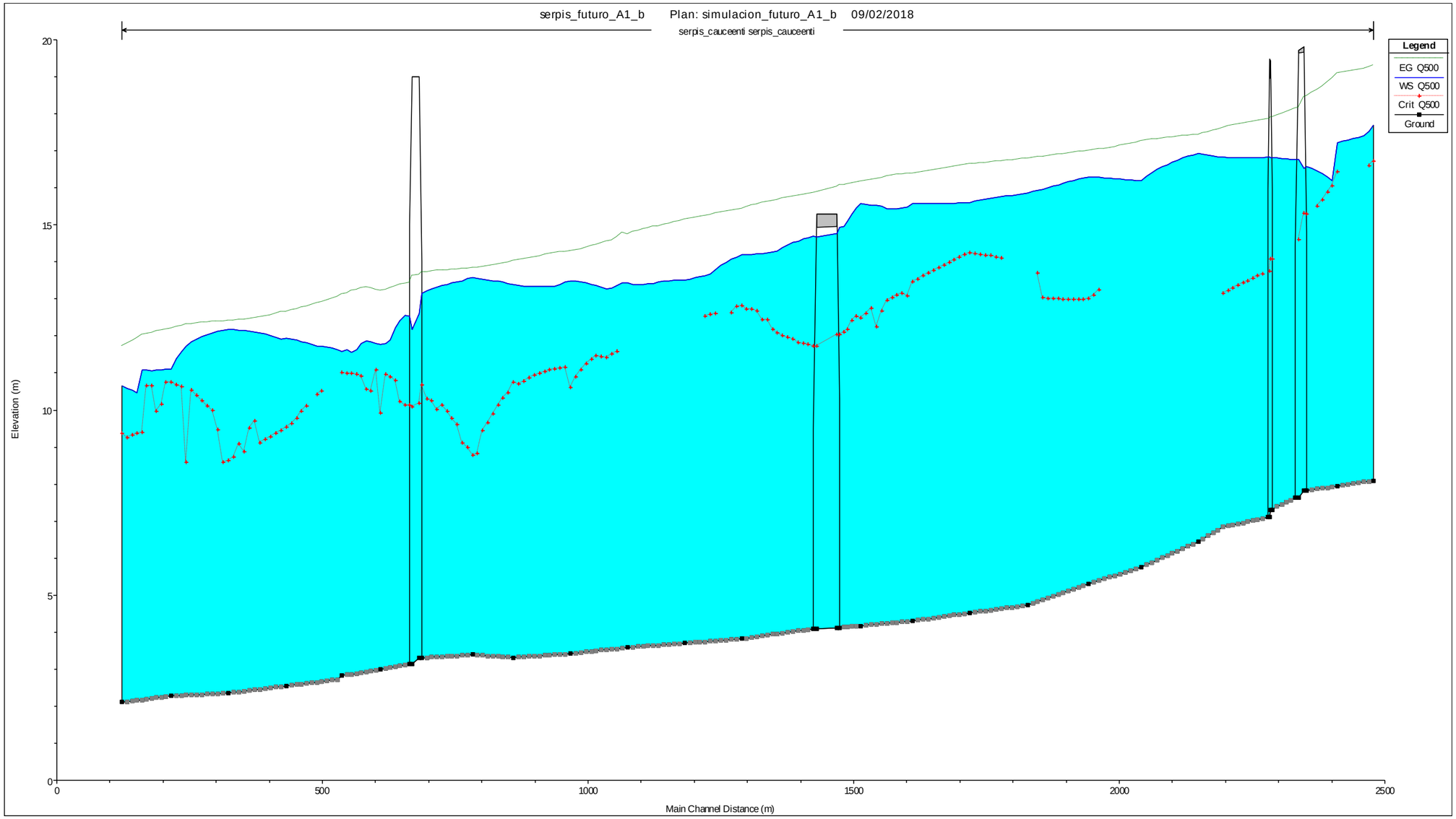

serpis_futuro_A1_b Plan: simulacion_futuro_A1_b 09/02/2018
Legend
WS Q100
Ground
Bank Sta
Ground
Levee
2478.97
2459.59*
2440.22*
2420.84*
2381.52*
2331.62
2305.60*
2279.23
2241.81*
2204.40*
2166.98*
2128.93*
2099.92*
2070.91*
2041.90
1768.11*
1699.08*
1660.02*
1620.96*
1581.75*
1542.48*
1504.98*
1488.89*
1472.79
1414.33*
1385.40*
1356.47*
1327.53*
1298.60*
1269.43*
1240.14*
1210.84*
1181.55
1162.02*
1142.49*
1122.96*
1103.43*
1083.90*
1054.60*
1025.31*
996.01*
966.72
898.37*
768.02*
664.55*
600.75*
555.27*
498.89*
451.17*
422.09*
402.12*
382.15*
362.18*
342.21*
322.24
244.12*
196.53*
178.23*
159.92*
141.62*
123.32


serpis_futuro_A1_b Plan: simulacion_futuro_A1_b 09/02/2018
Legend
WS Q500
Ground
Bank Sta
Ground
Levee
2478.97
2459.59*
2440.22*
2420.84*
2381.52*
2331.62
2305.60*
2279.23
2241.81*
2204.40*
2166.98*
2128.93*
2099.92*
2070.91*
2041.90
1768.11*
1699.08*
1660.02*
1620.96*
1581.75*
1542.48*
1504.98*
1488.89*
1472.79
1414.33*
1385.40*
1356.47*
1327.53*
1298.60*
1269.43*
1240.14*
1210.84*
1181.55
1162.02*
1142.49*
1122.96*
1103.43*
1083.90*
1054.60*
1025.31*
996.01*
966.72
898.37*
768.02*
664.55*
600.75*
555.27*
498.89*
451.17*
422.09*
402.12*
382.15*
362.18*
342.21*
322.24
244.12*
196.53*
178.23*
159.92*
141.62*
123.32


serpis_futuro_A1_b
Plan: simulacion_futuro_A1_b
09/02/2018
serpis_cauceenti serpis_cauceenti
Legend
EG Q10
WS Q10
Crit Q10
Ground
Elevation (m)
20
15
10
5
0
0
500
1000
1500
2000
2500
Main Channel Distance (m)


serpis_futuro_A1_b Plan: simulacion_futuro_A1_b 09/02/2018
serpis_cauceenti serpis_cauceenti
Legend
EG Q50
WS Q50
Crit Q50
Ground
Elevation (m)
20
15
10
5
0
0
500
1000
1500
2000
2500
Main Channel Distance (m)


serpis_futuro_A1_b
Plan: simulacion_futuro_A1_b
09/02/2018
serpis_cauceenti serpis_cauceenti
Legend
EG Q100
WS Q100
Crit Q100
Ground
Elevation (m)
20
15
10
5
0
0
500
1000
1500
2000
2500
Main Channel Distance (m)

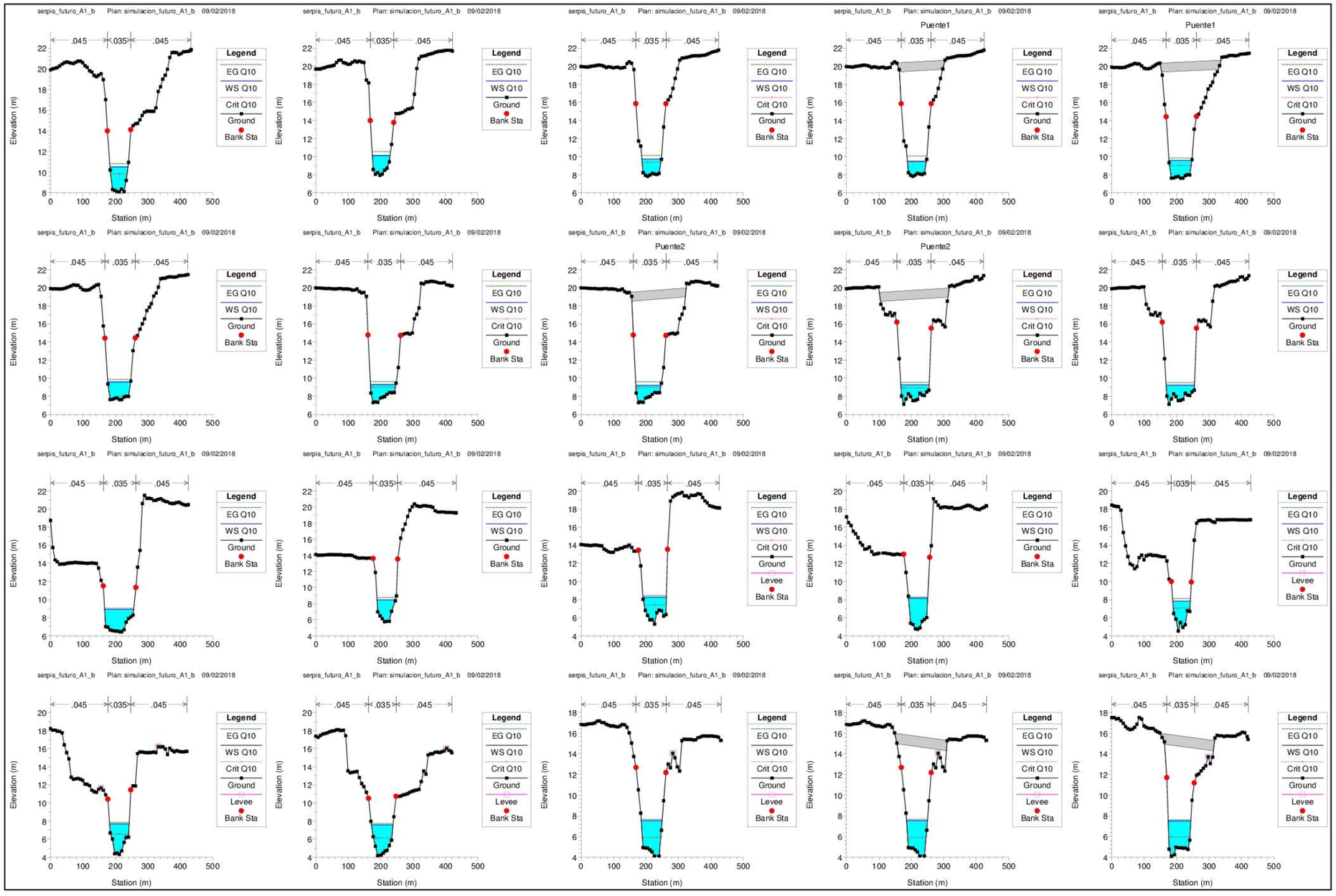

serpis_futuro_A1_b Plan: simulacion_futuro_A1_b 09/02/2018
serpis_cauceenti serpis_cauceenti
Legend
EG Q500
WS Q500
Crit Q500
Ground
Elevation (m)
Main Channel Distance (m)
0
5
10
15
20
0
500
1000
1500
2000
2500

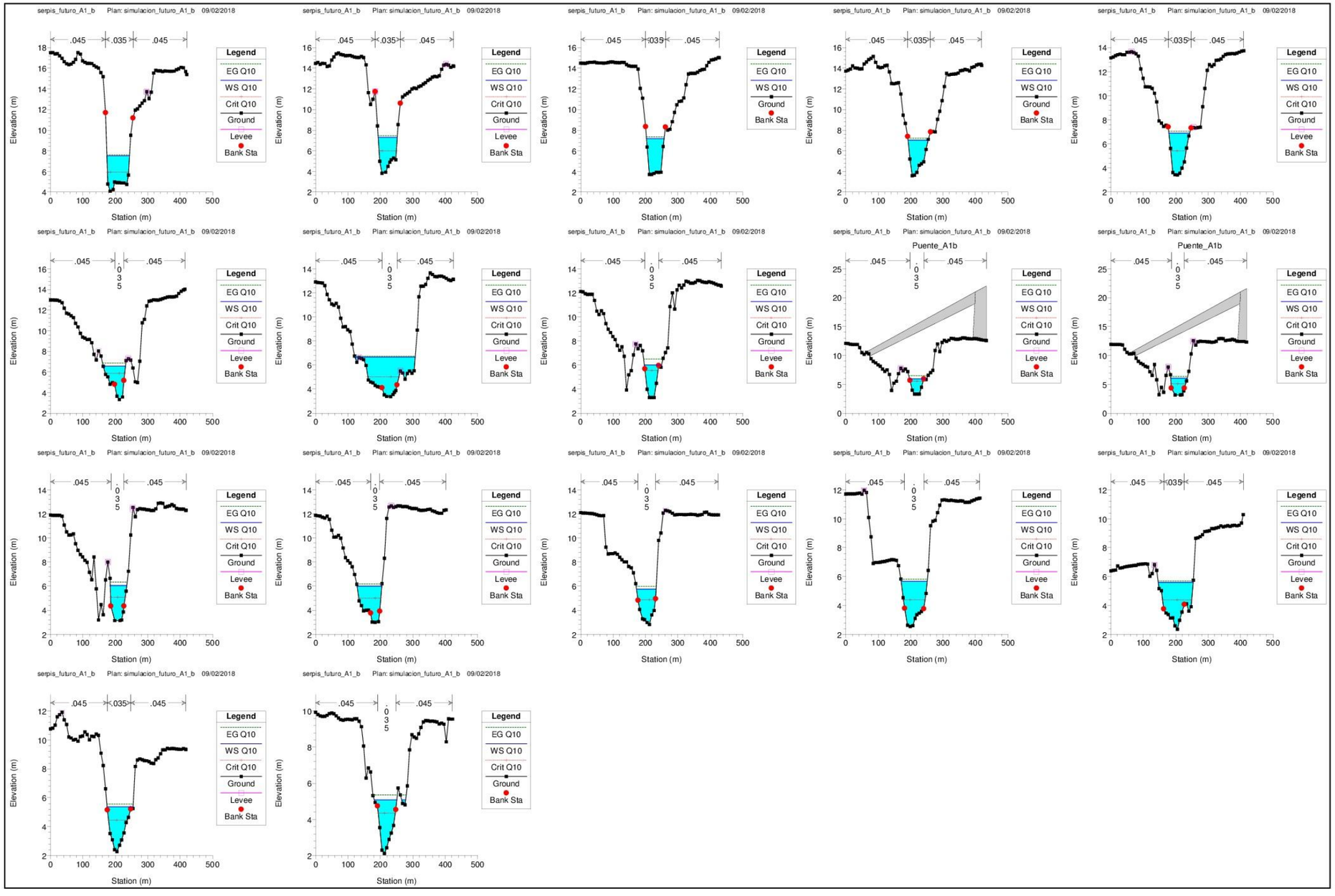
| T= 10 AÑOS | | | | | | | | | | | | |
|---|---|---|---|---|---|---|---|---|---|---|---|---|
| Reach | River Sta | Profile | Q Total (m3/s) | Min Ch El (m) | W.S. Elev (m) | Crit W.S. (m) | E.G. Elev (m) | E.G. Slope (m/m) | Vel Chnl (m/s) | Flow Area (m2) | Top Width (m) | Froude # Chl |
| FuturoA1b | 2478.97 | Q10 | 262.73 | 8.09 | 10.51 | 9.83 | 10.82 | 0.003141 | 2.46 | 106.66 | 55.33 | 0.57 |
| FuturoA1b | 2411.15 | Q10 | 262.73 | 7.94 | 10.13 | | 10.56 | 0.005416 | 2.92 | 90.08 | 54.52 | 0.72 |
| FuturoA1b | 2351.89 | Q10 | 262.73 | 7.83 | 9.74 | 9.41 | 10.14 | 0.005507 | 2.82 | 93.17 | 60.25 | 0.72 |
| FuturoA1b | 2341.7 | | Bridge | | | | | | | | | |
| FuturoA1b | 2331.62 | Q10 | 262.73 | 7.63 | 9.57 | | 9.84 | 0.003391 | 2.29 | 114.81 | 70.72 | 0.57 |
| FuturoA1b | 2288.25 | Q10 | 262.73 | 7.3 | 9.29 | 9 | 9.62 | 0.005547 | 2.55 | 103.18 | 78.33 | 0.71 |
| FuturoA1b | 2283.7 | | Bridge | | | | | | | | | |
| FuturoA1b | 2279.23 | Q10 | 262.73 | 7.1 | 9.23 | | 9.51 | 0.004859 | 2.34 | 112.33 | 87.52 | 0.66 |
| FuturoA1b | 2148.27 | Q10 | 262.73 | 6.44 | 8.91 | | 9.04 | 0.001342 | 1.57 | 166.82 | 89.62 | 0.37 |
| FuturoA1b | 2041.9 | Q10 | 262.73 | 5.76 | 8.46 | | 8.76 | 0.003095 | 2.42 | 108.62 | 57.17 | 0.56 |
| FuturoA1b | 1942.18 | Q10 | 262.73 | 5.3 | 8.27 | 7.42 | 8.46 | 0.001927 | 1.9 | 138.08 | 72.54 | 0.44 |
| FuturoA1b | 1827.5 | Q10 | 262.73 | 4.73 | 8.14 | | 8.29 | 0.000983 | 1.69 | 155.87 | 59.1 | 0.33 |
| FuturoA1b | 1718.61 | Q10 | 262.73 | 4.52 | 7.83 | 7.05 | 8.11 | 0.002576 | 2.33 | 112.59 | 54.1 | 0.52 |
| FuturoA1b | 1611.2 | Q10 | 262.73 | 4.3 | 7.67 | 6.56 | 7.86 | 0.001492 | 1.9 | 138.49 | 60.41 | 0.4 |
| FuturoA1b | 1513.03 | Q10 | 262.73 | 4.17 | 7.57 | 6.13 | 7.71 | 0.000991 | 1.62 | 162.38 | 66.62 | 0.33 |
| FuturoA1b | 1472.79 | Q10 | 262.73 | 4.12 | 7.54 | 5.91 | 7.66 | 0.000781 | 1.52 | 172.61 | 64.41 | 0.3 |
| FuturoA1b | 1448 | | Bridge | | | | | | | | | |
| FuturoA1b | 1423.97 | Q10 | 262.73 | 4.09 | 7.51 | 5.93 | 7.62 | 0.000712 | 1.43 | 183.85 | 69.85 | 0.28 |
| FuturoA1b | 1288.96 | Q10 | 262.73 | 3.82 | 7.3 | 6 | 7.46 | 0.001234 | 1.81 | 145.18 | 58.79 | 0.37 |
| FuturoA1b | 1181.55 | Q10 | 262.73 | 3.7 | 7.19 | | 7.34 | 0.001003 | 1.75 | 149.83 | 54.35 | 0.34 |
| FuturoA1b | 1074.13 | Q10 | 262.73 | 3.59 | 7.02 | | 7.21 | 0.001621 | 1.93 | 135.95 | 61.77 | 0.42 |
| FuturoA1b | 966.72 | Q10 | 262.73 | 3.42 | 6.89 | 5.42 | 7.04 | 0.001213 | 1.75 | 150.31 | 63.93 | 0.36 |
| FuturoA1b | 859.31 | Q10 | 262.73 | 3.32 | 6.57 | 5.86 | 6.87 | 0.002217 | 2.64 | 125.77 | 68.86 | 0.5 |
| FuturoA1b | 788.4 | Q10 | 262.73 | 3.39 | 6.67 | 5.02 | 6.72 | 0.000361 | 1.15 | 334.45 | 186.09 | 0.21 |
| FuturoA1b | 686.49 | Q10 | 262.73 | 3.3 | 6.01 | 5.57 | 6.51 | 0.004926 | 3.13 | 84.97 | 52.81 | 0.71 |
| FuturoA1b | 681 | | Bridge | | | | | | | | | |
| FuturoA1b | 675.49 | Q10 | 262.73 | 3.15 | 6.06 | 5.08 | 6.35 | 0.001987 | 2.42 | 114.79 | 50.88 | 0.48 |
| FuturoA1b | 609.85 | Q10 | 262.73 | 3 | 6 | 5.02 | 6.18 | 0.001413 | 2.16 | 157.73 | 76.31 | 0.41 |
| FuturoA1b | 537.07 | Q10 | 262.73 | 2.82 | 5.76 | 4.87 | 6 | 0.001999 | 2.16 | 123.5 | 60.76 | 0.46 |
| FuturoA1b | 432.08 | Q10 | 262.73 | 2.55 | 5.68 | 4.39 | 5.81 | 0.000947 | 1.64 | 172.72 | 80.68 | 0.33 |
| FuturoA1b | 322.24 | Q10 | 262.73 | 2.35 | 5.6 | 4.38 | 5.7 | 0.000774 | 1.44 | 209.11 | 107.82 | 0.29 |
| FuturoA1b | 214.83 | Q10 | 262.73 | 2.28 | 5.37 | 4.44 | 5.56 | 0.001986 | 1.93 | 136.74 | 80.35 | 0.45 |
| FuturoA1b | 123.32 | Q10 | 262.73 | 2.1 | 5.08 | 4.35 | 5.36 | 0.002684 | 2.33 | 117.11 | 81.58 | 0.53 |

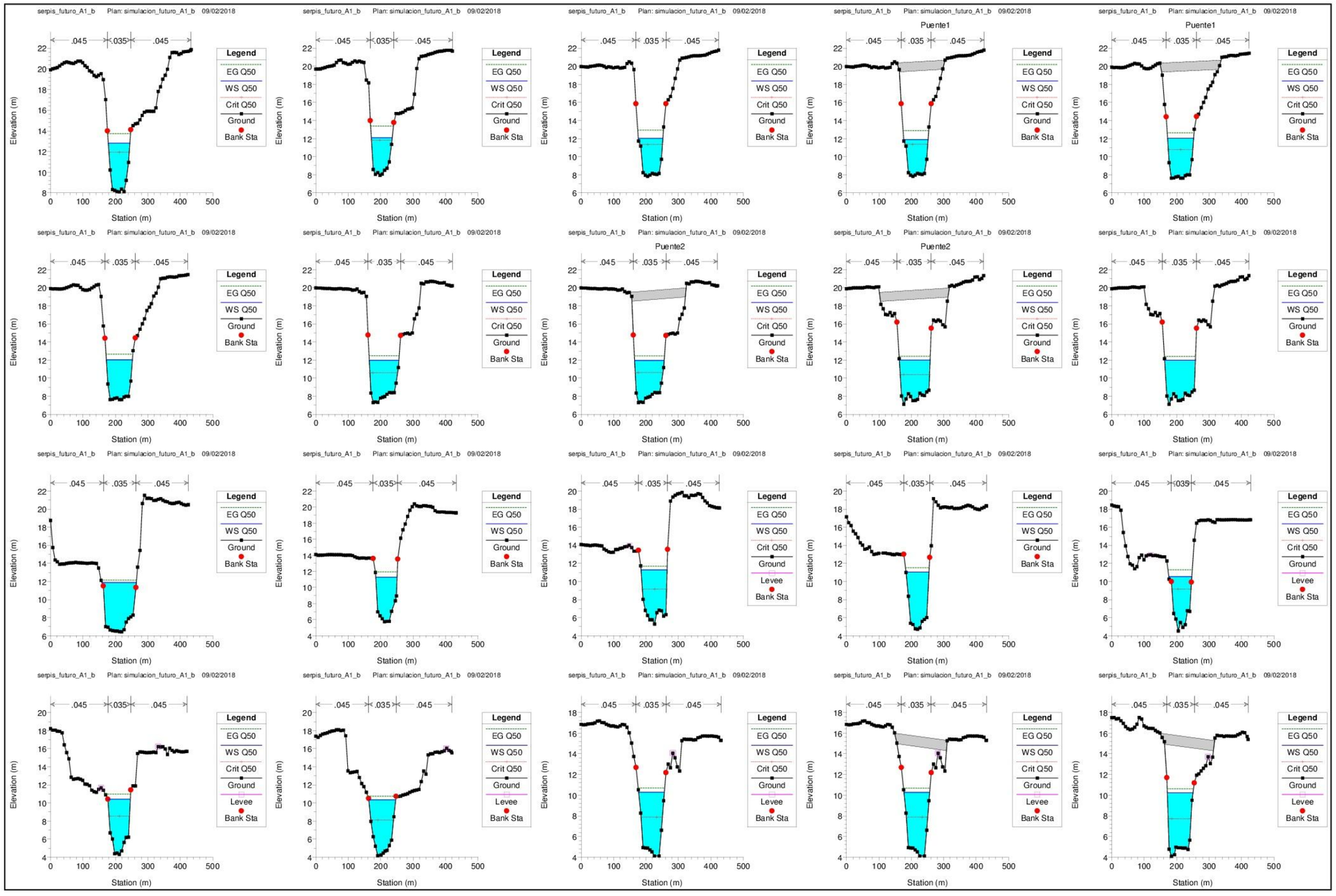
| T= 50 AÑOS | | | | | | | | | | | | |
|---|---|---|---|---|---|---|---|---|---|---|---|---|
| Reach | River Sta | Profile | Q Total (m3/s) | Min Ch El (m) | W.S. Elev (m) | Crit W.S. (m) | E.G. Elev (m) | E.G. Slope (m/m) | Vel Chnl (m/s) | Flow Area (m2) | Top Width (m) | Froude # Chl |
| FuturoA1b | 2478.97 | Q50 | 1043.17 | 8.09 | 12.82 | 11.92 | 13.72 | 0.003848 | 4.2 | 248.09 | 66.37 | 0.69 |
| FuturoA1b | 2411.15 | Q50 | 1043.17 | 7.94 | 12.1 | 11.83 | 13.39 | 0.006676 | 5.02 | 207.73 | 64.38 | 0.89 |
| FuturoA1b | 2351.89 | Q50 | 1043.17 | 7.83 | 12.02 | 11.36 | 12.94 | 0.004745 | 4.25 | 245.34 | 75.84 | 0.75 |
| FuturoA1b | 2341.7 | | Bridge | | | | | | | | | |
| FuturoA1b | 2331.62 | Q50 | 1043.17 | 7.63 | 12.03 | | 12.64 | 0.002617 | 3.47 | 300.51 | 80.45 | 0.57 |
| FuturoA1b | 2288.25 | Q50 | 1043.17 | 7.3 | 11.98 | 10.6 | 12.48 | 0.002205 | 3.13 | 332.86 | 91.44 | 0.52 |
| FuturoA1b | 2283.7 | | Bridge | | | | | | | | | |
| FuturoA1b | 2279.23 | Q50 | 1043.17 | 7.1 | 12 | | 12.42 | 0.001719 | 2.85 | 365.51 | 95.13 | 0.46 |
| FuturoA1b | 2148.27 | Q50 | 1043.17 | 6.44 | 11.9 | | 12.17 | 0.000892 | 2.3 | 454.71 | 106.45 | 0.35 |
| FuturoA1b | 2041.9 | Q50 | 1043.17 | 5.76 | 11.27 | | 11.96 | 0.002476 | 3.67 | 284.22 | 65.83 | 0.56 |
| FuturoA1b | 1942.18 | Q50 | 1043.17 | 5.3 | 11.28 | 9.15 | 11.69 | 0.001375 | 2.83 | 368.02 | 80.47 | 0.42 |
| FuturoA1b | 1827.5 | Q50 | 1043.17 | 4.73 | 11.05 | | 11.52 | 0.001434 | 3.02 | 344.85 | 71.04 | 0.44 |
| FuturoA1b | 1718.61 | Q50 | 1043.17 | 4.52 | 10.54 | 9.15 | 11.29 | 0.002609 | 3.83 | 275.31 | 71 | 0.58 |
| FuturoA1b | 1611.2 | Q50 | 1043.17 | 4.3 | 10.42 | 8.53 | 10.97 | 0.001841 | 3.29 | 316.69 | 69.4 | 0.49 |
| FuturoA1b | 1513.03 | Q50 | 1043.17 | 4.17 | 10.35 | 8.09 | 10.76 | 0.001354 | 2.81 | 371.04 | 83.29 | 0.43 |
| FuturoA1b | 1472.79 | Q50 | 1043.17 | 4.12 | 10.28 | 7.87 | 10.69 | 0.001309 | 2.83 | 368.63 | 79.16 | 0.42 |
| FuturoA1b | 1448 | | Bridge | | | | | | | | | |
| FuturoA1b | 1423.97 | Q50 | 1043.17 | 4.09 | 10.24 | 7.72 | 10.61 | 0.001153 | 2.7 | 385.66 | 79.39 | 0.39 |
| FuturoA1b | 1288.96 | Q50 | 1043.17 | 3.82 | 9.75 | 8.04 | 10.35 | 0.002179 | 3.45 | 302.54 | 70.59 | 0.53 |
| FuturoA1b | 1181.55 | Q50 | 1043.17 | 3.7 | 9.5 | | 10.11 | 0.001995 | 3.51 | 318.9 | 91.73 | 0.52 |
| FuturoA1b | 1074.13 | Q50 | 1043.17 | 3.59 | 9.3 | | 9.87 | 0.002175 | 3.42 | 331.12 | 106.92 | 0.54 |
| FuturoA1b | 966.72 | Q50 | 1043.17 | 3.42 | 9.21 | 7.78 | 9.6 | 0.00148 | 2.94 | 421.18 | 140.68 | 0.45 |
| FuturoA1b | 859.31 | Q50 | 1043.17 | 3.32 | 9.05 | 7.78 | 9.42 | 0.001623 | 3.45 | 471.77 | 157.15 | 0.48 |
| FuturoA1b | 788.4 | Q50 | 1043.17 | 3.39 | 9.17 | 6.42 | 9.27 | 0.000413 | 1.82 | 834.04 | 224.18 | 0.25 |
| FuturoA1b | 686.49 | Q50 | 1043.17 | 3.3 | 8.72 | 7.88 | 9.15 | 0.001861 | 3.43 | 451.51 | 179.99 | 0.51 |
| FuturoA1b | 681 | | Bridge | | | | | | | | | |
| FuturoA1b | 675.49 | Q50 | 1043.17 | 3.15 | 8.7 | 7.5 | 9.11 | 0.001477 | 3.32 | 456.08 | 153.29 | 0.46 |
| FuturoA1b | 609.85 | Q50 | 1043.17 | 3 | 8.5 | 6.88 | 9.02 | 0.002005 | 3.9 | 393.39 | 121.71 | 0.54 |
| FuturoA1b | 537.07 | Q50 | 1043.17 | 2.82 | 8 | 6.92 | 8.8 | 0.002789 | 4.07 | 287.17 | 95.01 | 0.62 |
| FuturoA1b | 432.08 | Q50 | 1043.17 | 2.55 | 8.08 | 6.22 | 8.45 | 0.001215 | 2.9 | 475.01 | 177.98 | 0.42 |
| FuturoA1b | 322.24 | Q50 | 1043.17 | 2.35 | 8.1 | 5.91 | 8.27 | 0.000671 | 2.14 | 701.98 | 260.19 | 0.31 |
| FuturoA1b | 214.83 | Q50 | 1043.17 | 2.28 | 7.48 | 6.28 | 8.07 | 0.002331 | 3.46 | 320.61 | 94.02 | 0.55 |
| FuturoA1b | 123.32 | Q50 | 1043.17 | 2.1 | 7.15 | 6.38 | 7.76 | 0.002684 | 3.75 | 348.78 | 135.32 | 0.59 |

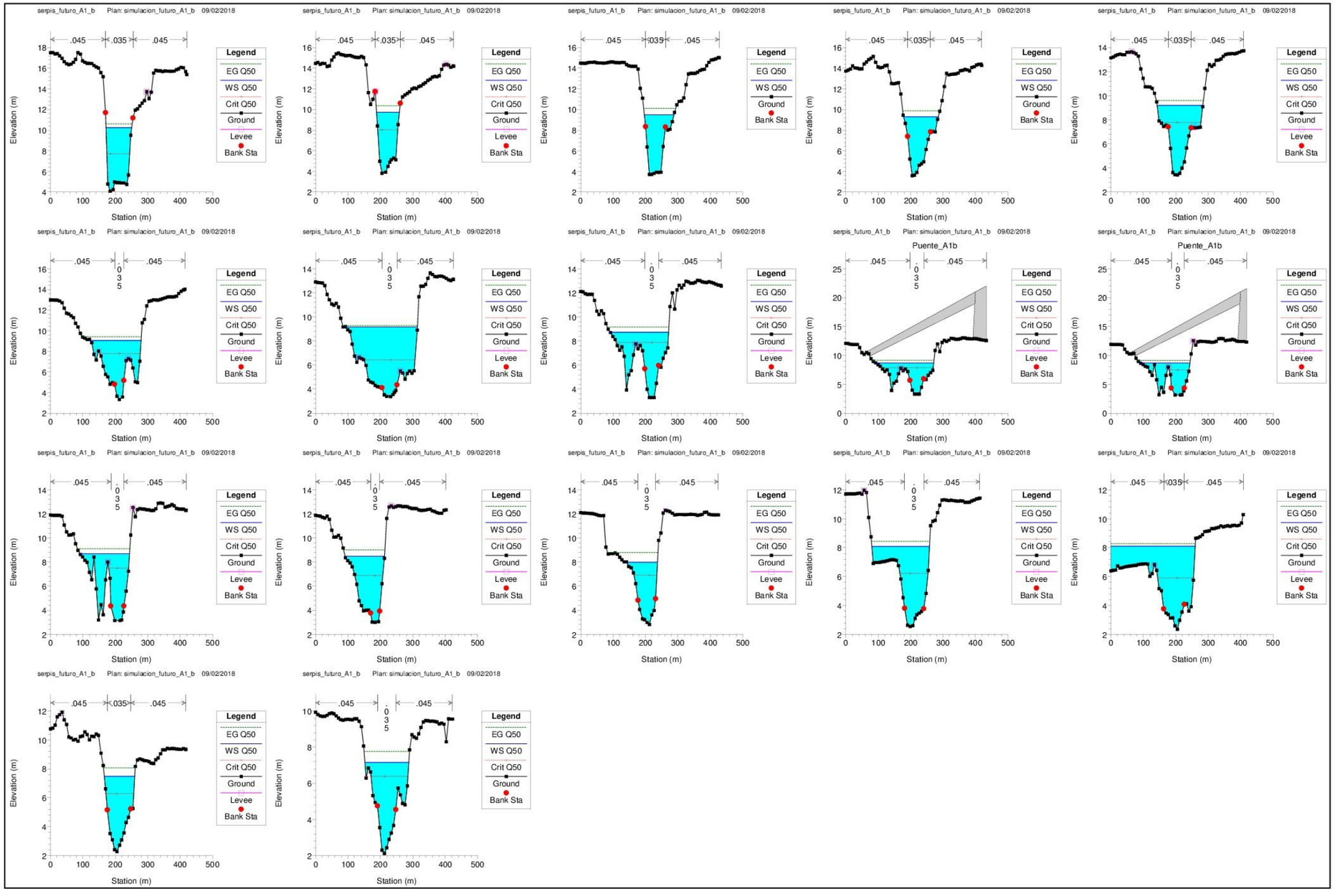
| T= 100 AÑOS | | | | | | | | | | | | |
|---|---|---|---|---|---|---|---|---|---|---|---|---|
| Reach | River Sta | Profile | Q Total (m3/s) | Min Ch El (m) | W.S. Elev (m) | Crit W.S. (m) | E.G. Elev (m) | E.G. Slope (m/m) | Vel Chnl (m/s) | Flow Area (m2) | Top Width (m) | Froude # Chl |
| FuturoA1b | 2478.97 | Q100 | 1779.85 | 8.09 | 14.34 | 13.29 | 15.63 | 0.003849 | 5.03 | 354.1 | 76.51 | 0.72 |
| FuturoA1b | 2411.15 | Q100 | 1779.85 | 7.94 | 13.69 | 13.21 | 15.31 | 0.005585 | 5.63 | 316.07 | 71.61 | 0.86 |
| FuturoA1b | 2351.89 | Q100 | 1779.85 | 7.83 | 13.81 | 12.64 | 14.89 | 0.00344 | 4.59 | 387.5 | 83.13 | 0.68 |
| FuturoA1b | 2341.7 | | Bridge | | | | | | | | | |
| FuturoA1b | 2331.62 | Q100 | 1779.85 | 7.63 | 13.9 | | 14.67 | 0.002177 | 3.88 | 459.31 | 90.23 | 0.55 |
| FuturoA1b | 2288.25 | Q100 | 1779.85 | 7.3 | 13.9 | 11.69 | 14.51 | 0.001668 | 3.46 | 514.46 | 97.9 | 0.48 |
| FuturoA1b | 2283.7 | | Bridge | | | | | | | | | |
| FuturoA1b | 2279.23 | Q100 | 1779.85 | 7.1 | 13.92 | | 14.45 | 0.00137 | 3.22 | 553.42 | 100.46 | 0.44 |
| FuturoA1b | 2148.27 | Q100 | 1779.85 | 6.44 | 13.86 | | 14.23 | 0.000764 | 2.71 | 680.69 | 126.44 | 0.34 |
| FuturoA1b | 2041.9 | Q100 | 1779.85 | 5.76 | 13.03 | | 14.01 | 0.002571 | 4.39 | 405.05 | 72.86 | 0.6 |
| FuturoA1b | 1942.18 | Q100 | 1779.85 | 5.3 | 13.11 | 10.33 | 13.7 | 0.001433 | 3.41 | 521.72 | 88.3 | 0.45 |
| FuturoA1b | 1827.5 | Q100 | 1779.85 | 4.73 | 12.77 | | 13.49 | 0.001681 | 3.75 | 474.62 | 79.76 | 0.49 |
| FuturoA1b | 1718.61 | Q100 | 1779.85 | 4.52 | 12.11 | 10.6 | 13.24 | 0.00265 | 4.73 | 393.5 | 79.5 | 0.62 |
| FuturoA1b | 1611.2 | Q100 | 1779.85 | 4.3 | 12.07 | 9.87 | 12.88 | 0.001885 | 4.04 | 480.03 | 149.46 | 0.52 |
| FuturoA1b | 1513.03 | Q100 | 1779.85 | 4.17 | 12.09 | 9.38 | 12.63 | 0.001234 | 3.31 | 605.77 | 180.43 | 0.43 |
| FuturoA1b | 1472.79 | Q100 | 1779.85 | 4.12 | 11.92 | 9.21 | 12.55 | 0.001548 | 3.52 | 506.27 | 88.78 | 0.47 |
| FuturoA1b | 1448 | | Bridge | | | | | | | | | |
| FuturoA1b | 1423.97 | Q100 | 1779.85 | 4.09 | 11.87 | 8.96 | 12.46 | 0.001355 | 3.42 | 523.15 | 91.74 | 0.44 |
| FuturoA1b | 1288.96 | Q100 | 1779.85 | 3.82 | 11.12 | 9.44 | 12.11 | 0.002689 | 4.4 | 405.89 | 82.23 | 0.61 |
| FuturoA1b | 1181.55 | Q100 | 1779.85 | 3.7 | 10.85 | | 11.82 | 0.00232 | 4.49 | 455.48 | 119.93 | 0.58 |
| FuturoA1b | 1074.13 | Q100 | 1779.85 | 3.59 | 10.71 | | 11.51 | 0.002137 | 4.12 | 494.87 | 123.5 | 0.56 |
| FuturoA1b | 966.72 | Q100 | 1779.85 | 3.42 | 10.7 | 8.89 | 11.22 | 0.001384 | 3.45 | 646.78 | 168.42 | 0.45 |
| FuturoA1b | 859.31 | Q100 | 1779.85 | 3.32 | 10.61 | 8.81 | 11.01 | 0.001398 | 3.81 | 762.54 | 202.65 | 0.47 |
| FuturoA1b | 788.4 | Q100 | 1779.85 | 3.39 | 10.73 | 7.31 | 10.87 | 0.000419 | 2.17 | 1205 | 245.58 | 0.26 |
| FuturoA1b | 686.49 | Q100 | 1779.85 | 3.3 | 10.38 | 8.74 | 10.77 | 0.00128 | 3.48 | 775.81 | 216.79 | 0.44 |
| FuturoA1b | 681 | | Bridge | | | | | | | | | |
| FuturoA1b | 675.49 | Q100 | 1779.85 | 3.15 | 10.26 | 8.26 | 10.73 | 0.001312 | 3.72 | 715.24 | 183.72 | 0.45 |
| FuturoA1b | 609.85 | Q100 | 1779.85 | 3 | 9.96 | 7.93 | 10.63 | 0.001995 | 4.57 | 582.88 | 137.62 | 0.56 |
| FuturoA1b | 537.07 | Q100 | 1779.85 | 2.82 | 9.26 | 8.53 | 10.4 | 0.003031 | 5.01 | 456.57 | 161.62 | 0.67 |
| FuturoA1b | 432.08 | Q100 | 1779.85 | 2.55 | 9.57 | 7.82 | 9.99 | 0.001093 | 3.27 | 747.04 | 189.24 | 0.41 |
| FuturoA1b | 322.24 | Q100 | 1779.85 | 2.35 | 9.61 | 7.31 | 9.82 | 0.00064 | 2.5 | 1140.58 | 398.56 | 0.31 |
| FuturoA1b | 214.83 | Q100 | 1779.85 | 2.28 | 8.56 | 7.43 | 9.57 | 0.002956 | 4.57 | 430.2 | 134.32 | 0.65 |
| FuturoA1b | 123.32 | Q100 | 1779.85 | 2.1 | 8.35 | 7.47 | 9.16 | 0.002683 | 4.45 | 517.46 | 148.26 | 0.62 |

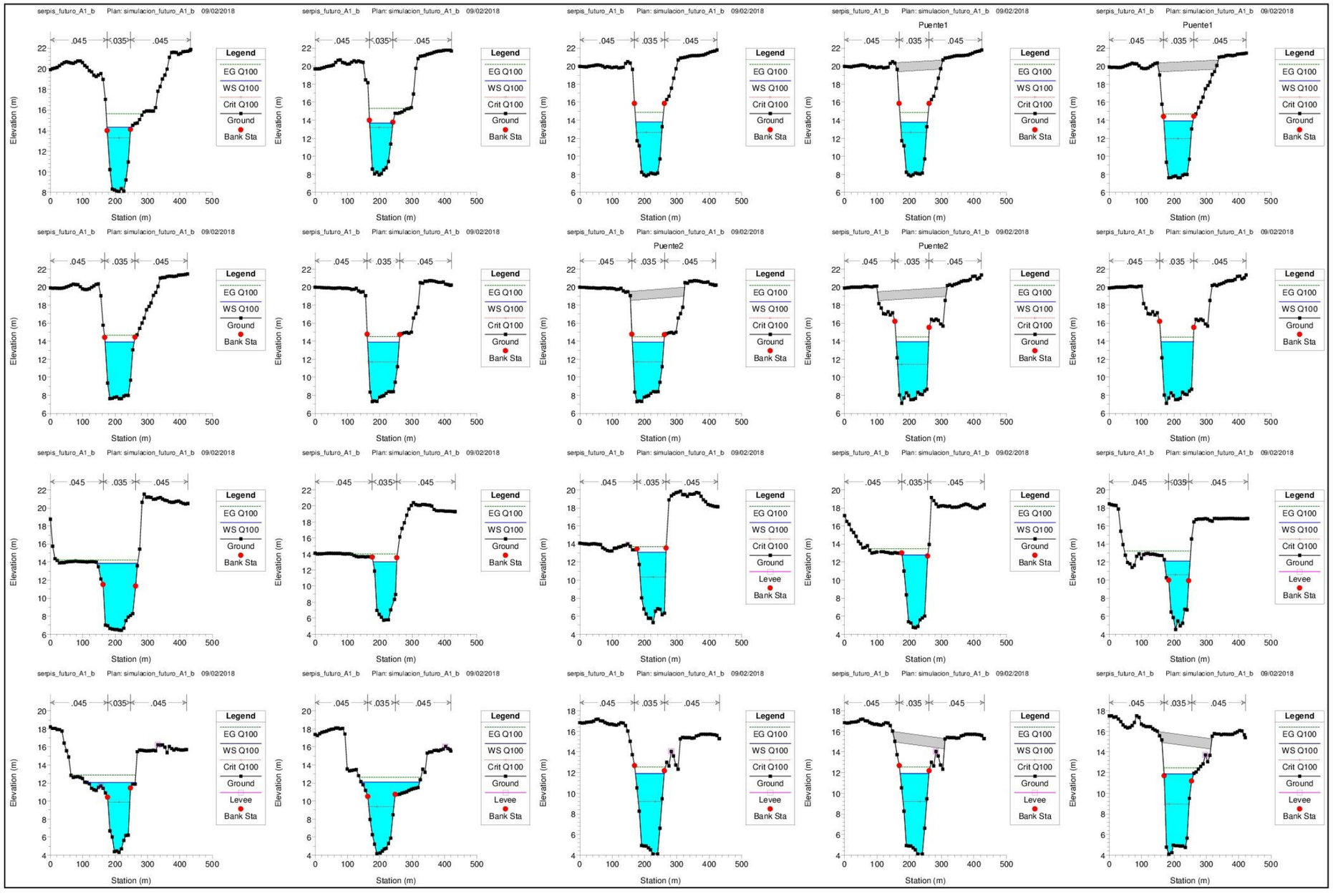
| T= 500 AÑOS | | | | | | | | | | | | |
|---|---|---|---|---|---|---|---|---|---|---|---|---|
| Reach | River Sta | Profile | Q Total (m3/s) | Min Ch El (m) | W.S. Elev (m) | Crit W.S. (m) | E.G. Elev (m) | E.G. Slope (m/m) | Vel Chnl (m/s) | Flow Area (m2) | Top Width (m) | Froude # Chl |
| FuturoA1b | 2478.97 | Q500 | 3878.21 | 8.09 | 17.68 | 16.71 | 19.3 | 0.002649 | 5.9 | 791.79 | 164.29 | 0.66 |
| FuturoA1b | 2411.15 | Q500 | 3878.21 | 7.94 | 17.21 | 16.43 | 19.09 | 0.003223 | 6.29 | 712.45 | 140.88 | 0.72 |
| FuturoA1b | 2351.89 | Q500 | 3878.21 | 7.83 | 16.58 | 15.3 | 18.48 | 0.00367 | 6.11 | 639.14 | 106.44 | 0.75 |
| FuturoA1b | 2341.7 | | Bridge | | | | | | | | | |
| FuturoA1b | 2331.62 | Q500 | 3878.21 | 7.63 | 16.76 | | 18.15 | 0.002294 | 5.26 | 773.98 | 130.92 | 0.6 |
| FuturoA1b | 2288.25 | Q500 | 3878.21 | 7.3 | 16.82 | 14.07 | 17.91 | 0.001742 | 4.68 | 886.53 | 149.48 | 0.53 |
| FuturoA1b | 2283.7 | | Bridge | | | | | | | | | |
| FuturoA1b | 2279.23 | Q500 | 3878.21 | 7.1 | 16.83 | | 17.86 | 0.001633 | 4.5 | 888.61 | 156.15 | 0.51 |
| FuturoA1b | 2148.27 | Q500 | 3878.21 | 6.44 | 16.93 | | 17.44 | 0.000713 | 3.39 | 1473.49 | 273.53 | 0.35 |
| FuturoA1b | 2041.9 | Q500 | 3878.21 | 5.76 | 16.19 | | 17.26 | 0.001881 | 4.98 | 1055.71 | 261.81 | 0.55 |
| FuturoA1b | 1942.18 | Q500 | 3878.21 | 5.3 | 16.3 | 13 | 17 | 0.001134 | 4.01 | 1269.19 | 271.38 | 0.43 |
| FuturoA1b | 1827.5 | Q500 | 3878.21 | 4.73 | 15.86 | | 16.79 | 0.001456 | 4.59 | 1105.55 | 246.33 | 0.49 |
| FuturoA1b | 1718.61 | Q500 | 3878.21 | 4.52 | 15.61 | 14.25 | 16.64 | 0.001625 | 5.04 | 1080.51 | 223.58 | 0.52 |
| FuturoA1b | 1611.2 | Q500 | 3878.21 | 4.3 | 15.58 | 13.46 | 16.4 | 0.001237 | 4.43 | 1182.95 | 247.78 | 0.46 |
| FuturoA1b | 1513.03 | Q500 | 3878.21 | 4.17 | 15.58 | 12.48 | 16.17 | 0.000869 | 3.76 | 1398.96 | 275.2 | 0.39 |
| FuturoA1b | 1472.79 | Q500 | 3878.21 | 4.12 | 14.94 | 12.03 | 16.07 | 0.001685 | 4.79 | 885.96 | 153.98 | 0.52 |
| FuturoA1b | 1448 | | Bridge | | | | | | | | | |
| FuturoA1b | 1423.97 | Q500 | 3878.21 | 4.09 | 14.7 | 11.72 | 15.85 | 0.001658 | 4.86 | 888.91 | 151.32 | 0.52 |
| FuturoA1b | 1288.96 | Q500 | 3878.21 | 3.82 | 14.2 | 12.82 | 15.44 | 0.002116 | 5.25 | 953.99 | 241.74 | 0.58 |
| FuturoA1b | 1181.55 | Q500 | 3878.21 | 3.7 | 13.52 | | 15.14 | 0.002622 | 6.09 | 828.69 | 176.44 | 0.66 |
| FuturoA1b | 1074.13 | Q500 | 3878.21 | 3.59 | 13.45 | | 14.75 | 0.002212 | 5.47 | 892.01 | 196.13 | 0.61 |
| FuturoA1b | 966.72 | Q500 | 3878.21 | 3.42 | 13.49 | 10.61 | 14.29 | 0.001429 | 4.54 | 1247.02 | 296.79 | 0.49 |
| FuturoA1b | 859.31 | Q500 | 3878.21 | 3.32 | 13.38 | 10.75 | 14.02 | 0.001655 | 5.2 | 1477.8 | 389.89 | 0.54 |
| FuturoA1b | 788.4 | Q500 | 3878.21 | 3.39 | 13.58 | 8.78 | 13.83 | 0.000539 | 3.07 | 2076.24 | 420.33 | 0.31 |
| FuturoA1b | 686.49 | Q500 | 3878.21 | 3.3 | 13.16 | 10.67 | 13.72 | 0.001278 | 4.43 | 1561.01 | 433.48 | 0.47 |
| FuturoA1b | 681 | | Bridge | | | | | | | | | |
| FuturoA1b | 675.49 | Q500 | 3878.21 | 3.15 | 12.54 | 10.13 | 13.45 | 0.001921 | 5.45 | 1238.22 | 359.43 | 0.58 |
| FuturoA1b | 609.85 | Q500 | 3878.21 | 3 | 11.77 | 9.92 | 13.22 | 0.003494 | 7.08 | 886.04 | 197.87 | 0.77 |
| FuturoA1b | 537.07 | Q500 | 3878.21 | 2.82 | 11.58 | 11 | 13.12 | 0.003025 | 6.29 | 854.04 | 180.94 | 0.71 |
| FuturoA1b | 432.08 | Q500 | 3878.21 | 2.55 | 11.95 | 9.53 | 12.66 | 0.001361 | 4.5 | 1346.01 | 356.04 | 0.48 |
| FuturoA1b | 322.24 | Q500 | 3878.21 | 2.35 | 12.18 | 8.64 | 12.4 | 0.00051 | 2.79 | 2187.17 | 408.55 | 0.3 |
| FuturoA1b | 214.83 | Q500 | 3878.21 | 2.28 | 11.11 | 10.75 | 12.21 | 0.002271 | 5.26 | 1127.55 | 369.06 | 0.61 |
| FuturoA1b | 123.32 | Q500 | 3878.21 | 2.1 | 10.64 | 9.36 | 11.74 | 0.002682 | 5.67 | 1195.99 | 422.37 | 0.66 |

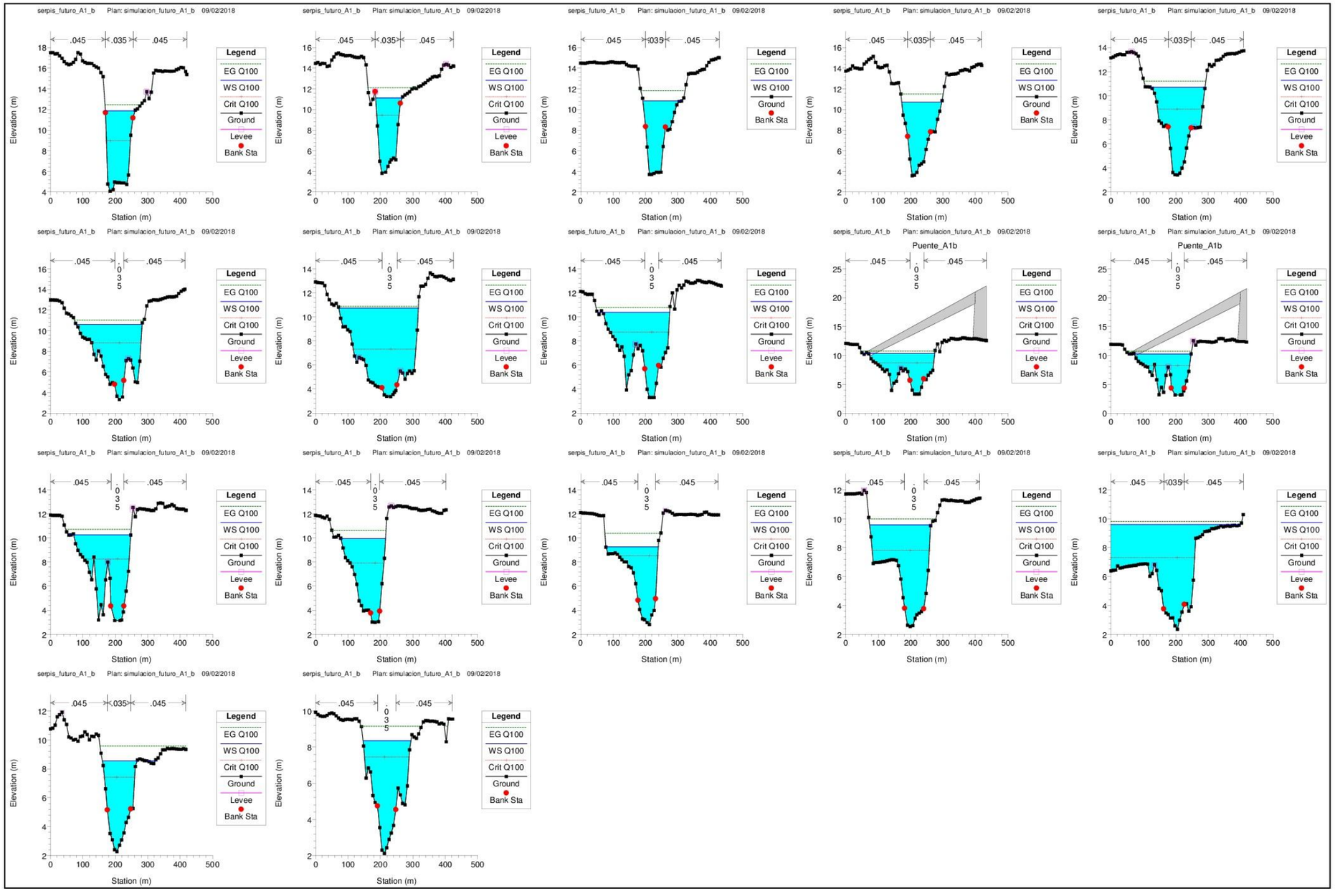

serpis_futuro_A1_b Plan: simulacion_futuro_A1_b 09/02/2018
Puente1
Puente2
.045 .035 .045
Legend
EG Q10
WS Q10
Crit Q10
Ground
Levee
Bank Sta
Elevation (m)
Station (m)

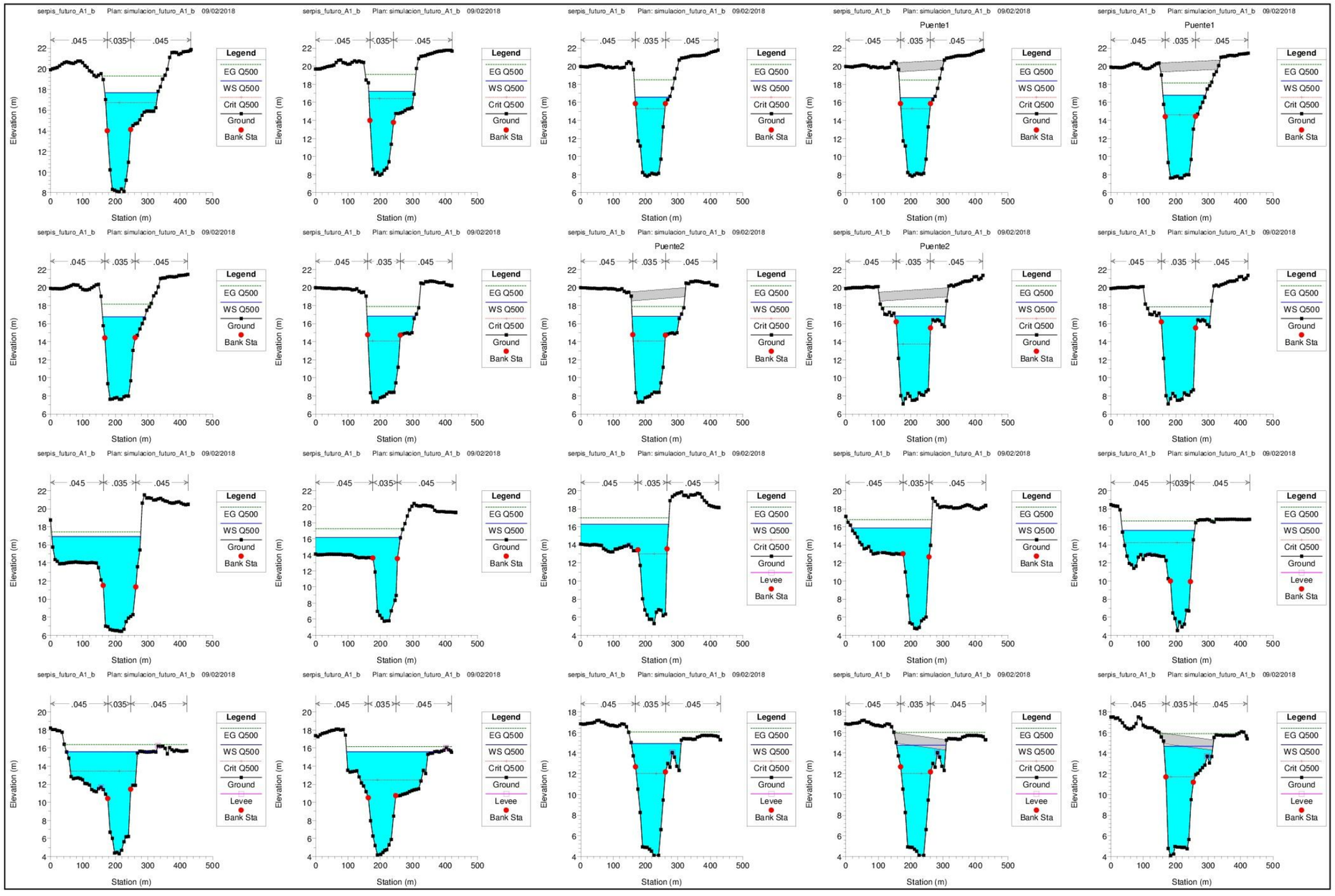

serpis_futuro_A1_b Plan: simulacion_futuro_A1_b 09/02/2018
Puente_A1b
.045
.035
.045
Legend
EG Q10
WS Q10
Crit Q10
Ground
Levee
Bank Sta
Elevation (m)
Station (m)

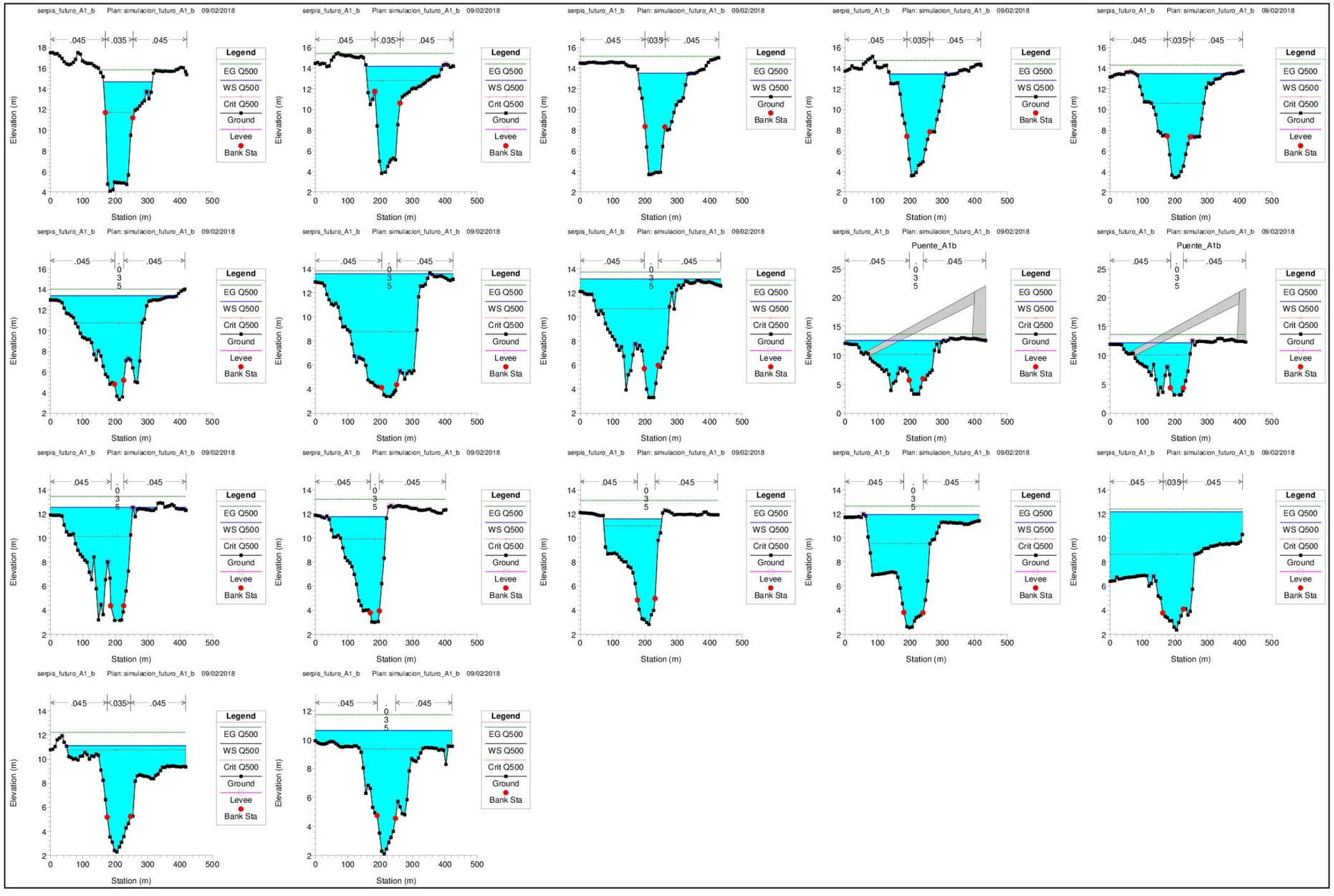

serpis_futuro_A1_b Plan: simulacion_futuro_A1_b 09/02/2018
Puente1
Puente2
.045 .035 .045
Legend
EG Q50
WS Q50
Crit Q50
Ground
Levee
Bank Sta
Elevation (m)
Station (m)

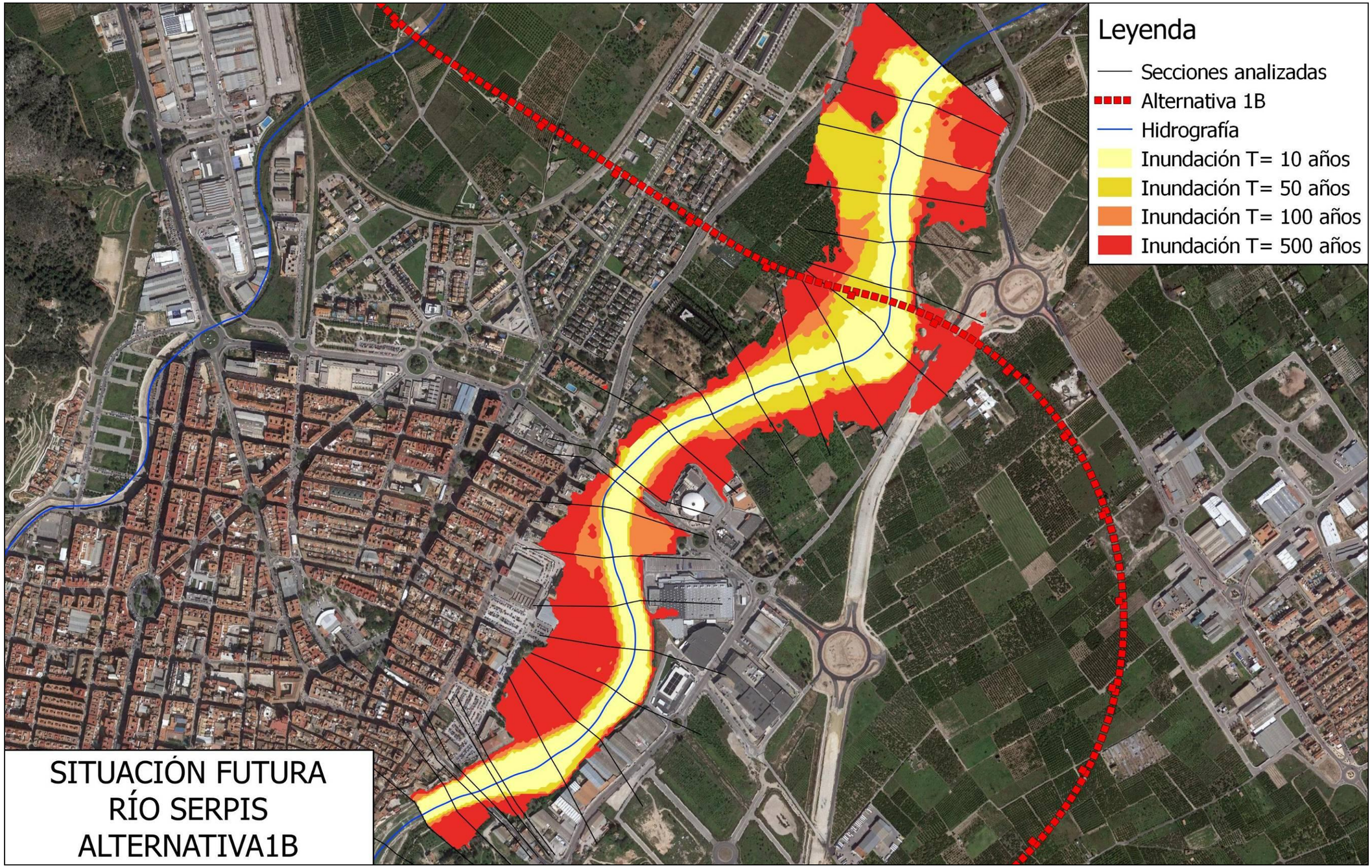

serpis_futuro_A1_b Plan: simulacion_futuro_A1_b 09/02/2018
Puente_A1b
Legend
EG Q50
WS Q50
Crit Q50
Ground
Levee
Bank Sta
Elevation (m)
Station (m)
.045
.035
.045


serpis_futuro_A1_b Plan: simulacion_futuro_A1_b 09/02/2018
Puente1
Puente2
.045 .035 .045
Legend
EG Q100
WS Q100
Crit Q100
Ground
Levee
Bank Sta
Elevation (m)
Station (m)


serpis_futuro_A1_b Plan: simulacion_futuro_A1_b 09/02/2018
Puente_A1b
.045
.035
.045
Legend
EG Q100
WS Q100
Crit Q100
Ground
Levee
Bank Sta
Elevation (m)
Station (m)

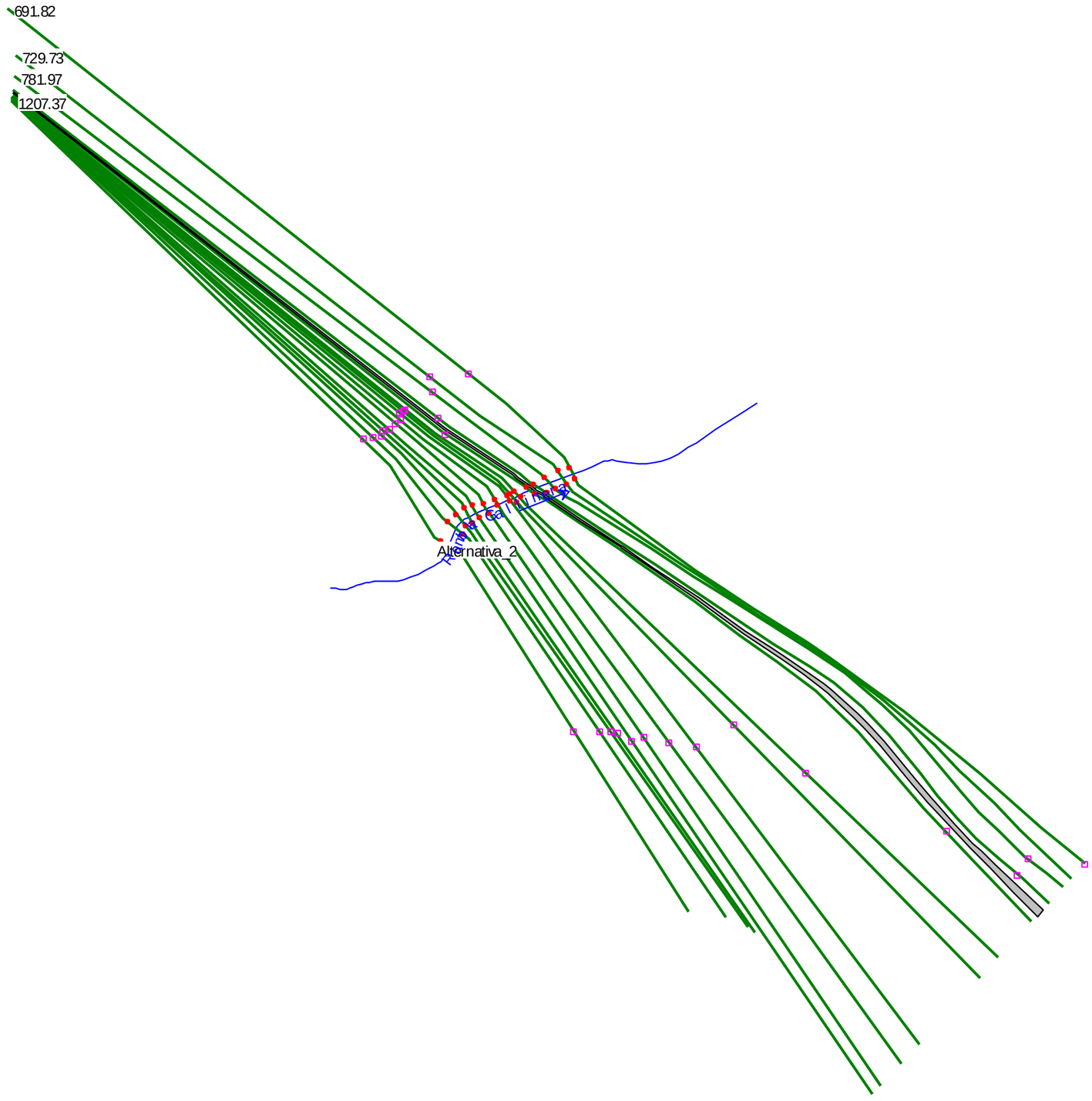

serpis_futuro_A1_b Plan: simulacion_futuro_A1_b 09/02/2018
Puente1
Puente2
.045
.035
.045
Legend
EG Q500
WS Q500
Crit Q500
Ground
Levee
Bank Sta
Elevation (m)
Station (m)

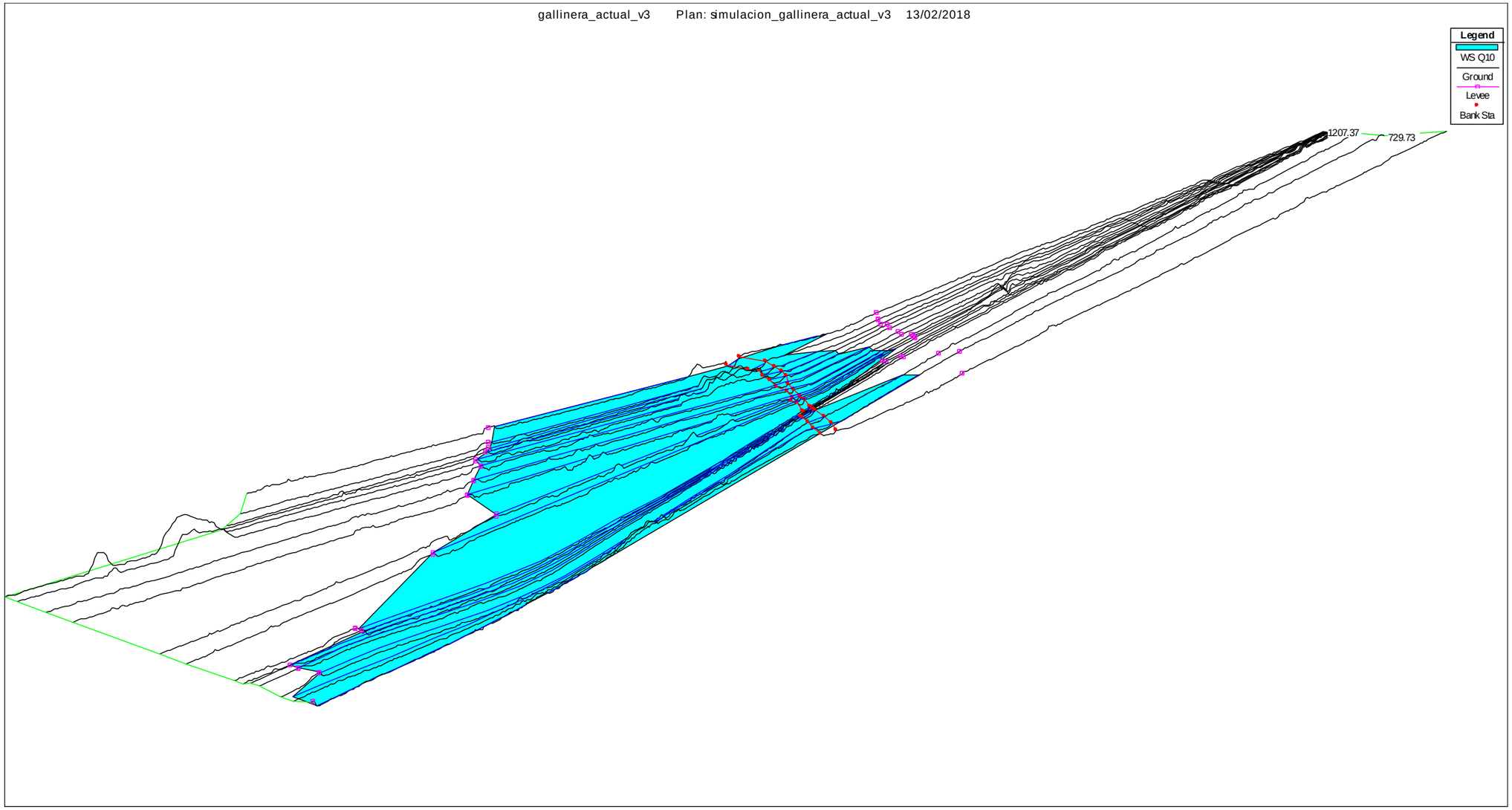

serpis_futuro_A1_b Plan: simulacion_futuro_A1_b 09/02/2018
Puente_A1b
Legend
EG Q500
WS Q500
Crit Q500
Ground
Levee
Bank Sta
Elevation (m)
Station (m)
.045
.035
0
3
5

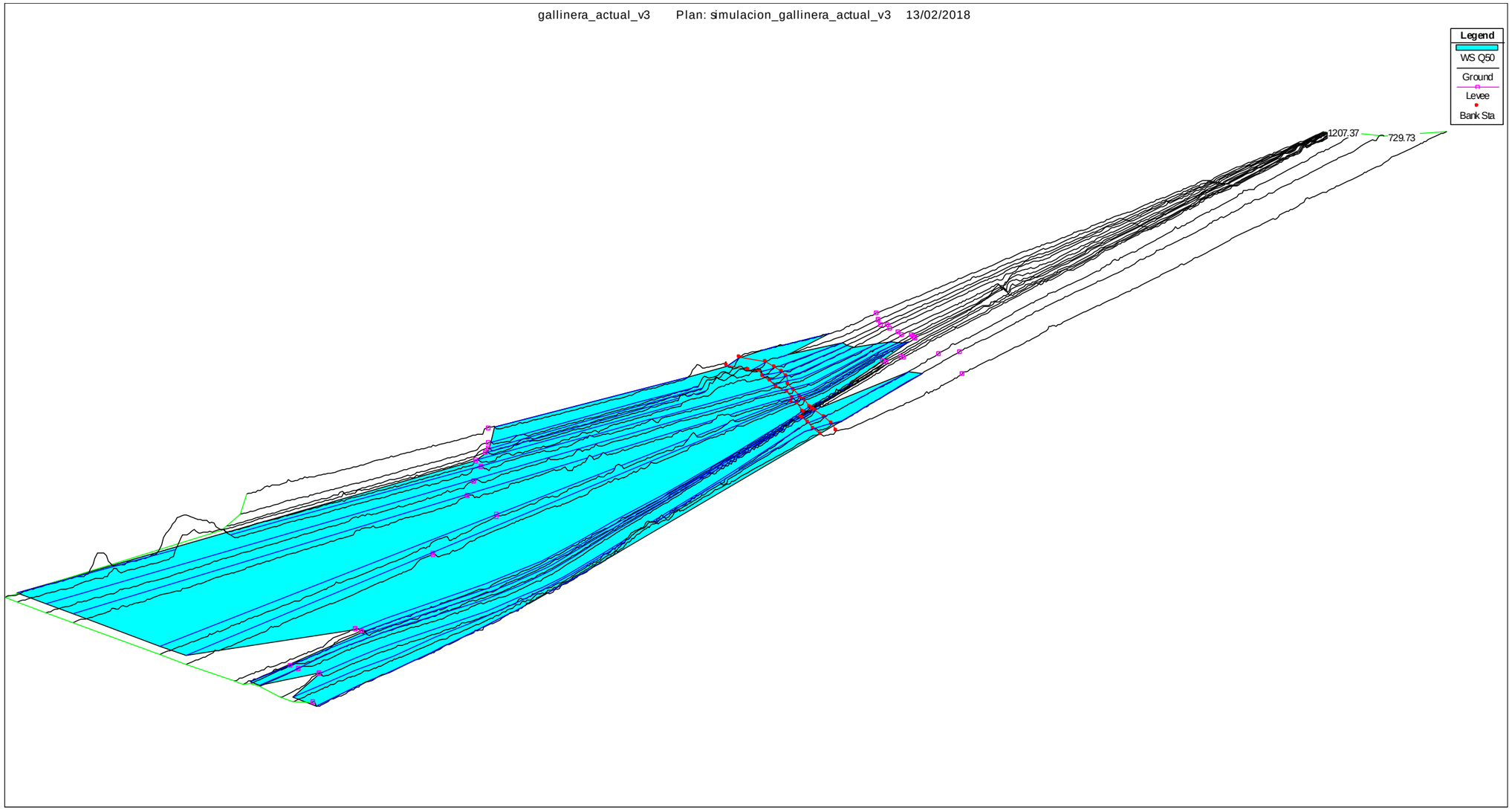

Leyenda
Secciones analizadas
Alternativa 1B
Hidrografía
Inundación T= 10 años
Inundación T= 50 años
Inundación T= 100 años
Inundación T= 500 años
SITUACIÓN FUTURA
RÍO SERPIS
ALTERNATIVA1B

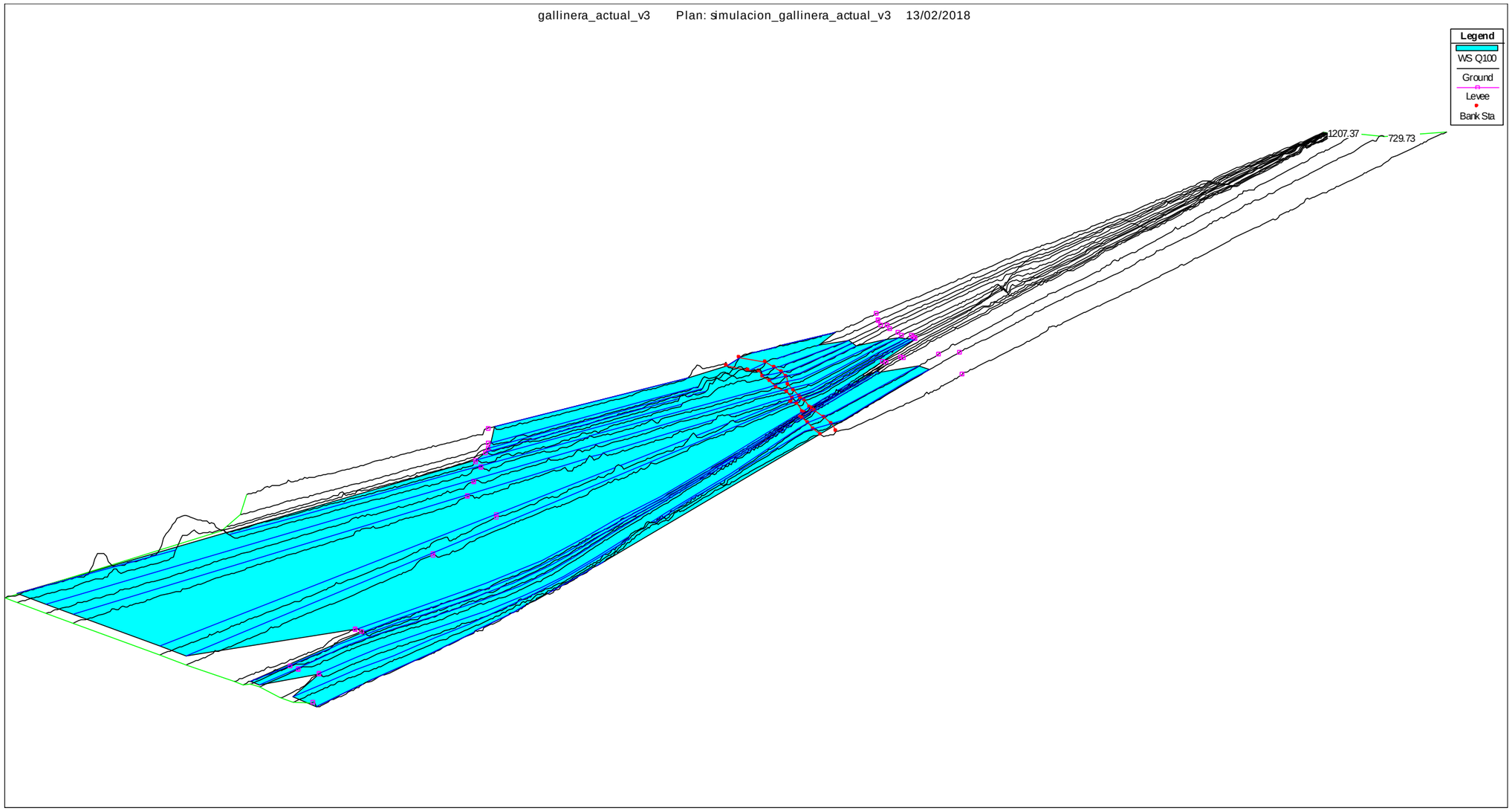
# APÉNDICE 8.2. ESTUDIO HIDRÁULICO DE LA RAMBLA GALLINERA

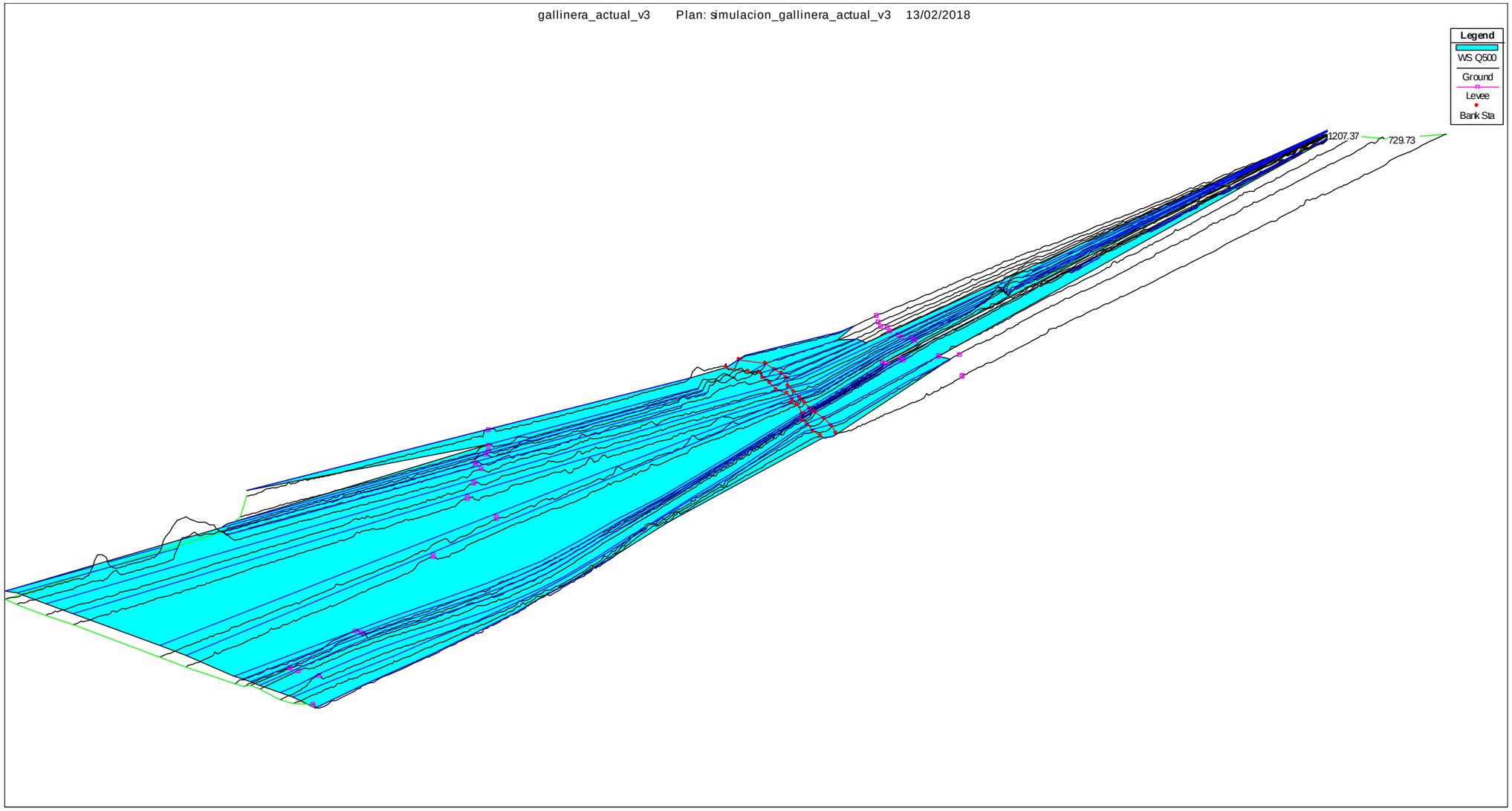
## APÉNDICE 8.2.1. RAMBLA GALLINERA. SITUACIÓN ACTUAL

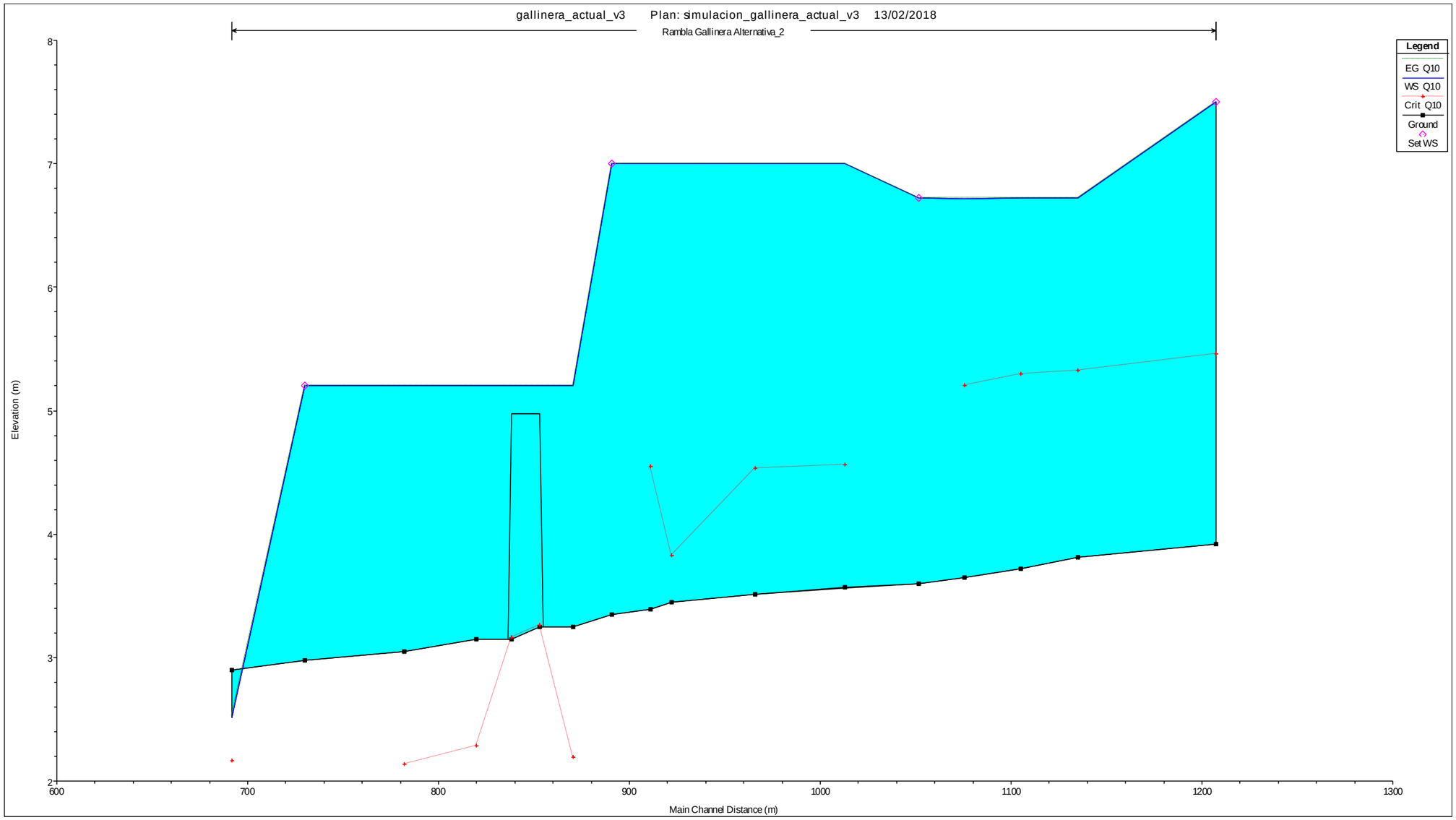

691.82
729.73
781.97
1207.37
Alternativa_2

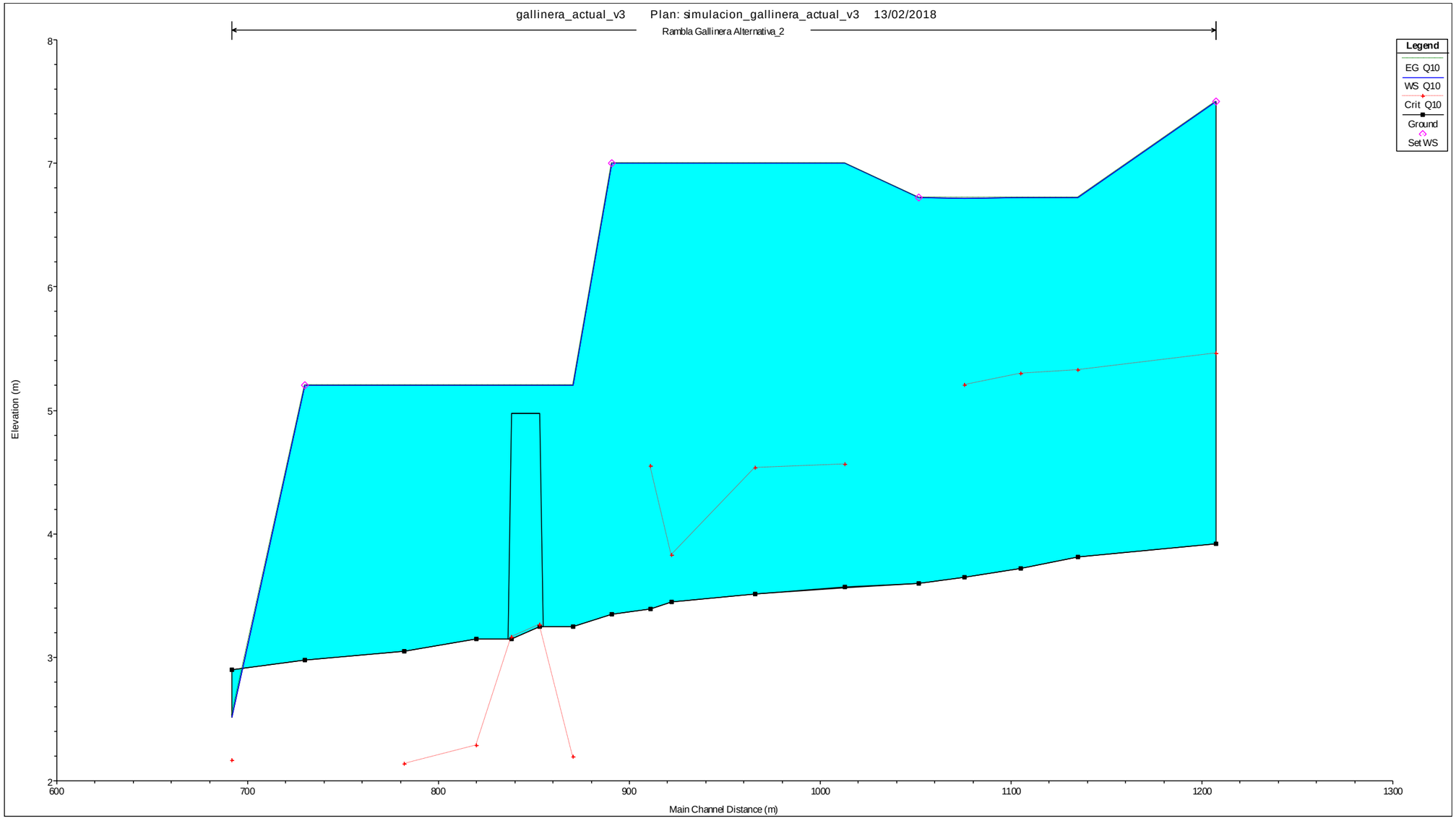

gallinera_actual_v3 Plan: simulacion_gallinera_actual_v3 13/02/2018
Legend
WS Q10
Ground
Levee
Bank Sta
1207.37
729.73

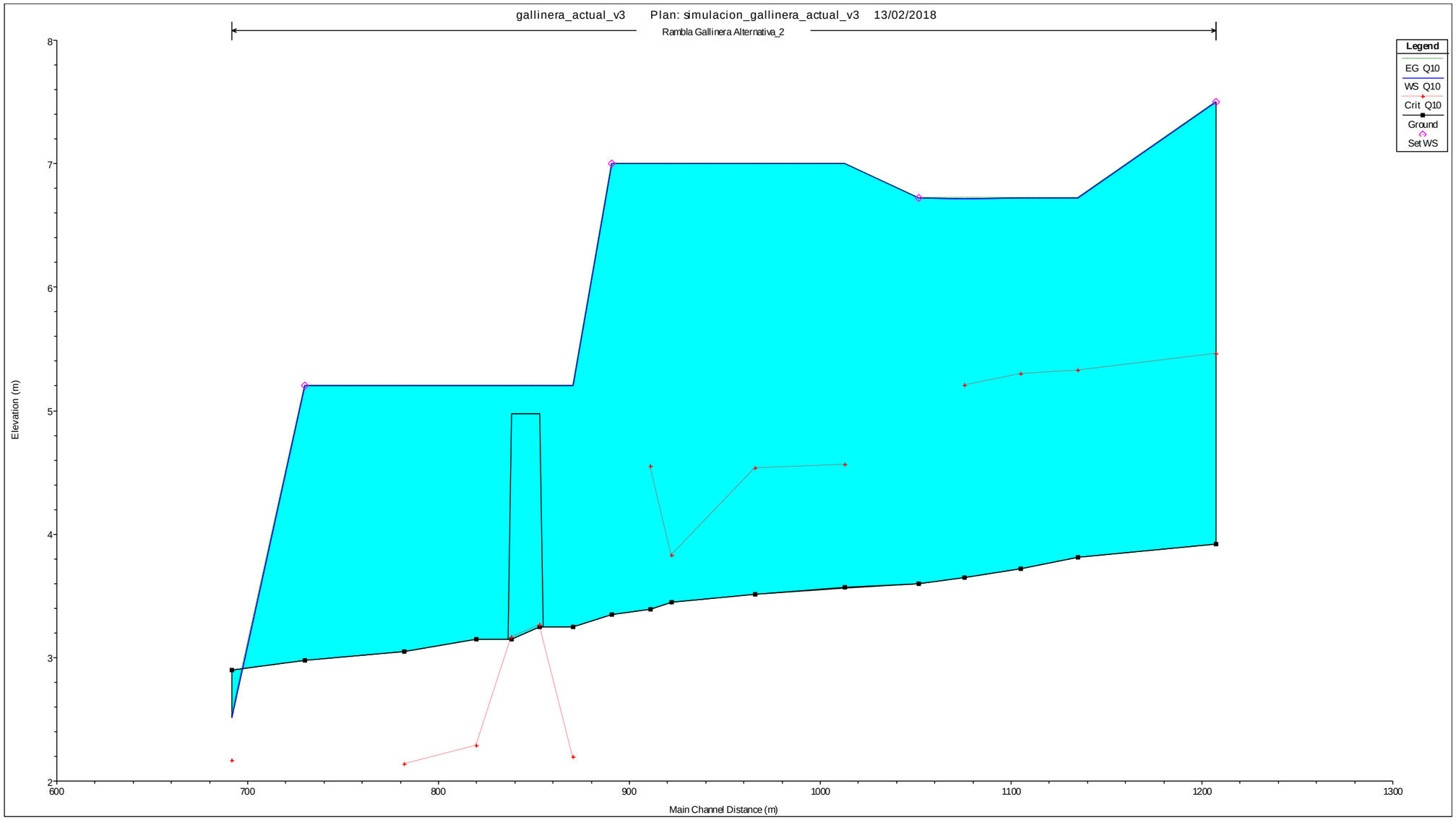

gallinera_actual_v3 Plan: simulacion_gallinera_actual_v3 13/02/2018
Legend
WS Q50
Ground
Levee
Bank Sta
1207.37
729.73

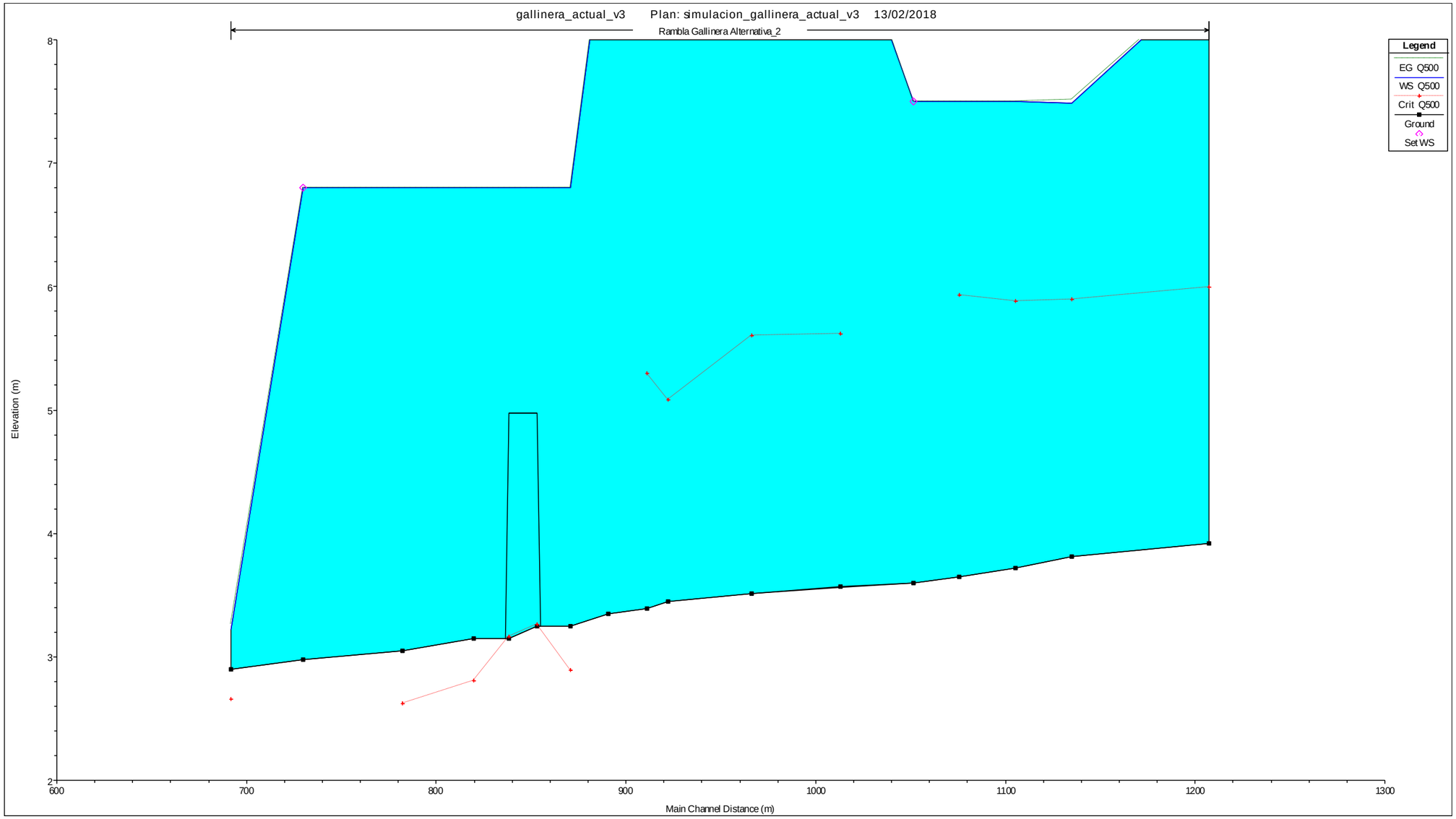

gallinera_actual_v3 Plan: simulacion_gallinera_actual_v3 13/02/2018
Legend
WS Q100
Ground
Levee
Bank Sta
1207.37
729.73


gallinera_actual_v3 Plan: simulacion_gallinera_actual_v3 13/02/2018
Legend
WS Q500
Ground
Levee
Bank Sta
1207.37
729.73


gallinera_actual_v3 Plan: simulacion_gallinera_actual_v3 13/02/2018
Rambla Gallinera Alternativa_2
Legend
EG Q10
WS Q10
Crit Q10
Ground
Set WS
Elevation (m)
8
7
6
5
4
3
2
600
700
800
900
1000
1100
1200
1300
Main Channel Distance (m)


gallinera_actual_v3 Plan: simulacion_gallinera_actual_v3 13/02/2018
Rambla Gallinera Alternativa_2
Legend
EG Q10
WS Q10
Crit Q10
Ground
Set WS
Elevation (m)
8
7
6
5
4
3
2
600
700
800
900
1000
1100
1200
1300
Main Channel Distance (m)


gallinera_actual_v3 Plan: simulacion_gallinera_actual_v3 13/02/2018
Rambla Gallinera Alternativa_2
Legend
EG Q10
WS Q10
Crit Q10
Ground
Set WS
Elevation (m)
8
7
6
5
4
3
2
600
700
800
900
1000
1100
1200
1300
Main Channel Distance (m)

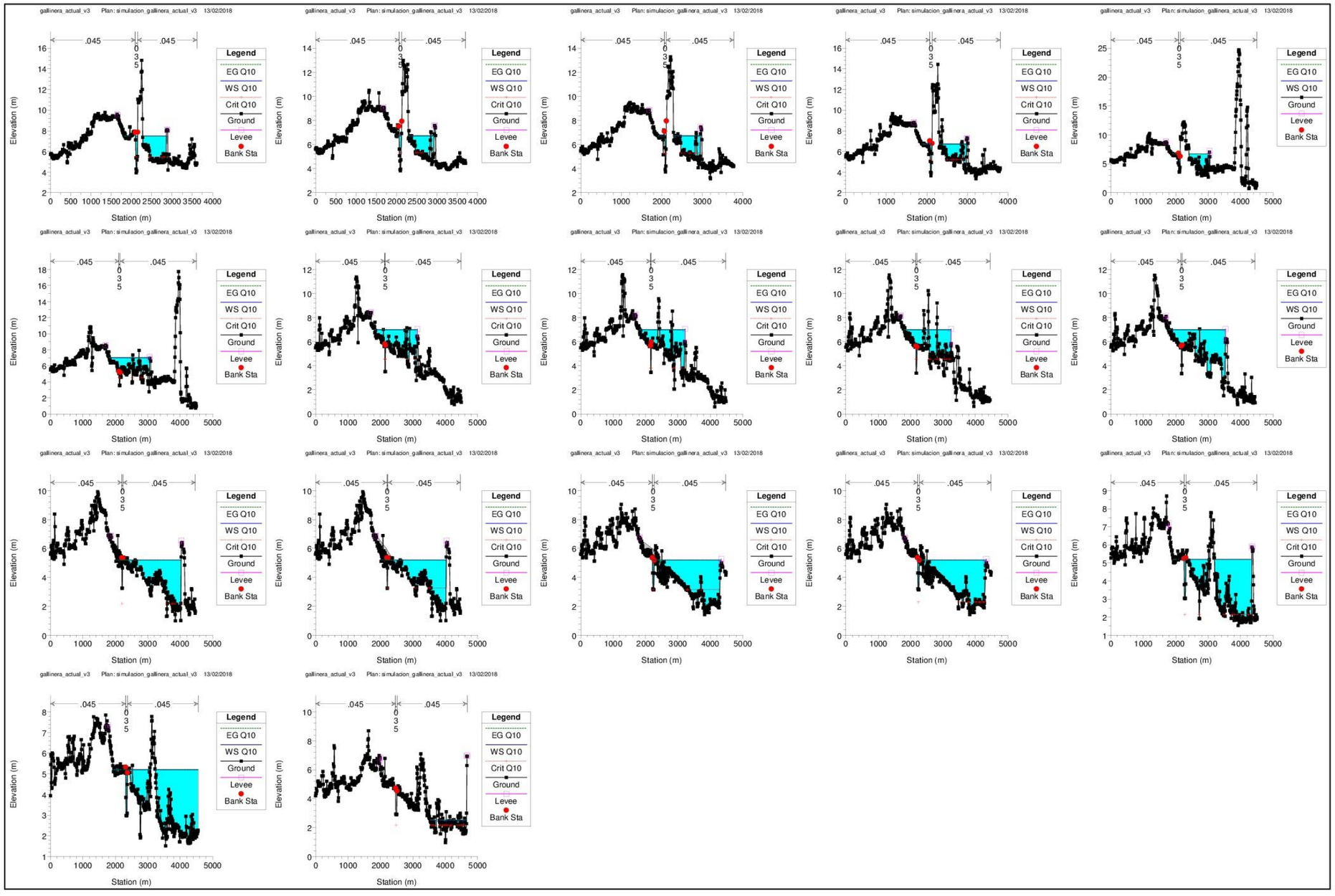

gallinera_actual_v3 Plan: simulacion_gallinera_actual_v3 13/02/2018
Rambla Gallinera Alternativa_2
Legend
EG Q500
WS Q500
Crit Q500
Ground
Set WS
Elevation (m)
8
7
6
5
4
3
2
600
700
800
900
1000
1100
1200
1300
Main Channel Distance (m)

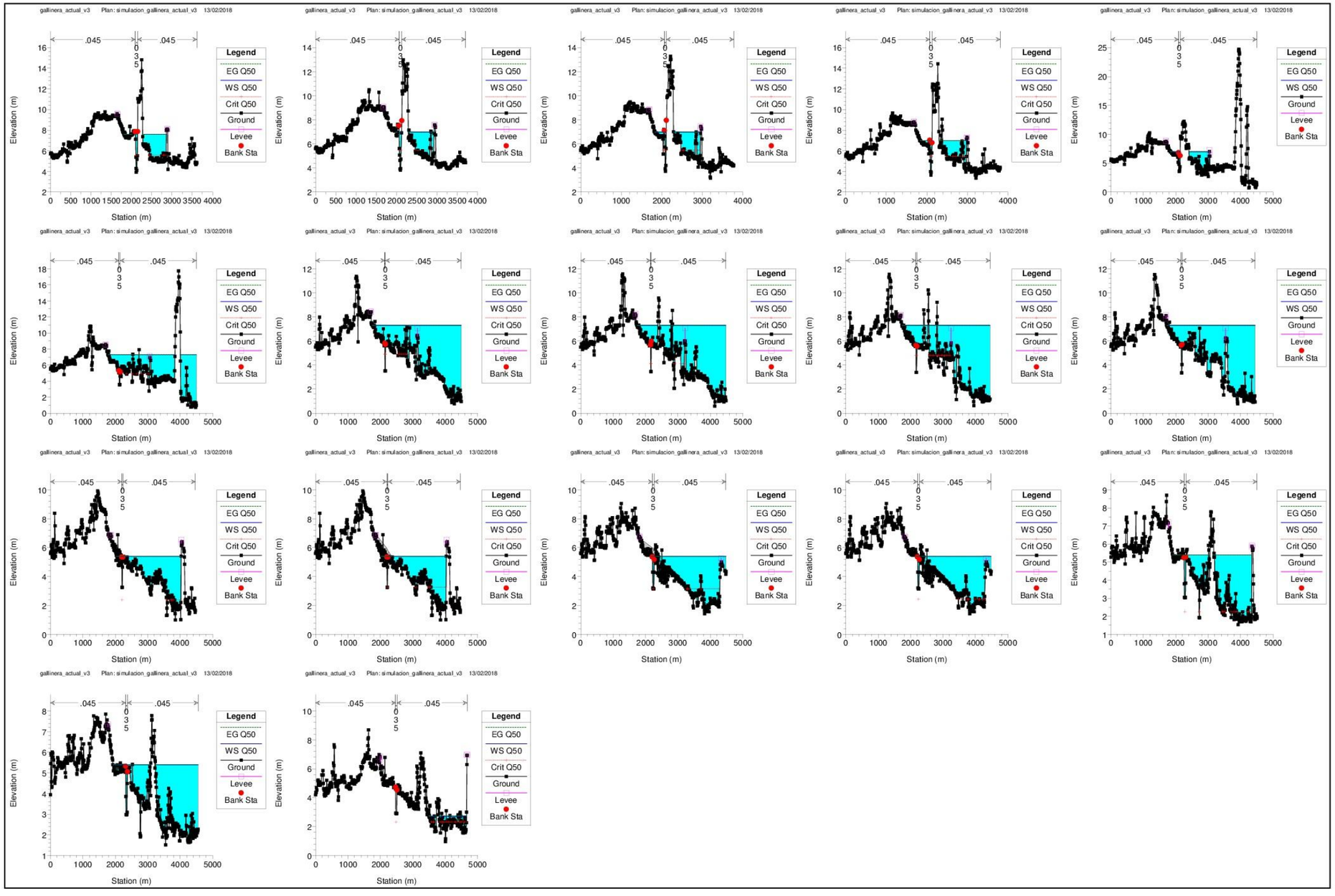
| T= 10 AÑOS | | | | | | | | | | | | |
|---|---|---|---|---|---|---|---|---|---|---|---|---|
| Reach | River Sta | Profile | Q Total (m3/s) | Min Ch El (m) | W.S. Elev (m) | Crit W.S. (m) | E.G. Elev (m) | E.G. Slope (m/m) | Vel Chnl (m/s) | Flow Area (m2) | Top Width (m) | Froude # Chl |
| Gallinera | 1207.37 | Q10 | 198.95 | 3.92 | 7.5 | 5.46 | 7.5 | 0.000018 | 0.21 | 1297.26 | 750.67 | 0.04 |
| Gallinera | 1134.91 | Q10 | 198.95 | 3.81 | 6.72 | 5.32 | 6.73 | 0.000055 | 0.32 | 900.12 | 681.39 | 0.07 |
| Gallinera | 1105.27 | Q10 | 198.95 | 3.72 | 6.72 | 5.3 | 6.72 | 0.00006 | 0.32 | 905.25 | 804.63 | 0.08 |
| Gallinera | 1075.64 | Q10 | 198.95 | 3.65 | 6.72 | 5.2 | 6.72 | 0.000059 | 0.32 | 926.26 | 835.18 | 0.08 |
| Gallinera | 1051.51 | Q10 | 198.95 | 3.6 | 6.72 | | 6.72 | 0.000013 | 0.16 | 1517.64 | 866.49 | 0.04 |
| Gallinera | 1012.94 | Q10 | 198.95 | 3.57 | 7 | 4.56 | 7 | 0.000012 | 0.2 | 1832.12 | 1239.28 | 0.04 |
| Gallinera | 966.07 | Q10 | 198.95 | 3.51 | 7 | 4.54 | 7 | 0.000011 | 0.18 | 1938.93 | 1306.34 | 0.03 |
| Gallinera | 922.11 | Q10 | 198.95 | 3.45 | 7 | 3.83 | 7 | 0.000007 | 0.15 | 2200.41 | 1328.41 | 0.03 |
| Gallinera | 911.22 | Q10 | 198.95 | 3.39 | 7 | 4.54 | 7 | 0.000006 | 0.14 | 2287.65 | 1358.85 | 0.03 |
| Gallinera | 890.81 | Q10 | 198.95 | 3.35 | 7 | | 7 | 0.000002 | 0.08 | 3462.36 | 1746.73 | 0.02 |
| Gallinera | 870.62 | Q10 | 198.95 | 3.25 | 5.2 | 2.19 | 5.2 | 0.000005 | 0.06 | 2783.83 | 1819.98 | 0.02 |
| Gallinera | 845 | | Bridge | | | | | | | | | |
| Gallinera | 819.83 | Q10 | 198.95 | 3.15 | 5.2 | 2.29 | 5.2 | 0.000002 | 0.05 | 3960.13 | 2035.34 | 0.01 |
| Gallinera | 781.97 | Q10 | 198.95 | 3.05 | 5.2 | 2.14 | 5.2 | 0.000002 | 0.05 | 4028.42 | 1977.09 | 0.01 |
| Gallinera | 729.73 | Q10 | 198.95 | 2.98 | 5.2 | | 5.2 | 0.000001 | 0.04 | 4558.67 | 2306.4 | 0.01 |
| Gallinera | 691.82 | Q10 | 198.95 | 2.9 | 2.51 | 2.16 | 2.53 | 0.001901 | | 335.86 | 868.81 | 0 |

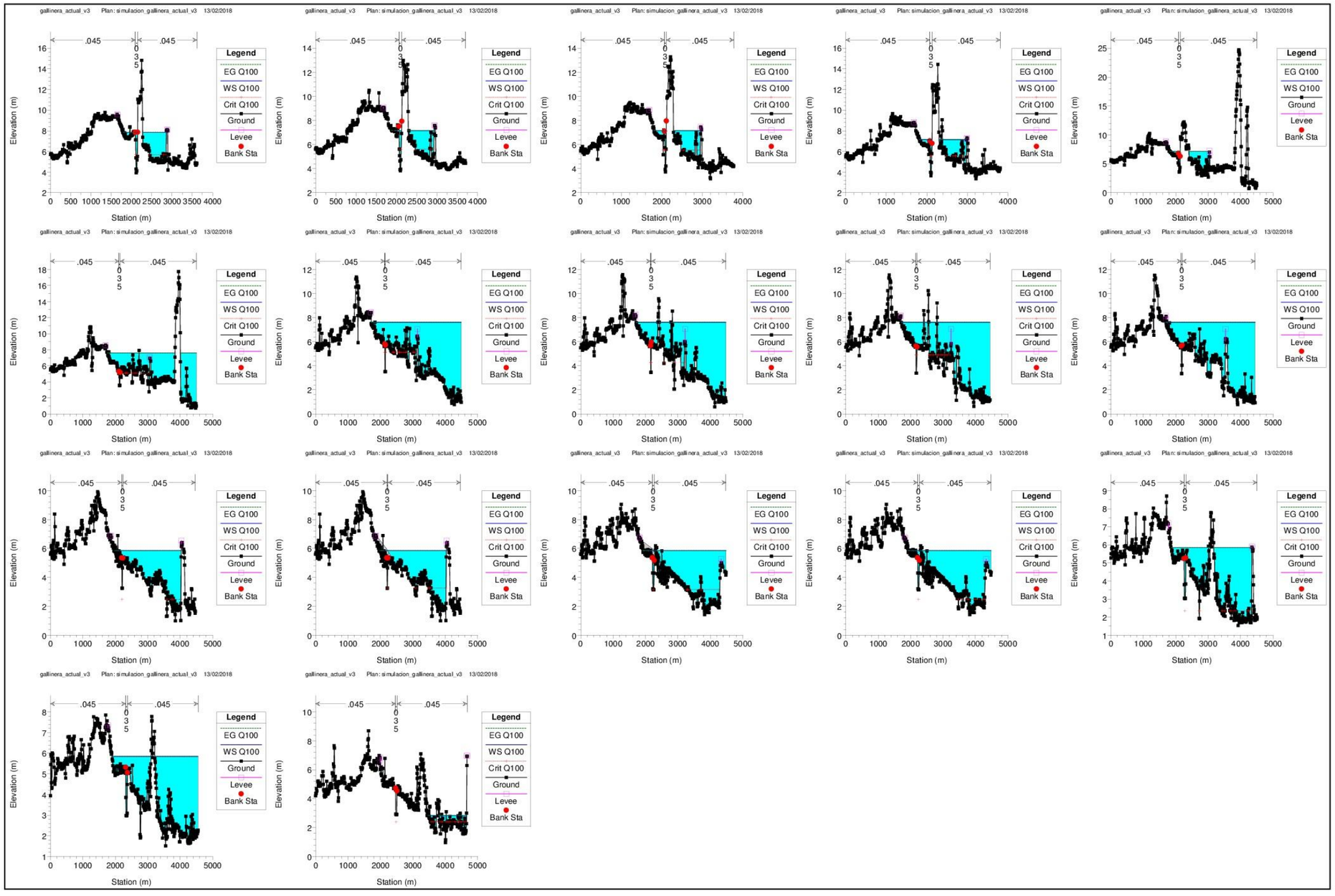
| T= 50 AÑOS | | | | | | | | | | | | |
|---|---|---|---|---|---|---|---|---|---|---|---|---|
| Reach | River Sta | Profile | Q Total (m3/s) | Min Ch El (m) | W.S. Elev (m) | Crit W.S. (m) | E.G. Elev (m) | E.G. Slope (m/m) | Vel Chnl (m/s) | Flow Area (m2) | Top Width (m) | Froude # Chl |
| Gallinera | 1207.37 | Q50 | 357.92 | 3.92 | 7.6 | 5.59 | 7.6 | 0.00005 | 0.35 | 1375.87 | 818.46 | 0.07 |
| Gallinera | 1134.91 | Q50 | 357.92 | 3.81 | 6.99 | 5.48 | 6.99 | 0.00011 | 0.48 | 1086.09 | 725.96 | 0.11 |
| Gallinera | 1105.27 | Q50 | 357.92 | 3.72 | 6.98 | 5.47 | 6.99 | 0.00012 | 0.47 | 1132.95 | 928.23 | 0.11 |
| Gallinera | 1075.64 | Q50 | 357.92 | 3.65 | 6.98 | 5.47 | 6.98 | 0.000108 | 0.46 | 1158.06 | 937.13 | 0.11 |
| Gallinera | 1051.51 | Q50 | 357.92 | 3.6 | 6.98 | | 6.98 | 0.000028 | 0.26 | 1753.84 | 935.71 | 0.05 |
| Gallinera | 1012.94 | Q50 | 357.92 | 3.57 | 7.3 | 4.89 | 7.3 | 0.000001 | 0.06 | 7262.65 | 2533.23 | 0.01 |
| Gallinera | 966.07 | Q50 | 357.92 | 3.51 | 7.3 | 4.92 | 7.3 | 0.000001 | 0.05 | 8494.64 | 2727.21 | 0.01 |
| Gallinera | 922.11 | Q50 | 357.92 | 3.45 | 7.3 | 4.12 | 7.3 | 0.000001 | 0.05 | 8604.97 | 2662.53 | 0.01 |
| Gallinera | 911.22 | Q50 | 357.92 | 3.39 | 7.3 | 4.81 | 7.3 | 0.000001 | 0.04 | 8847.27 | 2643.23 | 0.01 |
| Gallinera | 890.81 | Q50 | 357.92 | 3.35 | 7.3 | | 7.3 | 0.000001 | 0.05 | 8902.48 | 2714.96 | 0.01 |
| Gallinera | 870.62 | Q50 | 357.92 | 3.25 | 5.4 | 2.38 | 5.4 | 0.000013 | 0.11 | 3159.15 | 1916.41 | 0.03 |
| Gallinera | 845 | | Bridge | | | | | | | | | |
| Gallinera | 819.83 | Q50 | 357.92 | 3.15 | 5.4 | 2.42 | 5.4 | 0.000005 | 0.09 | 4487.83 | 2215.7 | 0.02 |
| Gallinera | 781.97 | Q50 | 357.92 | 3.05 | 5.4 | 2.27 | 5.4 | 0.000004 | 0.08 | 4449.77 | 2207.14 | 0.02 |
| Gallinera | 729.73 | Q50 | 357.92 | 2.98 | 5.4 | | 5.4 | 0.000003 | 0.07 | 5043.34 | 2484.35 | 0.02 |
| Gallinera | 691.82 | Q50 | 357.92 | 2.9 | 2.71 | 2.33 | 2.74 | 0.0019 | | 524.93 | 981.55 | 0 |

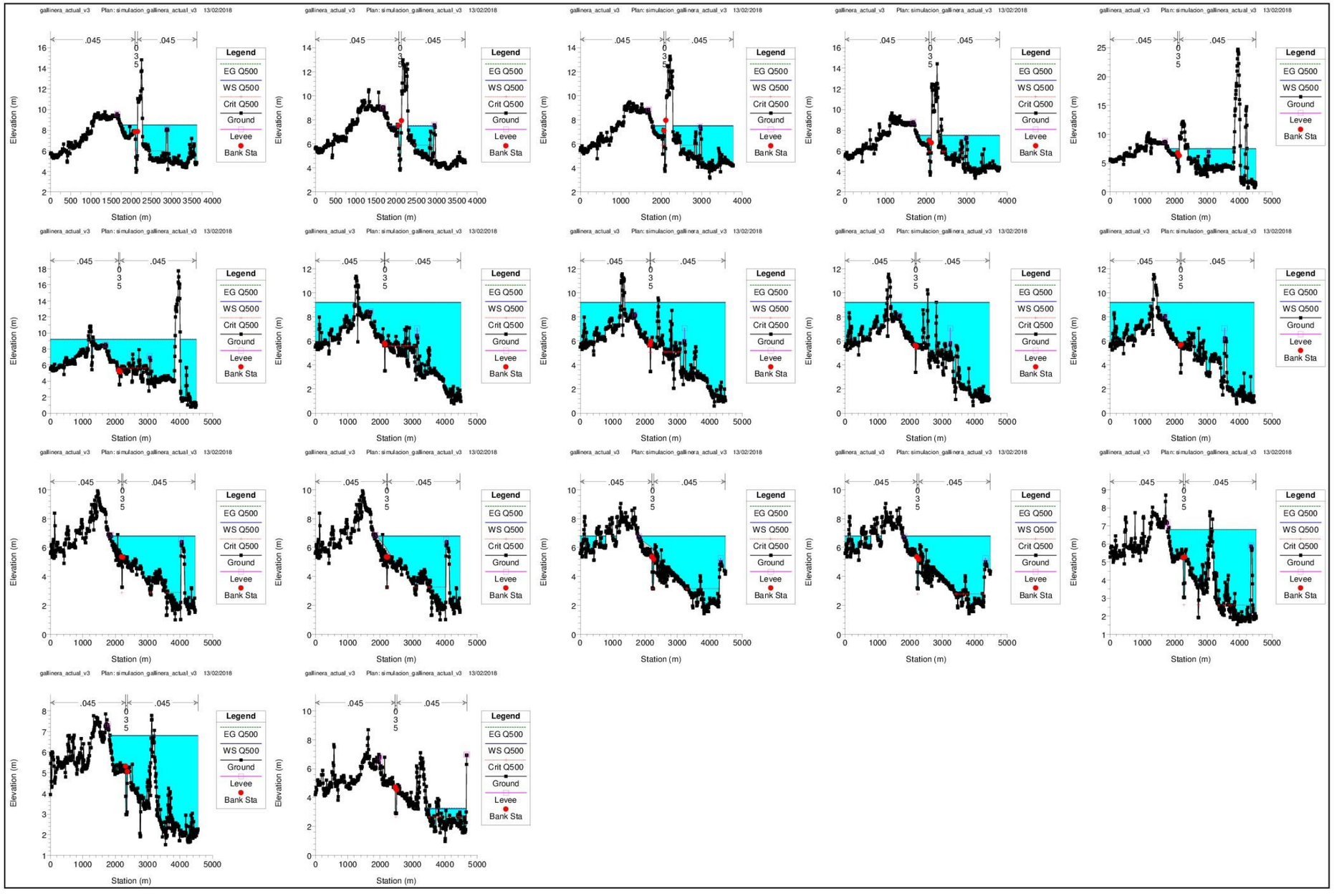
| T= 100 AÑOS | | | | | | | | | | | | |
|---|---|---|---|---|---|---|---|---|---|---|---|---|
| Reach | River Sta | Profile | Q Total (m3/s) | Min Ch El (m) | W.S. Elev (m) | Crit W.S. (m) | E.G. Elev (m) | E.G. Slope (m/m) | Vel Chnl (m/s) | Flow Area (m2) | Top Width (m) | Froude # Chl |
| Gallinera | 1207.37 | Q100 | 461.92 | 3.92 | 7.85 | 5.67 | 7.85 | 0.000057 | 0.38 | 1590.84 | 893.74 | 0.08 |
| Gallinera | 1134.91 | Q100 | 461.92 | 3.81 | 7.16 | 5.62 | 7.16 | 0.000136 | 0.56 | 1214.37 | 789.46 | 0.12 |
| Gallinera | 1105.27 | Q100 | 461.92 | 3.72 | 7.15 | 5.55 | 7.16 | 0.00014 | 0.52 | 1294.36 | 967.06 | 0.12 |
| Gallinera | 1075.64 | Q100 | 461.92 | 3.65 | 7.15 | 5.56 | 7.16 | 0.000125 | 0.52 | 1320.63 | 968.9 | 0.11 |
| Gallinera | 1051.51 | Q100 | 461.92 | 3.6 | 7.15 | | 7.15 | 0.000036 | 0.31 | 1915.15 | 952.77 | 0.06 |
| Gallinera | 1012.94 | Q100 | 461.92 | 3.57 | 7.6 | 5.09 | 7.6 | 0.000001 | 0.07 | 8029.19 | 2580.03 | 0.01 |
| Gallinera | 966.07 | Q100 | 461.92 | 3.51 | 7.6 | 5.14 | 7.6 | 0.000001 | 0.06 | 9321.73 | 2771.99 | 0.01 |
| Gallinera | 922.11 | Q100 | 461.92 | 3.45 | 7.6 | 4.26 | 7.6 | 0.000001 | 0.05 | 9414.1 | 2715.7 | 0.01 |
| Gallinera | 911.22 | Q100 | 461.92 | 3.39 | 7.6 | 4.89 | 7.6 | 0.000001 | 0.05 | 9645.39 | 2685.45 | 0.01 |
| Gallinera | 890.81 | Q100 | 461.92 | 3.35 | 7.6 | | 7.6 | 0.000001 | 0.06 | 9720.24 | 2738.59 | 0.01 |
| Gallinera | 870.62 | Q100 | 461.92 | 3.25 | 5.85 | 2.48 | 5.85 | 0.00001 | 0.12 | 4047.24 | 2018.64 | 0.03 |
| Gallinera | 845 | | Bridge | | | | | | | | | |
| Gallinera | 819.83 | Q100 | 461.92 | 3.15 | 5.85 | 2.49 | 5.85 | 0.000004 | 0.1 | 5553.86 | 2520.31 | 0.02 |
| Gallinera | 781.97 | Q100 | 461.92 | 3.05 | 5.85 | 2.34 | 5.85 | 0.000004 | 0.1 | 5493.56 | 2383.24 | 0.02 |
| Gallinera | 729.73 | Q100 | 461.92 | 2.98 | 5.85 | | 5.85 | 0.000003 | 0.08 | 6174.27 | 2540.68 | 0.02 |
| Gallinera | 691.82 | Q100 | 461.92 | 2.9 | 2.82 | 2.4 | 2.85 | 0.001902 | | 633.58 | 1046.37 | 0 |

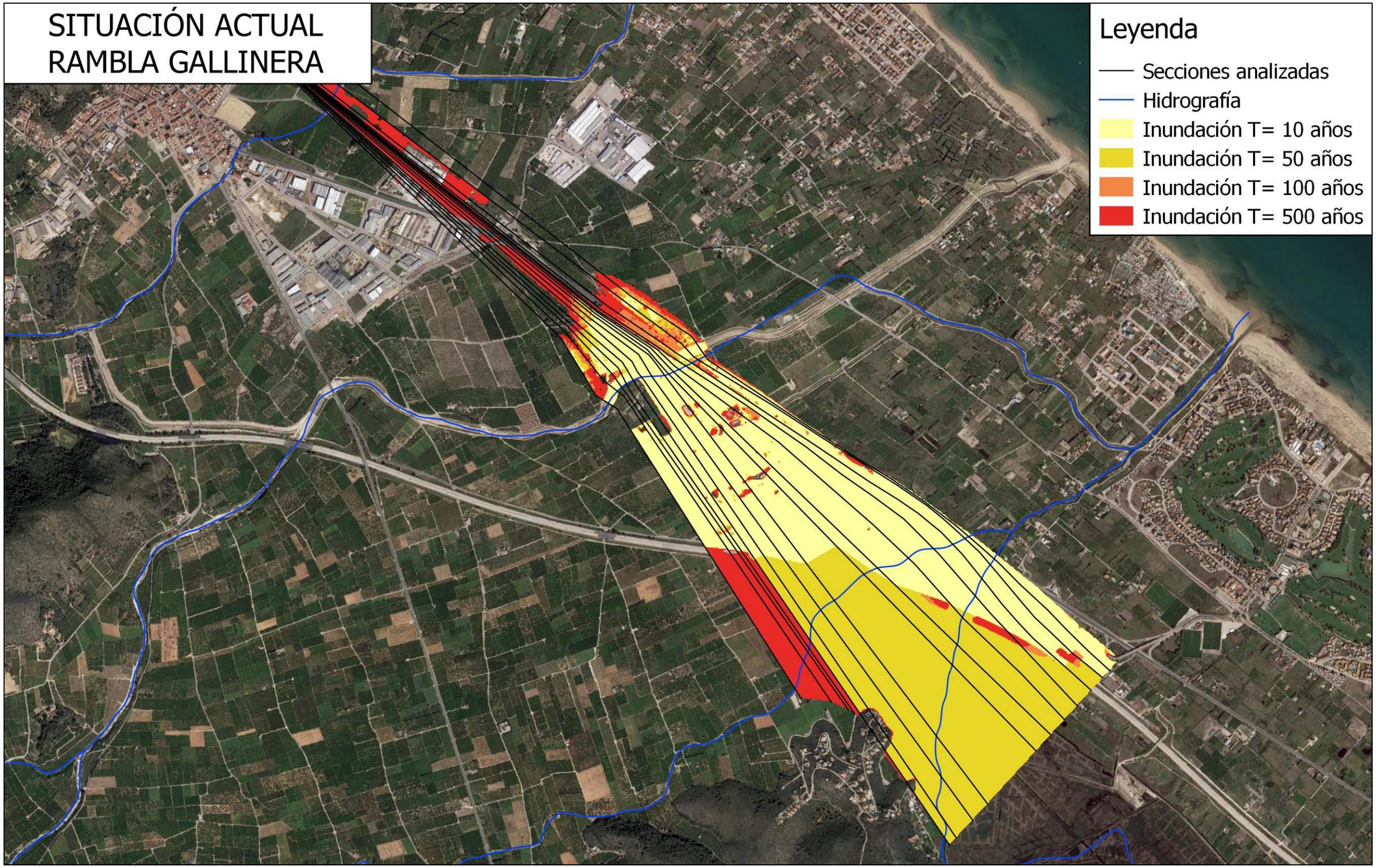
| T= 500 AÑOS | | | | | | | | | | | | |
|---|---|---|---|---|---|---|---|---|---|---|---|---|
| Reach | River Sta | Profile | Q Total (m3/s) | Min Ch El (m) | W.S. Elev (m) | Crit W.S. (m) | E.G. Elev (m) | E.G. Slope (m/m) | Vel Chnl (m/s) | Flow Area (m2) | Top Width (m) | Froude # Chl |
| Gallinera | 1207.37 | Q500 | 1024.9 | 3.92 | 8.5 | 6 | 8.5 | 0.000022 | 0.28 | 4701.82 | 1752.46 | 0.05 |
| Gallinera | 1134.91 | Q500 | 1024.9 | 3.81 | 7.49 | 5.9 | 7.51 | 0.000371 | 0.98 | 1495.89 | 908.59 | 0.2 |
| Gallinera | 1105.27 | Q500 | 1024.9 | 3.72 | 7.5 | 5.88 | 7.5 | 0.000037 | 0.29 | 4143.44 | 1817.07 | 0.06 |
| Gallinera | 1075.64 | Q500 | 1024.9 | 3.65 | 7.5 | 5.93 | 7.5 | 0.000034 | 0.3 | 4224.84 | 1840.21 | 0.06 |
| Gallinera | 1051.51 | Q500 | 1024.9 | 3.6 | 7.5 | | 7.5 | 0.000007 | 0.15 | 7195.11 | 2212.53 | 0.03 |
| Gallinera | 1012.94 | Q500 | 1024.9 | 3.57 | 9.2 | 5.62 | 9.2 | 0.000001 | 0.09 | 15838.77 | 4257.93 | 0.01 |
| Gallinera | 966.07 | Q500 | 1024.9 | 3.51 | 9.2 | 5.6 | 9.2 | 0.000001 | 0.08 | 17409.77 | 4392.54 | 0.01 |
| Gallinera | 922.11 | Q500 | 1024.9 | 3.45 | 9.2 | 5.08 | 9.2 | 0.000001 | 0.08 | 17548.73 | 4376.89 | 0.01 |
| Gallinera | 911.22 | Q500 | 1024.9 | 3.39 | 9.2 | 5.3 | 9.2 | 0.000001 | 0.08 | 17739.21 | 4341.01 | 0.01 |
| Gallinera | 890.81 | Q500 | 1024.9 | 3.35 | 9.2 | | 9.2 | 0.000001 | 0.08 | 17819.43 | 4321.62 | 0.01 |
| Gallinera | 870.62 | Q500 | 1024.9 | 3.25 | 6.8 | 2.9 | 6.8 | 0.000008 | 0.15 | 7665.29 | 2599.74 | 0.03 |
| Gallinera | 845 | | Bridge | | | | | | | | | |
| Gallinera | 819.83 | Q500 | 1024.9 | 3.15 | 6.8 | 2.8 | 6.8 | 0.000006 | 0.15 | 8607.72 | 3463.53 | 0.03 |
| Gallinera | 781.97 | Q500 | 1024.9 | 3.05 | 6.8 | 2.62 | 6.8 | 0.000006 | 0.15 | 8414.22 | 2695.32 | 0.03 |
| Gallinera | 729.73 | Q500 | 1024.9 | 2.98 | 6.8 | | 6.8 | 0.000005 | 0.14 | 8658.36 | 2711.31 | 0.02 |
| Gallinera | 691.82 | Q500 | 1024.9 | 2.9 | 3.22 | 2.65 | 3.26 | 0.001902 | 0.55 | 1079.66 | 1172.02 | 0.32 |


gallinera_actual_v3 Plan: simulacion_gallinera_actual_v3 13/02/2018
.045
.045
0
3
5
Legend
EG Q10
WS Q10
Crit Q10
Ground
Levee
Bank Sta
Elevation (m)
Station (m)

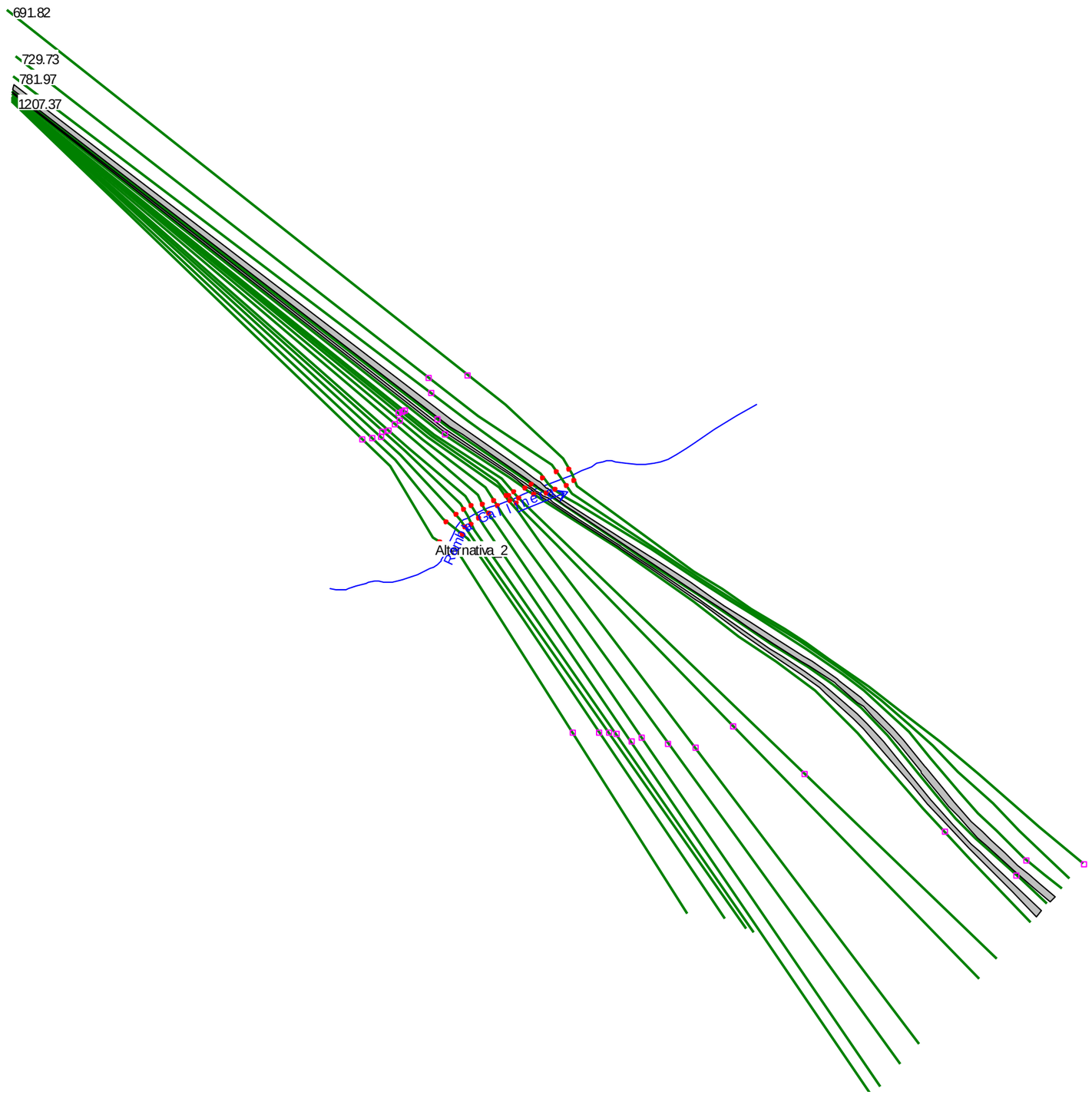

gallinera_actual_v3 Plan: simulacion_gallinera_actual_v3 13/02/2018
.045
.045
0
3
5
Legend
EG Q50
WS Q50
Crit Q50
Ground
Levee
Bank Sta
Elevation (m)
Station (m)

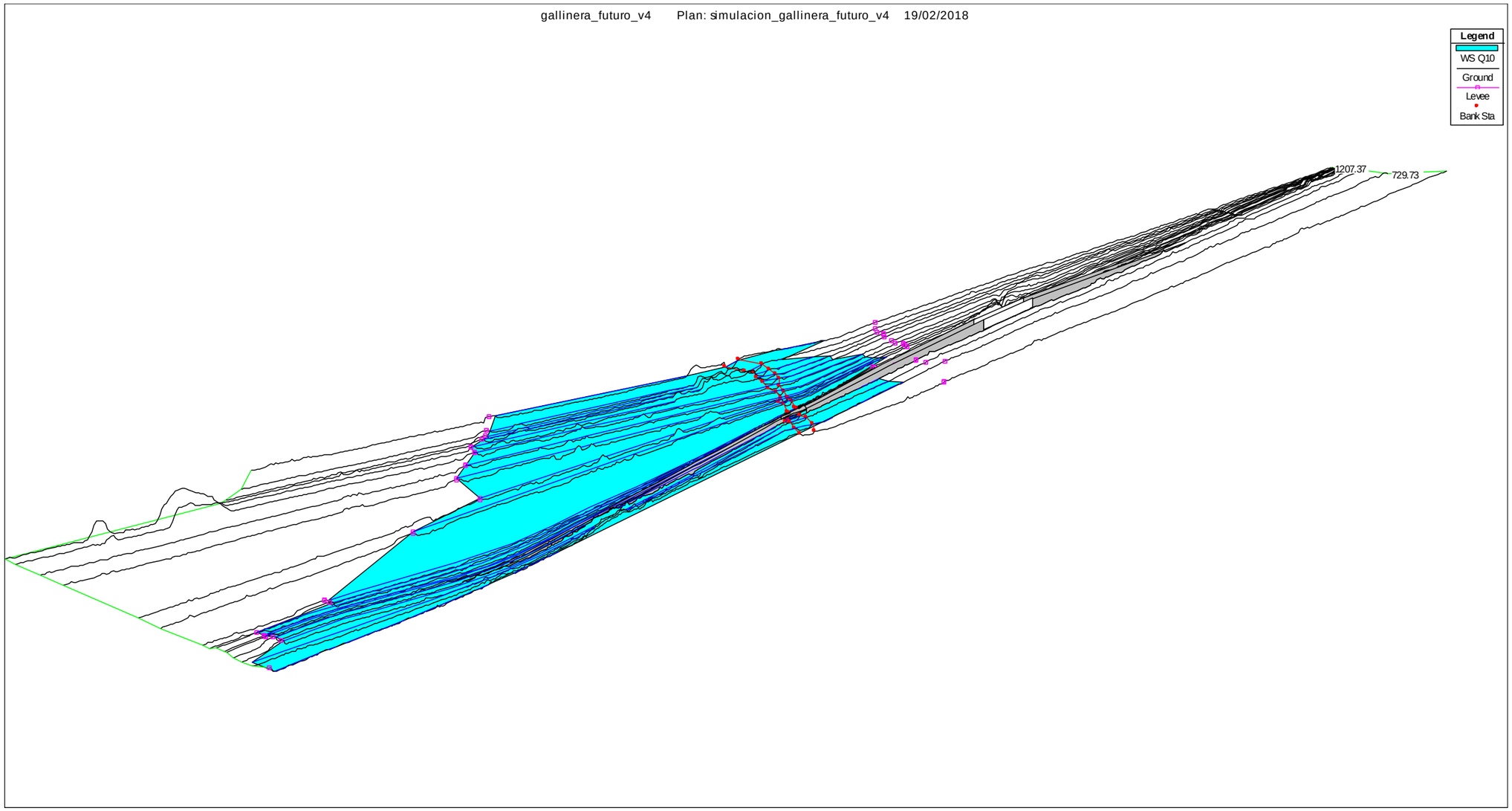

gallinera_actual_v3 Plan: simulacion_gallinera_actual_v3 13/02/2018
.045
.045
0
3
5
Legend
EG Q100
WS Q100
Crit Q100
Ground
Levee
Bank Sta
Elevation (m)
Station (m)

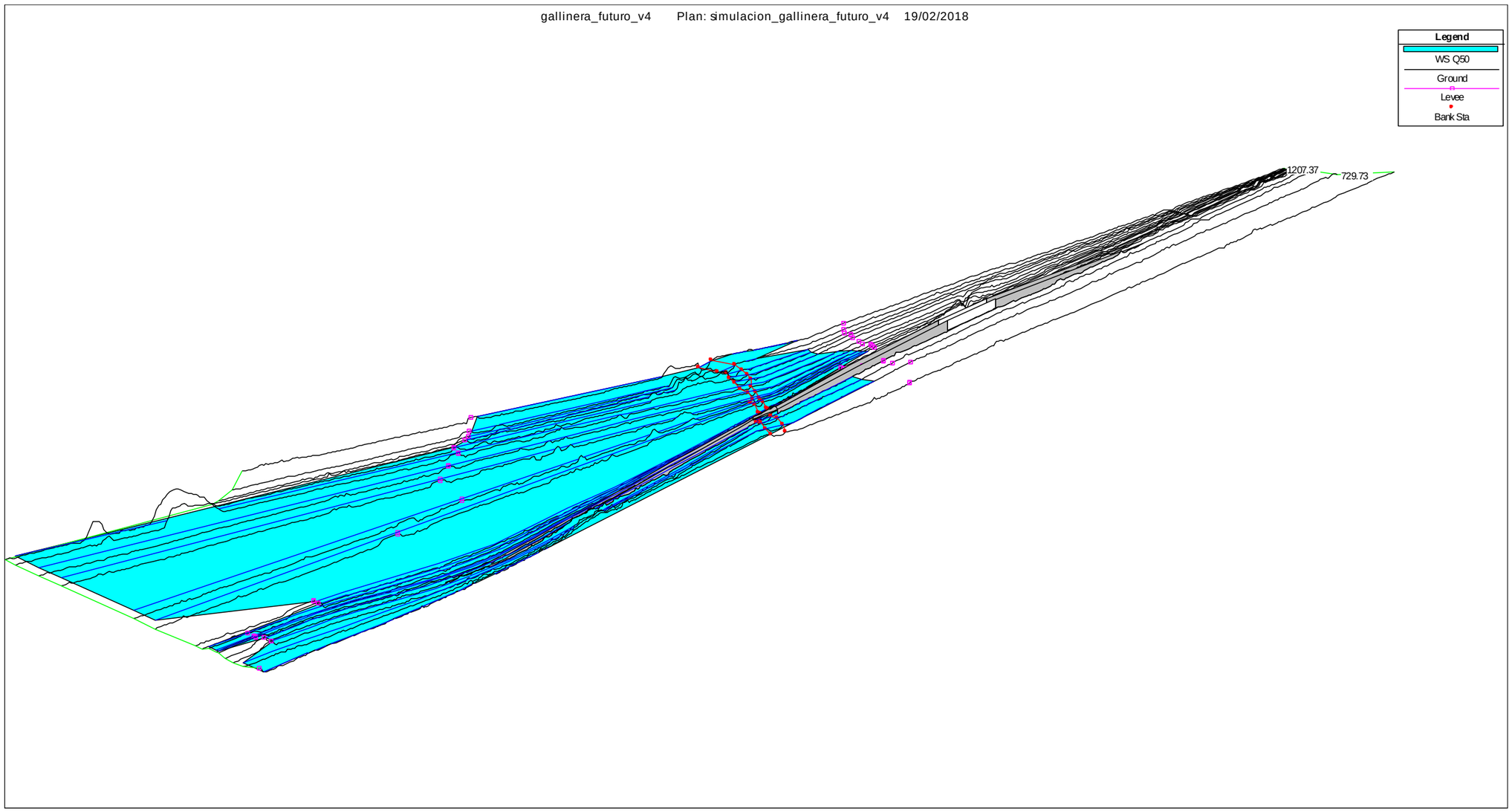

gallinera_actual_v3 Plan: simulacion_gallinera_actual_v3 13/02/2018
.045
.045
0
3
5
Legend
EG Q500
WS Q500
Crit Q500
Ground
Levee
Bank Sta
Elevation (m)
Station (m)

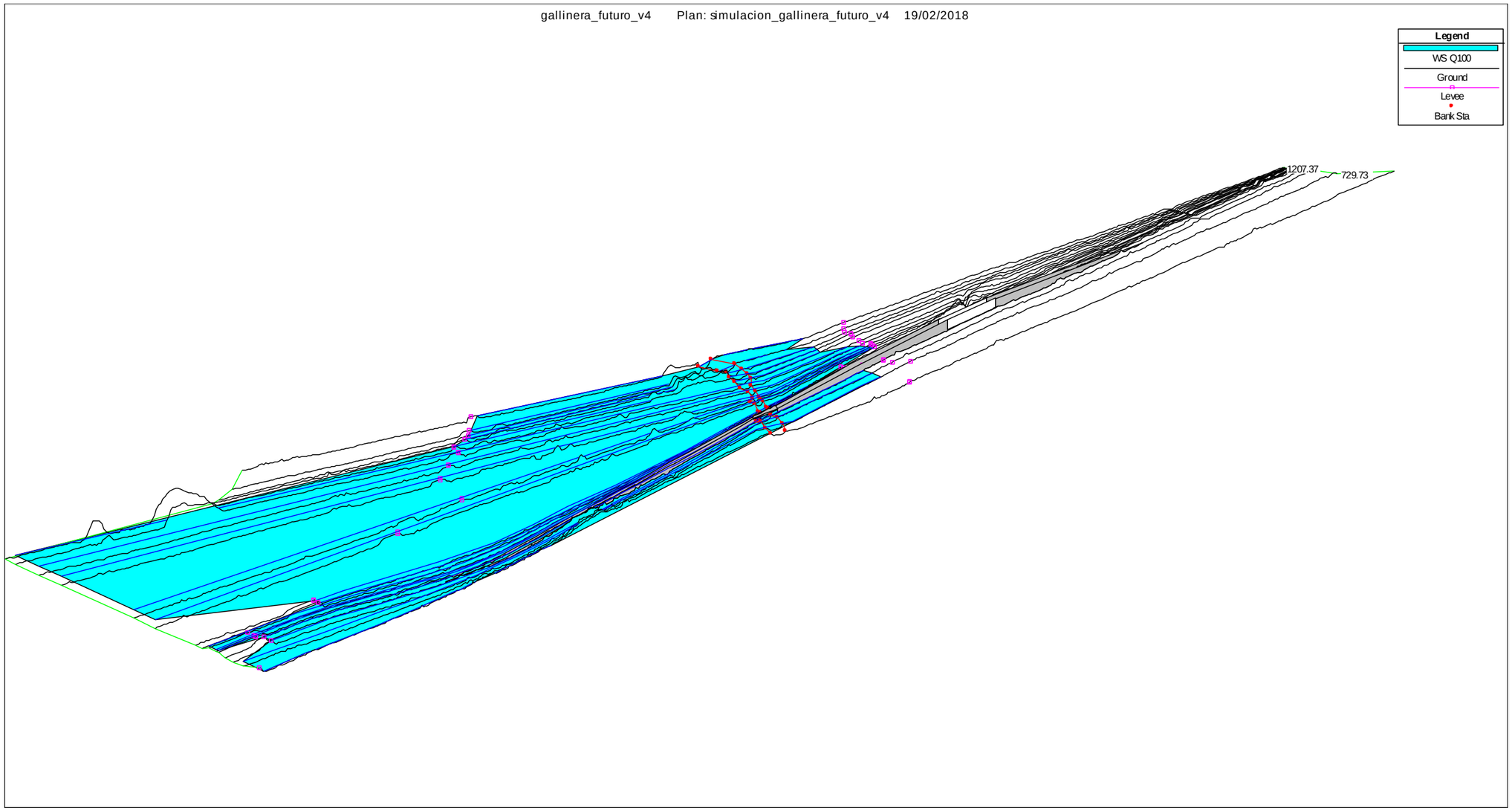

SITUACIÓN ACTUAL
RAMBLA GALLINERA
Leyenda
Secciones analizadas
Hidrografía
Inundación T= 10 años
Inundación T= 50 años
Inundación T= 100 años
Inundación T= 500 años

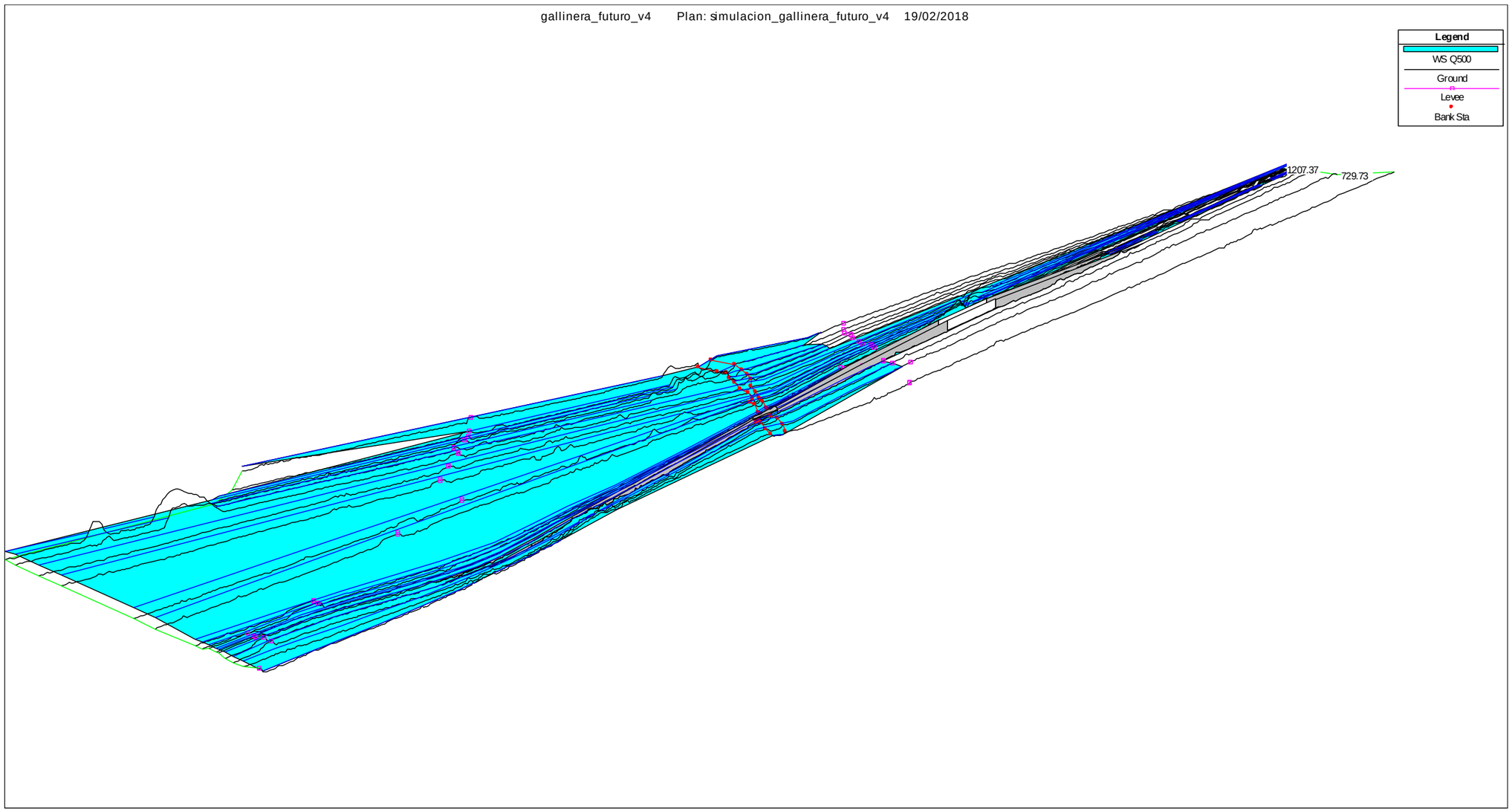
## APÉNDICE 8.2.1. RAMBLA GALLINERA. SITUACIÓN FUTURA

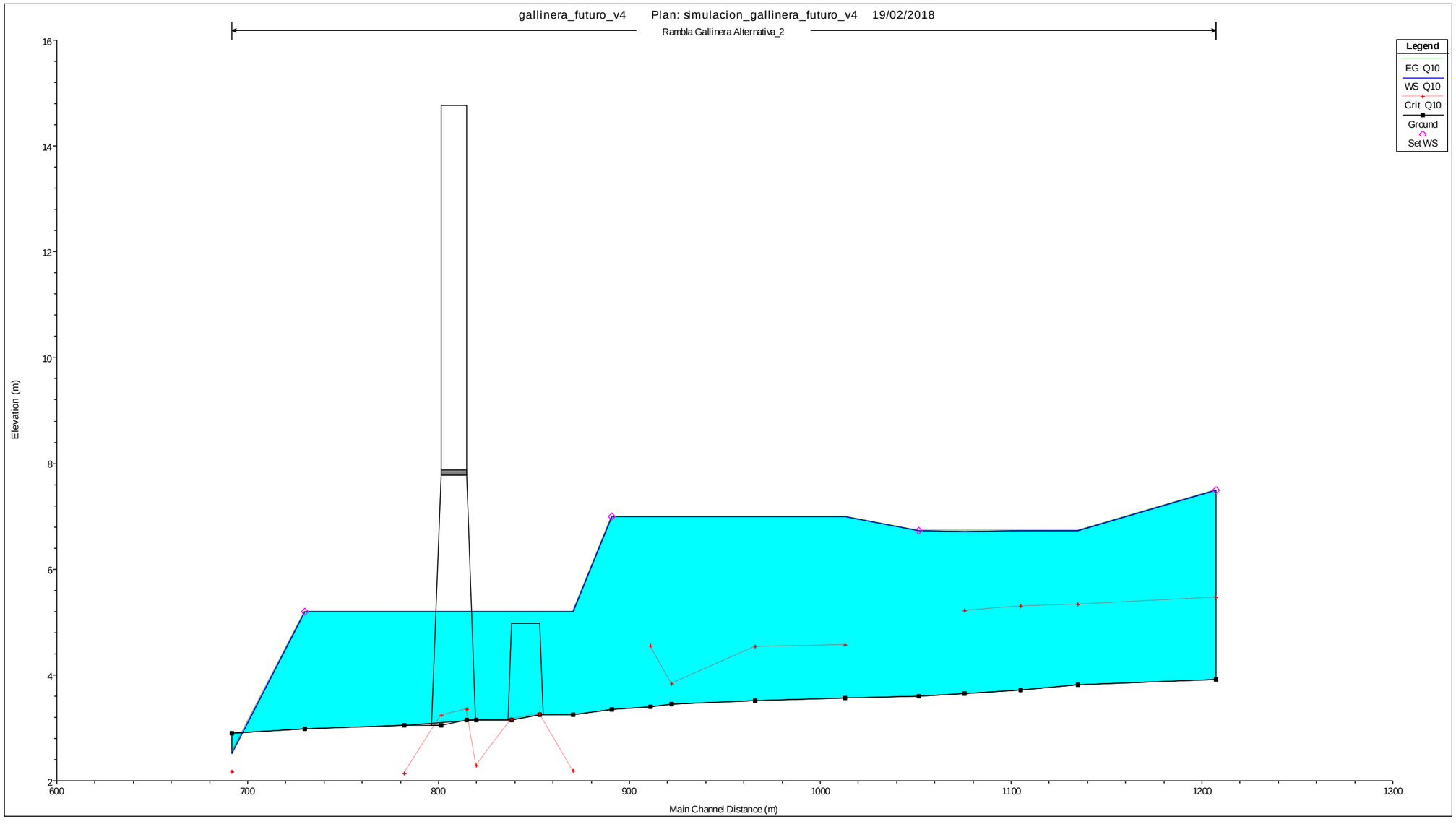

691.82
729.73
781.97
1207.37
Alternativa_2

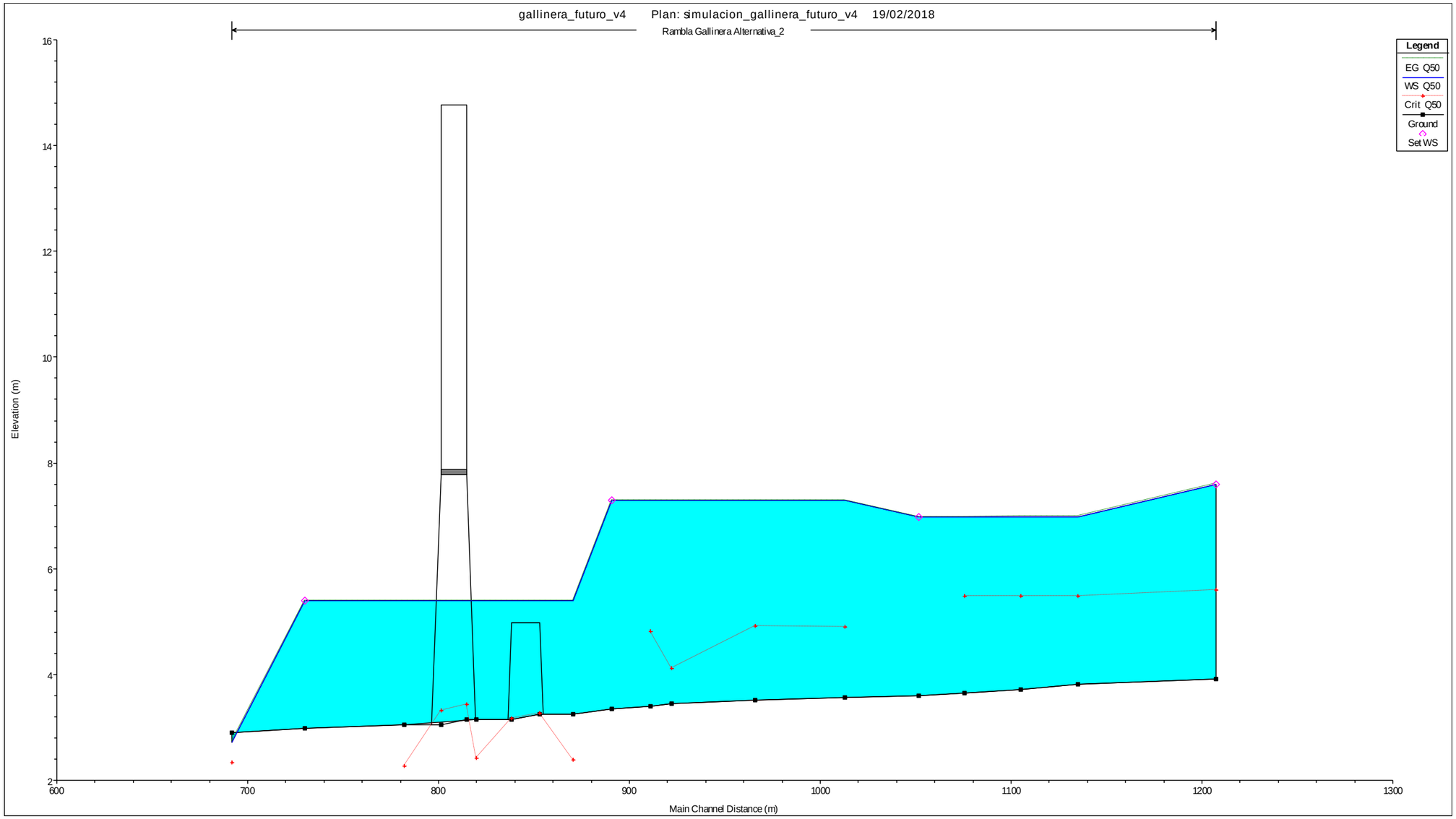

gallinera_futuro_v4 Plan: simulacion_gallinera_futuro_v4 19/02/2018
Legend
WS Q10
Ground
Levee
Bank Sta
1207.37
729.73

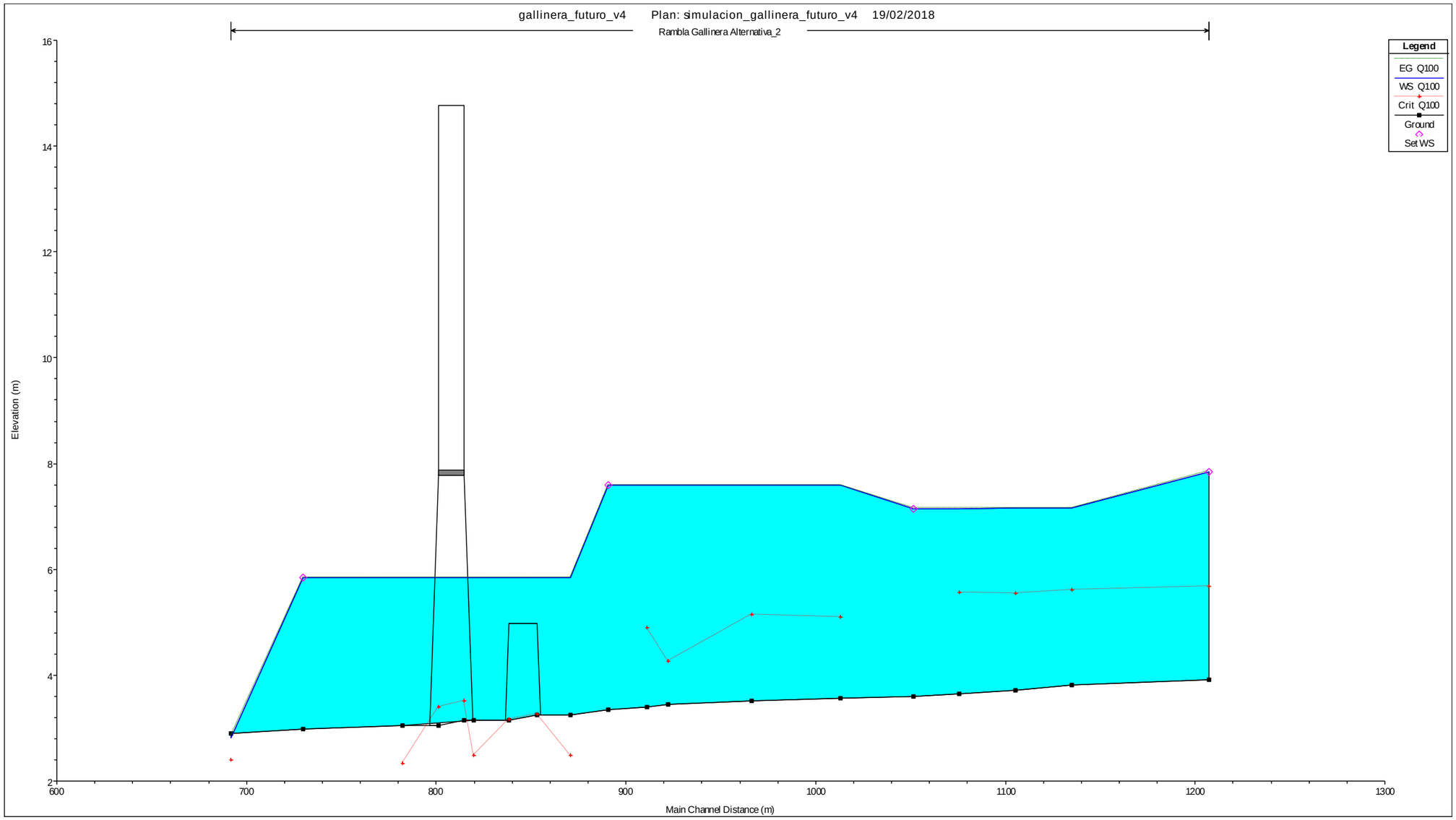

gallinera_futuro_v4 Plan: simulacion_gallinera_futuro_v4 19/02/2018
Legend
WS Q50
Ground
Levee
Bank Sta
1207.37
729.73

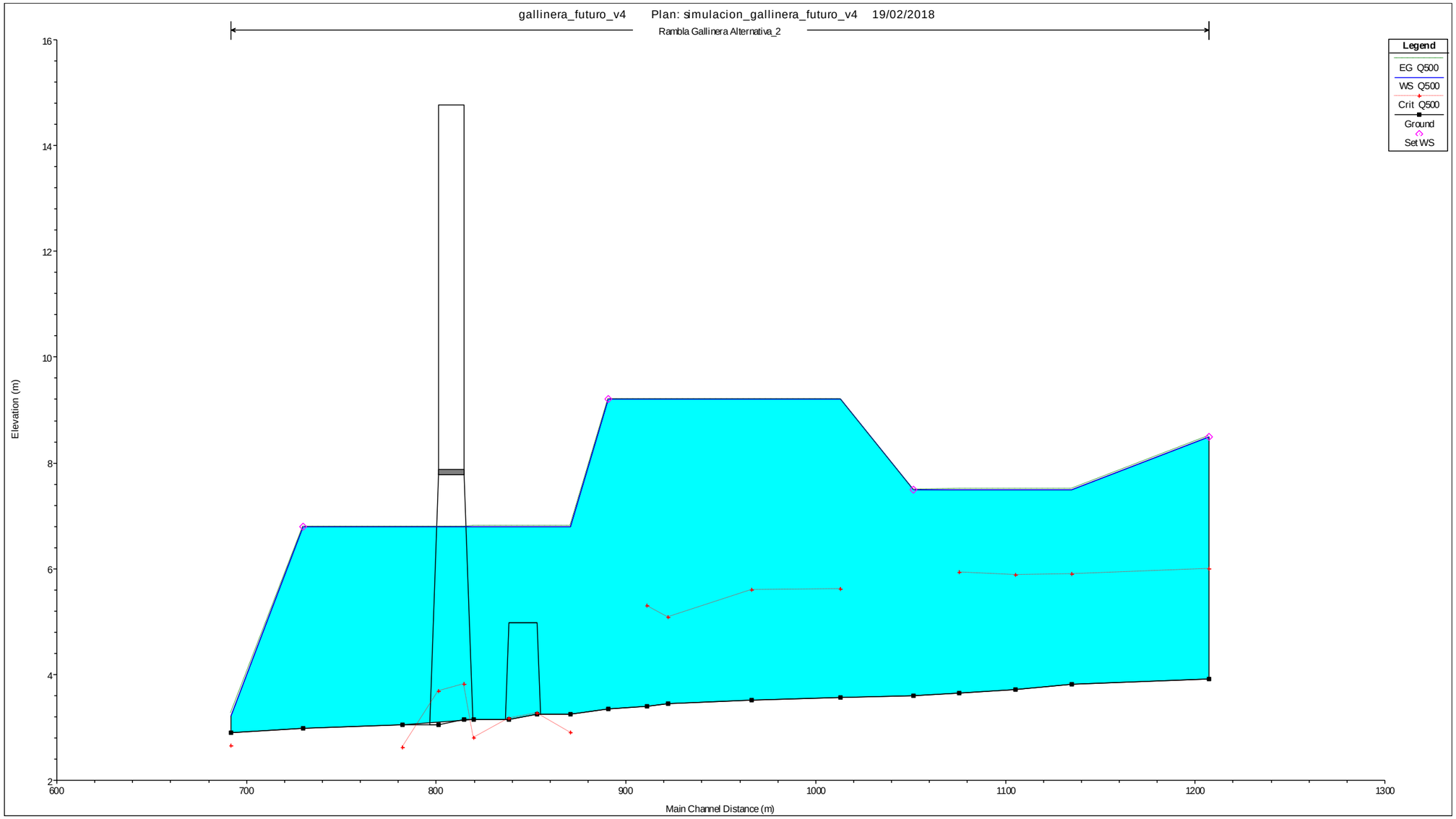

gallinera_futuro_v4 Plan: simulacion_gallinera_futuro_v4 19/02/2018
Legend
WS Q100
Ground
Levee
Bank Sta
1207.37
729.73


gallinera_futuro_v4 Plan: simulacion_gallinera_futuro_v4 19/02/2018
Legend
WS Q500
Ground
Levee
Bank Sta
1207.37
729.73


gallinera_futuro_v4 Plan: simulacion_gallinera_futuro_v4 19/02/2018
Rambla Gallinera Alternativa_2
Legend
EG Q10
WS Q10
Crit Q10
Ground
Set WS
Elevation (m)
16
14
12
10
8
6
4
2
600
700
800
900
1000
1100
1200
1300
Main Channel Distance (m)


gallinera_futuro_v4 Plan: simulacion_gallinera_futuro_v4 19/02/2018
Rambla Gallinera Alternativa_2
Legend
EG Q50
WS Q50
Crit Q50
Ground
Set WS
Elevation (m)
16
14
12
10
8
6
4
2
600
700
800
900
1000
1100
1200
1300
Main Channel Distance (m)


gallinera_futuro_v4 Plan: simulacion_gallinera_futuro_v4 19/02/2018
Rambla Gallinera Alternativa_2
Legend
EG Q100
WS Q100
Crit Q100
Ground
Set WS
Elevation (m)
16
14
12
10
8
6
4
2
600
700
800
900
1000
1100
1200
1300
Main Channel Distance (m)

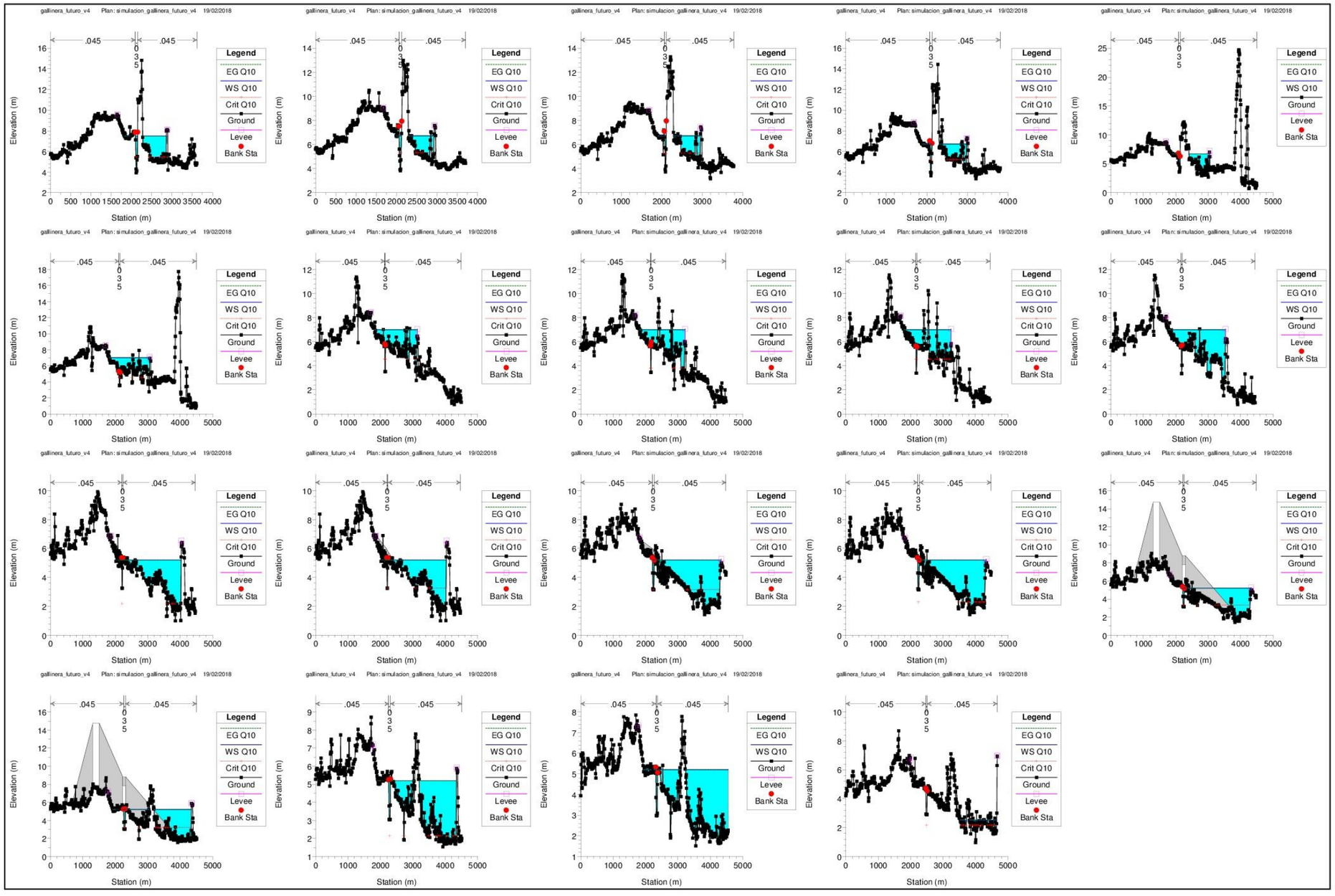

gallinera_futuro_v4 Plan: simulacion_gallinera_futuro_v4 19/02/2018
Rambla Gallinera Alternativa_2
Legend
EG Q500
WS Q500
Crit Q500
Ground
Set WS
Elevation (m)
16
14
12
10
8
6
4
2
600
700
800
900
1000
1100
1200
1300
Main Channel Distance (m)

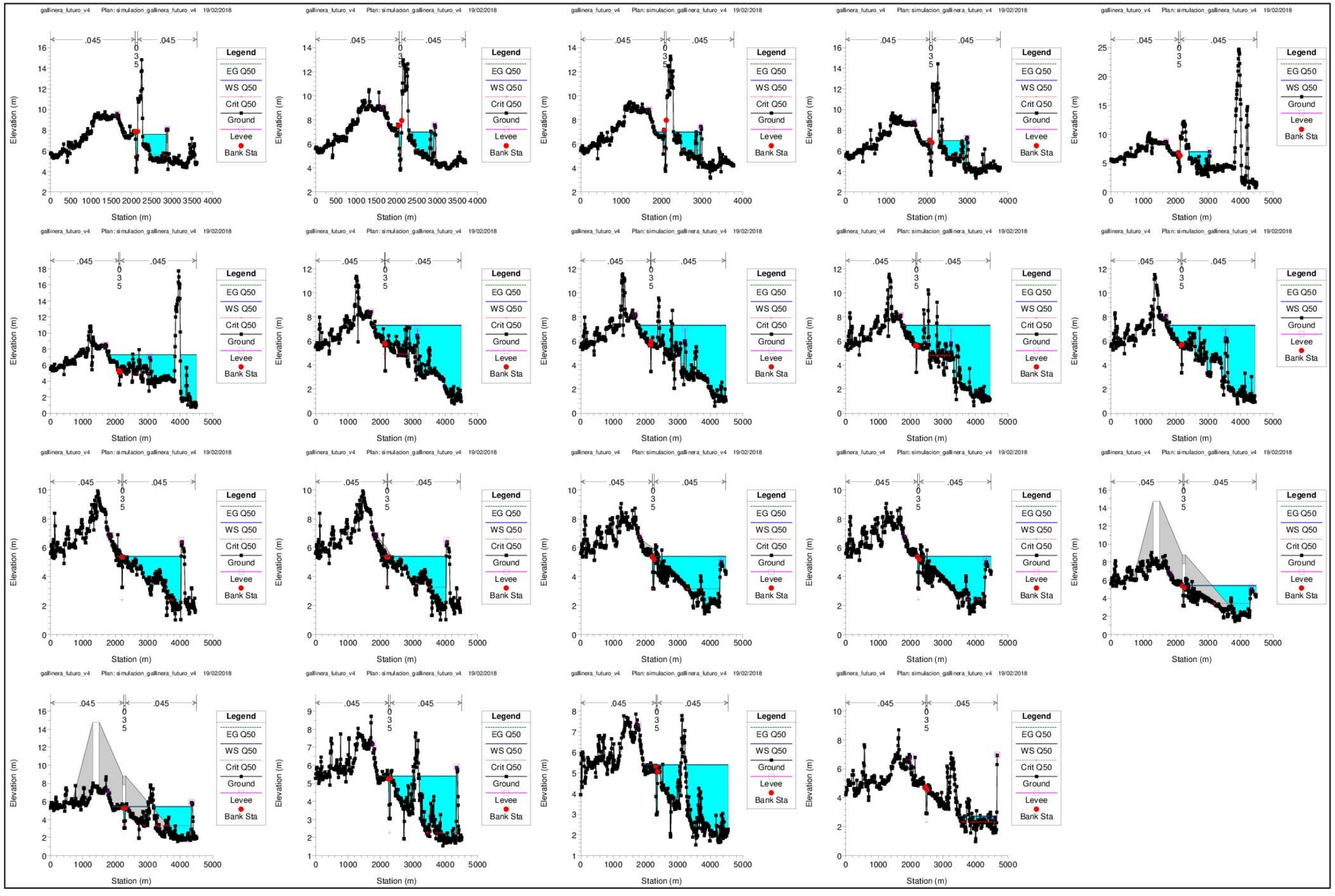
| T= 10 AÑOS | | | | | | | | | | | | |
|---|---|---|---|---|---|---|---|---|---|---|---|---|
| Reach | River Sta | Profile | Q Total (m3/s) | Min Ch El (m) | W.S. Elev (m) | Crit W.S. (m) | E.G. Elev (m) | E.G. Slope (m/m) | Vel Chnl (m/s) | Flow Area (m2) | Top Width (m) | Froude # Chl |
| Gallinera_futuro | 1207.37 | Q10 | 198.95 | 3.92 | 7.5 | 5.46 | 7.5 | 0.000018 | 0.21 | 1297.26 | 750.67 | 0.04 |
| Gallinera_futuro | 1134.91 | Q10 | 198.95 | 3.81 | 6.72 | 5.32 | 6.73 | 0.000055 | 0.32 | 900.12 | 681.39 | 0.07 |
| Gallinera_futuro | 1105.27 | Q10 | 198.95 | 3.72 | 6.72 | 5.3 | 6.72 | 0.00006 | 0.32 | 905.25 | 804.63 | 0.08 |
| Gallinera_futuro | 1075.64 | Q10 | 198.95 | 3.65 | 6.72 | 5.21 | 6.72 | 0.000059 | 0.32 | 926.26 | 835.18 | 0.08 |
| Gallinera_futuro | 1051.51 | Q10 | 198.95 | 3.6 | 6.72 |  | 6.72 | 0.000013 | 0.16 | 1517.64 | 866.49 | 0.04 |
| Gallinera_futuro | 1012.94 | Q10 | 198.95 | 3.57 | 7 | 4.56 | 7 | 0.000012 | 0.2 | 1832.12 | 1239.28 | 0.04 |
| Gallinera_futuro | 966.07 | Q10 | 198.95 | 3.51 | 7 | 4.54 | 7 | 0.000011 | 0.18 | 1938.93 | 1306.34 | 0.03 |
| Gallinera_futuro | 922.11 | Q10 | 198.95 | 3.45 | 7 | 3.83 | 7 | 0.000007 | 0.15 | 2200.41 | 1328.41 | 0.03 |
| Gallinera_futuro | 911.22 | Q10 | 198.95 | 3.39 | 7 | 4.55 | 7 | 0.000006 | 0.14 | 2287.65 | 1358.85 | 0.03 |
| Gallinera_futuro | 890.81 | Q10 | 198.95 | 3.35 | 7 |  | 7 | 0.000002 | 0.08 | 3462.36 | 1746.73 | 0.02 |
| Gallinera_futuro | 870.62 | Q10 | 198.95 | 3.25 | 5.2 | 2.19 | 5.2 | 0.000005 | 0.06 | 2784.28 | 1820.13 | 0.02 |
| Gallinera_futuro | 845 |  | Bridge |  |  |  |  |  |  |  |  |  |
| Gallinera_futuro | 819.83 | Q10 | 198.95 | 3.15 | 5.2 | 2.29 | 5.2 | 0.000002 | 0.05 | 3960.63 | 2035.37 | 0.01 |
| Gallinera_futuro | 800 |  | Mult Open |  |  |  |  |  |  |  |  |  |
| Gallinera_futuro | 781.97 | Q10 | 198.95 | 3.05 | 5.2 | 2.14 | 5.2 | 0.000002 | 0.05 | 4028.43 | 1977.1 | 0.01 |
| Gallinera_futuro | 729.73 | Q10 | 198.95 | 2.98 | 5.2 |  | 5.2 | 0.000001 | 0.04 | 4558.67 | 2306.4 | 0.01 |
| Gallinera_futuro | 691.82 | Q10 | 198.95 | 2.9 | 2.51 | 2.16 | 2.53 | 0.001901 |  | 335.86 | 868.82 | 0 |

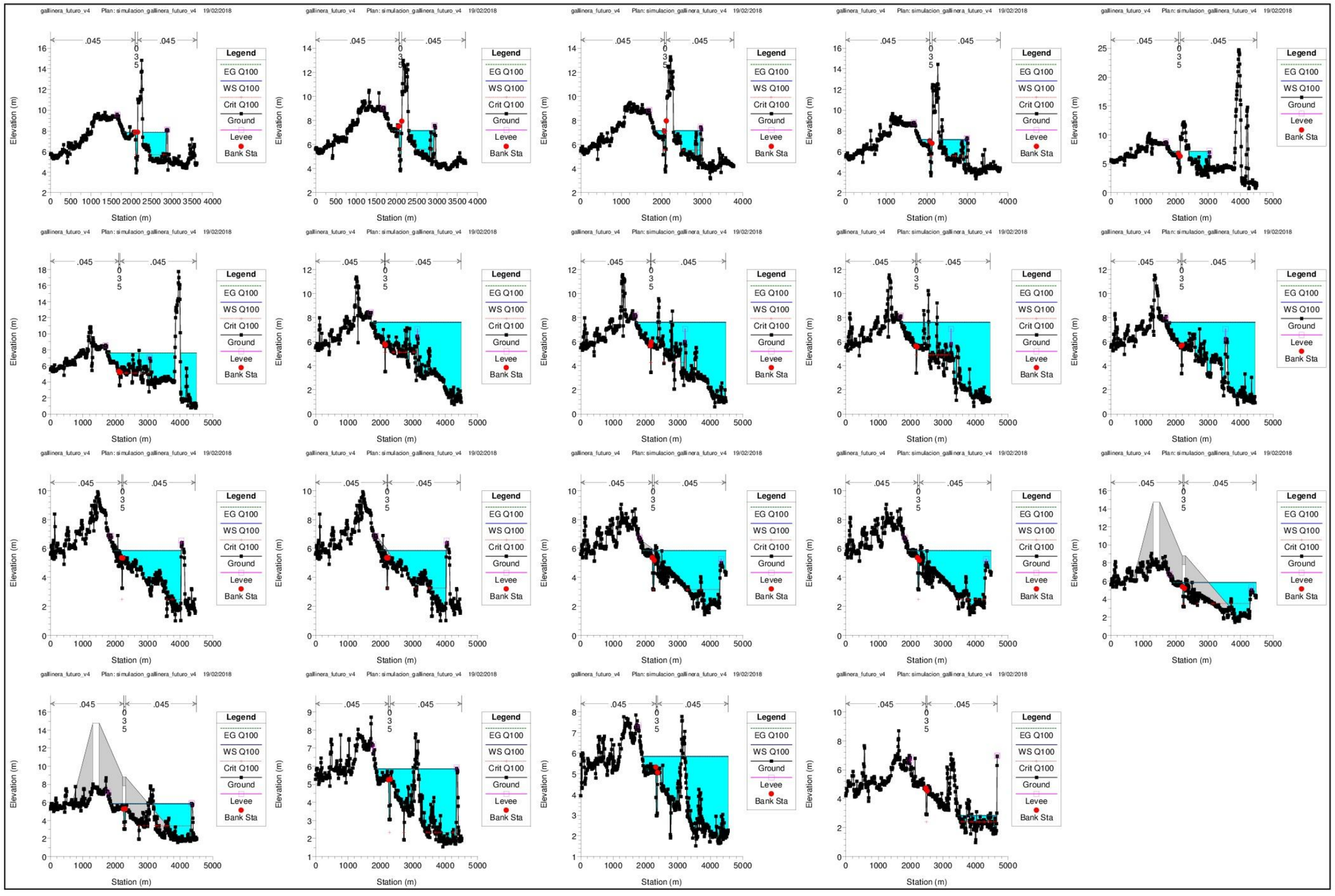
| T= 50 AÑOS | | | | | | | | | | | | |
|---|---|---|---|---|---|---|---|---|---|---|---|---|
| Reach | River Sta | Profile | Q Total (m3/s) | Min Ch El (m) | W.S. Elev (m) | Crit W.S. (m) | E.G. Elev (m) | E.G. Slope (m/m) | Vel Chnl (m/s) | Flow Area (m2) | Top Width (m) | Froude # Chl |
| Gallinera_futuro | 1207.37 | Q50 | 357.92 | 3.92 | 7.6 | 5.59 | 7.6 | 0.00005 | 0.35 | 1375.87 | 818.46 | 0.07 |
| Gallinera_futuro | 1134.91 | Q50 | 357.92 | 3.81 | 6.99 | 5.48 | 6.99 | 0.00011 | 0.48 | 1086.09 | 725.96 | 0.11 |
| Gallinera_futuro | 1105.27 | Q50 | 357.92 | 3.72 | 6.98 | 5.47 | 6.99 | 0.00012 | 0.47 | 1132.95 | 928.23 | 0.11 |
| Gallinera_futuro | 1075.64 | Q50 | 357.92 | 3.65 | 6.98 | 5.47 | 6.98 | 0.000108 | 0.46 | 1158.06 | 937.13 | 0.11 |
| Gallinera_futuro | 1051.51 | Q50 | 357.92 | 3.6 | 6.98 |  | 6.98 | 0.000028 | 0.26 | 1753.84 | 935.71 | 0.05 |
| Gallinera_futuro | 1012.94 | Q50 | 357.92 | 3.57 | 7.3 | 4.89 | 7.3 | 0.000001 | 0.06 | 7262.65 | 2533.23 | 0.01 |
| Gallinera_futuro | 966.07 | Q50 | 357.92 | 3.51 | 7.3 | 4.92 | 7.3 | 0.000001 | 0.05 | 8494.64 | 2727.21 | 0.01 |
| Gallinera_futuro | 922.11 | Q50 | 357.92 | 3.45 | 7.3 | 4.12 | 7.3 | 0.000001 | 0.05 | 8604.97 | 2662.53 | 0.01 |
| Gallinera_futuro | 911.22 | Q50 | 357.92 | 3.39 | 7.3 | 4.81 | 7.3 | 0.000001 | 0.04 | 8847.27 | 2643.23 | 0.01 |
| Gallinera_futuro | 890.81 | Q50 | 357.92 | 3.35 | 7.3 |  | 7.3 | 0.000001 | 0.05 | 8902.48 | 2714.96 | 0.01 |
| Gallinera_futuro | 870.62 | Q50 | 357.92 | 3.25 | 5.4 | 2.38 | 5.4 | 0.000013 | 0.11 | 3160.33 | 1916.61 | 0.03 |
| Gallinera_futuro | 845 |  | Bridge |  |  |  |  |  |  |  |  |  |
| Gallinera_futuro | 819.83 | Q50 | 357.92 | 3.15 | 5.4 | 2.42 | 5.4 | 0.000005 | 0.09 | 4489.19 | 2215.91 | 0.02 |
| Gallinera_futuro | 800 |  | Mult Open |  |  |  |  |  |  |  |  |  |
| Gallinera_futuro | 781.97 | Q50 | 357.92 | 3.05 | 5.4 | 2.27 | 5.4 | 0.000004 | 0.08 | 4449.8 | 2207.15 | 0.02 |
| Gallinera_futuro | 729.73 | Q50 | 357.92 | 2.98 | 5.4 |  | 5.4 | 0.000003 | 0.07 | 5043.34 | 2484.35 | 0.02 |
| Gallinera_futuro | 691.82 | Q50 | 357.92 | 2.9 | 2.71 | 2.33 | 2.74 | 0.0019 |  | 524.95 | 981.56 | 0 |

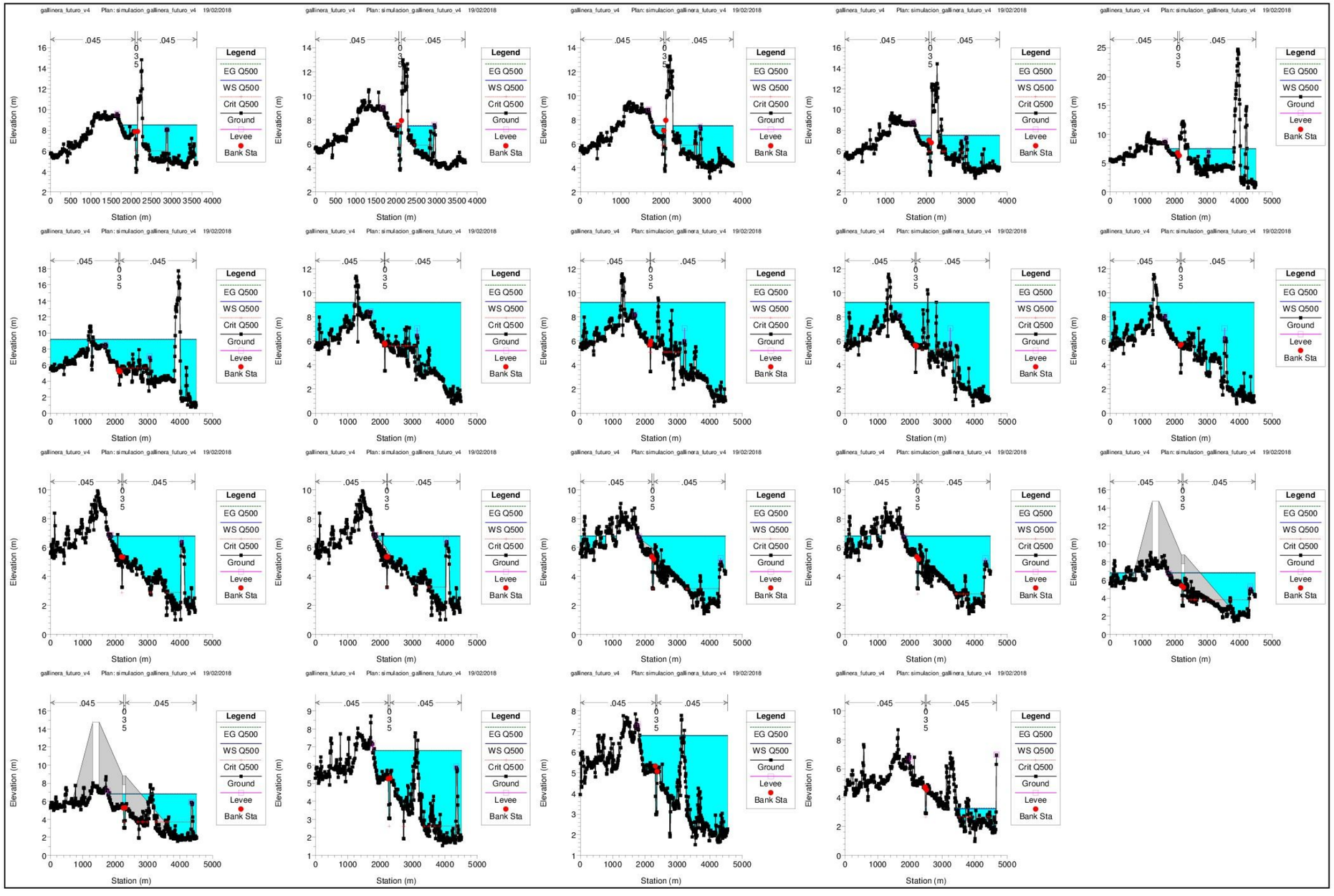
| T= 100 AÑOS | | | | | | | | | | | | |
|---|---|---|---|---|---|---|---|---|---|---|---|---|
| Reach | River Sta | Profile | Q Total (m3/s) | Min Ch El (m) | W.S. Elev (m) | Crit W.S. (m) | E.G. Elev (m) | E.G. Slope (m/m) | Vel Chnl (m/s) | Flow Area (m2) | Top Width (m) | Froude # Chl |
| Gallinera_futuro | 1207.37 | Q100 | 461.92 | 3.92 | 7.85 | 5.67 | 7.85 | 0.000057 | 0.38 | 1590.84 | 893.74 | 0.08 |
| Gallinera_futuro | 1134.91 | Q100 | 461.92 | 3.81 | 7.16 | 5.62 | 7.16 | 0.000136 | 0.56 | 1214.37 | 789.46 | 0.12 |
| Gallinera_futuro | 1105.27 | Q100 | 461.92 | 3.72 | 7.15 | 5.55 | 7.16 | 0.00014 | 0.52 | 1294.36 | 967.06 | 0.12 |
| Gallinera_futuro | 1075.64 | Q100 | 461.92 | 3.65 | 7.15 | 5.56 | 7.16 | 0.000125 | 0.52 | 1320.63 | 968.9 | 0.11 |
| Gallinera_futuro | 1051.51 | Q100 | 461.92 | 3.6 | 7.15 |  | 7.15 | 0.000036 | 0.31 | 1915.15 | 952.77 | 0.06 |
| Gallinera_futuro | 1012.94 | Q100 | 461.92 | 3.57 | 7.6 | 5.09 | 7.6 | 0.000001 | 0.07 | 8029.19 | 2580.03 | 0.01 |
| Gallinera_futuro | 966.07 | Q100 | 461.92 | 3.51 | 7.6 | 5.14 | 7.6 | 0.000001 | 0.06 | 9321.73 | 2771.99 | 0.01 |
| Gallinera_futuro | 922.11 | Q100 | 461.92 | 3.45 | 7.6 | 4.26 | 7.6 | 0.000001 | 0.05 | 9414.1 | 2715.7 | 0.01 |
| Gallinera_futuro | 911.22 | Q100 | 461.92 | 3.39 | 7.6 | 4.89 | 7.6 | 0.000001 | 0.05 | 9645.39 | 2685.45 | 0.01 |
| Gallinera_futuro | 890.81 | Q100 | 461.92 | 3.35 | 7.6 |  | 7.6 | 0.000001 | 0.06 | 9720.24 | 2738.59 | 0.01 |
| Gallinera_futuro | 870.62 | Q100 | 461.92 | 3.25 | 5.85 | 2.48 | 5.85 | 0.00001 | 0.12 | 4048.55 | 2018.76 | 0.03 |
| Gallinera_futuro | 845 |  | Bridge |  |  |  |  |  |  |  |  |  |
| Gallinera_futuro | 819.83 | Q100 | 461.92 | 3.15 | 5.85 | 2.49 | 5.85 | 0.000004 | 0.1 | 5555.5 | 2520.62 | 0.02 |
| Gallinera_futuro | 800 |  | Mult Open |  |  |  |  |  |  |  |  |  |
| Gallinera_futuro | 781.97 | Q100 | 461.92 | 3.05 | 5.85 | 2.34 | 5.85 | 0.000004 | 0.1 | 5493.6 | 2383.24 | 0.02 |
| Gallinera_futuro | 729.73 | Q100 | 461.92 | 2.98 | 5.85 |  | 5.85 | 0.000003 | 0.08 | 6174.27 | 2540.68 | 0.02 |
| Gallinera_futuro | 691.82 | Q100 | 461.92 | 2.9 | 2.82 | 2.41 | 2.85 | 0.001902 |  | 633.67 | 1046.39 | 0 |

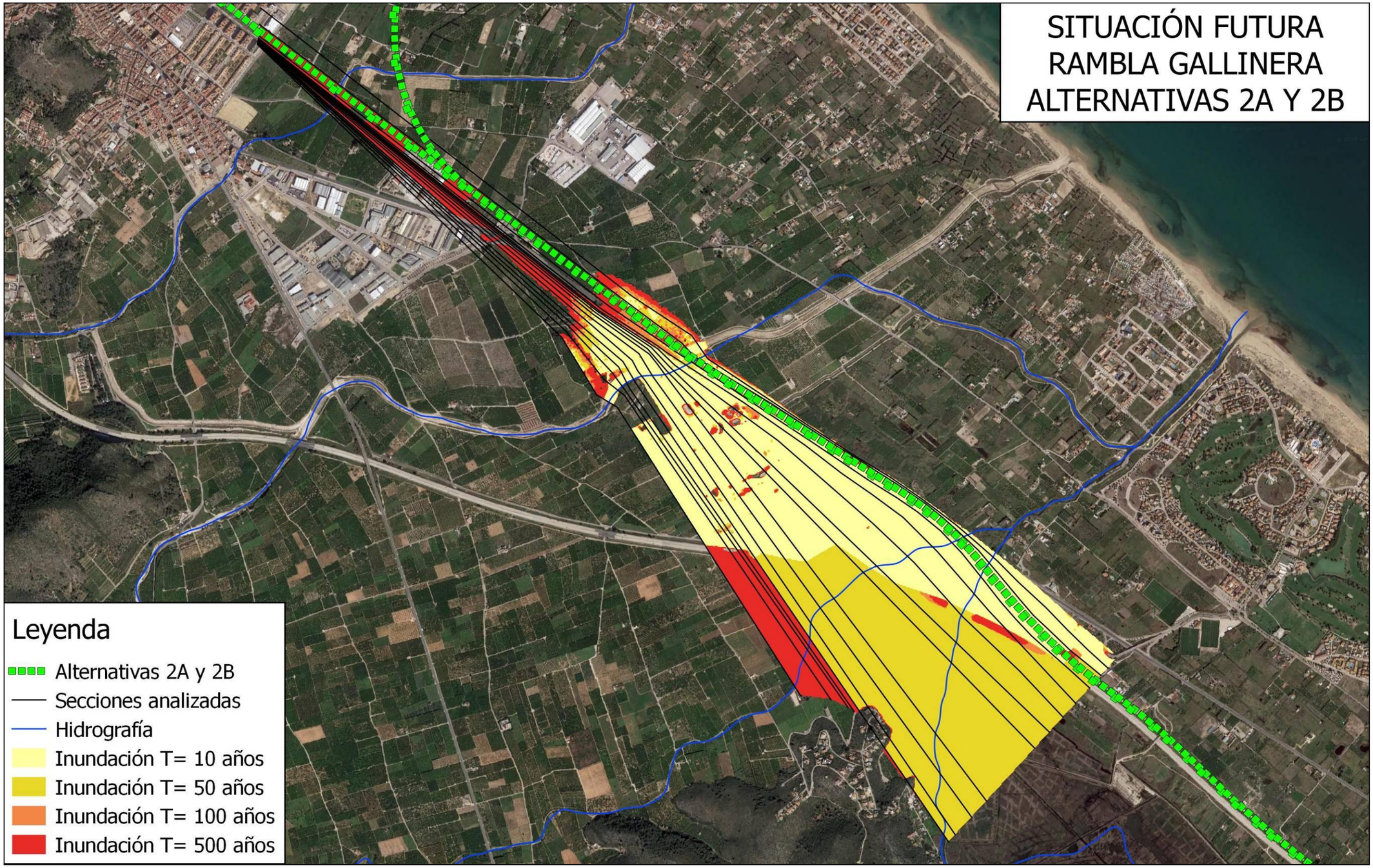
| T= 500 AÑOS | | | | | | | | | | | | |
|---|---|---|---|---|---|---|---|---|---|---|---|---|
| Reach | River Sta | Profile | Q Total (m3/s) | Min Ch El (m) | W.S. Elev (m) | Crit W.S. (m) | E.G. Elev (m) | E.G. Slope (m/m) | Vel Chnl (m/s) | Flow Area (m2) | Top Width (m) | Froude # Chl |
| Gallinera_futuro | 1207.37 | Q500 | 1024.9 | 3.92 | 8.5 | 6 | 8.5 | 0.000022 | 0.28 | 4701.82 | 1752.46 | 0.05 |
| Gallinera_futuro | 1134.91 | Q500 | 1024.9 | 3.81 | 7.49 | 5.9 | 7.51 | 0.000371 | 0.98 | 1495.89 | 908.59 | 0.2 |
| Gallinera_futuro | 1105.27 | Q500 | 1024.9 | 3.72 | 7.5 | 5.89 | 7.5 | 0.000037 | 0.29 | 4143.44 | 1817.07 | 0.06 |
| Gallinera_futuro | 1075.64 | Q500 | 1024.9 | 3.65 | 7.5 | 5.93 | 7.5 | 0.000034 | 0.3 | 4224.84 | 1840.21 | 0.06 |
| Gallinera_futuro | 1051.51 | Q500 | 1024.9 | 3.6 | 7.5 |  | 7.5 | 0.000007 | 0.15 | 7195.11 | 2212.53 | 0.03 |
| Gallinera_futuro | 1012.94 | Q500 | 1024.9 | 3.57 | 9.2 | 5.62 | 9.2 | 0.000001 | 0.09 | 15838.77 | 4257.93 | 0.01 |
| Gallinera_futuro | 966.07 | Q500 | 1024.9 | 3.51 | 9.2 | 5.6 | 9.2 | 0.000001 | 0.08 | 17409.77 | 4392.54 | 0.01 |
| Gallinera_futuro | 922.11 | Q500 | 1024.9 | 3.45 | 9.2 | 5.08 | 9.2 | 0.000001 | 0.08 | 17548.73 | 4376.89 | 0.01 |
| Gallinera_futuro | 911.22 | Q500 | 1024.9 | 3.39 | 9.2 | 5.3 | 9.2 | 0.000001 | 0.08 | 17739.21 | 4341.01 | 0.01 |
| Gallinera_futuro | 890.81 | Q500 | 1024.9 | 3.35 | 9.2 |  | 9.2 | 0.000001 | 0.08 | 17819.43 | 4321.62 | 0.01 |
| Gallinera_futuro | 870.62 | Q500 | 1024.9 | 3.25 | 6.8 | 2.9 | 6.8 | 0.000008 | 0.15 | 7669.04 | 2599.83 | 0.03 |
| Gallinera_futuro | 845 |  | Bridge |  |  |  |  |  |  |  |  |  |
| Gallinera_futuro | 819.83 | Q500 | 1024.9 | 3.15 | 6.8 | 2.8 | 6.8 | 0.000006 | 0.15 | 8612.73 | 3463.77 | 0.03 |
| Gallinera_futuro | 800 |  | Mult Open |  |  |  |  |  |  |  |  |  |
| Gallinera_futuro | 781.97 | Q500 | 1024.9 | 3.05 | 6.8 | 2.62 | 6.8 | 0.000006 | 0.15 | 8414.25 | 2695.32 | 0.03 |
| Gallinera_futuro | 729.73 | Q500 | 1024.9 | 2.98 | 6.8 |  | 6.8 | 0.000005 | 0.14 | 8658.36 | 2711.31 | 0.02 |
| Gallinera_futuro | 691.82 | Q500 | 1024.9 | 2.9 | 3.22 | 2.65 | 3.26 | 0.001902 | 0.55 | 1079.66 | 1172.02 | 0.32 |


gallinera_futuro_v4 Plan: simulacion_gallinera_futuro_v4 19/02/2018
.045
.045
0
3
5
Legend
EG Q10
WS Q10
Crit Q10
Ground
Levee
Bank Sta
Elevation (m)
Station (m)


gallinera_futuro_v4 Plan: simulacion_gallinera_futuro_v4 19/02/2018
.045
.045
0
3
5
Legend
EG Q50
WS Q50
Crit Q50
Ground
Levee
Bank Sta
Elevation (m)
Station (m)

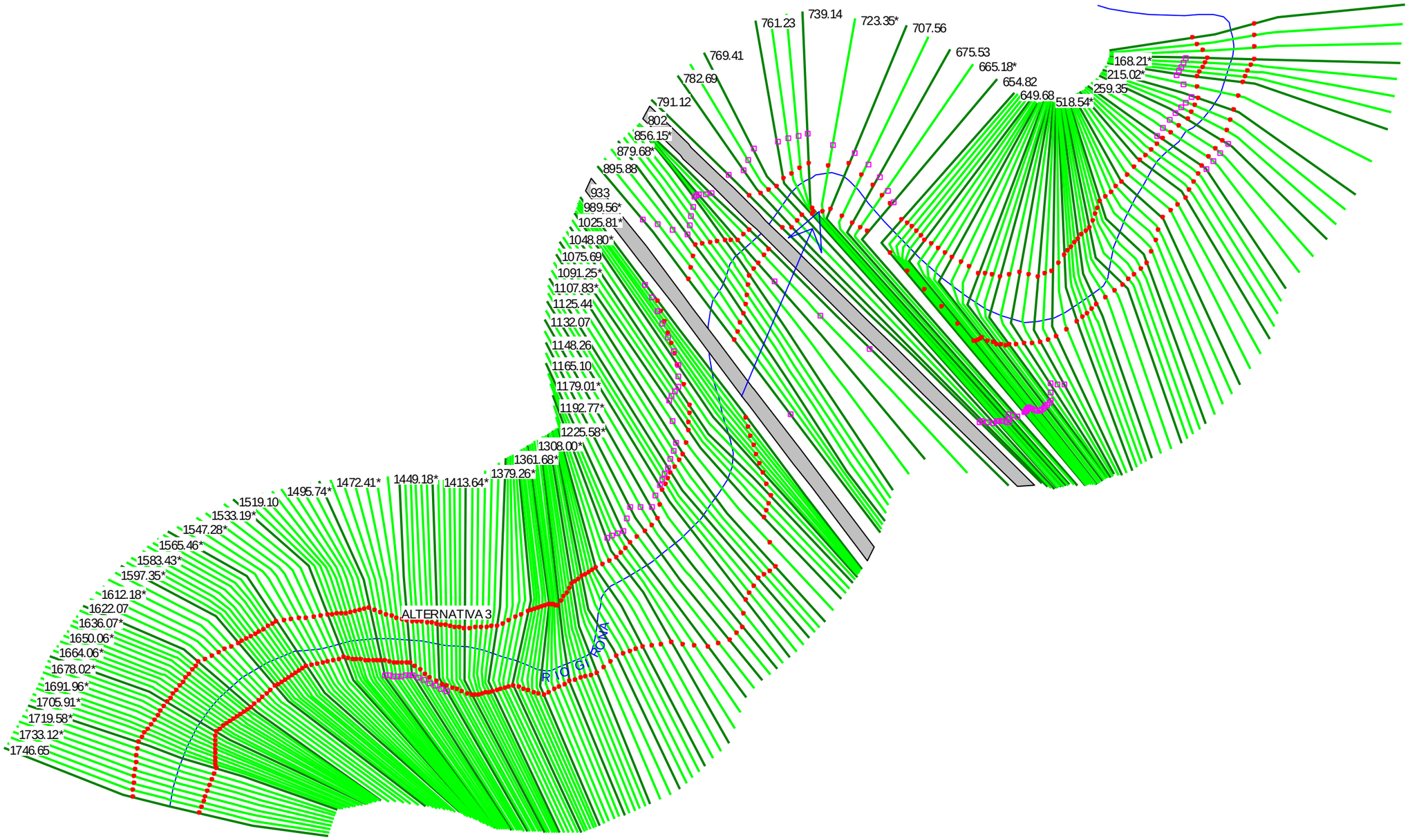

gallinera_futuro_v4 Plan: simulacion_gallinera_futuro_v4 19/02/2018
.045
.045
0
3
5
Legend
EG Q100
WS Q100
Crit Q100
Ground
Levee
Bank Sta
Elevation (m)
Station (m)

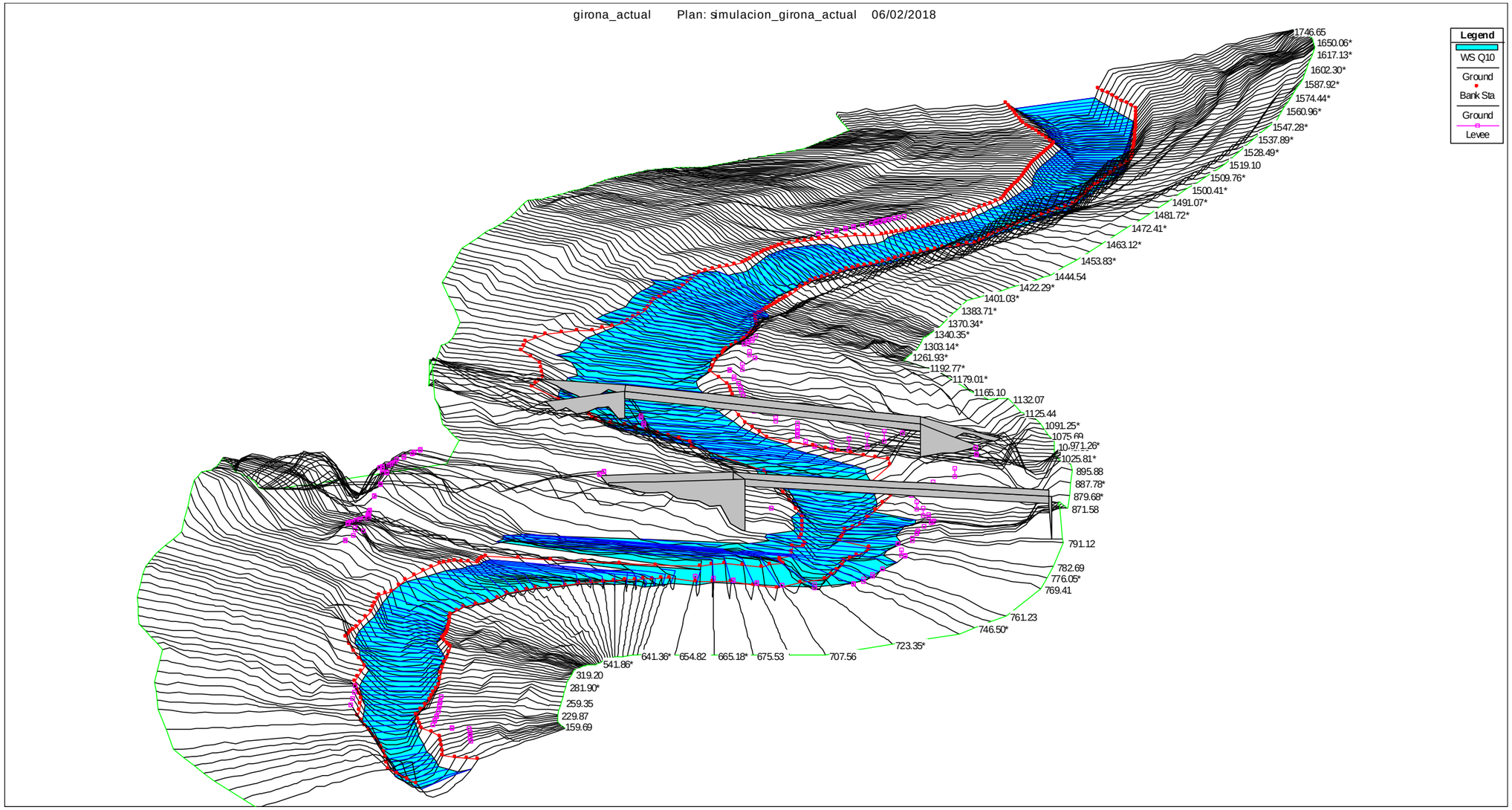

gallinera_futuro_v4 Plan: simulacion_gallinera_futuro_v4 19/02/2018
.045
.045
0
3
5
Legend
EG Q500
WS Q500
Crit Q500
Ground
Levee
Bank Sta
Elevation (m)
Station (m)

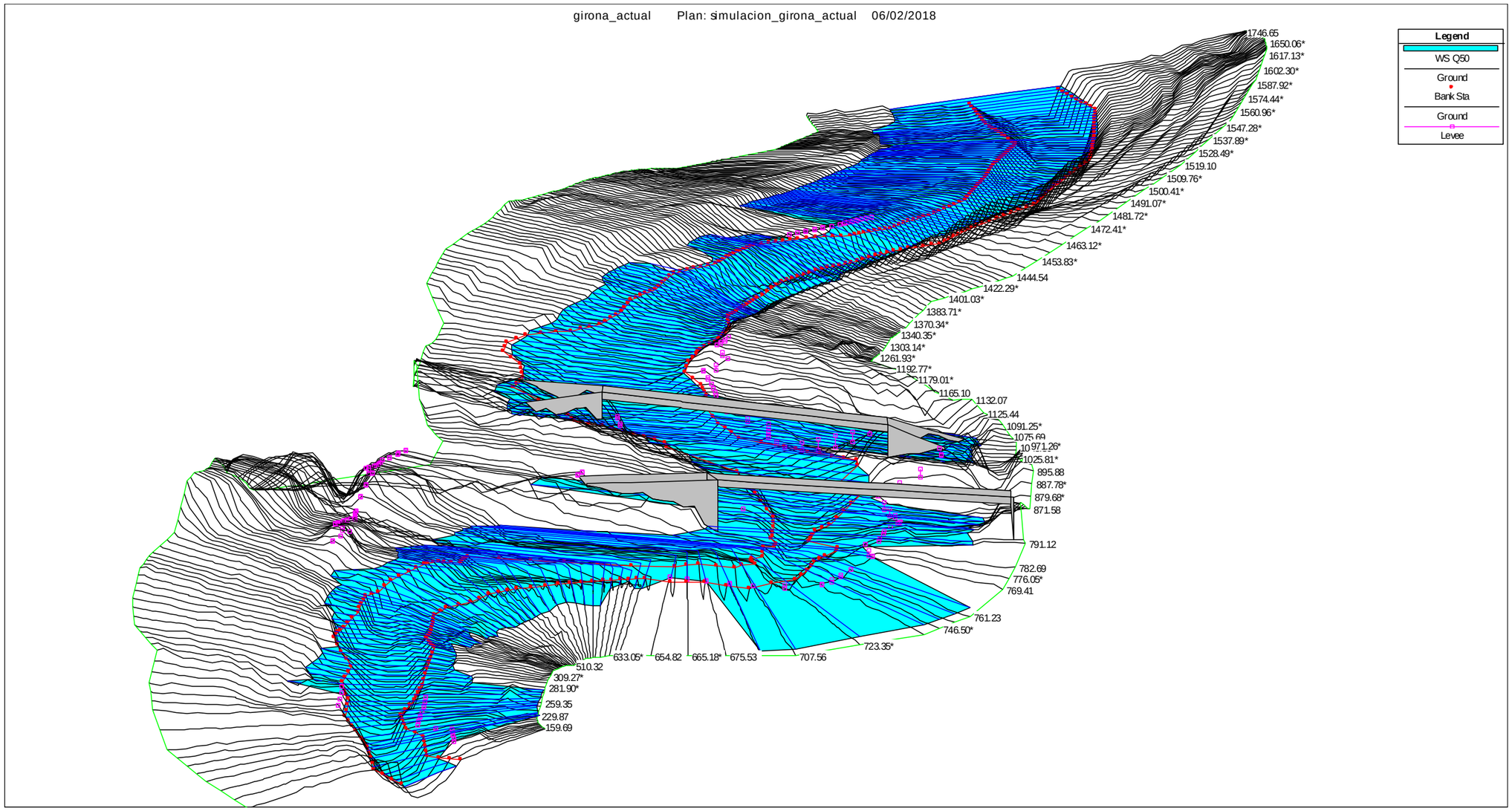

SITUACIÓN FUTURA
RAMBLA GALLINERA
ALTERNATIVAS 2A Y 2B
Leyenda
Alternativas 2A y 2B
Secciones analizadas
Hidrografía
Inundación T= 10 años
Inundación T= 50 años
Inundación T= 100 años
Inundación T= 500 años

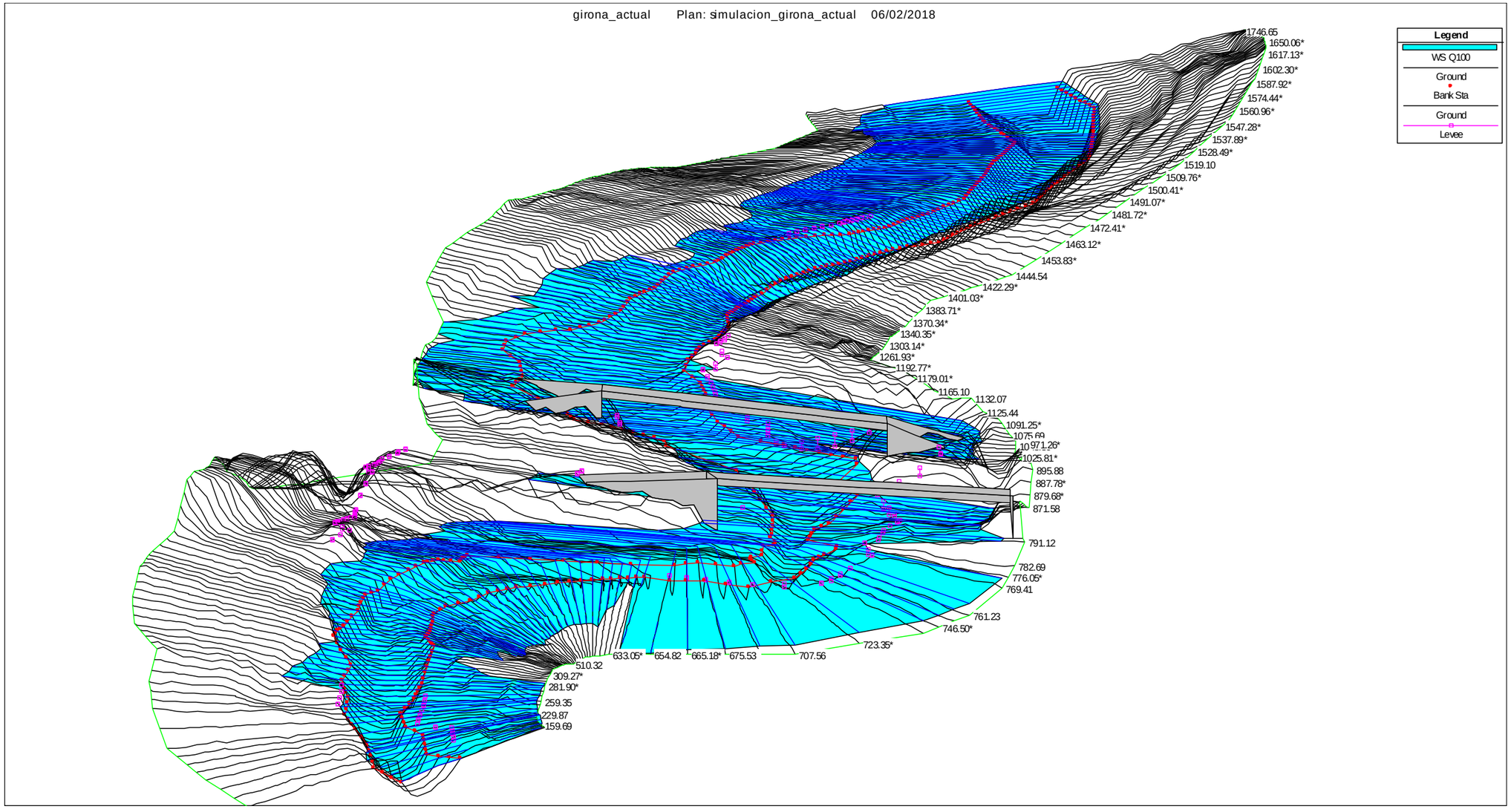
# APÉNDICE 8.3. ESTUDIO HIDRÁULICO DEL RÍO GIRONA

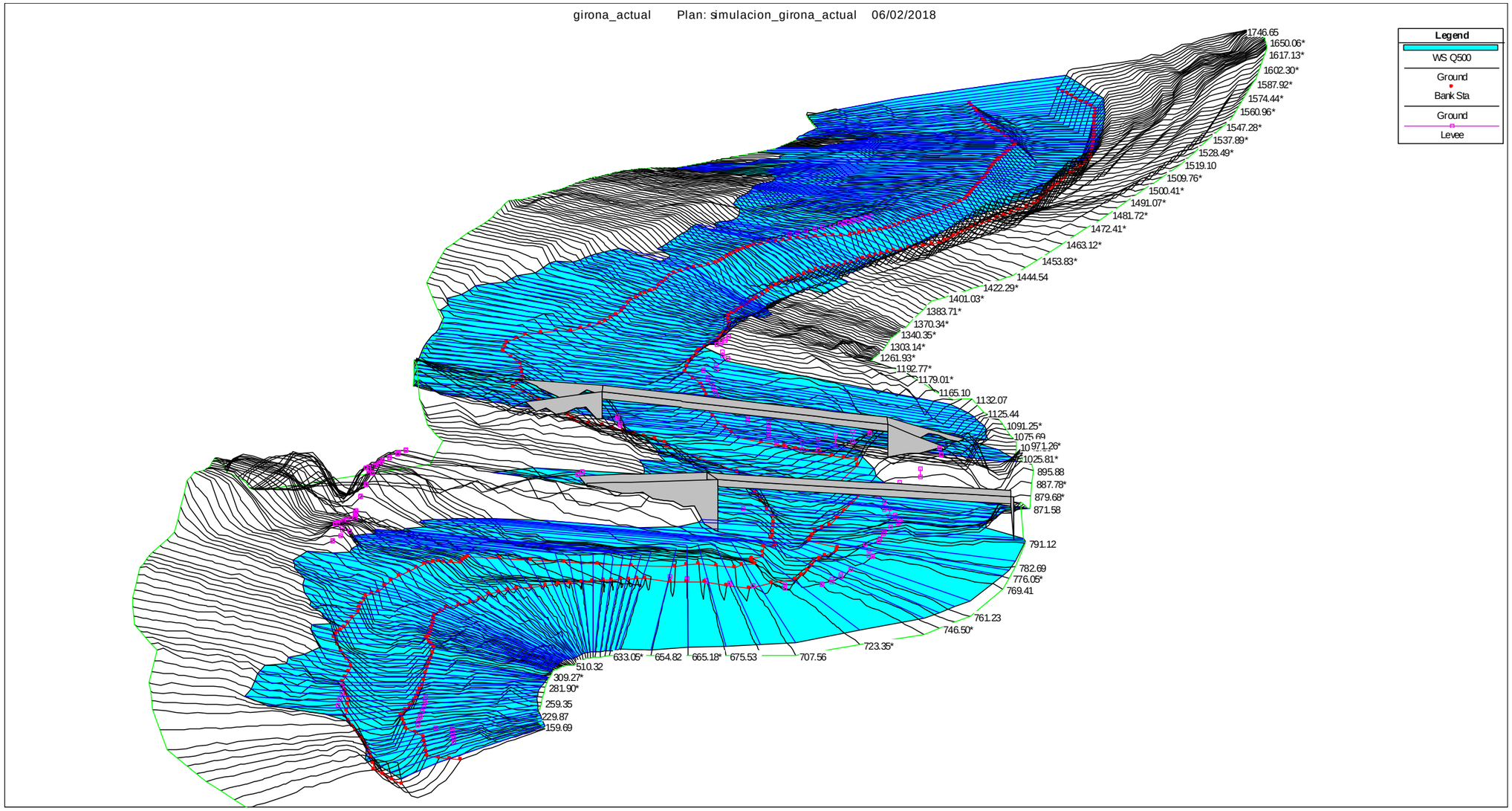
## APÉNDICE 8.3.1. RIO GIRONA. SITUACIÓN ACTUAL

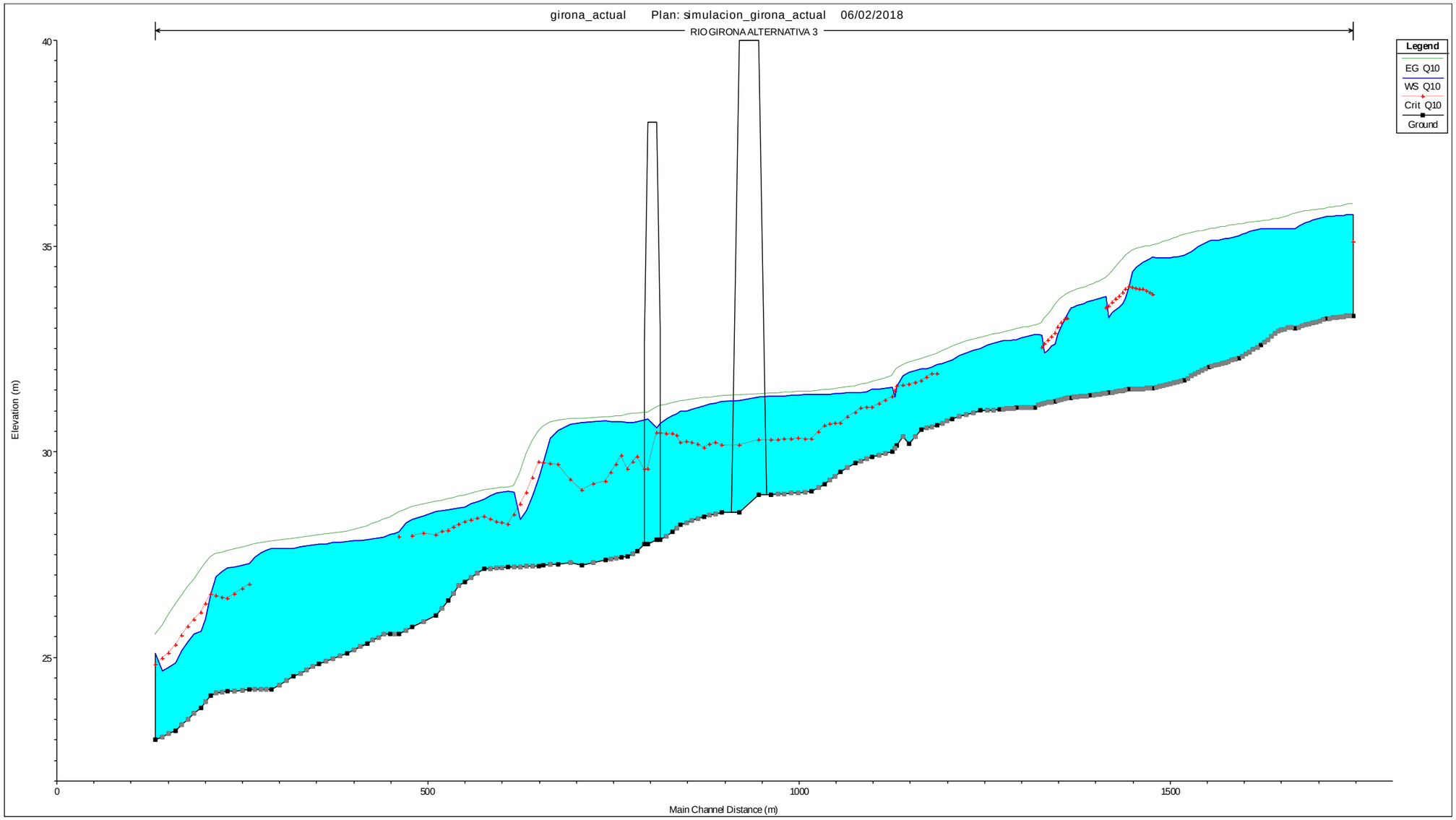

761.23
739.14
723.35*
707.56
769.41
675.53
665.18*
782.69
654.82
649.68
518.54*
168.21*
215.02*
259.35
791.12
802
856.15*
879.68*
895.88
933
989.56*
1025.81*
1048.80*
1075.69
1091.25*
1107.83*
1125.44
1132.07
1148.26
1165.10
1179.01*
1192.77*
1225.58*
1308.00*
1361.68*
1379.26*
1413.64*
1449.18*
1472.41*
1495.74*
1519.10
1533.19*
1547.28*
1565.46*
1583.43*
1597.35*
1612.18*
1622.07
1636.07*
1650.06*
1664.06*
1678.02*
1691.96*
1705.91*
1719.58*
1733.12*
1746.65
ALTERNATIVA 3
RIO GUADALHORCE

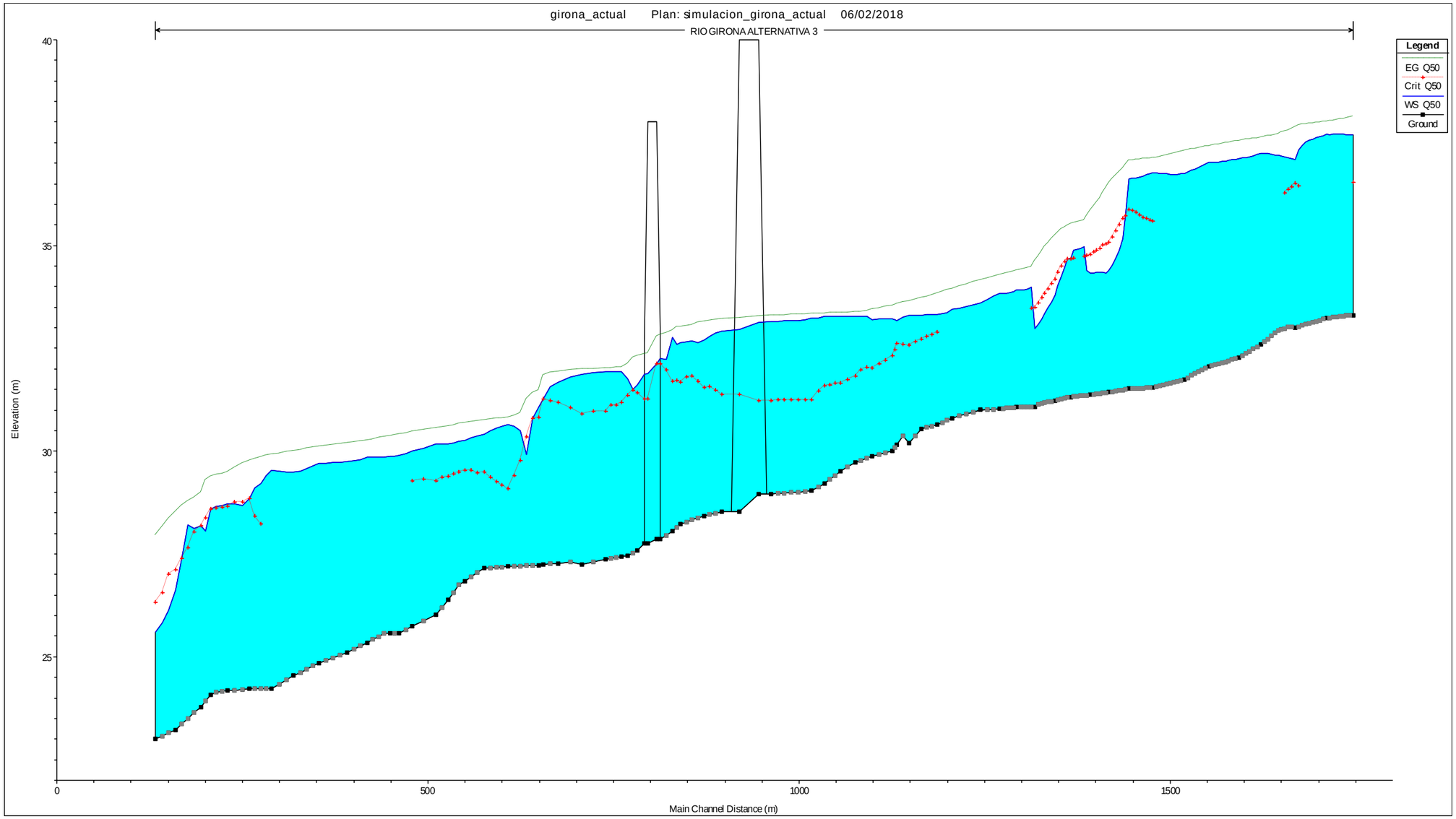

girona_actual Plan: simulacion_girona_actual 06/02/2018
Legend
WS Q10
Ground
Bank Sta
Ground
Levee
1746.65
1650.06*
1617.13*
1602.30*
1587.92*
1574.44*
1560.96*
1547.28*
1537.89*
1528.49*
1519.10
1509.76*
1500.41*
1491.07*
1481.72*
1472.41*
1463.12*
1453.83*
1444.54
1422.29*
1401.03*
1383.71*
1370.34*
1340.35*
1303.14*
1261.93*
1192.77*
1179.01*
1165.10
1132.07
1125.44
1091.25*
1075.69
1025.81*
895.88
887.78*
879.68*
871.58
791.12
782.69
776.05*
769.41
761.23
746.50*
723.35*
707.56
675.53
665.18*
654.82
641.36*
541.86*
319.20
281.90*
259.35
229.87
159.69

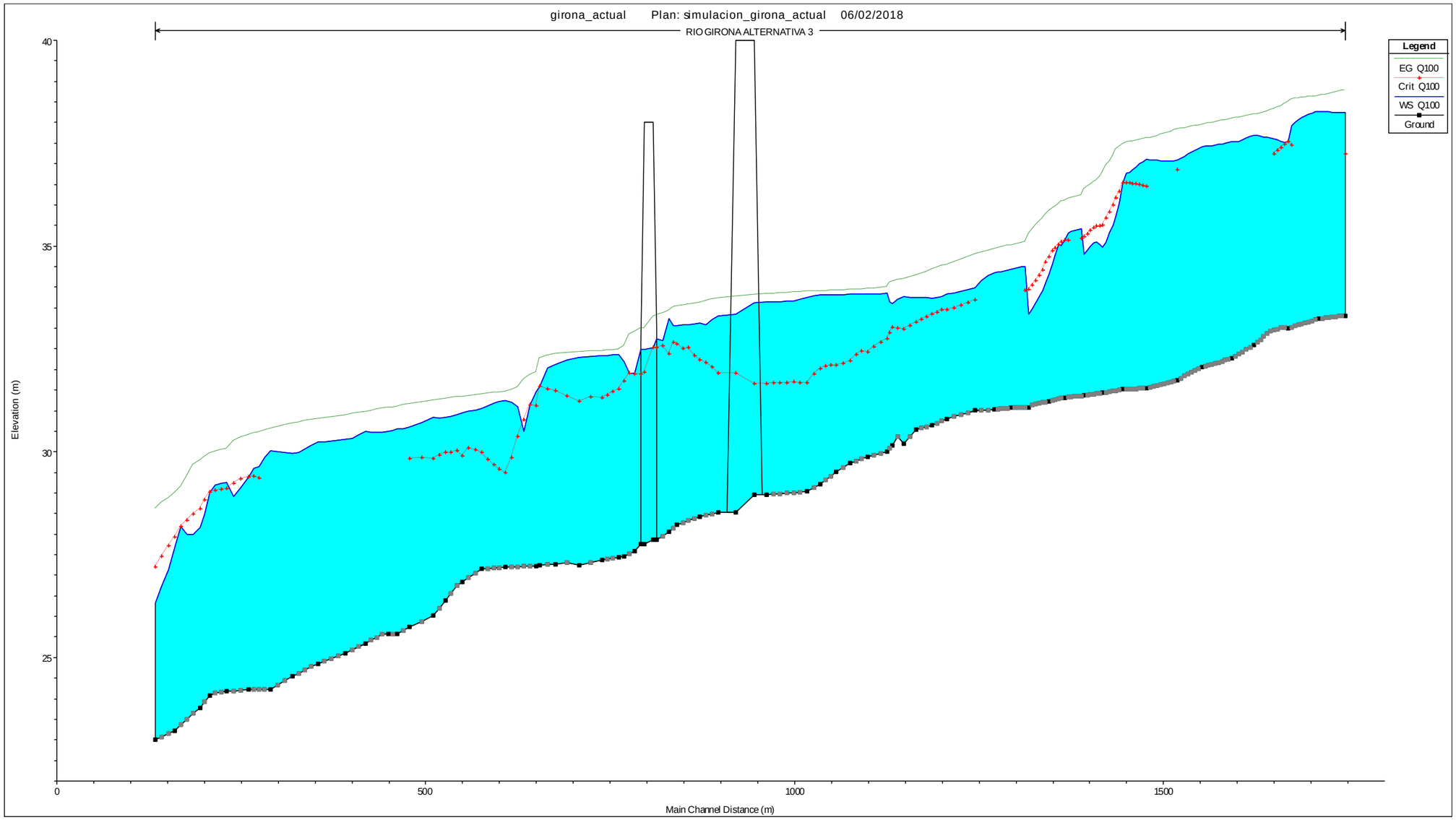

girona_actual Plan: simulacion_girona_actual 06/02/2018
Legend
WS Q50
Ground
Bank Sta
Ground
Levee
1746.65
1650.06*
1617.13*
1602.30*
1587.92*
1574.44*
1560.96*
1547.28*
1537.89*
1528.49*
1519.10
1509.76*
1500.41*
1491.07*
1481.72*
1472.41*
1463.12*
1453.83*
1444.54
1422.29*
1401.03*
1383.71*
1370.34*
1340.35*
1303.14*
1261.93*
1192.77*
1179.01*
1165.10
1132.07
1125.44
1091.25*
1075.69
1025.81*
895.88
887.78*
879.68*
871.58
791.12
782.69
776.05*
769.41
761.23
746.50*
723.35*
707.56
675.53
665.18*
654.82
633.05*
510.32
309.27*
281.90*
259.35
229.87
159.69

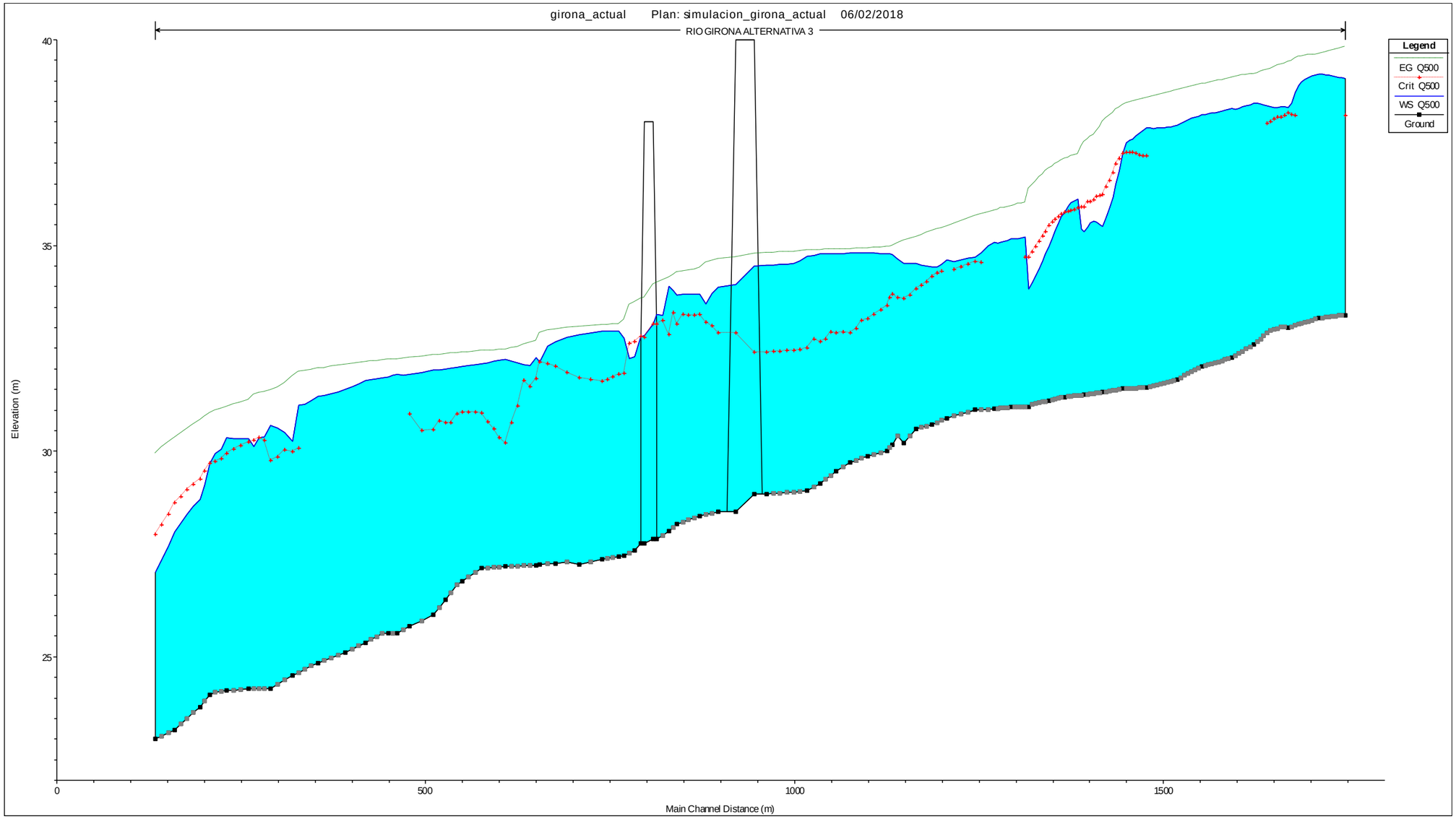

girona_actual Plan: simulacion_girona_actual 06/02/2018
Legend
WS Q100
Ground
Bank Sta
Ground
Levee
1746.65
1650.06*
1617.13*
1602.30*
1587.92*
1574.44*
1560.96*
1547.28*
1537.89*
1528.49*
1519.10
1509.76*
1500.41*
1491.07*
1481.72*
1472.41*
1463.12*
1453.83*
1444.54
1422.29*
1401.03*
1383.71*
1370.34*
1340.35*
1303.14*
1261.93*
1192.77*
1179.01*
1165.10
1132.07
1125.44
1091.25*
1075.69
1071.26*
1025.81*
895.88
887.78*
879.68*
871.58
791.12
782.69
776.05*
769.41
761.23
746.50*
723.35*
707.56
675.53
665.18*
654.82
633.05*
510.32
309.27*
281.90*
259.35
229.87
159.69


girona_actual Plan: simulacion_girona_actual 06/02/2018
Legend
WS Q500
Ground
Bank Sta
Ground
Levee
1746.65
1650.06*
1617.13*
1602.30*
1587.92*
1574.44*
1560.96*
1547.28*
1537.89*
1528.49*
1519.10
1509.76*
1500.41*
1491.07*
1481.72*
1472.41*
1463.12*
1453.83*
1444.54
1422.29*
1401.03*
1383.71*
1370.34*
1340.35*
1303.14*
1261.93*
1192.77*
1179.01*
1165.10
1132.07
1125.44
1091.25*
1075.69
1071.26*
1025.81*
895.88
887.78*
879.68*
871.58
791.12
782.69
776.05*
769.41
761.23
746.50*
723.35*
707.56
675.53
665.18*
654.82
633.05*
510.32
309.27*
281.90*
259.35
229.87
159.69


girona_actual Plan: simulacion_girona_actual 06/02/2018
RIO GIRONA ALTERNATIVA 3
Legend
EG Q10
WS Q10
Crit Q10
Ground
Elevation (m)
40
35
30
25
0
500
1000
1500
Main Channel Distance (m)


girona_actual Plan: simulacion_girona_actual 06/02/2018
RIO GIRONA ALTERNATIVA 3
Legend
EG Q50
Crit Q50
WS Q50
Ground
Elevation (m)
40
35
30
25
0
500
1000
1500
Main Channel Distance (m)


girona_actual Plan: simulacion_girona_actual 06/02/2018
RIO GIRONA ALTERNATIVA 3
Legend
EG Q100
Crit Q100
WS Q100
Ground
Elevation (m)
40
35
30
25
0
500
1000
1500
Main Channel Distance (m)


girona_actual Plan: simulacion_girona_actual 06/02/2018
RIO GIRONA ALTERNATIVA 3
Legend
EG Q500
Crit Q500
WS Q500
Ground
Elevation (m)
40
35
30
25
0
500
1000
1500
Main Channel Distance (m)

| T= 10 AÑOS | | | | | | | | | | | | |
|---|---|---|---|---|---|---|---|---|---|---|---|---|
| Reach | River Sta | Profile | Q Total (m3/s) | Min Ch El (m) | W.S. Elev (m) | Crit W.S. (m) | E.G. Elev (m) | E.G. Slope (m/m) | Vel Chnl (m/s) | Flow Area (m2) | Top Width (m) | Froude # Chl |
| RIO GIRONA ACTUAL | 1746.65 | Q10 | 216.59 | 33.31 | 35.77 | 35.09 | 36.03 | 0.002939 | 2.24 | 96.72 | 54.85 | 0.54 |
| RIO GIRONA ACTUAL | 1710.56 | Q10 | 216.59 | 33.23 | 35.72 | | 35.91 | 0.002033 | 1.95 | 111.3 | 58.86 | 0.45 |
| RIO GIRONA ACTUAL | 1668.72 | Q10 | 216.59 | 33.01 | 35.41 | | 35.79 | 0.004128 | 2.71 | 79.99 | 43.95 | 0.64 |
| RIO GIRONA ACTUAL | 1622.07 | Q10 | 216.59 | 32.59 | 35.42 | | 35.59 | 0.001512 | 1.82 | 118.96 | 56.03 | 0.4 |
| RIO GIRONA ACTUAL | 1592.41 | Q10 | 216.59 | 32.27 | 35.25 | | 35.52 | 0.002202 | 2.29 | 94.75 | 41.51 | 0.48 |
| RIO GIRONA ACTUAL | 1551.98 | Q10 | 216.59 | 32.06 | 35.13 | | 35.4 | 0.002285 | 2.28 | 94.87 | 43.18 | 0.49 |
| RIO GIRONA ACTUAL | 1519.1 | Q10 | 216.59 | 31.75 | 34.77 | | 35.27 | 0.004904 | 3.12 | 69.47 | 34.99 | 0.71 |
| RIO GIRONA ACTUAL | 1477.05 | Q10 | 216.59 | 31.55 | 34.72 | 33.81 | 35.01 | 0.002843 | 2.38 | 90.96 | 45.99 | 0.54 |
| RIO GIRONA ACTUAL | 1444.54 | Q10 | 216.59 | 31.52 | 34.01 | 34.01 | 34.82 | 0.010394 | 3.98 | 54.38 | 33.39 | 1 |
| RIO GIRONA ACTUAL | 1417.84 | Q10 | 216.59 | 31.43 | 33.25 | 33.53 | 34.29 | 0.019962 | 4.51 | 48.03 | 40.43 | 1.32 |
| RIO GIRONA ACTUAL | 1392.63 | Q10 | 216.59 | 31.37 | 33.66 | | 34.05 | 0.006348 | 2.76 | 78.34 | 58.22 | 0.76 |
| RIO GIRONA ACTUAL | 1365.88 | Q10 | 216.59 | 31.32 | 33.49 | | 33.88 | 0.006331 | 2.8 | 77.47 | 56.49 | 0.76 |
| RIO GIRONA ACTUAL | 1344.88 | Q10 | 216.59 | 31.23 | 32.61 | 32.86 | 33.55 | 0.022599 | 4.29 | 50.5 | 50.41 | 1.37 |
| RIO GIRONA ACTUAL | 1317.72 | Q10 | 216.59 | 31.08 | 32.86 | | 33.06 | 0.00338 | 2 | 108.09 | 81.42 | 0.56 |
| RIO GIRONA ACTUAL | 1293.42 | Q10 | 216.59 | 31.07 | 32.73 | | 32.98 | 0.003952 | 2.21 | 102.54 | 104.59 | 0.6 |
| RIO GIRONA ACTUAL | 1270.52 | Q10 | 216.59 | 31.03 | 32.69 | | 32.87 | 0.002993 | 1.89 | 117.24 | 100.41 | 0.52 |
| RIO GIRONA ACTUAL | 1244.76 | Q10 | 216.59 | 31 | 32.51 | | 32.77 | 0.004926 | 2.24 | 97.68 | 96.16 | 0.66 |
| RIO GIRONA ACTUAL | 1206.39 | Q10 | 216.59 | 30.81 | 32.23 | | 32.55 | 0.007376 | 2.5 | 88.72 | 102.53 | 0.79 |
| RIO GIRONA ACTUAL | 1185.96 | Q10 | 216.59 | 30.64 | 32.12 | 31.89 | 32.39 | 0.006095 | 2.32 | 93.38 | 87.85 | 0.72 |
| RIO GIRONA ACTUAL | 1165.1 | Q10 | 216.59 | 30.54 | 32.01 | 31.71 | 32.25 | 0.004955 | 2.17 | 99.64 | 88.51 | 0.65 |
| RIO GIRONA ACTUAL | 1148.26 | Q10 | 216.59 | 30.21 | 31.93 | 31.64 | 32.16 | 0.00551 | 2.11 | 102.61 | 103.15 | 0.68 |
| RIO GIRONA ACTUAL | 1132.07 | Q10 | 216.59 | 30.15 | 31.58 | 31.58 | 32.03 | 0.012356 | 2.96 | 73.05 | 80.8 | 1 |
| RIO GIRONA ACTUAL | 1125.44 | Q10 | 216.59 | 30.01 | 31.58 | 31.34 | 31.84 | 0.005824 | 2.25 | 96.07 | 91.18 | 0.7 |
| RIO GIRONA ACTUAL | 1099.03 | Q10 | 216.59 | 29.87 | 31.52 | 31.08 | 31.69 | 0.003256 | 1.84 | 117.58 | 97.72 | 0.54 |
| RIO GIRONA ACTUAL | 1075.69 | Q10 | 216.59 | 29.73 | 31.45 | 30.95 | 31.59 | 0.00268 | 1.65 | 131.65 | 112.01 | 0.48 |
| RIO GIRONA ACTUAL | 1055.89 | Q10 | 216.59 | 29.51 | 31.42 | 30.68 | 31.54 | 0.001635 | 1.51 | 143.57 | 95.93 | 0.39 |
| RIO GIRONA ACTUAL | 1034.62 | Q10 | 216.59 | 29.22 | 31.39 | 30.63 | 31.5 | 0.00159 | 1.44 | 150.42 | 105.67 | 0.39 |
| RIO GIRONA ACTUAL | 1017 | Q10 | 216.59 | 29.03 | 31.4 | 30.3 | 31.47 | 0.000819 | 1.19 | 182.58 | 104.22 | 0.29 |
| RIO GIRONA ACTUAL | 962.11 | Q10 | 216.59 | 28.95 | 31.35 | 30.28 | 31.42 | 0.000863 | 1.2 | 180.86 | 105.8 | 0.29 |
| RIO GIRONA ACTUAL | 933 | | Bridge | | | | | | | | | |
| RIO GIRONA ACTUAL | 895.88 | Q10 | 216.59 | 28.52 | 31.22 | 30.15 | 31.35 | 0.00122 | 1.56 | 139.21 | 76.13 | 0.35 |
| RIO GIRONA ACTUAL | 871.58 | Q10 | 216.59 | 28.43 | 31.13 | 30.09 | 31.3 | 0.00173 | 1.86 | 116.42 | 58.84 | 0.42 |
| RIO GIRONA ACTUAL | 840.71 | Q10 | 216.59 | 28.23 | 30.98 | 30.23 | 31.21 | 0.002102 | 2.23 | 113.69 | 79.16 | 0.48 |
| RIO GIRONA ACTUAL | 829.38 | Q10 | 216.59 | 28.05 | 30.88 | 30.43 | 31.18 | 0.002915 | 2.66 | 105.35 | 75.29 | 0.56 |
| RIO GIRONA ACTUAL | 813.48 | Q10 | 216.59 | 27.86 | 30.69 | 30.44 | 31.11 | 0.004443 | 3.15 | 88.45 | 67.75 | 0.69 |
| RIO GIRONA ACTUAL | 802 | | Bridge | | | | | | | | | |
| RIO GIRONA ACTUAL | 791.12 | Q10 | 216.59 | 27.75 | 30.78 | 29.57 | 30.94 | 0.001187 | 1.84 | 137.55 | 87.75 | 0.37 |

| T= 10 AÑOS | | | | | | | | | | | | |
|---|---|---|---|---|---|---|---|---|---|---|---|---|
| Reach | River Sta | Profile | Q Total (m3/s) | Min Ch El (m) | W.S. Elev (m) | Crit W.S. (m) | E.G. Elev (m) | E.G. Slope (m/m) | Vel Chnl (m/s) | Flow Area (m2) | Top Width (m) | Froude # Chl |
| RIO GIRONA ACTUAL | 782.69 | Q10 | 216.59 | 27.59 | 30.73 | 29.87 | 30.93 | 0.001755 | 2.05 | 120.22 | 78.48 | 0.44 |
| RIO GIRONA ACTUAL | 769.41 | Q10 | 216.59 | 27.46 | 30.71 | 29.58 | 30.9 | 0.001432 | 2.05 | 142.46 | 155.96 | 0.4 |
| RIO GIRONA ACTUAL | 761.23 | Q10 | 216.59 | 27.43 | 30.74 | 29.89 | 30.87 | 0.001296 | 1.75 | 183.66 | 207.35 | 0.37 |
| RIO GIRONA ACTUAL | 739.14 | Q10 | 216.59 | 27.38 | 30.75 | 29.27 | 30.83 | 0.000626 | 1.42 | 233.36 | 240.61 | 0.27 |
| RIO GIRONA ACTUAL | 707.56 | Q10 | 216.59 | 27.25 | 30.72 | 29.06 | 30.81 | 0.000596 | 1.4 | 227.95 | 227.69 | 0.26 |
| RIO GIRONA ACTUAL | 675.53 | Q10 | 216.59 | 27.28 | 30.52 | 29.68 | 30.76 | 0.002317 | 2.28 | 133.49 | 185.83 | 0.49 |
| RIO GIRONA ACTUAL | 654.82 | Q10 | 216.59 | 27.25 | 29.72 | 29.72 | 30.6 | 0.010232 | 4.16 | 52.11 | 29.53 | 1 |
| RIO GIRONA ACTUAL | 649.68 | Q10 | 216.59 | 27.23 | 29.37 | 29.75 | 30.5 | 0.023637 | 4.9 | 49.91 | 55.86 | 1.43 |
| RIO GIRONA ACTUAL | 608.1 | Q10 | 216.59 | 27.2 | 29.05 | 28.22 | 29.14 | 0.001181 | 1.28 | 168.91 | 112.85 | 0.33 |
| RIO GIRONA ACTUAL | 575.79 | Q10 | 216.59 | 27.15 | 28.84 | 28.43 | 29.06 | 0.003751 | 2.05 | 105.43 | 82.59 | 0.58 |
| RIO GIRONA ACTUAL | 549.41 | Q10 | 216.59 | 26.84 | 28.66 | 28.29 | 28.94 | 0.004587 | 2.35 | 92.29 | 68.84 | 0.65 |
| RIO GIRONA ACTUAL | 526.75 | Q10 | 216.59 | 26.38 | 28.6 | 28.08 | 28.84 | 0.003372 | 2.18 | 99.21 | 65.33 | 0.57 |
| RIO GIRONA ACTUAL | 510.32 | Q10 | 216.59 | 26.02 | 28.56 | 27.98 | 28.78 | 0.003014 | 2.09 | 103.5 | 66.76 | 0.54 |
| RIO GIRONA ACTUAL | 478.36 | Q10 | 216.59 | 25.74 | 28.35 | 27.94 | 28.65 | 0.004399 | 2.41 | 89.91 | 62.35 | 0.64 |
| RIO GIRONA ACTUAL | 461.54 | Q10 | 216.59 | 25.57 | 28.06 | 27.94 | 28.53 | 0.008839 | 3.03 | 71.55 | 59.06 | 0.88 |
| RIO GIRONA ACTUAL | 448.84 | Q10 | 216.59 | 25.57 | 27.98 | | 28.41 | 0.007305 | 2.87 | 75.39 | 58.37 | 0.81 |
| RIO GIRONA ACTUAL | 418.4 | Q10 | 216.59 | 25.34 | 27.86 | | 28.19 | 0.004585 | 2.54 | 85.17 | 56.07 | 0.66 |
| RIO GIRONA ACTUAL | 390.81 | Q10 | 216.59 | 25.11 | 27.83 | | 28.07 | 0.002749 | 2.17 | 99.75 | 56.51 | 0.52 |
| RIO GIRONA ACTUAL | 353.57 | Q10 | 216.59 | 24.85 | 27.75 | | 27.96 | 0.002366 | 2.06 | 104.9 | 57.37 | 0.49 |
| RIO GIRONA ACTUAL | 319.2 | Q10 | 216.59 | 24.54 | 27.65 | | 27.89 | 0.001985 | 2.16 | 100.35 | 44.67 | 0.46 |
| RIO GIRONA ACTUAL | 289.42 | Q10 | 216.59 | 24.23 | 27.65 | | 27.82 | 0.001422 | 1.85 | 117.06 | 50.98 | 0.39 |
| RIO GIRONA ACTUAL | 259.35 | Q10 | 216.59 | 24.22 | 27.28 | 26.78 | 27.72 | 0.004704 | 2.95 | 73.48 | 39.2 | 0.69 |
| RIO GIRONA ACTUAL | 229.87 | Q10 | 216.59 | 24.17 | 27.18 | 26.42 | 27.59 | 0.003421 | 2.83 | 76.61 | 33.72 | 0.6 |
| RIO GIRONA ACTUAL | 207.59 | Q10 | 216.59 | 24.08 | 26.53 | 26.53 | 27.43 | 0.010203 | 4.2 | 51.62 | 28.68 | 1 |
| RIO GIRONA ACTUAL | 193.77 | Q10 | 216.59 | 23.78 | 25.64 | 26.08 | 27.13 | 0.024214 | 5.41 | 40.06 | 29.25 | 1.48 |
| RIO GIRONA ACTUAL | 159.69 | Q10 | 216.59 | 23.22 | 24.87 | 25.29 | 26.28 | 0.025909 | 5.26 | 41.17 | 33.31 | 1.51 |
| RIO GIRONA ACTUAL | 133.27 | Q10 | 216.59 | 23 | 25.11 | 24.83 | 25.55 | 0.006203 | 2.94 | 73.65 | 48.98 | 0.77 |

| T= 50 AÑOS | | | | | | | | | | | | |
|---|---|---|---|---|---|---|---|---|---|---|---|---|
| Reach | River Sta | Profile | Q Total (m3/s) | Min Ch El (m) | W.S. Elev (m) | Crit W.S. (m) | E.G. Elev (m) | E.G. Slope (m/m) | Vel Chnl (m/s) | Flow Area (m2) | Top Width (m) | Froude # Chl |
| RIO GIRONA ACTUAL | 1746.65 | Q50 | 669.62 | 33.31 | 37.69 | 36.53 | 38.13 | 0.002244 | 3 | 250.19 | 123.02 | 0.52 |
| RIO GIRONA ACTUAL | 1710.56 | Q50 | 669.62 | 33.23 | 37.7 | | 38.01 | 0.001687 | 2.54 | 303.3 | 155.26 | 0.45 |
| RIO GIRONA ACTUAL | 1668.72 | Q50 | 669.62 | 33.01 | 37.08 | 36.52 | 37.88 | 0.004432 | 4 | 189.35 | 136.59 | 0.72 |
| RIO GIRONA ACTUAL | 1622.07 | Q50 | 669.62 | 32.59 | 37.25 | | 37.62 | 0.001753 | 2.79 | 278.99 | 149.66 | 0.47 |
| RIO GIRONA ACTUAL | 1592.41 | Q50 | 669.62 | 32.27 | 37.11 | | 37.55 | 0.002337 | 3.13 | 274.83 | 148.89 | 0.53 |
| RIO GIRONA ACTUAL | 1551.98 | Q50 | 669.62 | 32.06 | 37.02 | | 37.42 | 0.002 | 3.03 | 291.7 | 153.13 | 0.5 |
| RIO GIRONA ACTUAL | 1519.1 | Q50 | 669.62 | 31.75 | 36.74 | | 37.3 | 0.003102 | 3.62 | 252.07 | 142.83 | 0.62 |
| RIO GIRONA ACTUAL | 1477.05 | Q50 | 669.62 | 31.55 | 36.77 | 35.59 | 37.12 | 0.001707 | 2.88 | 304.85 | 142.16 | 0.47 |
| RIO GIRONA ACTUAL | 1444.54 | Q50 | 669.62 | 31.52 | 36.62 | 35.88 | 37.06 | 0.002217 | 3.3 | 285.51 | 143.53 | 0.53 |
| RIO GIRONA ACTUAL | 1417.84 | Q50 | 669.62 | 31.43 | 34.39 | 35.08 | 36.51 | 0.022621 | 6.45 | 104.24 | 70.26 | 1.51 |
| RIO GIRONA ACTUAL | 1392.63 | Q50 | 669.62 | 31.37 | 34.33 | 34.77 | 35.84 | 0.016013 | 5.5 | 130.63 | 113.12 | 1.28 |
| RIO GIRONA ACTUAL | 1365.88 | Q50 | 669.62 | 31.32 | 34.69 | 34.68 | 35.52 | 0.006523 | 4.16 | 185.57 | 124.89 | 0.85 |
| RIO GIRONA ACTUAL | 1344.88 | Q50 | 669.62 | 31.23 | 33.79 | 34.19 | 35.24 | 0.016684 | 5.35 | 130.26 | 95.05 | 1.29 |
| RIO GIRONA ACTUAL | 1317.72 | Q50 | 669.62 | 31.08 | 32.98 | 33.48 | 34.62 | 0.02465 | 5.67 | 118.19 | 86.61 | 1.52 |
| RIO GIRONA ACTUAL | 1293.42 | Q50 | 669.62 | 31.07 | 33.91 | | 34.38 | 0.003638 | 3.21 | 242.91 | 126.83 | 0.64 |
| RIO GIRONA ACTUAL | 1270.52 | Q50 | 669.62 | 31.03 | 33.85 | | 34.28 | 0.003224 | 2.97 | 240.21 | 111.92 | 0.6 |
| RIO GIRONA ACTUAL | 1244.76 | Q50 | 669.62 | 31 | 33.59 | | 34.16 | 0.004851 | 3.42 | 210.42 | 109.88 | 0.73 |
| RIO GIRONA ACTUAL | 1206.39 | Q50 | 669.62 | 30.81 | 33.44 | | 33.95 | 0.004494 | 3.26 | 223.75 | 119.15 | 0.7 |
| RIO GIRONA ACTUAL | 1185.96 | Q50 | 669.62 | 30.64 | 33.32 | 32.9 | 33.85 | 0.00457 | 3.24 | 212.87 | 112.19 | 0.7 |
| RIO GIRONA ACTUAL | 1165.1 | Q50 | 669.62 | 30.54 | 33.31 | 32.72 | 33.72 | 0.003994 | 2.85 | 235.33 | 118.65 | 0.65 |
| RIO GIRONA ACTUAL | 1148.26 | Q50 | 669.62 | 30.21 | 33.3 | 32.58 | 33.65 | 0.003082 | 2.59 | 258.39 | 123.16 | 0.57 |
| RIO GIRONA ACTUAL | 1132.07 | Q50 | 669.62 | 30.15 | 33.17 | 32.61 | 33.58 | 0.004036 | 2.84 | 235.47 | 119.68 | 0.65 |
| RIO GIRONA ACTUAL | 1125.44 | Q50 | 669.62 | 30.01 | 33.21 | 32.31 | 33.54 | 0.002777 | 2.53 | 264.38 | 120.78 | 0.55 |
| RIO GIRONA ACTUAL | 1099.03 | Q50 | 669.62 | 29.87 | 33.2 | 32.01 | 33.45 | 0.001888 | 2.21 | 303.18 | 130.78 | 0.46 |
| RIO GIRONA ACTUAL | 1075.69 | Q50 | 669.62 | 29.73 | 33.29 | 31.83 | 33.38 | 0.000724 | 1.48 | 565.08 | 343.86 | 0.29 |
| RIO GIRONA ACTUAL | 1055.89 | Q50 | 669.62 | 29.51 | 33.28 | 31.66 | 33.37 | 0.000583 | 1.49 | 603.33 | 324.42 | 0.27 |
| RIO GIRONA ACTUAL | 1034.62 | Q50 | 669.62 | 29.22 | 33.28 | 31.58 | 33.35 | 0.000489 | 1.37 | 644.9 | 326.76 | 0.24 |
| RIO GIRONA ACTUAL | 1017 | Q50 | 669.62 | 29.03 | 33.24 | 31.24 | 33.34 | 0.000582 | 1.49 | 526.34 | 263.8 | 0.27 |
| RIO GIRONA ACTUAL | 962.11 | Q50 | 669.62 | 28.95 | 33.15 | 31.23 | 33.29 | 0.000805 | 1.67 | 404.53 | 147.8 | 0.31 |
| RIO GIRONA ACTUAL | 933 | | Bridge | | | | | | | | | |
| RIO GIRONA ACTUAL | 895.88 | Q50 | 669.62 | 28.52 | 32.92 | 31.37 | 33.21 | 0.001299 | 2.44 | 309.47 | 124.76 | 0.41 |
| RIO GIRONA ACTUAL | 871.58 | Q50 | 669.62 | 28.43 | 32.69 | 31.54 | 33.15 | 0.002719 | 2.99 | 230.49 | 107.97 | 0.56 |
| RIO GIRONA ACTUAL | 840.71 | Q50 | 669.62 | 28.23 | 32.63 | 31.68 | 33.03 | 0.002078 | 3.2 | 315.06 | 195.64 | 0.52 |
| RIO GIRONA ACTUAL | 829.38 | Q50 | 669.62 | 28.05 | 32.76 | 31.69 | 32.93 | 0.001192 | 2.54 | 487.42 | 278.05 | 0.4 |
| RIO GIRONA ACTUAL | 813.48 | Q50 | 669.62 | 27.86 | 32.26 | 32.12 | 32.82 | 0.003631 | 4.11 | 275.24 | 177.5 | 0.68 |

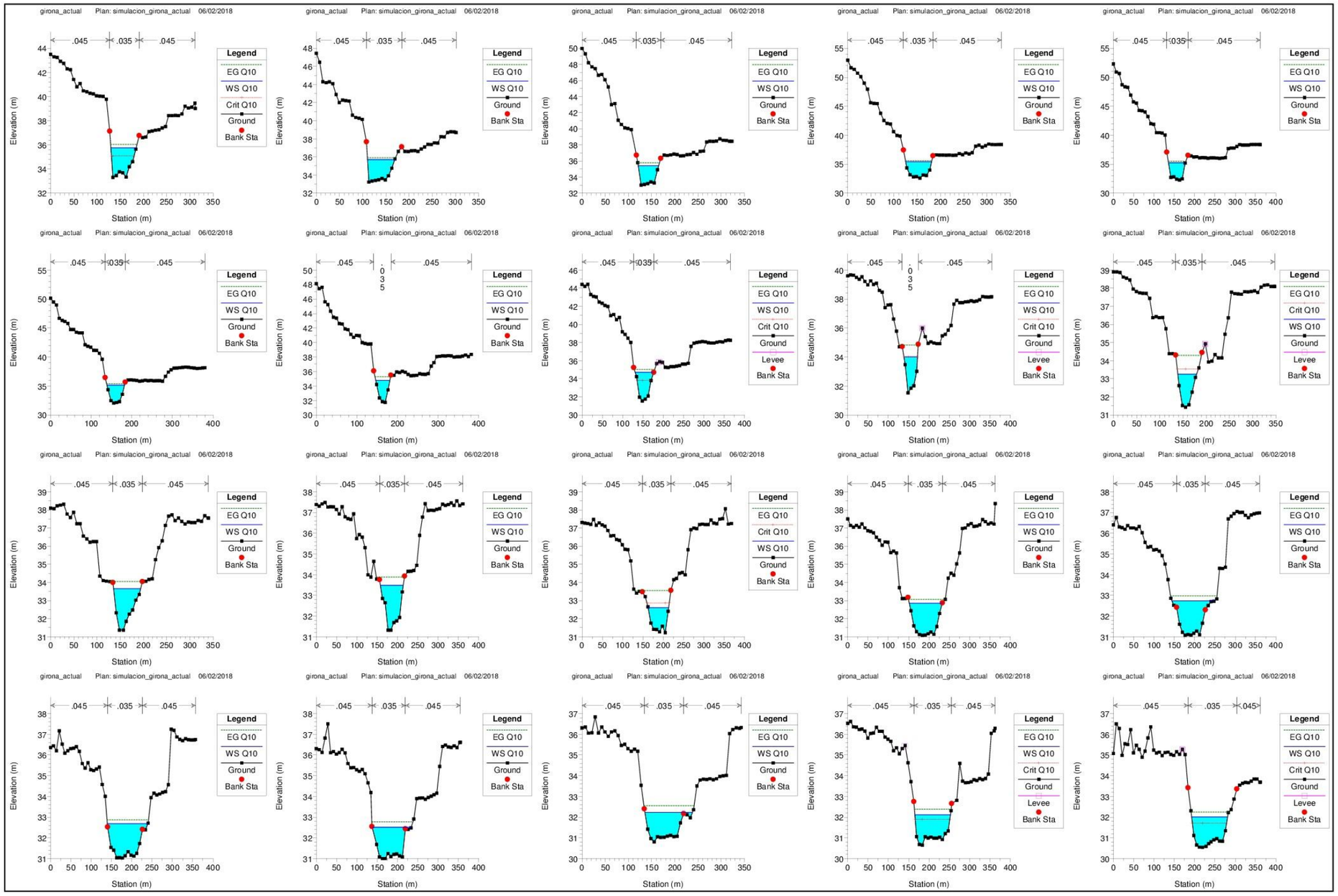
| T= 50 AÑOS | | | | | | | | | | | | |
|---|---|---|---|---|---|---|---|---|---|---|---|---|
| Reach | River Sta | Profile | Q Total (m3/s) | Min Ch El (m) | W.S. Elev (m) | Crit W.S. (m) | E.G. Elev (m) | E.G. Slope (m/m) | Vel Chnl (m/s) | Flow Area (m2) | Top Width (m) | Froude # Chl |
| RIO GIRONA ACTUAL | 802 | | Bridge | | | | | | | | | |
| RIO GIRONA ACTUAL | 791.12 | Q50 | 669.62 | 27.75 | 31.87 | 31.26 | 32.36 | 0.002606 | 3.44 | 271.89 | 179.24 | 0.57 |
| RIO GIRONA ACTUAL | 782.69 | Q50 | 669.62 | 27.59 | 31.61 | 31.41 | 32.31 | 0.004421 | 4.05 | 213.69 | 120 | 0.73 |
| RIO GIRONA ACTUAL | 769.41 | Q50 | 669.62 | 27.46 | 31.77 | 31.35 | 32.13 | 0.002247 | 3.22 | 326.51 | 193.67 | 0.53 |
| RIO GIRONA ACTUAL | 761.23 | Q50 | 669.62 | 27.43 | 31.93 | 31.18 | 32.04 | 0.00102 | 2.06 | 575.14 | 364.07 | 0.35 |
| RIO GIRONA ACTUAL | 739.14 | Q50 | 669.62 | 27.38 | 31.93 | 30.96 | 32.02 | 0.000637 | 1.81 | 666.13 | 374.65 | 0.29 |
| RIO GIRONA ACTUAL | 707.56 | Q50 | 669.62 | 27.25 | 31.87 | 30.91 | 31.99 | 0.000749 | 1.96 | 596.65 | 372.62 | 0.31 |
| RIO GIRONA ACTUAL | 675.53 | Q50 | 669.62 | 27.28 | 31.67 | 31.17 | 31.94 | 0.002125 | 2.86 | 368.22 | 219 | 0.51 |
| RIO GIRONA ACTUAL | 654.82 | Q50 | 669.62 | 27.25 | 31.26 | 31.26 | 31.85 | 0.004765 | 4.12 | 264.96 | 196.11 | 0.75 |
| RIO GIRONA ACTUAL | 649.68 | Q50 | 669.62 | 27.23 | 31.08 | 30.82 | 31.48 | 0.004041 | 3.41 | 288 | 199.32 | 0.67 |
| RIO GIRONA ACTUAL | 608.1 | Q50 | 669.62 | 27.2 | 30.65 | 29.08 | 30.82 | 0.000968 | 1.84 | 386.03 | 185.78 | 0.34 |
| RIO GIRONA ACTUAL | 575.79 | Q50 | 669.62 | 27.15 | 30.42 | 29.49 | 30.75 | 0.00225 | 2.62 | 286.34 | 183 | 0.51 |
| RIO GIRONA ACTUAL | 549.41 | Q50 | 669.62 | 26.84 | 30.27 | 29.54 | 30.68 | 0.002755 | 2.94 | 265.33 | 170.62 | 0.57 |
| RIO GIRONA ACTUAL | 526.75 | Q50 | 669.62 | 26.38 | 30.18 | 29.37 | 30.61 | 0.002654 | 3.02 | 258.98 | 161.17 | 0.56 |
| RIO GIRONA ACTUAL | 510.32 | Q50 | 669.62 | 26.02 | 30.17 | 29.27 | 30.56 | 0.002275 | 2.86 | 275.54 | 157.22 | 0.52 |
| RIO GIRONA ACTUAL | 478.36 | Q50 | 669.62 | 25.74 | 30.01 | 29.28 | 30.47 | 0.002714 | 3.13 | 251.98 | 141.98 | 0.57 |
| RIO GIRONA ACTUAL | 461.54 | Q50 | 669.62 | 25.57 | 29.9 | | 30.41 | 0.003136 | 3.29 | 242.22 | 150.93 | 0.61 |
| RIO GIRONA ACTUAL | 448.84 | Q50 | 669.62 | 25.57 | 29.88 | | 30.37 | 0.002915 | 3.21 | 239.05 | 124.67 | 0.59 |
| RIO GIRONA ACTUAL | 418.4 | Q50 | 669.62 | 25.34 | 29.85 | | 30.26 | 0.002193 | 2.94 | 263.01 | 136.89 | 0.52 |
| RIO GIRONA ACTUAL | 390.81 | Q50 | 669.62 | 25.11 | 29.75 | | 30.19 | 0.002132 | 2.98 | 241.16 | 103.66 | 0.51 |
| RIO GIRONA ACTUAL | 353.57 | Q50 | 669.62 | 24.85 | 29.7 | | 30.1 | 0.002044 | 2.81 | 239.68 | 90.66 | 0.5 |
| RIO GIRONA ACTUAL | 319.2 | Q50 | 669.62 | 24.54 | 29.49 | | 30.01 | 0.002335 | 3.3 | 229.2 | 91.81 | 0.54 |
| RIO GIRONA ACTUAL | 289.42 | Q50 | 669.62 | 24.23 | 29.54 | | 29.91 | 0.001564 | 2.81 | 279.45 | 115.66 | 0.45 |
| RIO GIRONA ACTUAL | 259.35 | Q50 | 669.62 | 24.22 | 28.85 | 28.85 | 29.77 | 0.005162 | 4.39 | 185.68 | 122.04 | 0.78 |
| RIO GIRONA ACTUAL | 229.87 | Q50 | 669.62 | 24.17 | 28.72 | 28.66 | 29.48 | 0.004203 | 4.19 | 217.3 | 131.5 | 0.71 |
| RIO GIRONA ACTUAL | 207.59 | Q50 | 669.62 | 24.08 | 28.6 | 28.6 | 29.39 | 0.004844 | 4.38 | 213.89 | 129.17 | 0.76 |
| RIO GIRONA ACTUAL | 193.77 | Q50 | 669.62 | 23.78 | 28.18 | 28.18 | 29 | 0.005029 | 4.28 | 203.7 | 128.23 | 0.77 |
| RIO GIRONA ACTUAL | 159.69 | Q50 | 669.62 | 23.22 | 26.62 | 27.12 | 28.52 | 0.013298 | 6.11 | 111.93 | 58.74 | 1.22 |
| RIO GIRONA ACTUAL | 133.27 | Q50 | 669.62 | 23 | 25.6 | 26.31 | 27.95 | 0.025184 | 6.79 | 98.66 | 53.45 | 1.6 |

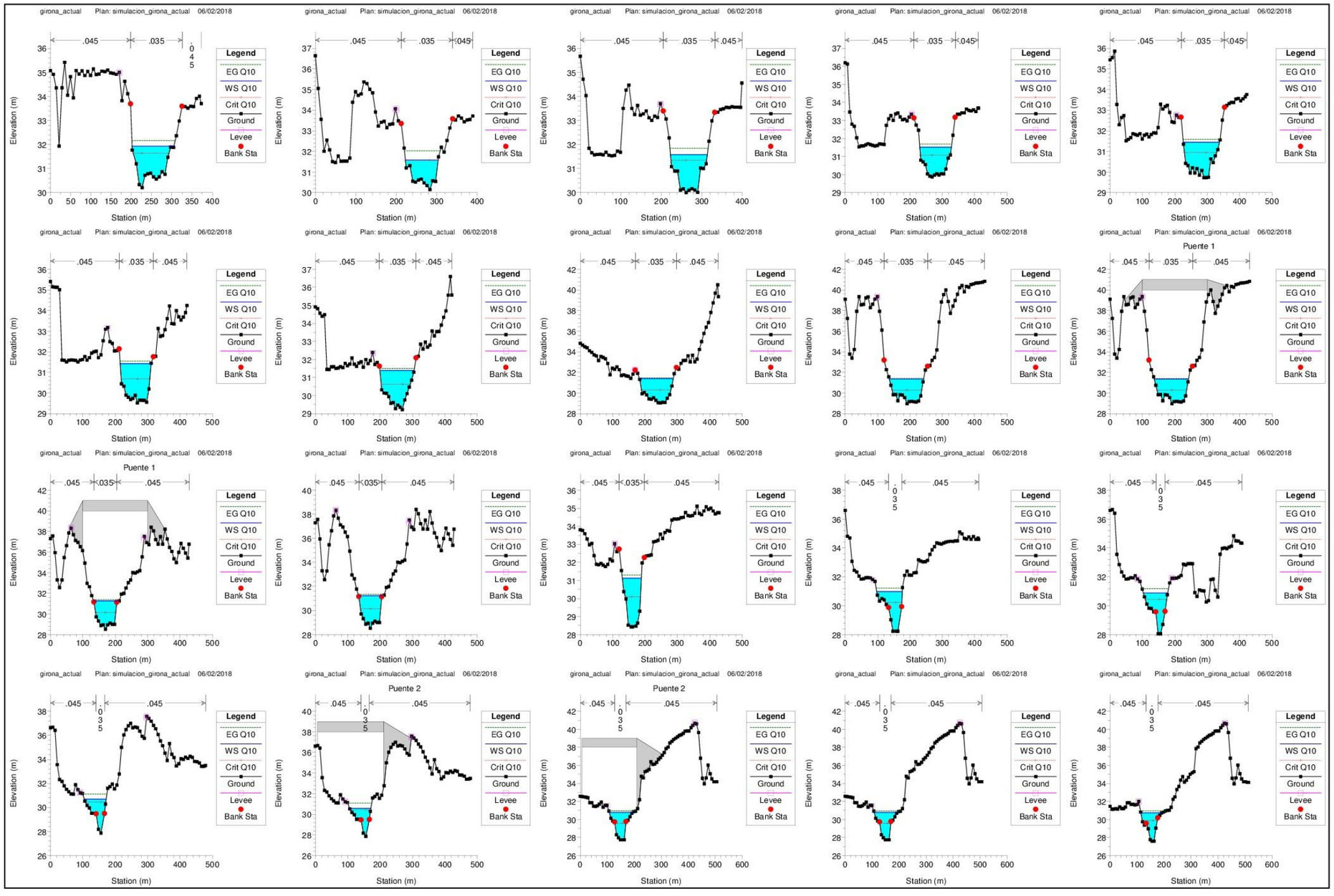
| T= 100 AÑOS | | | | | | | | | | | | |
|---|---|---|---|---|---|---|---|---|---|---|---|---|
| Reach | River Sta | Profile | Q Total (m3/s) | Min Ch El (m) | W.S. Elev (m) | Crit W.S. (m) | E.G. Elev (m) | E.G. Slope (m/m) | Vel Chnl (m/s) | Flow Area (m2) | Top Width (m) | Froude # Chl |
| RIO GIRONA ACTUAL | 1746.65 | Q100 | 932.91 | 33.31 | 38.24 | 37.25 | 38.79 | 0.002388 | 3.42 | 319.25 | 128.78 | 0.55 |
| RIO GIRONA ACTUAL | 1710.56 | Q100 | 932.91 | 33.23 | 38.28 | | 38.65 | 0.001708 | 2.85 | 395.48 | 170.88 | 0.46 |
| RIO GIRONA ACTUAL | 1668.72 | Q100 | 932.91 | 33.01 | 37.53 | 37.53 | 38.51 | 0.004821 | 4.56 | 254.11 | 149.13 | 0.77 |
| RIO GIRONA ACTUAL | 1622.07 | Q100 | 932.91 | 32.59 | 37.69 | | 38.19 | 0.002096 | 3.27 | 346.69 | 153.69 | 0.52 |
| RIO GIRONA ACTUAL | 1592.41 | Q100 | 932.91 | 32.27 | 37.53 | | 38.09 | 0.002698 | 3.63 | 338.23 | 151.38 | 0.58 |
| RIO GIRONA ACTUAL | 1551.98 | Q100 | 932.91 | 32.06 | 37.42 | | 37.95 | 0.00242 | 3.57 | 353.66 | 158.05 | 0.56 |
| RIO GIRONA ACTUAL | 1519.1 | Q100 | 932.91 | 31.75 | 37.09 | 36.86 | 37.83 | 0.003865 | 4.3 | 302.09 | 148.45 | 0.7 |
| RIO GIRONA ACTUAL | 1477.05 | Q100 | 932.91 | 31.55 | 37.1 | 36.44 | 37.61 | 0.002266 | 3.5 | 353.12 | 144.3 | 0.55 |
| RIO GIRONA ACTUAL | 1444.54 | Q100 | 932.91 | 31.52 | 36.54 | 36.54 | 37.47 | 0.004767 | 4.78 | 273.79 | 142.45 | 0.78 |
| RIO GIRONA ACTUAL | 1417.84 | Q100 | 932.91 | 31.43 | 34.97 | 35.51 | 36.79 | 0.0148 | 6.23 | 177.66 | 120.56 | 1.28 |
| RIO GIRONA ACTUAL | 1392.63 | Q100 | 932.91 | 31.37 | 34.81 | 35.22 | 36.38 | 0.012953 | 5.75 | 186.38 | 118.75 | 1.19 |
| RIO GIRONA ACTUAL | 1365.88 | Q100 | 932.91 | 31.32 | 35.14 | 35.14 | 36.11 | 0.006333 | 4.6 | 243.49 | 129.56 | 0.86 |
| RIO GIRONA ACTUAL | 1344.88 | Q100 | 932.91 | 31.23 | 34.3 | 34.73 | 35.84 | 0.013052 | 5.6 | 181.12 | 110.68 | 1.19 |
| RIO GIRONA ACTUAL | 1317.72 | Q100 | 932.91 | 31.08 | 33.34 | 33.93 | 35.3 | 0.02245 | 6.22 | 154.8 | 110.23 | 1.5 |
| RIO GIRONA ACTUAL | 1293.42 | Q100 | 932.91 | 31.07 | 34.44 | | 35.02 | 0.003575 | 3.61 | 313.6 | 148.08 | 0.66 |
| RIO GIRONA ACTUAL | 1270.52 | Q100 | 932.91 | 31.03 | 34.36 | | 34.93 | 0.003338 | 3.43 | 306.96 | 155.43 | 0.63 |
| RIO GIRONA ACTUAL | 1244.76 | Q100 | 932.91 | 31 | 33.99 | 33.69 | 34.8 | 0.005543 | 4.07 | 257 | 145.58 | 0.8 |
| RIO GIRONA ACTUAL | 1206.39 | Q100 | 932.91 | 30.81 | 33.83 | 33.45 | 34.55 | 0.005166 | 3.89 | 271.99 | 152.47 | 0.77 |
| RIO GIRONA ACTUAL | 1185.96 | Q100 | 932.91 | 30.64 | 33.73 | 33.34 | 34.43 | 0.004865 | 3.75 | 260.87 | 138.5 | 0.74 |
| RIO GIRONA ACTUAL | 1165.1 | Q100 | 932.91 | 30.54 | 33.76 | 33.15 | 34.29 | 0.00394 | 3.22 | 294.94 | 162.89 | 0.66 |
| RIO GIRONA ACTUAL | 1148.26 | Q100 | 932.91 | 30.21 | 33.76 | 32.98 | 34.2 | 0.00317 | 2.94 | 322.41 | 161.72 | 0.6 |
| RIO GIRONA ACTUAL | 1132.07 | Q100 | 932.91 | 30.15 | 33.61 | 33.02 | 34.13 | 0.00426 | 3.22 | 293.54 | 169.3 | 0.68 |
| RIO GIRONA ACTUAL | 1125.44 | Q100 | 932.91 | 30.01 | 33.85 | 32.75 | 34 | 0.001223 | 1.94 | 599.98 | 366.71 | 0.38 |
| RIO GIRONA ACTUAL | 1099.03 | Q100 | 932.91 | 29.87 | 33.83 | 32.43 | 33.96 | 0.000927 | 1.81 | 684.18 | 398.26 | 0.33 |
| RIO GIRONA ACTUAL | 1075.69 | Q100 | 932.91 | 29.73 | 33.83 | 32.21 | 33.93 | 0.000648 | 1.59 | 771.92 | 402.03 | 0.28 |
| RIO GIRONA ACTUAL | 1055.89 | Q100 | 932.91 | 29.51 | 33.82 | 32.1 | 33.92 | 0.000553 | 1.61 | 790.53 | 369.95 | 0.27 |
| RIO GIRONA ACTUAL | 1034.62 | Q100 | 932.91 | 29.22 | 33.82 | 32.02 | 33.91 | 0.000479 | 1.5 | 831.55 | 357.3 | 0.25 |
| RIO GIRONA ACTUAL | 1017 | Q100 | 932.91 | 29.03 | 33.76 | 31.68 | 33.89 | 0.000626 | 1.71 | 682.53 | 323.71 | 0.28 |
| RIO GIRONA ACTUAL | 962.11 | Q100 | 932.91 | 28.95 | 33.63 | 31.65 | 33.84 | 0.000936 | 1.99 | 479.49 | 158.58 | 0.34 |
| RIO GIRONA ACTUAL | 933 | | Bridge | | | | | | | | | |
| RIO GIRONA ACTUAL | 895.88 | Q100 | 932.91 | 28.52 | 33.3 | 31.92 | 33.73 | 0.001743 | 3.01 | 358.37 | 135.56 | 0.48 |
| RIO GIRONA ACTUAL | 871.58 | Q100 | 932.91 | 28.43 | 33.14 | 32.22 | 33.62 | 0.002659 | 3.24 | 356.67 | 201.45 | 0.57 |
| RIO GIRONA ACTUAL | 840.71 | Q100 | 932.91 | 28.23 | 33.07 | 32.61 | 33.54 | 0.002275 | 3.6 | 402.6 | 216.27 | 0.55 |
| RIO GIRONA ACTUAL | 829.38 | Q100 | 932.91 | 28.05 | 33.24 | 32.38 | 33.43 | 0.001224 | 2.77 | 633.93 | 314.3 | 0.41 |
| RIO GIRONA ACTUAL | 813.48 | Q100 | 932.91 | 27.86 | 32.74 | 32.53 | 33.32 | 0.003506 | 4.38 | 361.77 | 185.98 | 0.68 |

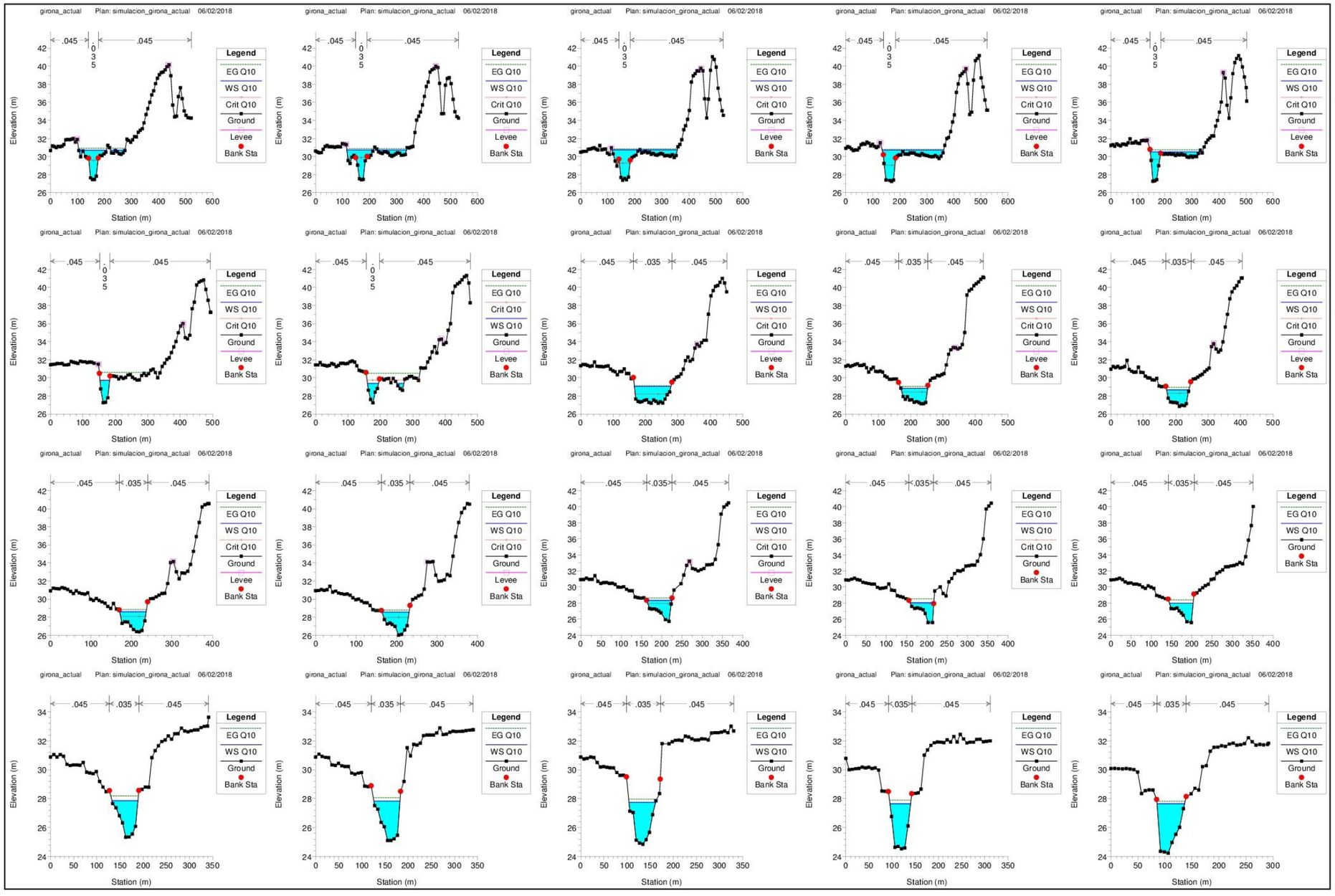
| T= 100 AÑOS | | | | | | | | | | | | |
|---|---|---|---|---|---|---|---|---|---|---|---|---|
| Reach | River Sta | Profile | Q Total (m3/s) | Min Ch El (m) | W.S. Elev (m) | Crit W.S. (m) | E.G. Elev (m) | E.G. Slope (m/m) | Vel Chnl (m/s) | Flow Area (m2) | Top Width (m) | Froude # Chl |
| RIO GIRONA ACTUAL | 802 | | Bridge | | | | | | | | | |
| RIO GIRONA ACTUAL | 791.12 | Q100 | 932.91 | 27.75 | 32.48 | 31.9 | 32.99 | 0.002379 | 3.65 | 387.63 | 204.56 | 0.56 |
| RIO GIRONA ACTUAL | 782.69 | Q100 | 932.91 | 27.59 | 31.91 | 31.9 | 32.91 | 0.005784 | 4.92 | 250.17 | 124.14 | 0.85 |
| RIO GIRONA ACTUAL | 769.41 | Q100 | 932.91 | 27.46 | 32.18 | 31.71 | 32.57 | 0.002335 | 3.52 | 483.94 | 311.05 | 0.55 |
| RIO GIRONA ACTUAL | 761.23 | Q100 | 932.91 | 27.43 | 32.35 | 31.53 | 32.48 | 0.000991 | 2.19 | 730.1 | 366.02 | 0.36 |
| RIO GIRONA ACTUAL | 739.14 | Q100 | 932.91 | 27.38 | 32.35 | 31.3 | 32.45 | 0.000671 | 1.99 | 824.8 | 377.39 | 0.3 |
| RIO GIRONA ACTUAL | 707.56 | Q100 | 932.91 | 27.25 | 32.29 | 31.23 | 32.43 | 0.000804 | 2.17 | 754.48 | 382.76 | 0.33 |
| RIO GIRONA ACTUAL | 675.53 | Q100 | 932.91 | 27.28 | 32.13 | 31.48 | 32.38 | 0.001876 | 2.94 | 556.73 | 368.68 | 0.49 |
| RIO GIRONA ACTUAL | 654.82 | Q100 | 932.91 | 27.25 | 31.59 | 31.59 | 32.27 | 0.005265 | 4.63 | 334.63 | 264.83 | 0.8 |
| RIO GIRONA ACTUAL | 649.68 | Q100 | 932.91 | 27.23 | 31.46 | 31.11 | 31.93 | 0.004239 | 3.82 | 373.22 | 267.31 | 0.71 |
| RIO GIRONA ACTUAL | 608.1 | Q100 | 932.91 | 27.2 | 31.25 | 29.48 | 31.46 | 0.00094 | 2.05 | 517.98 | 242.46 | 0.35 |
| RIO GIRONA ACTUAL | 575.79 | Q100 | 932.91 | 27.15 | 31.05 | 29.98 | 31.4 | 0.001852 | 2.74 | 420.11 | 237.03 | 0.48 |
| RIO GIRONA ACTUAL | 549.41 | Q100 | 932.91 | 26.84 | 30.94 | 29.89 | 31.34 | 0.00215 | 3.01 | 400.1 | 235.57 | 0.52 |
| RIO GIRONA ACTUAL | 526.75 | Q100 | 932.91 | 26.38 | 30.84 | 29.98 | 31.29 | 0.00223 | 3.17 | 384.28 | 229.11 | 0.53 |
| RIO GIRONA ACTUAL | 510.32 | Q100 | 932.91 | 26.02 | 30.83 | 29.83 | 31.25 | 0.002004 | 3.06 | 397.42 | 218.37 | 0.51 |
| RIO GIRONA ACTUAL | 478.36 | Q100 | 932.91 | 25.74 | 30.6 | 29.83 | 31.15 | 0.002678 | 3.5 | 350.15 | 203.42 | 0.58 |
| RIO GIRONA ACTUAL | 461.54 | Q100 | 932.91 | 25.57 | 30.56 | | 31.1 | 0.0027 | 3.49 | 360.2 | 208.51 | 0.58 |
| RIO GIRONA ACTUAL | 448.84 | Q100 | 932.91 | 25.57 | 30.5 | | 31.07 | 0.002749 | 3.53 | 339.87 | 196.21 | 0.59 |
| RIO GIRONA ACTUAL | 418.4 | Q100 | 932.91 | 25.34 | 30.5 | | 30.97 | 0.002078 | 3.22 | 360.07 | 183.43 | 0.52 |
| RIO GIRONA ACTUAL | 390.81 | Q100 | 932.91 | 25.11 | 30.3 | | 30.89 | 0.002398 | 3.49 | 307.68 | 138.77 | 0.56 |
| RIO GIRONA ACTUAL | 353.57 | Q100 | 932.91 | 24.85 | 30.23 | | 30.8 | 0.002355 | 3.34 | 293.82 | 131.8 | 0.55 |
| RIO GIRONA ACTUAL | 319.2 | Q100 | 932.91 | 24.54 | 29.96 | | 30.69 | 0.002871 | 3.96 | 273.15 | 95.51 | 0.61 |
| RIO GIRONA ACTUAL | 289.42 | Q100 | 932.91 | 24.23 | 30.03 | | 30.55 | 0.001912 | 3.36 | 338.9 | 129.99 | 0.51 |
| RIO GIRONA ACTUAL | 259.35 | Q100 | 932.91 | 24.22 | 29.38 | 29.38 | 30.41 | 0.00507 | 4.82 | 252.07 | 129.12 | 0.8 |
| RIO GIRONA ACTUAL | 229.87 | Q100 | 932.91 | 24.17 | 29.26 | 29.11 | 30.08 | 0.004069 | 4.53 | 288.17 | 132.96 | 0.72 |
| RIO GIRONA ACTUAL | 207.59 | Q100 | 932.91 | 24.08 | 29.02 | 29.02 | 29.96 | 0.005222 | 4.92 | 269.26 | 131.04 | 0.8 |
| RIO GIRONA ACTUAL | 193.77 | Q100 | 932.91 | 23.78 | 28.16 | 28.62 | 29.78 | 0.010024 | 6.02 | 201.4 | 128.19 | 1.08 |
| RIO GIRONA ACTUAL | 159.69 | Q100 | 932.91 | 23.22 | 27.67 | 27.93 | 28.99 | 0.006549 | 5.39 | 221.21 | 124.26 | 0.9 |
| RIO GIRONA ACTUAL | 133.27 | Q100 | 932.91 | 23 | 26.32 | 27.2 | 28.61 | 0.017797 | 6.71 | 139.12 | 60.04 | 1.4 |

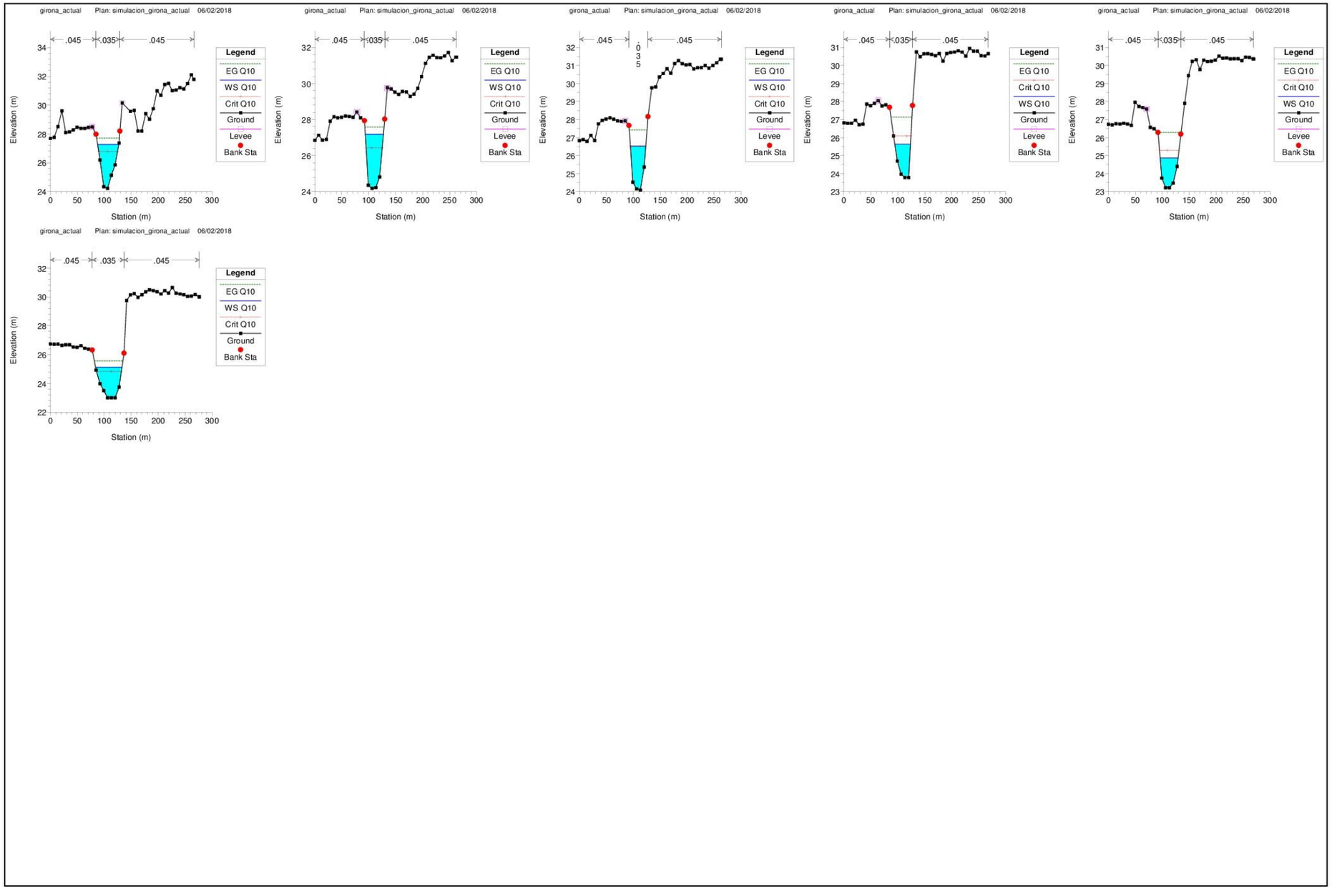
| T= 500 AÑOS | | | | | | | | | | | | |
|---|---|---|---|---|---|---|---|---|---|---|---|---|
| Reach | River Sta | Profile | Q Total (m3/s) | Min Ch El (m) | W.S. Elev (m) | Crit W.S. (m) | E.G. Elev (m) | E.G. Slope (m/m) | Vel Chnl (m/s) | Flow Area (m2) | Top Width (m) | Froude # Chl |
| RIO GIRONA ACTUAL | 1746.65 | Q500 | 1463.96 | 33.31 | 39.06 | 38.17 | 39.83 | 0.002727 | 4.15 | 446.23 | 168.64 | 0.61 |
| RIO GIRONA ACTUAL | 1710.56 | Q500 | 1463.96 | 33.23 | 39.17 | | 39.65 | 0.001771 | 3.34 | 561.69 | 198.58 | 0.49 |
| RIO GIRONA ACTUAL | 1668.72 | Q500 | 1463.96 | 33.01 | 38.36 | 38.23 | 39.47 | 0.004594 | 5.12 | 380.48 | 158.47 | 0.78 |
| RIO GIRONA ACTUAL | 1622.07 | Q500 | 1463.96 | 32.59 | 38.46 | | 39.17 | 0.002509 | 4.02 | 476.38 | 213.44 | 0.59 |
| RIO GIRONA ACTUAL | 1592.41 | Q500 | 1463.96 | 32.27 | 38.33 | | 39.07 | 0.002976 | 4.31 | 473.03 | 202.81 | 0.63 |
| RIO GIRONA ACTUAL | 1551.98 | Q500 | 1463.96 | 32.06 | 38.18 | | 38.92 | 0.00289 | 4.37 | 484.01 | 226.17 | 0.63 |
| RIO GIRONA ACTUAL | 1519.1 | Q500 | 1463.96 | 31.75 | 37.93 | | 38.79 | 0.00374 | 4.82 | 430.93 | 157.89 | 0.71 |
| RIO GIRONA ACTUAL | 1477.05 | Q500 | 1463.96 | 31.55 | 37.87 | 37.17 | 38.58 | 0.002674 | 4.26 | 466.23 | 153.96 | 0.61 |
| RIO GIRONA ACTUAL | 1444.54 | Q500 | 1463.96 | 31.52 | 37.24 | 37.24 | 38.42 | 0.005198 | 5.58 | 377.29 | 150.99 | 0.83 |
| RIO GIRONA ACTUAL | 1417.84 | Q500 | 1463.96 | 31.43 | 35.45 | 36.24 | 38.01 | 0.017191 | 7.58 | 237.2 | 125.65 | 1.42 |
| RIO GIRONA ACTUAL | 1392.63 | Q500 | 1463.96 | 31.37 | 35.34 | 35.93 | 37.51 | 0.014204 | 6.91 | 251.87 | 124.7 | 1.29 |
| RIO GIRONA ACTUAL | 1365.88 | Q500 | 1463.96 | 31.32 | 35.81 | 35.81 | 37.1 | 0.006741 | 5.45 | 333.94 | 143.79 | 0.92 |
| RIO GIRONA ACTUAL | 1344.88 | Q500 | 1463.96 | 31.23 | 34.98 | 35.49 | 36.87 | 0.011842 | 6.36 | 267.65 | 135.79 | 1.18 |
| RIO GIRONA ACTUAL | 1317.72 | Q500 | 1463.96 | 31.08 | 33.94 | 34.72 | 36.38 | 0.019539 | 7.05 | 223.43 | 119.02 | 1.47 |
| RIO GIRONA ACTUAL | 1293.42 | Q500 | 1463.96 | 31.07 | 35.15 | | 35.95 | 0.003899 | 4.33 | 424.24 | 166.34 | 0.71 |
| RIO GIRONA ACTUAL | 1270.52 | Q500 | 1463.96 | 31.03 | 35.09 | | 35.84 | 0.003498 | 4.05 | 426.09 | 168.21 | 0.67 |
| RIO GIRONA ACTUAL | 1244.76 | Q500 | 1463.96 | 31 | 34.72 | 34.61 | 35.71 | 0.005263 | 4.66 | 376.57 | 173.62 | 0.81 |
| RIO GIRONA ACTUAL | 1206.39 | Q500 | 1463.96 | 30.81 | 34.64 | | 35.46 | 0.004373 | 4.28 | 420.95 | 190.72 | 0.74 |
| RIO GIRONA ACTUAL | 1185.96 | Q500 | 1463.96 | 30.64 | 34.49 | 34.23 | 35.36 | 0.004514 | 4.29 | 399.16 | 196.95 | 0.75 |
| RIO GIRONA ACTUAL | 1165.1 | Q500 | 1463.96 | 30.54 | 34.56 | 33.94 | 35.21 | 0.00344 | 3.64 | 438.78 | 183.19 | 0.65 |
| RIO GIRONA ACTUAL | 1148.26 | Q500 | 1463.96 | 30.21 | 34.57 | 33.71 | 35.13 | 0.002867 | 3.37 | 470.95 | 199.12 | 0.59 |
| RIO GIRONA ACTUAL | 1132.07 | Q500 | 1463.96 | 30.15 | 34.78 | 33.82 | 34.99 | 0.001255 | 2.3 | 808.87 | 344.42 | 0.4 |
| RIO GIRONA ACTUAL | 1125.44 | Q500 | 1463.96 | 30.01 | 34.81 | 33.53 | 34.97 | 0.000897 | 2.03 | 966.4 | 392.74 | 0.34 |
| RIO GIRONA ACTUAL | 1099.03 | Q500 | 1463.96 | 29.87 | 34.81 | 33.21 | 34.94 | 0.000648 | 1.83 | 1076.79 | 400.87 | 0.29 |
| RIO GIRONA ACTUAL | 1075.69 | Q500 | 1463.96 | 29.73 | 34.81 | 32.87 | 34.92 | 0.000501 | 1.66 | 1167.28 | 404.71 | 0.26 |
| RIO GIRONA ACTUAL | 1055.89 | Q500 | 1463.96 | 29.51 | 34.8 | 32.87 | 34.91 | 0.000474 | 1.74 | 1169.85 | 392.94 | 0.26 |
| RIO GIRONA ACTUAL | 1034.62 | Q500 | 1463.96 | 29.22 | 34.79 | 32.66 | 34.89 | 0.000447 | 1.69 | 1193.53 | 396.02 | 0.25 |
| RIO GIRONA ACTUAL | 1017 | Q500 | 1463.96 | 29.03 | 34.73 | 32.52 | 34.88 | 0.000576 | 1.91 | 1016.38 | 369.05 | 0.28 |
| RIO GIRONA ACTUAL | 962.11 | Q500 | 1463.96 | 28.95 | 34.51 | 32.4 | 34.81 | 0.001051 | 2.46 | 622.81 | 166.74 | 0.38 |
| RIO GIRONA ACTUAL | 933 | | Bridge | | | | | | | | | |
| RIO GIRONA ACTUAL | 895.88 | Q500 | 1463.96 | 28.52 | 33.99 | 32.86 | 34.67 | 0.002295 | 3.84 | 455.82 | 149.88 | 0.56 |
| RIO GIRONA ACTUAL | 871.58 | Q500 | 1463.96 | 28.43 | 33.81 | 33.32 | 34.45 | 0.002948 | 3.87 | 516.95 | 276.75 | 0.62 |
| RIO GIRONA ACTUAL | 840.71 | Q500 | 1463.96 | 28.23 | 33.8 | 33.09 | 34.35 | 0.002405 | 4.11 | 577.69 | 249.19 | 0.58 |
| RIO GIRONA ACTUAL | 829.38 | Q500 | 1463.96 | 28.05 | 34.01 | 32.83 | 34.23 | 0.001233 | 3.07 | 880.39 | 344.28 | 0.42 |
| RIO GIRONA ACTUAL | 813.48 | Q500 | 1463.96 | 27.86 | 33.33 | 33.09 | 34.09 | 0.004084 | 5.16 | 474.27 | 191.44 | 0.75 |

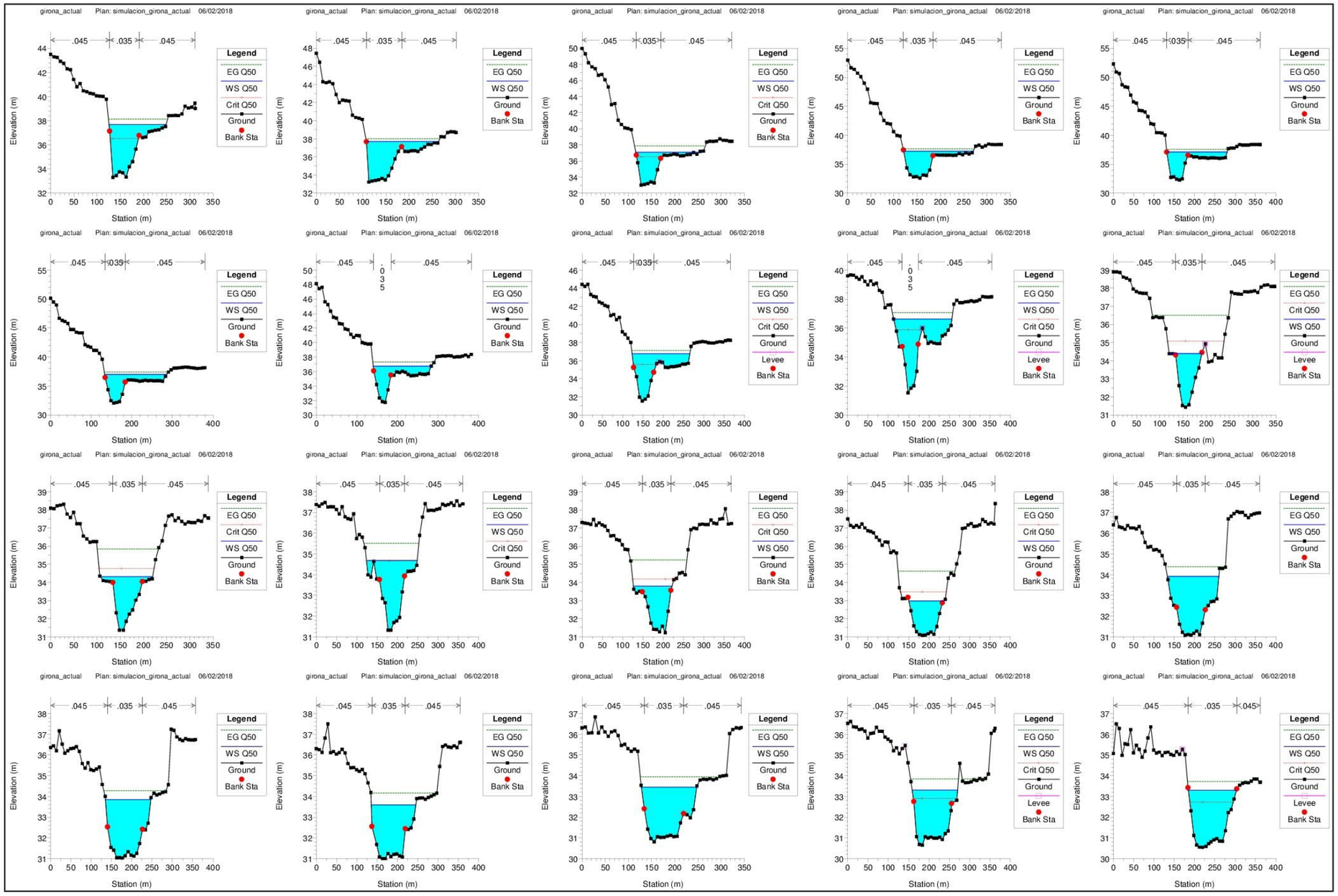
| T= 500 AÑOS | | | | | | | | | | | | |
|---|---|---|---|---|---|---|---|---|---|---|---|---|
| Reach | River Sta | Profile | Q Total (m3/s) | Min Ch El (m) | W.S. Elev (m) | Crit W.S. (m) | E.G. Elev (m) | E.G. Slope (m/m) | Vel Chnl (m/s) | Flow Area (m2) | Top Width (m) | Froude # Chl |
| RIO GIRONA ACTUAL | 802 | | Bridge | | | | | | | | | |
| RIO GIRONA ACTUAL | 791.12 | Q500 | 1463.96 | 27.75 | 32.78 | 32.78 | 33.71 | 0.004151 | 5.03 | 451.86 | 220.85 | 0.75 |
| RIO GIRONA ACTUAL | 782.69 | Q500 | 1463.96 | 27.59 | 32.29 | 32.66 | 33.62 | 0.00763 | 6.06 | 386.44 | 234.97 | 0.99 |
| RIO GIRONA ACTUAL | 769.41 | Q500 | 1463.96 | 27.46 | 32.74 | 31.89 | 33.19 | 0.002573 | 4.02 | 663.21 | 326.79 | 0.59 |
| RIO GIRONA ACTUAL | 761.23 | Q500 | 1463.96 | 27.43 | 32.92 | 31.88 | 33.09 | 0.001146 | 2.59 | 938.33 | 368.75 | 0.39 |
| RIO GIRONA ACTUAL | 739.14 | Q500 | 1463.96 | 27.38 | 32.91 | 31.69 | 33.06 | 0.000834 | 2.4 | 1038.95 | 381.06 | 0.34 |
| RIO GIRONA ACTUAL | 707.56 | Q500 | 1463.96 | 27.25 | 32.84 | 31.77 | 33.02 | 0.000995 | 2.61 | 966.57 | 388.38 | 0.37 |
| RIO GIRONA ACTUAL | 675.53 | Q500 | 1463.96 | 27.28 | 32.66 | 32.06 | 32.97 | 0.002088 | 3.39 | 759.64 | 383.03 | 0.52 |
| RIO GIRONA ACTUAL | 654.82 | Q500 | 1463.96 | 27.25 | 32.17 | 32.17 | 32.87 | 0.004991 | 5 | 530.74 | 364.07 | 0.8 |
| RIO GIRONA ACTUAL | 649.68 | Q500 | 1463.96 | 27.23 | 32.26 | 31.76 | 32.67 | 0.003031 | 3.78 | 638.84 | 353.69 | 0.62 |
| RIO GIRONA ACTUAL | 608.1 | Q500 | 1463.96 | 27.2 | 32.24 | 30.2 | 32.47 | 0.000835 | 2.28 | 831.6 | 344.37 | 0.34 |
| RIO GIRONA ACTUAL | 575.79 | Q500 | 1463.96 | 27.15 | 32.12 | 30.93 | 32.43 | 0.001322 | 2.78 | 730.06 | 314.24 | 0.42 |
| RIO GIRONA ACTUAL | 549.41 | Q500 | 1463.96 | 26.84 | 32.06 | 30.96 | 32.4 | 0.001424 | 2.95 | 722.1 | 306.15 | 0.44 |
| RIO GIRONA ACTUAL | 526.75 | Q500 | 1463.96 | 26.38 | 32 | 30.68 | 32.36 | 0.00145 | 3.07 | 701.63 | 290.05 | 0.45 |
| RIO GIRONA ACTUAL | 510.32 | Q500 | 1463.96 | 26.02 | 31.98 | 30.51 | 32.33 | 0.001377 | 3.03 | 696.26 | 270.37 | 0.44 |
| RIO GIRONA ACTUAL | 478.36 | Q500 | 1463.96 | 25.74 | 31.86 | 30.9 | 32.28 | 0.001619 | 3.31 | 648.47 | 256.66 | 0.48 |
| RIO GIRONA ACTUAL | 461.54 | Q500 | 1463.96 | 25.57 | 31.86 | | 32.24 | 0.001516 | 3.2 | 686.62 | 272.29 | 0.46 |
| RIO GIRONA ACTUAL | 448.84 | Q500 | 1463.96 | 25.57 | 31.8 | | 32.22 | 0.001596 | 3.29 | 654.37 | 265.06 | 0.47 |
| RIO GIRONA ACTUAL | 418.4 | Q500 | 1463.96 | 25.34 | 31.72 | | 32.17 | 0.00157 | 3.36 | 618.75 | 234.7 | 0.47 |
| RIO GIRONA ACTUAL | 390.81 | Q500 | 1463.96 | 25.11 | 31.5 | | 32.1 | 0.001922 | 3.72 | 524.34 | 209.32 | 0.52 |
| RIO GIRONA ACTUAL | 353.57 | Q500 | 1463.96 | 24.85 | 31.33 | | 32.01 | 0.002165 | 3.79 | 463.02 | 174.67 | 0.55 |
| RIO GIRONA ACTUAL | 319.2 | Q500 | 1463.96 | 24.54 | 30.24 | 29.98 | 31.82 | 0.005677 | 5.81 | 309.47 | 162.25 | 0.87 |
| RIO GIRONA ACTUAL | 289.42 | Q500 | 1463.96 | 24.23 | 30.62 | 29.77 | 31.48 | 0.002819 | 4.43 | 440.13 | 179.05 | 0.63 |
| RIO GIRONA ACTUAL | 259.35 | Q500 | 1463.96 | 24.22 | 30.3 | 30.22 | 31.24 | 0.004028 | 4.98 | 434.86 | 193.96 | 0.74 |
| RIO GIRONA ACTUAL | 229.87 | Q500 | 1463.96 | 24.17 | 30.33 | 29.93 | 31.08 | 0.003082 | 4.61 | 479.13 | 197.33 | 0.65 |
| RIO GIRONA ACTUAL | 207.59 | Q500 | 1463.96 | 24.08 | 29.71 | 29.71 | 30.92 | 0.005799 | 5.79 | 359.93 | 134.04 | 0.87 |
| RIO GIRONA ACTUAL | 193.77 | Q500 | 1463.96 | 23.78 | 28.83 | 29.33 | 30.75 | 0.010086 | 6.86 | 287.3 | 129.77 | 1.12 |
| RIO GIRONA ACTUAL | 159.69 | Q500 | 1463.96 | 23.22 | 28.04 | 28.73 | 30.34 | 0.01046 | 7.26 | 271.81 | 142.04 | 1.16 |
| RIO GIRONA ACTUAL | 133.27 | Q500 | 1463.96 | 23 | 27.05 | 27.97 | 29.94 | 0.016257 | 7.68 | 219.4 | 138.02 | 1.4 |

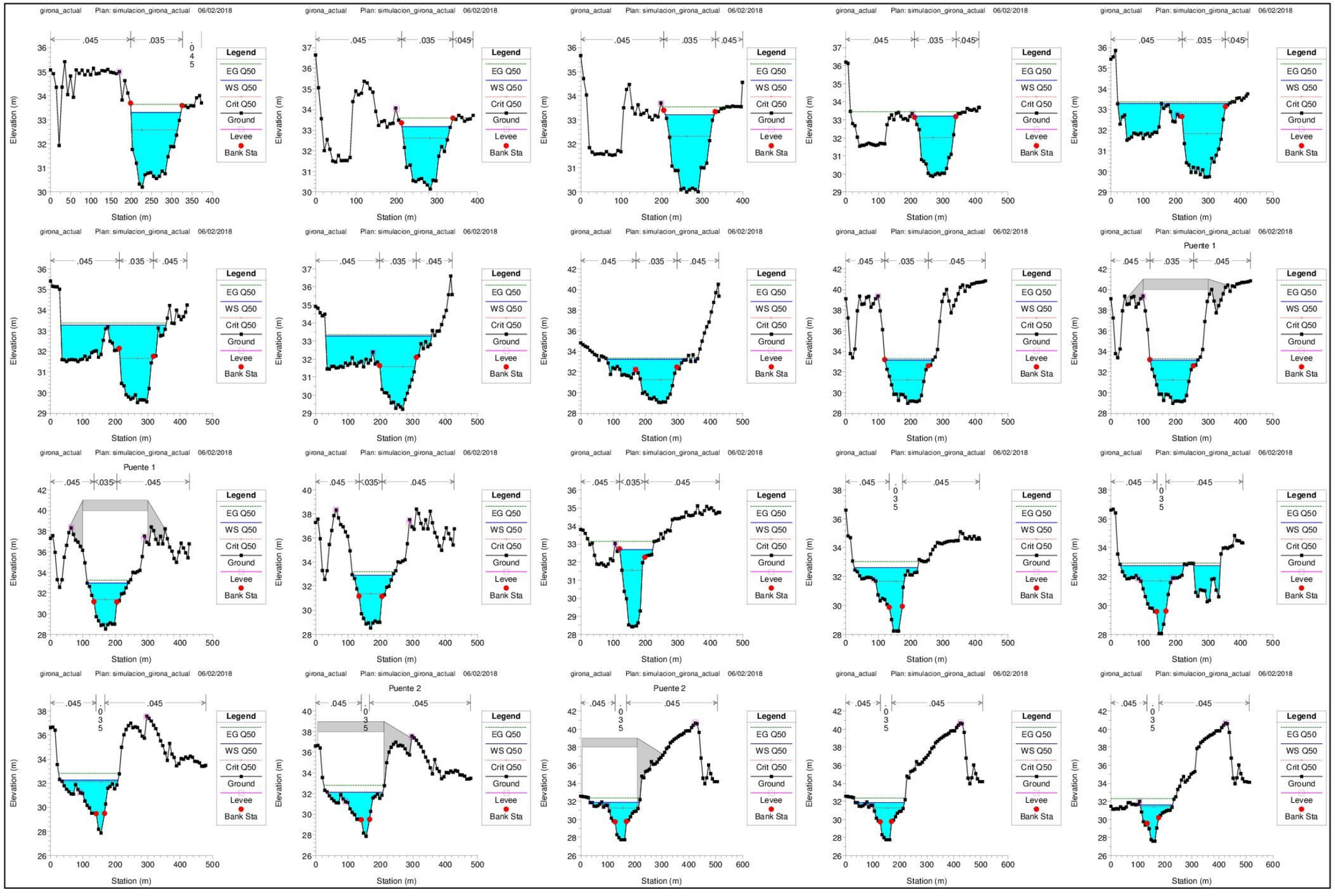

girona_actual Plan: simulacion_girona_actual 06/02/2018
.045 .035 .045
Legend
EG Q10
WS Q10
Crit Q10
Ground
Levee
Bank Sta
Elevation (m)
Station (m)

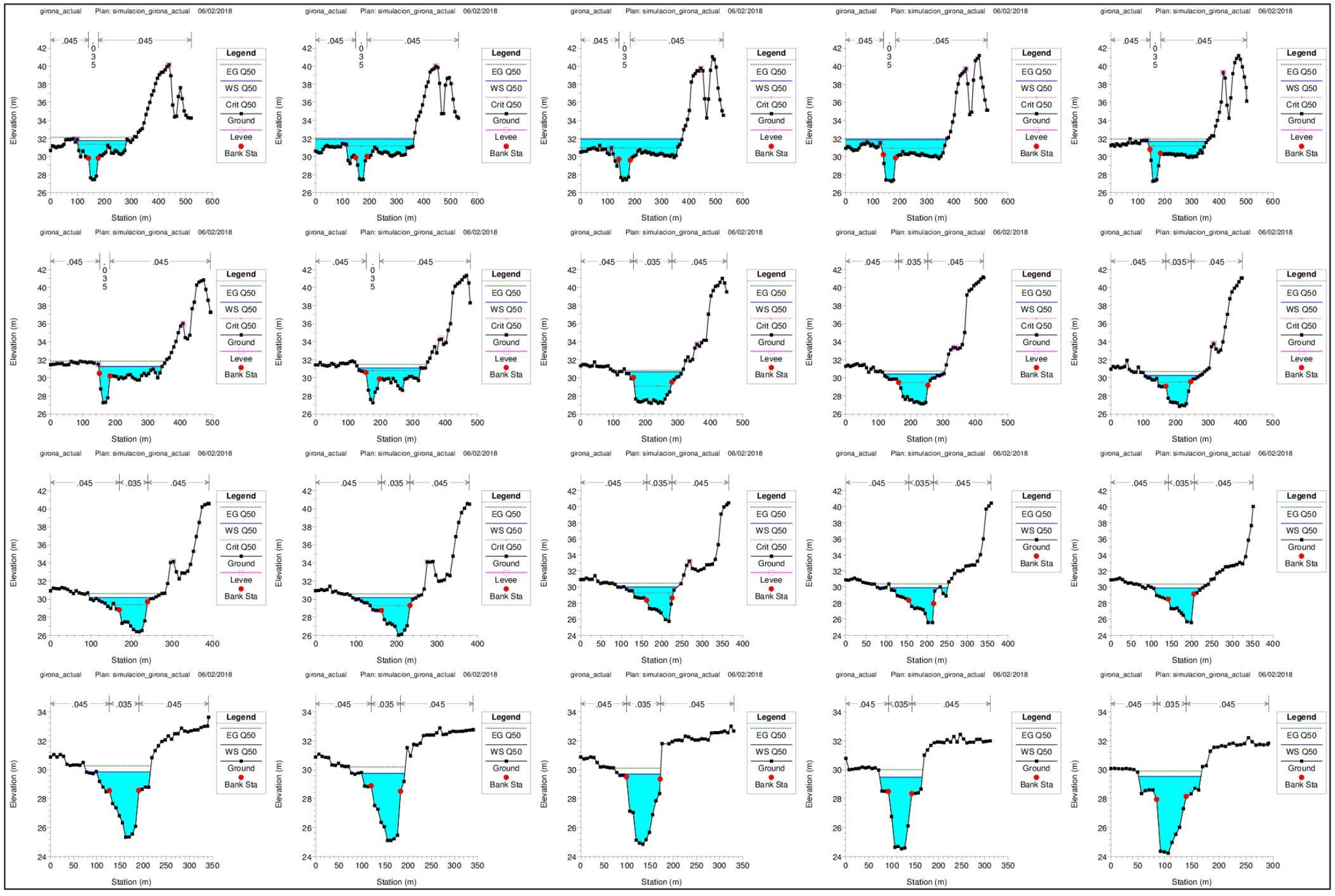

girona_actual Plan: simulacion_girona_actual 06/02/2018
Puente 1
Puente 2
Legend
EG Q10
WS Q10
Crit Q10
Ground
Levee
Bank Sta
Elevation (m)
Station (m)
.045
.035

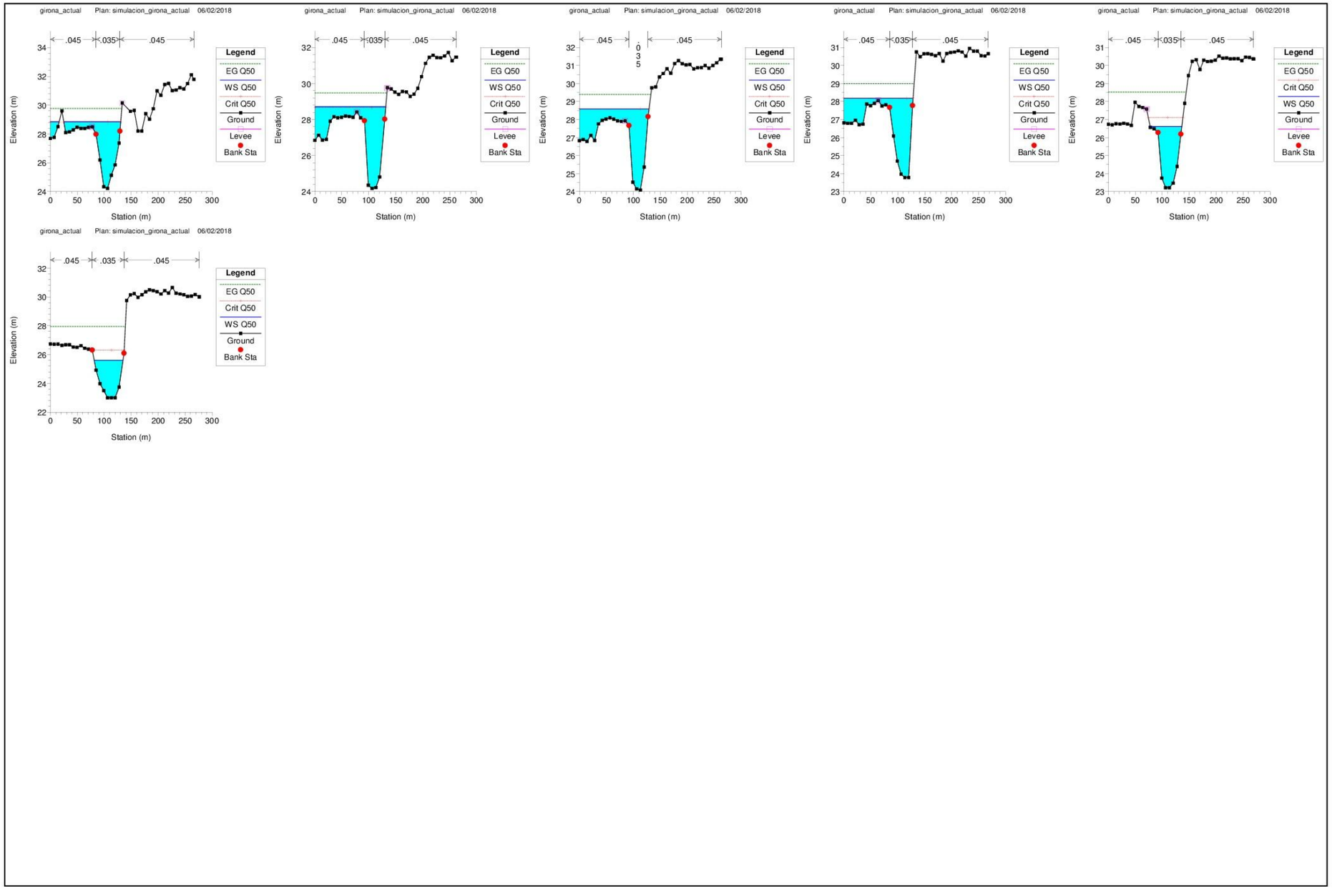

girona_actual Plan: simulacion_girona_actual 06/02/2018
Legend
EG Q10
WS Q10
Crit Q10
Ground
Levee
Bank Sta
Elevation (m)
Station (m)

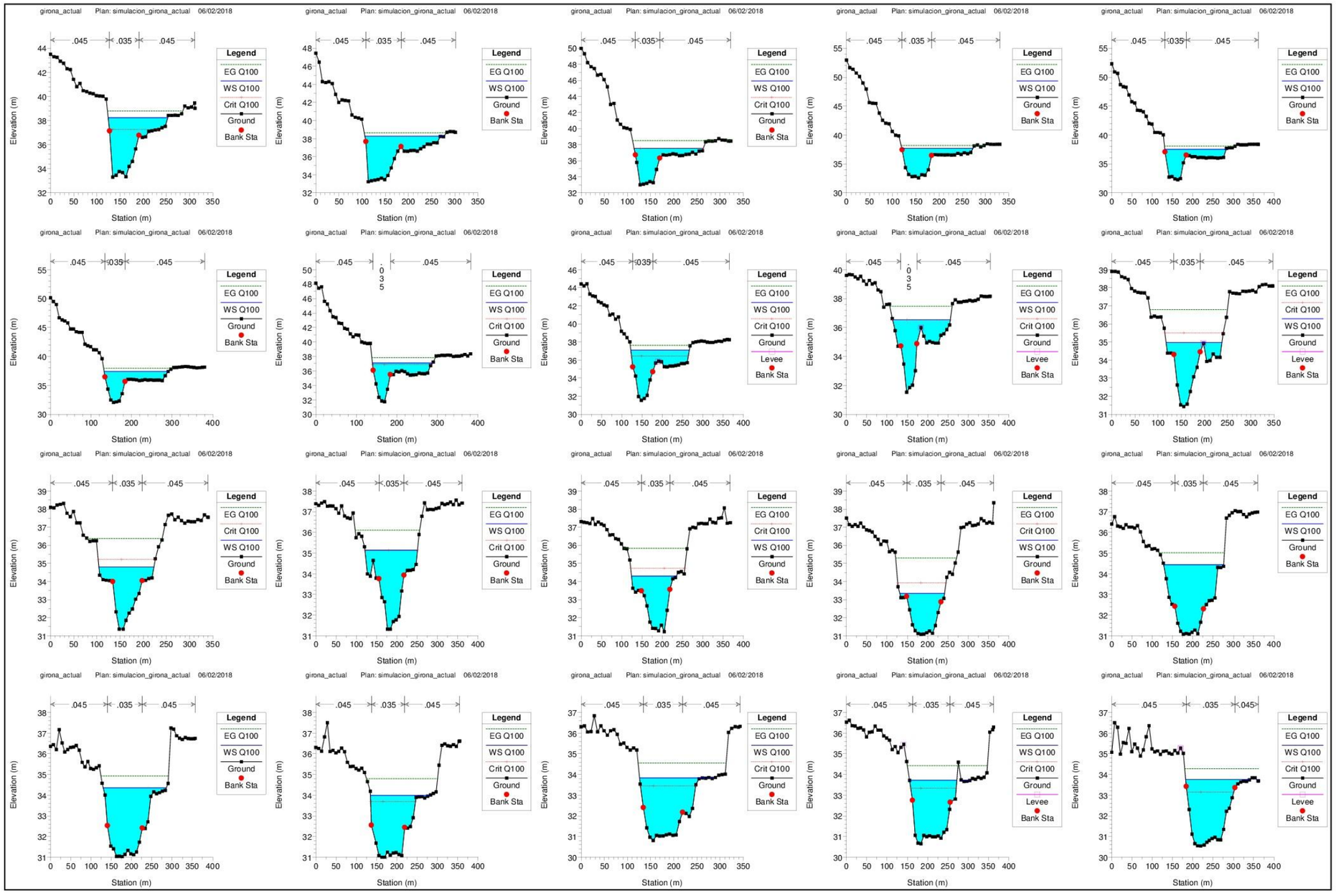

girona_actual Plan: simulacion_girona_actual 06/02/2018
.045
.035
.045
Legend
EG Q10
WS Q10
Crit Q10
Ground
Levee
Bank Sta
Elevation (m)
Station (m)

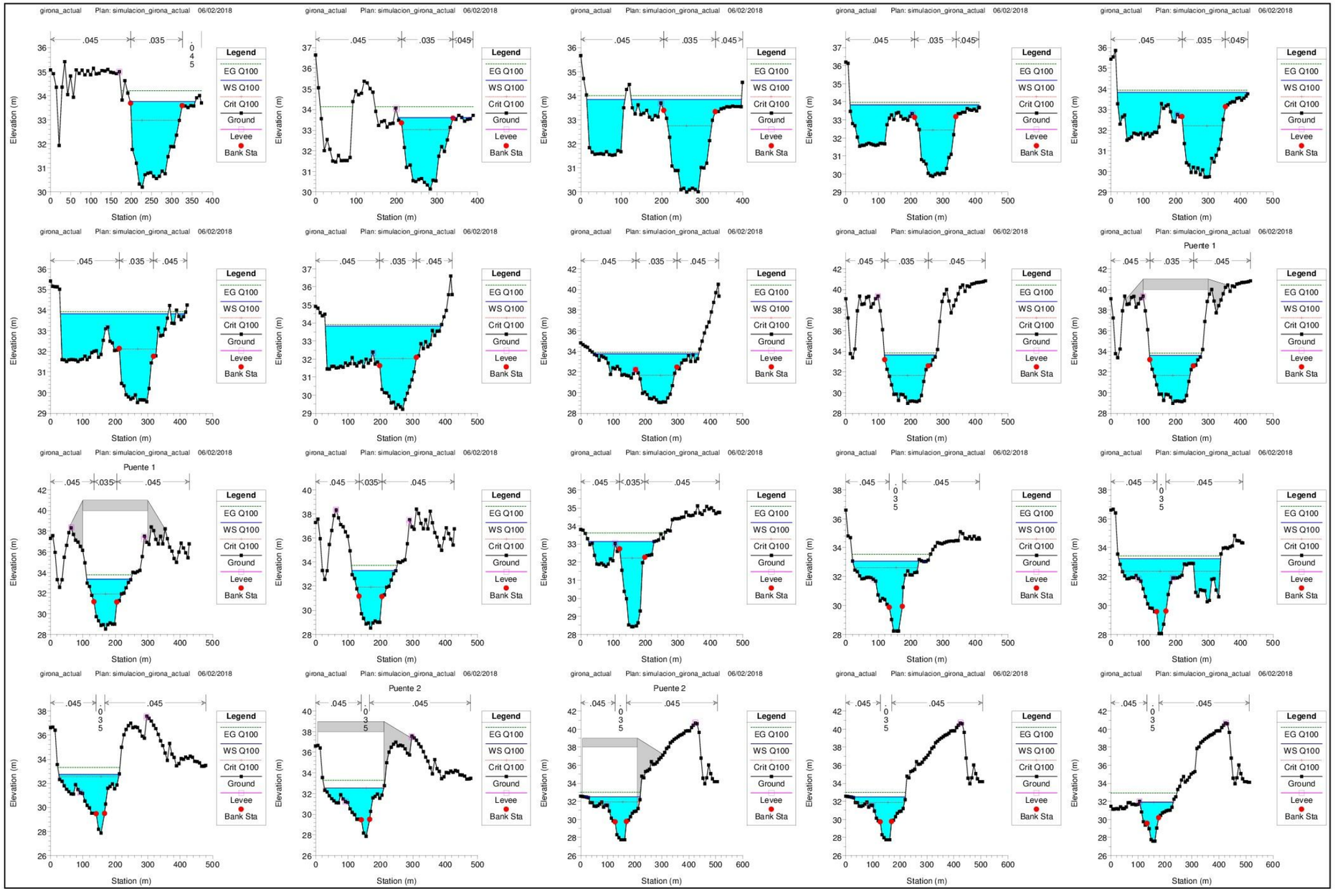

girona_actual Plan: simulacion_girona_actual 06/02/2018
.045 .035 .045
Legend
EG Q50
WS Q50
Crit Q50
Ground
Levee
Bank Sta
Elevation (m)
Station (m)

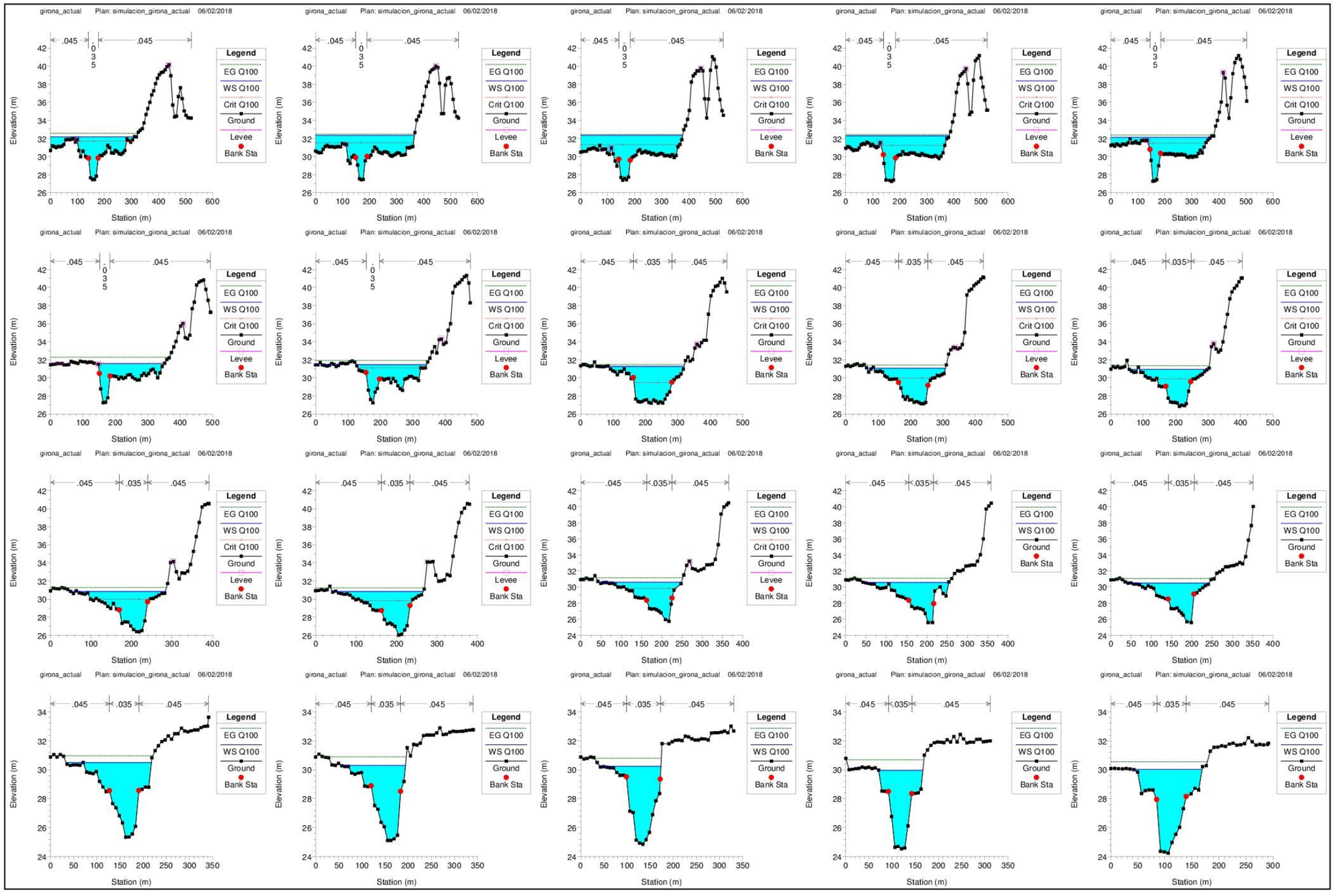

girona_actual Plan: simulacion_girona_actual 06/02/2018
Puente 1
Puente 2
Legend
EG Q50
WS Q50
Crit Q50
Ground
Levee
Bank Sta
Elevation (m)
Station (m)
.045
.035

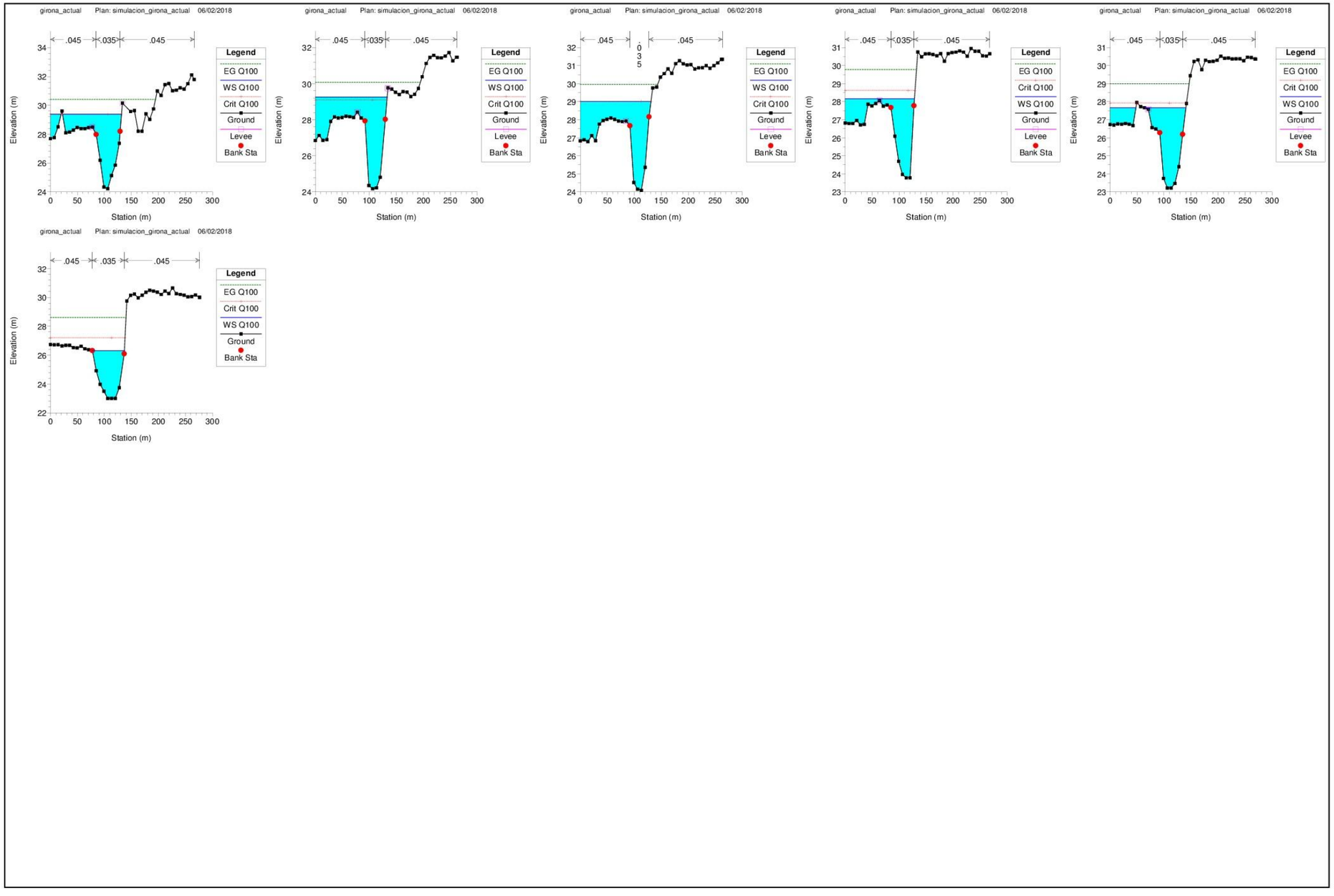

girona_actual Plan: simulacion_girona_actual 06/02/2018
Legend
EG Q50
WS Q50
Crit Q50
Ground
Levee
Bank Sta
Elevation (m)
Station (m)

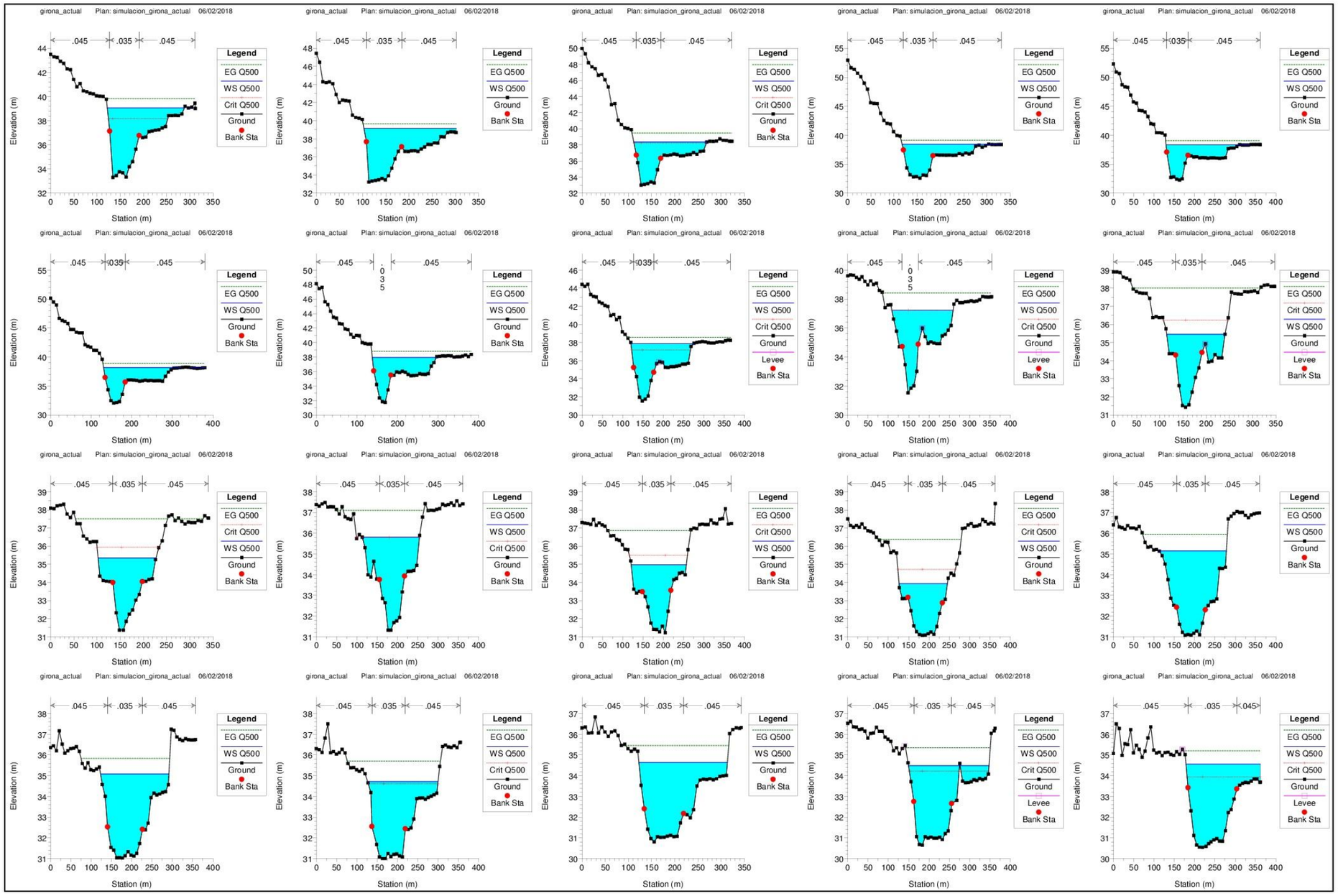

girona_actual Plan: simulacion_girona_actual 06/02/2018
.045 .035 .045
Legend
EG Q50
WS Q50
Crit Q50
Ground
Levee
Bank Sta
Elevation (m)
Station (m)

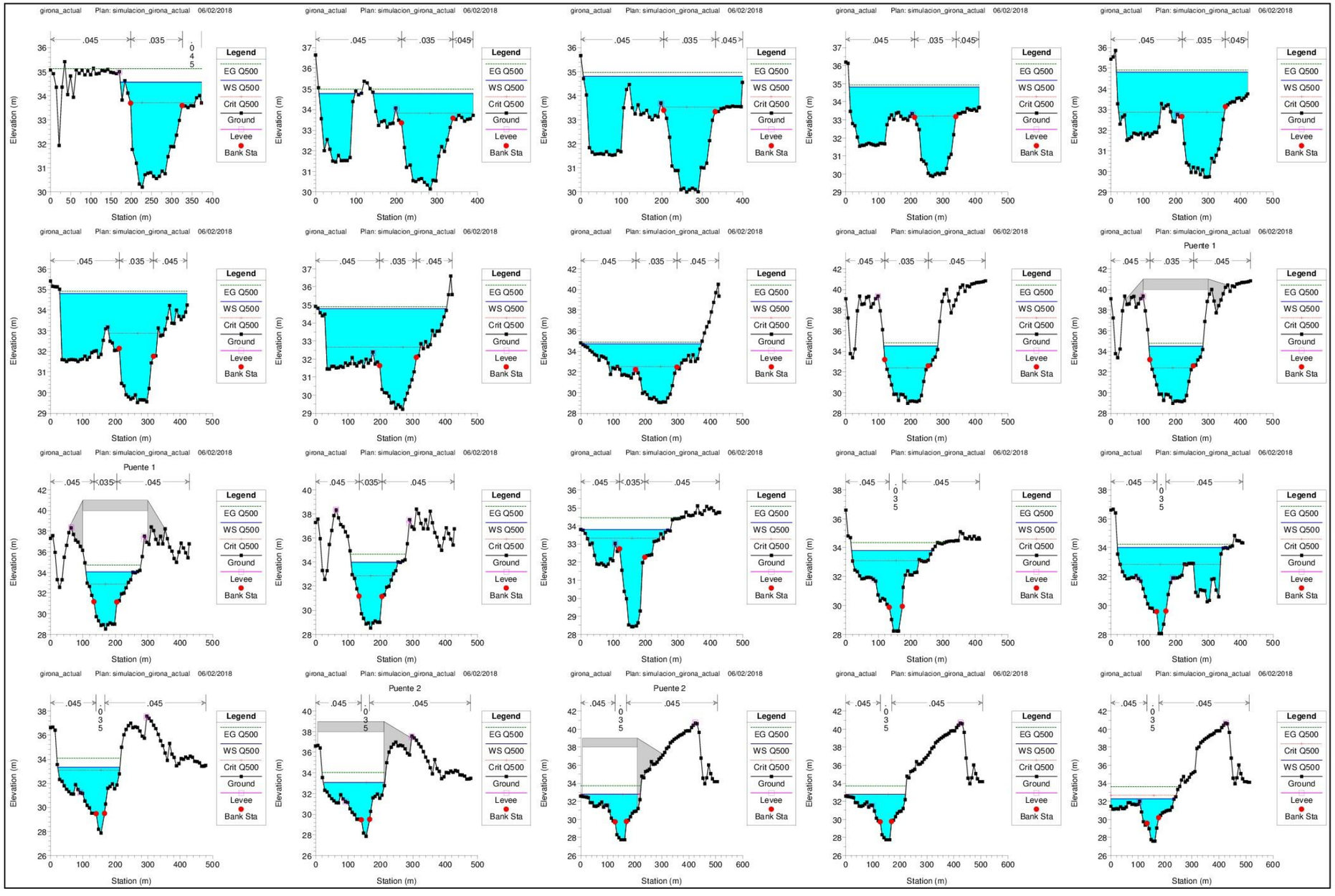

girona_actual Plan: simulacion_girona_actual 06/02/2018
.045 .035 .045
Legend
EG Q100
WS Q100
Crit Q100
Ground
Levee
Bank Sta
Elevation (m)
Station (m)

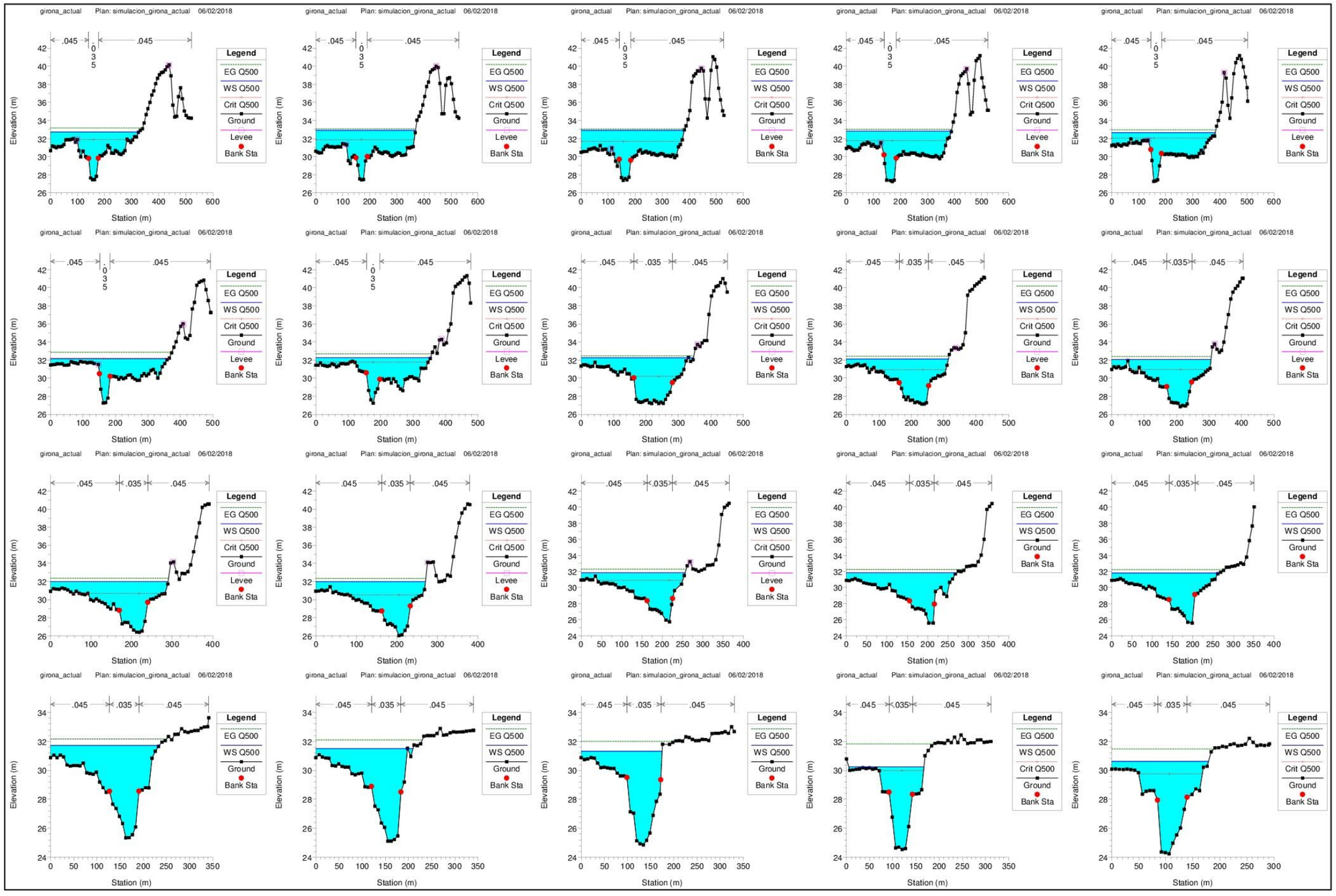

girona_actual Plan: simulacion_girona_actual 06/02/2018
Legend
EG Q100
WS Q100
Crit Q100
Ground
Levee
Bank Sta
Elevation (m)
Station (m)
.045
.035
Puente 1
Puente 2

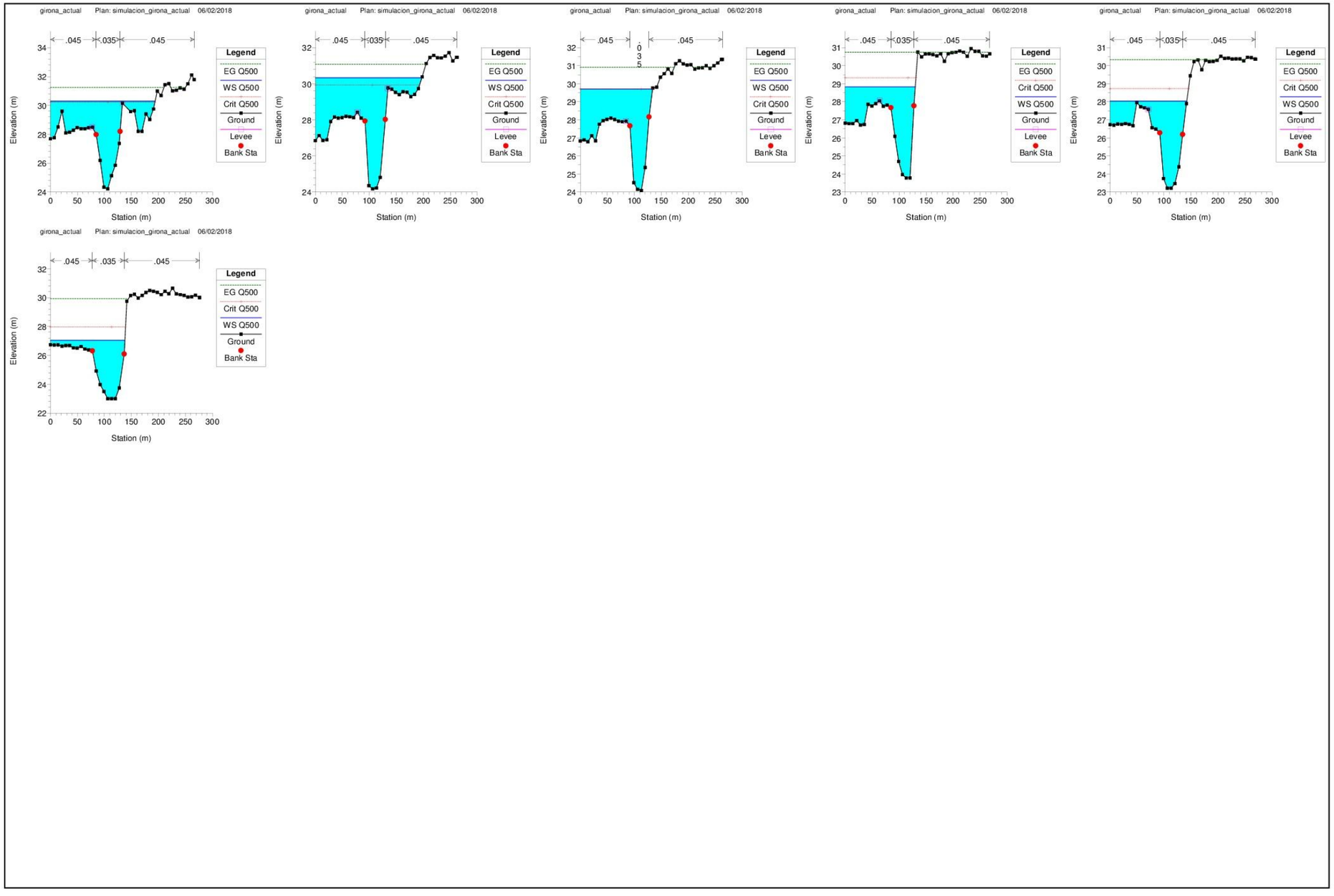

girona_actual Plan: simulacion_girona_actual 06/02/2018
Legend
EG Q100
WS Q100
Crit Q100
Ground
Levee
Bank Sta
Elevation (m)
Station (m)

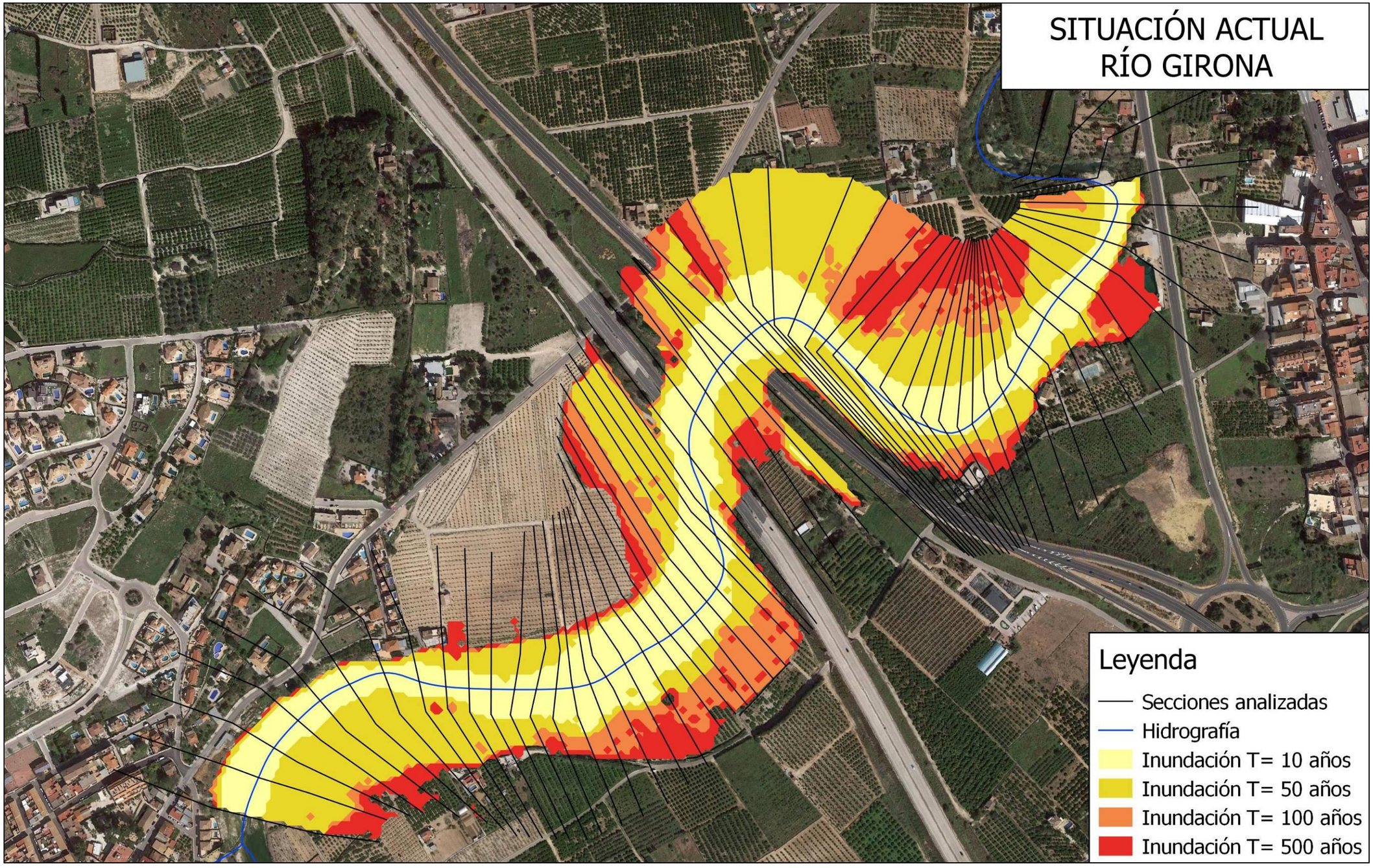

girona_actual Plan: simulacion_girona_actual 06/02/2018
.045
.035
.045
Legend
EG Q100
WS Q100
Crit Q100
Ground
Levee
Bank Sta
Elevation (m)
Station (m)


girona_actual Plan: simulacion_girona_actual 06/02/2018
.045 .035 .045
Legend
EG Q500
WS Q500
Crit Q500
Ground
Levee
Bank Sta
Elevation (m)
Station (m)

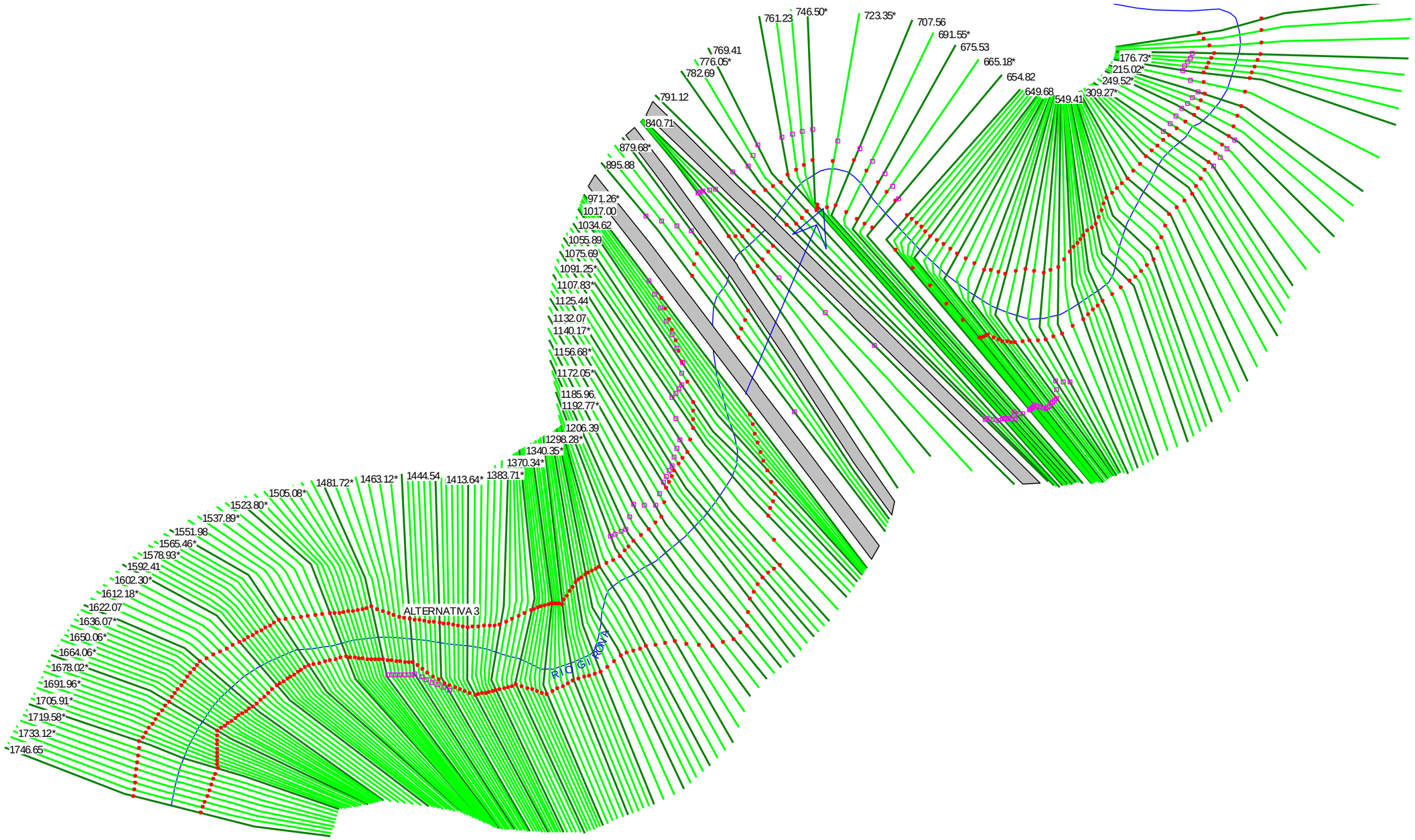

girona_actual Plan: simulacion_girona_actual 06/02/2018
Legend
EG Q500
WS Q500
Crit Q500
Ground
Levee
Bank Sta
Elevation (m)
Station (m)
.045
.035
Puente 1
Puente 2

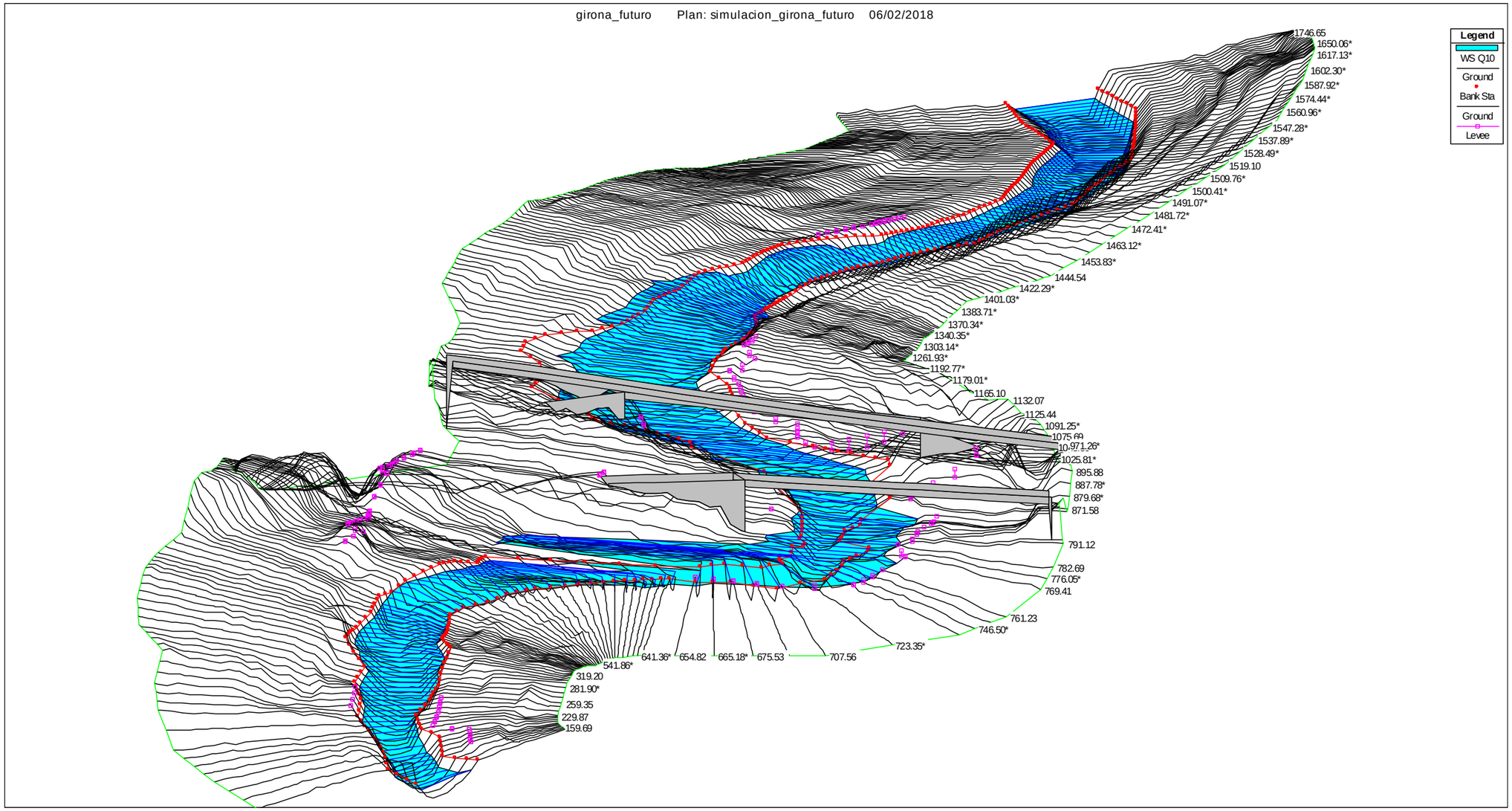

girona_actual Plan: simulacion_girona_actual 06/02/2018
Legend
EG Q500
WS Q500
Crit Q500
Ground
Levee
Bank Sta
Elevation (m)
Station (m)

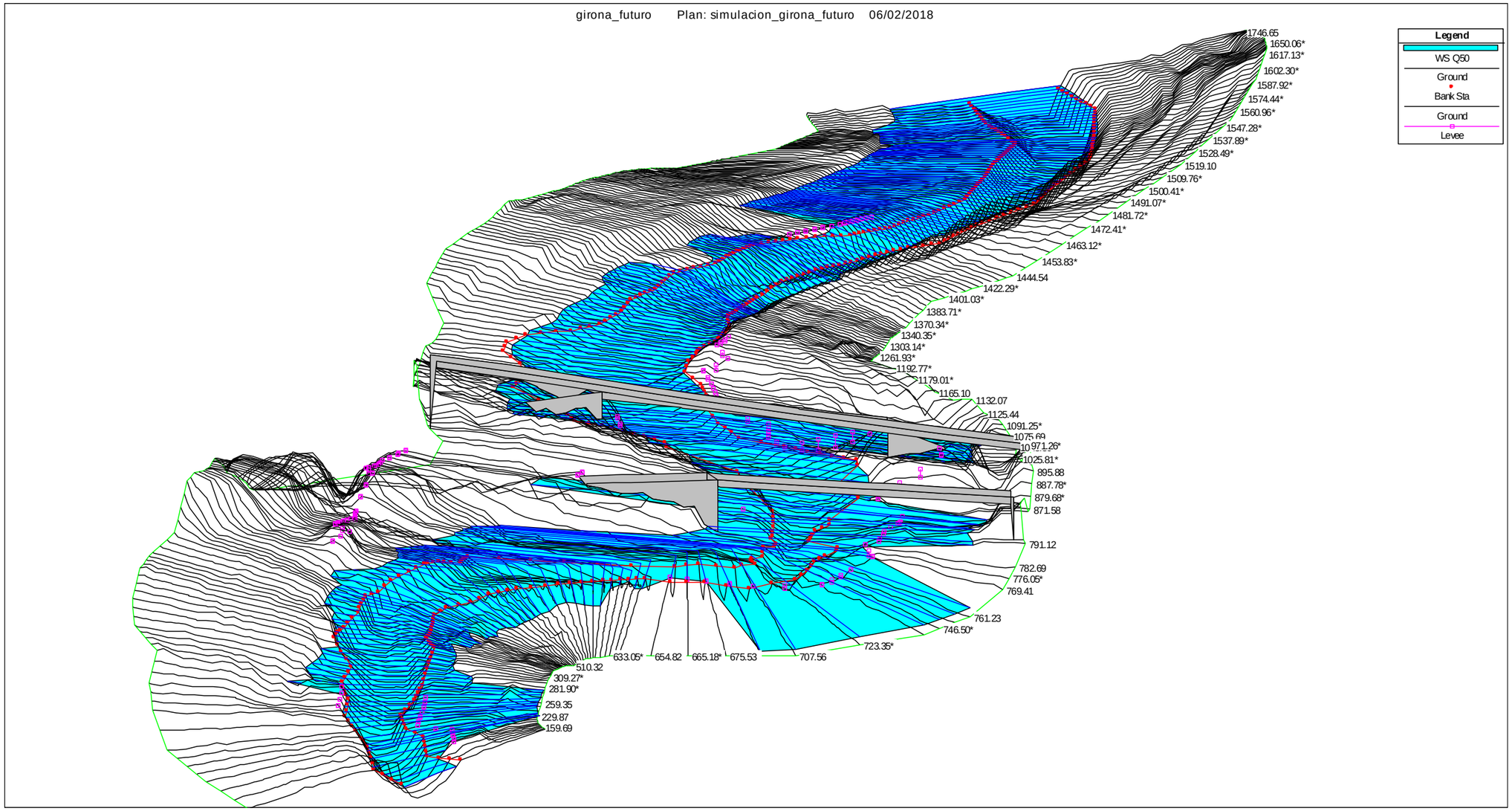

girona_actual Plan: simulacion_girona_actual 06/02/2018
.045 .035 .045
Legend
EG Q500
WS Q500
Crit Q500
Ground
Levee
Bank Sta
Elevation (m)
Station (m)

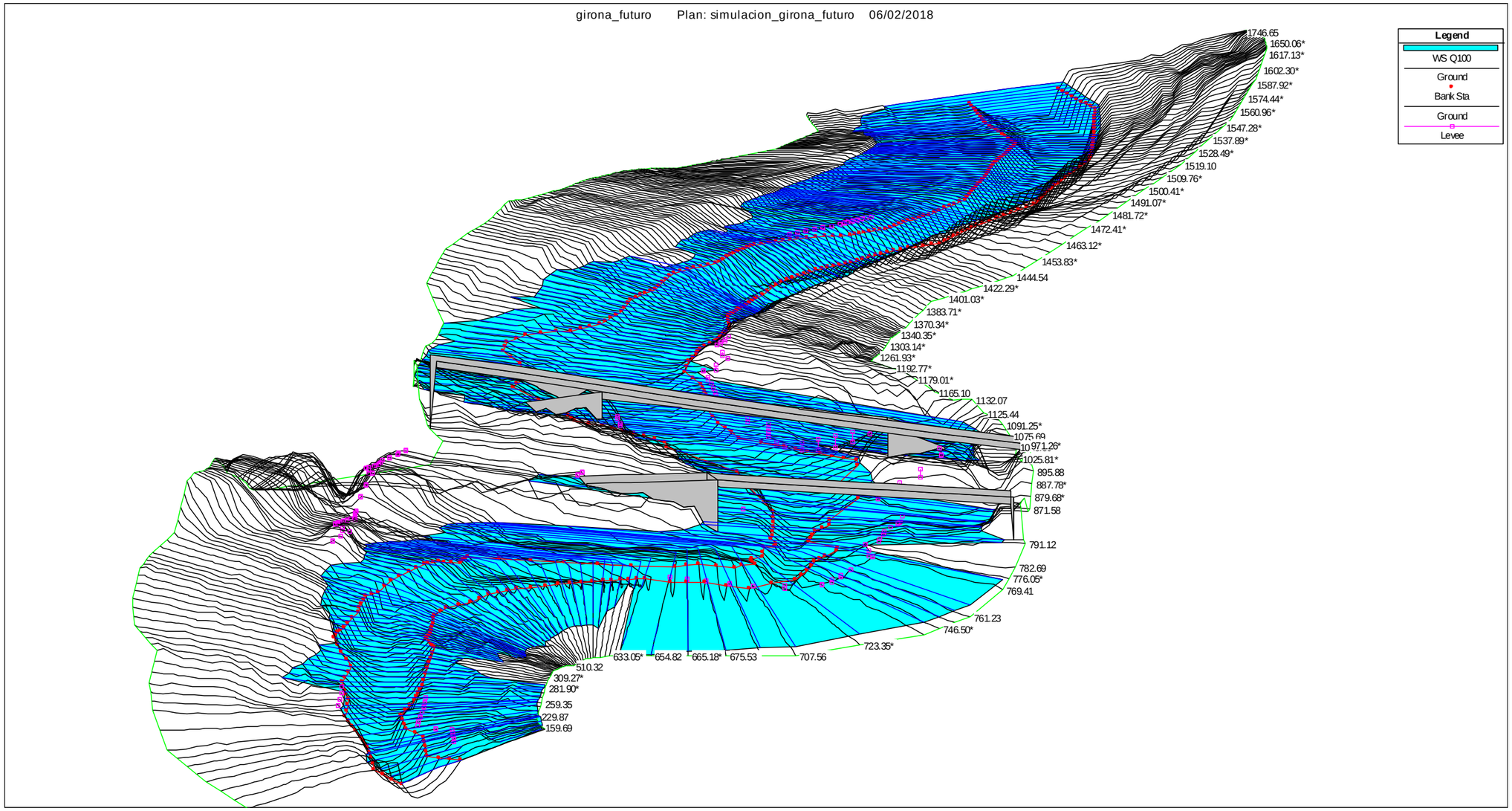

SITUACIÓN ACTUAL
RÍO GIRONA
Leyenda
Secciones analizadas
Hidrografía
Inundación T= 10 años
Inundación T= 50 años
Inundación T= 100 años
Inundación T= 500 años

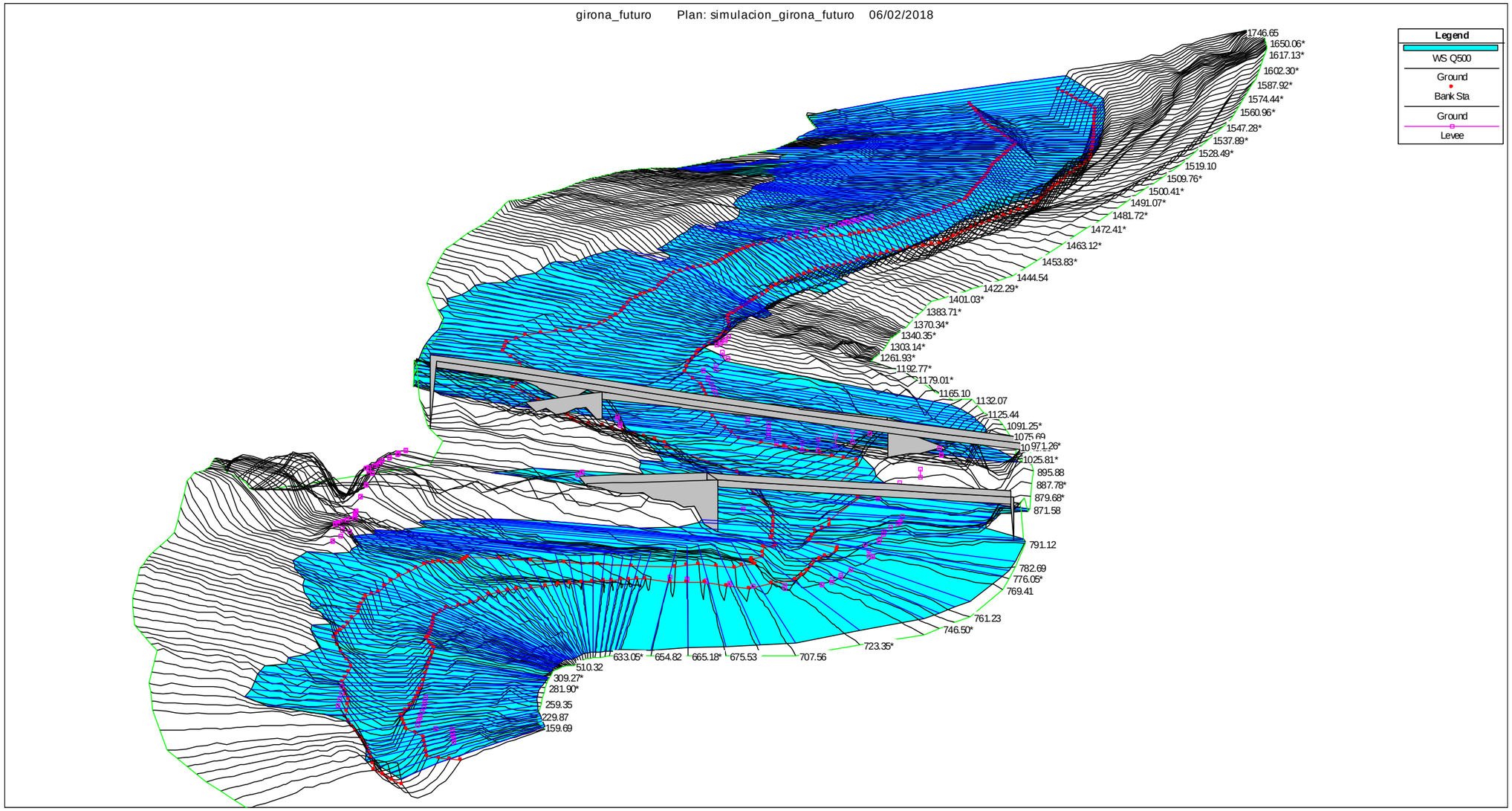
## APÉNDICE 8.3.2. RIO GIRONA. SITUACIÓN FUTURA

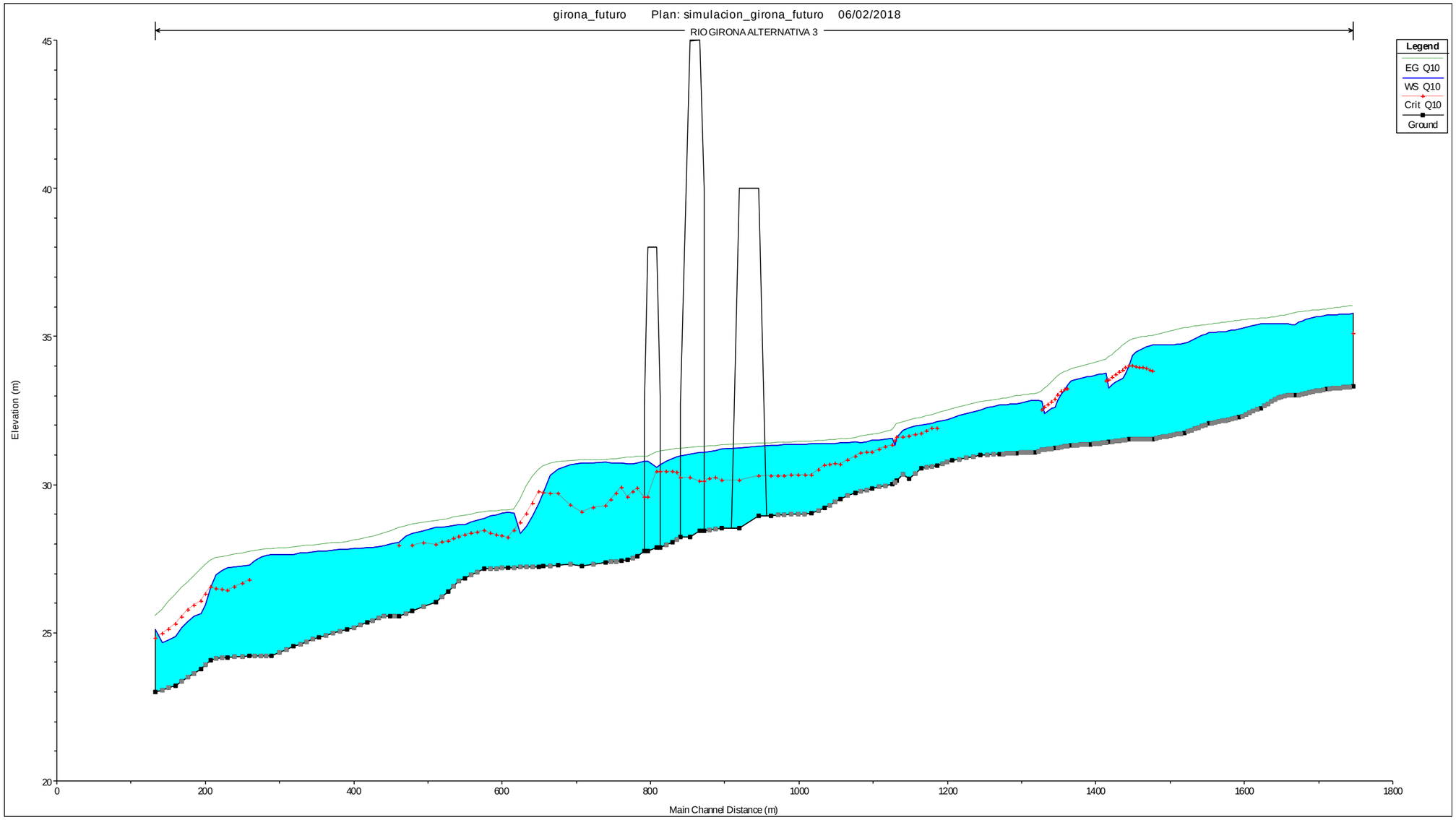

761.23
746.50*
723.35*
707.56
691.55*
675.53
665.18*
654.82
649.68
549.41
769.41
776.05*
782.69
791.12
840.71
879.68*
895.88
971.26*
1017.00
1034.62
1055.89
1075.69
1091.25*
1107.83*
1125.44
1132.07
1140.17*
1156.68*
1172.05*
1185.96
1192.77*
1206.39
1298.28*
1340.35*
1370.34*
1383.71*
1413.64*
1444.54
1463.12*
1481.72*
1505.08*
1523.80*
1537.89*
1551.98
1565.46*
1578.93*
1592.41
1602.30*
1612.18*
1622.07
1636.07*
1650.06*
1664.06*
1678.02*
1691.96*
1705.91*
1719.58*
1733.12*
1746.65
176.73*
215.02*
249.52*
309.27*
ALTERNATIVA 3
RIOGORDO

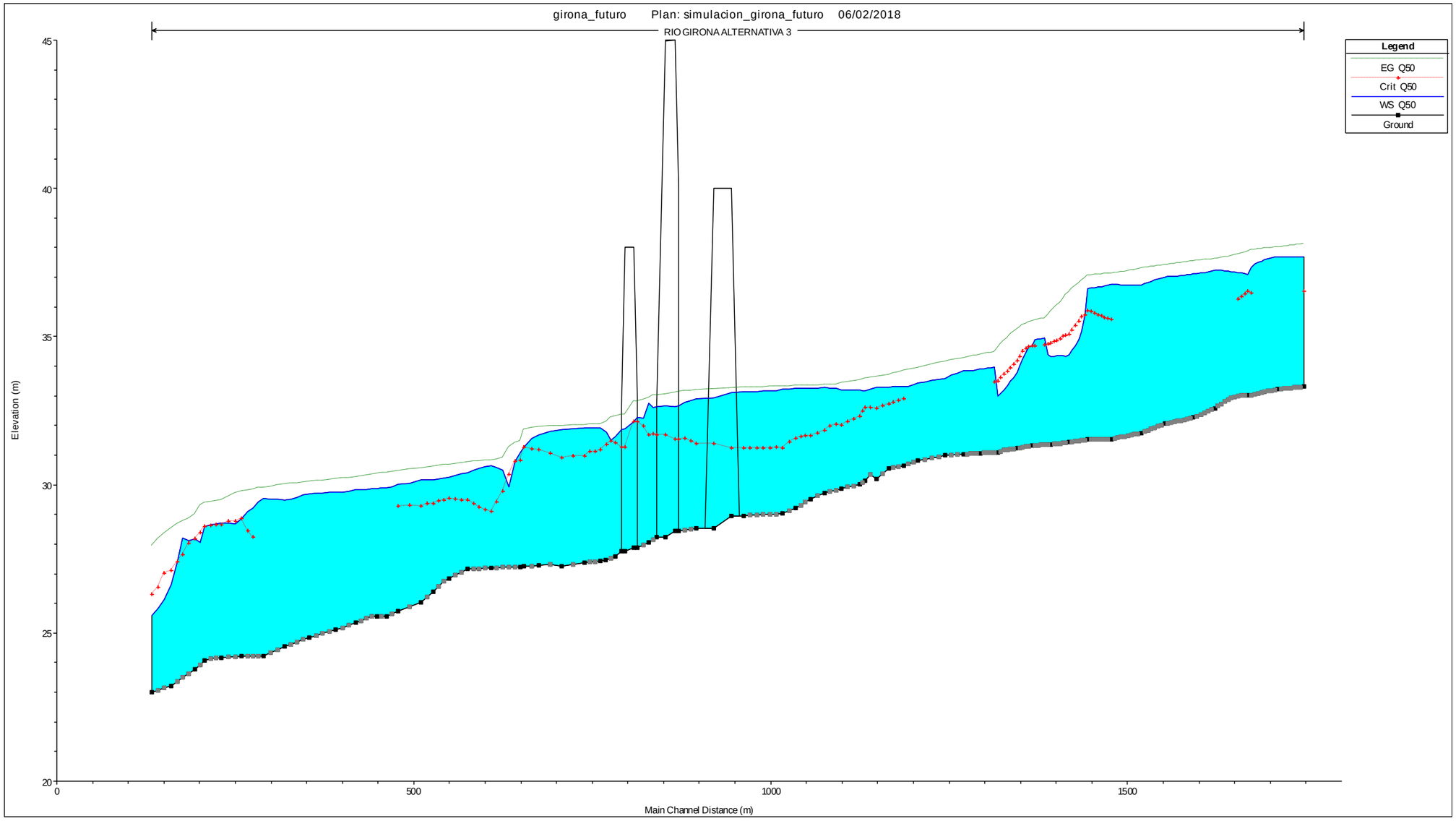

girona_futuro Plan: simulacion_girona_futuro 06/02/2018
Legend
WS Q10
Ground
Bank Sta
Ground
Levee
1746.65
1650.06*
1617.13*
1602.30*
1587.92*
1574.44*
1560.96*
1547.28*
1537.89*
1528.49*
1519.10
1509.76*
1500.41*
1491.07*
1481.72*
1472.41*
1463.12*
1453.83*
1444.54
1422.29*
1401.03*
1383.71*
1370.34*
1340.35*
1303.14*
1261.93*
1192.77*
1179.01*
1165.10
1132.07
1125.44
1091.25*
1075.69
1071.26*
1025.81*
895.88
887.78*
879.68*
871.58
791.12
782.69
776.05*
769.41
761.23
746.50*
723.35*
707.56
675.53
665.18*
654.82
641.36*
541.86*
319.20
281.90*
259.35
229.87
159.69

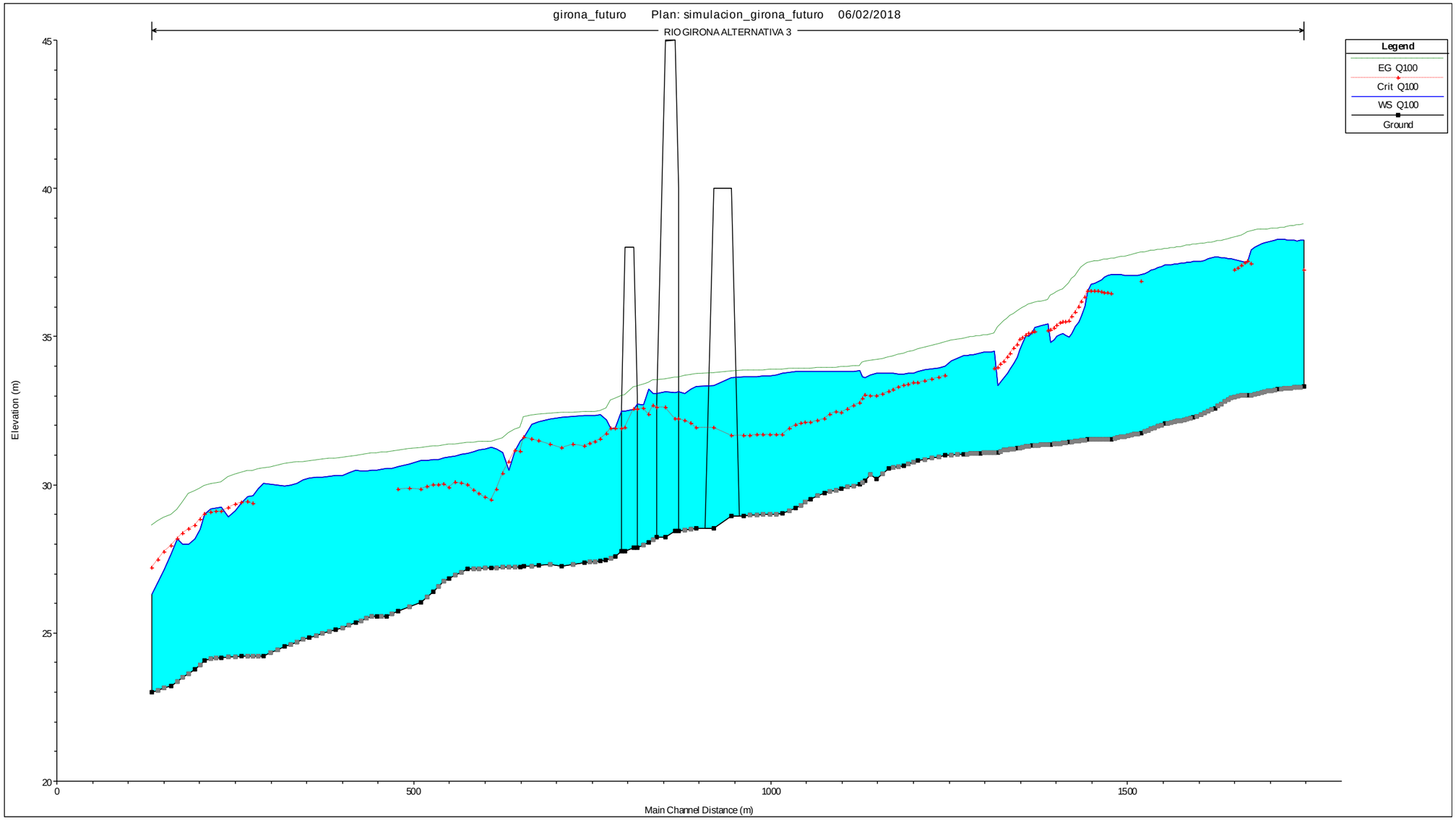

girona_futuro Plan: simulacion_girona_futuro 06/02/2018
Legend
WS Q50
Ground
Bank Sta
Ground
Levee
1746.65
1650.06*
1617.13*
1602.30*
1587.92*
1574.44*
1560.96*
1547.28*
1537.89*
1528.49*
1519.10
1509.76*
1500.41*
1491.07*
1481.72*
1472.41*
1463.12*
1453.83*
1444.54
1422.29*
1401.03*
1383.71*
1370.34*
1340.35*
1303.14*
1261.93*
1192.77*
1179.01*
1165.10
1132.07
1125.44
1091.25*
1075.69
1071.26*
1025.81*
895.88
887.78*
879.68*
871.58
791.12
782.69
776.05*
769.41
761.23
746.50*
723.35*
707.56
675.53
665.18*
654.82
633.05*
510.32
309.27*
281.90*
259.35
229.87
159.69

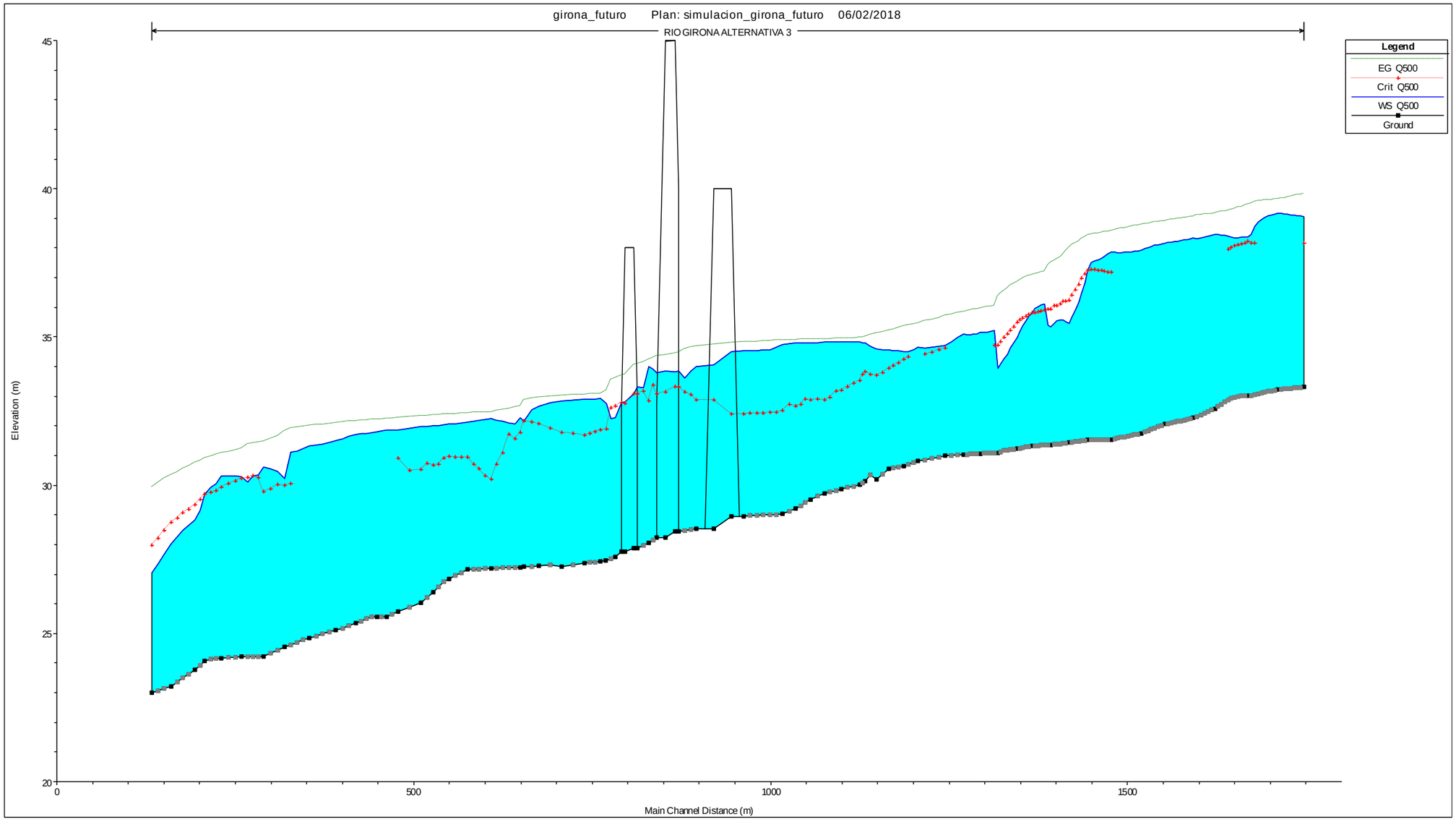

girona_futuro Plan: simulacion_girona_futuro 06/02/2018
Legend
WS Q100
Ground
Bank Sta
Ground
Levee
1746.65
1650.06*
1617.13*
1602.30*
1587.92*
1574.44*
1560.96*
1547.28*
1537.89*
1528.49*
1519.10
1509.76*
1500.41*
1491.07*
1481.72*
1472.41*
1463.12*
1453.83*
1444.54
1422.29*
1401.03*
1383.71*
1370.34*
1340.35*
1303.14*
1261.93*
1192.77*
1179.01*
1165.10
1132.07
1125.44
1091.25*
1075.69
1097.26*
1025.81*
895.88
887.78*
879.68*
871.58
791.12
782.69
776.05*
769.41
761.23
746.50*
723.35*
707.56
675.53
665.18*
654.82
633.05*
510.32
309.27*
281.90*
259.35
229.87
159.69


girona_futuro Plan: simulacion_girona_futuro 06/02/2018
Legend
WS Q500
Ground
Bank Sta
Ground
Levee
1746.65
1650.06*
1617.13*
1602.30*
1587.92*
1574.44*
1560.96*
1547.28*
1537.89*
1528.49*
1519.10
1509.76*
1500.41*
1491.07*
1481.72*
1472.41*
1463.12*
1453.83*
1444.54
1422.29*
1401.03*
1383.71*
1370.34*
1340.35*
1303.14*
1261.93*
1192.77*
1179.01*
1165.10
1132.07
1125.44
1091.25*
1075.69
971.26*
1025.81*
895.88
887.78*
879.68*
871.58
791.12
782.69
776.05*
769.41
761.23
746.50*
723.35*
707.56
675.53
665.18*
654.82
633.05*
510.32
309.27*
281.90*
259.35
229.87
159.69


girona_futuro Plan: simulacion_girona_futuro 06/02/2018
RIO GIRONA ALTERNATIVA 3
Legend
EG Q10
WS Q10
Crit Q10
Ground
Elevation (m)
Main Channel Distance (m)
45
40
35
30
25
20
0
200
400
600
800
1000
1200
1400
1600
1800


girona_futuro Plan: simulacion_girona_futuro 06/02/2018
RIO GIRONA ALTERNATIVA 3
Legend
EG Q50
Crit Q50
WS Q50
Ground
Elevation (m)
Main Channel Distance (m)
45
40
35
30
25
20
0
500
1000
1500


girona_futuro Plan: simulacion_girona_futuro 06/02/2018
RIO GIRONA ALTERNATIVA 3
Legend
EG Q100
Crit Q100
WS Q100
Ground
Elevation (m)
45
40
35
30
25
20
0
500
1000
1500
Main Channel Distance (m)


girona_futuro Plan: simulacion_girona_futuro 06/02/2018
RIO GIRONA ALTERNATIVA 3
Legend
EG Q500
Crit Q500
WS Q500
Ground
Elevation (m)
Main Channel Distance (m)
45
40
35
30
25
20
0
500
1000
1500

| T= 10 AÑOS | | | | | | | | | | | | |
|---|---|---|---|---|---|---|---|---|---|---|---|---|
| Reach | River Sta | Profile | Q Total (m3/s) | Min Ch El (m) | W.S. Elev (m) | Crit W.S. (m) | E.G. Elev (m) | E.G. Slope (m/m) | Vel Chnl (m/s) | Flow Area (m2) | Top Width (m) | Froude # Chl |
| RIO GIRONA FUTURO | 1746.65 | Q10 | 216.59 | 33.31 | 35.77 | 35.09 | 36.03 | 0.002939 | 2.24 | 96.72 | 54.85 | 0.54 |
| RIO GIRONA FUTURO | 1710.56 | Q10 | 216.59 | 33.23 | 35.72 | | 35.91 | 0.002033 | 1.95 | 111.3 | 58.86 | 0.45 |
| RIO GIRONA FUTURO | 1668.72 | Q10 | 216.59 | 33.01 | 35.41 | | 35.79 | 0.004128 | 2.71 | 79.99 | 43.95 | 0.64 |
| RIO GIRONA FUTURO | 1622.07 | Q10 | 216.59 | 32.59 | 35.42 | | 35.59 | 0.001512 | 1.82 | 118.96 | 56.03 | 0.4 |
| RIO GIRONA FUTURO | 1592.41 | Q10 | 216.59 | 32.27 | 35.25 | | 35.52 | 0.002202 | 2.29 | 94.75 | 41.51 | 0.48 |
| RIO GIRONA FUTURO | 1551.98 | Q10 | 216.59 | 32.06 | 35.13 | | 35.4 | 0.002285 | 2.28 | 94.87 | 43.18 | 0.49 |
| RIO GIRONA FUTURO | 1519.1 | Q10 | 216.59 | 31.75 | 34.77 | | 35.27 | 0.004904 | 3.12 | 69.47 | 34.99 | 0.71 |
| RIO GIRONA FUTURO | 1477.05 | Q10 | 216.59 | 31.55 | 34.72 | 33.81 | 35.01 | 0.002843 | 2.38 | 90.96 | 45.99 | 0.54 |
| RIO GIRONA FUTURO | 1444.54 | Q10 | 216.59 | 31.52 | 34.01 | 34.01 | 34.82 | 0.010394 | 3.98 | 54.38 | 33.39 | 1 |
| RIO GIRONA FUTURO | 1417.84 | Q10 | 216.59 | 31.43 | 33.25 | 33.53 | 34.29 | 0.019962 | 4.51 | 48.03 | 40.43 | 1.32 |
| RIO GIRONA FUTURO | 1392.63 | Q10 | 216.59 | 31.37 | 33.66 | | 34.05 | 0.006348 | 2.76 | 78.34 | 58.22 | 0.76 |
| RIO GIRONA FUTURO | 1365.88 | Q10 | 216.59 | 31.32 | 33.49 | | 33.88 | 0.006331 | 2.8 | 77.47 | 56.49 | 0.76 |
| RIO GIRONA FUTURO | 1344.88 | Q10 | 216.59 | 31.23 | 32.61 | 32.86 | 33.55 | 0.022599 | 4.29 | 50.5 | 50.41 | 1.37 |
| RIO GIRONA FUTURO | 1317.72 | Q10 | 216.59 | 31.08 | 32.86 | | 33.06 | 0.00338 | 2 | 108.09 | 81.42 | 0.56 |
| RIO GIRONA FUTURO | 1293.42 | Q10 | 216.59 | 31.07 | 32.73 | | 32.98 | 0.003952 | 2.21 | 102.54 | 104.59 | 0.6 |
| RIO GIRONA FUTURO | 1270.52 | Q10 | 216.59 | 31.03 | 32.69 | | 32.87 | 0.002993 | 1.89 | 117.24 | 100.41 | 0.52 |
| RIO GIRONA FUTURO | 1244.76 | Q10 | 216.59 | 31 | 32.51 | | 32.77 | 0.004926 | 2.24 | 97.68 | 96.16 | 0.66 |
| RIO GIRONA FUTURO | 1206.39 | Q10 | 216.59 | 30.81 | 32.23 | | 32.55 | 0.007376 | 2.5 | 88.72 | 102.53 | 0.79 |
| RIO GIRONA FUTURO | 1185.96 | Q10 | 216.59 | 30.64 | 32.12 | 31.89 | 32.39 | 0.006095 | 2.32 | 93.38 | 87.85 | 0.72 |
| RIO GIRONA FUTURO | 1165.1 | Q10 | 216.59 | 30.54 | 32.01 | 31.71 | 32.25 | 0.004955 | 2.17 | 99.64 | 88.51 | 0.65 |
| RIO GIRONA FUTURO | 1148.26 | Q10 | 216.59 | 30.21 | 31.93 | 31.64 | 32.16 | 0.00551 | 2.11 | 102.61 | 103.15 | 0.68 |
| RIO GIRONA FUTURO | 1132.07 | Q10 | 216.59 | 30.15 | 31.58 | 31.58 | 32.03 | 0.012356 | 2.96 | 73.05 | 80.8 | 1 |
| RIO GIRONA FUTURO | 1125.44 | Q10 | 216.59 | 30.01 | 31.57 | 31.34 | 31.83 | 0.006011 | 2.28 | 95.11 | 91.05 | 0.71 |
| RIO GIRONA FUTURO | 1099.03 | Q10 | 216.59 | 29.87 | 31.5 | 31.08 | 31.68 | 0.003375 | 1.86 | 116.24 | 97.58 | 0.55 |
| RIO GIRONA FUTURO | 1075.69 | Q10 | 216.59 | 29.73 | 31.43 | 30.95 | 31.57 | 0.002806 | 1.67 | 129.68 | 111.66 | 0.49 |
| RIO GIRONA FUTURO | 1055.89 | Q10 | 216.59 | 29.51 | 31.4 | 30.68 | 31.52 | 0.0017 | 1.53 | 141.8 | 95.75 | 0.4 |
| RIO GIRONA FUTURO | 1034.62 | Q10 | 216.59 | 29.22 | 31.37 | 30.63 | 31.48 | 0.001661 | 1.46 | 148.31 | 105.38 | 0.39 |
| RIO GIRONA FUTURO | 1017 | Q10 | 216.59 | 29.03 | 31.38 | 30.3 | 31.45 | 0.000847 | 1.2 | 180.51 | 103.86 | 0.29 |
| RIO GIRONA FUTURO | 962.11 | Q10 | 216.59 | 28.95 | 31.32 | 30.28 | 31.4 | 0.000897 | 1.21 | 178.55 | 105.47 | 0.3 |
| RIO GIRONA FUTURO | 933 | | Bridge | | | | | | | | | |
| RIO GIRONA FUTURO | 895.88 | Q10 | 216.59 | 28.52 | 31.2 | 30.15 | 31.32 | 0.001277 | 1.58 | 137.21 | 74.46 | 0.36 |
| RIO GIRONA FUTURO | 871.58 | Q10 | 216.59 | 28.43 | 31.1 | 30.09 | 31.28 | 0.001809 | 1.89 | 114.66 | 58.58 | 0.43 |
| RIO GIRONA FUTURO | 856 | | Bridge | | | | | | | | | |
| RIO GIRONA FUTURO | 840.71 | Q10 | 216.59 | 28.23 | 30.98 | 30.23 | 31.21 | 0.002102 | 2.23 | 113.69 | 79.16 | 0.48 |
| RIO GIRONA FUTURO | 829.38 | Q10 | 216.59 | 28.05 | 30.88 | 30.43 | 31.18 | 0.002915 | 2.66 | 105.35 | 75.29 | 0.56 |

| T= 10 AÑOS | | | | | | | | | | | | |
|---|---|---|---|---|---|---|---|---|---|---|---|---|
| Reach | River Sta | Profile | Q Total (m3/s) | Min Ch El (m) | W.S. Elev (m) | Crit W.S. (m) | E.G. Elev (m) | E.G. Slope (m/m) | Vel Chnl (m/s) | Flow Area (m2) | Top Width (m) | Froude # Chl |
| RIO GIRONA FUTURO | 813.48 | Q10 | 216.59 | 27.86 | 30.69 | 30.44 | 31.11 | 0.004443 | 3.15 | 88.45 | 67.75 | 0.69 |
| RIO GIRONA FUTURO | 802 | | Bridge | | | | | | | | | |
| RIO GIRONA FUTURO | 791.12 | Q10 | 216.59 | 27.75 | 30.78 | 29.57 | 30.94 | 0.001187 | 1.84 | 137.55 | 87.75 | 0.37 |
| RIO GIRONA FUTURO | 782.69 | Q10 | 216.59 | 27.59 | 30.73 | 29.87 | 30.93 | 0.001755 | 2.05 | 120.22 | 78.48 | 0.44 |
| RIO GIRONA FUTURO | 769.41 | Q10 | 216.59 | 27.46 | 30.71 | 29.58 | 30.9 | 0.001432 | 2.05 | 142.46 | 155.96 | 0.4 |
| RIO GIRONA FUTURO | 761.23 | Q10 | 216.59 | 27.43 | 30.74 | 29.89 | 30.87 | 0.001296 | 1.75 | 183.66 | 207.35 | 0.37 |
| RIO GIRONA FUTURO | 739.14 | Q10 | 216.59 | 27.38 | 30.75 | 29.27 | 30.83 | 0.000626 | 1.42 | 233.36 | 240.61 | 0.27 |
| RIO GIRONA FUTURO | 707.56 | Q10 | 216.59 | 27.25 | 30.72 | 29.06 | 30.81 | 0.000596 | 1.4 | 227.95 | 227.69 | 0.26 |
| RIO GIRONA FUTURO | 675.53 | Q10 | 216.59 | 27.28 | 30.52 | 29.68 | 30.76 | 0.002317 | 2.28 | 133.49 | 185.83 | 0.49 |
| RIO GIRONA FUTURO | 654.82 | Q10 | 216.59 | 27.25 | 29.72 | 29.72 | 30.6 | 0.010232 | 4.16 | 52.11 | 29.53 | 1 |
| RIO GIRONA FUTURO | 649.68 | Q10 | 216.59 | 27.23 | 29.37 | 29.75 | 30.5 | 0.023637 | 4.9 | 49.91 | 55.86 | 1.43 |
| RIO GIRONA FUTURO | 608.1 | Q10 | 216.59 | 27.2 | 29.05 | 28.22 | 29.14 | 0.001181 | 1.28 | 168.91 | 112.85 | 0.33 |
| RIO GIRONA FUTURO | 575.79 | Q10 | 216.59 | 27.15 | 28.84 | 28.43 | 29.06 | 0.003751 | 2.05 | 105.43 | 82.59 | 0.58 |
| RIO GIRONA FUTURO | 549.41 | Q10 | 216.59 | 26.84 | 28.66 | 28.29 | 28.94 | 0.004587 | 2.35 | 92.29 | 68.84 | 0.65 |
| RIO GIRONA FUTURO | 526.75 | Q10 | 216.59 | 26.38 | 28.6 | 28.08 | 28.84 | 0.003372 | 2.18 | 99.21 | 65.33 | 0.57 |
| RIO GIRONA FUTURO | 510.32 | Q10 | 216.59 | 26.02 | 28.56 | 27.98 | 28.78 | 0.003014 | 2.09 | 103.5 | 66.76 | 0.54 |
| RIO GIRONA FUTURO | 478.36 | Q10 | 216.59 | 25.74 | 28.35 | 27.94 | 28.65 | 0.004399 | 2.41 | 89.91 | 62.35 | 0.64 |
| RIO GIRONA FUTURO | 461.54 | Q10 | 216.59 | 25.57 | 28.06 | 27.94 | 28.53 | 0.008839 | 3.03 | 71.55 | 59.06 | 0.88 |
| RIO GIRONA FUTURO | 448.84 | Q10 | 216.59 | 25.57 | 27.98 | | 28.41 | 0.007305 | 2.87 | 75.39 | 58.37 | 0.81 |
| RIO GIRONA FUTURO | 418.4 | Q10 | 216.59 | 25.34 | 27.86 | | 28.19 | 0.004585 | 2.54 | 85.17 | 56.07 | 0.66 |
| RIO GIRONA FUTURO | 390.81 | Q10 | 216.59 | 25.11 | 27.83 | | 28.07 | 0.002749 | 2.17 | 99.75 | 56.51 | 0.52 |
| RIO GIRONA FUTURO | 353.57 | Q10 | 216.59 | 24.85 | 27.75 | | 27.96 | 0.002366 | 2.06 | 104.9 | 57.37 | 0.49 |
| RIO GIRONA FUTURO | 319.2 | Q10 | 216.59 | 24.54 | 27.65 | | 27.89 | 0.001985 | 2.16 | 100.35 | 44.67 | 0.46 |
| RIO GIRONA FUTURO | 289.42 | Q10 | 216.59 | 24.23 | 27.65 | | 27.82 | 0.001422 | 1.85 | 117.06 | 50.98 | 0.39 |
| RIO GIRONA FUTURO | 259.35 | Q10 | 216.59 | 24.22 | 27.28 | 26.78 | 27.72 | 0.004704 | 2.95 | 73.48 | 39.2 | 0.69 |
| RIO GIRONA FUTURO | 229.87 | Q10 | 216.59 | 24.17 | 27.18 | 26.42 | 27.59 | 0.003421 | 2.83 | 76.61 | 33.72 | 0.6 |
| RIO GIRONA FUTURO | 207.59 | Q10 | 216.59 | 24.08 | 26.53 | 26.53 | 27.43 | 0.010203 | 4.2 | 51.62 | 28.68 | 1 |
| RIO GIRONA FUTURO | 193.77 | Q10 | 216.59 | 23.78 | 25.64 | 26.08 | 27.13 | 0.024214 | 5.41 | 40.06 | 29.25 | 1.48 |
| RIO GIRONA FUTURO | 159.69 | Q10 | 216.59 | 23.22 | 24.87 | 25.29 | 26.28 | 0.025909 | 5.26 | 41.17 | 33.31 | 1.51 |
| RIO GIRONA FUTURO | 133.27 | Q10 | 216.59 | 23 | 25.11 | 24.83 | 25.55 | 0.006203 | 2.94 | 73.65 | 48.98 | 0.77 |

| T= 50 AÑOS | | | | | | | | | | | | |
|---|---|---|---|---|---|---|---|---|---|---|---|---|
| Reach | River Sta | Profile | Q Total (m3/s) | Min Ch El (m) | W.S. Elev (m) | Crit W.S. (m) | E.G. Elev (m) | E.G. Slope (m/m) | Vel Chnl (m/s) | Flow Area (m2) | Top Width (m) | Froude # Chl |
| RIO GIRONA FUTURO | 1746.65 | Q50 | 669.62 | 33.31 | 37.69 | 36.53 | 38.13 | 0.002244 | 3 | 250.19 | 123.02 | 0.52 |
| RIO GIRONA FUTURO | 1710.56 | Q50 | 669.62 | 33.23 | 37.7 | | 38.01 | 0.001687 | 2.54 | 303.3 | 155.26 | 0.45 |
| RIO GIRONA FUTURO | 1668.72 | Q50 | 669.62 | 33.01 | 37.08 | 36.52 | 37.88 | 0.004432 | 4 | 189.35 | 136.59 | 0.72 |
| RIO GIRONA FUTURO | 1622.07 | Q50 | 669.62 | 32.59 | 37.25 | | 37.62 | 0.001753 | 2.79 | 278.99 | 149.66 | 0.47 |
| RIO GIRONA FUTURO | 1592.41 | Q50 | 669.62 | 32.27 | 37.11 | | 37.55 | 0.002337 | 3.13 | 274.83 | 148.89 | 0.53 |
| RIO GIRONA FUTURO | 1551.98 | Q50 | 669.62 | 32.06 | 37.02 | | 37.42 | 0.002 | 3.03 | 291.7 | 153.13 | 0.5 |
| RIO GIRONA FUTURO | 1519.1 | Q50 | 669.62 | 31.75 | 36.74 | | 37.3 | 0.003102 | 3.62 | 252.07 | 142.83 | 0.62 |
| RIO GIRONA FUTURO | 1477.05 | Q50 | 669.62 | 31.55 | 36.77 | 35.59 | 37.12 | 0.001707 | 2.88 | 304.85 | 142.16 | 0.47 |
| RIO GIRONA FUTURO | 1444.54 | Q50 | 669.62 | 31.52 | 36.62 | 35.88 | 37.06 | 0.002217 | 3.3 | 285.51 | 143.53 | 0.53 |
| RIO GIRONA FUTURO | 1417.84 | Q50 | 669.62 | 31.43 | 34.39 | 35.08 | 36.51 | 0.022621 | 6.45 | 104.24 | 70.26 | 1.51 |
| RIO GIRONA FUTURO | 1392.63 | Q50 | 669.62 | 31.37 | 34.33 | 34.77 | 35.84 | 0.016013 | 5.5 | 130.63 | 113.12 | 1.28 |
| RIO GIRONA FUTURO | 1365.88 | Q50 | 669.62 | 31.32 | 34.69 | 34.68 | 35.52 | 0.006523 | 4.16 | 185.57 | 124.89 | 0.85 |
| RIO GIRONA FUTURO | 1344.88 | Q50 | 669.62 | 31.23 | 33.79 | 34.19 | 35.24 | 0.016684 | 5.35 | 130.26 | 95.05 | 1.29 |
| RIO GIRONA FUTURO | 1317.72 | Q50 | 669.62 | 31.08 | 32.98 | 33.48 | 34.62 | 0.02465 | 5.67 | 118.19 | 86.61 | 1.52 |
| RIO GIRONA FUTURO | 1293.42 | Q50 | 669.62 | 31.07 | 33.91 | | 34.38 | 0.003641 | 3.21 | 242.84 | 126.83 | 0.64 |
| RIO GIRONA FUTURO | 1270.52 | Q50 | 669.62 | 31.03 | 33.85 | | 34.28 | 0.003227 | 2.97 | 240.14 | 111.91 | 0.6 |
| RIO GIRONA FUTURO | 1244.76 | Q50 | 669.62 | 31 | 33.59 | | 34.16 | 0.004862 | 3.42 | 210.27 | 109.87 | 0.73 |
| RIO GIRONA FUTURO | 1206.39 | Q50 | 669.62 | 30.81 | 33.44 | | 33.95 | 0.004507 | 3.26 | 223.53 | 119.13 | 0.7 |
| RIO GIRONA FUTURO | 1185.96 | Q50 | 669.62 | 30.64 | 33.31 | 32.9 | 33.84 | 0.004621 | 3.25 | 212.08 | 112.11 | 0.7 |
| RIO GIRONA FUTURO | 1165.1 | Q50 | 669.62 | 30.54 | 33.3 | 32.72 | 33.71 | 0.004063 | 2.86 | 233.92 | 118.41 | 0.65 |
| RIO GIRONA FUTURO | 1148.26 | Q50 | 669.62 | 30.21 | 33.29 | 32.58 | 33.64 | 0.003135 | 2.61 | 256.92 | 122.99 | 0.58 |
| RIO GIRONA FUTURO | 1132.07 | Q50 | 669.62 | 30.15 | 33.16 | 32.61 | 33.58 | 0.004132 | 2.87 | 233.55 | 119.33 | 0.65 |
| RIO GIRONA FUTURO | 1125.44 | Q50 | 669.62 | 30.01 | 33.19 | 32.31 | 33.53 | 0.002822 | 2.55 | 262.59 | 120.16 | 0.55 |
| RIO GIRONA FUTURO | 1099.03 | Q50 | 669.62 | 29.87 | 33.19 | 32.01 | 33.44 | 0.001928 | 2.22 | 301.22 | 129.61 | 0.46 |
| RIO GIRONA FUTURO | 1075.69 | Q50 | 669.62 | 29.73 | 33.27 | 31.83 | 33.37 | 0.000741 | 1.49 | 560.18 | 342.18 | 0.29 |
| RIO GIRONA FUTURO | 1055.89 | Q50 | 669.62 | 29.51 | 33.26 | 31.66 | 33.35 | 0.000595 | 1.5 | 598.61 | 324.2 | 0.27 |
| RIO GIRONA FUTURO | 1034.62 | Q50 | 669.62 | 29.22 | 33.26 | 31.58 | 33.34 | 0.000499 | 1.38 | 640.15 | 326.6 | 0.25 |
| RIO GIRONA FUTURO | 1017 | Q50 | 669.62 | 29.03 | 33.22 | 31.24 | 33.33 | 0.000593 | 1.5 | 522.41 | 261.94 | 0.27 |
| RIO GIRONA FUTURO | 962.11 | Q50 | 669.62 | 28.95 | 33.13 | 31.23 | 33.28 | 0.000818 | 1.68 | 402.19 | 147.46 | 0.31 |
| RIO GIRONA FUTURO | 933 | | Bridge | | | | | | | | | |
| RIO GIRONA FUTURO | 895.88 | Q50 | 669.62 | 28.52 | 32.9 | 31.37 | 33.19 | 0.001325 | 2.45 | 307 | 124.06 | 0.41 |
| RIO GIRONA FUTURO | 871.58 | Q50 | 669.62 | 28.43 | 32.66 | 31.54 | 33.13 | 0.002818 | 3.02 | 227.1 | 105.26 | 0.57 |
| RIO GIRONA FUTURO | 856 | | Bridge | | | | | | | | | |
| RIO GIRONA FUTURO | 840.71 | Q50 | 669.62 | 28.23 | 32.63 | 31.68 | 33.03 | 0.002078 | 3.2 | 315.06 | 195.64 | 0.52 |
| RIO GIRONA FUTURO | 829.38 | Q50 | 669.62 | 28.05 | 32.76 | 31.69 | 32.93 | 0.001192 | 2.54 | 487.42 | 278.05 | 0.4 |
| RIO GIRONA FUTURO | 813.48 | Q50 | 669.62 | 27.86 | 32.26 | 32.12 | 32.82 | 0.003631 | 4.11 | 275.24 | 177.5 | 0.68 |
| RIO GIRONA FUTURO | 802 | | Bridge | | | | | | | | | |

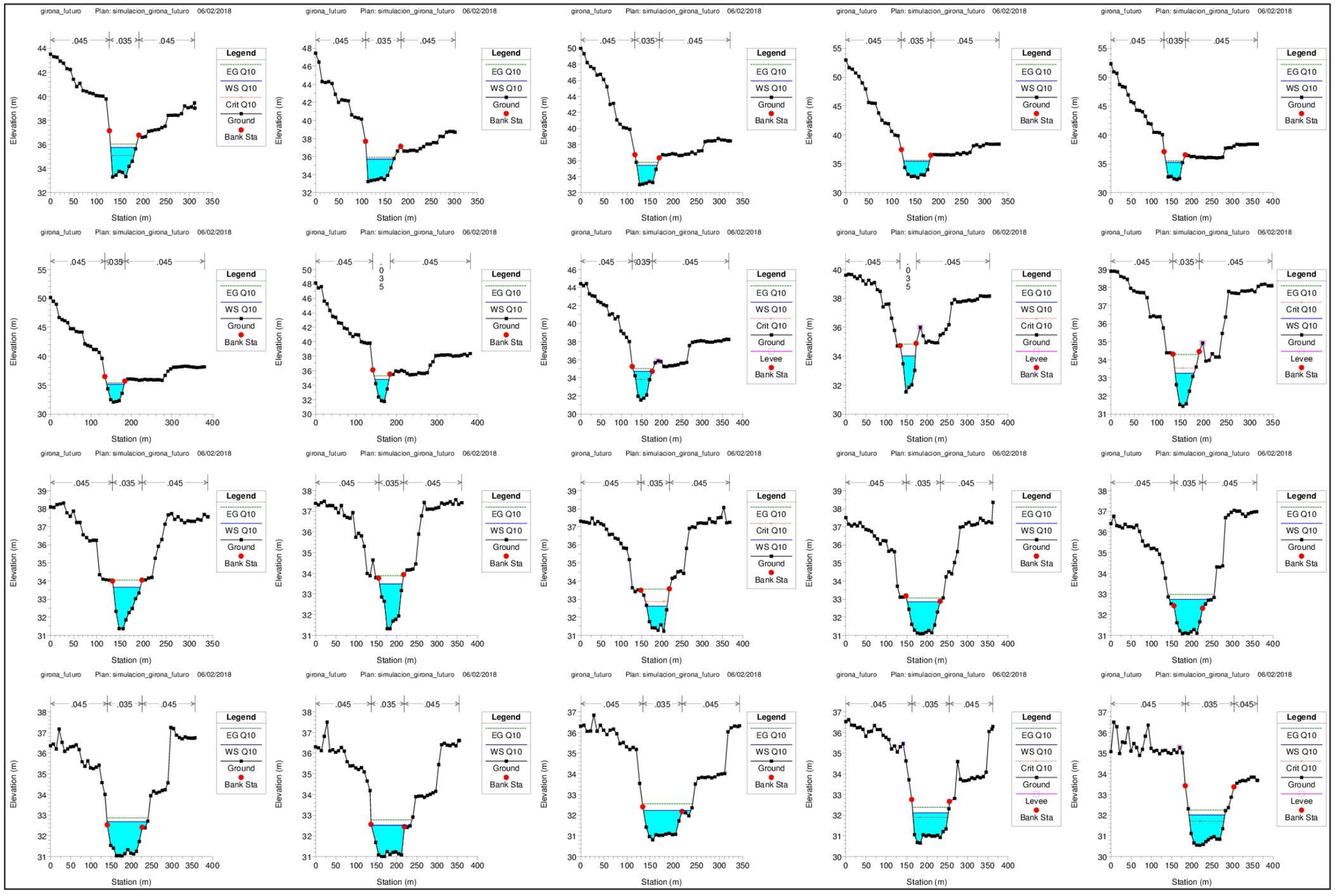
| T= 50 AÑOS | | | | | | | | | | | | |
|---|---|---|---|---|---|---|---|---|---|---|---|---|
| Reach | River Sta | Profile | Q Total (m3/s) | Min Ch El (m) | W.S. Elev (m) | Crit W.S. (m) | E.G. Elev (m) | E.G. Slope (m/m) | Vel Chnl (m/s) | Flow Area (m2) | Top Width (m) | Froude # Chl |
| RIO GIRONA FUTURO | 791.12 | Q50 | 669.62 | 27.75 | 31.87 | 31.26 | 32.36 | 0.002606 | 3.44 | 271.89 | 179.24 | 0.57 |
| RIO GIRONA FUTURO | 782.69 | Q50 | 669.62 | 27.59 | 31.61 | 31.41 | 32.31 | 0.004421 | 4.05 | 213.69 | 120 | 0.73 |
| RIO GIRONA FUTURO | 769.41 | Q50 | 669.62 | 27.46 | 31.77 | 31.35 | 32.13 | 0.002247 | 3.22 | 326.51 | 193.67 | 0.53 |
| RIO GIRONA FUTURO | 761.23 | Q50 | 669.62 | 27.43 | 31.93 | 31.18 | 32.04 | 0.00102 | 2.06 | 575.14 | 364.07 | 0.35 |
| RIO GIRONA FUTURO | 739.14 | Q50 | 669.62 | 27.38 | 31.93 | 30.96 | 32.02 | 0.000637 | 1.81 | 666.13 | 374.65 | 0.29 |
| RIO GIRONA FUTURO | 707.56 | Q50 | 669.62 | 27.25 | 31.87 | 30.91 | 31.99 | 0.000749 | 1.96 | 596.65 | 372.62 | 0.31 |
| RIO GIRONA FUTURO | 675.53 | Q50 | 669.62 | 27.28 | 31.67 | 31.17 | 31.94 | 0.002125 | 2.86 | 368.22 | 219 | 0.51 |
| RIO GIRONA FUTURO | 654.82 | Q50 | 669.62 | 27.25 | 31.26 | 31.26 | 31.85 | 0.004765 | 4.12 | 264.96 | 196.11 | 0.75 |
| RIO GIRONA FUTURO | 649.68 | Q50 | 669.62 | 27.23 | 31.08 | 30.82 | 31.48 | 0.004041 | 3.41 | 288 | 199.32 | 0.67 |
| RIO GIRONA FUTURO | 608.1 | Q50 | 669.62 | 27.2 | 30.65 | 29.08 | 30.82 | 0.000968 | 1.84 | 386.03 | 185.78 | 0.34 |
| RIO GIRONA FUTURO | 575.79 | Q50 | 669.62 | 27.15 | 30.42 | 29.49 | 30.75 | 0.00225 | 2.62 | 286.34 | 183 | 0.51 |
| RIO GIRONA FUTURO | 549.41 | Q50 | 669.62 | 26.84 | 30.27 | 29.54 | 30.68 | 0.002755 | 2.94 | 265.33 | 170.62 | 0.57 |
| RIO GIRONA FUTURO | 526.75 | Q50 | 669.62 | 26.38 | 30.18 | 29.37 | 30.61 | 0.002654 | 3.02 | 258.98 | 161.17 | 0.56 |
| RIO GIRONA FUTURO | 510.32 | Q50 | 669.62 | 26.02 | 30.17 | 29.27 | 30.56 | 0.002275 | 2.86 | 275.54 | 157.22 | 0.52 |
| RIO GIRONA FUTURO | 478.36 | Q50 | 669.62 | 25.74 | 30.01 | 29.28 | 30.47 | 0.002714 | 3.13 | 251.98 | 141.98 | 0.57 |
| RIO GIRONA FUTURO | 461.54 | Q50 | 669.62 | 25.57 | 29.9 | | 30.41 | 0.003136 | 3.29 | 242.22 | 150.93 | 0.61 |
| RIO GIRONA FUTURO | 448.84 | Q50 | 669.62 | 25.57 | 29.88 | | 30.37 | 0.002915 | 3.21 | 239.05 | 124.67 | 0.59 |
| RIO GIRONA FUTURO | 418.4 | Q50 | 669.62 | 25.34 | 29.85 | | 30.26 | 0.002193 | 2.94 | 263.01 | 136.89 | 0.52 |
| RIO GIRONA FUTURO | 390.81 | Q50 | 669.62 | 25.11 | 29.75 | | 30.19 | 0.002132 | 2.98 | 241.16 | 103.66 | 0.51 |
| RIO GIRONA FUTURO | 353.57 | Q50 | 669.62 | 24.85 | 29.7 | | 30.1 | 0.002044 | 2.81 | 239.68 | 90.66 | 0.5 |
| RIO GIRONA FUTURO | 319.2 | Q50 | 669.62 | 24.54 | 29.49 | | 30.01 | 0.002335 | 3.3 | 229.2 | 91.81 | 0.54 |
| RIO GIRONA FUTURO | 289.42 | Q50 | 669.62 | 24.23 | 29.54 | | 29.91 | 0.001564 | 2.81 | 279.45 | 115.66 | 0.45 |
| RIO GIRONA FUTURO | 259.35 | Q50 | 669.62 | 24.22 | 28.85 | 28.85 | 29.77 | 0.005162 | 4.39 | 185.68 | 122.04 | 0.78 |
| RIO GIRONA FUTURO | 229.87 | Q50 | 669.62 | 24.17 | 28.72 | 28.66 | 29.48 | 0.004203 | 4.19 | 217.3 | 131.5 | 0.71 |
| RIO GIRONA FUTURO | 207.59 | Q50 | 669.62 | 24.08 | 28.6 | 28.6 | 29.39 | 0.004844 | 4.38 | 213.89 | 129.17 | 0.76 |
| RIO GIRONA FUTURO | 193.77 | Q50 | 669.62 | 23.78 | 28.18 | 28.18 | 29 | 0.005029 | 4.28 | 203.7 | 128.23 | 0.77 |
| RIO GIRONA FUTURO | 159.69 | Q50 | 669.62 | 23.22 | 26.62 | 27.12 | 28.52 | 0.013298 | 6.11 | 111.93 | 58.74 | 1.22 |
| RIO GIRONA FUTURO | 133.27 | Q50 | 669.62 | 23 | 25.6 | 26.31 | 27.95 | 0.025184 | 6.79 | 98.66 | 53.45 | 1.6 |

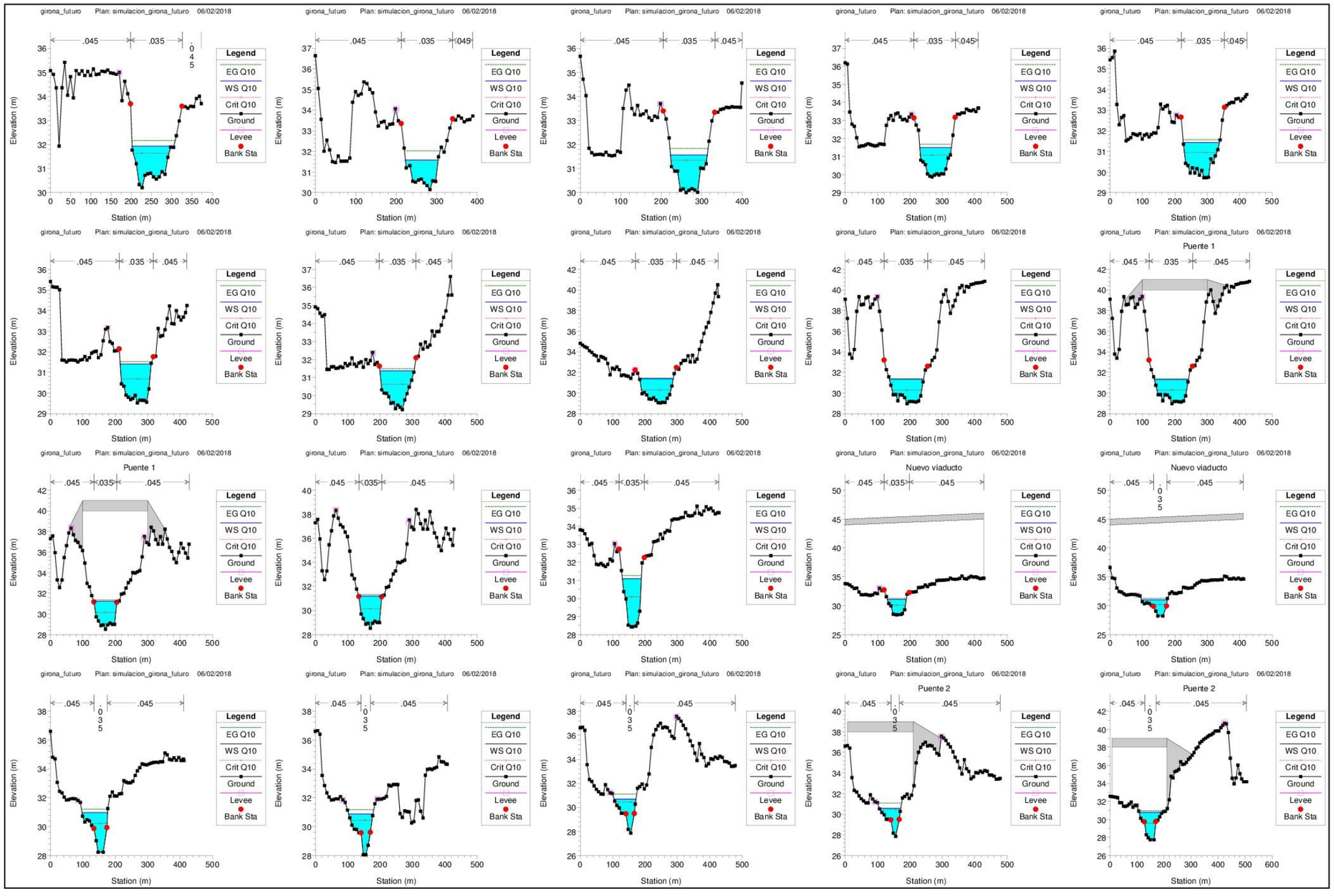
| T= 100 AÑOS | | | | | | | | | | | | |
|---|---|---|---|---|---|---|---|---|---|---|---|---|
| Reach | River Sta | Profile | Q Total (m3/s) | Min Ch El (m) | W.S. Elev (m) | Crit W.S. (m) | E.G. Elev (m) | E.G. Slope (m/m) | Vel Chnl (m/s) | Flow Area (m2) | Top Width (m) | Froude # Chl |
| RIO GIRONA FUTURO | 1746.65 | Q100 | 932.91 | 33.31 | 38.24 | 37.25 | 38.79 | 0.002388 | 3.42 | 319.25 | 128.78 | 0.55 |
| RIO GIRONA FUTURO | 1710.56 | Q100 | 932.91 | 33.23 | 38.28 | | 38.65 | 0.001708 | 2.85 | 395.48 | 170.88 | 0.46 |
| RIO GIRONA FUTURO | 1668.72 | Q100 | 932.91 | 33.01 | 37.53 | 37.53 | 38.51 | 0.004821 | 4.56 | 254.11 | 149.13 | 0.77 |
| RIO GIRONA FUTURO | 1622.07 | Q100 | 932.91 | 32.59 | 37.69 | | 38.19 | 0.002096 | 3.27 | 346.69 | 153.69 | 0.52 |
| RIO GIRONA FUTURO | 1592.41 | Q100 | 932.91 | 32.27 | 37.53 | | 38.09 | 0.002698 | 3.63 | 338.23 | 151.38 | 0.58 |
| RIO GIRONA FUTURO | 1551.98 | Q100 | 932.91 | 32.06 | 37.42 | | 37.95 | 0.00242 | 3.57 | 353.66 | 158.05 | 0.56 |
| RIO GIRONA FUTURO | 1519.1 | Q100 | 932.91 | 31.75 | 37.09 | 36.86 | 37.83 | 0.003865 | 4.3 | 302.09 | 148.45 | 0.7 |
| RIO GIRONA FUTURO | 1477.05 | Q100 | 932.91 | 31.55 | 37.1 | 36.44 | 37.61 | 0.002266 | 3.5 | 353.12 | 144.3 | 0.55 |
| RIO GIRONA FUTURO | 1444.54 | Q100 | 932.91 | 31.52 | 36.54 | 36.54 | 37.47 | 0.004767 | 4.78 | 273.79 | 142.45 | 0.78 |
| RIO GIRONA FUTURO | 1417.84 | Q100 | 932.91 | 31.43 | 34.97 | 35.51 | 36.79 | 0.0148 | 6.23 | 177.66 | 120.56 | 1.28 |
| RIO GIRONA FUTURO | 1392.63 | Q100 | 932.91 | 31.37 | 34.81 | 35.22 | 36.38 | 0.012953 | 5.75 | 186.38 | 118.75 | 1.19 |
| RIO GIRONA FUTURO | 1365.88 | Q100 | 932.91 | 31.32 | 35.14 | 35.14 | 36.11 | 0.006333 | 4.6 | 243.49 | 129.56 | 0.86 |
| RIO GIRONA FUTURO | 1344.88 | Q100 | 932.91 | 31.23 | 34.3 | 34.73 | 35.84 | 0.013052 | 5.6 | 181.12 | 110.68 | 1.19 |
| RIO GIRONA FUTURO | 1317.72 | Q100 | 932.91 | 31.08 | 33.34 | 33.93 | 35.3 | 0.02245 | 6.22 | 154.8 | 110.23 | 1.5 |
| RIO GIRONA FUTURO | 1293.42 | Q100 | 932.91 | 31.07 | 34.44 | | 35.02 | 0.003572 | 3.61 | 313.7 | 148.09 | 0.66 |
| RIO GIRONA FUTURO | 1270.52 | Q100 | 932.91 | 31.03 | 34.36 | | 34.93 | 0.003335 | 3.42 | 307.08 | 155.46 | 0.63 |
| RIO GIRONA FUTURO | 1244.76 | Q100 | 932.91 | 31 | 33.99 | 33.69 | 34.8 | 0.005532 | 4.07 | 257.2 | 145.75 | 0.8 |
| RIO GIRONA FUTURO | 1206.39 | Q100 | 932.91 | 30.81 | 33.83 | 33.45 | 34.55 | 0.005156 | 3.89 | 272.25 | 153.28 | 0.77 |
| RIO GIRONA FUTURO | 1185.96 | Q100 | 932.91 | 30.64 | 33.73 | 33.34 | 34.43 | 0.004842 | 3.75 | 261.36 | 139.14 | 0.74 |
| RIO GIRONA FUTURO | 1165.1 | Q100 | 932.91 | 30.54 | 33.76 | 33.15 | 34.29 | 0.00392 | 3.21 | 295.53 | 163.31 | 0.66 |
| RIO GIRONA FUTURO | 1148.26 | Q100 | 932.91 | 30.21 | 33.77 | 32.98 | 34.21 | 0.003154 | 2.94 | 323 | 161.92 | 0.59 |
| RIO GIRONA FUTURO | 1132.07 | Q100 | 932.91 | 30.15 | 33.61 | 33.02 | 34.14 | 0.004225 | 3.21 | 294.48 | 170.03 | 0.68 |
| RIO GIRONA FUTURO | 1125.44 | Q100 | 932.91 | 30.01 | 33.85 | 32.75 | 34.01 | 0.001215 | 1.93 | 601.57 | 366.81 | 0.37 |
| RIO GIRONA FUTURO | 1099.03 | Q100 | 932.91 | 29.87 | 33.83 | 32.43 | 33.96 | 0.000921 | 1.8 | 686.02 | 398.27 | 0.33 |
| RIO GIRONA FUTURO | 1075.69 | Q100 | 932.91 | 29.73 | 33.84 | 32.21 | 33.94 | 0.000644 | 1.58 | 773.76 | 402.04 | 0.28 |
| RIO GIRONA FUTURO | 1055.89 | Q100 | 932.91 | 29.51 | 33.82 | 32.1 | 33.92 | 0.00055 | 1.61 | 792.23 | 370.35 | 0.27 |
| RIO GIRONA FUTURO | 1034.62 | Q100 | 932.91 | 29.22 | 33.82 | 32.02 | 33.91 | 0.000476 | 1.5 | 833.2 | 357.4 | 0.25 |
| RIO GIRONA FUTURO | 1017 | Q100 | 932.91 | 29.03 | 33.77 | 31.68 | 33.9 | 0.000623 | 1.7 | 684.11 | 323.89 | 0.28 |
| RIO GIRONA FUTURO | 962.11 | Q100 | 932.91 | 28.95 | 33.64 | 31.65 | 33.84 | 0.000931 | 1.99 | 480.31 | 158.64 | 0.34 |
| RIO GIRONA FUTURO | 933 | | Bridge | | | | | | | | | |
| RIO GIRONA FUTURO | 895.88 | Q100 | 932.91 | 28.52 | 33.3 | 31.92 | 33.73 | 0.001731 | 3 | 359.38 | 135.66 | 0.48 |
| RIO GIRONA FUTURO | 871.58 | Q100 | 932.91 | 28.43 | 33.15 | 32.22 | 33.63 | 0.002627 | 3.23 | 358.74 | 203.56 | 0.57 |
| RIO GIRONA FUTURO | 856 | | Bridge | | | | | | | | | |
| RIO GIRONA FUTURO | 840.71 | Q100 | 932.91 | 28.23 | 33.07 | 32.61 | 33.54 | 0.002275 | 3.6 | 402.6 | 216.27 | 0.55 |
| RIO GIRONA FUTURO | 829.38 | Q100 | 932.91 | 28.05 | 33.24 | 32.38 | 33.43 | 0.001224 | 2.77 | 633.93 | 314.3 | 0.41 |
| RIO GIRONA FUTURO | 813.48 | Q100 | 932.91 | 27.86 | 32.74 | 32.53 | 33.32 | 0.003506 | 4.38 | 361.77 | 185.98 | 0.68 |
| RIO GIRONA FUTURO | 802 | | Bridge | | | | | | | | | |

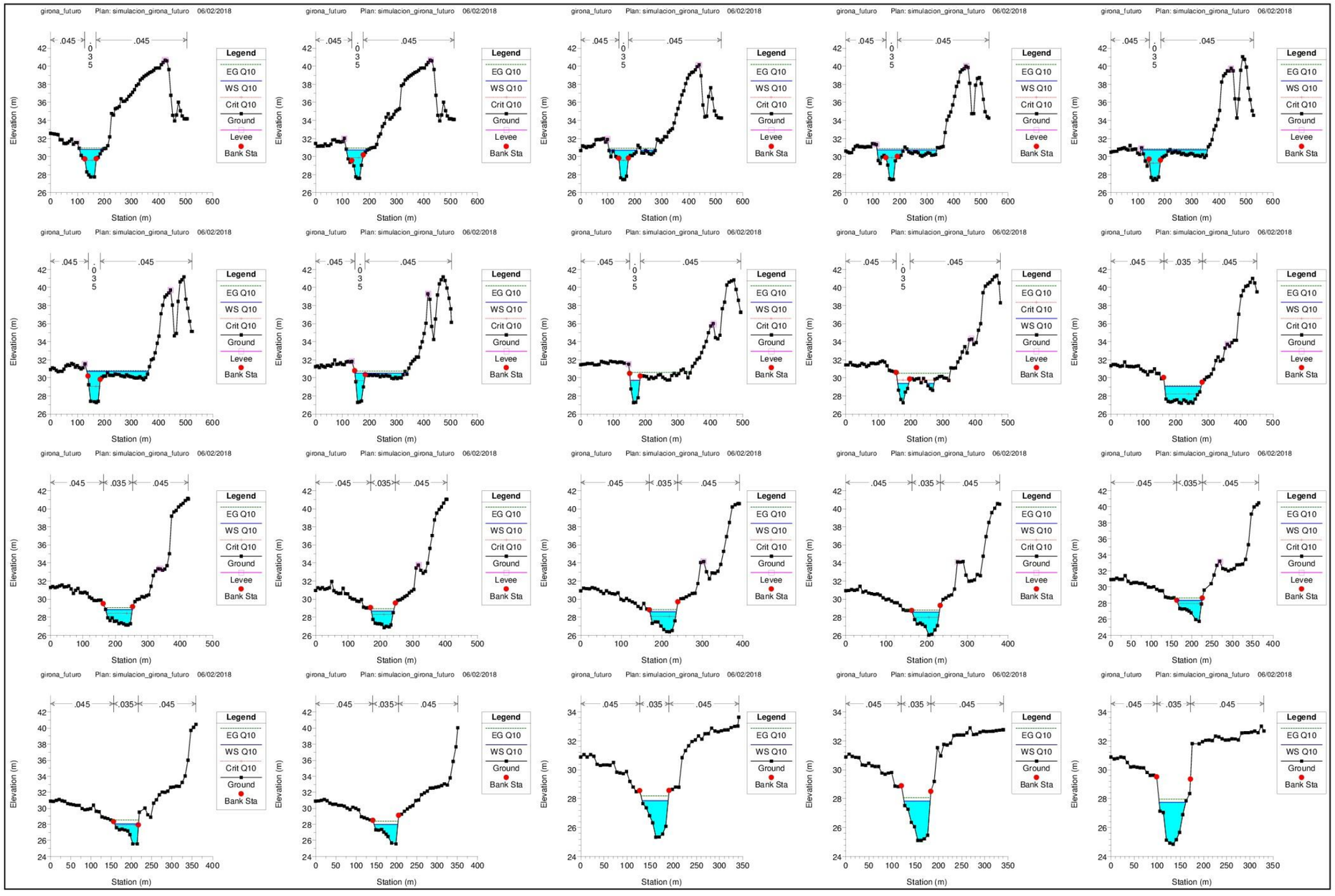
| T= 100 AÑOS | | | | | | | | | | | | |
|---|---|---|---|---|---|---|---|---|---|---|---|---|
| Reach | River Sta | Profile | Q Total (m3/s) | Min Ch El (m) | W.S. Elev (m) | Crit W.S. (m) | E.G. Elev (m) | E.G. Slope (m/m) | Vel Chnl (m/s) | Flow Area (m2) | Top Width (m) | Froude # Chl |
| RIO GIRONA FUTURO | 791.12 | Q100 | 932.91 | 27.75 | 32.48 | 31.9 | 32.99 | 0.002379 | 3.65 | 387.63 | 204.56 | 0.56 |
| RIO GIRONA FUTURO | 782.69 | Q100 | 932.91 | 27.59 | 31.91 | 31.9 | 32.91 | 0.005784 | 4.92 | 250.17 | 124.14 | 0.85 |
| RIO GIRONA FUTURO | 769.41 | Q100 | 932.91 | 27.46 | 32.18 | 31.71 | 32.57 | 0.002335 | 3.52 | 483.94 | 311.05 | 0.55 |
| RIO GIRONA FUTURO | 761.23 | Q100 | 932.91 | 27.43 | 32.35 | 31.53 | 32.48 | 0.000991 | 2.19 | 730.1 | 366.02 | 0.36 |
| RIO GIRONA FUTURO | 739.14 | Q100 | 932.91 | 27.38 | 32.35 | 31.3 | 32.45 | 0.000671 | 1.99 | 824.8 | 377.39 | 0.3 |
| RIO GIRONA FUTURO | 707.56 | Q100 | 932.91 | 27.25 | 32.29 | 31.23 | 32.43 | 0.000804 | 2.17 | 754.48 | 382.76 | 0.33 |
| RIO GIRONA FUTURO | 675.53 | Q100 | 932.91 | 27.28 | 32.13 | 31.48 | 32.38 | 0.001876 | 2.94 | 556.73 | 368.68 | 0.49 |
| RIO GIRONA FUTURO | 654.82 | Q100 | 932.91 | 27.25 | 31.59 | 31.59 | 32.27 | 0.005265 | 4.63 | 334.63 | 264.83 | 0.8 |
| RIO GIRONA FUTURO | 649.68 | Q100 | 932.91 | 27.23 | 31.46 | 31.11 | 31.93 | 0.004239 | 3.82 | 373.22 | 267.31 | 0.71 |
| RIO GIRONA FUTURO | 608.1 | Q100 | 932.91 | 27.2 | 31.25 | 29.48 | 31.46 | 0.00094 | 2.05 | 517.98 | 242.46 | 0.35 |
| RIO GIRONA FUTURO | 575.79 | Q100 | 932.91 | 27.15 | 31.05 | 29.98 | 31.4 | 0.001852 | 2.74 | 420.11 | 237.03 | 0.48 |
| RIO GIRONA FUTURO | 549.41 | Q100 | 932.91 | 26.84 | 30.94 | 29.89 | 31.34 | 0.00215 | 3.01 | 400.1 | 235.57 | 0.52 |
| RIO GIRONA FUTURO | 526.75 | Q100 | 932.91 | 26.38 | 30.84 | 29.98 | 31.29 | 0.00223 | 3.17 | 384.28 | 229.11 | 0.53 |
| RIO GIRONA FUTURO | 510.32 | Q100 | 932.91 | 26.02 | 30.83 | 29.83 | 31.25 | 0.002004 | 3.06 | 397.42 | 218.37 | 0.51 |
| RIO GIRONA FUTURO | 478.36 | Q100 | 932.91 | 25.74 | 30.6 | 29.83 | 31.15 | 0.002678 | 3.5 | 350.15 | 203.42 | 0.58 |
| RIO GIRONA FUTURO | 461.54 | Q100 | 932.91 | 25.57 | 30.56 | | 31.1 | 0.0027 | 3.49 | 360.2 | 208.51 | 0.58 |
| RIO GIRONA FUTURO | 448.84 | Q100 | 932.91 | 25.57 | 30.5 | | 31.07 | 0.002749 | 3.53 | 339.87 | 196.21 | 0.59 |
| RIO GIRONA FUTURO | 418.4 | Q100 | 932.91 | 25.34 | 30.5 | | 30.97 | 0.002078 | 3.22 | 360.07 | 183.43 | 0.52 |
| RIO GIRONA FUTURO | 390.81 | Q100 | 932.91 | 25.11 | 30.3 | | 30.89 | 0.002398 | 3.49 | 307.68 | 138.77 | 0.56 |
| RIO GIRONA FUTURO | 353.57 | Q100 | 932.91 | 24.85 | 30.23 | | 30.8 | 0.002355 | 3.34 | 293.82 | 131.8 | 0.55 |
| RIO GIRONA FUTURO | 319.2 | Q100 | 932.91 | 24.54 | 29.96 | | 30.69 | 0.002871 | 3.96 | 273.15 | 95.51 | 0.61 |
| RIO GIRONA FUTURO | 289.42 | Q100 | 932.91 | 24.23 | 30.03 | | 30.55 | 0.001912 | 3.36 | 338.9 | 129.99 | 0.51 |
| RIO GIRONA FUTURO | 259.35 | Q100 | 932.91 | 24.22 | 29.38 | 29.38 | 30.41 | 0.00507 | 4.82 | 252.07 | 129.12 | 0.8 |
| RIO GIRONA FUTURO | 229.87 | Q100 | 932.91 | 24.17 | 29.26 | 29.11 | 30.08 | 0.004069 | 4.53 | 288.17 | 132.96 | 0.72 |
| RIO GIRONA FUTURO | 207.59 | Q100 | 932.91 | 24.08 | 29.02 | 29.02 | 29.96 | 0.005222 | 4.92 | 269.26 | 131.04 | 0.8 |
| RIO GIRONA FUTURO | 193.77 | Q100 | 932.91 | 23.78 | 28.16 | 28.62 | 29.78 | 0.010024 | 6.02 | 201.4 | 128.19 | 1.08 |
| RIO GIRONA FUTURO | 159.69 | Q100 | 932.91 | 23.22 | 27.67 | 27.93 | 28.99 | 0.006549 | 5.39 | 221.21 | 124.26 | 0.9 |
| RIO GIRONA FUTURO | 133.27 | Q100 | 932.91 | 23 | 26.32 | 27.2 | 28.61 | 0.017797 | 6.71 | 139.12 | 60.04 | 1.4 |

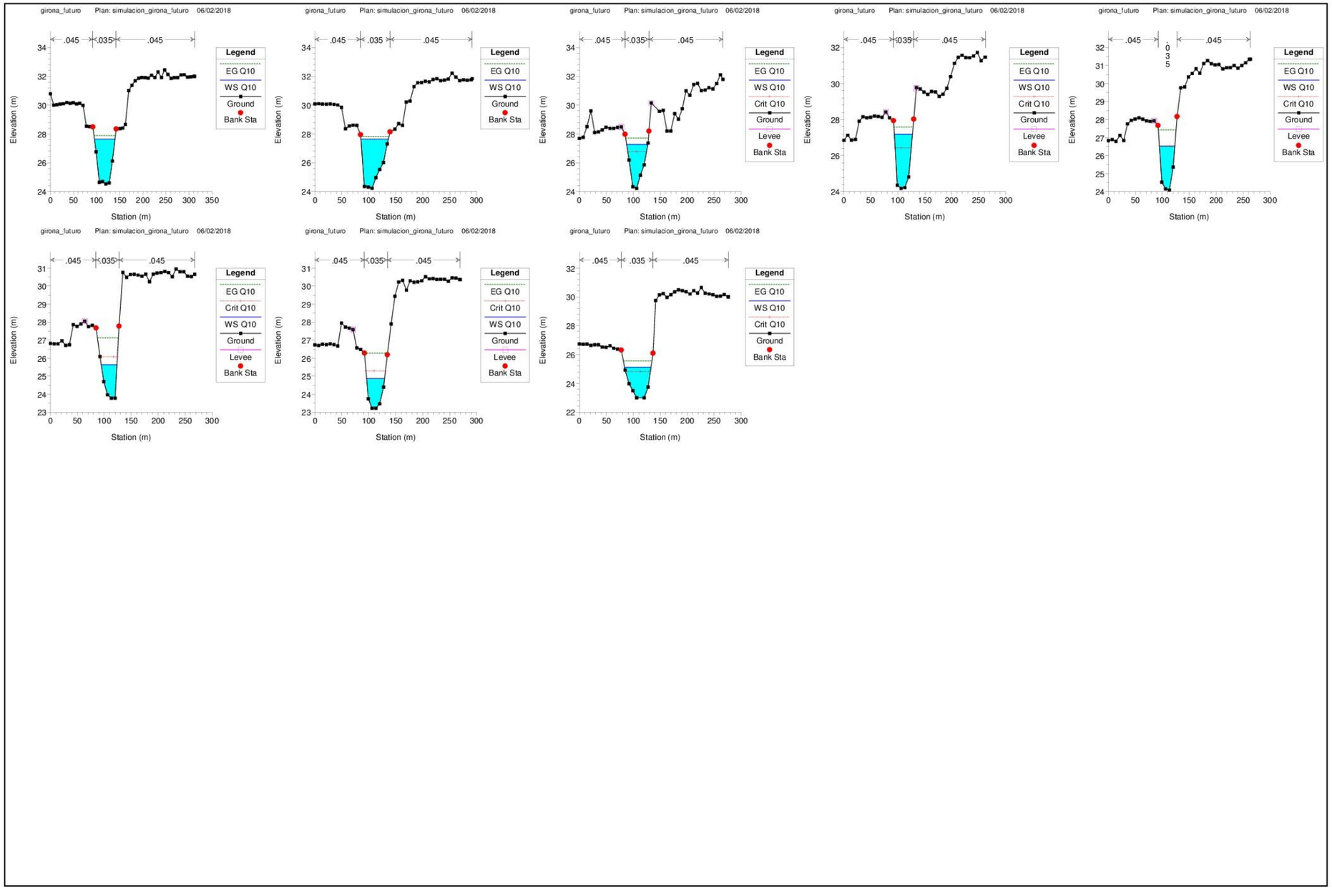
| T= 500 AÑOS | | | | | | | | | | | | |
|---|---|---|---|---|---|---|---|---|---|---|---|---|
| Reach | River Sta | Profile | Q Total (m3/s) | Min Ch El (m) | W.S. Elev (m) | Crit W.S. (m) | E.G. Elev (m) | E.G. Slope (m/m) | Vel Chnl (m/s) | Flow Area (m2) | Top Width (m) | Froude # Chl |
| RIO GIRONA FUTURO | 1746.65 | Q500 | 1463.96 | 33.31 | 39.06 | 38.17 | 39.83 | 0.002727 | 4.15 | 446.23 | 168.64 | 0.61 |
| RIO GIRONA FUTURO | 1710.56 | Q500 | 1463.96 | 33.23 | 39.17 | | 39.65 | 0.001771 | 3.34 | 561.69 | 198.58 | 0.49 |
| RIO GIRONA FUTURO | 1668.72 | Q500 | 1463.96 | 33.01 | 38.36 | 38.23 | 39.47 | 0.004594 | 5.12 | 380.48 | 158.47 | 0.78 |
| RIO GIRONA FUTURO | 1622.07 | Q500 | 1463.96 | 32.59 | 38.46 | | 39.17 | 0.002509 | 4.02 | 476.38 | 213.44 | 0.59 |
| RIO GIRONA FUTURO | 1592.41 | Q500 | 1463.96 | 32.27 | 38.33 | | 39.07 | 0.002976 | 4.31 | 473.03 | 202.81 | 0.63 |
| RIO GIRONA FUTURO | 1551.98 | Q500 | 1463.96 | 32.06 | 38.18 | | 38.92 | 0.00289 | 4.37 | 484.01 | 226.17 | 0.63 |
| RIO GIRONA FUTURO | 1519.1 | Q500 | 1463.96 | 31.75 | 37.93 | | 38.79 | 0.00374 | 4.82 | 430.93 | 157.89 | 0.71 |
| RIO GIRONA FUTURO | 1477.05 | Q500 | 1463.96 | 31.55 | 37.87 | 37.17 | 38.58 | 0.002674 | 4.26 | 466.23 | 153.96 | 0.61 |
| RIO GIRONA FUTURO | 1444.54 | Q500 | 1463.96 | 31.52 | 37.24 | 37.24 | 38.42 | 0.005198 | 5.58 | 377.29 | 150.99 | 0.83 |
| RIO GIRONA FUTURO | 1417.84 | Q500 | 1463.96 | 31.43 | 35.45 | 36.24 | 38.01 | 0.017191 | 7.58 | 237.2 | 125.65 | 1.42 |
| RIO GIRONA FUTURO | 1392.63 | Q500 | 1463.96 | 31.37 | 35.34 | 35.93 | 37.51 | 0.014204 | 6.91 | 251.87 | 124.7 | 1.29 |
| RIO GIRONA FUTURO | 1365.88 | Q500 | 1463.96 | 31.32 | 35.81 | 35.81 | 37.1 | 0.006741 | 5.45 | 333.94 | 143.79 | 0.92 |
| RIO GIRONA FUTURO | 1344.88 | Q500 | 1463.96 | 31.23 | 34.98 | 35.49 | 36.87 | 0.011842 | 6.36 | 267.65 | 135.79 | 1.18 |
| RIO GIRONA FUTURO | 1317.72 | Q500 | 1463.96 | 31.08 | 33.94 | 34.72 | 36.38 | 0.019539 | 7.05 | 223.43 | 119.02 | 1.47 |
| RIO GIRONA FUTURO | 1293.42 | Q500 | 1463.96 | 31.07 | 35.15 | | 35.95 | 0.003897 | 4.33 | 424.32 | 166.38 | 0.71 |
| RIO GIRONA FUTURO | 1270.52 | Q500 | 1463.96 | 31.03 | 35.09 | | 35.84 | 0.003496 | 4.05 | 426.19 | 168.21 | 0.67 |
| RIO GIRONA FUTURO | 1244.76 | Q500 | 1463.96 | 31 | 34.72 | 34.61 | 35.71 | 0.005215 | 4.65 | 377.87 | 173.78 | 0.81 |
| RIO GIRONA FUTURO | 1206.39 | Q500 | 1463.96 | 30.81 | 34.65 | | 35.46 | 0.004323 | 4.27 | 422.74 | 190.8 | 0.74 |
| RIO GIRONA FUTURO | 1185.96 | Q500 | 1463.96 | 30.64 | 34.51 | 34.23 | 35.36 | 0.00441 | 4.26 | 403.03 | 197.41 | 0.74 |
| RIO GIRONA FUTURO | 1165.1 | Q500 | 1463.96 | 30.54 | 34.57 | 33.94 | 35.21 | 0.003382 | 3.62 | 441.49 | 183.26 | 0.64 |
| RIO GIRONA FUTURO | 1148.26 | Q500 | 1463.96 | 30.21 | 34.58 | 33.71 | 35.14 | 0.002819 | 3.35 | 473.9 | 199.54 | 0.59 |
| RIO GIRONA FUTURO | 1132.07 | Q500 | 1463.96 | 30.15 | 34.79 | 33.82 | 35 | 0.001237 | 2.29 | 813.18 | 346.28 | 0.39 |
| RIO GIRONA FUTURO | 1125.44 | Q500 | 1463.96 | 30.01 | 34.82 | 33.53 | 34.98 | 0.000884 | 2.02 | 971.21 | 392.83 | 0.34 |
| RIO GIRONA FUTURO | 1099.03 | Q500 | 1463.96 | 29.87 | 34.82 | 33.21 | 34.95 | 0.00064 | 1.82 | 1081.67 | 400.9 | 0.29 |
| RIO GIRONA FUTURO | 1075.69 | Q500 | 1463.96 | 29.73 | 34.82 | 32.87 | 34.93 | 0.000495 | 1.66 | 1172.21 | 404.75 | 0.26 |
| RIO GIRONA FUTURO | 1055.89 | Q500 | 1463.96 | 29.51 | 34.81 | 32.87 | 34.92 | 0.000469 | 1.74 | 1174.7 | 392.96 | 0.26 |
| RIO GIRONA FUTURO | 1034.62 | Q500 | 1463.96 | 29.22 | 34.8 | 32.66 | 34.91 | 0.000442 | 1.69 | 1198.43 | 396.47 | 0.25 |
| RIO GIRONA FUTURO | 1017 | Q500 | 1463.96 | 29.03 | 34.74 | 32.52 | 34.89 | 0.000569 | 1.9 | 1021.2 | 369.69 | 0.28 |
| RIO GIRONA FUTURO | 962.11 | Q500 | 1463.96 | 28.95 | 34.53 | 32.4 | 34.82 | 0.001039 | 2.45 | 625.15 | 166.81 | 0.37 |
| RIO GIRONA FUTURO | 933 | | Bridge | | | | | | | | | |
| RIO GIRONA FUTURO | 895.88 | Q500 | 1463.96 | 28.52 | 34.01 | 32.86 | 34.68 | 0.002255 | 3.82 | 459.07 | 154.59 | 0.56 |
| RIO GIRONA FUTURO | 871.58 | Q500 | 1463.96 | 28.43 | 33.84 | 33.32 | 34.46 | 0.002842 | 3.82 | 525.27 | 277.09 | 0.61 |
| RIO GIRONA FUTURO | 856 | | Bridge | | | | | | | | | |
| RIO GIRONA FUTURO | 840.71 | Q500 | 1463.96 | 28.23 | 33.8 | 33.09 | 34.35 | 0.002405 | 4.11 | 577.69 | 249.19 | 0.58 |
| RIO GIRONA FUTURO | 829.38 | Q500 | 1463.96 | 28.05 | 34.01 | 32.83 | 34.23 | 0.001233 | 3.07 | 880.39 | 344.28 | 0.42 |
| RIO GIRONA FUTURO | 813.48 | Q500 | 1463.96 | 27.86 | 33.33 | 33.09 | 34.09 | 0.004084 | 5.16 | 474.27 | 191.44 | 0.75 |
| RIO GIRONA FUTURO | 802 | | Bridge | | | | | | | | | |

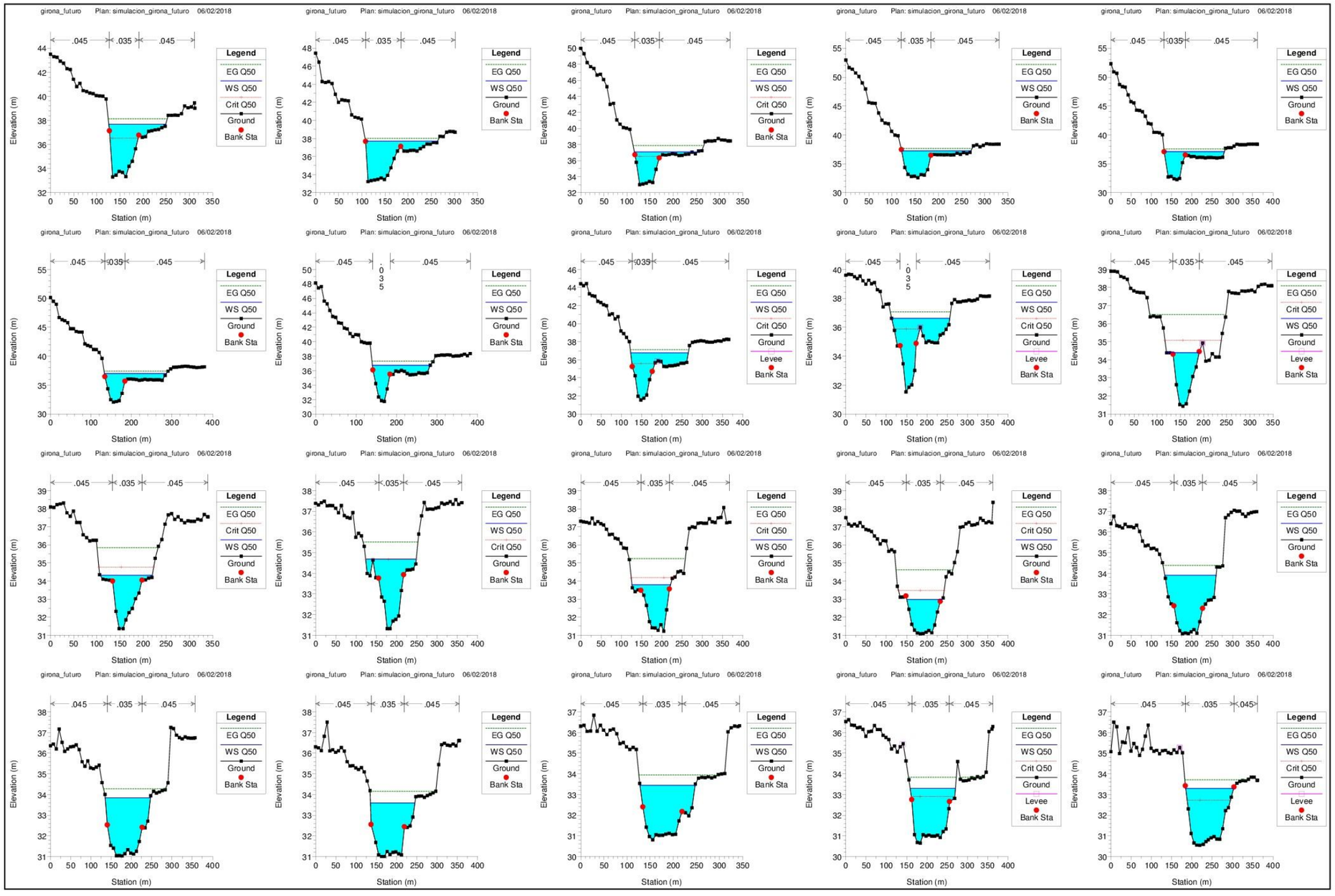
| T= 500 AÑOS | | | | | | | | | | | | |
|---|---|---|---|---|---|---|---|---|---|---|---|---|
| Reach | River Sta | Profile | Q Total (m3/s) | Min Ch El (m) | W.S. Elev (m) | Crit W.S. (m) | E.G. Elev (m) | E.G. Slope (m/m) | Vel Chnl (m/s) | Flow Area (m2) | Top Width (m) | Froude # Chl |
| RIO GIRONA FUTURO | 791.12 | Q500 | 1463.96 | 27.75 | 32.78 | 32.78 | 33.71 | 0.004151 | 5.03 | 451.86 | 220.85 | 0.75 |
| RIO GIRONA FUTURO | 782.69 | Q500 | 1463.96 | 27.59 | 32.29 | 32.66 | 33.62 | 0.00763 | 6.06 | 386.44 | 234.97 | 0.99 |
| RIO GIRONA FUTURO | 769.41 | Q500 | 1463.96 | 27.46 | 32.74 | 31.89 | 33.19 | 0.002573 | 4.02 | 663.21 | 326.79 | 0.59 |
| RIO GIRONA FUTURO | 761.23 | Q500 | 1463.96 | 27.43 | 32.92 | 31.88 | 33.09 | 0.001146 | 2.59 | 938.33 | 368.75 | 0.39 |
| RIO GIRONA FUTURO | 739.14 | Q500 | 1463.96 | 27.38 | 32.91 | 31.69 | 33.06 | 0.000834 | 2.4 | 1038.95 | 381.06 | 0.34 |
| RIO GIRONA FUTURO | 707.56 | Q500 | 1463.96 | 27.25 | 32.84 | 31.77 | 33.02 | 0.000995 | 2.61 | 966.57 | 388.38 | 0.37 |
| RIO GIRONA FUTURO | 675.53 | Q500 | 1463.96 | 27.28 | 32.66 | 32.06 | 32.97 | 0.002088 | 3.39 | 759.64 | 383.03 | 0.52 |
| RIO GIRONA FUTURO | 654.82 | Q500 | 1463.96 | 27.25 | 32.17 | 32.17 | 32.87 | 0.004991 | 5 | 530.74 | 364.07 | 0.8 |
| RIO GIRONA FUTURO | 649.68 | Q500 | 1463.96 | 27.23 | 32.26 | 31.76 | 32.67 | 0.003031 | 3.78 | 638.84 | 353.69 | 0.62 |
| RIO GIRONA FUTURO | 608.1 | Q500 | 1463.96 | 27.2 | 32.24 | 30.2 | 32.47 | 0.000835 | 2.28 | 831.6 | 344.37 | 0.34 |
| RIO GIRONA FUTURO | 575.79 | Q500 | 1463.96 | 27.15 | 32.12 | 30.93 | 32.43 | 0.001322 | 2.78 | 730.06 | 314.24 | 0.42 |
| RIO GIRONA FUTURO | 549.41 | Q500 | 1463.96 | 26.84 | 32.06 | 30.96 | 32.4 | 0.001424 | 2.95 | 722.1 | 306.15 | 0.44 |
| RIO GIRONA FUTURO | 526.75 | Q500 | 1463.96 | 26.38 | 32 | 30.68 | 32.36 | 0.00145 | 3.07 | 701.63 | 290.05 | 0.45 |
| RIO GIRONA FUTURO | 510.32 | Q500 | 1463.96 | 26.02 | 31.98 | 30.51 | 32.33 | 0.001377 | 3.03 | 696.26 | 270.37 | 0.44 |
| RIO GIRONA FUTURO | 478.36 | Q500 | 1463.96 | 25.74 | 31.86 | 30.9 | 32.28 | 0.001619 | 3.31 | 648.47 | 256.66 | 0.48 |
| RIO GIRONA FUTURO | 461.54 | Q500 | 1463.96 | 25.57 | 31.86 |  | 32.24 | 0.001516 | 3.2 | 686.62 | 272.29 | 0.46 |
| RIO GIRONA FUTURO | 448.84 | Q500 | 1463.96 | 25.57 | 31.8 |  | 32.22 | 0.001596 | 3.29 | 654.37 | 265.06 | 0.47 |
| RIO GIRONA FUTURO | 418.4 | Q500 | 1463.96 | 25.34 | 31.72 |  | 32.17 | 0.00157 | 3.36 | 618.75 | 234.7 | 0.47 |
| RIO GIRONA FUTURO | 390.81 | Q500 | 1463.96 | 25.11 | 31.5 |  | 32.1 | 0.001922 | 3.72 | 524.34 | 209.32 | 0.52 |
| RIO GIRONA FUTURO | 353.57 | Q500 | 1463.96 | 24.85 | 31.33 |  | 32.01 | 0.002165 | 3.79 | 463.02 | 174.67 | 0.55 |
| RIO GIRONA FUTURO | 319.2 | Q500 | 1463.96 | 24.54 | 30.24 | 29.98 | 31.82 | 0.005677 | 5.81 | 309.47 | 162.25 | 0.87 |
| RIO GIRONA FUTURO | 289.42 | Q500 | 1463.96 | 24.23 | 30.62 | 29.77 | 31.48 | 0.002819 | 4.43 | 440.13 | 179.05 | 0.63 |
| RIO GIRONA FUTURO | 259.35 | Q500 | 1463.96 | 24.22 | 30.3 | 30.22 | 31.24 | 0.004028 | 4.98 | 434.86 | 193.96 | 0.74 |
| RIO GIRONA FUTURO | 229.87 | Q500 | 1463.96 | 24.17 | 30.33 | 29.93 | 31.08 | 0.003082 | 4.61 | 479.13 | 197.33 | 0.65 |
| RIO GIRONA FUTURO | 207.59 | Q500 | 1463.96 | 24.08 | 29.71 | 29.71 | 30.92 | 0.005799 | 5.79 | 359.93 | 134.04 | 0.87 |
| RIO GIRONA FUTURO | 193.77 | Q500 | 1463.96 | 23.78 | 28.83 | 29.33 | 30.75 | 0.010086 | 6.86 | 287.3 | 129.77 | 1.12 |
| RIO GIRONA FUTURO | 159.69 | Q500 | 1463.96 | 23.22 | 28.04 | 28.73 | 30.34 | 0.01046 | 7.26 | 271.81 | 142.04 | 1.16 |
| RIO GIRONA FUTURO | 133.27 | Q500 | 1463.96 | 23 | 27.05 | 27.97 | 29.94 | 0.016257 | 7.68 | 219.4 | 138.02 | 1.4 |

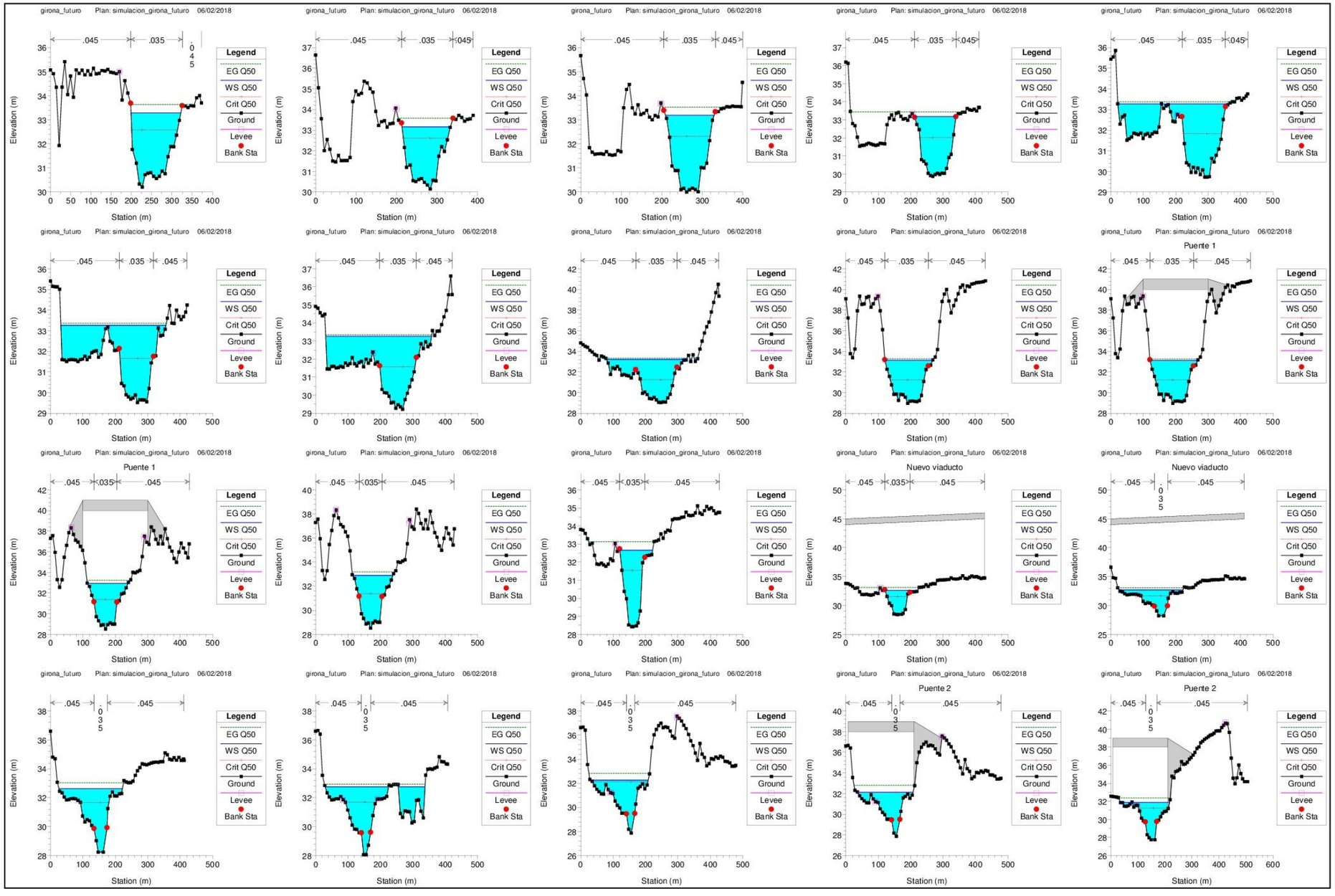

girona_futuro Plan: simulacion_girona_futuro 06/02/2018
.045 .035 .045
Legend
EG Q10
WS Q10
Crit Q10
Ground
Levee
Bank Sta
Elevation (m)
Station (m)

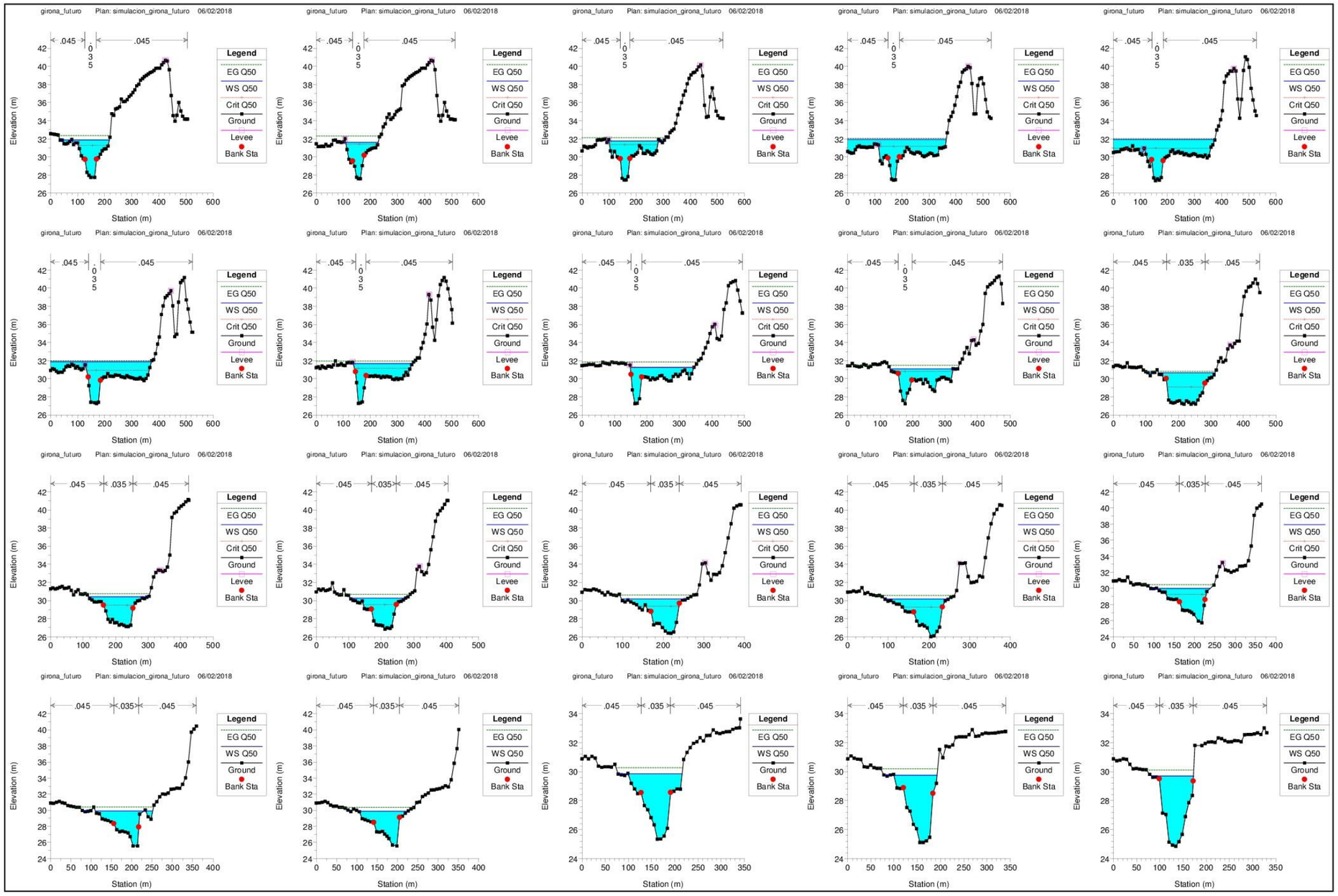

girona_futuro Plan: simulacion_girona_futuro 06/02/2018
Puente 1
Nuevo viaducto
Puente 2
Legend
EG Q10
WS Q10
Crit Q10
Ground
Levee
Bank Sta
Elevation (m)
Station (m)
.045
.035

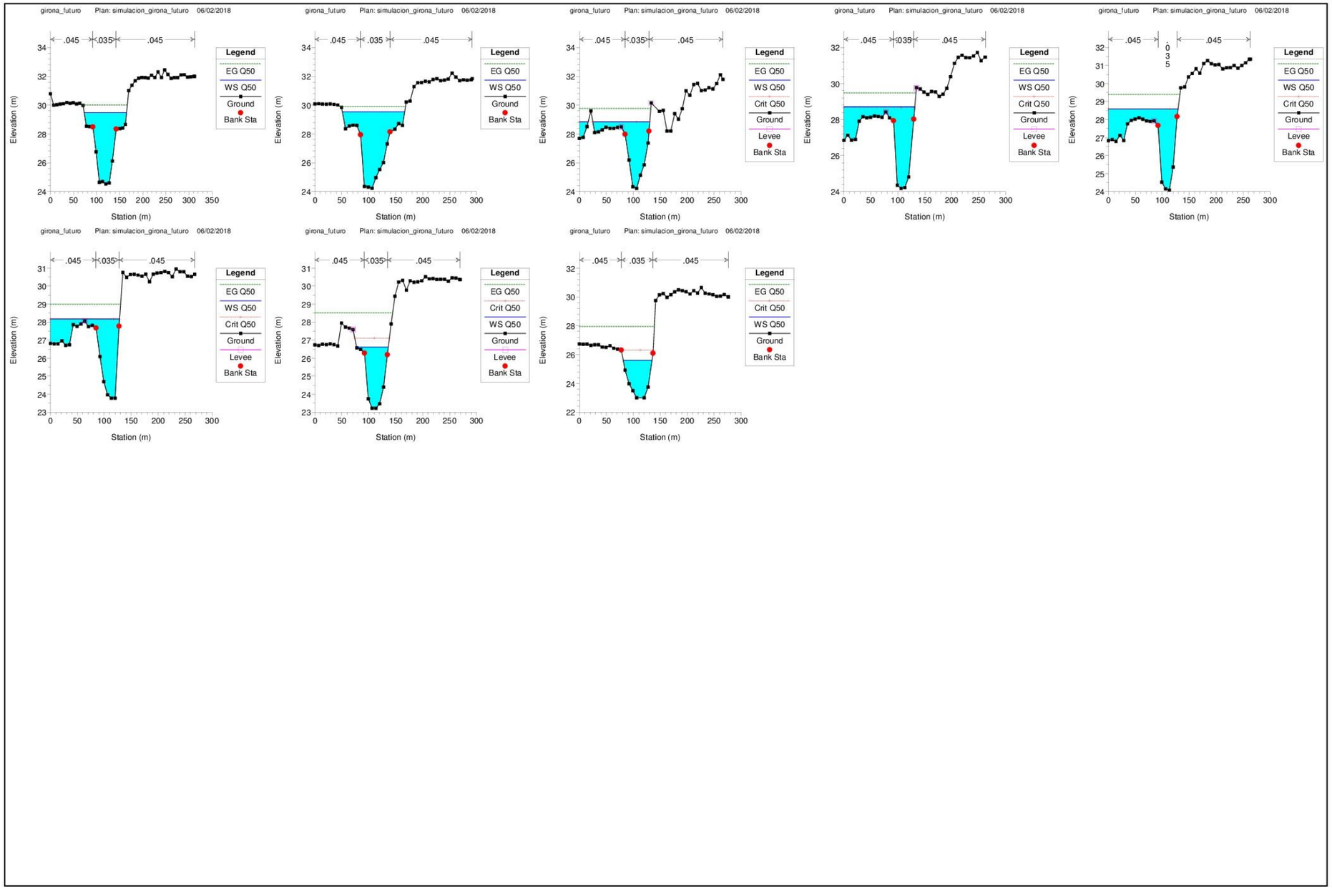

girona_futuro Plan: simulacion_girona_futuro 06/02/2018
Legend
EG Q10
WS Q10
Crit Q10
Ground
Levee
Bank Sta
Elevation (m)
Station (m)

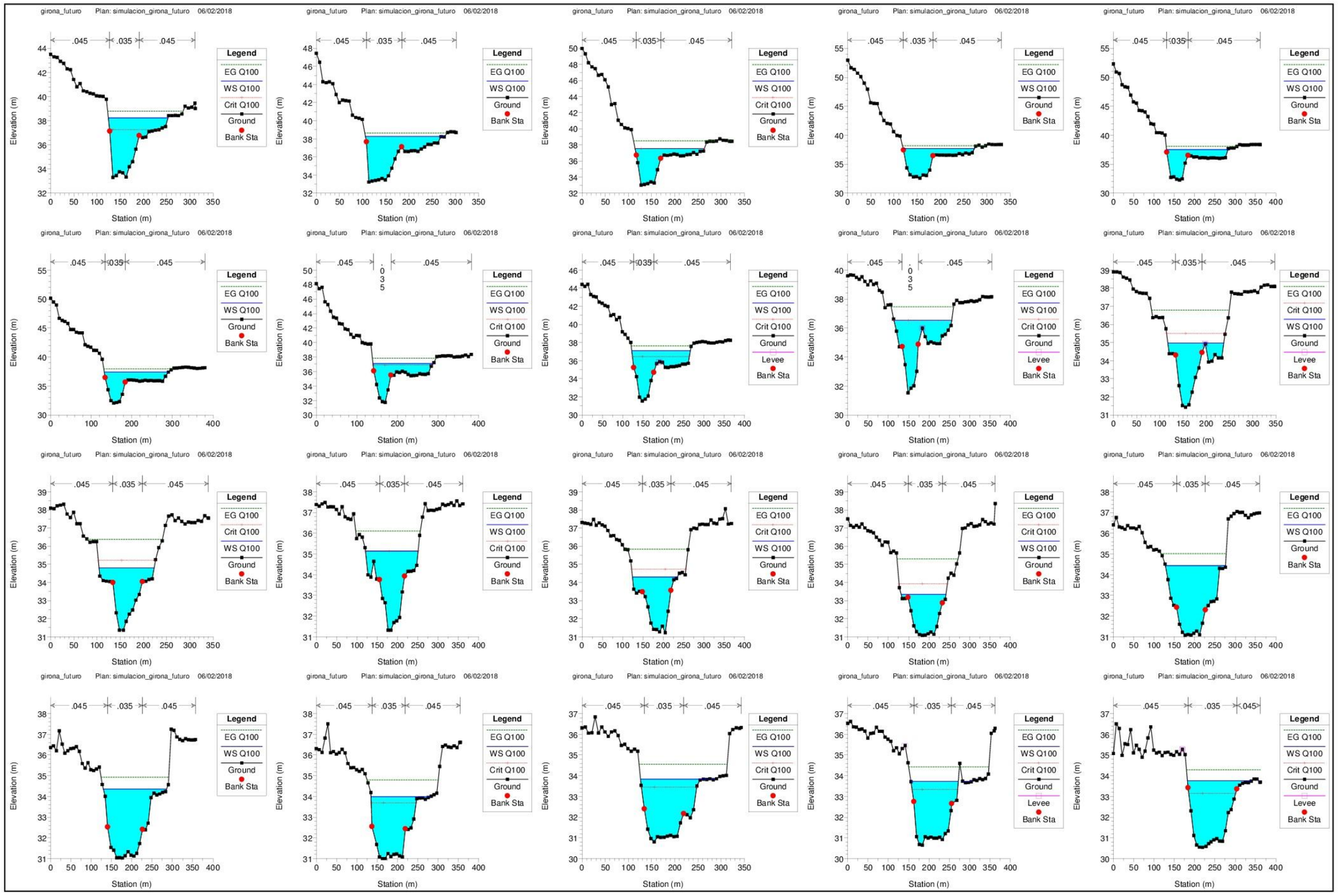

girona_futuro Plan: simulacion_girona_futuro 06/02/2018
.045
.035
.045
Legend
EG Q10
WS Q10
Crit Q10
Ground
Levee
Bank Sta
Elevation (m)
Station (m)

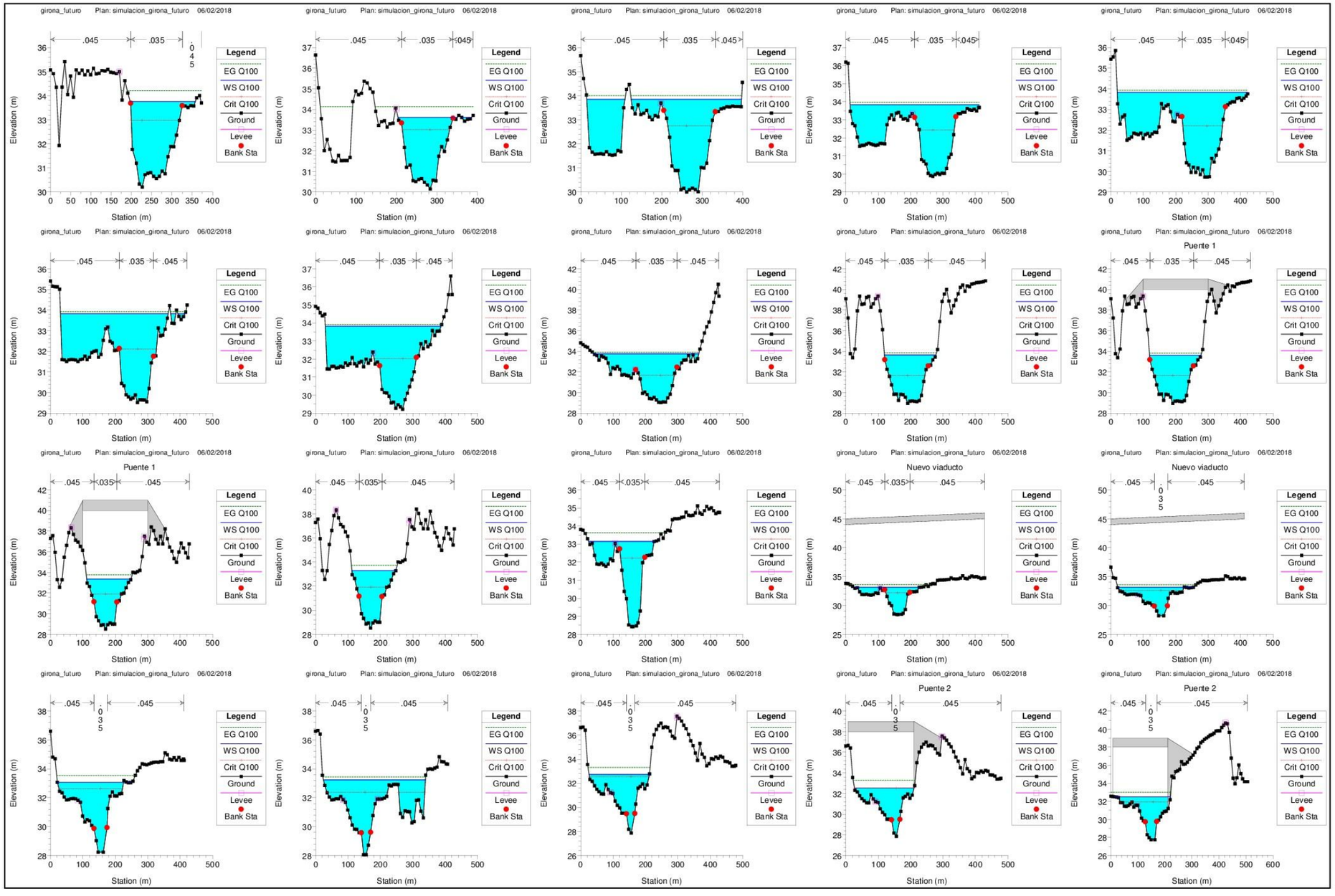

girona_futuro Plan: simulacion_girona_futuro 06/02/2018
Elevation (m)
Station (m)
.045
.035
.045
Legend
EG Q50
WS Q50
Crit Q50
Ground
Levee
Bank Sta

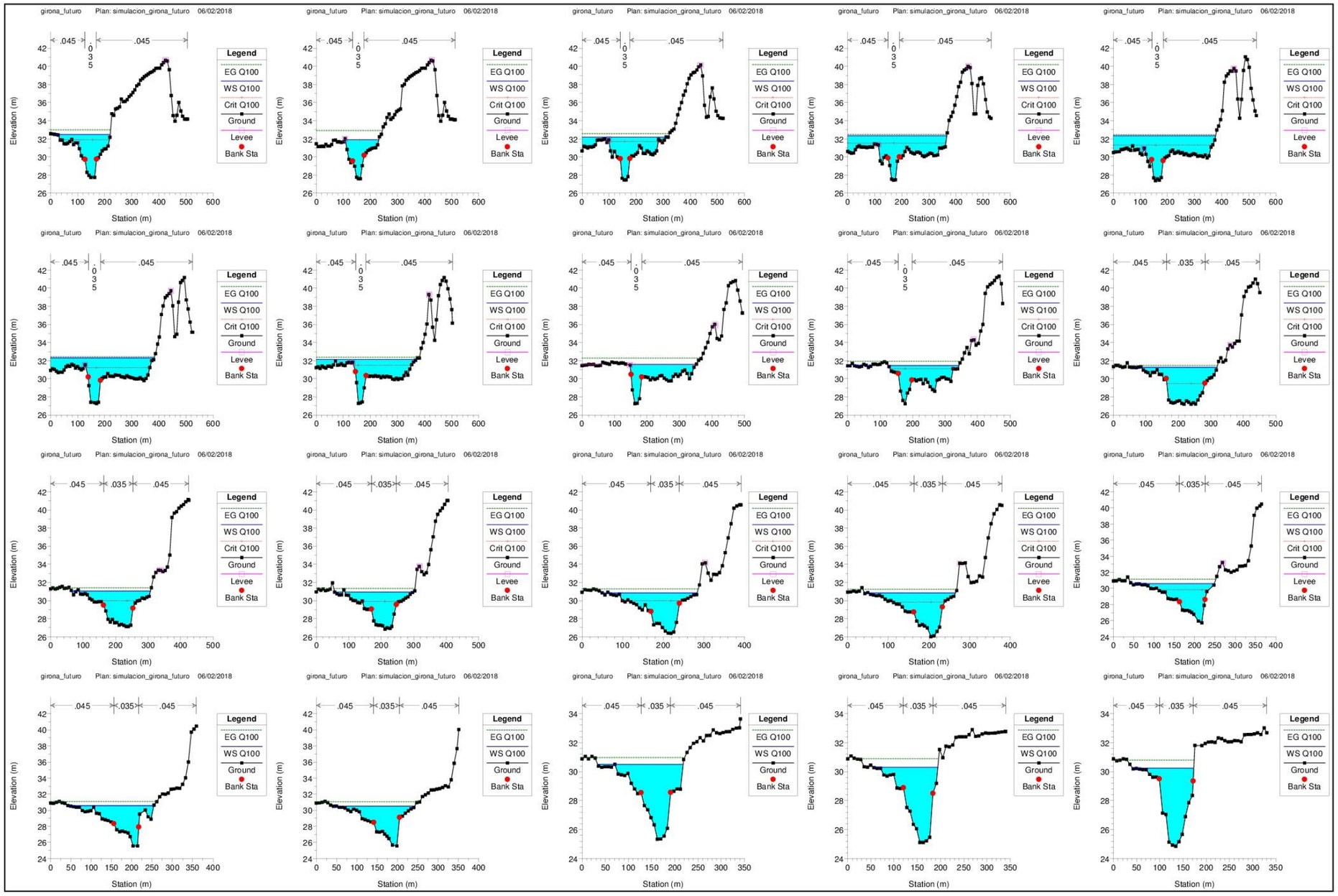

girona_futuro Plan: simulacion_girona_futuro 06/02/2018
Puente 1
Nuevo viaducto
Puente 2
Legend
EG Q50
WS Q50
Crit Q50
Ground
Levee
Bank Sta
Elevation (m)
Station (m)
.045
.035
0
3
5

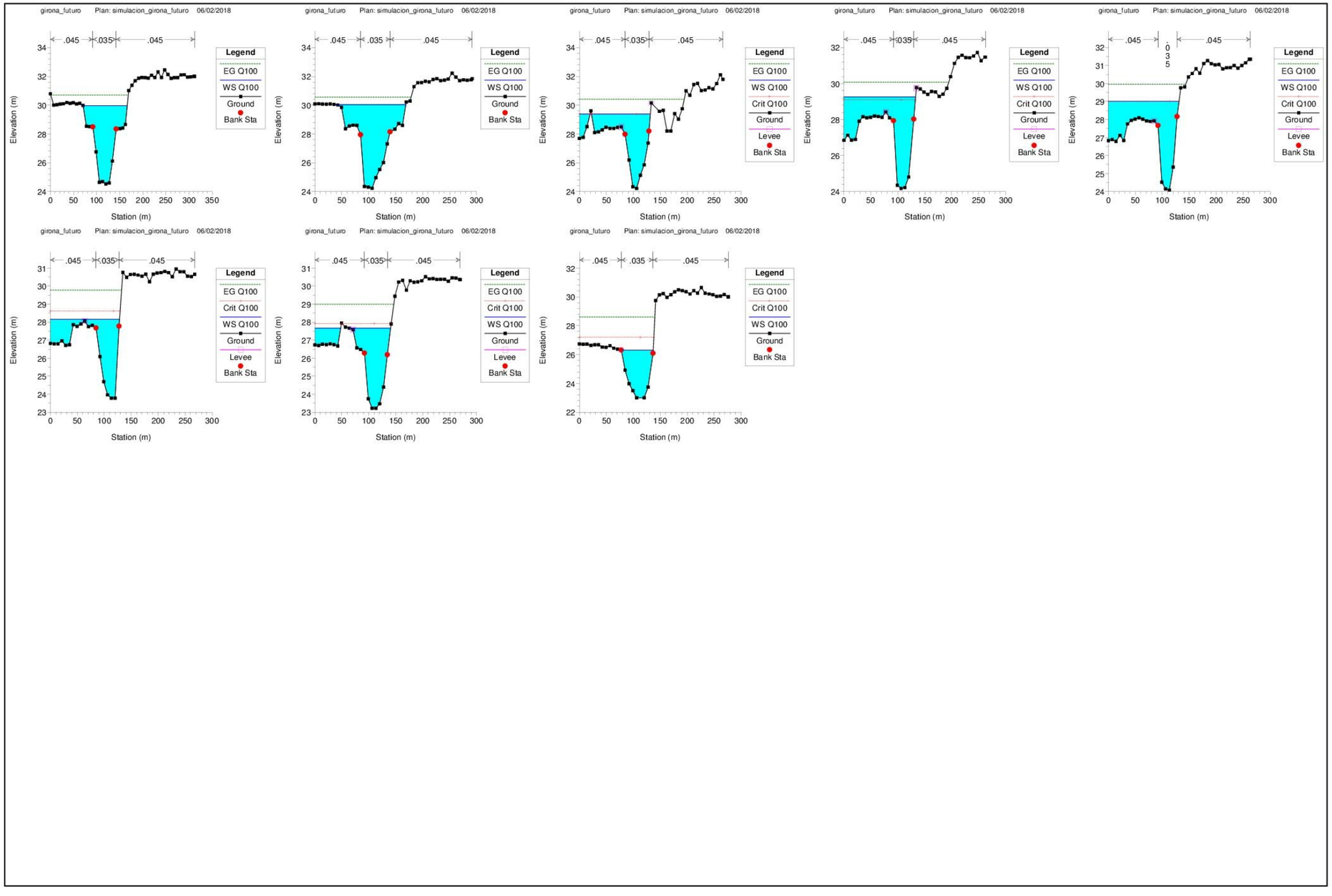

girona_futuro Plan: simulacion_girona_futuro 06/02/2018
Legend
EG Q50
WS Q50
Crit Q50
Ground
Levee
Bank Sta
Elevation (m)
Station (m)

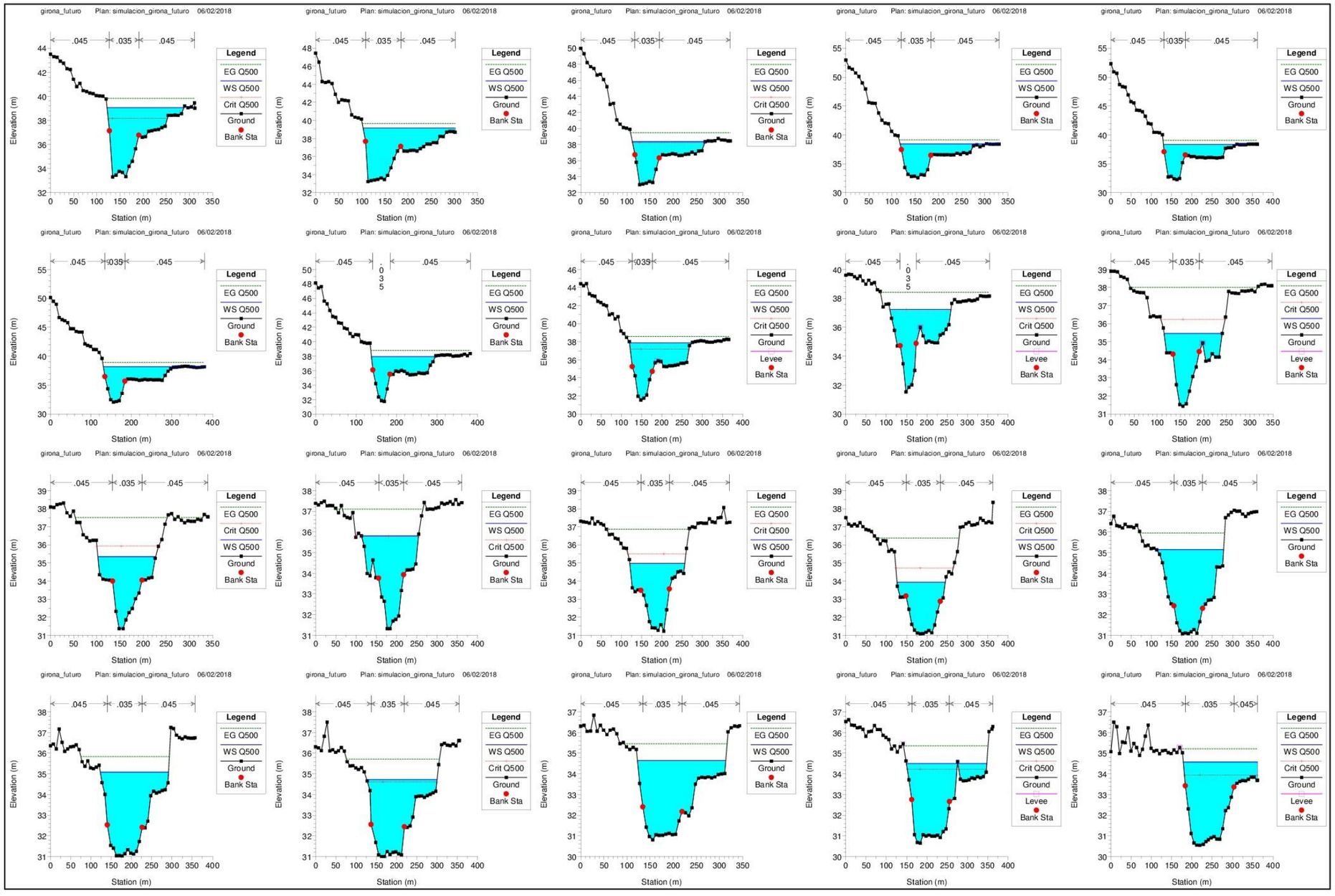

girona_futuro Plan: simulacion_girona_futuro 06/02/2018
.045
.035
.045
Legend
EG Q50
WS Q50
Crit Q50
Ground
Levee
Bank Sta
Elevation (m)
Station (m)

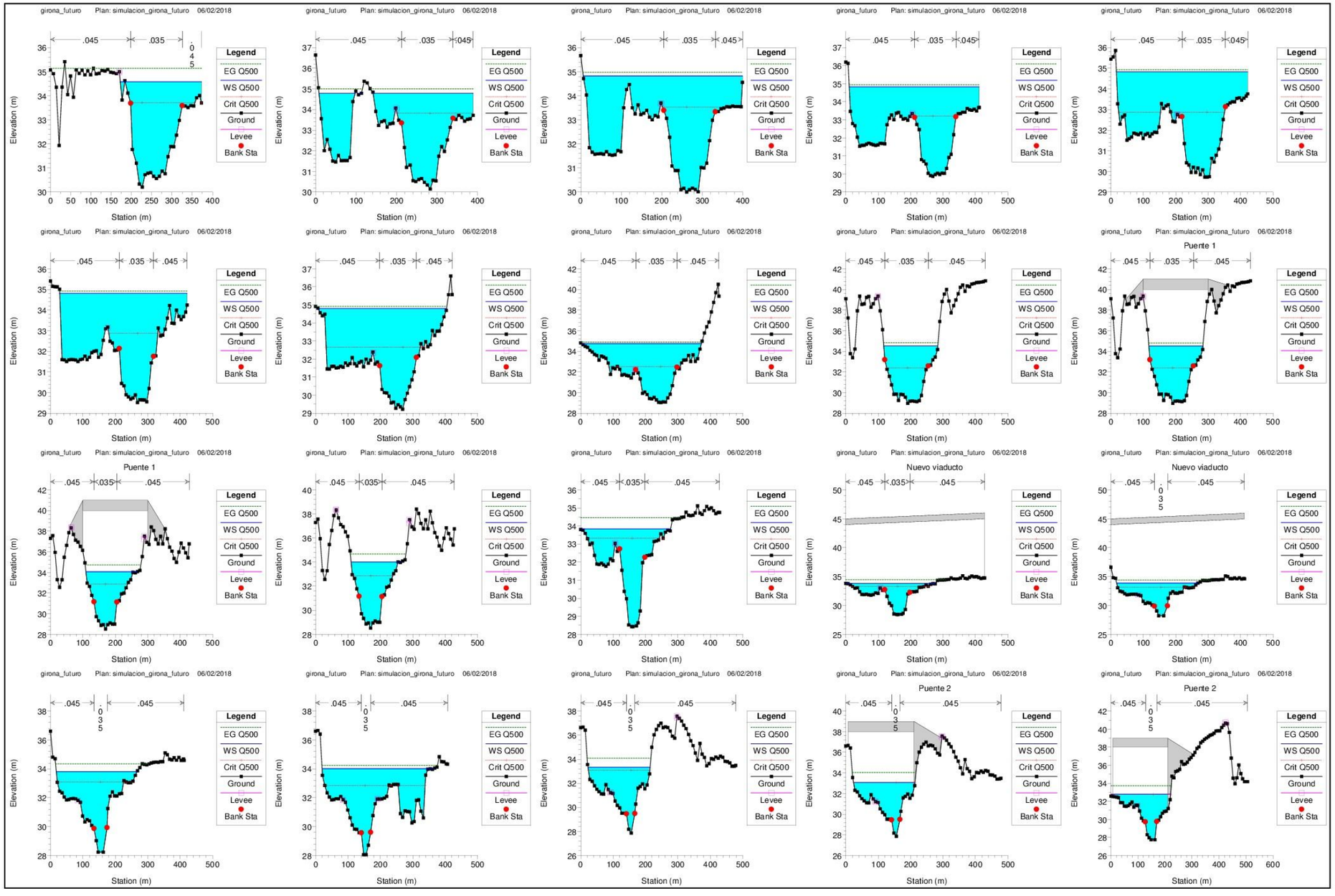

girona_futuro Plan: simulacion_girona_futuro 06/02/2018
Legend
EG Q100
WS Q100
Crit Q100
Ground
Levee
Bank Sta
Elevation (m)
Station (m)
.045
.035

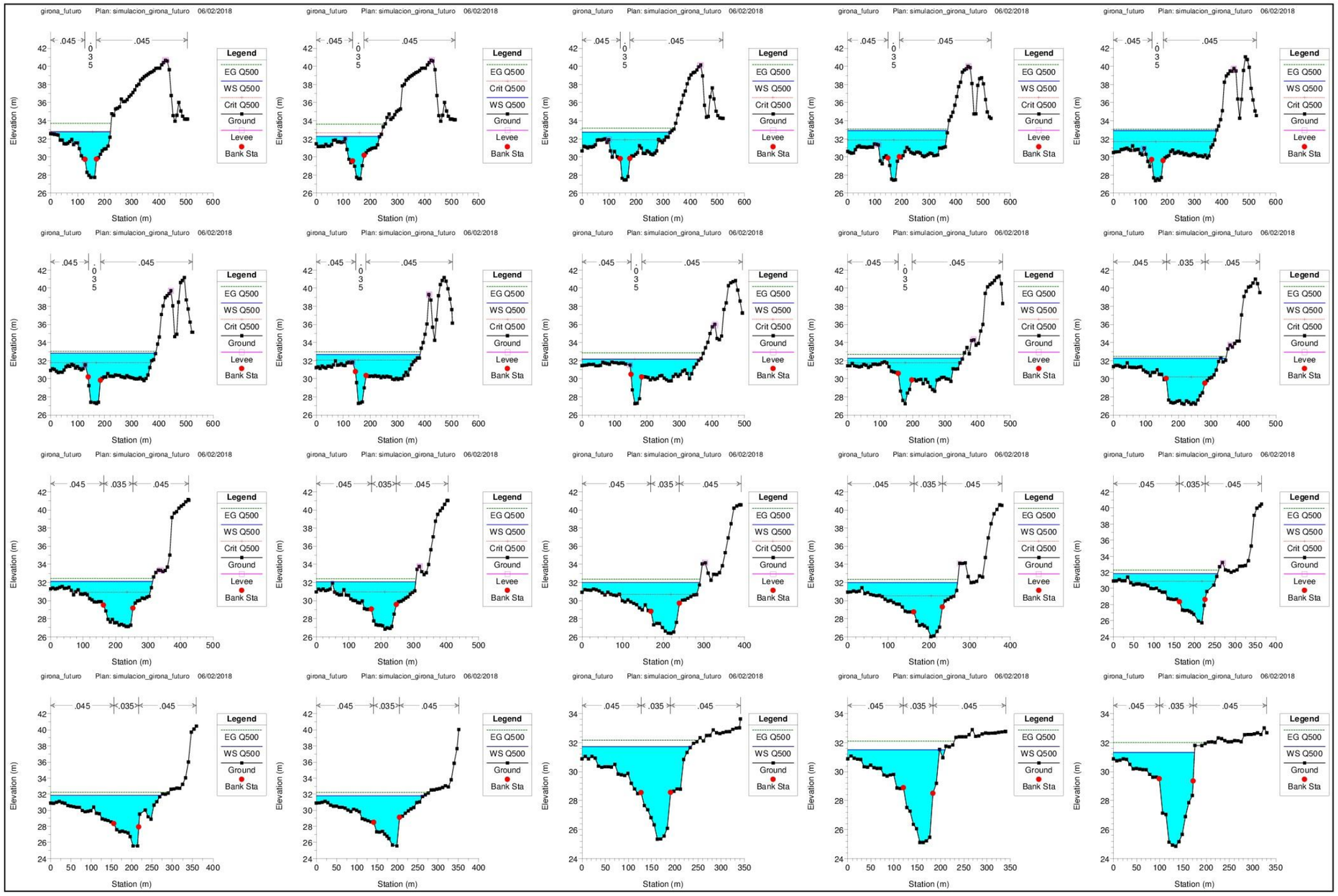

girona_futuro Plan: simulacion_girona_futuro 06/02/2018
Elevation (m)
Station (m)
Legend
EG Q100
WS Q100
Crit Q100
Ground
Levee
Bank Sta
.045
.035
Puente 1
Nuevo viaducto
Puente 2

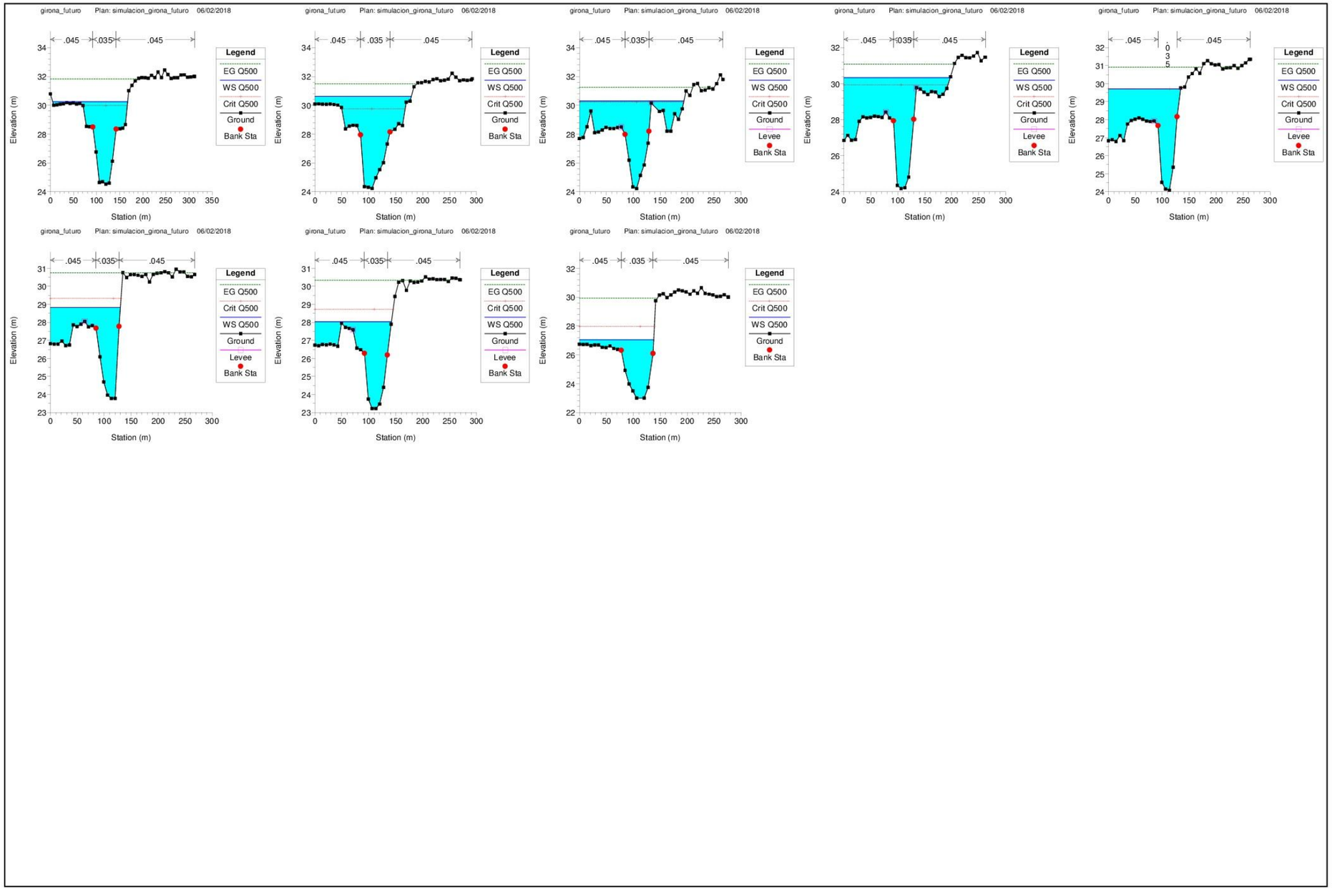

girona_futuro Plan: simulacion_girona_futuro 06/02/2018
Legend
EG Q100
WS Q100
Crit Q100
Ground
Levee
Bank Sta
Elevation (m)
Station (m)

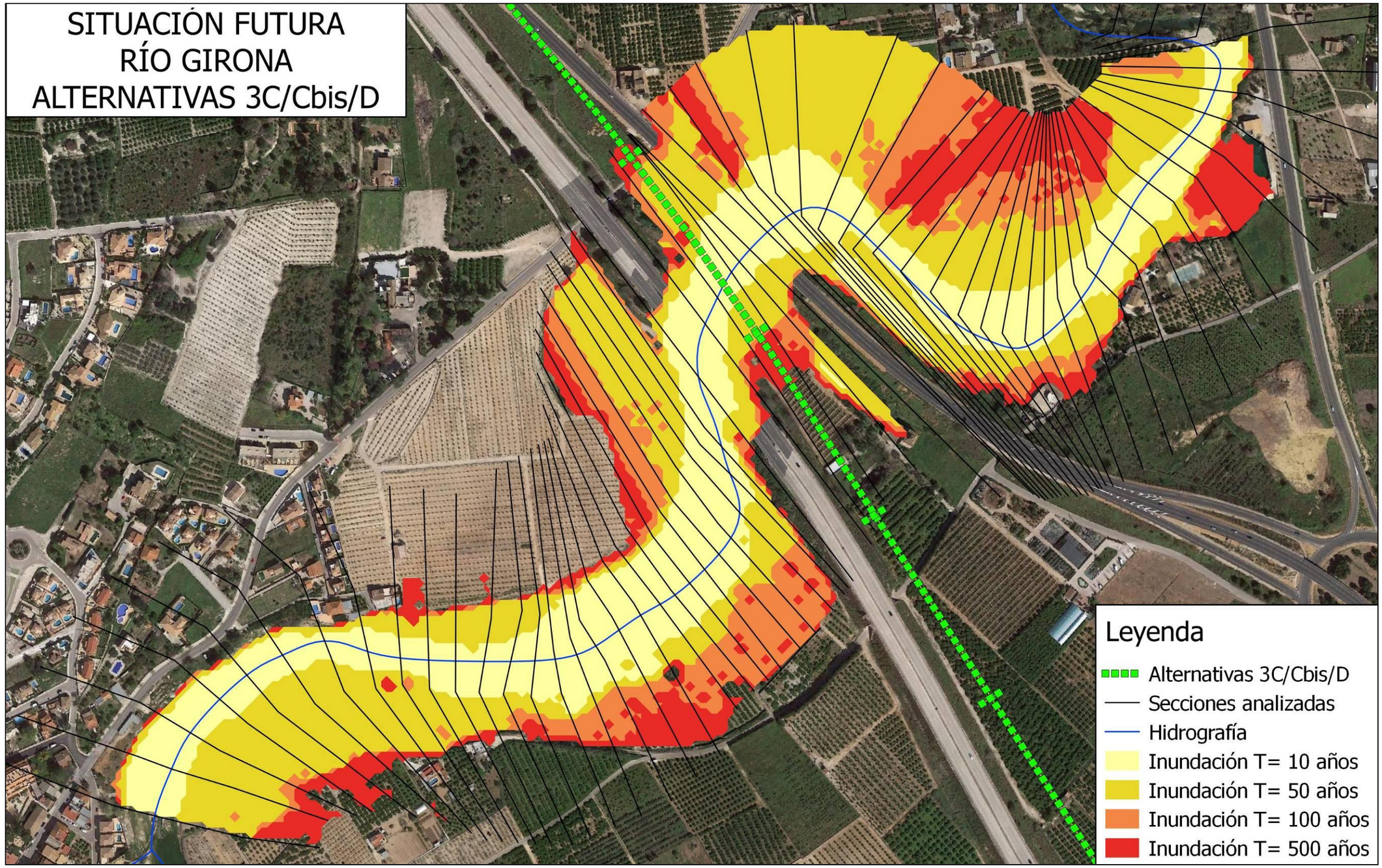

girona_futuro Plan: simulacion_girona_futuro 06/02/2018
.045
.035
.045
Legend
EG Q100
WS Q100
Crit Q100
Ground
Levee
Bank Sta
Elevation (m)
Station (m)


girona_futuro Plan: simulacion_girona_futuro 06/02/2018
Legend
EG Q500
WS Q500
Crit Q500
Ground
Levee
Bank Sta
Elevation (m)
Station (m)
.045
.035
.045


girona_futuro Plan: simulacion_girona_futuro 06/02/2018
Puente 1
Nuevo viaducto
Puente 2
Legend
EG Q500
WS Q500
Crit Q500
Ground
Levee
Bank Sta
Station (m)
Elevation (m)
.045
.035
.045


girona_futuro Plan: simulacion_girona_futuro 06/02/2018
Legend
EG Q500
WS Q500
Crit Q500
Ground
Levee
Bank Sta
Elevation (m)
Station (m)


girona_futuro Plan: simulacion_girona_futuro 06/02/2018
.045 .035 .045
Elevation (m)
Station (m)
Legend
EG Q500
WS Q500
Crit Q500
Ground
Levee
Bank Sta


SITUACIÓN FUTURA
RÍO GIRONA
ALTERNATIVAS 3C/Cbis/D
Leyenda
Alternativas 3C/Cbis/D
Secciones analizadas
Hidrografía
Inundación T= 10 años
Inundación T= 50 años
Inundación T= 100 años
Inundación T= 500 años